



# الطاقة وسلامة البيئة

تأليف: Nikolai V. Khartchenko

ترجمة: الدكتور بسام حمود

مراجعة: المهندس نزيه يانس





المركز العربي  
للتعريب والترجمة والتأليف والنشر



المنظمة العربية  
للتجربة والثقافة والعلوم

**الطاقة**  
**وسلامة البيئة**

إهداء ٢٠٠٨

المركز العربي للتدريب والترجمة والتأليف والنشر  
الجمهورية العربية السورية

# الطاقة

## وسلامة البيئة

تأليف

Nikolai V. Khartchenko

ترجمة

الدكتور بسام حمود

مراجعة

المهندس نزيه يانس

2000

دمشق



# Umweltschonende Energietechnik

Nikolai V. Khartchenko

Translation copyright © 2000 by Arab Centre for Arabization, Translation, Authorship & Publication (ACATAP, branch of ALECSO).

Copyright of the Original German language edition:  
by Vogel Verlag und Druck GmbH & Co KG, Würzburg (Germany).  
All Rights Reserved.

Published in Arabic by Agreement with the original publisher Vogel  
Verlag und Druck GmbH & Co KG, Würzburg.

الطاقة وسلامة البيئة

ترجمة: د. بسام حمود

المركز العربي للتعبير والترجمة والتأليف والنشر بدمشق

ص.ب: 3752 — دمشق — الجمهورية العربية السورية

هاتف: 3330998 — فاكس: 963 11 3334876 +

E-mail: [acatap@net.sy](mailto:acatap@net.sy)

Web Site: [www.acatap.htmlplanet.com](http://www.acatap.htmlplanet.com)

جميع حقوق النشر والطبع محفوظة

---

## مقدمة المؤلف

---

يجب أن تحقق تقانة الطاقة الحديثة ثلاثة معايير: الكفاءة العالية لعملية تحويل الطاقة والاقتصادية إضافة إلى تقبّل البيئة لنتائجها. وكلما ارتفع مردود آلة حرارية قلّ تدفق الوقود لوحدة الاستطاعة، ومن ثمّ قلّ انبعاث المواد الضارة من محطة توليد الطاقة لكل واحدة من الطاقة الكهربائية المستجرة. يمكن الحد من مشكلة تخفيض ما ينطلق من ثاني أكسيد الكربون في منشآت الطاقة إما بالاستعاضة عن أنواع الوقود بأنواع أخرى أو برفع المردود.

من أجل الوصول إلى مردود أعلى عند تحويل الطاقة الحرارية إلى طاقة كهربائية مع تخفيض انبعاثات المواد الضارة في نفس الوقت، يجب استخدام تقانات تحويل متطورة ومواد ذات مواصفات عالية عند إنتاج عناصر (مكونات) محطة توليد الطاقة التي تتعرض للإجهادات الحرارية (مولد البخار والعنفة البخارية في محطة توليد الطاقة البخارية، حجرة الاحتراق والعنفة الغازية في منشآت الطاقة الغازية)، وهذا مرتبط بتكاليف إضافية باهظة. تسمح الحراقات الحديثة ومعدات الاحتراق بالإضافة إلى حجرات الاحتراق بتخفيض إطلاق المواد الغازية الضارة الملوثة للبيئة بشكل كبير.

يعالج هذا الكتاب تقانات الطاقة سواءً التقليدية أو البديلة، كذلك يعطي القارئ فكرة عن معدات الطاقة التي لا تزال قيد التطوير والتي ستحدد تقانة الطاقة في القرن الحادي والعشرين، وهذا ينطبق بخاصة على محطات الدارات المركبة (المشتركة). لقد استخدمت في القرن العشرين المحطات البخارية لتوليد الطاقة الكهربائية من حوامل الطاقة الأحفورية (المستحاثية) والنووية. ومنذ الآن بدأ التحول في محطات الطاقة التي تقام حديثاً إلى محطات الدارة المركبة ذات العنفات الغازية والبخارية بالاعتماد على العنفات الغازية العالية الكفاءة من الأجيال الجديدة. كما يُدعم هذا المنحى بشدة ويُوسّع مجال استخدام المنشآت المركبة ليشمل المنشآت التي تستخدم خلايا الوقود ومولدات MHD، وهكذا يتم الوصول إلى قيم للمردود تصل حتى 60 %.

أما وقود الفحم "غير النظيف" فيمكن بواسطة تحويله إلى غاز أن يصبح وقوداً نظيفاً. وسيتيم التعرض كذلك إلى عمليات التحويل إلى غاز وإلى إدخال آلات التحويل إلى غاز في محطات الدارة المركبة ذات العنفات الغازية والبخارية. تتألف محطات الدارة المركبة من العناصر المألوفة في العنفات الغازية والبخارية معاً. ولكي يتم تحقيق مردود أعظمي تستخدم أعلى قيم (بارامترات) لوسيط العمل (غازات الاحتراق، بخار الماء) في الجزء الموافق لكل من منشأة العنف الغازية والبخارية. أما مولد MHD فيحتاج إلى درجات حرارة أعلى (حتى 2700 K). ولا يمكن استخدام هذه التقانات بنجاح إلا عن طريق رفع قدرة المواد اللازم تطويرها على تحمل درجات الحرارة العالية.

يعالج هذا الكتاب كل الجوانب الفيزيائية والفنية لتقانة الطاقة التي تحافظ على البيئة، كما تمت مناقشة الوضع الراهن لمرحلة التطور بالإضافة إلى المشاكل الواجب حلها عند تطوير التقانات الحديثة وتم ربط ذلك بالجوانب الاقتصادية.

بالإضافة إلى الأساليب المألوفة في هندسة الطاقة، والطرائق المطوّرة حديثاً والتي تعتمد على استخدام الوقود الأحفوري، فقد عولج في هذا الكتاب استخدام مصادر الطاقة الجديدة في توليد الكهرباء بالإضافة إلى أساليب الوفر والحد من الهدر كأحد مصادر الطاقة. إن هذه التقانات البديلة أكثر رفقاً بالبيئة من محطات توليد الطاقة المألوفة، ولكن تكاليفها العالية تجعل استخدامها حتى الآن وللأسف محدوداً. وبحقيق نضج فني مترافق مع تخفيض التكاليف، فإنها ستلاقي في المستقبل استخداماً أوسع.

لدى معالجة التقانات المختلفة تم استعراض المبادئ الأساسية في هندسة الحرارة والجريان، كما تم وصف عمليات التركيب والتصميم المتبعة في مختلف الحالات. وهناك عدد كبير من الأمثلة التي توضح كيفية التخطيط لمحطات توليد الطاقة. أما القيم المميزة والمؤشرات (البارامترات) الترموديناميكية فهي معطاة على شكل جداول أو مخططات في الملحق.

يتوجه هذا الكتاب قبل كل شيء إلى الطلاب والمهندسين المهتمين بتقانات الطاقة المتقدمة، كذلك يمكن استخدامه ككتاب تدريسي في مواد مختلفة مثل هندسة الطاقة وهندسة طرائق معالجة المواد وهندسة البيئة.

نيكولاي خارتشينكو

برلين

---

# المحتويات

---

5	مقدمة المؤلف .....
13	1. هندسة الطاقة — مبادئ في الترموديناميك والجريانات .....
13	1.1 الطاقة والاستطاعة .....
15	2.1 القوانين الأساسية في الترموديناميك .....
21	3.1 دورة كارنو .....
25	4.1 الجريان والحنق .....
27	5.1 انتقال الحرارة في المعدات الحرارية .....
27	1.5.1 التوصيل الحراري .....
30	2.5.1 انتقال الحرارة بالحمل .....
35	3.5.1 انتقال الحرارة بالإشعاع .....
38	4.5.1 المبادلات الحرارية .....
44	6.1 أسس هندسة الجريان .....
49	2. الوقود والاحتراق .....
49	1.2 التركيب والقيمة الحرارية .....
54	2.2 حساب الاحتراق .....
54	1.2.2 العلاقات الستوكومترية (النظرية) .....
55	2.2.2 الهواء اللازم للاحتراق .....
57	3.2.2 كمية غازات الاحتراق الناتجة .....
66	3.2 درجة حرارة الاحتراق .....
68	4.2 اختبار جودة الاحتراق .....

70	5.2 الاحتراق ذو الإصدار القليل للغازات الضارة .....
73	3. المحطات البخارية .....
73	1.3 أنواع محطات الطاقة .....
76	2.3 التصميم الأساسي للمحطات البخارية (تركيبها وأجزائها) .....
84	3.3 استعادة العنفة البخارية .....
86	4.3 تحسين مردود محطات الطاقة البخارية .....
86	1.4.3 رفع مؤشرات البخار الطازج وتخفيض ضغط المكثف .....
88	2.4.3 التخميص الوسطي .....
92	3.4.3 التسخين الأولي المتجدد لماء التغذية .....
98	4.4.3 التخميص الوسطي والتسخين الأولي المتجدد لماء التغذية .....
102	5.3 استعادة الخرج والمردود الإجمالي لمحطة طاقة بخارية .....
106	6.3 الاستهلاك النوعي للوقود والحرارة في محطة طاقة بخارية .....
109	7.3 الاستهلاك الذاتي لمحطة طاقة بخارية .....
113	8.3 الطرائق المتطورة للاستفادة من الفحم .....
119	4. مولدات البخار (المراجل — الغلايات) .....
119	1.4 الأنواع .....
126	2.4 الموازنة الحرارية والمردود .....
131	3.4 الاحتراق والحراقات .....
136	4.4 مولدات البخار ذات فرشاة الوقود ذات الحركة الدوامية .....
136	1.4.4 أنواع فرشاة الوقود ذات الحركة الدوامية .....
145	2.4.4 تخفيض انبعاثات الغازات الضارة في فرشاة الوقود الدوامية .....
150	5.4 تصميم سطوح التسخين .....
150	1.5.4 الموازنة الحرارية لسطوح التسخين والاستعادة الحرارية المنتقلة .....
153	2.5.4 إشعاع الغاز والشعلة في حجرة الاحتراق .....
155	3.5.4 انتقال الحرارة على سطوح التسخين الخارجية والداخلية .....



4.5.4	انتقال الحرارة من فرشاة الوقود الدوامية إلى سطوح التسخين	158
5.5.4	تحديد السطوح الحرارية اللازمة	161
6.5.4	دراسة (تصميم) مسخن الهواء الأولي المتجدد	165
5.	العنفات البخارية، المكثفات، مسخنات الماء الأولية، وحدات ماء التبريد	171
1.5	عنفات أولير والمعادلة الأساسية	171
2.5	أنواع العنفات البخارية	174
3.5	تصميم المكثفات والمسخنات الأولية لماء التغذية	177
4.5	وحدات مياه التبريد	186
6.	تخفيض إطلاق محطات الطاقة لغازات الاحتراق الضارة	193
1.6	إطلاق غاز ثاني أكسيد الكربون CO <sub>2</sub>	193
2.6	سحب الغبار	197
3.6	سحب الكبريت	201
1.3.6	سحب الكبريت من غازات الاحتراق مع إنتاج الجص	202
2.3.6	سحب الكبريت من غازات الاحتراق مع إنتاج الكبريت	204
4.6	سحب النتروجين (الآزوت)	206
1.4.6	منشأة سحب الآزوت (DENOX) من غازات الاحتراق	209
5.6	السحب المتزامن للكبريت والآزوت	213
7.	محطات العنفات الغازية	217
1.7	دورة عمل جول	217
2.7	الكفاءة (الفعالية)	224
3.7	رفع الاستطاعة الجاهزة	227
1.3.7	رفع نسبة الضغط ودرجة حرارة الدخول إلى العنفة الغازية	227
2.3.7	التسخين الأولي المتجدد للهواء	230
3.3.7	التبريد الوسطي والتسخين الوسطي	236
4.7	أجزاء المحطة	239

1.4.7	مجموعة العنف (العنف الغازية + المولدة الكهربائية)	239
2.4.7	حجرة الاحتراق والحرق اللذان يصدران قدرًا ضئيلاً من	
241	الغازات الضارة	
5.7	مقارنة بين محطات الطاقة ذات العنفات الغازية والمحطات البخارية	249
8.	محطات الدارة المركبة	249
1.8	المحطة المركبة بدون إحراق وقود إضافي لتوليد البخار	249
2.8	محطة الدارة المركبة مع إحراق وقود إضافي لتوليد البخار	258
3.8	التواؤم مع استخدام الفحم الذي تم تحويله إلى غاز (المُغَوَّر)	263
1.3.8	تحويل الفحم إلى غاز (التغويز)	263
2.3.8	جهاز التحويل إلى غاز (التغويز)	265
3.3.8	محطات الدارة المركبة مع استعمال الغاز الناتج عن	
270	تحويل الكربون إلى غاز	
9.	محطات التوليد المشترك للكهرباء والحرارة	275
1.9	الأرقام المميزة لمحطات التوليد المشترك للكهرباء والحرارة	275
2.9	محطات التدفئة وتوليد الكهرباء ذات الضغط المقابل	
278	وحدات سحب البخار وتكثيفه	
3.9	تصميم محطة التدفئة وتوليد الكهرباء	282
4.9	مجموعة التدفئة وتوليد الكهرباء اللامركزية	289
1.4.9	مجموعة التدفئة وتوليد الكهرباء اللامركزية التي تستخدم محركات	
289	الاحتراق الداخلي	
2.4.9	كفاءة (فعالية) محركات الاحتراق الداخلي في مجموعات التدفئة	
292	وتوليد الكهرباء	
3.4.9	الموازنة الحرارية واستهلاك الوقود لمجموعة التدفئة وتوليد الكهرباء	298
5.9	محطات التوليد المشترك للكهرباء والحرارة التي تستخدم العنفات الغازية	300
6.9	وفر الطاقة واقتصادية استخدام منشأة التدفئة وتوليد الكهرباء	304

10.	المنشآت الشمسية الحرارية والكهروضوئية (الفوتوفولطية)	309
1.10	الإشعاع الشمسي، المجمعات الشمسية، المعدات الشمسية الحرارية	309
2.10	المنشآت الحرارية الشمسية لتوليد الكهرباء	318
3.10	المنشآت الكهروضوئية Photovoltaics	332
1.3.10	الخلايا الشمسية، الجملة الشمسية والمولد الشمسي	332
2.3.10	المنحني المميز والمردود لجملة شمسية كهروضوئية	337
3.3.10	بنية وعناصر الوحدات الكهروضوئية (PV-Systems)	343
4.3.10	تصميم المنشأة الضوئية الكهروضوئية (PV)	347
5.3.10	الاستخدام والاعتبارات الاقتصادية	349
11.	الطاقة المائية، طاقة الرياح، طاقة باطن الأرض الحرارية، الكتلة الحيوية	355
1.11	محطات التوليد الكهرومائية	355
2.11	محطات توليد الكهرباء باستخدام طاقة الرياح (محطات الرياح)	361
3.11	طاقة باطن الأرض الحرارية (الجيوحرارية)	370
4.11	طاقة الأمواج والمد والجزر	372
5.11	استخدام طاقة الكتلة الحيوية	373
12.	تخزين الطاقة	377
1.12	طرائق تخزين الطاقة ومعايير تقويمها	377
2.12	خزانات الطاقة الميكانيكية والكهربائية	379
1.2.12	التخزين بالحدافة، أحواض التخزين بالضخ،	
379	التخزين بالهواء المضغوط	
2.2.12	تخزين الطاقة الكهروكيميائي	383
3.12	تخزين الطاقة الحرارية	385
4.12	خزانات البخار	396
13.	استخدام الطاقة بشكل اقتصادي وفعال	399
1.13	المحافظة على مصادر الطاقة والبيئة	399

400	2.13 تحسين العزل الحراري في الأبنية والأنابيب .....
407	3.13 أجهزة التدفئة الاقتصادية .....
410	4.13 استرجاع الحرارة والمضخات الحرارية .....
414	5.13 توليد الكهرباء في آلات تمدد الغاز .....
	<b>14. الهيدروجين، خلايا الوقود، المولدات الكهربائية، مولدات</b>
419	(MHD)، مفاعل الاندماج النووي .....
419	1.14 إنتاج الهيدروجين واستخدامه كطاقة .....
423	2.14 خلايا الوقود .....
427	1.2.14 أنواع خلايا الوقود .....
430	2.2.14 فكرة ومفهوم محطة الطاقة ذات خلايا الوقود .....
432	3.14 تحويل الطاقة الحراري — الكهربائي .....
435	4.14 مولّد MHD (المولّد الهيدروديناميكي المغناطيسي) .....
439	5.14 الاندماج الحراري النووي المضبوط .....
445	الملاحق .....
459	تعريف الرموز .....
465	تثبيت المراجع .....
467	ملحق أنجدي بالمصطلحات الفنية .....

# 1 هندسة الطاقة . مبادئ في الترموديناميك

## والجريانات

### 1.1 الطاقة والاستطاعة

#### أشكال الطاقة

! الطاقة هي القدرة على إنجاز عمل.

تظهر الطاقة في أشكال مختلفة مثل الطاقة الحركية  $E_k$  أو الكامنة  $E_p$  أو الداخلية  $U$ ، أو على شكل حرارة  $Q$  أو عمل ميكانيكي  $W$  أو طاقة كهربائية  $E_{el}$ ، أو طاقة ارتباط الذرات  $E$  أو طاقة التفاعلات الكيميائية  $\Delta E_R \dots$  إلخ.

يمكن التعبير عن العمل الميكانيكي بالعلاقة التالية:

$$W = F \cdot s \text{ [J]} \quad (1.1)$$

حيث:  $F$  القوة مقدرة بالنيوتن [N]

$s$  طول المسار في اتجاه تأثير القوة مقدراً بالمتر [m].

يستخدم الجول واحدة أساسية لقياس الطاقة و  $1J = 1N \cdot 1m$ . كما يمكن قياس الطاقة بالكيلواط الساعي. أما التحويلات بين J و kWh فهي:  $1 MJ = 0.278 kWh$  و  $1 kWh = 3.6 MJ$ .

من أجل الكميات الكبيرة من الطاقة تستخدم الوحدات التالية:

$$10^{15} J \text{ (Pentajoule)} = 1PJ \text{ بنتاجول} \quad 10^{18} J \text{ (Exajoule)} = 1EJ \text{ إكساجول}$$

$$10^9 J \text{ (Gegajoule)} = 1GJ \text{ جيغاجول} \quad 10^{12} J \text{ (Terajoule)} = 1TJ \text{ تيراجول}$$

$$10^3 J \text{ (Kilojoule)} = 1kJ \text{ كيلوجول} \quad 10^6 J \text{ (Megajoule)} = 1MJ \text{ ميغاجول}$$

وتستخدم أحياناً واحدة تدعى واحدة الفحم المكافئ (TCE) حيث  $1TCE = 29308 MJ$  وكذلك واحدة تدعى واحدة النفط المكافئ (TOE) حيث  $1TOE = 41868 MJ$ .

الطاقة الحركية هي:

$$(2.1) \quad E_k = \frac{1}{2} m w^2 \quad [J]$$

حيث:  $m$  الكتلة بالـ [kg]

$w$  السرعة [m/s].

أما الطاقة الكامنة فهي ترتبط بالموقع وتحسب من العلاقة:

$$(3.1) \quad E_p = g m H \quad [J]$$

حيث:  $g$  التسارع الأرضي [ $m^2/s$ ]

$H$  الارتفاع عن مستو مرجعي [m].

عند استخراج الطاقة أو تحويلها أو استخدامها يمكن التمييز بين مصادر الطاقة التقليدية أو البديلة وكذلك بين كل من الطاقة المفيدة الأولية أو الثانوية أو النهائية أو المفيدة. من مصادر الطاقة التقليدية هناك أنواع الوقود الأحفوري (المستحاثي) مثل الفحم، التورف (فحم المستنقعات)، الخشب، الغاز الطبيعي والنفط. وهناك أنواع من الوقود تنتج صناعياً مثل غاز الفحم، الغاز المُعَمَّع، فحم الكوك، هذا بالإضافة إلى النفايات القابلة للحرق. أما مصادر الطاقة المتجددة أو البديلة (غير التقليدية) فهي الطاقة الشمسية، طاقة الرياح، طاقة المياه، الطاقة الحرارية لجوف الأرض وطاقة الكتلة الحيوية. الطاقة الأولية هي طاقة منبع الطاقة دون تحويل، مثل الطاقة الشمسية والطاقة الكيميائية للوقود المستحاثي، أما الطاقة الثانوية فهي الطاقة بعد تحويلها إلى شكل آخر مثل التيار الكهربائي، القوة، الطاقة الحرارية، وهي تحسب بالاستعانة بمردود منشأة أو جهاز تحويل الطاقة (محطة الطاقة، محرك الاحتراق، مرجل التسخين). الطاقة النهائية هي الطاقة المتاحة للمستهلك، وتساوي الطاقة الثانوية مطروحاً منها ضياعات الطاقة بفعل النقل والتوزيع. الطاقة المفيدة هي الطاقة التي تستخدم لغرض معين مفيد.

الجدول 1.1: الطاقة والاستهلاك والمدة التي تكفي من أجلها أنواع الوقود المستحاثي في العالم

الوقود	الاحتياطي بمليارات الأطنان من الفحم المكافئ	الاستهلاك بمليارات الأطنان من الفحم المكافئ	المدة التي يكفي لها بالأعوام
الفحم	1031.6	4.6	224
النفط	197.6	4.4	45
الغاز الطبيعي	196.6	2.6	65

إن احتياطي العالم من حوامل الطاقة ذات المصدر المستحاثي محدود، وبين الجدول (1.1) معطيات عن احتياطات الطاقة المؤكدة وكذلك الاستهلاك والمدة التي يكفي لها كل من الفحم والنفط والغاز الطبيعي.

### الاستطاعة

هي الطاقة في واحدة الزمن

$$(4.1) \quad P = W / t \quad [W]$$

واحدة الاستطاعة هي الواط و 1 W يساوي 1 J/s. كذلك تستعمل وحدات أخرى للاستطاعة من مضاعفات الواط هي:  $1kW = 10^3 W$ ،  $1MW = 10^6 W$ ،  $1GW = 10^9 W$ .

## 2.1 القوانين الأساسية في الترموديناميك

### القانون الأول في الترموديناميك

تجري عمليات تحويل الطاقة في جمل (منظومات) ترموديناميكية مغلقة أو مفتوحة، وينص القانون الأول في الترموديناميك على أنه من أجل جملة ترموديناميكية مغلقة يتحقق ما يلي:

$$(5.1) \quad \begin{aligned} \delta q &= \delta u + \delta w \quad [J/kg] \\ Q &= \Delta U + W \quad [J] \end{aligned}$$

حيث:  $Q$  كمية الطاقة الحرارية المقدمة إلى الجملة أو المطروحة منها

$\Delta U$  تغير الطاقة الداخلية للجملة

$W$  العمل الناتج عن تغير الحجم.

ويقبل في كثير من الأحيان، عند إجراء تحليل ترموديناميكي بأن وسيط العمل يتصرف كما لو أنه غاز مثالي. ويمكن اعتبار معظم الغازات عند ضغوط معتدلة ودرجات حرارة عالية بمثابة غازات مثالية، أي عبارة عن وسيط ذي جزيئات كتلة ولكن ليس لها حجم، ولا توجد بينها قوى تجاذب. يبد أن هذا النموذج (أي الغازات الكاملة) لا ينطبق على بخار الماء ووسائط العمل البخارية. يمكن حساب تغير الطاقة الداخلية لغاز مثالي من العلاقة:

$$(6.1) \quad \begin{aligned} \delta u &= C_v \delta T \quad [J/kg] \\ \Delta U &= m C_v (T_2 - T_1) \quad [J] \end{aligned}$$

حيث:  $C_p$  السعة الحرارية بثبوت الحجم [J/kg K]

$T$  درجة الحرارة [K]، والدليلان 1 و2 يشيران إلى الحالة الأولى والنهائية على التوالي.  
من أجل الحرارة المضافة أو المطروحة يمكن كتابة المعادلة التالية بالشكل التفاضلي:

$$(7.1) \quad \delta Q = m T \delta s \text{ [J]} \quad \text{أو} \quad \delta q = T \delta s \text{ [J/kg]}$$

وبطريقة مماثلة فإن العمل الناتج عن تغير الحجم:

$$(8.1) \quad \delta W = m dw = p \delta V \text{ [J]} \quad \text{أو} \quad \delta w = p \delta v \text{ [J/kg]}$$

حيث:  $m$  الكتلة [kg].

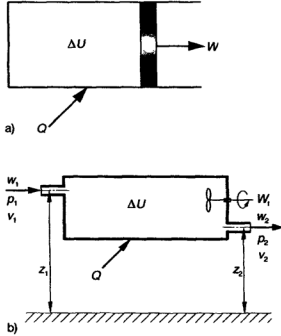
$T$  درجة الحرارة [K].

$s$  الانتروبي النوعي لوسيط العمل [J/kg K].

$p$  الضغط [Pa].

$v$  الحجم النوعي لوسيط العمل [m³/kg].

$V$  حجم وسيط العمل [m³].



الشكل 1.1 : (a) جملة ترموديناميكية مغلقة (b) جملة مفتوحة.

بمعاملة المعادلتين (7.1) و(8.1) تنتج الحرارة  $Q$  والعمل  $W$  من أجل عملية ترموديناميكية، وهما تابعا لتغيرات حالة وسيط العمل. لحساب الحرارة المضافة أو المطروحة في عملية ايزوبارية (ثابتة الضغط) وباستخدام غاز مثالي يمكن مثلاً كتابة:



$$(9.1) \quad Q = m C_p (T_2 - T_1) \quad [J]$$

حيث:  $C_p$  السعة الحرارية للغاز بثبوت الضغط [J/kg K]. الدليلان 1 و 2 يشيران إلى حالة الجملة في البداية والنهاية.

يمكن بطريقة مماثلة أيضاً حساب العمل في العملية الايزوبارية (بثبوت الضغط):

$$(10.1) \quad W = m p (v_2 - v_1) = p (V_2 - V_1) \quad [J]$$

ينص القانون الأول في الترموديناميك من أجل جملة ترموديناميكية مفتوحة (كما في الشكل b.1.1) يمر عبرها وسيط عمل، على ما يلي:

$$(11.1) \quad Q = \Delta H + \Delta E_k + \Delta E_p + W_t \quad [J]$$

حيث:  $Q$  الحرارة المضافة أو المطروحة.

$\Delta E_p, \Delta E_k$  تغير الطاقة الحركية والكامنة للوسيط العامل

$W_t$  العمل المحرك (يختلف عن العمل الذي يسببه تغير الحجم  $p dv$ ).

بالتعويض عن كل حد بقيمته في المعادلة (11.1) نجد:

$$(12.1) \quad Q = \Delta H + m (w_2^2 - w_1^2)/2 + m g (z_2 - z_1) + W_t \quad [J]$$

حيث:  $m$  الكتلة [kg].

$w$  سرعة الجريان [m/s].

$g$  التسارع الأرضي [m/s<sup>2</sup>].

$z$  موقع المقطع بالنسبة لمسكن مرجع، الدليلان 1 و 2 يشيران إلى مقطعي الدخول والخروج.

أما تغير الإنتالي لغاز مثالي فهو:

$$(13.1) \quad \Delta H = H_2 - H_1 = m c_p (T_2 - T_1) \quad [J]$$

### 1.1 مثال

ما هي قيمة العمل الناتج عن تغير الحجم، تغير الطاقة الداخلية، تغير الانتالبي لـ 12 kg هواء عندما تُضاف كمية 3.618 MJ حرارة بثبوت الضغط الذي قيمته 5 bar.

\* المترجم .

السعة الحرارية بثبوت الضغط للهواء تبلغ 1.005 kJ/kg، ثابت الغاز للهواء  $R = 0.287 \text{ kJ/kg K}$ .

**الحل:**

1. تغير درجة الحرارة

$$\Delta T = T_2 - T_1 = Q / m c_p$$

$$= 3618 \text{ kJ} / 12 \text{ kg} \times 1.005 \text{ kJ/kg K} = 300 \text{ K}$$

2. العمل الناتج عن تغير الحجم

$$W = p (V_2 - V_1) = m R (T_2 - T_1)$$

$$= 12 \text{ kg} \times 0.287 \text{ kJ/kg K} = 1033.2 \text{ kJ}$$

3. تغير الطاقة الداخلية للهواء: حسب القانون الأول في الترموديناميك

$$\Delta U = Q - W$$

$$= 3618 \text{ kJ} - 1033.2 \text{ kJ} = 2584.8 \text{ kJ}$$

4. في التحول الايزوباري يكون تغير الإنتالبي للهواء مساوياً للطاقة المضافة:

$$\Delta H = Q = 3618 \text{ kJ}$$

وبحسب العمل المحرك بشكل تفاضلي كما يلي:

$$\delta w_t = -v \delta p \text{ in J/kg}$$

$$(14.1) \quad \delta W_t = -m \delta w_t = -V \delta p \quad [\text{J}] \quad \text{أو:}$$

مكاملة المعادلة (14.1) ينتج العمل المحرك لعملية ترموديناميكية. فمثلاً من أجل تمدد ايزونتوربي للغاز مثالي ضمن عنققة غازية يمكن أن نكتب:

$$(15.1) \quad W_t = k (p_1 V_1 - p_2 V_2) / (k - 1) \quad [\text{J}]$$

حيث:  $k$  أس الايزونتري (يساوي 1.4 من أجل الهواء).

**القانون الأول في الترموديناميك من أجل دورات العمل**

يتم في الآلات الحرارية تحويل الحرارة إلى عمل، ومن هذه الآلات العنفات الغازية والبخارية ومحركات الاحتراق. يجري تحليل عمليات الطاقة في هذا الآلات بناءً على القوانين الأساسية للترموديناميك. وتعمل الآلة الحرارية عادة وفق دورة عمل محددة. يتم في جزء من دورة العمل إضافة الحرارة ( $Q_p$ ) من مصدر حراري ذي درجة حرارة عالية إلى وسيط العمل (مثلاً بخار الماء،

غازات الاحتراق) ويتحول جزء من الحرارة المضافة إلى عمل مفيد، أما الباقي ( $Q_R$ ) فيطرح إلى الوسط الخارجي (ماء التبريد، الهواء الخارجي) ويقع مجال درجات الحرارة بين  $T_{\min}$  و  $T_{\max}$ . فمثلاً تتألف دورة عنقة غازية من انضغاط أدياباتي (كظيم) وإضافة للحرارة بثبوت الضغط ثم تمدد كظيم وأخيراً طرح للحرارة بثبوت الضغط.

يكون تغير الطاقة الداخلية لوسيط العمل من أجل دورة عمل معدوماً، ولذلك ينص القانون الأول في الترموديناميك من أجل دورة عمل على ما يلي:

$$(16.1) \quad W_u = Q_u$$

حيث العمل المفيد:

$$(17.1) \quad W_u = W_{\exp} - W_{\text{comp}}$$

والحرارة المفيدة:

$$(18.1) \quad Q_u = Q_s - Q_R$$

حيث:  $W_{\exp}$  عمل التمدد،  $W_{\text{comp}}$  عمل الانضغاط،

$Q_s$  الحرارة المضافة،  $Q_R$  الحرارة المطروحة.

المرودود الحراري للدورة عمل معينة هو نسبة العمل المفيد إلى الحرارة المضافة:

$$(19.1) \quad \eta_{\text{th}} = W_u / Q_s$$

### القانون الثاني في الترموديناميك

ينص القانون الثاني:

على أن الإنتروبي  $S$  لجملة كظيمة مغلقة لا يمكن أن يتناقص أبداً، حيث يبقى ثابتاً في العمليات العكوسة، ويزداد في العمليات غير العكوسة:

$$(20.1) \quad \Delta S_{\text{ad}} \geq 0$$

وبحسب القانون الثاني في الترموديناميك فإن جزءاً فقط من الحرارة المضافة يتحول إلى عمل مفيد.

تكون الطاقة المكتسبة من أجل جملة ما أعظمية إذا أوصلت الجملة إلى حالة مماثلة للوسط الخارجي بعملية عكوسة.

يمكن وصف قدرة جملة على تقديم العمل عن طريق ما يسمى بـ "الإكسرجي" وهو يساوي العمل المحرك الأعظمي الذي تستطيع جملة معينة أن تقدمه عند شروط محيطية محددة .

تتألف الطاقة الحرارية من الإكسرجي  $E_o$  والطاقة الضائعة أثناء عملية تحويل الطاقة  $B_o$ :

$$Q = E_o + B_o \quad [J] \quad (21.1)$$

يمكن حساب الإكسرجي من العلاقة:

$$E_o = Q (1 - T_{amb} / T) \quad (22.1)$$

حيث:  $T$  درجة حرارة الجملة،  $T_{amb}$  درجة حرارة الوسط المحيط [K].

ويمكن تحويل الإكسرجي فقط إلى عمل، ولا يمكن للطاقة الحرارية للوسط المحيط أن تقوم بإنجاز أي عمل.

تكتب الطاقة النوعية المنسوبة إلى 1 kg من الوسط العامل كمايلي:

$$e = h - T_{amb} \cdot s \quad [J/kg] \quad (23.1)$$

حيث  $h$  الانتالبي النوعي،  $s$  الانتروبي النوعي

$T_{amb}$  درجة حرارة الوسط المحيط.

يُعطى الضياع في العمل المحرك النوعي عند إجراء تغير غير عكوس في الحالة لجملة بالمقارنة مع شروط محيطية معينة كما يلي:

$$w_{t,L} = \Delta e = h_1 - h_2 - T_{amb} (s_1 - s_2) \quad [kJ/kg] \quad (24.1)$$

ومردود الإكسرجي لعملية ما هو كما يلي:

$$\eta_{ex} = 1 - E_L / E_{used} \quad (25.1)$$

حيث:  $E_L$  ضياع الإكسرجي [J]

$E_{used}$  الإكسرجي المستخدم [J].

يمكن حساب ضياع الإكسرجي في بعض التطبيقات العملية كمايلي:

أ - عند انتقال الحرارة من وسط درجة حرارته  $T_1$  إلى وسط آخر درجة حرارته  $T_2$  (عند درجة حرارة للوسط المحيط  $T_{amb}$ ):

$$E_L = T_{amb} \cdot Q (T_1 - T_2) / T_1 T_2 \quad (26.1)$$

\* Exergy: الإكسرجي: هو الجزء من الطاقة الذي يتحول فعلاً إلى الشكل الآخر المطلوب للطاقة (عند تحويل الطاقة من شكل إلى آخر (المترجم).

ب - عند مزج غازين مثاليين (كتلتهما  $m_1$  و  $m_2$ ، ثابتا الغازين  $R_1$ ،  $R_2$ ، الضغط الإجمالي  $p$  والضغط الجزئية  $p_1$ ،  $p_2$ ):

$$(27.1) \quad E_L = T_{amb} \cdot (m_1 R_1 \ln p / p_1 + m_2 R_2 \ln p / p_2)$$

ج - بفعل انخفاض الضغط من  $p_1$  إلى  $p_2$  عند تعريض غاز مثالي للاحتكاك:

$$(28.1) \quad E_L = m R T_{amb} \ln p_1 / p_2$$

## 2.1 مثال

ما هي قيمة الإكسر جي النوعية لبخار الماء عند ضغط 30 bar ودرجة حرارة 500 °C إذا كانت درجة حرارة المحيط 20 °C.  $T_{amb}$

*الحل:*

من الجداول نجد أنه عند  $p = 30 \text{ bar}$  و  $T = 500^\circ\text{C}$  يكون  $h = 3455 \text{ kJ/kg}$  و  $s = 7.245 \text{ kJ/kg K}$  وبالنسبة بالإكسر جي النوعية:

$$e = h - T_{amb} s$$

$$= 3455 \text{ kJ/kg} - 293 \text{ K} \times 7.245 \text{ kJ/kg K} = 1332.2 \text{ kJ/kg}$$

## 3.1 مثال

ما هي قيمة ضياع العمل النوعي بفعل تشتت الطاقة في مكثف عنفة بخارية عندما تكون مواصفات البخار للعنفة كما يلي:  $p = 4 \text{ kPa}$  و  $x = 0.87$ ؟ درجة حرارة الوسط المحيط 20 °C.

*الحل:*

(a) عند  $p = 4 \text{ kPa}$  و  $x = 0.87$  لبخار الماء فإن  $h_1 = 2237.5 \text{ kJ/kg}$  و  $s_1 = 7.435 \text{ kJ/kg}$  وللبخار الذي تحول إلى ماء متكاثف  $s_2 = 0.4225 \text{ kJ/kg K}$  و  $h_2 = 121.41 \text{ kJ/kg}$ .  
(b) ضياع العمل النوعي بفعل تشتت الطاقة:

$$W_{iL} = h_1 - h_2 - T_{amb} (s_1 - s_2)$$

$$= 2237.5 - 121.41 - 293 (7.435 - 0.4225) = 61.43 \text{ kJ/kg}$$

## 3.1 دورة كارنو

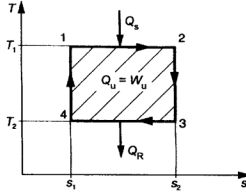
تم دورة كارنو المثالية بين درجتَي الحرارة  $T_1$  (مصدر الحرارة) و  $T_2$  (جهة تصريف الحرارة) بدون ضياعات حرارية وتتضمن التحولات العكوسة التالية للغاز المثالي:

(a) تمدد بثبوت درجة الحرارة 1 - 2

(b) تمدد بثبوت الايزونتروبي 2 - 3

(c) انضغاط بثبوت درجة الحرارة 3 - 4

(d) انضغاط بثبوت الايزونتروبي 4 - 1



الشكل 2.1 : دورة كارنو ذات الاتجاه نحو اليمين.

من أجل التمدد بثبوت درجة الحرارة 1 - 2 فإن:

$$(29.1) \quad T_1 = \text{const}, \quad p_1 v_1 = p_2 v_2$$

حيث:  $p$  الضغط [Pa]

$v$  الحجم النوعي  $[m^3/kg]$ .

وبالنسبة للحرارة المضافة  $Q_s$  وعمل التمدد  $W_{12}$  فإنه:

$$(30.1) \quad Q_s = m \cdot T_1 (s_2 - s_1) \quad [J]$$

$$(31.1) \quad W_{12} = m R T_1 \ln (p_1 / p_2) = m R T_1 \ln (v_2 / v_1) \quad [J]$$

حيث:  $T$  درجة حرارة الغاز

$s$  الانتروبي النوعي للغاز  $[J/kg \cdot K]$

$R$  ثابت الغاز  $[J/kg \cdot K]$

$p$  الضغط [Pa]

$v$  الحجم النوعي للغاز  $[m^3/kg]$ .

الدليلان 1 و 2 يشيران إلى حالة الغاز قبل وبعد التمدد الإيزونترومي.

أما من أجل التمدد الايزونترسي 2 - 3 فنطبق على عوامل الحالة عند النقطة 2 قبل التمدد (حيث يكون الضغط  $p_2$ ، درجة الحرارة  $T_1$ ، الحجم النوعي  $v_2$ ) وعند 3 بعد التمدد (حيث تسود العلاقات التالية:  $v_3$ ،  $T_2$ ،  $p_3$ )

$$(32.1) \quad p_2 v_2^k = p_3 v_3^k, T_1 v_2^{k-1} = T_2 v_3^{k-1} \text{ و } T_1 / p_2^{(k-1)/k} = T_2 / p_3^{(k-1)/k}$$

وينتج عمل التمدد  $W_{23}$

$$(33.1) \quad W_{23} = m c_v (T_1 - T_2) = [k / (k - 1)] m R (T_1 - T_2)$$

$$= [k / (k - 1)] (p_2 V_2 - p_3 V_3) \quad [J]$$

من أجل الانضغاط الإيزونترسي 3 - 4:

$$(34.1) \quad p_3 v_3 = p_4 v_4 \text{ و } T_2 = \text{const}$$

أما الحرارة المطروحة  $Q_R$  وعمل الانضغاط  $W_{34}$  فيحسبان كما يلي:

$$(35.1) \quad Q_R = m T_2 (s_2 - s_1) \quad [J]$$

$$(36.1) \quad W_{34} = m R T_2 \ln (p_4 / p_3) = m R T_2 \ln (v_3 / v_4) \quad [J]$$

وللانضغاط الايزونترسي 1 - 4:

$$(37.1) \quad p_4 v_4^k = p_1 v_1^k, T_2 v_4^{k-1} = T_1 v_1^{k-1} \text{ و } T_2 / p_4^{(k-1)/k} = T_1 / p_1^{(k-1)/k}$$

عمل الانضغاط  $W_{41}$

$$(38.1) \quad W_{41} = m c_v (T_1 - T_2) = [k / (k - 1)] m R (T_1 - T_2) = [k / (k - 1)] (p_1 v_1 - p_4 v_4) \quad [J]$$

أما الحرارة المفيدة المتحولة فهي:

$$(39.1) \quad Q_u = Q_s - Q_R = m(T_1 - T_2) (s_2 - s_1) \quad [J]$$

عمل التمدد وعمل الانضغاط لدورة العمل:

$$(40.1) \quad W_{\text{comp}} = W_{34} + W_{41} \quad [J] \text{ و } W_{\text{exp}} = W_{12} + W_{23}$$

الفرق بين  $W_{\text{comp}}$  و  $W_{\text{exp}}$  هو العمل المفيد لدورة العمل:

$$(41.1) \quad W_u = m R (T_2 - T_1) \ln (p_1 / p_2) = m R (T_1 - T_2) \ln (v_2 / v_1) \quad [J]$$

والعمل المفيد  $W_u$  لدورة العمل مساوٍ للحرارة المفيدة  $Q_u$ .

المردود الحراري لدورة كارنو

يُعبّر عن جودة تحوّل الحرارة إلى عمل عن طريق المردود الحراري للدورة، وهو نسبة العمل المفيد  $W_u$  إلى الحرارة المضافة  $Q_s$ ، ويمكن كتابة مردود كارنو بالشكل:

(42.1)

$$\eta_{th,c} = W_u / Q_s = 1 - Q_R / Q_s = 1 - T_2 / T_1$$

تزداد قيمة  $\eta_{th,c}$  بارتفاع درجة الحرارة  $T_1$  للطاقة الحرارية المقدمة للحملة وبانخفاض درجة الحرارة  $T_2$  لكمية الحرارة المطروحة من الحملة.

إذاً: تصلح دورة كارنو كعملية مثالية للمقارنة وذلك في الآلات الحرارية، وهي تملك المردود الحراري النظري الأقصى في مجال مُعطى لدرجات الحرارة يقع بين  $T_1$  و  $T_2$ .

#### مثال 4.1

ما هو المردود الحراري لدورة كارنو في المجال الحراري  $T_1 = 1800 \text{ K}$  و  $T_2 = 300 \text{ K}$   
الحل:

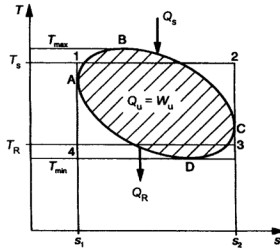
المردود الحراري لدورة كارنو

$$\eta_{th,c} = 1 - T_2 / T_1 = 1 - 300 / 1800 = 0.833$$

الاستعاضة عن دورة ما بدورة كارنو

يمكن الاستعاضة عن أية دورة تستخدم لتحويل الحرارة إلى عمل (كتلك المبينة في الشكل 3.1 على المخطط T-s) بدورة كارنو 1234 تحوي نفس عمليتي تغير الانتروبي ونفس عمليتي إضافة وطرح الحرارة ( $Q_R$ ,  $Q_s$ ). أما درجتا الحرارة الوسطيتان  $T_B$ ,  $T_C$  لعملية ABCD فهي تحسب كما يلي:

$$(43.1) \quad T_R = Q_R / m \Delta S \quad [K], \quad T_s = Q_s / m \Delta S$$



الشكل 3.1: الاستعاضة عن دورة عمل ما بدورة كارنو.



إن المردود الحراري لدورة عمل ما مساوٍ للمردود الحراري لدورة كارنو من أجل الدورة .ABCD.

$$(44.1) \quad \eta_{th,ABCD} = 1 - T_R / T_S$$

بما أن  $T_S$  أخفض من  $T_{max}$  و  $T_R$  أعلى من  $T_{min}$  (درجة الحرارة الأعظمية والأصغرية للدورة ABCD) فإن  $\eta_{th,ABCD}$  أدنى من المردود الحراري لدورة كارنو التي تقع بين الدرجتين  $T_{max}$  و  $T_{min}$ . من لمعادلة (44.1) ينتج المبدأ الترموديناميكي لتحسين الكسب (المردود) لأية آلة حرارية.

لزيادة المردود الحراري لآلة حرارية يجب رفع درجة الحرارة الوسطية للعملية التي تتم عندها إضافة الحرارة وتخفيض درجة الحرارة الوسطية للعملية التي يتم عندها طرح الحرارة .

## 4.1 الجريان والخنق

### الجريان عبر فوهة

تستخدم الفوهات لتسريع جريان غاز أو بخار كما هو الحال في العنفات مثلاً. في الفوهة المديبة (المتناقصة المقطع) كما في الشكل (a4.1) يحدث تمدد كظيم للغاز أو البخار. بإهمال السرعة عند الدخول  $V_1$  يمكن حساب سرعة الخروج للغاز أو البخار كما يلي:

$$(45.1) \quad w_2 = \sqrt{2\Delta h} \quad [m/s]$$

حيث:  $\Delta h$  هبوط الإنتالسي في الفوهة [J/kg]

من أجل الغازات المثالية فإن  $\Delta T = c_p \cdot \Delta T$  ولذلك

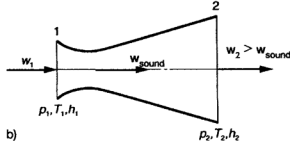
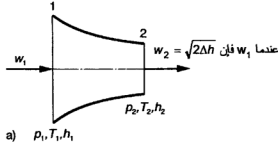
$$(46.1) \quad \begin{aligned} w_2 &= \sqrt{2c_p(T_1 - T_2)} = \sqrt{2[k/(k-1)]R(T_1 - T_2)} \\ &= \sqrt{2[k/(k-1)]RT_1 \left[1 - (p_2/p_1)^{k-1/k}\right]} \end{aligned}$$

حيث:  $c_p$  السعة الحرارية للغاز عند ثبوت الضغط [J/kgK]

$T_2, T_1$  درجتا الحرارة قبل وبعد الفوهة [K]

$k$  أسس التحول الايزوتروبي

$R$  ثابت الغاز [J/Kg K]



الشكل 4.1 : الفوهات (a) فوهة بسيطة، (b) فوهة لافال Laval، 1 مقطع الدخول، 2 مقطع الخروج.

في فوهة لافال Laval-Nozzle المبينة في الشكل (b4.1) المؤلفة من جزء متناقص المقطع وجزء آخر متزايد المقطع يتم الوصول إلى سرعة تفوق سرعة الصوت. عند المقطع الأصغري للفوهة هذه وعند درجة حرارة معينة  $T$  يتم الوصول إلى سرعة الصوت:

$$w_{\text{sound}} = \sqrt{kRT} \quad (47.1)$$

ويجري حساب سرعة الخروج  $v_2$  عن طريق العلاقة 45-1 أو 47-1.

### مثال 5.1

يلغ هبوط الإنتالبي في فوهة لافال لمرحلة في عنفة بخارية 180 kJ/kg، ما هي سرعة خروج البخار من هذه الفوهة؟

الحل:

$$w = \sqrt{2\Delta h} = \sqrt{2 \cdot 1.8 \cdot 10^5 \text{ J/kg}} = 600 \text{ m/s} \quad \text{سرعة خروج البخار:}$$

عملية الحثق

هي عملية تمدد عكوس للغاز أو البخار عن طريق مروره عبر عائق (حاجز، صمام، أنبوب متناقص المقطع) ويرافق ذلك هبوط للضغط. عند حثق الغازات المثالية يبقى كل من الانتالبي ودرجة الحرارة ثابتين أي أن:

(48.1)

$$h_1 = h_2 \text{ و } T_1 = T_2$$

عند خنق بخار الماء يبقى الاتثالي ثابتاً، أما درجة الحرارة فإنها تهبط، أي:

(49.1)

$$h_1 = h_2 \text{ و } t_2 < t_1$$

تستخدم صمامات الخنق لتخفيض ضغط وسيط ما مثل بخار الماء.

### 6.1 مثال

ما هي درجة الحرارة للبخار بعد صمام خنق عندما تكون مواصفاته قبل الصمام  $p_1 = 2 \text{ Mpa}$ ,

$$t_1 = 340^\circ\text{C} \text{ وبعد الصمام } p_2 = 0.8 \text{ bar}?$$

**الحل:**

اتثالي البخار الذي يبقى ثابتاً بعد الخنق هو  $h_1 = 3100 \text{ kJ/kg}$  (وذلك عند  $p_1 = 2 \text{ MPa}$ ،  $t_1 = 340^\circ\text{C}$ ). من مخطط h-s للبخار ومن أجل عملية ثابتة الاتثالي وعند الضغط  $0.8 \text{ bar}$  يمكن استنتاج درجة الحرارة  $t_2 = 312^\circ\text{C}$ .

## 5.1 انتقال الحرارة في المعدات الحرارية

### 1.5.1 التوصيل الحراري

#### جدار مستو

يتم انتقال الحرارة بشكل عام عن طريق: التوصيل، الحمل، الإشعاع. وينشأ هذا بفعل فرق درجات الحرارة في الجسم أو المائع، حيث أن الحرارة تنتقل من الموقع ذي درجة الحرارة الأعلى إلى الموقع ذي درجة الحرارة الأقل.

يُوصف تغير درجة الحرارة في حيز معين أو جسم عن طريق حقل درجة الحرارة الأحادي أو الثنائي أو الثلاثي الأبعاد، ويُعطى تغير درجة الحرارة المكافئ بدلالة "تدرج درجة الحرارة" [gradient]. يكون هناك حقل درجة حرارة مستقر عندما تكون درجة الحرارة غير مرتبطة بالزمن.

عند انتقال الحرارة بالتوصيل تحدث حركة انتقالية للحزيتات في الغازات والسوائل واهتزاز حواجز ودوران للذرات في الأجسام الصلبة. في المعادن تشارك الإلكترونات في توصيل الحرارة.

يُحسب التيار (التدفق) الحراري في جدار مستو وحيد الطبقة كما يلي (الشكل 5.1.1):

(50.1)

$$Q = A (\lambda / \delta) (t_1 - t_2) = A (t_1 - t_2) / R \quad [\text{W}]$$

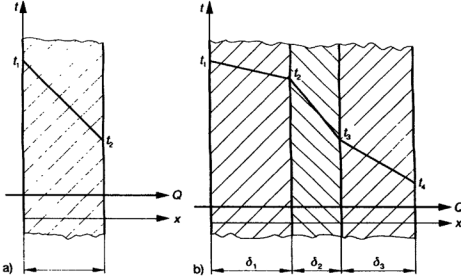
حيث:  $A$  سطح الجدار  $[\text{m}^2]$

$\lambda$  عامل التوصيل الحراري للجدار  $[\text{W/m K}]$

$\delta$  سماكة الجدار

$t_1$  و  $t_2$  درجة حرارة السطوح الخارجية للجدار  $[\text{°C}]$

$R$  المقاومة الحرارية للجدار  $[\text{m}^2 \text{ K/W}]$ .



الشكل 5.1: (a) التوصيل الحراري لجدار مستو أحادي الطبقة، (b) التوصيل الحراري لجدار مستو متعدد الطبقات

أما المقاومة الحرارية للجدار فتحسب كما يلي:

(51.1)

$$R = \delta / \lambda \quad [\text{m}^2 \text{ K/W}]$$

وكتافة التيار الحراري:

(52.1)

$$q = (t_1 - t_2) / R \quad [\text{W/m}^2]$$

جدار متعدد الطبقات

يتألف الجدار في كثير من الأحيان من عدة مواد. يمثل الشكل (b5.1) جداراً مستوياً ثلاثي الطبقات. سماكات هذه الطبقات  $\delta_1$  و  $\delta_2$  و  $\delta_3$ ، درجة حرارة السطح الداخلي  $t_1$  و  $t_4$ . إذا كانت المقاومة الحرارية لطبقة الجدار، هي  $R_i = (\delta / \lambda)_i$  فإن كثافة التيار الحراري  $q$  تحسب كما يلي:

$$(53.1) \quad q = (t_1 - t_2) / R_1 = (t_2 - t_3) / R_2 = (t_3 - t_4) / R_3 = (t_1 - t_4) / (R_1 + R_2 + R_3)$$

أما درجات الحرارة عند السطوح الحديدية للطبقات المختلفة للجدار:

$$(54.1) \quad t_3 = t_1 - q (R_1 + R_2) = t_4 + q R_3 \text{ و } t_2 = t_1 - q R_1$$

### 7.1 مثال

يتألف جدار مرجل من طين حراري بسماكة 300 mm وطبقة عازلة من خبث الصوف سماكتها 120 mm. مساحة سطح الجدار 20 m<sup>2</sup>. ما هي قيمة التيار الحراري ودرجة الحرارة بين طبقتين درجتا حرارتهما  $t_1 = 400^\circ\text{C}$  و  $t_3 = 50^\circ\text{C}$ ؟ عامل التوصيل الحراري للطين الحراري W/mK1 وخبث الصوف 0.05 W/mK.

**الحل:**

1. المقاومة الحرارية للطين الحراري:

$$R_1 = (\delta / \lambda)_1 = (0.3 / 1) = 0.3 \text{ m}^2 \text{ K/W}$$

المقاومة الحرارية لخبث الصوف:

$$R_2 = (\delta / \lambda)_2 = (0.12 / 0.05) = 2.4 \text{ m}^2 \text{ K/W}$$

2. التيار الحراري:

$$Q = (t_1 - t_3) A / (R_1 + R_2)$$

$$= (400 - 50) \text{ K} \times 20 \text{ m}^2 / (0.3 + 2.4) \text{ m}^2 \text{ K/W} = 2592.6 \text{ W}$$

3. درجة الحرارة بين طبقة الطين الحراري وعازل خبث الصوف:

$$t_2 = t_1 - (Q / A) R_1 = 400 - (2592.6 \text{ W} / 20 \text{ m}^2) 0.3 \text{ m}^2 \text{ K/W} = 361.1^\circ\text{C}$$

### جدار أنبوبي

يُحسب التيار الحراري لأنبوب جداره رقيق وطوله  $l$  أكبر بكثير من سماكته  $\delta$  كما يلي:

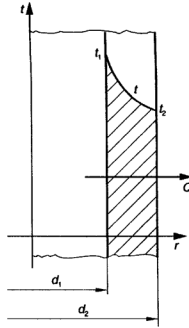
$$(55.1) \quad Q = l (t_1 - t_2) / R_1 \text{ [W]}$$

حيث:  $t_1$  درجة حرارة الجدار الداخلي و  $t_2$  للجدار الخارجي.  $R_1$  المقاومة الحرارية بالنسبة لـ

$l$  من طول الأنبوب:

$$(56.1) \quad R_1 = (1 / 2\pi \lambda) \ln (d_2 / d_1) \text{ [m K/W]}$$

حيث:  $d_1$  القطر الداخلي،  $d_2$  القطر الخارجي [m].



الشكل 6.1: التوصيل الحراري في جدار أسطواني.

وبالتالي تصبح العلاقة السابقة بالشكل:

$$(57.1) \quad Q = l(t_1 - t_2) / [(1 / 2\pi \lambda) \ln (d_2/d_1)] \quad [w]$$

### 2.5.1 انتقال الحرارة بالحمل

معادلة نيوتون

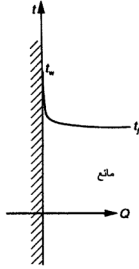
تنتقل الحرارة بالحمل بفعل تلامس مائع حار مع جسم صلب (جدار، صحيفة، أنبوب) كما في الشكل (7.1). وهناك نوعان من الحمل هما الحمل الطبيعي (الحر) والحمل القسري. يُحسب التيار الحراري بفعل الحمل من معادلة نيوتون:

$$(58.1) \quad Q = \alpha (t_w - t_f) A \quad [W]$$

حيث  $\alpha$  عامل انتقال الحرارة  $[W/(m^2K)]$

$t_w$  درجة حرارة الجدار،  $t_f$  درجة حرارة المائع  $[^\circ C]$

$A$  مساحة السطح  $[m^2]$ .



الشكل 7.1 : انتقال الحرارة بالحمل.

يرتبط انتقال الحرارة بعامل انتقال الحرارة  $\alpha$  الذي يتعلق بدوره بفرق درجات الحرارة بين الجسم الصلب والمائع، وبنوع المائع ومواصفاته، وبشكل الجسم وحجمه ووضعه. لهذه العلاقات طبيعة معقدة لا يمكن دراستها إلا عن طريق اختبارات تجريبية ووضعها على شكل معادلات لا بعدية.

#### الأرقام اللابعدية

يتم حساب انتقال الحرارة بالحمل عن طريق معادلات تجريبية تتضمن الأرقام اللا بعدية التالية:

$$(59.1) \quad Nu = \alpha L / \lambda \quad \text{رقم نوسيل}$$

$$(60.1) \quad Re = w L / \nu \quad \text{رقم رينولدز}$$

$$(61.1) \quad Pr = \nu / a = \mu c_p / \lambda \quad \text{رقم برانتل}$$

$$(62.1) \quad Gr = (g L^3 / \nu^2) \beta \Delta T \quad \text{رقم غراس هوف}$$

$$(63.1) \quad Ra = Gr Pr = g \beta \Delta T L^3 / (\nu a) \quad \text{رقم ريلييه}$$

حيث:  $\alpha$  عامل انتقال الحرارة  $[W/(m^2K)]$

$L$  الطول المميز (مثلاً قطر انبوب  $d$ )  $[m]$

$\lambda$  قابلية المائع لتوصيل الحرارة (الناقلية الحرارية)  $[W/(m K)]$

$w$  سرعة الجريان  $[m/s]$

$\nu$  اللزوجة التحريكية للمائع [m<sup>2</sup>/s]

$\alpha$  النفوذية الحرارية للمائع [m<sup>2</sup>/s]

$\mu$  اللزوجة الديناميكية للمائع [Pa.s]

$c_p$  السعة الحرارية بثبوت الضغط [J/kgK]

$g$  التسارع الأرضي (9.81 m/s<sup>2</sup>) [m/s<sup>2</sup>]

$\beta$  عامل التمدد الحجمي للمائع [1/K]

$\Delta T$  فرق درجات الحرارة [K]

يمكن الحصول على القيم المميزة للمائع (الكثافة  $\rho$ ، عامل توصيل الحرارة  $\lambda$ ، السعة الحرارية النوعية بثبوت الضغط، اللزوجة الديناميكية  $\mu$  أو التحريكية  $\nu$ ) من جداول خاصة وذلك عند درجات حرارة وسطية للمائع.

يُحسب عامل انتقال الحرارة كما يلي:

$$\alpha = Nu \lambda / L \quad [W/(m^2 K)] \quad (64.1)$$

### انتقال الحرارة بالحمل الطبيعي

ينشأ الحمل الطبيعي في المائع بفعل قوة الرفع التي يسببها فرق الكثافة بين الجزئين الساخن والبارد من المائع بملامسة السطح الذي يعطيه حرارة (سطح الجسم الصلب) والذي يتمتع بدرجة حرارة أعلى، وبسبب ذلك يصبح أخفّ وينزاح نحو الأعلى، وهكذا يحدث انتقال الحرارة بالحمل الطبيعي.

من أجل الحمل الطبيعي تستخدم العلاقة التالية:

$$Nu = m R_\alpha^n \quad (65.1)$$

حيث:  $L$  الطول المميز المستخدم في حساب الأرقام اللابعديّة في المعادلة (65.1)

$\alpha$  عامل انتقال الحرارة بحسب المعادلة (64.1)

$h$  الارتفاع في حالة الأنابيب الشاقولية أو الصفائح

$d$  القطر في حالة الكرات والأنابيب الأفقية، والأبعاد الصغيرة للصفائح الأفقية.

في حالة الصفائح الأفقية يتم ضرب قيمة  $\alpha$  المحسوبة بالعامل (1.3 أو 0.7) وفقاً لانتقال الحرارة نحو الأعلى أو نحو الأسفل.



الجدول 2.1: العامل  $m$  والأس  $n$  للمعادلة 65.1

رقم بلية $Ra$	العامل $m$	الأس $n$
أقل من 500	1.18	1/8
من 500 حتى $2 \cdot 10^7$	0.54	1/4
من $2 \cdot 10^7$ حتى $1.10^{13}$	0.135	1/3

درجة الحرارة القياسية لحساب المقادير المذكورة هي:

$$t_m = 0.5 (t_w + t_p)$$

وبطريقة تقريبية يمكن حساب  $\alpha$  وفق علاقة مبسطة. فمثلاً يمكن حساب  $\alpha$  بين أنبوب معزول (درجة حرارة الجدار  $t_w$ ) والهواء (درجة حرارته  $t_p$ ) بالعلاقة:

$$\alpha = 9.4 + 0.052 (t_w - t_p) \quad (66.1)$$

### مثال 8.1

من أجل أنبوب درجة حرارة جداره  $t_w = 50^\circ\text{C}$ ، حوله هواء درجة حرارته  $t_p = 15^\circ\text{C}$  يُطلب حساب تيار الضياع الحراري  $Q_L$  لهذا الأنبوب إذا كان قطره الخارجي  $d = 80 \text{ mm}$  وطوله  $l = 5 \text{ m}$ .

*الحل*

تُحسب  $\alpha$  من العلاقة (66.1) كما يلي:

$$\begin{aligned} \alpha &= 9.4 + 0.052 (t_w - t_p) \\ &= 9.4 + 0.052 (50 - 15) = 11.22 \text{ W / m}^2\text{K} \end{aligned}$$

وبالتالي فتتار الضياع الحراري:

$$\begin{aligned} Q_L &= \pi d l \alpha (t_w - t_p) \\ &= \pi 0.080 \text{ m} \times 5 \text{ m} \times 11.22 \text{ W/m}^2 \text{ K} (50 - 15) \text{ K} \\ &= 493.48 \text{ W} \end{aligned}$$

### الحمل الحراري القسري

يتحرك المائع في هذه الحالة تأثير قوة ضغط مروحة أو مضخة. في محطات توليد الطاقة يوجد هذا الحمل في حالة الجريان الداخلي ضمن الأنابيب أو الأفتية وكذلك في حالة الجريان الخارجي حول الصفائح أو الأنابيب أو حول حزم الأنابيب في المبادلات الحرارية. يكون الجريان صفائحياً أو مضطرباً وذلك تبعاً لـ: سرعة الجريان  $w$ ، أبعاد المجرى (مثلاً قطره  $d$ ). اللزوجة التحريكية للمائع  $\nu$  فإذا كان رقم رينولد أقل من 2320 فالجريان صفائحي وإذا كان أكبر من 10000 فالجريان كامل الاضطراب وبين القيمتين السابقتين يكون الجريان انتقالياً. تتم مراعاة المواصفات الفيزيائية للمائع عن طريق رقم برانتل.

من أجل جريان مضطرب في أنبوب أو قناة يكون:

$$Nu = 0.012 (Re^{0.87} - 280) Pr^{0.4} [1 + (d/l)^{2/3}] (Pr / Pr_w)^{0.11} \quad (67.1)$$

حيث:  $d$  قطر الأنبوب و  $l$  طوله [m].

المعادلة السابقة صالحة للمجال  $Re > 2320$  حتى  $Pr = 1.5$

يتم اختيار ( $\lambda$  و  $\nu$ ) و  $Pr$  للمائع عند درجة حرارة وسطية للمائع  $t_m$ ، أما  $Pr_w$  فتؤخذ عند درجة حرارة الجدار  $t_w$ .

هنالك قيم يمكن الاسترشاد بها لـ  $\alpha$  عند الحمل القسري أو الطبيعي كما يبين الجدول 3.1.

الجدول 3.1: قيم استرشادية لعامل انتقال الحرارة  $\alpha$

$\alpha$ [W/m <sup>2</sup> K]	نوع الحمل	الوسط
20-5	حر	هواء — غازات
100-10	قسري	هواء — غازات
1000-200	حر	ماء
10000- 1000	قسري	ماء
15000-1500	غليان	ماء
15000-3000	تكاثف	بخار

### 3.5.1 انتقال الحرارة بالإشعاع

#### الامتصاص، الانعكاس، التحجير

يقصد بالإشعاع الحراري تلك الإشعاعات الكهرومغناطيسية التي يتراوح طول موجاتها  $\lambda$  بين  $0.25 \mu\text{m}$  و  $800 \mu\text{m}$  ويتم إصدارها وامتصاصها من الأجسام الصلبة والسائلة والغازية.

عندما يصادف تيار إشعاع حراري جسماً فإنه يتم امتصاصه أو انعكاسه أو تمريره ويكون:

$$\alpha + \rho + \tau = 1 \quad (68.1)$$

حيث:  $\alpha$  نسبة الامتصاص

$\rho$  نسبة الانعكاس

$\tau$  نسبة التمرير.

تتعلق القيم ( $\alpha, \rho, \tau$ ) لجسم أسود بمادته ودرجة حرارته ونعومة سطحه الخارجي. من أجل جسم كامل السواد (أسود مطلق) يمتص الإشعاع بشكل كامل فإن درجة الامتصاص  $\alpha = 1$ ، أما للجسم الذي تكون عاكسيته مثالية فإن  $\tau = 0$  و  $\alpha + \rho = 1$ .

يمكن اعتبار السطوح الخارجية للآلات رماضية، ومن أجل الجسم الرمادي لا تتعلق درجة الامتصاص  $\alpha$  بطول الموجات وهي أقل من 1. من أجل مواد ذات امتصاصية وتمريرية مختارة (مثل الغازات الثنائية الذرات، وبخار الماء، وثنائي أكسيد الكربون) تتعلق درجة الامتصاص  $\alpha_\lambda$  بطول الأمواج  $\lambda$ . وهي تمتص وتغمر الأشعة ذات أطوال الموجات المختلفة بشدات مختلفة.

#### قوانين الإشعاع

تُعرف شدة الإشعاع الطيفي  $I_{\alpha\lambda}$  بأنها كمية الطاقة التي يمتصها  $1 \text{ m}^2$  من السطح الخارجي للجسم كل ثانية، وذلك من الموجات التي يقع طولها في المجال  $1 \mu\text{m}$ . وبحسب قانون بلانك فإنه من أجل الجسم الأسود يكون  $\alpha = 1$  وبالتالي:

$$I_{\alpha\lambda} = C_1 / \lambda^5 (e^{C_2/T} - 1) \quad [\text{W/m}^2 \mu\text{m}] \quad (69.1)$$

حيث:  $T$  درجة الحرارة [K]

$\lambda$  طول الموجة [ $\mu\text{m}$ ] ( $1 \mu\text{m} = 10^{-6} \text{ m}$ )

$C_1$  ثابت قيمته  $3.7405 \times 10^{-16} [\text{W m}^2]$ ،  $C_2$  ثابت قيمته  $0.0143879 [\text{m K}]$ .

بحسب قانون فين (Wien) تنزاح شدة الإشعاع الأعظمية مع ازدياد درجة الحرارة وذلك باتجاه الموجات الأقصر. إن جداء طول الموجة  $\lambda_{\max}$  الذي تبلغ شدة الإشعاع لجسم أسود عنده قيمتها الأعظمية بدرجة الحرارة  $T$  يبقى ثابتاً:  $\lambda_{\max} \cdot T = 2897 \times 8 \mu\text{m K}$ .

أما قانون شتيفان بولتزمان فيعطي كثافة تيار الإشعاع  $E_0$  لجسم أسود عند درجة حرارة  $T$ ، وهو ما يصدره الجسم من كل  $1 \text{ m}^2$  في الثانية الواحدة:

$$E_0 = \sigma T^4 = C_0 (T/100)^4 \quad [\text{W} / \text{m}^2] \quad (70.1)$$

حيث:  $\sigma$  ثابت شتيفان — بولتزمان  $5.67 \cdot 10^{-8} \text{ W} / (\text{m}^2 \text{ K}^4)$

$C_0$  عامل الإشعاع للجسم الأسود  $5.67 \text{ W} / (\text{m}^2 \text{ K}^4)$

تُعطي كثافة التيار الحراري لجسم رمادي (لآلة) بالعلاقة:

$$E = \varepsilon E_0 = \varepsilon \sigma T^4 = \varepsilon C_0 (T/100)^4 = C (T/100)^4 \quad [\text{W} / \text{m}^2] \quad (71.1)$$

حيث:  $\varepsilon$  درجة الإصدار

$C = \varepsilon C_0$  عامل إشعاع الجسم الأسود  $[\text{W} / (\text{m}^2 \text{ K}^4)]$ .

بحسب قانون كيرشوف فإنه للجسم الرمادي ومن أجل طول محدد للموجات تكون قيمة عامل الامتصاص  $\alpha$  مساوية (عند نفس الطول للموجات) لقيمة عامل الإصدار، وذلك عند نفس درجات الحرارة للجسم الممتص والمصدر. وبشكل تقريبي يمكن استخدام قيم  $\alpha$  و  $\varepsilon$  من أجل كل مجال أطوال الموجة.

### التبادل الحراري بالإشعاع

إن حساب الإشعاع المتبادل بين السطوح الرمادية المتوضعة بشكل غير محدد بالنسبة لبعضها البعض عملية شديدة التعقيد، وهناك حالتان خاصتان يمكن حساب التبادل الحراري بالإشعاع فيهما، ويفترض فيهما أن السطوح مفصولة عن بعضها بوسط يمر الإشعاع (مثل الهواء).

الحالة الأولى: التبادل بالإشعاع بين سطحين متوازيين لهما نفس المساحة  $A [\text{m}^2]$  (الشكل 8.1a).

بحسب تيار الإشعاع الصافي من السطح الساخن 1 إلى السطح البارد 2 من العلاقة التالية:

$$Q = A \varepsilon_{12} \sigma (T_1^4 - T_2^4) = A C_{12} [(T_1/100)^4 - (T_2/100)^4] \quad [\text{W}] \quad (72.1)$$

أما درجة الإصدار الصافي فتحسب بالعلاقة:

وعامل الإشعاع:  $\epsilon_{12} = 1 / [(1 / \epsilon_1) + (1 / \epsilon_2) - 1]$   
 (73.1)  $C_{12} = 1 / [(1 / C_1) + (1 / C_2) - (1 / C_0)]$

حيث:  $C_2 = \epsilon_2 C_0$  أو  $C_1 = \epsilon_1 C_0$

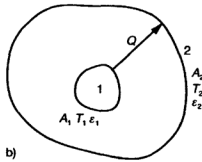
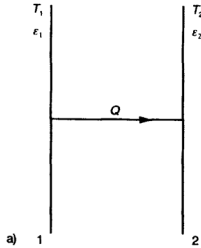
وعامل الإشعاع للسطح 1 أو 2 هو  $C_0 = 5.67 \text{ W / m}^2 \text{ K}^4$

الحالة الثانية: التبادل بالإشعاع بين سطح محدب وغلافه (الشكل 8.1.b)

بحسب تيار الإشعاع الصافي من الجسم 1 إلى الغلاف 2 من العلاقة التالية:

(74.1)  $Q = \epsilon_{12} A_1 \sigma (T_1^4 - T_2^4) = C_{12} A_1 [(T_1 / 100)^4 - (T_2 / 100)^4] \text{ [W]}$

حيث:  $A_1$  مساحة سطح الجسم 1.



الشكل 8.1: التبادل الحراري بالإشعاع بين (a) السطوح المستوية المتوازية (b) جسم وغلافه.

أما درجة الإصدار الفعال  $\epsilon_{12}$  أو عامل الإشعاع  $C_{12}$  فتحسب من العلاقة التالية:

$$(75.1) \quad \begin{aligned} \varepsilon_{12} &= 1 / [1/\varepsilon_1 + (1/\varepsilon_2 - 1)(A_1/A_2)] \\ C_{12} &= 1 / [(1/C_1 + (1/C_2 - 1/C_0)(A_1/A_2))] \end{aligned}$$

عندما تكون المساحة  $A_1$  أصغر بكثير من  $A_2$  يصبح:

$$(76.1) \quad C_{12} = C_1, \quad \varepsilon_{12} = \varepsilon_1$$

وينتج عامل انتقال الحرارة بالإشعاع من العلاقة التالية:

$$(77.1) \quad \alpha_{\text{rad}} = Q / [A (T_2 - T_1)] \quad [\text{W} / (\text{m}^2 \text{K})]$$

أو

$$(78.1) \quad \begin{aligned} \alpha_{\text{rad}} &= \varepsilon_{12} \sigma (T_2 + T_1) (T_2^2 + T_1^2) \\ &\cong 4 \varepsilon_{12} \sigma T_m^3 \quad [\text{W} / (\text{m}^2 \text{K})] \end{aligned}$$

حيث:  $T_m$  درجة الحرارة الوسطية للمنظومة  $[K]$   $T_m = 0.5 (T_1 + T_2)$

### 9.1 مثال

يطلب حساب عامل انتقال الحرارة للتبادل الحراري بالإشعاع بين سطحين مستويين أحدهما

درجة حرارته  $T_1 = 300^\circ \text{C}$  ودرجة إصداره  $\varepsilon_1 = 0.9$  والجسم الثاني درجة حرارته  $T_2 = 600^\circ \text{C}$

ودرجة إصداره  $\varepsilon_2 = 0.8$ .

الحل:

درجة الإصدار:

$$\varepsilon_{12} = 1 / (1/\varepsilon_1 + 1/\varepsilon_2 - 1) = 1 / (1/0.9 + 1/0.8 - 1) = 0.735$$

ومنه فعامل انتقال الحرارة بالإشعاع:

$$\begin{aligned} \alpha_{\text{rad}} &= \varepsilon_{12} \sigma (T_1^4 - T_2^4) / (T_1 - T_2) \\ &= 0.735 \times 5.67 \times 10^{-8} (873^4 - 573^4) / (873 - 573) \\ &= 65.7 \text{ W} / (\text{m}^2 \text{K}) \end{aligned}$$

### 4.5.1 المبادلات الحرارية

#### نفوذ الحرارة

عند نفوذ الحرارة عبر جدارٍ مستوي سمكته  $\delta$  ومساحته  $A$  ولمادته عامل توصيل حراري  $\lambda$ ،

يفصل بين وسطين درجتا حرارتهما مختلفتان  $t_1$  و  $t_2$  فإن التيار الحراري عبر الجدار يحسب من

العلاقة التالية:

(79.1)

$$Q = k A (t_1 - t_2) \quad [\text{W}]$$

وعامل نفوذ الحرارة  $k$ :

$$(80.1) \quad k = 1 / (1 / \alpha_1 + \delta / \lambda + 1 / \alpha_2) \quad [\text{W}/(\text{m}^2 \text{K})]$$

حيث:  $\alpha_1$  و  $\alpha_2$  عامل انتقال الحرارة عند السطحين الداخلي والخارجي للجدار. وتنتج درجتا حرارة سطحي الجدار:

$$t_{w1} = t_1 - Q / (A \alpha_1)$$

$$(81.1) \quad t_{w2} = t_2 + Q / (A \alpha_2) \quad \text{و}$$

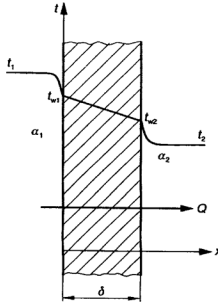
من أجل الجدران المتعددة الطبقات يعوض عن  $(\delta/\lambda)$  في المعادلة 80.1 بالمقدار  $\sum (\delta / \lambda)$  الذي هو مجموع المقاومات الحرارية لمختلف الطبقات.

عند نفوذ الحرارة عبر جدار أسطواني (أنبوب طويل جداً) فإن التيار الحراري يحسب كما يلي:

$$Q = k_1 A_1 (t_1 - t_2) = k_m A_m (t_1 - t_2)$$

$$(82.1) \quad = k_2 A_2 (t_1 - t_2) = k_1 l (t_1 - t_2) \quad [\text{W}]$$

حيث:  $k_1$ ,  $k_2$ ,  $k_m$  عوامل نفوذ الحرارة عند السطح الداخلي، الخارجي، الوسطي  $[\text{W}/(\text{m}^2 \text{K})]$ .  $k$  عامل نفوذ الحرارة على طول الأنبوب  $[\text{W}/(\text{m K})]$ .



الشكل 9.1 : نفوذ الحرارة عبر جدارٍ مستوٍ.

تحتسب مساحة السطح الداخلي والخارجي والوسطي كما يلي:

$$(83.1) \quad A_1 = \pi d_1 l, \quad A_2 = \pi d_2 l, \quad A_m = \pi d_m l \quad [m^2]$$

حيث:  $d_1, d_2, d_m$  القطر الداخلي والخارجي والوسطي للأنبوب على التوالي [m].  
العلاقة بين عوامل نفوذ الحرارة السطحية والطولية هي:

$$(84.1) \quad k_1 A_1 = k_m A_m = k_2 A_2 = k_l l$$

عامل نفوذ الحرارة لوحدة الطول:

$$k_l = Q / l (t_1 - t_2) = 1 / (\pi d_1 \alpha_1) + (1/2 \pi \lambda)$$

$$(85.1) \quad \ln (d_2 / d_1) + 1 / (\pi d_2 \alpha_2)] \quad [W/m K]$$

أما عامل نفوذ الحرارة لوحدة السطح:

$$(86.1) \quad k_m = k_1 / \pi d_m \text{ و } k_2 = k_1 / \pi d_2, \quad k_l = k_1 / \pi d_1$$

### مثال 10.1

ما هي قيمة التيار الحراري الضائع من غازات احتراق ساحة درجة حرارتها 400 °C عبر جدار من الطين الحراري سماكته 350 mm وعامل توصيله للحرارة 1 W/m K إلى الوسط الحراري المحيط الذي درجة حرارته 25 °C؟ مساحة الجدار 20 m<sup>2</sup>، وعامل انتقال الحرارة عند الجهة الداخلية للجدار 80 وعند الجهة الخارجية له 12 W/m<sup>2</sup> K.

**الحل:**

1. عامل انتقال الحرارة:

$$k = 1 / (1 / \alpha_1 + \delta / \lambda + 1 / \alpha_2) \\ = 1 / (1/80 + 0.35/1 + 1/12) = 2.24 \text{ W/m}^2 \text{ K}$$

2. تيار الضياع الحراري:

$$Q = k A (t_1 - t_2) \\ = 2.24 \text{ W/m}^2 \text{ K} \times 20 \text{ m}^2 (400 - 25) \text{ K} = 16800 \text{ W}$$

### المبادلات الحرارية الاسترجاعية

تستخدم في محطات تحويل الطاقة مبادلات حرارية ذات أنواع مختلفة وغالباً تستخدم الأنواع الاسترجاعية التي تأخذ شكل أنبوب مزدوج، أو حزمة أنابيب، أو على شكل صفائح. يتم في



المبادلات الاسترجاعية انتقال الحرارة من الوسيط الساخن إلى الوسيط البارد عن طريق سطح تسخين يلامس كلا المائعين (يدعى هذا السطح حامل الحرارة). كما تستخدم على نطاق ضيق المبادلات المتجددة، مثلاً في مسخنات الهواء، وفي المبادلات الحرارية من هذا النوع تستخدم كتلة للتخزين تأخذ الحرارة من المائع الساخن ثم تعطيها للمائع (الوسيط) البارد. تقسم المبادلات الحرارية الاسترجاعية بحسب وضعية الجريان إلى مبادلات ذات جريان متماثل وأخرى ذات جريان متعاكس وثالثة ذات جريان متصالب.

الاستطاعة الحرارية لمبادل حراري استرجاعي وبإهمال الضياعات الحرارية يمكن حسابها من موازنة الطاقة:

$$(87.1) \quad Q = m_1 (h_{1ent} - h_{1exit}) = m_2 (h_{2exit} - h_{2ent}) \quad [W]$$

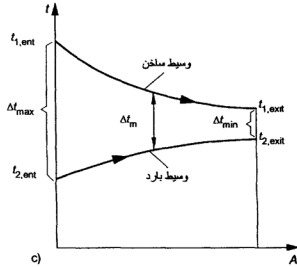
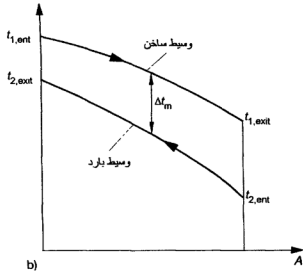
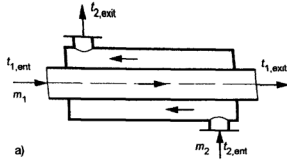
حيث:  $m$  التدفق الكتلي لحامل الحرارة [kg/s]  
 $h_{ent}$  انتالبي الدخول،  $h_{exit}$  انتالبي الخروج لحامل الحرارة [J/kg]، الدليل 1 للطرف الساخن، والدليل 2 للطرف البارد في المبادلات الحرارية.  
 وعندما لا يحدث تغير في حالة الوسيط (تبخّر أو تكاثف) يمكننا كتابة العلاقة التالية:

$$(88.1) \quad \begin{aligned} Q &= (m c_p)_1 (t_{1,ent} - t_{1,exit}) \\ &= (m c_p)_2 (t_{2,exit} - t_{2,ent}) \end{aligned}$$

حيث:  $C_p$  السعة الحرارية النوعية للحامل الحراري [J / kg K]  
 $t_{ent}$  درجة حرارة الدخول للحامل الحراري،  $t_{exit}$  درجة حرارة الخروج للحامل الحراري [°C].  
 يُحسب فرق درجات الحرارة الوسطي اللوغاريتمي كما يلي:

$$(89.1) \quad \Delta t_m = (\Delta t_{max} - \Delta t_{min}) / \ln (\Delta t_{max} / \Delta t_{min})$$

حيث:  $\Delta t_{max}$  فرق درجات الحرارة الأعظمي  
 $\Delta t_{min}$  فرق درجات الحرارة الأصغري.



**الشكل 10.1 :** مبادل حراري وأنبوب مزدوج (a) مخطط مبادل حراري جريانه متعاكس (b) تغير درجة حرارة حوامل الحرارة في مبادل حراري متعاكس (c) تغير درجة حرارة حوامل الحرارة في مبادل حراري متماثل.

آ — من أجل المبادل الحراري ذي الجريان المتعاكس (الشكل b10.1)

$$\Delta t_{\max} = t_{1\text{ent}} - t_{2\text{exit}} \quad \text{و}$$

$$\Delta t_{\min} = t_{1\text{exit}} - t_{2\text{ent}} \quad (90.1)$$

ب — من أجل المبادل الحراري ذي الجريان المتساوي الاتجاه (c10.1)

$$\Delta t_{\max} = t_{1\text{ent}} - t_{2\text{exit}} \quad \text{و}$$

$$\Delta t_{\min} = t_{1\text{exit}} - t_{2\text{ent}} \quad (91.1)$$

إذا كان  $\Delta t_{\max} / \Delta t_{\min} < 1.7$  يُستخدم فرق درجات حرارة وسطي حسابي:

$$\Delta t_m = (\Delta t_{\max} + \Delta t_{\min}) / 2$$

ومساحة المبادل الحراري:

$$A = Q / (k \Delta t_m) \quad [\text{m}^2] \quad (92.1)$$

### مثال 11.1

يُطلب حساب فرق درجات الحرارة الوسطي اللوغاريتمي لمبادل حراري متماثل الاتجاه ولبادل حراري متعاكس الاتجاه. درجات حرارة الدخول والخروج للحامل الحراري الساخن هي 90 و 50 °C وللحامل الحراري البارد هي 10 و 30 °C.

*الحل*

من أجل المبادل الحراري المتماثل الاتجاه:

$$\Delta t_m = [(90 - 10) - (50 - 30)] \ln [(90 - 30) / (40 - 30)] = 43.28 \text{ K}$$

ومن أجل المبادل الحراري المتعاكس الاتجاه:

$$\Delta t_m = [(90 - 30) - (50 - 10)] \ln [(90 - 30) / (50 - 10)] = 49.33 \text{ K}$$

إن فرق درجات الحرارة الوسطي للمبادل المتعاكس الاتجاه أكبر دائماً من فرق درجات الحرارة الوسطي للمبادل المتماثل الاتجاه، ولذلك فسطح التسخين اللازم لتبادل نفس التيار الحراري يكون في المبادل المتعاكس الاتجاه أصغر.

## 6.1 أسس هندسة الجريان

تألف هذه الأسس من معادلة الطاقة ومعادلة الاستمرار وقانون تغير كمية الحركة.  
من أجل جريان كظيم للمائع غير قابل للانضغاط (جريان سوائل، جريان غازات مع تغير ضئيل للضغط)، وإذا لم يكن هناك ضياعات ضغط، أي بدون احتكاك، عندئذ تنص معادلة برنولي على:

$$(93.1) \quad p + p_{\text{dyn}} + \rho g z = \text{const}$$

حيث:  $p$  الضغط الستاتيكي (السكوني) [Pa]

$p_{\text{dyn}}$  الضغط الديناميكي (الحركي) [Pa]

$\rho$  الكتلة النوعية للمائع [ $\text{kg/m}^3$ ]

$g$  التسارع الأرضي [ $\text{m/s}^2$ ]

$z$  ارتفاع المقطع عن المستوى المرجعي (مستوى المقارنة).

أما الضغط الديناميكي فيعطى بالعلاقة:

$$(94.1) \quad p_{\text{dyn}} = 0.5 \rho w^2 \quad [\text{Pa}]$$

حيث:  $w$  سرعة الجريان [ $\text{m/s}$ ].

تقوم معادلة الاستمرار على قانون انحفاظ الكتلة، الذي ينص على أنه في حالة جريان مستقر (غير متغير المواصفات مع الزمن)، فإن كمية المائع [ $\text{kg/s}$ ] التي تجري عند كل مقطع ثابتة. فمثلاً من أجل المقطعين 1 و 2:

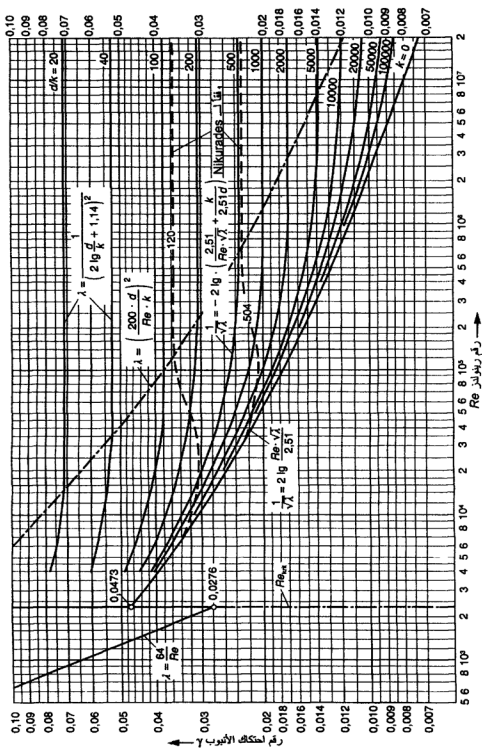
$$(95.1) \quad m = \rho_1 A_1 w_1 = \rho_2 A_2 w_2 = \text{const}$$

من أجل الوسائط غير القابلة للانضغاط فإن ( $\rho_1 = \rho_2 = \rho$ ) ومن ثم فالتدفق الحجمي يبلغ:

$$(96.1) \quad V = m / \rho = A_1 w_1 = A_2 w_2 \quad [\text{m}^3/\text{s}]$$

يتألف الضياع الإجمالي في الضغط في أنبوب من ضياع الضغط بفعل الاحتكاك  $\Delta p_f$  وضياعات الضغط عند المقاومات المختلفة  $\Delta p_n$  (الضياعات الموضعية).

$$(97.1) \quad \Delta p_v = \Delta p_f + \Delta p_n \quad [\text{Pa}]$$



الشكل 11.1 : مخطط مودي [Moody - Diagramm] لحساب عامل الاحتكاك في الأنابيب.

بحسب هبوط الضغط بفعل الاحتكاك في الأنابيب المستقيمة ذات المقطع الثابت، بمعرفة عامل الاحتكاك للأنبوب  $\lambda$  وسرعة الجريان  $v$  وقطر الأنبوب الداخلي  $d$  وطول الأنبوب  $L$  كما يلي:

$$(98.1) \quad \Delta p_{fr} = 0.5 \lambda \rho w^2 L / d$$

من أجل الجريان الداخلي الصفائحي (أي عندما يكون رقم رينولدز أصغر من  $Re < 2320$ ) بحسب عامل الاحتكاك كما يلي:

$$(99.1) \quad \lambda = 64 / Re$$

من أجل جريان داخلي مضطرب تتعلق  $\lambda$  (بالإضافة إلى  $Re$ ) بخشونة جدار الأنبوب  $k$ . يمكن حساب قيم عامل الاحتكاك للأنبوب  $\lambda$  من الجدول (4.1) الذي يتضمن علاقات الحساب اللازمة. أما الحصول على قيمة عامل الاحتكاك  $\lambda$  فيتم من منحنى مودي (Moody) المبين في الشكل (11.1).

وللأنية التي مقطعتها غير دائري (مساحة مقطعتها  $A$  ومحيطها  $U$ ) يستخدم القطر المكافئ.

$$(100.1) \quad d_{eq} = 4 A / U$$

حيث:  $d_{eq} = D - d$  من أجل الحلقة التي قطرها الخارجي  $D$  والداخلي  $d$

$$d_{eq} = 2a \cdot b / (a + b) \text{ من أجل المستطيل الذي بعده } a \times b.$$

لحساب هبوط الضغط في المقاومات الموضعية (تغير المقطع، تفرع أنبوب، الصمامات... الخ) تطبق العلاقة التالية:

$$(101.1) \quad \Delta p_e = \xi \rho w^2 / 2$$

حيث:  $\xi$  عامل الضياع (المقاومة).

إذا كانت هناك عدة مقاومات تقع خلف بعضها البعض فإن هبوط الضغط الإجمالي (عند ثبات سرعة الجريان):

$$(102.1) \quad \Delta p_{tot} = (\xi_1 + \xi_2 + \xi_3 + \dots) \rho w^2 / 2 \text{ [Pa]}$$

يمكن الحصول على عوامل الضياعات  $\xi$  للمقاومات الموضعية (من أجل تغير منتظم أو غير منتظم للمقطع، الأكواع، صمامات التحكم أو الإغلاق، صمامات الخنق، السكورة) من المراجع الاختصاصية [2.1].

الجدول 4.1: علاقات عامل احتكاك الأنابيب  $\lambda$  عند جريان داخلي مضطرب

المعادلة	العلاقة حسب	مجال رقم رينولدز
الأنابيب الهيدروليكية الناعمة ( $Re/d < 65$ )		
$\lambda = 0.3164 / Re^{0.25}$	Blasius	$2320 < Re < 10^5$
$1/\sqrt{\lambda} = 2 \lg (Re\sqrt{\lambda} / 2.51)$	Prandtl/van Karman	$10^5 < Re < 3.10^6$
الأنابيب الهيدروليكية الخشنة		
$\lambda = 21g (3.715 d / k)$	Nikuradse	$Re k / d > 1300$
$1/\sqrt{\lambda} = -2 \lg [3.715 d / k + 2.51 / (Re\sqrt{\lambda})]$	Colebrook	$65 < Re k / d < 1300$

### 12.1 مثال

ما هو هبوط الضغط في أنبوب ماء ناعم هيدروليكيًا قطره 30 mm وطوله 20 m عند سرعة جريان 1 m/s. درجة حرارة الماء 20°C.

الحل

1. عند درجة الحرارة 20°C فإنه يمكن تحديد مواصفات الماء من الجدول A.1:

الكتلة النوعية:  $\rho = 998.2 \text{ kg / m}^3$ ، اللزوجة التحريكية  $\nu = 1.004 \times 10^{-6} \text{ m}^2/\text{s}$ .

2. رقم رينولدز  $Re = w d / \nu$  وبالتعويض

$$Re = 1 \text{ m / s} \times 0.03 \text{ m} / 1.004 \times 10^{-6} \text{ m}^2 / \text{s} = 29880.5$$

3. عامل الاحتكاك  $\lambda = 0.3164 / Re^{0.25}$  وبالتعويض

$$\lambda = 0.3164 / Re^{0.25} = 0.3164 / 29880.5^{0.25} = 0.024$$

4. هبوط الضغط:  $\Delta P = \lambda (L / d) \rho v^2 / 2$  بالتعويض:

$$\Delta P = 0.024 (20 \text{ m} / 0.03 \text{ m}) 998.2 \text{ kg / m}^3 (1 \text{ m / s})^2 / 2 = 7986 \text{ Pa}$$





## 2 الوقود والاحتراق

### 1.2 التركيب والقيمة الحرارية

#### تركيب الوقود الصلب والسائل

يحتوي الوقود أجزاءً قابلة للاحتراق وأخرى غير قابلة للاحتراق. الأجزاء القابلة للاحتراق هي الكربون والهيدروجين والكبريت، أما الأجزاء غير القابلة للاحتراق فهي الآزوت (نتروجين) والرماد والماء. من أنواع الوقود الصلب هناك الفحم الحجري والفحم البنسي والخشب والتورف (فحم المستنقعات)، بالإضافة إلى النفايات القابلة للاحتراق.

عند تسخين وقود صلب إلى درجة الحرارة  $900^{\circ}\text{C}$  تنطلق المركبات الطيارة قبل بدء الاحتراق. تتراوح نسبة الأجزاء الطيارة في الفحم الحجري بين 10 % (للاتراسيت) و 28 إلى 50 % للفحم الذي يحوي نسبة عالية من البيتومين (القات).

تستخدم محطات الطاقة أنواع سائلة من الوقود هي نواتج النفط مثل الوقود الثقيل (الفيول) أو الخفيف (المازوت). يتألف الوقود الثقيل من مزيج من الفحم الهيدروجينية مع روابط أكاسيد الآزوت والكبريت، وهو ذو لزوجة عالية عند درجة حرارة الغرفة، ولذا يجب تسخينه (حتى درجة الحرارة 80 إلى  $140^{\circ}\text{C}$ ) ثم تذييره (في الحراق بمساعدة الهواء أو البخار) قبل إحراقه. أما الوقود الخفيف فهو يحترق عملياً بدون بقايا ويستخدم للإقلاع ولتنشيط الاحتراق في العنفات الغازية.

يُعطى تركيب الوقود الصلب أو السائل بناءً على التحليل العنصري كما يلي:

$$(1.2) \quad C + H + S + N + O + A + W = 100 \%$$

وتمثل رموز هذه المعادلة: C النسبة الوزنية للكربون في الوقود [%]، H للهيدروجين، S للكبريت، N للأزوت، A للرماد، W للماء.

يعتبر الرماد والماء عناصر عديمة الفائدة في الوقود، وتبلغ نسبة الرماد في الفحم البنسي 3 إلى 8، أما نسبة الساء فهي 45 - 60 %، وفي قوالب الفحم تبلغ نسبة الرماد 5 إلى 11 % والماء حتى 15 %. القيمة الوسطية للرماد (A) في الفحم الحجري 8 - 10 %. في الانتراسيت نسبة الرماد 3 - 6 % ونسبة الماء 1 حتى 3 %، ما عدا في فحم الكوك فهي بين 3 - 8 %. يؤثر تركيب الرماد وموصافاته (وخاصة ما يسمى درجة حرارة ذوبان الرماد وتحوله إلى خبث) على اختيار نوع الحراق وطريقة الإحراق وكذلك على درجة حرارة حجرة الاحتراق عند مخرج الغازات.

من أجل وقود جاف (خالٍ من الماء) تصلح العلاقة التالية:

$$(2.2) \quad C' + H' + S' + O' + N' + A' = 100 \%$$

وللوقود الخالي من الماء والرماد:

$$(3.2) \quad C'' + H'' + S'' + O'' + N'' = 100 \%$$

يمكن حساب النسبة المئوية لمركبات المادة الجافة (الخالية من الماء) أو الخالية من الرماد من التحليل العنصري لهذه المادة كما يلي، فمثلاً من أجل محتوى الوقود من الفحم:

$$(4.2) \quad C' = \frac{C}{100 - W} \quad \text{أو} \quad C'' = \frac{C}{100 - A - W}$$

#### القيمة الحرارية الدنيا والعليا للوقود

القيمة الحرارية هي كمية الحرارة التي تتحرر (تنطلق) عند احتراق مركبات الوقود بشكل كامل. وتُنسَب هذه القيمة إلى 1 Kg من أجل الوقود الصلب والسائل، وإلى 1 m<sup>3</sup> من أجل الوقود الغازي. ويمكن التمييز بين قيمة حرارية عليا ودنيا للوقود. تحسب القيمة الحرارية الدنيا للوقود صلب أو سائل وفق المعادلة التقريبية التالية:

$$(5.2) \quad LCV = 34.8 C + 93.9 H + 10.46 S + 6.28 N - 10.80 O - 2.5 W [\text{MJ/kg}]$$

حيث: C، H، S، N، O، W نسبة كتلة العناصر المذكورة في الوقود [kg/kg].

من أجل مشتقات النفط تحسب القيمة الحرارية الدنيا كما يلي:

$$(6.2) \quad LCV = 33.15 C + 94.1 H + 10.46 (S - O) [\text{MJ/kg}]$$

القيمة الحرارية العليا للوقود HCV أكبر من الدنيا بمقدار انتالبسي التبخر لبخار الماء الذي يتشكل باحتراق الهيدروجين ويتبخر الماء الموجود في الوقود. لا يمكن استخدام القيمة الحرارية العليا

للوغود إلاّ عندما يحدث تكاثف لبخار الماء الموجود في غازات الاحتراق ضمن المرجل، أي عندما تُبرّد الغازات إلى ما دون درجة حرارة تكاثف بخار الماء.

هناك علاقة بين LCV و HCV للوغود الصلب والسائل هي:

$$(7.2) \quad HCV = LCV + h_{eva} m_{H_2O} = LCV + 2.5 (9 H + W) \quad [MJ/kg]$$

حيث:  $H$ ,  $W$  محتوى الوغود من الهيدروجين والماء  $[kg/kg]$

$h_{eva}$  الانتالبي النوعي لتبخّر الماء  $2.5 MJ/kg$  عند الدرجة  $0^\circ C$  و  $1 \text{ bar}$

$m_{H_2O}$  كمية بخار الماء لكل  $1 kg$  ووقود  $[kg/kg]$ .

يتضمن الجدول (1.2) معطيات عن تركيب الوغود الصلب وقيمته الحرارية، بالإضافة إلى القيم النظرية لكمية الهواء اللازم للاحتراق وكمية غازات الاحتراق الجافة والرطبة ومحتوى هذه الغازات من بخار الماء و  $CO_2$  (القيمة الأعظمية).

الجدول 1.2: تركيب الوغود الصلب، قيمته الحرارية الدنيا LCV، كمية الهواء الصغرى اللازمة للاحتراق  $A_{min}$ ، حجم غازات الاحتراق الأصغرى الناتجة الرطبة  $V_{G,min}$  و  $CO_{2max}$ .

الوقود	C	H	O	تركيب فوزني بالـ % N S A W					LCV kJ/kg	$A_{min}$ m³/kg	$V_{G,min}$ i.N.	$CO_{2max}$ كغ/كجمية
فحم كوك	86	0,3		1,5	0,7	12	1,5		29 300	7,7	7,7	20,7
فحم كوك												
من منطقة فروهر وأسن	73-83	3,4-5,3	1,8-6,5	1,1	0,9	4-7	3-5		30 140-33 070	7,7-8,3	8,2-8,6	18,3-18,9
من منطقة بلاد فارس	70-78	4,7-5,2	5,4-12,5	1,2	0,6	3-8	3-5		28 050-31 400	7,9	8,3	18,7
الفحم القيني												
من منطقة بلاد فارس	25-32	2	9-12	0,3	0,2	3	50-60		7 530-10 460	2,4-3,0	2,4-3,8	19,8
من منطقة لالوسير	26,6	2,4	12,4	0,4	0,2	3	55		9 630	2,6	3,5	19,5

i.N تعني عند الشروط النظامية  $(0^\circ C, 1.013 \text{ bar})$ .

الجدول 2.2: تركيب الوغود السائل، قيمته الحرارية الدنيا LCV، كمية الهواء الصغرى اللازمة للاحتراق  $A_{min}$ ، حجم غازات الاحتراق الأصغرى الناتجة الرطبة  $V_{G,min}$ .

الوقود	الكثافة درجة حرارة: $20^\circ C$ kg/m³	C	H	O + N	S	LCV kJ/kg	$A_{min}$ m³/kg	$V_{G,min}$ i.N.	$CO_{2max}$ كغ/كجمية
لوقود قفل	0,90-0,92	84-88	11-12	1-3	2	39 800	10,6	11,4	15,9
لوقود خفيف	0,82-0,86	86-87	13-14	0,5	0,3	42 700	11,2	11,8	15,2
بنزين	0,72	85	15	-	-	42 700	11,5	12,3	15,0
وقود الفيزل (الفزوت)	0,84	86	13	0,2	0,3	41 800	11,2	11,9	15,5
زيت قدم المحوري	1,06	89	7	3,4	0,6	37 700	9,8	9,9	18,1

i.N تعني عند الشروط النظامية  $(0^\circ C, 1.013 \text{ bar})$ .

أما الجدول (2.2) ففيه معطيات عن تركيب بعض أنواع الوقود السائل والقيمة الحرارية العليا والدنيا. يتطلب الوقود اللزج تسخيناً أولياً إلى الدرجة 80 وحتي 140 °C قبل إحراقه.

### تركيب الوقود الغازي وقيمته الحرارية

من أنواع الوقود الغازي نذكر الغاز الطبيعي والصناعي (غاز المولد، غاز الفرن العالي، غاز فحم الكوك، الغاز الحيوي، غاز مطهر النفايات، والغاز الناتج عن معالجة مياه المجاري). يُعطى تركيب الوقود الغازي عادة بالنسبة الحجمية (% - Vol) لعناصر الغاز المختلفة وذلك عند الشروط النظامية (0 °C، 1.013 bar).

$$(8.2) \quad \text{CH}_4 + \text{CO} + \text{H}_2 + \text{C}_m \text{H}_n + \text{H}_2\text{S} + \text{O}_2 + \text{CO}_2 + \text{N}_2 = 100 \%$$

يعبر التركيب ذو الصيغة  $\text{C}_m\text{H}_n$  في هذه المعادلة عن كافة الفحوم الهيدروجينية باستثناء الميتان  $\text{CH}_4$ ، ويقصد بذلك الإيثان  $\text{C}_2\text{H}_6$ ، البروبان  $\text{C}_3\text{H}_8$ ، البوتان  $\text{C}_4\text{H}_{10}$ ، الايثلين  $\text{C}_2\text{H}_4$  والاسيتيلين  $\text{C}_2\text{H}_2$ ... الخ.

الجدول 3.2: تركيب الوقود الغازي، قيمته الحرارية الدنيا LCV، كمية الهواء الصغرى اللازمة للاحتراق  $A_{\min}$ ، حجم غازات الاحتراق الرطبة الأصغرى الناتجة،  $\text{CO}_{2\max}$ .

الوقود الغازي	التركيب الحجمي بالـ %						LCV kJ/m <sup>3</sup>	$A_{\min}$ m <sup>3</sup> /m <sup>3</sup>	$V_{\text{C},\min}$ i.N.	$\text{CO}_{2\max}$ كثافة حجمية
	$\text{CH}_4$	$\text{C}_m\text{H}_n$	$\text{H}_2$	$\text{CO}$	$\text{CO}_2$	$\text{N}_2$				
غاز طبيعي L	82	3	—	—	1	14	31 800	8,4	9,4	11,8
غاز طبيعي H	93	2	—	—	1	4	36 170	9,8	10,9	12,0
غاز المولدات	2	—	15	27	7	49	5760	1,19	1,98	20,1
غاز كوك	25	2	55	6	2	10	17 370	4,26	4,97	10,1

i.N تعني عند الشروط النظامية (0 °C، 1.013 bar).

يحتوي الجدول (3.2) بعض المعطيات المتعلقة بالوقود الغازي مثل التركيب، القيمة الحرارية الدنيا.

تُحسب القيمة الحرارية العليا أو الدنيا للوقود الغازي بناءً على مركبات هذا الغاز كما يلي:

$$LCV = \sum r_i LCV_i$$

$$(9.2) \quad HCV = \sum r_i HCV_i \quad [\text{MJ/m}^3] \quad \text{أو:}$$

حيث:  $r_i$  حجم الغاز الجزئي (الذي يدخل في تركيب الوقود)  $[\text{m}^3 \text{ لكل } \text{m}^3 \text{ وقود غازي جاف}]$

$$LCV_i, HCV_i \text{ القيمة الحرارية الدنيا أو العليا للغاز الجزئي } [\text{MJ/m}^3].$$

تُعطى قيم كل من  $LCV$  و  $HCV$  لأنواع الوقود في الجدول (4.2).  
يستخدم الغاز الطبيعي في محطات الطاقة للإقلاع (تأمين اللهب الأولي) والدعم لشعلات الفحم، كما يستخدم في العنفات الغازية.

الجدول 4.2: القيمة الحرارية العليا  $HCV$  والدنيا  $LCV$  لأنواع الوقود الغازي

الغاز	الصيغة الكيميائية	$LCV$ بالـ $MJ/m^3$	$HCV$ بالـ $MJ/m^3$
الهيدروجين	$H_2$	10.81	12.78
أول أكسيد الكربون	$CO$	12.64	12.64
الميثان	$CH_4$	35.93	39.87
الاستيلين	$C_2H$	56.9	58.9
الإيثيلين	$C_2H_4$	59.55	63.5
الإيثان	$C_2H_6$	64.5	70.45
البروبان	$C_3H_8$	93	101
البوتان	$C_4H_{10}$	123.8	134
النفط	$C_6H_6$	144	150.3
كبريت الهيدروجين	$H_2S$	28.14	30.3

الجدول (5.2) يعطي درجة حرارة الالتهاب (بدء الاحتراق) لأنواع الوقود الصلب والسائل الغازي.

الجدول 5.2: درجة حرارة الالتهاب (بدء الاحتراق) لأنواع الوقود الصلب والسائل الغازي.

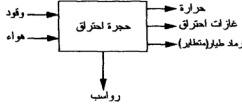
الوقود	درجة حرارة الالتهاب $^{\circ}C$
فحم بني خام	450-230
مسحوق (غبار) الفحم البني	170-150
الفحم الحجري	230-210
الوقود السائل الخفيف	360
الوقود السائل الثقيل	340
الغاز الطبيعي	650-450
الهيدروجين	530

## 2.2 حساب الاحتراق

### 1.2.2 العلاقات الستيكومترية (النظرية)

#### الوقود الصلب والسائل

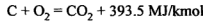
عند الاحتراق في حيز ما تحدث تفاعلات أكسدة للأجزاء القابلة للاحتراق في الوقود مع أكسجين الهواء، والشكل (1.2) يبين الاحتراق بشكل تخطيطي.



الشكل 1.2 : مخطط عملية الاحتراق.

تُعطي العلاقات الستيكومترية (النظرية) معادلات التفاعل من أجل احتراق كامل للوقود وتكون عملية موازنة المواد على أساس المول أو الكتلة.

سنعرض فيما يلي العلاقات الستيكومترية للأجزاء القابلة للاحتراق في وقود صلب أو سائل. من أجل احتراق الكربون

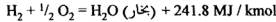


$$(10.2) \quad 12 \text{ kg} + 32 \text{ kg} = 44 \text{ kg}$$

إذاً من أجل 1 kg كربون فإن كمية الأكسجين  $O_2$  اللازمة و  $CO_2$  المرافقة هي:

$$8/3 \text{ kg } O_2, 11/3 \text{ kg } CO_2$$

وبطريقة مشابهة فإنه عند احتراق الهيدروجين ينتج:

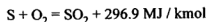


$$(11.2) \quad 2 \text{ kg} + 16 \text{ kg} = 18 \text{ kg}$$

لكل 1 kg من الهيدروجين  $H_2$  يلزم 8 kg من الأكسجين  $O_2$ ، وعند الاحتراق ينشأ 9 kg بخار

ماء  $H_2O$ .

عند احتراق الكبريت:



(12.2)

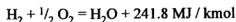
$$32 \text{ kg} + 32 \text{ kg} = 64 \text{ kg}$$

لحرق 1 kg من الكبريت S يلزم 1 kg من الأوكسجين  $O_2$  وينشأ 2 kg من  $SO_2$ .

### الوقود الغازي

من أجل احتراق الأجزاء القابلة للاحتراق في وقود غازي ( $C_mH_n$ ,  $CH_4$ ,  $CO$ ,  $H_2$ ) تطبق العلاقات الستيكومترية التالية المنسوبة إلى الحجم.

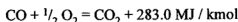
من أجل غاز الهيدروجين:



(13.2)

$$1 \text{ m}^3 + 1/2 \text{ m}^3 = 1 \text{ m}^3$$

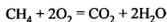
من أجل أوكسيد الكربون:



(14.2)

$$1 \text{ m}^3 + 1/2 \text{ m}^3 = 1 \text{ m}^3$$

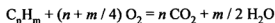
من أجل الميتان:



(15.2)

$$1 \text{ m}^3 + 2 \text{ m}^3 = 1 \text{ m}^3 + 2 \text{ m}^3$$

من أجل الفحم الهيدروجينية عموماً:



(16.3)

$$1 \text{ m}^3 + (n + m / 4) \text{ m}^3 = n \text{ m}^3 + m / 2 \text{ m}^3$$

## 2.2.2 الهواء اللازم للاحتراق

الهواء اللازم للوقودين في الصلب والسائل

تُحسب كمية الأوكسجين الأصغرية لإحراق الوقود الصلب أو السائل بناءً على العلاقات الستيكومترية (10.2 إلى 12.2) كما يلي:

(17.2)

$$O_{min} = 8/3 C + 8H + S - O \quad [O_2 \text{ لكل kg وقود}]$$

حيث: C، H، S، O محتويات الوقود من الكربون والهيدروجين والكبريت والأوكسجين

[kg/kg]

يبين الجدول (6.2) تركيب الهواء الجاف، حيث تم إهمال مركبات الهواء الأخرى (ثاني أو أكسيد الكربون، والغازات الحاملة Kr و Ar)

الجدول 6.2: تركيب الهواء الجاف

المركب	الأكسجين O <sub>2</sub>	الآزوت N <sub>2</sub>	نسبة N <sub>2</sub> /O <sub>2</sub>
النسبة المولية أو الحجمية	0.21	0.79	3.76
النسبة المئوية للحجم	21.0	79.0	3.76
النسبة المئوية للكتلة	23.2	76.8	3.31

كتلة الهواء النظرية (الأصغرية) اللازمة لاحتراق 1 kg وقود وبالم kg هي:

$$M_{A,min} = 1/0232 (8/3 C + 8 H + S - O)$$

$$(18.2) \quad = 11.49 C + 34.48 H + 4.31 (S - O)$$

الاستهلاك الأصغري للهواء أو كمية الهواء النظرية من أجل الاحتراق الكامل لوقود صلب أو سائل (m<sup>3</sup> هواء جاف عند الشروط النظامية أي 0 °C و 1.013 bar لكل 1 kg وقود):

$$(19.3) \quad A_{min} = 8.88 C + 26.44 H + 33.3 (S - O)$$

وبمراعاة رطوبة الهواء x (kg بخار لكل kg هواء جاف) فإن كمية هواء الاحتراق:

$$(20.2) \quad A'_{min} = A_{min} (1 + 1.6 x) \quad [m^3 \text{ هواء لكل kg وقود}]$$

يمكن اعتبار x في الصيف مساوية 0.009 kg / kg وفي الشتاء 0.002 kg / kg.

#### الهواء اللازم للوقود الغازي

من المعادلات 13.2 حتى 16.2 الستيكومترية، فإن الاستهلاك الأصغري للهواء عند إحراق الوقود الغازي بالم m<sup>3</sup> هواء جاف عند الشروط النظامية (0 °C و 1.013 bar) لكل m<sup>3</sup> وقود غازي يحسب من العلاقة التالية:

$$(21.2) \quad A_{min} = 4.76 [0.5 (H_2 + CO) + 2CH_4 + (n + m / 4) C_nH_m + 1.5 H_2S - O_2]$$

حيث: H<sub>2</sub>, CO, CH<sub>4</sub>, C<sub>n</sub>H<sub>m</sub>, H<sub>2</sub>S, O<sub>2</sub> محتوى الوقود من هذه المركبات [m<sup>3</sup>/m<sup>3</sup>].

#### عامل زيادة الهواء

من أجل احتراق كامل يجب أن يكون هناك زيادة في الهواء.



تبلغ كمية الهواء اللازمة فعلاً للاحتراق:

$$A = \lambda A_{\min} \text{ لكل } m^3 \text{ أو kg وقود} \quad (22.2)$$

حيث:  $\lambda$  عامل زيادة (فائض) الهواء.

يتعلق عامل زيادة الهواء بنوع الوقود وطريقة إحراقه. قيم  $\lambda$  هي 1.25 — 1.35 عند الإحراق بالمصبغات (هذا من أجل الحراقات الحديثة، أما من أجل القديمة فقيمة  $\lambda$  هي 1.7). لحراقات الفحم المسحوق تبلغ  $\lambda$  القيمة 1.05 — 1.15، للحراقات السيكلونية 1.1 — 1.25 إذا كان طرح الخبث في الحالة السائلة (مصحوراً)، أما لحراقات الوقود السائل والغازي فتبلغ  $\lambda$  القيمة 1.03 — 1.1.

## مثال 1.2

يطلب تحديد القيمة الحرارية الدنيا والاستهلاك الأصغري ثم الفعلي للهواء إذا كانت قيمة عامل زيادة الهواء  $\lambda = 1.3$ ، وذلك عن إحراق فحم بنسي تحليله العنصري (كنسبة مئوية وزنية) كما يلي  $C = 32$ ،  $H = 3$ ،  $S = 1$ ،  $N = 1$ ،  $O = 8$ ، ونسبة الرماد  $A = 5$  والماء  $W = 50$ .

الحل

نتج القيمة الحرارية الدنيا للوقود بحسب المعادلة (5.2) كما يلي:

$$LCV = 34.8 \times 0.32 + 93.9 \times 0.03 + 10.46$$

$$\times 0.01 + 6.28 \times 0.01 - 10.8 \times 0.8 - 2.50 \times 0.50 = 12 \text{ MJ/kg}$$

أما الاستهلاك الأصغري لهواء الاحتراق فيحسب كما يلي:

$$A_{\min} = 8.88 C + 26.44 H + 3.33 S - 3.33 O$$

$$= 8.88 \times 0.32 + 26.44 \times 0.03 + 3.33 \times 0.01 - 3.33 \times 0.08$$

$$= 3.4 \text{ m}^3 / \text{kg}$$

والاستهلاك الفعلي لهواء الاحتراق:

$$A = \lambda A_{\min} = 1.3 \times 3.4 = 4.42 \text{ m}^3 / \text{kg}$$

## 3.2.2 كمية غازات الاحتراق الناتجة

كمية غازات الاحتراق الناتجة عن الوقود الصلب والسائل

تُحسب كتل ثاني أكسيد الكربون  $\text{CO}_2$  وثاني أكسيد الكبريت  $\text{SO}_2$  الآزوت  $\text{N}_2$  عند احتراق كامل لوقود صلب أو سائل من العلاقات الستيكومترية (10.2 إلى 12.2). يحسب حجم

كل عنصر من المركبات الداخلة في تركيب غازات الاحتراق بالاستعانة بالكتلة. تحسب الكتلة النوعية للغازات هذه بمعرفة الكتلة المولية  $M$  والحجم المولي  $V_{Mol}$ ، ويتضمن الجدول (7.2) الكتلة المولية والكتلة النوعية لمركبات الوقود وغازات الاحتراق.

من أجل الوقود الصلب والسائل تستخدم العلاقات التالية:

$$(23.2) \quad V_{CO_2} = 11 / 3 C \text{ (kg / kg)} \quad \rho_{CO_2} = 1.867 C \text{ [kg لكل 1 وقود]}$$

$$(24.2) \quad V_{SO_2} = 0.68 S \text{ [kg لكل 1 وقود]}$$

$$(25.2) \quad V_{N_2} = 0.8 N + 0.79 A_{min} \text{ [kg لكل 1 وقود]}$$

حيث: C، S، N محتوى الوقود من الكربون والكبريت والآزوت (كغ لكل كغ وقود).

الجدول 7.2: الكتلة المولية، الحجم المولي، الكتلة النوعية (عند 0°C و 1.013 bar) لمركبات الوقود والهواء وغازات الاحتراق

المركب	الكتلة المولية $M$ Kg/kmol	الحجم المولي $V_{Mol}$ m <sup>3</sup> /kmol	الكتلة النوعية Kg/m <sup>3</sup>
الكربون C	12.01	—	—
الكبريت S	32.06	—	—
الأوكسجين O <sub>2</sub>	32.00	22.39	1.429
الآزوت N <sub>2</sub>	28.16	22.40	1.257
الهيدروجين H <sub>2</sub>	2.016	22.43	0.090
الهواء	28.96	22.40	1.293
ثاني أكسيد الكربون CO <sub>2</sub>	44.01	22.26	1.977
ثاني أكسيد الكبريت SO <sub>2</sub>	64.06	21.86	2.931
بخار الماء	18.02	22.41	0.804

عندما تكون قيمة  $\lambda > 1$  فإن غازات الاحتراق تحوي كمية أكبر من الآزوت والأكسجين:

$$(26.2) \quad V_{N_2} = 0.8 N + 0.79 \lambda A_{min} \text{ [kg لكل 1 وقود]}$$

$$(27.2) \quad V_{O_2} = 0.21 (\lambda - 1) A_{min} \text{ [kg لكل 1 وقود]}$$

تحتسب كمية غازات الاحتراق الجافة الناتجة عن الاحتراق كما يلي:

$$(28.2) \quad V_{G, dry} = V_{CO_2} + V_{SO_2} + V_{N_2} + V_{O_2} = 1.867 C + 0.68 S + 0.8 N + 0.79 \lambda A_{min} + 0.21 (\lambda - 1) A_{min} \text{ [m}^3/\text{kg]}$$

بسبب احتراق الهيدروجين (H) الموجود في الوقود، وبسبب الماء الموجود فيه أيضاً (W) فإن كمية بخار الماء التي توجد في غازات الاحتراق تحسب كما يلي:

$$(29.2) \quad V_{H_2O} = 11.11 H + 1.24 W \quad [\text{m}^3 \text{ بخار ماء لكل kg وقود}]$$

وإمراعاة رطوبة الهواء x (كغ لكل كغ هواء جاف) يصبح:

$$(30.2) \quad V_{H_2O} = 11.11 H + 1.24 W + 1.6 \times \lambda A_{\min} \quad [\text{m}^3 \text{ بخار ماء لكل kg وقود}]$$

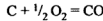
أما كمية غازات الاحتراق الرطبة فتحسب من العلاقة:

$$(31.2) \quad V_G = V_{G,\text{dry}} + V_{H_2O} \quad [\text{m}^3/\text{kg}]$$

كمية غازات الاحتراق الفعلية بعد مراعاة الكمية الصغرى  $V_{G,\min}$  عند احتراق سيتكوم تري ( $\lambda = 1$ ) عامل زيادة الهواء  $\lambda$  هي:

$$(32.2) \quad V_G = V_{G,\min} + (\lambda - 1) A_{\min}$$

عندما يكون الاحتراق غير كامل بفعل قلة الهواء ينشأ لدى احتراق الكربون إلى جانب ثاني أكسيد الكربون  $\text{CO}_2$  ينشأ أيضاً أول أكسيد الكربون CO



$$(33.3) \quad 12 \text{ Kg} + 16 \text{ kg} = 28 \text{ kg}$$

## مثال 2.2

من أجل فحم بنسي تركيبه العنصري كما يلي: C = 32 %، H = 3 %، S = 1 %، N = 1 %، O = 8 % الرماد A = 5 %، الماء W = 50 %، يطلب تحديد كميات الغازات الناتجة عن الاحتراق والكمية الإجمالية الجافة والرطبة. استخدم معطيات المثال 1.2.

*الحل*

كمية الغازات التي تتألف منها غازات الاحتراق عندما تكون  $\lambda = 1.3$ :

$$V_{\text{CO}_2} = 1.867 C = 0.592 \text{ m}^3/\text{kg}$$

$$V_{\text{SO}_2} = 0.68 S = 0.007 \text{ m}^3/\text{kg}$$

$$\begin{aligned} V_{\text{N}_2} &= 0.8 N + 0.79 \lambda A_{\min} \\ &= 0.8 \times 0.01 + 0.79 \times 1.3 \times 3.34 = 3.5 \text{ m}^3/\text{kg} \end{aligned}$$

$$V_{O_2} = 0.21 (\lambda - 1) A_{\min}$$

$$= 0.21 (1.3 - 1) = 0.214 \text{ m}^3/\text{kg}$$

الكمية الإجمالية للغازات للجافة:

$$V_{G,\text{dry}} = V_{CO_2} + V_{SO_2} + V_{N_2} + V_{O_2}$$

$$= 0.592 + 0.007 + 3.5 + 0.214 = 4.313 \text{ m}^3/\text{kg}$$

بمراعاة رطوبة الهواء  $x$  (حوالي 0.01 kg/kg) تصبح كمية بخار الماء:

$$V_{H_2O} = 11.11 H + 1.24 W + 1.6 x A$$

$$= 11.11 \times 0.03 + 1.24 \times 0.50 + 1.6 \times 0.01 \times 4.42$$

$$= 0.333 + 0.62 + 0.068 = 1.021 \text{ m}^3 / \text{kg}$$

وتصبح كمية غازات الاحتراق الإجمالية الرطبة:

$$V_G = V_{G,\text{dry}} + V_{H_2O}$$

$$= 4.313 + 1.021 = 5.334 \text{ m}^3 / \text{kg}$$

### 3.2 مثال

وقود سائل ثقيل تركيبة كما يلي (C = 86 % وزناً، H = 13 %، S = 0.3 %، N = 0.4 %). يُطلب حساب حجم الهواء الأصغري اللازم للاحتراق، وكذلك حجم غازات الاحتراق الناتجة عندما تكون  $\lambda = 1.1$ . محتوى الهواء من الرطوبة  $x$  يبلغ 0.009 kg هواء لكل kg هواء جاف.

الحل:

1. حجم الهواء الأصغري اللازم للاحتراق:

$$A_{\min} = 8.88 C + 26.44 H + 3.33 (S - O)$$

$$= 8.88 \times 0.86 + 26.44 \times 0.13 + 3.33 (0.003 - 0.003) = 11.07 \text{ m}^3/\text{kg}$$

2. الحجم الفعلي للهواء اللازم:

$$A = \lambda A_{\min} = 1.1 \times 11.07 = 12.18 \text{ m}^3 / \text{kg}$$

3. حجم غازات الاحتراق الناتجة عندما  $\lambda = 1.1$  تحسب كما يلي:

$$V_{CO_2} = 1.867 C = 1.867 \times 0.86 = 1.606 \text{ m}^3/\text{kg}$$

$$V_{SO_2} = 0.68 S = 0.68 \times 0.003 = 0.002 \text{ m}^3/\text{kg}$$

$$V_{N_2} = 0.8 N_2 + 0.79 A$$

$$= 0.8 \times 0.004 + 0.79 \times 12.18 = 9.626 \text{ m}^3/\text{kg}$$

$$V_{O_2} = 0.21 (\lambda - 1) A_{\min}$$

$$= 0.21 (1.1 - 1) 11.07 = 0.256 \text{ m}^3/\text{kg}$$

$$V_{H_2O} = 11.11 H + 1.6 x A$$

$$= 11.11 \times 0.13 + 1.6 \times 0.009 \times 12.18 = 1.62 \text{ m}^3/\text{kg}$$

4. الحجم الإجمالي لغازات الاحتراق الرطبة هو مجموع أحجام الغازات الجزئية:

$$V_G = V_{CO_2} + V_{SO_2} + V_{N_2} + V_{O_2} + V_{H_2O}$$

$$= 1.606 + 0.002 + 9.626 + 0.256 + 1.62 = 13.109 \text{ m}^3/\text{kg}$$

### كمية غازات الاحتراق الناتجة عن احتراق الوقود الغازي

عند حصول احتراق كامل لوقود غازي خالٍ من الكبريت (عندما  $\lambda > 1$ ) تنشأ الحجوم التالية

من غازات الاحتراق (بالـ  $\text{m}^3$  لكل  $\text{m}^3$  وقود غازي عند الشروط النظامية):

$$(34.2) \quad V_{CO_2} = CO_2 + CO + CH_4 + n C_n H_m$$

$$(35.2) \quad V_{N_2} = N_2 + 0.79 \lambda A_{\min}$$

$$(36.2) \quad V_{O_2} = 0.21 (\lambda - 1) A_{\min}$$

حيث:  $CO_2$ ،  $CO$ ،  $CH_4$ ،  $C_n H_m$ ، محتوى الوقود الغازي من هذه المركبات [بالـ  $\text{m}^3$  لكل  $\text{m}^3$

وقود غازي عند الشروط النظامية]

$A_{\min}$  الاستهلاك الأصغري للهواء من أجل الاحتراق [ $\text{m}^3$  لكل  $\text{m}^3$  وقود غازي]

$x$  محتوى الرطوبة في الهواء [كغ لكل كغ هواء جاف]

$\lambda$  عامل زيادة الهواء.

حجم غازات الاحتراق الجافة عند احتراق كامل:

$$(37.2) \quad V_{G, \text{dry}} = V_{CO_2} + V_{N_2} + V_{O_2} \quad [\text{m}^3/\text{m}^3]$$

حجم بخار الماء عند مراعاة رطوبة الهواء:

$$(38.2) \quad V_{H_2O} = H_2 + 2CH_4 + m/2 C_n H_m \quad [\text{m}^3 \text{ وقود غازي} \text{ m}^3 H_2O]$$

أو:

$$(39.2) \quad V_{H_2O} = H_2 + 2CH_4 + m/2 C_n H_m + 1.6 x \lambda A_{\min} \quad [\text{m}^3/\text{m}^3]$$

أما حجم غازات الاحتراق الرطبة الإجمالية  $V_G$  فهو مجموع غازات الاحتراق الجافة  $V_{G,dry}$  وبخار الماء  $V_{H_2O}$ .

## مثال 4.2

غاز طبيعي تركيبه كما يلي (كنسب حجمية)  $CH_4 = 93\%$ ،  $C_2H_6 = 2\%$ ،  $C_3H_8 = 3\%$ ،  $CO_2 = 1\%$ ،  $N_2 = 1\%$ ، يُطلب حساب استهلاك الهواء وكذلك حجم غازات الاحتراق الناتجة عندما  $\lambda = 1.1$ . رطوبة الهواء:  $x = 0.009 \text{ kg}$  لكل  $\text{kg}$  هواء جاف.

الحل

1. يُحسب الحجم الأصغري للهواء اللازم للاحتراق من المعادلة (21.2) كما يلي:

$$\begin{aligned} A_{\min} &= 4.76 [2 CH_4 + (n + m / 4) C_n H_m] \\ &= 4.76 [2 CH_4 + (2 + 6/4) C_2 H_6 + (3 + 8/4) C_3 H_8] \\ &= 4.76 [2 \times 0.93 + 3.5 \times 0.02 + 5 \times 0.03] = 9.9 \text{ m}^3/\text{m}^3 \end{aligned}$$

2. الاستهلاك الفعلي للهواء:

$$A = \lambda A_{\min} = 1.1 \times 9.9 = 10.89 \text{ m}^3/\text{m}^3$$

3. حجم غازات الاحتراق عندما  $\lambda = 1.1$

$$\begin{aligned} V_{CO_2} &= CO_2 + CH_4 + 2 C_2 H_6 + 3 C_3 H_8 \\ &= 0.01 + 0.93 + 2 \times 0.02 + 3 \times 0.03 = 1.07 \text{ m}^3/\text{m}^3 \end{aligned}$$

$$\begin{aligned} V_{N_2} &= N_2 + 0.79 A \\ &= 0.01 + 0.79 \times 10.89 = 8.61 \text{ m}^3/\text{m}^3 \end{aligned}$$

$$\begin{aligned} V_{O_2} &= 0.21 (\lambda - 1) A_{\min} \\ &= 0.21 (1.1 - 1) 9.9 = 0.21 \text{ m}^3/\text{m}^3 \end{aligned}$$

$$\begin{aligned} V_{H_2O} &= 2 CH_4 + 6/2 C_2 H_6 + 8/2 C_3 H_8 + 1.6 x A \\ &= 2 \times 0.93 + 3 \times 0.02 + 4 \times 0.03 + 1.6 \times 0.009 \times 10.89 = 2.20 \text{ m}^3/\text{m}^3 \end{aligned}$$

4. حجم غازات الاحتراق الرطبة هي مجموع الغازات السابقة

$$\begin{aligned} V_G &= V_{CO_2} + V_{N_2} + V_{O_2} + V_{H_2O} \\ &= 1.07 + 8.61 + 0.21 + 2.20 = 12.09 \text{ m}^3/\text{m}^3 \end{aligned}$$

### الحجم الجزئي والضغط الجزئي لمركبات غازات الاحتراق

تُحسب نسبة الحجم الجزئي لمركبات غازات الاحتراق ( $\text{CO}_2$ ,  $\text{H}_2\text{O}$ ,  $\text{N}_2$ ,  $\text{O}_2$ ,  $\text{SO}_2$  وأحياناً  $\text{CO}$ ) من حجم كلٍّ منها والحجم الإجمالي  $V_G$  للغازات الرطبة (بالـ  $\text{m}^3$  لكل  $\text{m}^3$  من الوقود الغازي عند الشروط النظامية أي  $0^\circ\text{C}$  و  $1.013 \text{ bar}$ )

$$(40.2) \quad r = V / V_G$$

إن مجموع نسب الحجوم الجزئية للمركبات الداخلة في تركيب غازات الاحتراق يساوي الواحد.

ويُنتج الضغط الجزئي  $p_i$  لأحد مركبات غازات الاحتراق من نسبة الحجم الجزئي  $r$  والضغط الكلي للغازات.

$$(41.2) \quad p_i = r_i p \quad [\text{Pa}]$$

وبموجب قانون دالتون فإن مجموع الضغوط الجزئية للمركبات الداخلة في تركيب غازات الاحتراق يساوي الضغط الكلي:

$$(42.2) \quad \sum p_i = p$$

تستخدم الضغوط الجزئية لثاني أكسيد الكربون وبخار الماء في حساب انتقال الحرارة بالإشعاع في حجرة الاحتراق وسطوح التبادل الحراري لمولد البخار.

### مثال 5.2

للغاز الطبيعي الوارد في المثال 4.2 يطلب حساب الحجوم الجزئية والضغط الجزئي لمركبات غازات الاحتراق. الضغط الكلي في حجرة الاحتراق:  $p = 1 \text{ bar}$ .

#### الحل

1. من المثال 4.2 نجد حجم غازات الاحتراق المختلفة وحجم الغازات الرطبة الإجمالية:

$$V_{\text{CO}_2} = 1.07 \text{ m}^3/\text{m}^3, V_{\text{N}_2} = 8.61 \text{ m}^3/\text{m}^3$$

$$V_{\text{O}_2} = 0.21 \text{ m}^3/\text{m}^3, V_{\text{H}_2\text{O}} = 2.20 \text{ m}^3/\text{m}^3, V_G = 12.09 \text{ m}^3/\text{m}^3$$

2. الحجم الجزئي لـ  $\text{CO}_2$  في الغازات الرطبة (على سبيل المثال):

$$\begin{aligned} r_{\text{CO}_2} &= V_{\text{CO}_2} / V_G \\ &= 1.07 / 12.09 = 0.111 \text{ m}^3/\text{m}^3 \end{aligned}$$

والضغط الجزئي لـ  $\text{CO}_2$

$$p_{\text{CO}_2} = p r_{\text{CO}_2} = 1 \times 0.111 = 0.111 \text{ bar}$$

3. تحسب بطريقة مشابهة المركبات الأخرى لغازات الاحتراق، والجدول 8.2 يعطي المعطيات والناتج.

الجدول 8.2: المعطيات والناتج للمثال 5.2

مركبات الغاز الطبيعي	الحجم بالـ $\text{m}^3/\text{m}^3$	نسبة الحجم الجزئي بالـ $\text{m}^3/\text{m}^3$	الضغط الجزئي بالـ $\text{bar}$
$\text{CO}_2$	1.07	0.111	0.111
$\text{N}_2$	8.61	0.690	0.690
$\text{O}_2$	0.21	0.017	1.017
$\text{H}_2\text{O}$	2.20	0.182	0.182
المجموع	12.09	1.000	1.000

القيم المميزة والانتالبي لغازات الاحتراق

تُحسب الكتلة النوعية لغازات الاحتراق (بالـ  $\text{kg}/\text{m}^3$  عند الشروط النظامية) كما يلي:

$$(43.2) \quad \rho_G = \sum r_i \rho_i = 1.977 r_{\text{CO}_2} + 0.804 r_{\text{H}_2\text{O}} + 2.931 r_{\text{SO}_2} + 1.257 r_{\text{N}_2} + 1.429 r_{\text{O}_2} + 1.25 r_{\text{CO}}$$

حيث:  $r_i$  الحجم الجزئي للمركب  $i$  من غازات الاحتراق  $[\text{m}^3/\text{m}^3]$

$\rho_i$  الكتلة النوعية للمركب  $i$  من غازات الاحتراق  $[\text{kg}/\text{m}^3]$ .

ترداد قيمة الكتل النوعية  $\rho_G$  كلما ازداد محتوى الغازات من  $\text{CO}_2$  و  $\text{SO}_2$  وتقل قيمة  $\rho_G$  بازدياد محتوى الغازات من  $\text{H}_2\text{O}$ .

تُحسب السعة الحرارية النوعية الوسطية لغازات الاحتراق بثبوت الضغط من العلاقة:

$$(44.2) \quad c_{pG} = \sum g_i c_{pi} \quad [\text{kJ} / \text{kg}]$$

حيث:  $g_i$  النسبة الكتلية للمركب  $i$  في غازات الاحتراق  $[\text{kJ}/\text{kg}]$

$c_{pi}$  السعة الحرارية النوعية الوسطية للمركب  $i$  من الغازات عند ثبوت الضغط  $[\text{kJ}/\text{kg}]$

(الجدول 9.2).

يحسب الانتالبي لغازات الاحتراق  $h_G$  عند درجة حرارة معينة  $t$  كما يلي:



$$(45.2) \quad h_G = V_G c_{pG} t \quad [\text{kJ لكل } \text{kg} \text{ أو } \text{m}^3 \text{ وقود}]$$

الجدول 9.2: السعة الحرارية الوسطية النوعية  $c_p$  للغازات [kJ/kgK] في مجال درجات الحرارة بين 0 و 1000°C

SO <sub>2</sub>	H <sub>2</sub> O	CO <sub>2</sub>	O <sub>2</sub>	N <sub>2</sub>	الهواء	درجة الحرارة بالـ °C
0.6083	1.8591	0.8165	0.9148	1.0394	1.0037	0
0.6365	1.8724	0.8677	0.9230	1.0404	1.0065	100
0.6634	1.8931	0.9122	0.9355	1.0434	1.0117	200
0.6877	1.9185	0.9509	0.9500	1.0490	1.0192	300
0.7090	1.9467	0.9850	0.9649	1.0568	1.0286	400
0.7274	1.9767	1.0152	0.9792	1.0661	1.0389	500
0.7433	2.0082	1.0422	0.9925	1.0764	1.0498	600
0.7692	2.0741	1.0881	1.0158	1.0976	1.0712	800
0.7891	2.1414	1.1253	1.0350	1.1179	1.0910	1000
0.8049	2.2078	1.1560	1.0512	1.1363	1.1087	1200
0.8178	2.2714	1.1816	1.0651	1.1528	1.1243	1400
0.8286	2.3311	1.2032	1.0775	1.1673	1.1382	1600
0.8377	2.3866	1.2217	1.0888	1.1801	1.1505	1800
0.8457	2.4379	1.2377	1.0993	1.1914	1.1615	2000
0.8527	2.4851	1.2517	1.1092	1.2015	1.1714	2200

أما عامل التوصيل الحراري  $\lambda_G$  للغازات الاحتراق فيحسب من المعادلة التقريبية التالية:

$$(46.2) \quad \lambda_G = \sum g_i \lambda_i \quad [\text{W/mK}]$$

حيث:  $g_i$  الكتلة الجزئية للمركب  $i$  من غازات الاحتراق [kg/kg]

$\lambda_i$  عامل التوصيل الحراري للمركب  $i$  من غازات الاحتراق [W/mK].

يمكن أخذ قيم  $\lambda_i$  من الجدول 10.2.

الجدول 10.2: عامل التوصيل الحراري  $\lambda$  [W/mK] للغازات عند 1 bar.

SO <sub>2</sub>	H <sub>2</sub> O	CO <sub>2</sub>	O <sub>2</sub>	N <sub>2</sub>	الهواء	درجة الحرارة بالـ °C
0.0084	0.0182	0.0143	0.0246	0.0243	0.0243	0
-	0.0248	0.0213	0.0317	0.0304	0.0314	100
-	0.0431	0.0286	0.0407	0.0383	0.0386	200
-	-	0.0352	0.0476	0.0442	0.0454	300

هناك علاقة بين الكتل الجزئية  $g_i$  [kg/kg] والضغط الجزئية  $p_i$  [m<sup>3</sup>/m<sup>3</sup>] لمركبات غازات

الاحتراق وهي:

(47.2)

$$g_i = m_i / m = V_i \rho / V \rho = r_i \rho / \rho = r_i M_i / M$$

حيث:  $m_i$  أو  $m$  كتلة المركب  $i$  من غازات الاحتراق أو كتلة غاز الاحتراق [kg]

$V_i$  أو  $V$  حجم المركب  $i$  من غازات الاحتراق أو حجم غاز الاحتراق [ $m^3$ ]

$\rho$  أو  $\rho$  الكثافة النوعية للمركب  $i$  من غازات الاحتراق أو الكثافة النوعية لغازات الاحتراق [ $kg/m^3$ ]

$M_i$  أو  $M$  الكتلة المولية  $i$  من غازات الاحتراق أو الكتلة المولية لغازات الاحتراق بمجمليها [kg/kmol]

تُحسب قيمة الانتالبي لغازات الاحتراق في مجال درجات الحرارة بين  $0^\circ C$  والدرجة  $t$  كما يلي:  
من أجل 1 kg وقود صلب أو سائل أو  $1 m^3$  وقود غازي تُطبّق العلاقة التالية:

(48.2)

$$H_G = V_G c_{pG} t \quad [m^3 \text{ أو } kg/kJ]$$

حيث:  $V_G$  حجم غازات الاحتراق [ $m^3$  لكل 1 kg أو  $1 m^3$  وقود]

$c_{pG}$  السعة الحرارية الوسطية النوعية لغازات الاحتراق [ $kJ/m^3K$ ].

### 3.2 درجة حرارة الاحتراق

تُحدد درجة حرارة الاحتراق ودرجة حرارة غازات الاحتراق عند مخرج حجرة الاحتراق عن طريق الانتالبي بناءً على الموازنة الحرارية لحجرة الاحتراق:

(49.2)

$$m_F = (L_{CV} + c_F t_F + A \rho_A c_{pA} t_A) = m_F h_G \quad [kJ/S]$$

(50.2)

$$m_F h_G = Q_{FR} + Q_L \quad [kJ/s]$$

حيث:  $m_F$  تدفق الوقود الصلب والسائل [kg/s] أو الوقود الغازي [ $m^3/s$ ]

LCV القيمة الحرارية الدنيا للوقود [kJ/kg] أو [ $kJ/m^3$ ]

$A$  استهلاك الهواء [ $m^3/kg$  أو  $m^3/m^3$  للوقود الغازي]

$\rho_A$  الكثافة النوعية للهواء [ $kg/m^3$ ]

$c_F$  أو  $c_{pA}$  السعة الحرارية النوعية للوقود أو الهواء [kJ/kgK]

$t_F$  أو  $t_A$  درجة حرارة الوقود أو الهواء [ $^\circ C$ ]

$h_G$  الانتالبي النوعي لغازات الاحتراق [kJ/s]

$Q_{FR}$  التيار الحراري المفيد في حجرة الاحتراق [kJ/s]

عندما يكون الاحتراق كاملاً وبدون ضياعات للطاقة ( $Q_L = 0$ ) وبدون تبادل حراري ( $Q_{FR} = 0$ ) تنتج درجة حرارة الاحتراق النظرية (الأدياباتية أو الكظيمة)  $t_{th}$ . إذا أهملت الحرارة المحسوسة للوقود والهواء يصبح:

$$(51.2) \quad t_{th} = LCV / V_G r_G C_{PG} = h_G / C_{PG}$$

يمكن تحديد حرارة حجرة الاحتراق الفعلية  $t_{FR}$  بشكل تقريبي كما يلي:

$$(52.2) \quad t_{FR} = \varphi \ t_{th}$$

حيث:  $\varphi$  عامل تخفيض يراعي التبادل الحراري من حجرة الاحتراق، وهو يتعلق بطريقة احتراق الوقود (نوع الحراق).

عند درجات حرارة تفوق الـ 1500 °C يحدث تفكك لـ  $CO_2$  و  $H_2O$  وتستهلك لهذا حرارة بحيث تصبح درجة الحرارة في حجرة الاحتراق أقل، وهذا الأمر يعقد حساب درجة حرارة الاحتراق.

في الجدول (11.2) توجد قيم استرشادية لدرجة حرارة الاحتراق النظرية  $t_{th}$  ولدرجة حرارة حجرة الاحتراق  $t_{FR}$ .

**الجدول 11.2:** درجة الحرارة النظرية  $t_{th}$  لمختلف أنواع الوقود، ودرجة حرارة حجرة الاحتراق  $t_{FR}$  لمختلف أنواع الوقود.

$t_{FR}$ بالـ °C	$t_{th}$ بالـ °C
لحراقات مسحوق الفحم الحجري 1200 - 1500 لحراقات الفحم الحجري مع تصريف الخبث بالحالة المصهورة 1400 - 1800	2200 - 2300 الفحم الحجري
لحراقات مسحوق الفحم البني 1000 - 1150 لحراقات مسحوق الفحم البني في فرشة الوقود السائل 900 - 800	1400 - 1500 الفحم البني
لحراقات الوقود السائل 1200 - 1600	الوقود السائل الثقيل والخفيف 2000 - 2100
لحراقات الوقود الغازي 1200 - 1600	الغاز الطبيعي حوالي 2000

## 4.2 اختبار جودة الاحتراق

لاختبار جودة الاحتراق تجرى عملية تحليل لغازات الاحتراق ويُحدَّد المحتوى من الأكسجين ( $O_2$ ) وثنائي أكسيد الكربون ( $CO_2$ ) في غازات الاحتراق الجافة. إن تحديد نسبة  $CO_2$  في غازات الاحتراق معيار هام في تحديد جودة الاحتراق.

عند احتراق كامل للوقود بدون عامل زيادة هواء  $\lambda = 1$  تصل قيمة محتوى  $CO_2$  في الغازات إلى حدها الأعظمي  $CO_{2max}$ .

من أجل الوقود الصلب والسائل [كنسب حجمية]:

$$CO_{2max} = 1.867 C / V_G \quad (53.2)$$

حيث:  $C$  محتوى الوقود من الكربون  $[kJ/kg]$

$V_G$  حجم غازات الاحتراق  $[m^3/kg]$ .

عندما تكون قيمة  $C = 1$ ، أي من أجل الفحم الصافي تصبح قيمة  $CO_{2max} = 21\%$  [حجماً].

يعطي الجدول (12.2) قيم  $CO_{2max}$  لأنواع مختلفة من الوقود على سبيل المثال.

الجدول 12.2: قيم  $CO_{2max}$  لأنواع مختلفة من الوقود

نوع الوقود	$CO_{2max}$ كنسبة حجمية مئوية
فحم حجري وبني	18.6 – 19.8
– غني بالكربون	18 – 7
– فقير بالكربون	19.1
– انتراسيت	19.2
فحم الكوك	20.6
وقود سائل (فيول أويل)	15.5 – 16.0
غاز طبيعي	12.5

من قيمة  $CO_2$  المقاسة و  $CO_{2max}$  تنتج قيمة محتوى غازات الاحتراق من الأكسجين ( $O_2$ ):

$$O_2 = 21 (1 - CO_2 / CO_{2max}) \quad \text{[كنسبة حجمية]} \quad (54.2)$$

ويحسب عامل زيادة الهواء  $\lambda$  بشكل تقريبي كما يلي:

$$\lambda = CO_2 / CO_{2max} \quad (55.2)$$

إذا أجري تحليل لغازات الاحتراق وتمّ قياس محتوى الغازات من  $O_2$  فإن عامل زيادة الهواء يكون:

$$\lambda = 21 / (21 - O_2) \quad (56.2)$$

### درجة حرارة تكاثف غازات الاحتراق

درجة حرارة التكاثف هي حرارة الإشباع لبخار الماء عند ضغطه الجزئي، ويمكن قراءتها مباشرة من جدول البخار. إذا انخفضت درجة حرارة غازات الاحتراق إلى ما دون درجة حرارة التكاثف، عندها يحدث تكاثف لبخار الماء الموجود في غازات الاحتراق، ومع  $SO_2$  و  $SO_3$  تنشأ الحموض  $H_2SO_4$  و  $H_2SO_3$  التي تؤدي إلى تآكل (صدأ) سطوح التسخين كالموهر، ومسخن الهواء الأولي. تخافياً لهذا الصدأ يجب أن تبقى درجة حرارة غازات الاحتراق أعلى من درجة حرارة التكاثف.

### مثال 6.2

من أجل فحم بني له  $CO_{2max} = 19.8\%$  تبين أن محتوى  $CO_2$  في غازات الاحتراق  $15.2\%$ . ما هو محتوى غازات الاحتراق من الـ  $O_2$ ؟ وما هي قيمة عامل زيادة الهواء؟

**الحل**

1. محتوى غازات الاحتراق من الأكسجين  $O_2$

$$O_2 = 21 (1 - 15.2 / 19.8) = 4.6\%$$

2. عامل زيادة الهواء

$$\lambda = 19.8 / 15.2 = 1.3$$

### مثال 7.2

من أجل غازات الاحتراق التي تركيبها كما ورد في المثال 5.2 يُطلب تحديد درجة حرارة تكاثف هذه الغازات. الضغط الجزئي لبخار الماء فيها  $0.182 \text{ bar}$ .

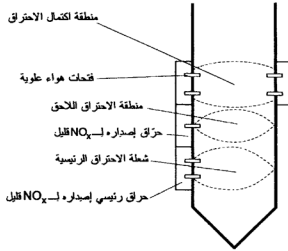
**الحل**

من جدول بخار الماء وعند الضغط الجزئي  $0.182 \text{ bar}$  نجد أن درجة حرارة إشباع البخار هي  $57.9^\circ\text{C}$ ، وبالتالي فإن درجة حرارة تكاثف غازات الاحتراق هي  $t = 57.9^\circ\text{C}$ .

## 5.2 الاحتراق ذو الإصدار القليل للغازات الضارة

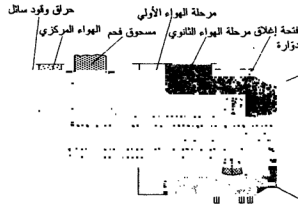
لتقليل إصدار غازات  $\text{NO}_2$  تُراعى إجراءات الاحتراق التالية:

- تخفيض درجة حرارة الاحتراق.
- تخفيض تركيز الأوكسجين في منطقة درجة الحرارة المرتفعة من حجرة الاحتراق.
- الإحراق على مراحل عن طريق:
  - إضافة الهواء على مراحل (هواء أولي - ثانوي - مرحلة ثالثة) في الحراق وفي حجرة الاحتراق
  - إضافة الوقود على مراحل
- إنقاص عامل زيادة الهواء.
- إعادة تمرير غازات الاحتراق على حجرة الاحتراق لتخفيض درجة حرارتها (الحجرة) ولتخفيض تركيز الأوكسجين فيها.



الشكل 2.2 : الاحتراق على مراحل في حجرة احتراق مولد البخار.

يبين الشكل (2.2) بشكل تخطيطي الاحتراق على مراحل، وفي الشكل (3.2) هناك حراق لمسحوق الفحم ذو إضافة للهواء على مراحل يحقق احتراقاً تكون الغازات الضارة الناتجة عنه قليلة. عند استخدام حراقات فحم مسحوق تطلق قدراً صغيراً من  $\text{NO}_x$  ينخفض إصدار  $\text{NO}_x$  ليصبح 400 حتى 800 mg  $\text{NO}_2$  لكل 1 m<sup>3</sup> من غازات الاحتراق، ويمكن تخفيض الإصدار حتى يصبح بين 200 و 400 mg لكل 1 m<sup>3</sup> من غازات الاحتراق.



الشكل 3.2 : حراق مسحوق فحم ذو إضافة للهواء على مراحل.

إذا استخدم أسلوب الاحتراق على مراحل وتم تمرير غازات الاحتراق ثانية (إعادة تدويرها) إلى حجرة الاحتراق يحدث الاحتراق في فرشاة الوقود السائلة عند درجات حرارة منخفضة تصل إلى 850 °C، وهذا مناسب لتقليل إصدار كل من أكاسيد الآزوت والكبريت.

في حراقات فرشاة الوقود السائلة ينخفض إصدار  $\text{NO}_2$  ليتراوح بين 100 و 300 mg  $\text{NO}_2$  لكل  $\text{m}^3$  من غازات الاحتراق، وسيعالج في الفصل الرابع بشكل مفصل الاحتراق في فرشاة الوقود السائلة الرفيق بالبيئة. أما تقليل إصدار الغازات الضارة في محطات الطاقة البخارية والغازية والمشاركة فسيجري عرضه في الفصول الرابع والسادس والسابع والثامن.





---

## 3 المحطات البخارية

---

### 1.3 أنواع محطات الطاقة

تقسم محطات الطاقة وفقاً لنوع الطاقة الأولية المستخدمة إلى:

- المحطات الحرارية (العنفات البخارية والغازية)
- المحطات المائية (الماء الجاري، ماء الخزانات أو السدود ومحطات تخزين الماء بالضخ)
- المحطات النووية
- المحطات الشمسية (المزارع الشمسية، الأبراج الشمسية، المعدات الكهروضوئية - الفوتوثلوية - أي ذات الخلايا الشمسية)
- محطات الرياح
- المحطات الجيوحرارية (الطاقة الحرارية لباطن الأرض)
- محطات قوة المدّ والجزر

تبلغ الاستطاعة التي تقدمها محطات الطاقة في العالم حالياً ما يزيد على 2000 GW<sup>\*</sup> حوالي 70% منها يُولّد بالوقود المستحاثي: أكبر استطاعة تقدمها محطة منفردة (وحدة توليد واحدة) تتراوح بين 700 و 1000 MW عند استخدام الوقود المستحاثي و 1300 MW في المحطات النووية و 280 MW للمحطات التي تعمل بالعنفات الغازية و 80 MW للمحطات الشمسية و 2 إلى 3 MW في محطات الرياح و 500 MW في المحطات المائية.

أما أكبر محطة طاقة تستخدم الفحم فهي في جنوب أفريقيا (محطة Kendal) واستطاعتها الكهربائية تبلغ 4116 MW وفيها 6 عنفات بخارية استطاعة كل منها 686 MW.

---

<sup>\*</sup> في عام 1997 - المترجم.

إن مقياس جودة محطة طاقة ما هو مردودها الكهربائي الذي هو نسبة استطاعتها الكهربائية إلى الطاقة الأولية المستخدمة في واحدة الزمن، والقيم السائدة للاستطاعات والمردود في مختلف أنواع محطات الطاقة معطاة في الجدول 1.3.

الجدول 1.3: المردود النمطية لمحطات الطاقة

نوع محطة الطاقة	الاستطاعة الكهربائية MW	المردود الكهربائي %
المحطات المائية	500-10	90-85
محطات الدارة المركبة (غازي+بخاري)	300-100	58-51
المحطات البخارية	700-100	42-35
محطات التدفئة التي تستخدم محركات الاحتراق الداخلي أو العنفات الغازية	20-0.05	40-32
المحطات ذات العنفات الغازية	250-10	39.5-34
المحطات النووية	1300-500	37-33
محطات الرياح	3-0.01	30-20
المحطات الشمسية	القيمة الأعظمية 80	14-10
المحطات الفوتوفولطية ذات الخلايا الشمسية باستخدام خلايا السيليسيوم	القيمة الأعظمية 6.5	حوالي 10

أما مجموع الاستطاعات التي تقدمها محطات ألمانيا فقد بلغ عام 1990 القيمة 125.4 GW، ومن الطاقة الكهربائية المنتجة التي بلغت 380 TWh/a (في نفس العام) فإن 73 % أنتج باستخدام الوقود المستحاثي و 19 % بالطاقة النووية و 8 % عن طريق المحطات المائية.

تقسم محطات الطاقة الحرارية (التي تستخدم وقوداً مستحاثياً) إلى:

— محطات بخارية ذات عنفات تكثيف (فقط لتوليد الكهرباء).

— محطات طاقة كهربائية وحرارية ذات عنفات لتمدد البخار المتكاثف أو عنفات ذات ضغط معاكس.

— محطات طاقة كهربائية وحرارية تستخدم محركات الاحتراق أو العنفات الغازية.

— محطات ذات عنفات غازية.

— محطات دائرة مركبة (تحوي عنفات غازية وبخارية).

— محطات تستخدم محركات الديزل.

تنسب التكاليف الاستثمارية إلى واحدة الاستطاعة 1 kW كاستطاعة وإلى 1 kWh كعمل. وفي الجدولين (2.3) و(3.3) نجد الكلفة النسبية للاستثمار وللوقود وكذلك السطح والحجم اللازمين لمختلف أنواع محطات الطاقة، وقد أخذت القيمتان 2500 DM/kW\* و 0.03 DM/kWh وأسعار عام 1985 من أجل محطات إحراق الفحم الحجري كقيم مرجعية.

الجدول 2.3: التكاليف الاستثمارية وتكاليف الوقود النسبية لأنواع مختلفة من محطات التوليد

نوع المحطة	الكلفة النسبية للاستثمار [%]	الكلفة النسبية للوقود [%]
محطة تحرق الفحم الحجري	100	100
محطة تحرق الفحم البني	120	130
محطة ذات عنفة غازية	40	300

الجدول 3.3: المساحة والحجم اللازمان (دون المنشآت المساعدة) منسوبة إلى 1 kW من استطاعة المحطة

الوقود	المساحة اللازمة [m <sup>2</sup> /kW]	الحجم اللازم [m <sup>3</sup> /kW]
الفحم الحجري	17.5	750
الفحم البني	19.5	1100
الوقود السائل (الفيول أويل)	7.9	4.20

أما الجدول (4.3) فيعطي الطاقة المستهلكة لبناء مختلف محطات الطاقة .

الجدول 4.3: الطاقة المستهلكة لإنشاء المحطات المختلفة [محسوبة بـ kWh لكل 1kW من الاستطاعة الكهربائية].

نوع المحطة	[MW] $P_{el}$	[kWh/kW] $E_{building}$
محطات بخارية	700-10	1.1-0.5
محطات العنفات الغازية	240-1	0.5-0.2
محطات الدارة المركبة (بخارية+غازية)	1000-70	1.1-0.8
محطات التدفئة	20-0.05	1.3-0.8
المحطات المائية	100-5	0.4-0.2
المحطات الشمسية	80-1	10-5
المحطات النووية	1300-700	4-1.3

\* DM تعني المارك الألماني — المترجم.

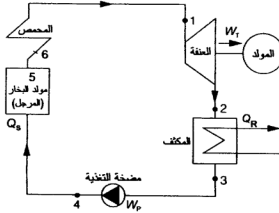
وبحسب نوع الاستعمال نميز بين الحمولة الأساسية (base load) والحمولة المتوسطة وحمولة الذروة للمحطة (Peak load).

تعمل محطات الحمولة الأساسية ما يعادل أكثر من 5000 ساعة في العام من الحمولة الاسمية، وهذا يعني حوالي 50 % من حمولتها الإجمالية. وهي تعمل في ألمانيا على الفحم البني والطاقة النووية وعلى المياه الجارية. أما محطات الحمولة المتوسطة فيكون استخدامها 2000 إلى 5000 ساعة في العام، وهو ما يعادل حوالي 30 % من حمولتها الإجمالية وتعمل على الفحم الحجري. وفي محطات الذروة يستخدم الوقود السائل (الفيول أويل) والغاز الطبيعي، ويعتمد على العنفات الغازية وعلى المحطات ذات مضخات التخزين لتغطية حمولة الذروة. توجد في الوقت الحاضر منشآت دارة مركبة تستخدم فيها العنفات الغازية من أجل الحمولة الأساسية

## 2.3 التصميم الأساسي للمحطات البخارية (تركيبها وأجزاؤها)

### التصميم الأساسي للمحطة البخارية

الأجزاء الأساسية للمحطة البخارية هي: مولد البخار، المحمّص، العنف البخارية والمولد الكهربائي، المكثف ومضخة مياه التغذية كما هو مبين في الشكل (1.3).



الشكل 1.3 : مخطط أجزاء المحطة البخارية.

يتم في مولد البخار تسخين وسيط العمل الذي هو الماء من درجة الحرارة الابتدائية (النقطة 4) إلى درجة حرارة الإشباع ثم تبخره، ويحدث هذا عند ضغط ثابت  $p_1$ . يجري في المحمّص تسخين إضافي للبخار المشبع من درجة حرارة الإشباع إلى درجة حرارة البخار الطازج. في العنف البخارية

يتمدد البخار الطازج (من النقطة 1) بدون تبادل حراري مع الوسط الخارجي وبهذا ينخفض الضغط من  $p_1$  إلى  $p_2$  وينتقل البخار من العنفة إلى المكثف حيث يتم فيه تكاثف البخار عند ضغط ثابت وذلك بإعطاء الحرارة إلى ماء التبريد. ينتقل الماء المتكاثف (ماء يغلي ضغطه  $p_2$ ) بواسطة مضخة التغذية إلى مولد البخار فيرتفع الضغط من  $p_2$  إلى  $p_1$ .

### تحليل عملية البخار البسيطة

تعمل المحطة البخارية وفقاً لدورة كلاوزيوس — رانكين المبينة في الشكل (2.3) على المحاور  $T, s$  و  $h, s, p, v$ .

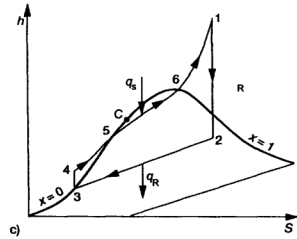
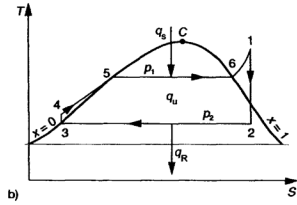
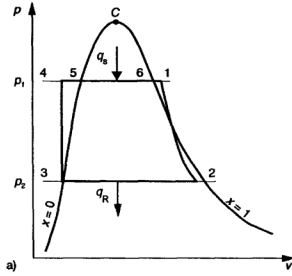
سنعرض لاحقاً التحليل الترموديناميكي لهذه الدورة، حيث تجري في دورة كلاوزيوس — رانكين العمليات التالية:

- تمدد ايزونتروبي (بثوث  $s$ ) للبخار في العنفة (1 - 2)،
- تكاثف البخار في المكثف (2 - 3) عند ضغط ثابت  $p_2$  ودرجة حرارة ثابتة  $t_2$ ،
- انضغاط ايزونتروبي للماء في مضخة مياه التغذية (3 - 4)،
- إضافة للحرارة بثوث الضغط إلى وسيط العمل (4 - 1) ويتم هذا في مولد البخار [4 - (5 - 5)] تسخين أولي للماء في الموفر، ثم تبخر (4 - 5) في المبخر وبعدها تجميع (1 - 6) في المحمص].
- يحدث في العنفة تمدد أدياباتسي (نظرياً هو ايزونتروبي) للبخار من الحالة الابتدائية (بخار محمص ضغطه  $p_1$  ودرجة حرارته  $t_1$  والانتالبي النوعي له  $h_1$ ) إلى الحالة 2 (بخار رطب ضغطه  $p_2$  ودرجة حرارته  $t_2$  والانتالبي النوعي له  $h_2$ ) ويتم ذلك عند انتروبي نوعي ثابت ( $s_1 = s_2$ ).
- العمل المحرك النوعي: هو العمل الناتج عن 1 kg بخار عند تمدده بشكل عكوس في العنفة وهو يساوي هبوط الانتالبي لهذا البخار  $\Delta h_T$ :

$$(1.3) \quad w_T = \Delta h_T = h_1 - h_2 \quad [\text{kJ/kg}]$$

في المكثف تُطرح الحرارة عند ضغط ثابت  $p_2 = \text{const}$  وأثناء ذلك تبقى درجة الحرارة مساوية لدرجة حرارة الإشباع  $t_s$  المقابلة لذلك الضغط. في مدخل المكثف يقع الوسيط العامل الذي هو البخار (عند النقطة 2) في مجال البخار الرطب وتكون نسبة جفافه أصغر من الواحد ( $x_2 < 1$ ) وبالتالي فنسبة رطوبته ( $1 - x_2$ ) أما الماء المتكاثف عند مخرج المكثف فهو سائل مشبع عند الضغط  $p_2$  ولذلك تقع النقطة 3 على منحنى الإشباع ( $x = 0$ ). تنتج الحرارة المطروحة من كل 1 kg بخار من فرق الانتالبي كما يلي:

$$(2.3) \quad q_R = h_2 - h_3 \quad [\text{kJ/kg}]$$



الشكل 2.3: دورة عمل كلاوزيوس رانكين (a) على المخطط  $p, v$ ; (b) على المخطط  $T, s$ ; (c) على المخطط  $h, s$ .

يحدث في مضخة مياه التغذية انضغاط ايزونروبي للماء ويرافق ذلك ارتفاع للضغط من  $p_2$  إلى  $p_1$  ولانتالبي من  $h_3$  إلى  $h_4$ . يبلغ الاستهلاك النوعي للعمل المبذول لدورة العمل بالنسبة إلى 1 kg ماء:

$$(3.3) \quad w_p = v_3 (p_1 - p_2) = h_4 - h_3 \quad [\text{kJ/kg}]$$

أما العمل النوعي المفيد لدورة العمل بالنسبة إلى 1 kg بخار فيحسب كما يلي:

$$(4.3) \quad w_u = w_T - w_p \quad [\text{kJ/kg}]$$

من المعادلة (3.3) يمكن حساب الانتالبي النوعي للماء  $h_4$ :

$$(5.3) \quad h_4 = h_3 + w_p \quad [\text{kJ/kg}]$$

تتم إضافة الحرارة في مولد البخار والمحصر عند ضغط ثابت  $p_1 = \text{const}$ . في البداية يُسخّن الماء حتى يصل إلى درجة حرارة الإشباع  $t_{s1}$  (4 - 5)، بعد ذلك يتبخّر الماء عند درجة حرارة ثابتة  $t_{s1}$  (5 - 6)، وأخيراً يجري التحميص حيث ترتفع درجة الحرارة للبخار من  $t_{s1}$  إلى  $t_1$ . تحسب الحرارة النوعية المضافة لكل 1 kg من البخار كما يلي:

$$(6.3) \quad q_s = c_{pw} (t_{s1} - t_4) + h_{eva} + c_{p,v} (t_1 - t_{s1}) \quad [\text{kJ/kg}]$$

حيث:  $c_{pw}$  و  $c_{pv}$  الحرارة للبخار وللماء على التوالي  $[\text{kJ/kg}]$

$t_{s1}$  درجة حرارة الإشباع عند الضغط  $p_1$  بالـ  $[\text{°C}]$

$t_4$  درجة حرارة ماء التغذية  $[\text{°C}]$

$h_{eva}$  الإنتالبي النوعي للتبخير  $[\text{kJ/kg}]$

$t_1$  درجة حرارة البخار المحصر (البخار الطازج)  $[\text{°C}]$

تحسب  $q_s$  عادة عن طريق الانتالبي النوعي للبخار الطازج  $h_1$  وانتالبي الماء  $h_4$ :

$$(7.3) \quad q_s = h_1 - h_4 \quad [\text{kJ/kg}]$$

تحسب معادلة موازنة الإكسرجي للعنشة البخارية من أجل 1 kg بخار كما يلي:

$$(8.3) \quad q_s + w_p = w_T + q_R \quad [\text{kJ/kg}]$$

إن الماء وسيط غير قابل للانضغاط ولذلك فإن العمل اللازم للمضخة  $w_p$  صغير عند مقارنته بالحدود الأخرى للمعادلة 7.3، وبالتالي فالحد  $w_p$  لا يؤخذ بعين الاعتبار ويعتبر العمل النوعي المفيد  $w_u$  للدورة مساوياً لـ  $w_T$ .

من المعادلة 3.3 ينتج:

$$(9.3) \quad h_4 = h_3 + w_p \approx h_3$$

إضافة إلى ذلك يكتب انتالبي الماء المتكاثف  $h_3$  بالشكل  $h'_2$  وهذا يوافق انتالبي السائل المشبع (الماء الذي يغلي) عند الضغط  $p_2$ .  
النقطة الحدية لبخار الماء هي:

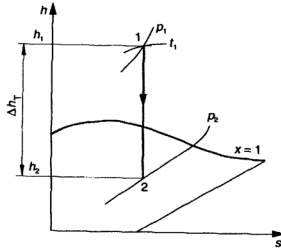
$$p_{cr} = 221.2 \text{ bar} , \quad t_{cr} = 374.15 \text{ } ^\circ\text{C}$$

وبالتالي ينتج:

$$(10.3) \quad q_s \approx h_1 - h'_2 \quad [\text{kJ/kg}]$$

وكذلك:

$$(11.3) \quad q_R \approx h_2 - h'_2 \quad [\text{kJ/kg}]$$



الشكل 3.3 : التمدد الايزونتروبي لبخار الماء في المخطط h-s.

مردود دورة عمل البخار، والتي يعبر عنها بالمردود الحراري:

$$(12.3) \quad \eta_{th} = \frac{w_T}{q_s} = \frac{h_1 - h_2}{h_1 - h'_2}$$



لتحديد الانتالبي  $h_1$  و  $h_2$  يستخدم المخطط h-s لبخار الماء، والشكل (3.3) يبين تمثلاً ايزوتروپياً لبخار الماء في المخطط h-s، وقد أُشير إلى هبوط الانتالبي بـ  $\Delta h_1$ . الأمثلة التالية توضح الاستخدام العملي للتحليل الترموديناميكي لدورة البخار البسيطة.

### مثال 1.3

محطة بخارية تعمل وفق دورة رانكين — كلاوزيوس حيث شروط الدخول إلى العنفة هي:  $p_1 = 13.5 \text{ MPa}$ ،  $t_1 = 535^\circ \text{C}$ ، وضغط المكثف  $p_2 = 0.006 \text{ Mpa}$ .

بالاستعانة بكل من المخطط h-s وجداول الماء والبخار عند الإشباع (انظر الجدول A.5 حتى A.9 في الملحق)، يُطلب تحديد ما يلي:

1. مواصفات الحالة لوسيط العمل (الضغط  $p$ ، درجة الحرارة  $t$ ، الحجم النوعي  $v$ ، الطاقة الداخلية النوعية  $u$ ، الانتروبي النوعي  $s$ ) عند النقاط المميزة لدورة العمل.
2. العمل المبذول لتشغيل العنفة.
3. نسبة الجفاف والرطوبة بعد التمدد في العنفة.

### الحل

1. يمكن قراءة الانتالبي النوعي  $h_1$  والانتروبي النوعي  $s_1$  للبخار المحمص (النقطة 1) عند ضغط معطى  $p_1$  ودرجة حرارة معطاة  $t_1$ . كذلك يمكن تحديد الانتالبي النوعي  $h_2$  للبخار الرطب عند  $p_2$  (النقطة 2) بنفس الطريقة من المخطط h-s (انظر الشكل A.1 في الملحق) خلال ذلك يكون  $s_1 = s_2$ . الحجم النوعي  $v$  يمكن إيجاده من الجدول A.9 (انظر الملحق). القيم المميزة للماء ( $s$ ،  $h$ ،  $v$ ،  $t$ ) عند حالة الإشباع 3 تؤخذ من الجدول A.5 أو A.6 (الملحق) عند الضغط  $p_2$ . الطاقة الداخلية النوعية  $u$  لوسيط العمل تحسب بشكل عام كما يلي:  $u = h - p v$ .

2. نسبة الجفاف للبخار بعد تمدده في العنفة يستنتج من المخطط h-s:  $x_2 = 0.77$ ، أما الرطوبة النهائية فهي  $(1 - x_2)$  أي 0.23.

3. مواصفات البخار بعد تمدده في العنفة (النقطة 2) تُحسب من مواصفات الماء والبخار عند حالة الإشباع عند الضغط  $p_2$  ونسبة الجفاف  $x_2$  للبخار المغادر للعنفة. الحجم النوعي للبخار الرطب  $v_2$  ينتج من الحجم النوعي للماء عند نقطة الإشباع ( $v' = 1.0064 \times 10^{-3} \text{ m}^3/\text{kg}$ ) والحجم النوعي للبخار المشبع ( $v'' = 23.74 \text{ m}^3/\text{kg}$ ) ويصبح:

$$\begin{aligned}
v_2 &= (1 - x_2) v' + x_2 v'' \\
&= (1 - 0.77) 1.0064 \times 10^{-3} + 0.77 \times 23.74 \\
&\approx 0.77 \times 23.74 = 18.28 \text{ m}^3/\text{kg}
\end{aligned}$$

4. لحساب العمل المبذول لتشغيل العنفة نكتب:

$$\begin{aligned}
w_p &= v_3 (p_1 - p_2) \\
&= 1.0064 \times 10^{-3} \text{ m}^3/\text{kg} (13500 - 6) \text{ KPa} = 13.58 \text{ kJ} / \text{kg}
\end{aligned}$$

5. الاتالي النوعي للماء عند النقطة 4:

$$\begin{aligned}
h_4 &= h_3 + w_p \\
&= 151.5 \text{ kJ} / \text{kg} + 13.58 \text{ kJ} / \text{kg} = 165.08 \text{ kJ} / \text{kg}
\end{aligned}$$

6. درجة حرارة الماء عند النقطة 4 حيث الضغط  $p_1 = 13.5 \text{ MPa}$  و  $h_4 = 165.08 \text{ kJ} / \text{kg}$  تؤخذ

من الجدول A.3 وهي  $t_4 = 36.551^\circ\text{C}$ .

كل هذه القيم رتب في الجدول (5.3) حيث تم تمييز القيم المعطاة في المسألة بوضع خط تحتها أما القيم التي تم حسابها فكتبت بحروف غامقة.

الجدول 5.3: مواصفات الحالة للماء والبخار عند النقاط المميزة الواقعة على دورة عمل كلازيوس - رانكين

حالة النقطة	$P[\text{MPa}]$	$t[^\circ\text{C}]$	$v[\text{m}^3/\text{kg}]$	$u[\text{kJ}/\text{kg}]$	$h[\text{kJ}/\text{kg}]$	$s[\text{kJ}/\text{kgK}]$
1	<u>13.5</u>	<u>535</u>	0.02429	3392.21	3425	6.54
2	<u>0.006</u>	36.183	18.28	1905.32	2015	6.54
3	0.006	36.183	$1.0064 \times 10^{-3}$	151.494	151.50	0.5209
4	13.5	36.551	$1.0064 \times 10^{-3}$	151.494	165.08	0.5209

## مثال 2.3

من أجل المحطة البخارية الواردة في المثال 1.3، ويإهمال العمل المبذول لتشغيل العنفة، يُطلب تحديد المقادير التالية لدورة العمل: العمل النوعي للعنفة، الحرارة النوعية المضافة والمطروحة، المردود الحراري النظري للدورة.

يمكن الاستعانة بالجدول 5.3 لتحديد مواصفات وسيط العمل (البخار/الماء).

الحل:

1. العمل النوعي للنعفة:

$$w_T = h_1 - h_2 = 3425 - 2015 = 1410 \text{ kJ / kg}$$

$$w_u = w_T = 1410 \text{ kJ / kg} \quad \text{العمل المفيد للدورة:}$$

$$h_4 = h_3 = 151.50 \quad \text{بما أن } w_p = 0 \text{ فإن:}$$

$$t_4 = t_3 = 36.183^\circ\text{C}$$

و

3. الحرارة النوعية المضافة:

$$q_s = h_1 - h_4 = 3425 - 165.08 = 3259.92 \text{ kJ / kg}$$

الحرارة النوعية المطروحة:

$$q_R = h_2 - h_3 = 2015 - 151.50 = 1863.5 \text{ kJ/kg}$$

4. المردود الحراري للدورة:

$$\eta_{th} = \frac{1410 \text{ kJ / kg}}{3273.5 \text{ kJ / kg}} = 0.4307$$

### مثال 3.3

من أجل المثال 1.3، إذا تمت مراعاة العمل اللازم لتشغيل المضخة فإنه يطلب حساب كميات الحرارة النوعية والمردود الحراري لدورة البخار، كذلك يُطلب مقارنة المردود الحراري الناتج مع المردود الحراري في المثال 2.3.

الحل:

1. من المثالين 1.3 و 2.3 نجد:

$$w_p = 13.58 \text{ kJ / kg} \quad \text{العمل النوعي المستهلك لتشغيل مضخة الماء:}$$

$$h_4 = 165.08 \text{ kJ/kg} \quad \text{الاتتالي النوعي للماء عند النقطة 4:}$$

$$w_T = 1410 \text{ kJ/kg} \quad \text{العمل النوعي للنعفة:}$$

$$w_u = w_T - w_p = 1410 \text{ kJ / kg} - 13.58 \text{ kJ / kg} = 1396.42 \text{ kJ / kg} \quad \text{وبالتالي العمل المفيد:}$$

$$q_s = h_1 - h_4 = 3425 - 165.08 = 3259.92 \text{ kJ/kg} \quad \text{الحرارة النوعية المضافة:}$$

$$\eta_{th} = \frac{w_u}{q_s} = \frac{1396.42}{3259.92} = 0.4284 \text{ : المردود الحراري}$$

3. بالمقارنة بالمردود  $\eta_{th} = 0.4307$  الوارد في المثال 2.3 نجد أن الفرق هو فقط 0.5 %.

### 4.3 مثال

من أجل دورة البخار الواردة في المثال 1.3 يُطلب حساب المردود الحراري بالاستعانة بدرجة الحرارة الوسطية  $T_s$  و  $T_R$  لإضافة الحرارة وطرحها.

*الحل*

1. تجري عملية إضافة الحرارة بين النقطة التي تميز ماء التغذية ونقطة البخار الطازج. مواصفات ماء

التغذية  $p_1 = 13.5 \text{ MPa}$  هي  $\alpha_4 = 36.55^\circ\text{C}$ ،  $p_2 = 0.006 \text{ MPa}$  وبالتالي فدرجة حرارة إضافة الحرارة الوسطية:

$$T_s = \frac{q_s}{\Delta s_s} = \frac{3259.92 \text{ kJ/kg}}{(6.54 - 0.5209) \text{ kJ/kg}} = 541.55 \text{ K} = 268.4^\circ\text{C}$$

2. درجة طرح الحرارة الوسطية  $T_R$  مساوية لدرجة حرارة الإشباع عند ضغط المكثف

$$T_R = T_2 = 36.18^\circ\text{C} = 309.33 \text{ K} ; p_2 = 0.006 \text{ MPa}$$

3. المردود الحراري إذاً:

$$\eta_{th} = 1 - \frac{309.33 \text{ K}}{541.55 \text{ K}} = 0.4288$$

(قارن  $\eta_{th} = 0.4307$  من المثال 2.3)

### 3.3 استطاعة العنفة البخارية

تُحسب استطاعة العنفة النظرية (الأعظمية)  $P_T$  عند تمدد ايزوتروبي للبخار (كظيم وعكوس) كما في الشكل (4.3):

$$P_T = m_v w_T = m_v \Delta h_1 = m_v (h_1 - h_2) \quad [\text{kW}] \quad (13.3)$$

حيث:  $m_v$  التدفق الكتلي للبخار  $[\text{kg/s}]$

$h_1, h_2$  الإنتالبي النوعي للبخار قبل دخوله إلى العنفة وبعد مغادرته لها  $[\text{kJ/kg}]$

التمدد الفعلي للبخار (1-2) في العنفة عكوس ويرافقه زيادة في الانتروبي أي أن  $s_2 > s_1$ .  
يحسب العمل النوعي الفعلي للعنفة  $w_{T,1}$  عن طريق هبوط الانتالبي  $\Delta h_1$  في عنفة فعلية (الشكل 4.3).

حيث:  $h_{21}$  الإنتالبي النوعي الفعلي للبخار بعد مغادرته للنفقة [kJ/kg].  
وبالتالي فالاستطاعة الفعلية للنفقة:

حيث:  $\eta_{iT}$  المردود الداخلي للعنفة.

الانتالبي النوعي الفعلي  $h_{2,f}$  للبخار بعد العنفة:

**الشكل 4.3:** الهبوط النظري والفعلي للاتناكسي عند تمدد البخار في العنفة بشكل عكوس أو غير عكوس.

نسبة الجفاف للبخار المغادر للعنفة قيمة هامة تؤثر على التشغيل الآمن الطويل الأمد للعنفة، وتُحسب نسبة الجفاف  $x_{21}$  للبخار الرطب بعد مغادرته العنفة كما يلي:

85

حيث:  $h_2''$ ،  $h_2'$  الانتالبي النوعي لكل من الماء المشيع والبخار المشيع على التوالي عند ضغط المغادرة  $p_2$ .

أما نسبة الرطوبة النهائية للبخار بعد العنفة فهي  $1 - x_{21}$ .

## 4.3 تحسين مردود محطات الطاقة البخارية

### 1.4.3 رفع مؤشرات البخار الطازج وتخفيض ضغط المكثف

#### طرق رفع المردود الحراري

عرض في المقطع 1.3 مبدأ رفع المردود الحراري لدورة ما تستخدم لتحويل الطاقة الحرارية إلى عمل ميكانيكي، ووفقاً لهذا المبدأ يرتفع مردود محطة الطاقة البخارية بزيادة درجة الحرارة الوسطية لإضافة الحرارة  $T_s$  وتخفض درجة الحرارة الوسطية الحرارة  $T_R$ . بناء على ذلك يُرفع المردود الحراري لدورة كلاوزيوس — رانكين عن طريق:

□ رفع الضغط  $p_1$  ودرجة الحرارة  $t_1$  للبخار الطازج الداخل إلى العنفة.

□ تخفيض ضغط المكثف  $p_2$ .

□ التحميص الوسطي للبخار.

□ التسخين الأولي والمتجدد لماء التغذية.

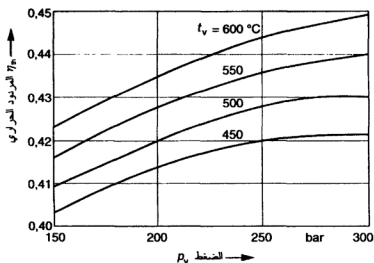
#### تأثير مواصفات البخار الطازج

إن رفع ضغط ودرجة حرارة البخار الطازج هو أحد الإجراءات الأساسية لتحسين المردود الحراري لمحطة الطاقة البخارية، وبهذه الطريقة ترتفع درجة الحرارة الوسطية عند الدخول  $T_s$  (الشكل 5.3) مما يؤدي إلى رفع المردود الحراري.

عند ضغط عالٍ جداً ودرجة حرارة شديدة الارتفاع للبخار الطازج تزداد الاجهادات التي تتعرض لها أجزاء المنشأة. عندما ترتفع درجة حرارة المعادن لأكثر من 550 °C فيجب استخدام أنواع عالية من الفولاذ لكل من المحمصات ولشفرات العنفة (فولاذ أوستينيتي). ومحطات الطاقة البخارية الحديثة يصل ضغط البخار القيمة 250 إلى 300 bar ودرجة حرارته 550 إلى 600 °C.

برفع  $(p_1$  و  $t_1$ ) للبخار الطازج وتخفض ضغط المكثف  $p_2$  يزداد المردود الحراري لمحطة الطاقة البخارية. والشكل (5.3) يبين تأثير مواصفات البخار الطازج على قيمته  $\eta_{th}$ . تنخفض عندئذ نسبة

جفاف البخار المغادر للعنفة  $x_2$  . وهذا ينشأ في المرحلة الأخيرة للعنفة خطر التآكل للشفرات بفعل قطرات الماء الموجودة في البخار الرطب مما يؤثر على عمر شفرات العنفة.



الشكل 5.3 : تأثير مواصفات البخار الطازج ( $t_v$  و  $p_v$ ) على المردود الحراري  $\eta_{th}$  لمخطة الطاقة البخارية.

### مثال 5.3

إذا كانت مواصفات البخار لدى دخوله إلى العنفة من أجل المثال 1.3 كما يلي:  $p_1 = 200 \text{ bar}$  و  $t_1 = 600^\circ\text{C}$ . كيف يتغير المردود الحراري في هاتين الحالتين مقارنة بالمثال 1.3 وذلك: بإهمال العمل اللازم لتشغيل المضخة.

الحل:

1. من المثال 1.3 يمكن تحديد مواصفات النقاط المختلفة

— للبخار الطازج:  $h_1 = 3425 \text{ kJ/kg}$ ,  $t_1 = 535^\circ\text{C}$ ,  $p_1 = 13.5 \text{ MPa}$ .

— البخار بعد مغادرة العنفة:  $h_2 = 2015 \text{ kJ/kg}$ ,  $p_2 = 0.006 \text{ MPa}$ .

— الماء المتكاثف (البخار بعد تمدده ومروره في المكثف)  $h'_2 = 151.5 \text{ kJ/kg}$ .

العمل النوعي المفيد  $w_T = 1410 \text{ kJ/kg}$  و  $w_u \approx$  الحرارة النوعية المضافة  $q_s \approx h_1 - h_2$

$\eta_{th} = 0.4307$  المردود الحراري

2. عند  $p_1 = 20 \text{ MPa}$  و  $t_1 = 600^\circ\text{C}$  و  $p_2 = 0.006 \text{ MPa}$  نجد من المخطط s-h:

$h_1 = 3535 \text{ kJ/kg}$ ,  $s_1 = s_2 = 6.505 \text{ kJ/kg}$

$$h_2 = 2000 \text{ kJ/kg}, h_2 = 151.5 \text{ kJ/kg}$$

3. لحساب العمل النوعي المفيد نكتب:

$$w_u \approx w_T = h_1 - h_2 = 3535 \text{ kJ/kg} - 2000 \text{ kJ/kg} = 1535 \text{ kJ/kg}$$

4. الحرارة النوعية الداخلة (عند الدخول):

$$q_s \approx h_1 - h_2 = 3535 \text{ kJ/kg} - 151.5 \text{ kJ/kg} = 3383.5 \text{ kJ/kg}$$

5. المردود الحراري للدورة المحسنة:

$$\eta_{th} = w_u / q_s = 1535 \text{ kJ/kg} / 3383.5 \text{ kJ/kg} = 0.4537$$

6. بمقارنة المردود الحراري للدورة المحسنة (0.4537) بالمردود الأصلي (0.4307) للدورة نجد أنه قد

ازداد بمقدار:  $5.3\% = (0.4537 - 0.4307) / 0.4307$ .

### 6.3 مثال

إذا رفع ضغط المكثف في المثال 5.3 إلى  $p_2 = 0.1 \text{ bar}$  فما هو المردود الحراري مقارنة بالمثال 5.3؟

الحل

1. بالاستعانة بالمخطط h-s وعند  $p_1 = 20 \text{ MPa}$ ،  $t_1 = 600^\circ\text{C}$  و  $p_2 = 0.01 \text{ MPa}$  نجد من أجل محطة الطاقة البخارية ما يلي:

$$h_1 = 3535 \text{ kJ/kg}, s_1 = s_2 = 6.505 \text{ kJ/kg}, h_2 = 2057 \text{ kJ/kg}, h_2 = 191.83 \text{ kJ/kg}$$

2. العمل النوعي المفيد:  $w_u \approx w_T = h_1 - h_2 = 3535 \text{ kJ/kg} - 2057 \text{ kJ/kg} = 1478 \text{ kJ/kg}$

الحرارة النوعية عند الدخول  $q_s \approx h_1 - h_2 = 3535 \text{ kJ/kg} - 191.83 \text{ kJ/kg} = 3343.17 \text{ kJ/kg}$

$$\eta_{th} = \frac{w_u}{q_s} = \frac{1478 \text{ kJ/kg}}{3343.17 \text{ kJ/kg}} = 0.4421$$

3. بالمقارنة بنتائج المثال 5.3 فإن المردود الحراري ينقص بمعدل:

$$(0.4537 - 0.4421) / 0.4537 = 2.56\%$$

### 2.4.3 التحميص الوسطي

الغاية الأساسية من التحميص الوسطي للبخار هي رفع نسبة جفاف البخار x بعد تمدده في العنفة لتحاشي تآكل الشفرات في المراحل الأخيرة للعنفة بفعل رطوبة البخار. وتقسم العنفة بذلك



إلى مجموعتي أجزاء: الأجزاء ذات الضغط العالي (عنفة الضغط العالي) والأجزاء ذات الضغط المنخفض (عنفة الضغط المنخفض). يتم في الجزء الوسطي تسخين البخار بعد تمدده في عنفة الضغط العالي في محمص وسطي حتى يصل إلى درجة حرارة مساوية لدرجة حرارة البخار الطازج (الذي يدخل أولاً إلى العنفة). وهذه الطريقة يمكن رفع المردود الحراري، حيث تصبح درجة حرارة الدخول الوسطية لهذه الدورة أعلى من درجة الحرارة الوسطية بدون تمحيص وسطي. الشكل (6.3) يبين أجزاء محطة الطاقة البخارية عند وجود تمحيص وسطي وكذلك دورة العمل على المحط T-S. تتألف عملية البخار بوجود تمحيص وسطي من:

- تمدد في عنفة الضغط العالي (1 - 2).
- تمحيص وسطي للبخار (2 - 3) في المحمص الوسطي (Reheater).
- تمدد للبخار في عنفة الضغط المنخفض (3 - 4).
- تكاثف البخار في المكثف (4 - 5).
- رفع ضغط الماء في مضخة مياه التغذية P (5 - 6).
- تسخين أولي للماء (6 - 7) ثم تبخر (7 - 8) وبعده تمحيص للبخار (8 - 1) في كل من مولد البخار ثم المحمص (Superheater).
- يجري التمحيص الوسطي بتقديم حرارة إضافية ولذلك تحسب كمية الحرارة النوعية المضافة والعمل المفيد بإهمال العمل اللازم لتشغيل مضخة الإمداد بالماء كما يلي:

$$(18.3) \quad q_s \approx (h_1 - h'_3) + (h_3 - h_2) \quad [\text{kJ/kg}]$$

$$(19.3) \quad w_u \approx w_T = (h_1 - h_2) + (h_3 - h_4) \quad [\text{kJ/kg}]$$

وبذلك ينتج المردود الحراري للدورة بوجود تمحيص وسطي:

$$(20.3) \quad \eta_{th} = W_u / q_s = [(h_1 - h_2) + (h_3 - h_4)] / [(h_1 - h'_3) + (h_3 - h_2)]$$

باعتبار أمثل لضغط التمحيص الوسطي يتحقق رفع للمردود الحراري ويمكن تحديد قيمة هذا الضغط  $p_{RH}$  بشكل متناسب مع ضغط البخار الطازج  $p_v$  وفقاً للعلاقة التقريبية التالية:

$$(21.3) \quad p_{RH} = 3 \sqrt{p_v} \quad [\text{bar}]$$

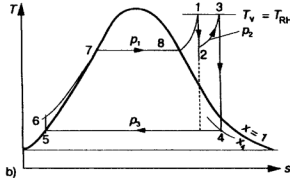
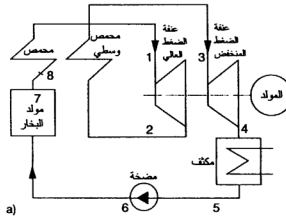
من أجل رفع إضافي لمردود عملية البخار يلجأ إلى التحميص لمرتين متتاليتين، ويمكن حساب ضغط التحميص لكل من المرحلتين بطريقة تقريبية كما يلي:

$$(22.3) \quad p_{RH,1} = 4.5 \sqrt{p_V} \quad \text{و} \quad p_{RH,2} = 1.5 \sqrt{p_V} \quad [\text{bar}]$$

### مثال 7.3

من أجل محطة الطاقة البخارية المذكورة في المثال 1.3 تقسم العنفة إلى جزء ذي ضغط عالٍ وآخر ذي ضغط منخفض بينهما تحميص عند الضغط  $p_2 = 30 \text{ bar}$  ليصل البخار إلى درجة الحرارة  $t_3 = 535^\circ\text{C}$  (انظر الشكلين 6.3 a,b). مواصفات بخار العنفة ذات الضغط العالي عند الدخول هي  $p_1 = 13.5 \text{ MPa}$  و  $t_1 = 535^\circ\text{C}$  أما ضغط المكثف فهو  $p_3 = 0.006 \text{ MPa}$ .

كيف يتغير المردود الحراري والرطوبة النهائية للبخار بعد عنفة الضغط المنخفض مقارنة بالمحطة الواردة في المثالين 1.3 و 2.3؟



الشكل 6.3 : عملية البخار مع تحميص وسطي (a) مخطط التسلسل (b) مخطط T-s.

## الحل:

1. من أجل محطة الطاقة البخارية المرجعية:

للبخار الطازج  $p_1 = 13.5 \text{ MPa}$ ,  $t_1 = 535^\circ\text{C}$ ,  $h_1 = 3425 \text{ kJ/kg}$ ,  $s_1 = 6.54 \text{ kJ/kg}$ .

البخار بعد مغادرته للعنفة:  $p_2 = 0.006 \text{ MPa}$ ,  $h_2 = 2015 \text{ kJ/kg}$ .

وعند الضغط  $p_2$  يكون:  $h_2 = 151.50 \text{ kJ/kg}$ .

العمل النوعي المفيد  $w_u = 1410 \text{ kJ/kg}$

الحرارة النوعية المضافة  $q_s = 3273.5 \text{ kJ/kg}$

المردود الحراري للمحطة البخارية المرجعية  $\eta_{th} = 0.4307$ . الرطوبة النهائية للبخار المغادر للعنفة

$$(1 - x_2 = 0.23)$$

2. مواصفات البخار عند دخوله إلى عنفة الضغط العالي عند وجود تحميص وسطي هي نفس

مواصفات البخار عند النقطة 1.

3. مواصفات البخار عند التقطتين 2 و 3 في حالة التحميص الوسطي كالتالي: يجري التحميص إلى

$h_2 = 2990 \text{ kJ/kg}$ ,  $h_3 = 3535 \text{ kJ/kg}$  على  $h$ -s نحصل على  $t_3 = 535^\circ\text{C}$  و  $p_2 = 30 \text{ bar}$

4. مواصفات البخار عند النقطة 4:  $p_3 = 0.006 \text{ MPa}$ ,  $h_4 = 2258 \text{ kJ/kg}$ ,  $s_3 = s_4 = 7.33 \text{ kJ/kg}$  و

$$x_4 = 0.873 \text{ (من المخطط } h\text{-s)}$$

أما رطوبة البخار للعنفة فتبلغ  $(1 - x_4 = 0.127)$  بينما تكون رطوبة البخار بدون تحميص

وسطي 0.23.

5. مواصفات الماء عند النقطة 5:  $h_5 = h'_3 = 151.5 \text{ kJ/kg}$  من الجدول (من الجدول 5.3)

6. عند إجراء التحميص الوسطي نحصل على القيم التالية:

العمل النوعي المفيد:

$$w_u \approx w_T = (h_1 - h_2) + (h_3 - h_4)$$

$$= (3425 - 2990) + (3535 - 2258) = 435 + 1277 = 1712 \text{ kJ/kg}$$

الحرارة النوعية المضافة:

$$q_s \approx (h_1 - h_3) = (h_3 - h_2) = (3425 - 151.5) + (3535 - 2990)$$

$$= 3273.5 + 545 = 3818.5 \text{ kJ / kg}$$



تطبيق العلاقات التالية:

— عمل التمدد للعنفة  $w_T$ :

$$(23.3) \quad w_T = (h_1 - h_3) - a(h_2 - h_3) = (h_1 - h_2) + (1 - a)(h_2 - h_3) \quad [\text{kJ/kg}]$$

— العمل اللازم لرفع ضغط وسيط العمل (المضختين)

$$(24.3) \quad \begin{aligned} w_p &= (1 - a) v'_3 (p_2 - p_1) + v'_2 (p_1 - p_2) \\ &= (1 - a)(h_3 - h'_2) + (h_7 - h'_2) \quad [\text{kJ/kg}] \end{aligned}$$

— العمل المفيد للدورة في هذا الحالة

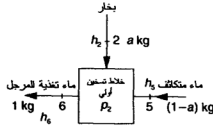
$$(25.3) \quad w_u = w_T - w_p \quad [\text{kJ/kg}]$$

المعادلات 23.3 حتى 25.3 هي قيم نوعية، أي من أجل 1 kg بخار.

إذا أهمل  $w_p$  مقارنة بـ  $w_T$  فإن العمل النوعي المفيد:

$$(26.3) \quad w_u \approx w_T \quad [\text{kJ/kg}]$$

وبناء عليه ينتج أن العمل المفيد النوعي لدورة البخار عند التسخين المتحد للماء أقل منه في حالة الدورة بدون تسخين أولي لمياه التغذية.



الشكل 8.3 : مخطط خللاط تسخين ماء أولي.

### خللاط التسخين الأولي لماء التغذية

من أجل التسخين المتحد لماء التغذية يمكن استخدام إما خللاط التسخين الأولي أو المسخن الأولي المقفل. و خللاط التسخين الأولي أفضل من الناحية الترموديناميكية لأنه يمكن تسخين الماء حتى درجة حرارة إشباع البخار المستنزف (Bleeding Vapour)، والشكل (8.3) يبين مخطط خللاط يحدث فيه تسخين أولي للماء عن طريق الحرارة التي تنتقل من البخار المستنزف من العنفة بشكل مباشر إلى الماء المتكاثف. تحسب كمية البخار المستنزف منسوبة لـ 1 kg بخار طازج من معادلة الموازنة الحرارية لخللاط تسخين الماء الأولي وفق العلاقة التالية:

(27.3)

$$a h_2 + (1 - a) h_3 = h_6$$

وباعتبار  $h_6 = h'_2$  و  $h_5 = h'_3$  ينتج من المعادلة السابقة:

(28.3)

$$a = \frac{h'_2 - h'_3}{h_2 - h'_3} \quad [\text{kg لكل kg بخار طازج}]$$

تتناقص الحرارة النوعية المضافة بواسطة التسخين المتجدد للماء ويصبح:

(29.3)

$$q_s = h_1 - h_2 \approx h_1 - h'_2 \quad [\text{kJ/kg}]$$

ينتج المردود الحراري  $\eta_{th}$  لدورة عمل مسخن الماء الأولي المتجدد كما يلي:

(30.3)

$$\eta_{th} = \frac{w_u}{q_s} \approx \frac{(h_1 - h_3) - a(h_2 - h_3)}{h_1 - h'_2}$$

يرتفع المردود الحراري لدورة العمل مع التسخين المتجدد لماء التغذية لأن تناقص قيمة  $q_s$  أكبر من تناقص قيمة العمل النوعي المفيد  $w_u$ .

### مثال 8.3

من أجل محطة الطاقة البخارية التي ورد ذكرها في المثال 1.3، تؤخذ كمية من البخار من عتفة التكاثف وعند الضغط  $p_2 = 0.6 \text{ MPa}$  وتستخدم لخلط تسخين ماء التغذية المتجدد. مواصفات البخار الطازج هي:  $p_1 = 13.5 \text{ MPa}$  و  $t_1 = 535^\circ\text{C}$ ، ضغط التكاثف  $p_3 = 0.006 \text{ MPa}$ . المطلوب تحديد المردود الحراري  $\eta_{th}$  لمحطة الطاقة البخارية ذات التسخين الأولي لماء التغذية.

*الحل*

1. من المثال 1.3 ومن أجل محطة الطاقة البخارية بدون تسخين لماء التغذية:

□ مواصفات البخار الطازج:  $p_1 = 13.5 \text{ MPa}$ ،  $t_1 = 535^\circ\text{C}$ ،  $h_1 = 3425 \text{ kJ/kg}$  و  $s_1 = 6.54$

$\text{kJ/kg K}$ .

□ للبخار المغادر للعتفة المرافقات التالية:  $p_2 = 0.006 \text{ MPa}$ ،  $h_2 = 2015 \text{ kJ/kg}$ .

□ انتالي الماء المتكاثف عند الضغط  $p_2$ :  $h'_2 = 2015 \text{ kJ/kg}$ .

العمل النوعي المفيد:  $w_u = 1410 \text{ kJ/kg}$ .

الحرارة النوعية المضافة:  $q_s = 3273.5 \text{ kJ/kg}$ .

المردود الحراري لمحطة الطاقة البخارية المرجعية:  $\eta_{th} = 0.4307$ .

الرطوبة النهائية للبخار المغادر للعنفة:  $1 - x_2 = 0.23$

2. من أجل محطة الطاقة البخارية مع تسخين أولي متجدد لماء التغذية.

□ مواصفات البخار الطازج:  $p_1 = 13.5 \text{ MPa}$ ,  $t_1 = 535^\circ\text{C}$ ,  $h_1 = 3425 \text{ kJ/kg}$ ,  $s_1 = 6.54 \text{ kJ/kg}$

□ للبخار المغادر للعنفة (النقطة 2) المواصفات:  $p_2 = 0.6 \text{ MPa}$ ,  $s_2 = 6.54 \text{ kJ/kg}$ ,  $h_2 = 2662.5 \text{ kJ/kg}$  (من مخطط h-s).

□ الماء المتكاثف من البخار المستنزف مواصفاته:  $h'_2 = 359.93 \text{ kJ/kg}$  (من الجدول 6.A في الملحق)

□ البخار المغادر للعنفة (النقطة 3) مواصفاته عند الضغط:  $p_3 = 0.006 \text{ MPa}$  هي  $s_3 = 6.54$ ,  $h_3 = 2015 \text{ kJ/kg}$ ,  $h'_3 = 151.50 \text{ kJ/kg}$

□ للماء المتكاثف من البخار المستنزف عند الضغط  $p_3$  يكون  $h'_3 = 151.50 \text{ kJ/kg}$

3. من الموازنة الحرارية لخللاط تسخين الماء الأولي  $(h_3 - h'_3)$   $(1 - a)(h_2 - h'_2) = a(h'_2 - h)$  ينتج للجزء المستنزف من البخار من أجل 1 kg بخار طازج:

$$a = \frac{h'_2 - h'_3}{h_2 - h'_3} = \frac{359.93 - 151.50}{2662.5 - 151.50} = 0.083 \text{ kg/kg}$$

4. من أجل دورة العمل باستخدام تسخين أولي متجدد للماء ينتج:

العمل النوعي المفيد:  $w_u \approx w_T = (h_1 - h_3) - a(h_2 - h_3)$

$$= (3425 - 2015) - 0.083(2662.5 - 2015) = 1410 - 53.74$$

$$= 1356.26 \text{ kJ/kg}$$

والحرارة النوعية المضافة:  $q_s \approx h_1 - h'_3 = 3425 - 359.93 = 3065.07 \text{ kJ/kg}$

$$\eta_{th} = \frac{w_u}{q_s} = \frac{1356.26 \text{ kJ/kg}}{3065.07 \text{ kJ/kg}} = 0.4425$$

وعليه يكون المردود الحراري:

5. بمقارنة هذا المردود بمردود دورة البخار المرجعية فإن المردود الحراري يزداد بمقدار:

$$(0.4425 - 0.4307) / 0.4307 \approx 2.74\%$$

### مسخنات ماء التغذية من النوع المقلد

تستخدم في العادة خمس إلى تسع مراحل من مسخنات الماء المتجددة بحيث تتراوح درجة الحرارة بين  $250^\circ\text{C}$  و  $330^\circ\text{C}$ ، وكما ذكرنا سابقاً فإن مسخنات الماء ذات الخلطات أفضل من

الناحية الترموديناميكية من المسخنات المقفلة، ولكن استخدام عدة خللاطات يتطلب استطاعات عالية للمضخات، ولهذا تستخدم في كثير من الأحيان مسخنات ماء التغذية من النوع المقفل. وتستخدم عندئذ مضخة ماء واحدة لضخ الماء من خزان ماء التغذية إلى مولد البخار. تقوم مضخة الماء المتكاثف بضخ هذا الماء من المكثف ونقله إلى خزان ماء التغذية، ويكون العمل الذي تستهلكه المضخة في هذه الحالة أقل من العمل اللازم في حالة المسخنات ذات الخللاطات.

الجدير بالذكر بأن خزانات ماء التغذية تقوم بنفس الوقت بدور خللاطات تسخين أولي وساحبات غاز، حيث يتم طرد الأوكسجين من ماء التغذية لتحاشي التآكل في سطوح التسخين الداخلية.

يبين الشكل (9.3) خللاطاً من النوع المقفل بشكل تخطيطي. يؤخذ البخار اللازم للتسخين الأول للماء من أجزاء العنفة الثلاث: ضغط منخفض — ضغط متوسط — ضغط عالي. فمثلاً في مسخن أولي للماء ضغطه متوسط يجري البخار من العنفة وكذلك الماء المتكاثف من المسخن الأولي للماء ذي الضغط العالي، وهكذا يتكاثف البخار في المسخن الأولي للماء وتنتقل الكمية الإجمالية للماء المتكاثف من هذا المسخن الأولي إلى المسخن الأولي ذي الضغط المنخفض أو إلى مكثف العنفة.

يمكن كتابة معادلة التوازن الكتلي بالشكل التالي:

$$(31.3) \quad m_{BV} + m_{c,ent} = m_{c,exit} \quad [\text{kg/s}]$$

حيث:  $m_{bv}$  التدفق الكتلي للبخار المستنزف من العنفة

$m_{c,ent}$  التدفق الكتلي للماء المتكاثف القادم إلى المسخن

$m_{c,exit}$  التدفق الكتلي للماء المتكاثف المغادر للمسخن.

يجري ماء التغذية في الأنابيب عبر المسخن الأولي بتدفق كتلي  $m_w$  فيتسخن من  $t_{w,ent}$  إلى  $t_{w,exit}$ .

عندما تحمل الضياعات الحرارية، تصبح الموازنة الحرارية للمسخن المقفل (بحسب الشكل 9.3)

كما يلي:

$$(32.3) \quad \begin{aligned} Q &= m_{BV} (h_{BV} - h_{c,exit}) + m_{c,ent} (h_{cent} - h_{cent}) \\ &= m_w c_{pw} (t_{w,exit} - t_{w,ent}) \quad [\text{W}] \end{aligned}$$

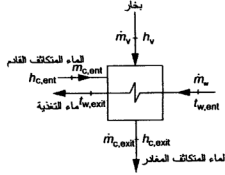
حيث:  $h$  الانتالبي النوعي  $[\text{kJ/kg}]$

$t$  درجة الحرارة  $[^\circ\text{C}]$

$c_{pw}$  السعة الحرارية النوعية للماء  $[\text{kJ/kg}]$ .



الدلائل تمثل ما يلي: BV البخار المستنزف من العنفة (Bleeding Vapour)،  $c_{ent}$  الماء المتكاثف القادم،  $c_{exit}$  الماء المتكاثف المغادر،  $W$  ماء التغذية،  $ent$  دخول،  $exit$  خروج.



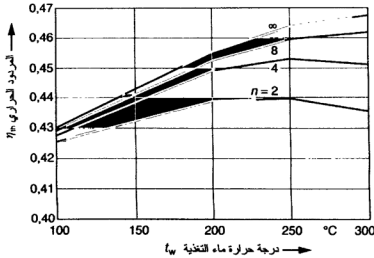
الشكل 9.3 : مخطط المسخنات الأولية المغفلة.

من المعادلة 32.3 ينتج التدفق الكتلي للبخار المستنزف:

$$(33.3) \quad m_v = \frac{m_w c_{pw} (t_{w,exit} - t_{w,ent}) - m_{c,ent} (h_{c,ent} - h_{c,exit})}{h_{BV} - h_{c,exit}} \quad [\text{kg/s}]$$

وتنتج درجة حرارة خروج ماء التغذية كما يلي:

$$(34.3) \quad t_{w,exit} = t_{w,ent} + Q / m_w c_{pw} \quad [^\circ\text{C}]$$



الشكل 10.3 : تأثير عدد المسخنات الأولية على مردود مولد البخار  $\eta_{th}$ .

يبيّن الشكل (10.3) تأثير عدد المسخنات  $n$  على المردود الحراري لدورة البخار. عندما تكون  $n = 8$  يكون أس التحسن قد استفذ عملياً.

### مثال 9.3

يطلب تحديد تدفق كتلة البخار الساخن الذي مواصفاته  $p_{BV} = 2 \text{ bar}$  و  $t_{BV} = 160^\circ\text{C}$  وذلك من أجل مسخن أولي للماء التغذية. تعطى من أجل ماء التغذية القيم التالية:

التدفق الكتلي للماء  $m_w = 500 \text{ kg/s}$ ، ضغط الماء  $p = 10 \text{ bar}$  وقبل المسخن الأولي معلوم:  $t_{w,ent} = 90^\circ\text{C}$ ،  $h_{w,ent} = 377.7 \text{ kJ/kg}$  أما بعد المسخن الأولي:

درجة حرارة الماء:  $t_{w,exit} = 120^\circ\text{C}$ ، الانتالبي  $h_{c,exit} = 504.3 \text{ kJ/kg}$ .

قيم تدفق الكتلة، الضغط، الانتالي للماء المتكاثف الذي يدخل إلى المسخن الأولي اللاحق هي:  $m_{c,ent} = 18 \text{ kg/s}$ ،  $p_c = 4.5 \text{ bar}$ ،  $h_{c,ent} = 623.16 \text{ kJ/kg}$ .

انتالي بخار الماء المتكاثف المغادر هو:  $h_{c,exit} = 504.78 \text{ kJ/kg}$ .

### الحل

1. انتالي البخار الساخن عند:  $p_{BV} = 2 \text{ bar}$ ،  $t_{BV} = 160^\circ\text{C}$  هو:

$$h_{BV} = 2790.2 \text{ kJ/kg}$$

2. من أجل التيار الحراري المتبادل نحصل على:

$$\begin{aligned} Q &= m_w c_{pw} (t_{w,exit} - t_{w,ent}) = m_w (h_{w,exit} - h_{w,ent}) \\ &= 500 \text{ kg/s} (504.3 - 377.7) \text{ kJ/kg} = 63300 \text{ kW} \end{aligned}$$

3. من المعادلة 33.3 يمكن حساب التدفق الكتلي للبخار كما يلي:

$$\begin{aligned} m_{BV} &= \frac{m_w (h_{w,exit} - h_{w,ent}) - m_{c,ent} (h_{c,ent} - h_{c,exit})}{h_{BV} - h_{c,exit}} \\ &= \frac{500(504.3 - 377.7) - 18(623.16 - 504.78)}{2790.2 - 504.78} \end{aligned}$$

### 4.4.3 التحميمص الوسطي والتسخين الأولي المتجدد لماء التغذية

يبين الشكل (a11.3) وبشكل تخطيطي محطة بخارية مع تحميمص وسطي وتسخين أولي متجدد لماء التغذية، ودورة البخار موضحة على المخطط T,s (b11.3). يمكن من أجل هذه المنشأة كتابة المعادلات التالية:

— العمل النوعي للعنفة :

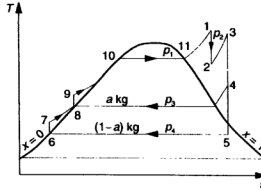
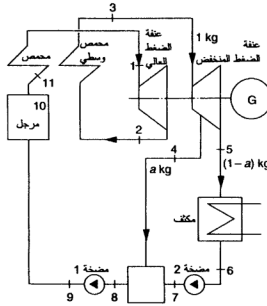
$$(35.3) \quad w_T = (h_1 - h_2) + (h_3 - h_5) - a(h_4 - h_5) \quad [\text{kJ/kg}]$$

— عمل الانضغاط للعنفة :

$$(36.3) \quad w_p = (1 - a) v_4' (p_3 - p_4) + v_3' (p_1 - p_3) \\ = (1 - a) (h_7 - h_4') + (h_9 - h_3') \quad [\text{kJ/kg}]$$

— وبإهمال  $w_p$  نجد العمل المفيد :

$$(37.3) \quad w_u \approx w_T \quad [\text{kJ/kg}]$$



الشكل 11.3 : منشأة بخارية ذات تجميع وسطي وتسخين أولي (a) المخطط التسلسلي (b) مخطط T,s.

ومن الموازنة الحرارية لمسخن الماء الأولي:

$$(38.3) \quad a h_4 + (1 - a) h_7 = h_8$$

باعتبار  $h_8 = h_3'$  و  $h_7 \approx h_4'$  فإن الجزء  $a$  من البخار الذي يستنزف من العنفة للتسخين الأولي لماء التغذية هو:

$$(39.3) \quad a = \frac{h_8 - h_7}{h_4 - h_7} = \frac{h_3' - h_4'}{h_4 - h_4'}$$

أما الحرارة النوعية المضافة فتحسب كما يلي:

$$(40.3) \quad q_s = h_1 - h_9 + h_3 - h_2 \approx h_1 - h_3' + h_2 \quad [\text{kJ/kg}]$$

حساب المردود الحراري للدورة  $\eta_{th}$  ذات التسخين الأولي المتجدد للماء والتحميص الوسطي تطبق العلاقة التالية:

$$(41.3) \quad \eta_{th} = \frac{w_u}{q_s} = \frac{(h_1 - h_2) + (h_3 - h_3') - a(h_4 - h_3)}{h_1 - h_3' + h_3 - h_2}$$

تستخدم في الحياة العملية كافة طرق تحسين دورة عمل المنشأة البخارية بنفس الوقت، ويتم التسخين الأولي المتجدد عن طريق 5 إلى 8 مراحل، وترفع درجة الحرارة من  $250^\circ\text{C}$  إلى  $320^\circ\text{C}$ .

### مثال 10.3

محطة طاقة بخارية مواصفات بخارها الطازج عند مدخل عنفة الضغط العالي كما يلي:  
 $p_1 = 13.5 \text{ MPa}$  و  $t_1 = 535^\circ\text{C}$  ويحصل تحميص للبخار عند  $p_2 = 3 \text{ MPa}$  إلى درجة الحرارة  $t_3 = 535^\circ\text{C}$  (الشكل a11.3). يتم التسخين الأولي لماء التغذية عند ضغط  $p_3 = 0.6 \text{ MPa}$  (الشكل b11.3). ضغط المكثف  $p_4 = 0.006 \text{ MPa}$ .

كيف يتغير المردود الحراري لهذه المحطة مقارنة بالمحطة البخارية التي لا تحوي تسخيناً أولياً للماء (انظر مثال 7.3).

**الحل:**

1. من أجل المنشأة ذات التحميص الوسطي وبدون تسخين أولي للماء (من المثال 7.3) نجد:

لنقطة 1:  $s_1 = 6.54 \text{ kJ/kg}$ ,  $h_1 = 3425 \text{ kJ/kg}$ ,  $t_1 = 535^\circ\text{C}$ ,  $p_1 = 13.5 \text{ MPa}$   
 للنقطتين 2 و 3 (التحميص الوسطي):  $p_2 = 3 \text{ MPa}$ ,  $h_2 = 2990 \text{ kJ/kg}$ ,  $h_3 = 3535 \text{ kJ/kg}$   
 للنقطتين 4 و 5 (المكثف):  $p_3 = 0.06 \text{ MPa}$ ,  $h_4 = 2258 \text{ kJ/kg}$ ,  $s_4 = 7.33 \text{ kJ/kg}$   
 $h_3' = 151.5 \text{ kJ/kg}$

العمل النوعي المفيد والحرارة المضافة وكذلك المردود الحراري لهذه الدورة هي:

$$\eta_{th} = 0.4483, q_s = 3818.5 \text{ kJ/kg}, w_u = 1712 \text{ kJ/kg}$$

2. من أجل المنشأة البخارية ذات التحميص الوسطي والتسخين الأولي المتحدد للماء فإن القيم عند النقاط 1 و 2 و 3 هي نفسها الواردة في المثال (7.3).

3. مميزات البخار المستنزف من العنفة (النقطة 4) عند الضغط  $p_3 = 0.6 \text{ MPa}$  هي  $h_4 = 3043 \text{ kJ/kg}$ ,  $s_4 = 7.33 \text{ kJ/kg}$ ، وللبخار المغادر للعنفة (النقطة 5، قبل المكثف) عند  $p_4 = 0.006 \text{ MPa}$  هي  $h_5 = 2258 \text{ kJ/kg}$  ويمكن قراءتها من مخطط موليه (h-s) لبخار الماء.

4. عند  $p_4 = 0.006 \text{ MPa}$  فإن الإنتالبي النوعي للسائل المتكاثف بعد المكثف (النقطة 6) يؤخذ من الجدول 6.A في الملحق وهو:  $h_6 = h_4 = 151.5 \text{ kJ/kg}$

5. وبشكل مشابه فإن للماء في نقطة الإشباع وعن الضغط  $p_3$  (النقطة 8):

$$h_8 = h_3' = 359.93 \text{ kJ/kg}$$

6. تحسب كمية البخار المأخوذة من كل 1 kg بخار طازج للتسخين في مسخن الماء الأولي من الموازنة الحرارية للمسخن الأولي الماء التغذية كما يلي:

$$a = \frac{h_3' - h_4'}{h_4 - h_4'} = \frac{359.93 - 151.50}{3043 - 151.50} = 0.072 \text{ kg}$$

7. بسبب استنزاف البخار يصبح العمل المفيد أقل مما لو كانت الدورة بدون تسخين أولي متحدد للماء ويصبح العمل المفيد:

$$\begin{aligned} w_u &= (h_1 - h_2) + (h_3 - h_2) - a(h_4 - h_5) \\ &= (3425 - 2990) + (3535 - 2258) - 0.072(3043 - 2258) \\ &= 435 + 1277 - 58.59 = 1655.4 \text{ kJ/kg} \end{aligned}$$

أما الحرارة المضافة إلى دورة العمل منسوبة إلى 1 kg بخار فهي:

$$\begin{aligned}
q_s &\approx (h_1 - h'_3) + (h_3 - h_2) \\
&= (3425 - 359.93) + (3535 - 2990) = 3065.07 + 545 \\
&= 3610.07 \text{ kJ/kg}
\end{aligned}$$

8. المردود الحراري للمنشأة البخارية عند إجراء تجميع وسطى وتسخين أولي متحدد لماء التغذية:

$$\eta_{th} = w_a / q_R = 1655.4 / 3610.07 = 0.459$$

9. بالمقارنة مع محطة الطاقة المذكورة في المثال 7.3 يُلاحظُ ازدياد في المردود الحراري قدره:

$$(0.459 - 0.44) / 0.44 \approx 4\%$$

## 5.3 استطاعة الخرج والمردود الإجمالي لمحطة طاقة بخارية

### ضياعات الطاقة

تنشأ في كل محطة طاقة بخارية ضياعات في مولد البخار، وأنابيب البخار الطازج، وفي العنفة وفي المولدة. كذلك تنخفض الاستطاعة المفيدة للمنشأة بالإضافة إلى ما ذكر بفعل الاستهلاك الذاتي للطاقة لتشغيل المضخات والمراوح والمطاحن (للوquود الصلب) ولمعدات التنظيف... إلخ وتتحدد ضياعات الطاقة بقيمة المردود الموافقة.

وتتألف ضياعات مولد البخار من: ضياعات الاحتراق التي تحصل بسبب عدم احتراق جزء من الوقود وانطلاق  $H_2$ , CO وفحوم هيدروجينية مع غازات الاحتراق، وتواجد فحم الكوك (كربون) في الخبث (2 إلى 15 % من حرارة الوقود  $Q_F$ )، وضياعات الاحتراق المحسوسة للخبث (حوالي 0.5 % من  $Q_F$ )، وضياعات الإشعاع والحمل من السطح الخارجي لمولد البخار (0.5 إلى 2 % من  $Q_F$ )، والضياعات الحرارية مع غازات الاحتراق (5 إلى 15 % من  $Q_F$ ). يتراوح مردود مولدات البخار  $\eta_{SG}$  لمحطات الطاقة ذات الاستطاعة العالية بين 90 و 93 %.

تنشأ ضياعات الحركة بفعل مرور البخار وانتقاله ضمن الأنابيب، ويبلغ هبوط الضغط فيها 3 إلى 8 % من ضغط مولد البخار. وتنشأ في العنفة البخارية ضياعات داخلية وخارجية.

تنشأ الضياعات الداخلية بفعل عدم العكسية (ضياعات الاحتكاك والخنق، الخروج، والانفصال، والصدمة في المراحل الأخيرة للعنفة وخاصة عندما تكون الرطوبة النهائية عالية... إلخ) عند التمدد في العنفة. يُضاف (يسترجع) جزء من الضياعات الداخلية في العنفة ثانية إلى البخار على شكل حرارة (إنتاج انتروبي) وهي تقلل هبوط الإنتالبي  $\Delta h_T$  للعنفة وترفع انتالبي البخار المغادر

للعنفة. ويتم التعبير عن انخفاض العمل المفيد مقارنة بالعملية المثالية بالمرود الداخلي للعنفة  $\eta_{IT}$ . يبلغ هذا المرود لعنفات الضغط العالي والمتوسط 89 إلى 93 %. أما للعنفات البخارية ذات الضغط المنخفض فهو أقل (87 إلى 90 %) بفعل رطوبة البخار النهائية. أما الضياعات الخارجية للعنفة فيعبر عنها بالمرود الميكانيكي  $\eta_m$  (91 إلى 99.5 %). يبلغ مرود المولدة الكهربائية 0.985 في المولدات ذات الاستطاعة الكهربائية 100  $p_{el}$  إلى 300 MW ويبلغ 0.99 في المولدات باستطاعة 500  $p_{el}$  إلى 1000 MW.

ومرود الوصل للعنفة البخارية ينتج من:

$$(42.3) \quad \eta_C = \eta_{IT} \eta_m$$

حيث:  $\eta_{IT}$  المرود الداخلي للعنفة

$\eta_m$  المرود الميكانيكي للعنفة.

المرود الفعلي لربط محطة الطاقة (المنشأة البخارية)

$$(43.3) \quad \eta_C = P_C / Q_V = \eta_{th} \eta_{IT} \eta_m$$

حيث:  $P_C$  الاستطاعة المقدمة في موقع الوصل بالمولدة (الاستطاعة الفعلية التي تقدمها العنفة البخارية)

$Q_V$  الاستطاعة الحرارية التي يقدمها البخار الطازج للعنفة.

استطاعة خرج المولدة (على أقطاب المولدة)

هي الاستطاعة المقدمة من المولدة  $P_{el}$ :

$$(44.3) \quad P_{el} = m_v \Delta h_t \eta_{IT} \eta_m \eta_G$$

حيث:  $m_v$  التدفق الكتلي للبخار الطازج

$\Delta h_t$  الهبوط الايزونتروبي للالتالسي في العنفة

$\eta_{IT}$  المرود الداخلي للعنفة

$\eta_m$  المرود الميكانيكي للعنفة

$\eta_G$  مرود المولدة.

الاستطاعة الكهربائية الصافية  $P_{el}$  لمحطة الطاقة التي استهلاكها الذاتي  $P_{is}$  هي:

$$(45.3) \quad P_{el} = P_{el} - P_{is} \text{ [kW]}$$

## المردود الإجمالي

يحسب المردود الإجمالي لمحلة الطاقة كما يلي:

$$\eta_{\text{tot}} = P_{\text{el}} / Q_{\text{F}} = \eta_{\text{SG}} \eta_{\text{th}} \eta_{\text{IT}} \eta_{\text{m}} \eta_{\text{G}} \eta_{\text{Tr}} \eta_{\text{is}} \quad (46.3)$$

حيث:  $\eta_{\text{SG}}$  مردود مولد البخار (حوالي 0.9 إلى 0.92)

$\eta_{\text{th}}$  المردود النظري لدورة العمل (حوالي 0.4 إلى 0.45)

$\eta_{\text{IT}}$  المردود الداخلي للنفقة (حوالي 0.9)

$\eta_{\text{m}}$  المردود الميكانيكي للنفقة مع علبة سرعة (عند وجودها 0.97 إلى 0.99)

$\eta_{\text{G}}$  مردود المولدة (0.985 إلى 0.99)

$\eta_{\text{Tr}}$  مردود المحوكة

$\eta_{\text{is}}$  المردود الذي يراعي الاستهلاك الذاتي للطاقة في المحطة.

يلغ المردود الوسطي لمحطات الطاقة ذات الوقود الاحفوري (المستحاثي) وبدون مراعاة الاستهلاك الذاتي للطاقة في الوقت الحاضر حوالي 38%.

في ألمانيا صممت خلال السبعينات (من القرن العشرين) معظم محطات الطاقة البخارية للوحدات ذات الاستطاعة 300 إلى 750 MW والتي يجري تحميل بخارها وسطياً حتى تصبح مواصفاته 180 إلى 190 bar و 530°C، بحيث تحرق الفحم الحجري والوقود السائل والغاز. تصمم محطات الطاقة البخارية في الوقت الحاضر من أجل المواصفات التالية للبخار المحمص: 240 إلى 260 bar و 540 إلى 560°C، استطاعات الوحدة تقع في المجال 700 إلى 1000 MW.

وفي الولايات المتحدة الأمريكية تهيمن المحطات البخارية ذات المواصفات التالية للبخار المنتج:  
 $p_v = 165 \text{ bar}$  (ضغط البخار الطازج)،  $t_v = 538^\circ\text{C}$  (درجة حرارة البخار الطازج)  
 $t_{\text{RH}} = 538^\circ\text{C}$  (درجة حرارة التحميص الوسطي).

أكبر قيم لمواصفات البخار في محطة طاقة بخارية في العالم ذات تحميل وسطى مزدوج ( $RH_1$  و  $RH_2$ ) هي في محطة Eddystone في أمريكا (USA) التي بنيت عام 1959 وهذه المواصفات هي:  
 للبخار الطازج 649 °C، 340 = bar (V)، للتحميص الأولي ( $RH_1$ ) 566 °C، للتحميص الثاني ( $RH_2$ ) 566 °C استطاعة الوحدة 325 MW، الاستهلاك النوعي للحرارة 4860 kJ/kg والمردود 42.6%.



أما في المنشآت اليابانية فالمواصفات هي 538 °C و 246 bar للبخار الطازج، وللتحميم الوسطي حتى 566 °C. استطاعة الوحدة تتراوح بين 500 و 1000 MW.

### ضياعات الطاقة عند التحميل الجزئي والإقلاع والمباشرة بالإيقاف

تتألف عملية التشغيل من المراحل التالية: بدء التشغيل ريثما يحدث الإقلاع، الانطلاق من بدء عمل حراقات الالتهاب حتى وصل المولدة بالشبكة، البدء بالتوقف ثم التوقف. عند الإقلاع أو بدء التوقف تنشأ ضياعات إضافية: ضياعات بسبب الوقود، ضياعات البخار، ضياعات الاستهلاك الذاتي للطاقة، وضياعات الماء. والوحدات المخصصة للحمولة الوسطى وحمولة الذروة تقلع وتتوقف أكثر من غيرها. والتشغيل عند الحمولات الجزئية يقلل المردود أيضاً. بعد حدوث أعطال في مولد البخار يتم إقلاع المحطة على البارد.

نميز بين إقلاع حار وإقلاع ساخن وإقلاع بارد. فعندما لا تتجاوز فترة توقف المحطة 8 ساعات يكون الإقلاع من النوع الحار، حيث يبقى في هذه الحالة كل من مولد البخار، أنابيب التوصيل، العنف البخارية ومحمل الدورة حاراً. إذا وصل وقت التوقف عن العمل حتى 25 ساعة يصبح الإقلاع بعدئذ ساخناً حيث يكون مولد البخار وأنابيب التوصيل ساخنين أما العنف فتظل حارة. عند الإقلاع البارد يكون المولد بارداً والعنف ساخنة أو باردة، ويصل وقت التوقف عندئذ حتى 35 ساعة. عند إيقاف مولد البخار 150 إلى 200 مرة في السنة يزداد استهلاك الوقود السنوي بحدود 2%.

### مثال 11.3

ما هي قيمة مردود الوصل (الربط) الفعلي والمردود الإجمالي لمحطة طاقة استطاعتها الكهربائية 900 MW؟ المراديد المختلفة هي: مردود مولد البخار 0.92.

– المردود الحراري  $\eta_{th} = 0.5$

– المردود الداخلي للعنف  $\eta_{IT} = 0.9$

– المردود الميكانيكي  $\eta_m = 0.99$

– مردود المولدة مع المحوِّلة 0.985.

أما الاستهلاك الذاتي لمحطة الطاقة فهو  $P_{is} = 63 \text{ MW}$  أو 7 % من الاستطاعة الكهربائية.

## الحل

1. المردود الذي يراعي الاستهلاك الذاتي لمحطة الطاقة:

$$\eta_{is} = 1 - 0.07 = 0.93$$

2. المردود الفعّال لمحطة الطاقة:

$$\eta_C = \eta_{th} \eta_{IT} \eta_m = 0.5 \times 0.9 \times 0.99 = 0.45$$

3. المردود الإجمالي لمحطة الطاقة:

$$\begin{aligned} \eta_{tot} &= \eta_{SG} \eta_{th} \eta_{IT} \eta_m \eta_G \eta_{IT} \eta_{is} \\ &= 0.92 \times 0.5 \times 0.9 \times 0.99 \times 0.985 \times 0.93 = 0.38 \end{aligned}$$

## 6.3 الاستهلاك النوعي للوقود وللحرارة في محطة طاقة بخارية

يستخدم لتقدير جودة طاقة بخارية الاستهلاك النوعي للوقود  $Sfc$  (Specific Fuel Consumption)، والتدفق النوعي للبخار  $svc$ ، والاستهلاك النوعي للحرارة  $C_q$ . يحسب الاستهلاك النوعي للحرارة في المحطة البخارية  $Cq_{sp}$  أو في مجموعة العنف  $Cq_T$  (العنف والمولدة). يُحسب الاستهلاك النوعي للوقود لمحطة طاقة بخارية كما يلي:

$$(47.3) \quad sfc = 3600 m_F / P_u \quad [\text{kg لكل kWh طاقة كهربائية}]$$

حيث:  $m_F$  استهلاك الوقود  $[\text{kg/s}]$

$P_u$  الاستطاعة المفيدة لمحطة الطاقة  $[\text{kW}]$ .

تستخدم  $P_u$  كل من الاستطاعة الفعّالة للربط بالعنف  $P_e$ ، واستطاعة ربط المولدة  $P_g$  (على أقطاب المولدة) والاستطاعة الكهربائية الصافية  $P_e$ ، وذلك للتعويض في المعادلة (47.3). يحسب الاستهلاك النوعي للحرارة في المحطة البخارية كما يلي:

$$(48.3) \quad Cq_{sp} = 3600 Q_F / P_u = 3600 m_F LCV / P_u \quad [\text{kJ لكل kWh طاقة كهربائية}]$$

حيث:  $Q_F$  التدفق الحراري  $[\text{kJ/s}]$  الذي يحمله معه الوقود المحترق

$LCV$  القيمة الحرارية الدنيا للوقود  $[\text{kJ/kg}]$

$\eta_{sp}$  مردود محطة الطاقة.

ترتبط قيم المردود  $\eta_{sp}$  والاستهلاك النوعي للحرارة  $Cq_{sp}$  في المحطة بالعلاقة التالية:

(49.3)

$$\eta_{sp} = 3600 / Cq_{sp}$$

يتضمن الجدول 6.3 قيماً استرشادية للاستهلاك النوعي للحرارة لمحطات الطاقة التكنيفية ذات الاستطاعة الكهربائية  $P_{ei}$  من 100 حتى 800 MW.

الجدول 6.3 : الاستهلاك النوعي للحرارة  $Cq_{sp}$  لمحطات الطاقة التكنيفية. ضغط المكثف 0.04 bar

[MW] Pel	100	200	400	630	800
$(^{\circ}\text{C}/\text{bar}) t_v/p_v$	*540/100	540/125	540/165	540/185	540/250
[kJ/kWh] $Cq_{sp}$	8700	8100	7800	7750	7500

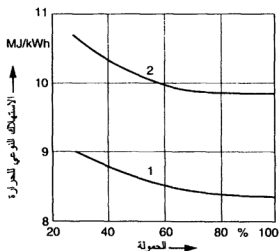
\* بدون تجميع وسطي

وللاستهلاك النوعي للبخار تطبق العلاقة التالية:

(50.3)

$$SVC = 3600 m_v / P_u \quad [\text{kg/kWh}]$$

حيث:  $m_v$  التدفق الكتلي للبخار الطازج.



الشكل 12.3 : الاستهلاك النوعي للحرارة  $Cq_{sp}$  في العنفة البخارية (1) وفي محطة الطاقة البخارية (2) عند الحمولة الجزئية.

بحسب الاستهلاك النوعي للحرارة  $Cq_T$  [kJ/kg] للعنفة بدون تجميع وسطي أو معه:  
بدون تجميع وسطي:

(51.3)

$$Cq_T = 3600 m_v (h_v - h_{FW}) / P_u$$

مع تجميع وسطي:

$$(52.3) \quad Cq_{T,RH} = 3600 [m_v (h_v - h_{FW}) + m_{RH} \Delta h_{RH}] / P_u$$

حيث:  $m_v$  التدفق الكتلي للبخار الطازج [kg/s]

$h_v$  أو  $h_{FW}$  الانتالي النوعي للبخار الطازج وماء التغذية [kJ/kg]

$m_{RH}$  التدفق الكتلي للبخار في المحمص الوسطي [kg/s]

$\Delta h_{RM}$  ارتفاع انتالي البخار في المحمص الوسطي [kJ/kg].

يبين الشكل 12.3 الاستهلاك النوعي للحرارة للنعفة البخارية (1) ومحطة الطاقة البخارية (2) وذلك تبعاً لنسبة التحميل.

### مثال 12.3

ما هي قيمة الاستهلاك النوعي للوقود والحرارة في محطة طاقة تحرق الفحم استطاعتها الكهربائية  $P_{el} = 900 \text{ MW}$  إذا كان المردود الإجمالي للمحطة  $\eta_{tot} = 0.42$  والقيمة الحرارية الدنيا للفحم الحجري 32 MJ/kg؟

الحل

1. ينتج الاستهلاك النوعي للحرارة من أجل محطة الطاقة من العلاقة:

$$Cq_{sp} = 3600 / \eta_{tot} = 3600 / 0.42 = 8571 \text{ kJ/kg}$$

2. الاستهلاك النوعي للوقود في المحطة:

$$m_F = \frac{Cq_{sp} P_{el}}{LCV} = \frac{2.381 \text{ MJ/MJ} \times 900 \text{ MW}}{32 \text{ MJ/kg}} \\ = 66.97 \text{ kg/s} = 66.97 \times 3.6 = 241.1 \text{ t/h}$$

3. الاستهلاك النوعي للوقود في المحطة

$$sfc = \frac{3600 m_F}{P_{el}} = \frac{3600 \text{ s/h} \times 66.97 \text{ kg/s}}{900} \\ = 0.268 \text{ kg/kWh}$$

### 7.3 الاستهلاك الذاتي لمحطة طاقة بخارية

يتألف الاحتياج الذاتي للمحطة من طاقة تشغيل المضخات والمراوح ومعدات تصفية (فلتر) غازات الاحتراق ومعدات التغذية بالفحم ونفخ الهباب وسحب الرماد وتشكل طاقه تشغيل المراوح والمضخات جزءاً كبيراً من الاستهلاك الذاتي للمحطة.

تستخدم في المحطات البخارية مراوح لامتصاص الهواء النقي، وهي تسحب الهواء اللازم للاحتراق عبر مسخن الهواء الأولي. للتأثير على عملية الاحتراق يقسم هواء الاحتراق إلى تيارات جزئية (هواء أولي، ثانوي، ثالثي). عند إحراق مسحوق الفحم تقوم مراوح الهواء الأولي بنقل الفحم مع جزء من هواء الاحتراق، والجزء الباقي من هواء الاحتراق يتم سوقه عن طريق مراوح إلى المواقع المطلوبة من حجرة الاحتراق.

تقوم مراوح الامتصاص بتحريك غازات الاحتراق عبر مولد البخار ومعدات التصفية وغازات الاحتراق حتى وصولها إلى المدخنة.

#### اختيار المضخات

تستخدم في محطات توليد الطاقة أنواع مختلفة من المضخات: مضخة مياه التغذية ومضخات الماء المتكاثف الرئيسية والثانوية، ومضخات ماء التبريد، ومضخات تدوير الماء.. إلخ. مضخات التغذية بالماء (مضخات نابذة متعددة المراحل) تزود مولد البخار بالماء وتشغل بمحركات كهربائية. مضخة التغذية بالماء الرئيسية تُغذى بالحركة عن طريق عنفة بخارية.

يجب على آلة الجريان التي يتم اختيارها تأمين التدفق الحجمي  $V$ . العوامل التصميمية لمضخة ما هي: التدفق الحجمي  $V$  [m³/s]، ارتفاع الضخ  $H$  [Pa]، درجة حرارة المائع  $t$  [°C]، سرعة الدوران، مردود المضخة  $\eta_p$  ومردود المحرك الذي يديرها  $\eta_M$ .

تُحسب استطاعة تشغيل مضخة من العلاقة التالية:

$$P = \frac{V H}{\eta_p \eta_M} \quad [W] \quad (53.3)$$

القيم الاسترشادية للمرداد  $\eta_p$  بين 0.65 و 0.85 و 0.9  $\eta_M$ .

يُحسب التدفق كما يلي:

\* أو أي نوع آخر من الوقود - المترجم.

(54.3)

$$V = m v \quad [\text{m}^3/\text{s}]$$

حيث:  $m$  التدفق الكتلي للمائع (ماء تغذية المولد، الماء المتكاثف أو ماء التبريد)  $[\text{kg/s}]$   
 $v$  الحجم النوعي  $[\text{m}^3/\text{kg}]$ .

من أجل مضخة التغذية بالماء تحدد قيمة  $v$  للماء عند الضغط ودرجة الحرارة السائدين في خزان الماء.

تستخدم في دورة الماء والبخار مضخات الماء التغذية وللبخار المتكاثف. المضخة النابذية الرئيسية المستخدمة للماء المتكاثف تضخ هذا الماء من المكثف وعمره في مسخن الماء الأولي ذي الضغط المنخفض وتنقله إلى خزان ماء التغذية، ومن هناك يضخ الماء إلى مسخن الماء الأولي ذي الضغط العالي ثم إلى مولد البخار. يتم تصميم مضخة التغذية بالماء بناءً على القواعد المستخدمة في آلات الجريان وعلى حساب دورة عمل الماء والبخار لمحطة الطاقة. في البداية يُحدد خط مقاومة جملة التغذية بالماء وكذلك خط مقاومة مضخة التغذية بالماء عند سرعة الدوران الأعظمية.

بحسب الضغط اللازم لمضخة مياه التغذية  $p_{i,FW}$  عن طريق الفرق بين ضغط البخار ( $p_v$ ) عند مخرج مولد البخار وضغط الماء ( $p_{FW}$ ) في خزان ماء التغذية، وبمراعاة ضياعات الضغط في مسخن الماء الأولي ذي الضغط العالي  $\Delta p_{PH}$  وفي مولد البخار  $\Delta p_{SG}$  وفي أنابيب البخار الساخن  $\Delta p_{pipe}$ :

(55.3)

$$p_{i,FW} = p_v - p_{FW} + \Delta p_{SG} + \Delta p_{PH} + \Delta p_{pipe}$$

يتألف ضياع الضغط من ضياع الضغط بفعل الاحتكاك في الأنابيب المستقيمة ومن مجموع ضياعات الضغط بفعل المقاومات المختلفة. أما ارتفاع الضخ للمضخة فيحسب من العلاقة:

(56.3)

$$H = p_{i,FW} - H_s - p_{stat} \quad [\text{Pa}]$$

حيث:  $p_{i,FW}$  الضغط اللازم للمضخة

$H_s$  ارتفاع الوصول إلى المضخة (محسوباً بالـ Pa)

$p_{stat}$  الضغط الستاتيكي في خزان ماء التغذية.

### مثال 13.3

لتحديد استطاعة تشغيل مضخة مياه التغذية معلوم ما يلي:

ماء التغذية: التدفق الكتلي  $m_{FW} = 637.4 \text{ kg/s}$ ، درجة الحرارة  $t_{FW} = 180^\circ\text{C}$ ، الحجم النوعي  $v_{FW} = 0.0010018 \text{ m}^3/\text{kg}$ ، الضغط اللازم للمضخة  $p_{i,FW} = 318.7 \text{ bar}$ ، الضغط الستاتيكي لخزان

ماء التغذية  $p_{stat} = 11.2 \text{ bar}$  ارتفاع وصول الماء إلى المضخة  $H_s = 1.2$  ومردود المضخة  $\eta_p$  يساري 82 % . ومردود المحرك الذي يديرها  $\eta_M = 90 \%$ .

الحل:

ارتفاع الضخ لمضخة مياه التغذية ينتج كما يلي:

$$H = P_{tFW} - P_{stat} - H_s = 318.7 - 11.2 - 1.2$$

$$= 306.3 \text{ bar} = 30.63 \text{ MPa}$$

الاستطاعة اللازمة لتدوير مضخة مياه التغذية:

$$(53.3) \quad P_{FW} = \frac{m_{FW} v_{FW} H}{\eta_p \eta_H}$$

$$= \frac{637.4 \text{ kg/s} \times 0.0010018 \text{ m}^3/\text{kg} \times 30.63 \text{ MPa}}{0.82 \times 0.9}$$

$$= 26.5 \text{ MW}$$

الجدول 7.3: سرعة الجريان للبخار والماء والغازات

الوسيط	$v$ بالـ m/s
بخار ساخن	60 - 35
بخار مشبع	25 - 15
ماء	2 - 0.5
الغازات	10 - 5

يجوز الجدول (7.3) قيمة استرشادية لسرعة الجريان لكل من البخار والماء والغازات.

اختيار المراوح

تستخدم في محطات الطاقة غالباً المراوح القطرية والمراوح المحورية المتساوية الضغط أو ذات الضغط المرتفع. أهم عناصر تصميم المراوح هي التدفق الحجمي  $V [\text{m}^3/\text{s}]$ ، ارتفاع الجر  $H [\text{Pa}]$ ، درجة الحرارة  $t [^\circ\text{C}]$  للمائع، مردود المروحة  $\eta_G$  (بناء على سرعة الدوران) ومردود محرك التشغيل  $\eta_M$ . القيم الاسترشادية لمردود المروحة  $\eta_F$  تتراوح بين 0.7 و 0.8 (تبعاً لسرعة لدوران) وللمحرك التشغيل  $\eta_M = 0.9$ .

تحسب استطاعة تشغيل مروحة ما كما يلي:

(57.3)

$$P = \frac{V H}{\eta_F \eta_M} \quad [\text{W}]$$

بحسب تدفق الهواء النقي للمروحة كما يلي:

(58.3)

$$V = \lambda V_{A,\min} m_F (273 + t_A) / 273 \quad [\text{m}^3/\text{s}]$$

حيث:  $\lambda$  عامل زيادة الهواء

$V_{A,\min}$  الاستهلاك الأصغري للهواء من أجل 1 kg وقود  $[\text{m}^3/\text{kg}]$

$m_F$  التدفق الكتلي للوقود  $[\text{kg/s}]$

$t_A$  درجة حرارة الهواء  $[\text{°C}]$ .

ومن أجل مراوح غازات الاحتراق فإن التدفق الحجمي يحسب من العلاقة التالية:

(59.3)

$$V = m_F [V_{G,L} + (\lambda_G - 1) V_{A,\min}] (273 + t_G) / 273 \quad [\text{m}^3/\text{s}]$$

حيث:  $\lambda_{G,L}$  عامل زيادة الهواء لغازات الاحتراق بمراعاة الهواء المتسرب (Leakage)

$V_G$  تدفق غازات الاحتراق بالنسبة لـ 1 kg وقود  $[\text{m}^3/\text{kg}]$

$t_G$  درجة حرارة غازات الاحتراق  $[\text{°C}]$ .

تُحدَّد قيمة ارتفاع الجر  $H$  عن طريق معرفة ضياع الضغط من جهة الهواء أو الغازات لمولد البخار.

### الاستهلاكات الأخرى للطاقة

لتغذية المنشأة بالفحم وسحب الرماد منها وكذلك لمعدات تنظيف غازات الاحتراق (الفلتر الكهربائي) يُقدَّر استهلاك الطاقة وفقاً للخبرات المكتسبة. ويتم حساب الاستطاعة اللازمة لكل التجهيزات المساعدة هذه كما يلي:

(60.3)

$$P_{\text{other}} = \sum a P_{el} \quad [\text{W}]$$

حيث:  $a$  الاستطاعة النوعية اللازمة بالنسبة لـ 1 MW من استطاعة المولدة  $[\text{W/MW}]$ .

يتراوح الاستهلاك الذاتي لمحطة الطاقة البخارية للمعدات المختلفة بالنسبة لاستطاعة المولدة بين

1.5 و 4 % من أجل مضخات التغذية بالماء وبين 0.5 و 2 % لمضخات ماء التبريد وحوالي 0.8 إلى



1.4 % للمراوح ومعدات تنظيف غازات الاحتراق ويبلغ حوالي 0.5 % لل تجهيزات الصغيرة الباقية (كالمطاحن... إلخ).

### 8.3 الطرائق المتطورة للاستفادة من الفحم

الهدف من هذه الطرائق المتطورة هو رفع مردود المحطة الطاقة وتقليل انبعاثات CO<sub>2</sub> والغازات الضارة الأخرى بحيث تبقى التكاليف معقولة.

يمكن ملاحظة تطور المردود من خلال القيم التالية:

— محطات الفحم الحجري تكون القيمة الوسطية 36 %، والهدف المخطط له هو الوصول إلى 45 %.

— محطات الفحم البني القيمة الوسطية 33 % أو 28 % والهدف المخطط له هو الوصول إلى 43 %.

يتم رفع مردود محطة البخار عن طريق:

□ تحسين المردود الداخلي للعنفة بواسطة تحسين عمليات الجريان داخل العنفة.

□ تقليل الضياعات في غازات احتراق مولد البخار.

□ تحسين ما يسمى النهاية الباردة (ضغط المكثف، درجة حرارة ماء التبريد).

□ تقليل الاستهلاك الذاتي للطاقة في المنشأة.

هناك محطات طاقة قيد التشغيل مثل محطة 5 Staudinger ومحطة روسترك Rostock اللتان

تعملان بالفحم الحجري ومردودهما حوالي 43 %، وهناك محطة Schkopau التي تعمل بالفحم البني التي مردودها 40 % وهناك محطات جديدة قيد الإنشاء لحرق الفحم البني هي: Schwarze Pumpe، Flimmersdorf و Lippendorf.

من أجل المحطات التي تحرق الفحم البني وذات الوحدات التي تتراوح استطاعتها بين 600 و 100 MW يمكن أن يصل المردود إلى حوالي 43 % وذلك عن طريق تقليل الاستهلاك الذاتي (للمضخات، لمراوح السحب، لمراوح الهواء النقي، لمعدات سحب الكبريت) بحدود 1.4 % وتقليل الضياعات في دورة الماء والبخار بحدود 1.1 % وللنهاية الباردة بحدود 1.4 %، للعنفة البخارية 1.7 %، تحسين الدورة عن طريق التسخين الأولي لماء التغذية بحدود 1.1 %... إلخ، وبالإجمال حوالي 7%.

\* هذه المحطات في ألمانيا - المترجم.

هناك مسود (معادن) حديثة مثل P 91 تمكن من رفع درجة مواصفات البخار الطازج إلى 270 bar و 580 °C والتحميص الوسطي إلى 50 bar و 600 °C.

ومن الممكن رفع المردود الإجمالي لمحطة الطاقة التي تحرق الفحم إلى 45 % (للمنشآت التي مرحلها من النوع ذي التدوير القسري) وإلى 46 % (للمنشآت التي مرحلها ذو جريان أحادي في الدارة). هذا من أجل الفحم الحجري أما من أجل الفحم البني فيمكن رفع المردود إلى 42 وحتى 43 %.

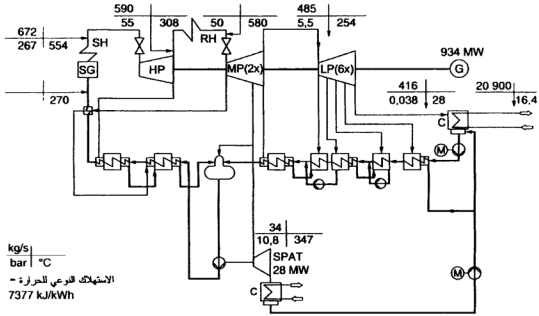
بتخفيض درجة حرارة غازات الاحتراق حتى 105 °C وتحسين تمرير البخار على شفرات العنف يمكن رفع المردود حتى 47 % من أجل الفحم الحجري وحتى 45 % من أجل الفحم البني. الجدير بالإشارة أن المحطات ذات البخار الذي مواصفاته دون حدية أي الضغط 160 bar ودرجة الحرارة 530 حتى 540 °C كان مردودها 30 إلى 36 %. من أجل أول محطة طاقة من الجيل الجديد (Boxberg في 1991) ذات الاستطاعة 800 MW للوحدة الواحدة والتي تفوق مواصفات بخارها الشروط الحدية، أي لبخارها الطازج ضغط 260 bar ودرجة حرارة 545 °C والتحميص الوسطي يتم عند 55 bar و 560 °C وضغط المكثف لها 0.046 bar، يبلغ المردود الصافي لهذه المحطة 39 % (مراعاة الاستهلاك الذاتي للطاقة). ويجري الآن بناء أول محطة ذات وحدتين استطاعة كل منهما 800 MW في Schwarze Pumpe.

أما في محطة Lippendorf التي تحرق الفحم البني (الشكل 13.3) فتستخدم وحدات باستطاعة 900 MW للحمولة الأساسية، حيث يبلغ عدد ساعات الاستخدام عند الحمولة الكاملة 6000 إلى 7500 ساعة في العام. المميزات الأساسية لهذه المحطة هي:

- مجال التحكم يتراوح بين 40 و 100 % من الحمولة.
- تحقيق الحدود المسموح بها لإصدار الغبار و  $SO_2$ ، والانخفاض إلى ما دون الحد المسموح به في إصدار  $NO_x$ ، أي أقل من  $200 \text{ mg/m}^3$  عند  $O_2$  6 %، وذلك عن طريق استخدام إجراءات أولية في الاحتراق.

- سحب أكاسيد الكبريت وإنتاج الجص (الجبصين).
- تغليف غاسل غازات الاحتراق بخلاط أساسها Ni-Ba واختيار GfK لأقنية الغاز المنظف.
- تمرير غازات الاحتراق حول أبراج تبريد ذات سحب طبيعي.
- توليد غازات الاحتراق حول أبراج تبريد ذات سحب طبيعي.

- توليد البخار بتحميص وسطي، وتمتع البخار بمواصفات فوق حدية.
  - تحقيق الاستطاعة المطلوبة مع تحكم يحقق تدرجاً في الضغط.
- تستخدم لتوليد البخار مراحل ذات جريان قسري أحادي في الدورة ارتفاعها 163 m (مراحل برجية)، أما الجرى الثاني فهو خالٍ.



الشكل 13.3 : مخطط الجريان في محطة Lippendorf، مولد بخار، SH محمص، RH محمص وسطي، HP عنفة الضغط العالي، HP عنفة الضغط العالي، MP عنفة الضغط المتوسط، LP عنفة الضغط المنخفض، SPAT عنفة تشغيل مضخات المكثف ومضخات مياه التغذية، C مكثف.

### تقانة الإحراق الأمثل للفحم البني

حتى عام 1997 أمكن رفع المردود لـ 70 % من المحطات ذات الاستطاعات العالية التي تحرق البني الموجودة\* بحدود 3.5 %، وبذلك تم إنقاص انبعاث الـ  $\text{CO}_2$  بمقدار مليوني طن في العام. وفي عام 1999 كان من المفترض أن تبدأ محطة ذات تقانة حديثة (وحدة توليد واحدة) في Frimmersdorf تحرق الفحم البني واستطاعتها 900MW، وبذلك سيرتفع المردود وسطياً من 30%\*

\* في ألمانيا - المترجم.

إلى 43 %، وسيكون انبعاث الـ  $\text{CO}_2$  أقل بـ 2.1 مليون طن في السنة، تتضمن التقنية الحديثة هذه ما يلي:

□ رفع مواصفات البخار الطازج من  $170 \text{ bar}/530^\circ\text{C}$  (دون حدي) إلى 260 حتى  $285^\circ\text{C}$  و  $580^\circ\text{C}$  (فوق حدي).

□ تخفيض ضغط المكثف حتى 0.034

□ استخدام الطرق الأفضل لجريان البخار وعمده في العنفة البخارية

□ الاستخدام الأنسب لحرارة غازات الاحتراق عن طريق جعل المبادلات الحرارية، وهناك جملتان اثنتان موصولتان على التوازي، الأولى لتسخين ماء التغذية (ECO) والأخرى بعد المصفاة الكهربائية مصنوعة من خيوط صناعية لتسخين هواء الاحتراق تسخيناً أولياً

□ التخفيض الكبير للاستهلاك الذاتي للطاقة عن طريق أنسب اختيار للعناصر المختلفة ووصلها. وبالمقارنة مع محطات الطاقة القائمة التي تحرق الفحم البني فقد بُنيت بالاستعانة بالتقانة السابقة الذكر وحدات توليد تحرق الفحم باستطاعة صافية قدرها 900 MW وتتمتع بالمقارنة مع الوحدات ذات الاستطاعة 600 MW بمردود أعلى بمقدار 7.7 % أي حوالي 43 %.

المواصفات التصميمية للوحدة ذات الاستطاعة 900 MW في Neurath مبينة في الجدول (8.3).

الجدول 8.3: المواصفات الفنية لوحدة توليد تحرق الفحم البني استطاعتها 880 MW.

#### 1. الوقود

الفحم البني بتركيب (كسب وزنية [%]) كما يلي:  $C = 29.4$ ،  $H = 2.2$ ،  $O = 10.6$ ،  $S = 0.4$ ،  $LCV = 9700 \text{ kJ/kg}$ ،  $W = 52.4$ ،  $A = 4.6$ ،  $N = 0.4$ ، غازات الاحتراق (كسب حجمية %) عندما  $\lambda = 1.15$  هي  $\text{O}_2 = 2.45$ ،  $\text{CO}_2 = 20.51$ ،  $\text{N}_2 = 61.22$ ،  $\text{H}_2\text{O} = 14.7$

#### 2. مولد البخار (SG، مارجل بنسون Benson)

استطاعة الاحتراق 1723 MW، الاستطاعة الحرارية لمولد البخار 1600 MW  
مردود مولد البخار  $\eta_{SG} = 1600 \text{ MW} / 1732 \text{ MW} = 92.38\%$   
البخار الطازج المولّد:  $\dot{m}_v = 3334 \text{ t/h}$ ،  $p_1 = 260 \text{ bar}$ ،  $t_1 = 550^\circ\text{C}$ ،  
الضغط قبل مولد البخار 311.2 bar، ضياع الضغط 51.2 bar.  
التحميص الوسطي عند  $p = 46.5 \text{ bar}$  و  $t = 580^\circ\text{C}$ .

### 3. جلة العنفة والمولد (Turboset)

العنفة: واحدة ذات ضغط عالٍ HP، واحدة ذات ضغط متوسط MP، 6 مراحل ذات ضغط منخفض LP.

الاستطاعة الميكانيكية المفيدة 894.3 MW.

المردود الداخلي للعنفة  $\eta_{IT} = 0.926$ .

الاستطاعة الكهربائية لخرج المولدة 880 MW.

الاستهلاك الذاتي للطاقة 44.6 MW.

الاستطاعة الكهربائية الجاهزة (الصافية)  $P_{Netto} = 835.4$  MW.

4. المردود والاستهلاك النوعي للحرارة في المنشأة (منسوباً لـ  $P_{Netto}$ )

$Cq_{sp} = 8416.4$  kJ/kWh ،  $\eta_{el} = 42.78$  %

5. الاستهلاك الذاتي للطاقة في المنشأة

مضخة مياه التغذية 26.6 MW، مروحة الهواء النقي 4.9 MW، مراوح امتصاص غازات الاحتراق

8.1 MW المطحنة 7.5 M.

6. التسخين الأولي لماء التغذية

هناك 4 مسخنات أولية عند ضغط منخفض من أجل تدرج قدره 3 K، خزان لماء التغذية، صاحب

غازات، مسخان اثنان أوليان عند ضغط عالٍ (A6 من أجل تدرج قدره 1.8K و A7 من أجل

تدرج قدره 2K، صاحب للحرارة مركب ومصمم لضمان الوصول إلى درجة الحرارة 270 °C

لماء التغذية عند مدخل المرجل).

7. التكثف وبرج التبريد

الاستطاعة الحرارية المطروحة 952.7 MW، ضغط المكثف 34.2 mbar، نسبة الجفاف للبخار

المغادر للعنفة  $X_{end} = 0.884$  هناك برجاً تبريد ارتفاع كلي منهما 162 m؛ مجال التبريد 9 K،

عرض مناطق التبريد 8.16 K، التدفق الكتلي لماء التبريد  $m_{CW} = 27876$  kg/s، تدفق الهواء الكتلي

$m_A = 27926$  kg/s، التدفق الكتلي للبخار المتطاير  $m_{eva} = 259$  kg/s عند درجة حرارة محيطية

$t_{amb} = 9.5^\circ\text{C}$

### الخلاصة

يمكن رفع مردود دورة البخار عن طريق زيادة درجة الحرارة الوسطية لتقلدتم الحرارة وتخفيض درجة الحرارة الوسطية لطرح الحرارة. يتم تحقيق ذلك هندسياً عن طريق رفع الضغط  $P_v$  ودرجة الحرارة  $T_v$  وكذلك عن طريق استخدام التخميص الوسطي والتسخين المتجدد كثير المراحل للماء الذي يغذي المرجل. درجة الحرارة الوسطية لطرح الحرارة هي درجة حرارة التكاثف التي تتحدد عن طريق ضغط المكثف ودرجة حرارة ماء التبريد فيه.

إن رفع  $P_v$  يرفع المردود الحراري ولكنه يؤدي إلى ازدياد استطاعة تشغيل مضخة مياه التغذية. يمكن عن طريق رفع درجة حرارة البخار المولّد ودرجة حرارة التخميص ( $t_{RH}$ ,  $T_v$ ) وكذلك عن طريق الانتقال من التخميص الأحادي إلى التخميص في مرحلتين رفع المردود الحراري بمقدار 1.2 إلى 2%.

إن الجريان الأمثل للبخار في العنفة شرط مهم لزيادة إضافية للمردود الداخلي للعنفة وبالتالي المردود الإجمالي لمحطة الطاقة. كذلك يساهم تقليل الاستهلاك الذاتي للطاقة في المنشأة نفسها بشكل جوهري في رفع المردود الصافي للمحطة. يكون التحسن في استغلال طاقة الوقود كبيراً فقط عند استخدام محطة الدارة المركبة (بخارية + غازية). تقع قيم المردود التي يمكن الوصول إليها في المجال 58 إلى 60 %، وستتم في الفصول القادمة معالجة فرضيات هذه المخططات المبتكرة التي تعمل بالوقود المستحاثي (الأحفوري) إذا أمّا تمثل جيلاً جديداً من محطات الطاقة التي هي في انتشار متزايد.

## 4 مولدات البخار (المراجل - الغلايات)

### 1.4 الأنواع

#### المرجل ومولد البخار

تقسم المراجل (الغلايات) ومولدات البخار بشكل عام إلى:

— المراجل ذات الحيز الكبير للماء.

— مولدات البخار الأنبوبية.

تصنع المراجل ذات الحيز الكبير للماء على شكل مراجل ذات أنابيب هب وغازات احتراق، وباستطاعة تصل حتى 25 t/h وضغط البخار المشيع حتى 25 bar. إن نسبة كمية الماء في المرجل إلى التدفق الكتلي للبخار المولد عالية جداً، وتمتلك هذه المراجل قدرة كبيرة على التخزين. وعند تغير الحمولة تحصل تغيرات صغيرة في الضغط. يمكن رفع درجة حرارة البخار حتى 450 °C وتحميصه بواسطة عمص خاص. تستخدم هذه المراجل عادة في المنشآت الصناعية والحرفية.

أما في محطات الطاقة فتستخدم مولدات البخار الأنبوبية حصراً. ويمكن تصنيعها لتقدم أعلى الاستطاعات وأكبر القيم للضغط ودرجات حرارة البخار. يتم في هذه المولدات توليد البخار في أنابيب المبخر التي تشكل جدار وحزمة التسخين في المولد.

تقسم مولدات البخار الأنبوبية إلى مولدات ذات تدوير طبيعي وذات تدوير قسري وذات جريان وحيد قسري.

#### مولدات البخار ومنشأة مولدة البخار

يتألف مولد البخار من حجرة احتراق وسطوح تسخين لتوليد البخار وتحميصه وكذلك للتسخين الأولي لكل من ماء التغذية والهواء، أي من مبخر وعمص وعمص وسطي وحاقن ماء تبريد البخار، والموفر (Eco) ومسخن الهواء الأولي. يمكن توزيع مولد البخار في عدة مجارٍ على طول مجرى الغازات، وهناك نوع ذو مجرى واحد وأنواع ذات مجارٍ متعددة. يتم ترتيب المولدات

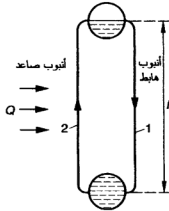
ذات الجريين بحيث يوجد في الجرى الأول حجرة احتراق بشكل المبخّر جدارها الغشائي (membrane) وتحوي أيضاً عمصاً ذا ضغط عالٍ، أما في الجرى الثاني فتوجد سطوح التسخين

الأخرى للتسخين اللاحق.

تتضمن منشأة البخار بالإضافة إلى مولد البخار الأجزاء التالية:

- تجهيزات تحضير وتوزيع الوقود،
- مراوح الهواء النظيف ومراوح السحب،
- المسخنات الأولية للماء (المفورات) في مجرى غازات الاحتراق للمولد،
- مضخات ماء التغذية، والملحقات وأنابيب الماء،
- تجهيزات تخفيض الضغط وكذلك أنابيب التوصيل إلى مولد البخار،
- معدات سحب أكاسيد الكبريت والآزوت،
- المدخنة.

ويؤثر نوع الوقود المستخدم على شكل المنشأة وتصميمها وعملها بشكل كبير.



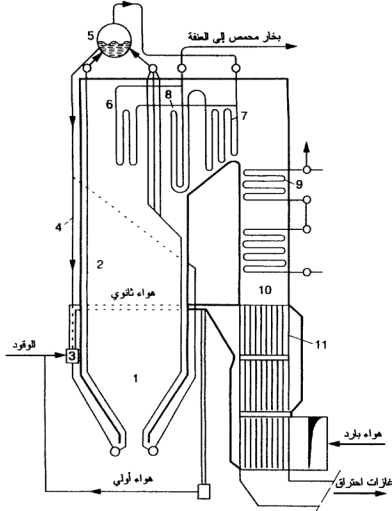
الشكل 1.4 : دورة الجريان في مولد البخار ذي التدوير الطبيعي (مخطيطة).

#### مولدات البخار ذات التدوير الطبيعي

تنشأ في هذه المولدات الحركة الدورانية للماء بفعل فرق الكثافة بين الماء الساخن والماء البارد، وتعادل قوة التدوير هذه مقاومة الجريان داخل الدورة. تتألف دورة العمل من أنابيب صاعدة مسخنة وجمع توزيع، وأسطوانة (حلة) وأنابيب هابطة غير مسخنة (الشكل 1.4) يتبخر الماء جزئياً في الأنابيب الصاعدة ثم يخرج خليط الماء والبخار من الأنابيب الصاعدة ليذهب إلى الأسطوانة



(الحلة)، وهناك يفصل الماء عن البخار. يجري البخار إلى المحمص، أما الماء فينتقل عبر الأنابيب الهابطة إلى المجمعات ومنها يتوزع على أنابيب المبخر الصاعدة.



الشكل 2.4 : أجزاء مولد

البخار ذي التدوير  
الطبيعي

1. حجرة الاحتراق

2. المبخر

3. الحراق

4. الأنابيب الهابطة

5. الأسطوانة (الحلة)

6. محمصات بالإشعاع

7. محمصات بالتلامس

8. محمصات وسطية

9. موقر

10. مجرى الغاز حيث للتبادل

بالحمل

11. مسخن أولي للهواء

تكون كثافة خليط الماء والبخار في الأنابيب الصاعدة التي تشكل المبخر، أقل من كثافة الماء في الأنابيب الهابطة. إن قوة التدوير منسوبة لـ  $1 \text{ m}^2$  من مقطع الأنبوب تساوي ضياع الضغط في الدورة وهي تحسب بالعلاقة التالية:

$$(1.4) \quad \Delta p = g (\rho_F - \rho_S) H \quad [\text{Pa}]$$

حيث:  $g$  التسارع الأرضي  $[\text{m/s}^2]$

$\rho_F$  كثافة الماء في الأنابيب الهابطة  $[\text{kg/m}^3]$

$\rho_s$  كثافة خليط الماء والبخار في الأنابيب الصاعدة [kg/m<sup>3</sup>]

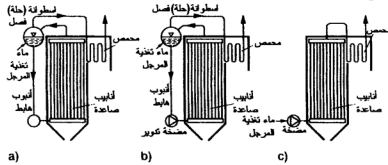
$H$  فرق الارتفاع في الدورة بين الأسطوانة (الحلة) ومجمع التوزيع [m].

من أنواع مولدات البخار ذات التدوير الطبيعي توجد المولدات ذات الأنابيب المائلة وذات الأنابيب الصاعدة والمولدات الإشعاعية. عدد الدورات  $n$  لمولد بخار جريانه طبيعي هو النسبة بين تدفق كتلة الماء القادمة إلى المبخر وتدفق كتلة البخار المولد. يتعلق عدد الدورات  $n$  ونسبة البخار  $x$  عند مخرج الأنابيب الصاعدة بضغط البخار. تبلغ قيمة  $n$  لمولدات البخار ذات التدوير الطبيعي والتي تستخدم الفحم وقوداً 10.8 أو 6 عند ضغط للبخار 10.14 أو 18 MPa. وتكون عندئذ قيمة  $x$  مساوية لـ 0.09 أو 0.13 أو 0.16.

يجب أن تكون سرعة الجريان في الأنابيب الصاعدة كبيرة بحيث يتم ضمان التبريد الكافي للأنابيب وتجنب الحدود غير المسموح بها لدرجة حرارة جدران الأنابيب. ويجب أن تكون قيمة التدفق الكتلي 600 kg/m<sup>2</sup>s حتى نضمن تبريداً آمناً للأنابيب المبخر.

! تبلغ الكثافة العظمى للسائلة الحرارية في مولدات البخار ذات الجريان الطبيعي 0.4 MW/m<sup>2</sup>.

تعمل مولدات البخار ذات التدوير الطبيعي عند نقطة نهاية ثابتة للتبخر، ولا يمكن استخدامها لقيم بخار (parameters) فوق حدية. يتراوح الضغط بين 170 و 180 bar، ويلغ هبوط الضغط في مولد البخار 5 حتى 10 %.



الشكل 3.4 : مخطط ومبدأ عمل أنواع مولدات البخار الثلاثة (a) ذات التدوير الطبيعي، (b) ذات التدوير القسري، (c) ذات الجريان لمرة واحدة في الدورة بشكل قسري.

### المولدات ذات التدوير القسري

يبين الشكل (3.4) مبدأ عمل كل من أنواع مولدات البخار الثلاثة المختلفة وهي: ذات التدوير الطبيعي، ذات التدوير القسري، ذات الجريان لمرة واحدة في الدورة بشكل قسري. يُسمى مولد

البخار ذو التدوير القسري، بمرجل لامونت La-Mont وهو يستخدم بشكل كبير في أمريكا ولكنه نادر الاستخدام في أوروبا وبخاصة ألمانيا. تُدعم حركة الوسيط في أنابيب المبخّر لهذا النوع من المولدات عن طريق مضخة تدوير للماء وتتم تهدئة الجريان في أنابيب المبخّر المختلفة بمساعدة صمامات خنق.

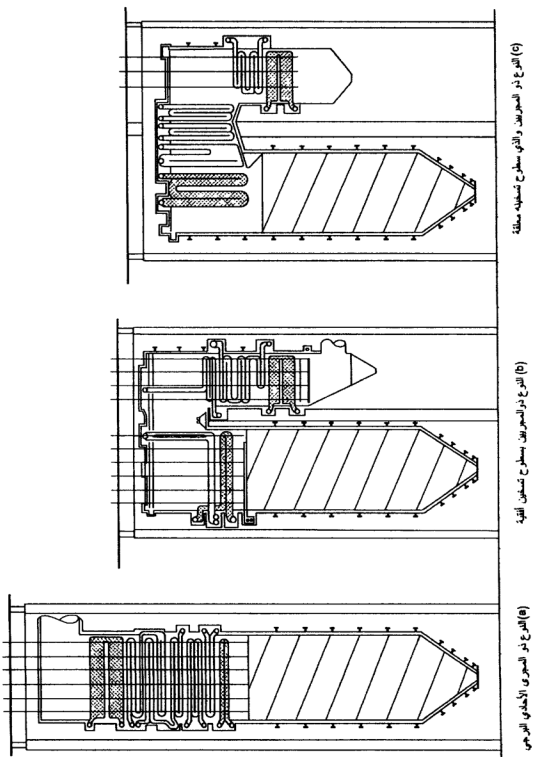
وبفضل مضخة تدوير الماء تصبح كثافة التدفق الكتلي عبر المبخّر مستقلة عن استطاعة مولد البخار. تقوم صمامات الخنق علاوة على ما ذكر بالموازنة بين التدفق الكتلي للماء والتيار الحراري للأنابيب. ويمكن باختيار مناسب للتدفق الكتلي تحاشي نشوء أزمة الغليان عند الضغوط العالية تحت الحدية. يتم تنظيم عمل جملة تدوير الماء بحيث يتراوح عدد الدورات بين 3 و 5. ويجري اختيار كثافة التدفق الكتلي في أنابيب المبخّر وفقاً لكثافة السائلة الحرارية القصوى في حجرة الاحتراق وللضغط، ويُختار قيمة كثافة التدفق الكتلي في أنابيب المبخّر لتتراوح بين 1000 و 2000 kg/m<sup>2</sup> s.

يبلغ الضغط المسموح به في أسطوانة الفصل (الحلة) لمولدات البخار ذات التدوير القسري حوالي 200 bar.

### مولدات البخار ذات الجريان لمرة واحدة في الدورة وبشكل قسري

هنالك نوعان من هذه المولدات هما: مولد بخار سولزر Sulzer ومولد بخار بنسون Benson. يتميز مرجل بنسون بأنه ذو مجرى وحيد وبوجود ساحب للرماد الجاف وكذلك بسرعة إقلاعه، ويمكنه العمل عند ضغط أعلى أو أدنى من الضغط الحدي. في المجال الأدنى من الضغط الحدي يتعلق موقع نقطة نهاية التبخير بمحمولة المرحل والحرارة المتلقاة، وكذلك بإنتالي الدخول ودرجة حرارة البخار الحار. وهكذا تحسب المساحات المتغيرة لسطوح التسخين لكل من المبخّر والمحمص. تنظم نقطة التبخر عبر جزء انتقالي صغير يتم تسخينه (مبخّر فائتي) وبذلك يمكن التشغيل عند أية درجة حرارة خروج للغازات. كما يمكن عند الحاجة تشغيل مرجل بنسون عند مختلف الضغوط، أي أنه مناسب للعمل عند تغير متدرج في الضغط. في مولدات البخار من نوع سولزر يستخدم فاصل للماء.

من أجل مولدات البخار ذات الجريان لمرة واحدة في الدورة وبشكل قسري يُسخن ماء التغذية أولاً في مسخن ماء أولي يستخدم غازات الاحتراق الساخنة (الموفر economizer). يتبخر الماء في



**الشكل 4.4 :** مراحل بنسبون ذات الجريان القسري لمرة واحدة في الدورة بأنواعها أحادية وثنائية المجرى.

مبخّر تتوضع أنابيبه بشكل حر وبسيط نسبياً على جدران حجرة الاحتراق. وهكذا يتم تحويل مستمر للماء إلى بخار عند أعلى الضغوط (حتى 350 إلى 400 bar أخيراً يُسخن البخار في محمص ذي ضغط عالٍ ريثما يصل إلى درجة حرارة البخار الطازج المطلوبة. تتعلق درجة الحرارة هذه بمادة صنع كل من المحمص وأنابيب البخار الطازج وشفرات العنف، وهي تقع حالياً بمحدود الـ 560 °C. إن ضغط البخار في هذا النوع من مولدات البخار غير محدود من وجهة النظر الفيزيائية ولذلك يُستخدم هذا النوع من المولدات حصراً للضغط التي قيمتها أعلى من الضغط الحدي. هناك حولة دنيا لا يجوز النزول عنها وذلك لضمان التدفق الكتلي الأصغري اللازم لتبريد الأنابيب ولتأمين استقرار الجريان، وهذا عيب مولدات البخار ذات الجريان لمرة واحدة في الدورة وبشكل قسري، إلا أنه يمكن تخاشي هذه المشكلة بتركيب معدات خاصة من أجل الإقلاع والحمولات الصغيرة. الشكل (4.4) يبين بشكل تخطيطي أنواع مولدات البخار هذه بتصاميمها ذات الجرى الوحيد أو ذات الجريين. كذلك يبين الجدول (1.4) مقارنة لحجوم هذه المولدات.

الجدول 1.4: مقارنة حجوم مولدات البخار ذات الجريان القسري لمرة واحدة في دورة المبخّر (الوقود فحم بنسي)

استطاعة مجموعة MW	عدد المراحل	معدل توليد البخار لكل مرحلة t/h	الارتفاع الكلي m	ارتفاع حجرة الاحتراق
500	2	815	73	42
600	1	1800	*130	66
930	1	2420	163	103

\* الارتفاع الكلي لمولد البخار الذي استطاعته MW 630 والذي يستخدم الوقود السائل (فول أوليل) يبلغ 70 m فقط.

### مقارنة الأنواع المختلفة لمولدات البخار

عيوب المولدات ذات التدوير الطبيعي:

- حدود ضغط البخار هي 180 bar.
- تكاليف الأسطوانة (الحلّة) عالية من أجل الاستطاعات والضغط الكبير، فعثلاً يجب أن تتراوح سماكة جدار الأسطوانة بين 150 و 200 mm.
- السلوك الديناميكي غير مناسب.

يعرض الجدول (2.4) مجالات الضغط عند مخرج المبخّر وقبل العنفة والتي تناسب عملياً للاستعمال في الأنواع المختلفة من مولدات البخار.

الجدول 2.4: مجالات الضغط عند مخرج المبخّر وقبل العنفة لمختلف طرق توليد البخار

نوع مولد البخار	ضغط الخروج من المبخّر [bar]	ضغط البخار الطازج [bar]
المولدات ذات التدوير الطبيعي	180	160
المولدات ذات التدوير القسري	195	170
المولدات ذات الجريان القسري لمرة واحدة في الدورة والمزودة بفاصل للماء	210	185
المولدات ذات الجريان القسري لمرة واحدة في الدورة غير المزودة بفاصل للماء	فوق حدي (>221.2bar)	فوق حدي (>221.2bar)

## 2.4 الموازنة الحرارية والمردود

### تيار الحرارة الداخِل

تتألف كمية الحرارة الناتجة عن حرق العقود من الحرارة الناتجة عن الارتباط الكيميائي والحرارة المحسوسة للوقود والحرارة المحسوسة لهواء الاحتراق. يُحسب تيار الحرارة المتحررة في حجرة الاحتراق بالمعادلة التالية:

$$Q_s = m_F [LCV + c_F (t_F - 25) + A c_{PA} (t_A - 25)] \quad [\text{kJ/s}] \quad (2.4)$$

حيث:  $m_F$  التدفق الكتلي للوقود [kg/s]

$LCV$  القيمة الحرارية للوقود [kJ/kg]

$c_F$  السعة الحرارية النوعية للوقود [kJ/kgK]

$c_{PA}$  السعة الحرارية النوعية للهواء [kJ/m³K]

$t_F$  و  $t_A$  درجة حرارة الوقود وهواء الاحتراق على التوالي [°C]

$A$  كمية هواء الاحتراق المقابلة لكل 1 kg ووقود [m³/kg].

تعتمد الدرجة 25 °C كدرجة حرارة مرجعية للموازنة الحرارية. إذا لم يسخن الوقود أو الهواء قبل الاحتراق ينعدم الحدان الثاني والثالث في المعادلة 2.4.

### استطاعة البخار والاستطاعة الحرارية المفيدة

تعرف استطاعة البخار لمولد بخار بأنها كمية البخار التي يتم إنتاجها في واحدة الزمن ويُرمز لها بـ  $m_v$  وواحداتها  $[kg/s]$  أو  $[t/h]$  (طن/ساعة)  
أما الاستطاعة الحرارية المفيدة  $Q_u$  لمولد بخار فهي مجموع كميات الحرارة المقدمة في الثانية لتوليد البخار ( $Q_v$ ) ولتحميصه الوسطي ( $Q_{RH}$ ):

$$(3.4) \quad Q_u = Q_v + Q_{RH} \quad [kJ/s]$$

في المنشآت الكبيرة تضبط درجة حرارة البخار الطازج (عند مخرج مولد البخار) عن طريق حقن جزء من مياه التغذية لتبريد البخار.

تبلغ الحرارة اللازمة لتوليد البخار من مياه التغذية (FW) كما يلي:

$$(4.4) \quad Q_v = m_v (h_v - h_{FW}) + m_{iw} (h_{FW} - h_{iw}) \quad [kJ/s]$$

أما الحرارة اللازمة للتحميص الوسطي للبخار فهي:

$$(5.4) \quad Q_{RH} = m_{RH} (h_{RH,exit} - h_{RH,ent}) + m_{W,RH} (h_{FW} - h_{W,RH}) \quad [kJ/s]$$

حيث:  $m$  التدفق الكتلي  $[kg/s]$

$h$  الانتالي النوعي  $[kJ/kg]$ .

أما الدلائل فتعني ما يلي:  $v$  بخار نقي،  $RH$  تحميص وسطي،  $FW$  ماء التغذية،  $iw$  الماء المحقون لتبريد البخار الطازج،  $W,RH$  الماء المحقون لتبريد البخار المحمص وسطياً،  $ent$  للدخول،  $exit$  للخروج.

### مردود مولد البخار

يعرف مردود مولد البخار  $\eta_{SG}$  بأنه النسبة بين الاستطاعة الحرارية المفيدة  $Q_u$  للمولد وتيار الحرارة الداخلة إليه  $Q_s$ :

(6.4)	$\eta_{SG} = Q_u / Q_s$
-------	-------------------------

وبطريقة غير مباشرة:

$$(7.4) \quad \eta_{SG} = (Q_s - Q_{los}) / Q_s = 1 - Q_{los} / Q_s$$

تتألف الضياعات الحرارية الإجمالية لمولد البخار  $Q_{los}$  من الضياعات الحرارية مع غازات الاحتراق  $Q_{EG}$  والضياع الحراري بفعل عدم الاحتراق الكامل  $Q_{lim}$ ، والضياع الحراري بسبب الأجزاء غير المحترقة من الوقود  $Q_{FS}$  (كمية الكربون في الوقود) والتي تتطاير مع الهباب أو ترسب مع الخبث، والضياع الحراري بفعل الحرارة المحسوسة للخبث  $Q_s$ ، والضياع بفعل الحمل والإشعاع  $Q_c$ .

عن نسب هذه الضياعات الحرارية بعد قسمتها على الحرارة المضافة هي (كنسبة مئوية %):  
 $q_G, q_u, q_{FS}, q_s, q_c$

ويحسب المردود الحراري للمولد كما يلي:

$$(8.4) \quad \eta_{SG} = 100 - (q_G + q_u + q_{FS} + q_s + q_c) \text{ [%]}$$

تزيد قيمة المردود الحراري للمولدات الحديثة ذات الاستطاعات الكبيرة عن 90 %.

### الضياع الحراري مع غازات الاحتراق

يتعلق الضياع الحراري مع غازات الاحتراق بدرجة الحرارة  $t_G$  والتدفق الحجمي للغازات  $V_{Gas}$ .  
 يحسب التدفق الحجمي للغازات كما يلي:

$$(9.4) \quad V_{Gas} = m_F (V_{EG} + \Delta \lambda A_{min}) \text{ [m}^3/\text{s]}$$

حيث:  $m_F$  استهلاك الوقود في حجرة الاحتراق [Kg/s]

$V_{EG}$  حجم الغازات في حجرة الاحتراق [m<sup>3</sup>/kg]

$\Delta \lambda$  عامل الإغناء بالهواء بفعل ما يسمى السحب (الامتصاص) الخاطئ للهواء بعد حجرة الاحتراق

$A_{min}$  كمية الهواء الدنيا اللازمة نظرياً لحرق 1 kg وقود [m<sup>3</sup>/kg].

ويصبح الضياع الحراري مع غازات الاحتراق (عند درجة حرارة مرجعية للوسط المحيط هي 25°C) كما يلي:

$$(10.4) \quad Q_{EG} = V_{Gas} c_{PG} (t_c - 25) \text{ [kJ/s]}$$

### الضياع الحراري بفعل الاحتراق غير الكامل للوقود

عندما يكون الاحتراق غير كامل فإن غازات الاحتراق تحوي غازات قابلة للاحتراق (CO، هببات كربون) ويبلغ الضياع الحراري الناتج عن ذلك:



(11.4)

$$Q_u = V_{\text{Gas}} - r_{\text{CO}} m_F H_{\text{CO}} R_{\text{Gas}} / R_{\text{CO}} \text{ [kJ/s]}$$

حيث:  $V_{\text{Gas}}$  حجم الغازات المنطلقة من احتراق 1 kg وقود  $[\text{m}^3/\text{kg}]$

$m_F$  استهلاك الوقود  $[\text{kg/s}]$

$r_{\text{CO}}$  نسبة حجم غاز CO في غازات الاحتراق  $[\text{m}^3/\text{m}^3]$

$H_{\text{CO}}$  القيمة الحرارية لـ CO  $(12640 \text{ kJ/m}^3)$

$R_{\text{Gas}}$  ثابت غازات الاحتراق  $[\text{kJ/kg K}]$

$R_{\text{CO}}$  ثابت غاز الـ CO

$$0.2968 \text{ kJ/kg} = K$$

**الضياء الحراري بسبب عدم الاحتراق**

يمكن حساب الضياء الحراري جراء عدم الاحتراق في كل من الرماد المتطاير والخبث المترسب كما يلي:

(12.4)

$$Q_{\text{FS}} = A m_F C_{\text{FS}} H_C$$

حيث:  $A$  محتوى الوقود من الرماد  $[\text{kg/kg}]$

$C_{\text{FS}}$  محتوى كل من الرماد المتطاير والخبث المترسب للكربون

$H_C$  القيمة الحرارية للكربون  $(33285 \text{ kJ/kg})$ .

الضياء الحراري بالحرارة المحسوسة للخبث الصلب أو السائل المطروح:

(13.4)

$$Q_{\text{Sen}} = A m_F a (c_s t_s + h_s)$$

حيث:  $a$  النسبة الكتلية للخبث المسحوب (المطروح)

$c_s$  السعة الحرارية النوعية للخبث (بين 0.8 و 1.26  $\text{kJ/kg K}$ )

$t_s$  درجة حرارة الخبث  $[\text{°C}]$

$h_s$  انتالي الخبث المنصهر (السائل) (قيمته تتراوح بين 200 و 420  $\text{kJ/kg}$ ).

ويمكن إهمال هذا الضياء  $Q_s$  في حالة الإحراق الجاف.

**الضياء الحراري بفعل التبرد**

يحسب الضياء الحراري بفعل تبرد السطح الخارجي للمولد جراء الحمل والإشعاع كما يلي:

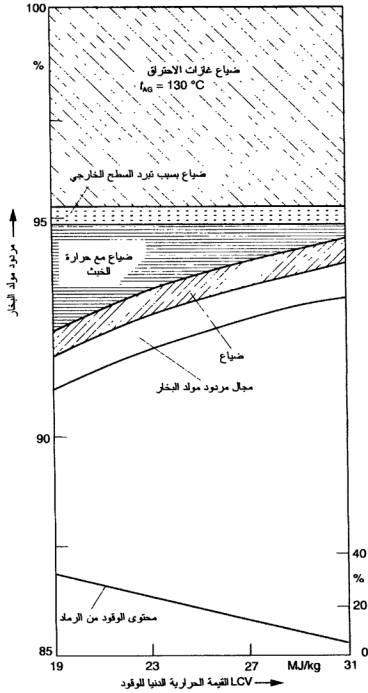
(14.4)

$$Q_C = (\alpha_c + \alpha_{\text{Rad}}) A_{\text{out}} (t_{\text{out}} - 25) \text{ [kJ/s]}$$

حيث:  $\alpha_{\text{Rad}}$  ،  $\alpha_c$  عاملا انتقال الحرارة بالحمل والإشعاع على التوالي  $[\text{W/m}^2 \text{ K}]$

$A_{\text{out}}$  مساحة السطح الخارجي للمولد  $[\text{m}^2]$

$t_{out}$  درجة حرارة السطح الخارجي للمولد [°C].



الشكل 5.4 : الضياعات الحرارية ومردود مولد بخار يحرق الفحم الحجري وعلاقة ذلك بالقيمة الحرارية الدنيا للوقود LSV.

بازدياد الاستطاعة الحرارية المفيدة لمولد البخار تتناقص قيمة  $Q_u/Q_c = q_c$  من 1.1 % عند  $Q_u = 10 \text{ MW}$  إلى 0.3 % عند  $Q_u = 800 \text{ MW}$  وذلك من أجل مرجل يحرق فحمًا حجرياً. يبين الشكل (5.4) الضياعات الحرارية والمردود لمولد بخار يحرق الفحم الحجري وذلك تبعاً للقيمة الحرارية الدنيا للوقود.

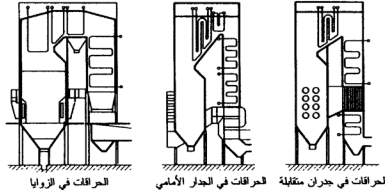
### 3.4 الاحتراق والحراقات

وفقاً لنوع الوقود فإن هناك أنواعاً مختلفة للحراقات ولأسلوب الحرق في مولد البخار. يتم في فرن مولد البخار حرق أنواع مختلفة من الوقود الصلب والسائل والغازي. إن طريقة الحرق وحجم حجرة الاحتراق يتعلقان بنوع الوقود وهما أساسيان في جودة الاحتراق.

**!** *لحرق قطع الفحم تستخدم المصبغات ولحبيبات مسحوق الفحم الناعمة تستخدم أجهزة حرق ذات تفريغ الخبث بالحالة الجافة أو تستخدم الأفران السيكلونية ذات تفريغ الخبث بالحالة السائلة، أما من أجل حبات الفحم الأكبر حجماً فتستخدم طريقة الحرق بما يسمى فرشاة الوقود السائلة.\**

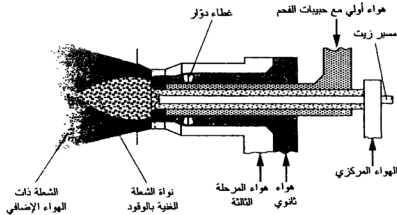
يُحمل الفحم المطحون في مطاحن الفحم عن طريق هواء أولي ريثما يوزع على عدة طرقات. تسحب الكميات الباقية من الاحتراق (الرماد والخبث) من حجرة الاحتراق أو تفصل عن غازات الاحتراق على شكل رماد طيار بواسطة معدّات تصفية (فلتر) خاصة. يوضح الشكل (6.4) تخطيطاً لأنواع حجر الاحتراق ذات سحب الخبث بالحالة الجافة، أما الشكل (7.4) فيبين بشكل تخطيطي حرقاً للفحم المسحوق يرسل إليه الهواء عبر ثلاث مراحل. يحرق الوقود السائل سواءً الثقيل (فيول أويل) أو الخفيف (غاز أويل — مازوت) في حراقات تعتمد على تذير الوقود أو تغويزه (تحويله إلى غاز). من أجل الوقود السائل الثقيل وعندما يكون أسلوب الحرق غير مناسب يمكن أن تنشأ كمية من الغبار المتطاير على شكل خليط من الهباب والكربون والرماد.

\* للمصطلح الإنكليزي المقابل لتسمية (Wirbelschichtfeuerung) الألمانية هي (Fluidized bed combustion) وترجمة للمصطلح الإنكليزي إلى العربية (الاحتراق في فرشاة الوقود المميعة)، أما ترجمة المصطلح الألماني فهي (الاحتراق في فرشاة الوقود ذات الحركة الدوامية).



الشكل 6.4 : أنواع حرق الحرق ذات سحب الحث بالحالة الجافة.

لإحراق الوقود الغازي، مثلاً الغاز الطبيعي، تستخدم حراقات غاز (في المنشآت الكبيرة حراقات ذات ضغط عالٍ تحقق إحراقاً بدون مخلفات وقليل من المركبات الضارة.



الشكل 7.4 : حرق مسحوق الفحم.

#### تحديد مواصفات حجرة الاحتراق

يجب تحديد أبعاد حجرة احتراق مولد البخار بحيث يمكن الحصول على احتراق كامل للوقود عند مختلف ظروف التشغيل، وهذا يعني عند استخدام الفحم البنى والحجري وجود حجم كاف لأجزاء الفحم يسمح بالاحتراق الكامل. يجب أن تُختار درجة الحرارة في منطقة الحزام المحيط بالحراقات بحيث لا يتجمع الحث على جدران حجرة الاحتراق. ولتخاشي التصاق الرماد الذائب على سطوح التسخين يجب أن تكون درجة الحرارة النهائية لحجرة الاحتراق أدنى من درجة حرارة ذوبان الرماد.

استطاعة حرارة الاحتراق هي كمية الحرارة التي تقدم إلى حجرة احتراق مولد البخار مع الوقود وهواء الاحتراق خلال ثانية:

$$(15.4) \quad Q_F = m_F (LCV + \lambda A_{\min} c_{pA} t_A) \quad [\text{MW}]$$

حيث:  $m_F$  تدفق الوقود الكتلي [kg/s]

$LCV$  القيمة الحرارية الدنيا للوقود [kJ/kg]

$\lambda$  عامل فائض الهواء

$A_{\min}$  كمية الهواء الدنيا اللازمة لإحراق الوقود [m<sup>3</sup>/kg]

$c_{pA}$  السعة الحرارية لواحدة الحجم من الهواء [kJ/m<sup>3</sup> K]

$t_A$  درجة حرارة الهواء [°C].

ومن أجل الحساب التقريبي لحجرة الاحتراق يجب معرفة المقادير المميزة التالية:

التحميل الحجمي  $q_V$ ، التحميل السطحي  $q_A$ ، والتحميل في الحزام المحيط بالحراقات  $q_G$ ،

وتعريفها كما يلي:

□ التحميل الحجمي هو نسبة استطاعة حرارة الاحتراق  $Q_F$  إلى حجم حجرة الاحتراق.

$$(16.4) \quad q_F = Q_F / V_F \quad [\text{MW} / \text{m}^3]$$

□ التحميل السطحي هو نسبة  $Q_F$  إلى مقطع حجرة الاحتراق:

$$(17.4) \quad q_A = Q_F / A_F \quad [\text{MW} / \text{m}^2]$$

□ التحميل في الحزام المحيط بالحراقات هو نسبة  $Q_F$  إلى مساحة السطح الخارجي للجدران في مجال

تركيب الحراقات  $A_G$ :

$$(18.4) \quad q_G = Q_F / A_G \quad [\text{MW} / \text{m}^2]$$

تحدد قيمة  $q_V$  فترة تواجد الوقود في حجرة الاحتراق ومدى اكتمال احتراقه، أما  $q_A$  فتحدد

سرعة غازات الاحتراق والقيمة  $q_G$  تحدد درجة حرارة الشعلة (اللهب). من أجل مولدات البخار

التي تحرق الفحم الحجري تتراوح  $q_G$  بين 1 و 1.2 MW/m<sup>2</sup>، وللغرم البني تتراوح بين 1.2 و

1.5 MW/m<sup>2</sup>.

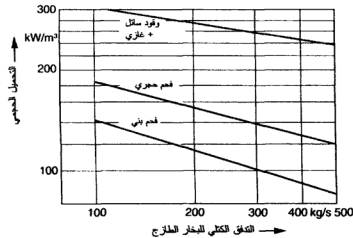
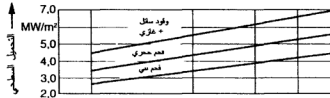
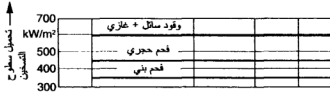
الجدول (3.4) يعطي قيماً استرشادية لـ  $q_v$  و  $q_A$ .

الجدول 3.4: التحميل الحجمي  $q_v$  والتحميل السطحي  $q_A$  عند حرق الفحم الحجري والبنّي والوقود السائل والغازي

$q_A$ [MW/m <sup>2</sup> ]			$q_v$ [MW/m <sup>3</sup> ]			الاستطاعة الحرارية [MW]
وقود سائل أو غازي	فحم بني	فحم حجري	وقود سائل أو غازي	فحم بني	فحم حجري	
4.4	3.0	3.3	0.34	0.20	0.22	200
5.6	3.5	4.1	0.31	0.17	0.19	400
3.9	4.1	5.2	0.28	0.14	0.16	800
8.4	4.6	6.3	0.24	0.10	0.13	1600

ويحسب الحجم اللازم لحجرة الاحتراق من المعادلة التالية:

$$(19.4) \quad V_F = Q_F / q_v$$



الشكل 8.4 : التحميل الحجمي

والسطحي لحجرة الاحتراق

وتعمل سطوح تسخين المبخّر

وعلاقتها باستطاعة البخار عند

استخدام أنواع الوقود المختلفة.

أما مقطع حجرة الاحتراق  $A_F$  فيحسب من  $Q_F$  و  $q_A$  والارتفاع  $H_F$  لحجرة الاحتراق كما يلي:

$$(20.4) \quad A_F = Q_F / q_A \quad \text{أو} \quad H_F = V_F / A_F$$

يبين الشكل (8.4) التحميل السطحي والحجمي لحجرة الاحتراق وكذلك تحمل سطوح تسخين المبخر وذلك بالنسبة لأنواع الوقود المختلفة. يستخدم تحميل سطوح تسخين المبخر من أجل تحديد مواصفات المبخر.

#### 1.4 مثال

يُعطى من أجل مولد بخار يحرق الفحم البني ما يلي:

$$1. \quad P_{el} = 730 \text{ MW} \text{ الاستطاعة الكهربائية لوحدة التوليد}$$

$$2. \quad \eta_F = 0.995 \text{ مردود حجرة الاحتراق}$$

$$3. \quad m_F = 160 \text{ kg/s} \text{ تدفق الوقود}$$

$$4. \quad \lambda = 1.3 \text{ عامل فائض الهواء} \quad \text{درجة حرارة الهواء } t_A = 300^\circ \text{C} \quad \text{السعة الحرارية النوعية للهواء}$$

$$c_{pA} = 1.3 \text{ kJ/m}^3 \text{K}$$

$$5. \quad \text{التحميل الحجمي والسطحي على التوالي هما: } q_V = 0.14 \text{ MW/m}^3 \text{ و } q_A = 4.1 \text{ MW/m}^2$$

ما هي أبعاد حجرة الاحتراق وما هي الاستطاعة الحرارية لها؟

**الحل**

$$1. \quad \text{تبلغ كمية الهواء الدنيا اللازمة لاحتراق الفحم البني الخام } A_{\min} = 3.1 \text{ m}^3/\text{kg} \text{ والقيمة الحرارية}$$

$$\text{الدنيا له } LCV = 9.63 \text{ MJ/kg}$$

$$2. \quad \text{كمية الحرارة المحمولة إلى حجرة الاحتراق مع كل من الوقود وهواء الاحتراق:}$$

$$Q_F = m_F (LCV + \lambda A_{\min} c_{pA} t_A)$$

$$= 160 \text{ kg/s} (9.63 \text{ MJ/kg} + 1.3 \times 3.1 \text{ m}^3/\text{kg} \times 1.3 \text{ kJ/m}^3 \text{K} \times 300^\circ \text{C})$$

$$= 2530 \text{ MW}$$

$$3. \quad \text{حجم ومقطع وارتفاع حجرة الاحتراق تُحسب كما يلي:}$$

$$V_F = Q_F / q_V = 2530 \text{ MW} / 0.14 \text{ MW/m}^3 = 18072 \text{ m}^3$$

$$A_F = Q_F / q_A = 2530 \text{ MW} / 4.1 \text{ MW/m}^2 = 617 \text{ m}^2$$

$$H_F = V_F / A_F = 18072 \text{ m}^3 / 617 \text{ m}^2 = 29.3 \text{ m}$$

4. الاستطاعة الحرارية المفيدة تنتج الآن كما يلي:

$$Q_u = Q_F \times \eta_F = 2530 \times 0.995 = 25174 \text{ MW}$$

## 4.4 مولدات البخار ذات فرشاة الوقود ذات الحركة الدوامية

### 1.4.4 أنواع فرشات الوقود ذات الحركة الدوامية

تستخدم طريقة الطبقة التي تحصل فيها حركة شديدة (فرشة الوقود الدوامية) لحرق الوقود في مولدات البخار منذ عشر إلى خمس عشرة سنة، فهي تمثل تقانة ملائمة للبيئة عند إحراق الأنواع الصلبة من الوقود (الفحم البني والحجري والفضلات). يحدث الاحتراق بهذه الطريقة في مجال لدرجات الحرارة يتراوح بين 850 و 950 °C وبانبعاث قليل لأكاسيد الكبريت والآزوت (التتروجين).

فيما يلي سنبحث في هذه التقانة المبتكرة، ولهذا سنستعرض في البداية الجوانب المتعلقة بالجريان وانتقال الحرارة في فرشاة الوقود السائلة. تقسم جملة الحبيبات الصلبة والغاز التي تنشأ عن حركة الحبيبات الصلبة نتيجة جريان مائع غازي خلالها (مثل الهواء) الشكل (9.4) إلى:

— فرشاة ساكنة (كومة)،

— فرشاة متحركة،

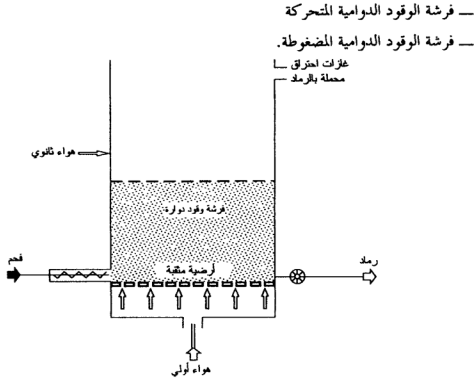
— دافع هوائي (تيار متطائر).

لنلاحظ كومة من الحبيبات الصلبة في جهاز أسطواني أو مكعب، يدخل الغاز من قعره بشكل موزع. تتحرك حبات الكومة بفعل الغاز الداخل من القعر وتزداد سرعتها باستمرار. عند سرعات منخفضة للغاز تحاط الحبيبات الصلبة للكومة بتيار الغاز، وعند سرعة جريان معينة تُدعى سرعة التميع (التخلخل) الصغرى  $w_{mf}$  يتم الانتقال من الفرشة الساكنة إلى الفرشة المتحركة. يستمر اختلاط الحبيبات الصلبة بالغاز وتحركها في الفرشة المتحركة بفعل تيار الغاز بشدة تتعلق بسرعة تيار الغاز، وعند ازدياد سرعة الغاز تكرر المسافة بين الحبيبات الصلبة ويزداد الحجم الإجمالي للفرشة المتحركة أيضاً.

هناك الأنواع التالية من فرشات الوقود ذات الحركة الدوامية:

— فرشاة الوقود الدوامية المستقرة والمعرضة للضغط الجوي





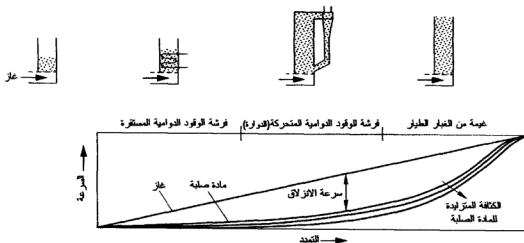
الشكل 9.4 : جملة الحبيبات الصلبة والغاز.

#### فرشاة الوقود الدوامية المستقرة المعرضة للضغط الجوي

تتشكل فرشاة الوقود هذه عندما يمرر على كومة من الوقود ذي الحبيبات الصغيرة تيار من الغاز عبر أرضية مثقبة وبحيث تكون سرعة هذا التيار  $v$  أعلى من سرعة تحليل الحبيبات (تجميعها) الصغرى  $w_{mf}$  ولكن أصغر من السرعة التي تؤدي إلى انجرار الحبيبات ومغادرتها للحيز الموجودة فيه  $w_s$ . يبين الشكل (10.4) بشكل تخطيطي الحرق بطريقة فرشاة الوقود الدوامية المستقرة المعرضة للضغط الجوي. يبلغ الضغط في هذه الحالة 1 bar. عندما يكون حجم الحبيبات 2 - 10 mm تتراوح سرعة تيار الهواء المندفع إلى فرشاة الوقود الدوامية المستقرة بين 1 و 3 m/s (منسوباً لكامل مقطع حجرة الاحتراق).

تتميز فرشاة الوقود الدوامية بالعوامل المميزة التالية:

مسامية الفرشة  $\varepsilon$ ، حجم الحبيبات  $d_p$  وكتلتها النوعية  $\rho_p$ ، وسرعة الغاز  $w$  (منسوبةً لكامل مقطع الجهاز وهو فارغ) وسرعة الحبيبات  $w_p$  وضياح الضغط لفرشاة الوقود  $\Delta p$  وسرعة الانزلاق  $w_s$  أي الفرق بين  $w$  و  $w_p$ .



الشكل 10.4 : فرشة الوقود ذات الحركة الدوامية المعرضة للضغط الجوي.

### المسامية

يُفهم من مسامية فرشة الوقود السائلة  $\varepsilon$  المسافة النسبية بين الحبيبات:

(21.4)

$$\varepsilon = 1 - V_p / V$$

حيث:  $V$  الحجم الكلي لفرشة الوقود الدوامية [ $m^3$ ]

$V_p$  حجم الحبيبات الصلبة في الفرشة الدوامية [ $m^3$ ]

في وضعية تخلخل (تباعد) الحبيبات تكون المسامية مساوية لـ  $\varepsilon_{mf}$ . تكون قيمة المسامية لفرشة الوقود الدوامية المستقرة أكبر من  $\varepsilon_{mf}$  (حوالي 0.4) عند سرعة التميع (تخلخل الحبيبات) الصغرى. عندما تكون  $\varepsilon < \varepsilon_{mf}$  تبقى فرشة الوقود مستقرة، وعندما تصبح  $\varepsilon \approx 1$  يحدث انتقال للحبيبات عند الضغط الجوي. وفي فرشة الوقود الدوامية المتحركة تكون سرعة الغاز  $w$  أكبر من سرعة حبيبات المادة الصلبة  $w_p$ ، ومع تزايد سرعة الغاز يزداد تمدد ومسامية فرشة الوقود الدوامية  $\varepsilon$ . تكون سرعة ومسامية كل من الغاز والحبيبات الصلبة في فرشة الوقود الدوامية المستقرة أقل من مثيلاتها في فرشة الوقود الدوامية المتحركة.

### قطر الحبيبات الصلبة

يتحدد الحجم الوسطي للحبيبة عن طريق القطر الوسطي لحبيبة كروية:

(22.4)

$$d_p = (6 m_p / \pi \rho_p)^{1/3} \quad [m]$$

حيث:  $d_p$  قطر الحبيبة [m]

$m_p$  كتلة عينة من الحبيبات [kg]

$n$  عدد الحبيبات في العينة

$\pi$  قيمة pi تبلغ (3.14 ...)

$\rho_p$  الكتلة النوعية للجسم الصلب [kg / m<sup>3</sup>].

الأرقام المميزة: سرعة السيلان الصغرى، ضياع الضغط

عند حساب الجريانات في فرشاة الوقود الدوامية تستخدم الأرقام اللابعدية المميزة التالية:

□ رقم رينولدز

$$(23.4) \quad Re = w d_p / \nu$$

□ رقم أرخميدس

$$(24.4) \quad Ar = g d_p^3 (\rho_p - \rho) / \rho \nu^2$$

□ رقم فرود

$$(25.4) \quad Fr = w / \sqrt{g d_p}$$

حيث:  $w$  سرعة الغاز [m / s]

$d_p$  قطر الحبيبات المكافئ [m]

$\nu$  اللزوجة الحركية للغاز [m<sup>2</sup>/s]

$g$  التسارع الأرضي (9.81 m/s<sup>2</sup>)

$\rho$  و  $\rho_p$  الكتلة النوعية للحبيبة وللغاز على التوالي

سرعة التميع الصغرى  $w_{mf}$  تحسب بالعلاقة التالية:

$$(26.4) \quad Re_{mf} = \sqrt{(27.2^2 + 0.0408 Ar)} - 27.2$$

$$(27.4) \quad w_{mf} = Re_{mf} \nu / d_p \quad [m / s]$$

وهكذا تكون قوة الجريان المؤثرة على حبيبة مساوية تقريباً لوزن الحبيبة.

أما هبوط الضغط في فرشاة الوقود الدوامية المستقرة فيحسب كما يلي:

(28.4)

$$\Delta p = \rho w^2 (H / d_p) (21 + 1750 / Re) \text{ [Pa]}$$

أو:

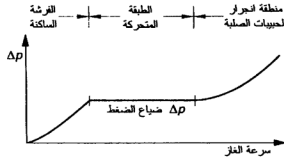
$$\Delta p = g (\rho_p - \rho) H (1 - \varepsilon)$$

(29.4)

$$= g (\rho_p - \rho) H_{mf} (1 - \varepsilon_{mf}) \text{ [Pa]}$$

حيث:  $H$  أو  $H_{mf}$  ارتفاع فرشاة الوقود الدوامية عند مسامية  $\varepsilon$  وفي حالة تخلخل (تباعدا) الحبيبات تؤخذ المسامية  $\varepsilon_{mf}$ .

يبين الشكل (11.4) العلاقة بين هبوط الضغط  $\Delta p$  وسرعة الغاز  $w$  لفرشاة الوقود الدوامية المستقرة. ومن السهل مشاهدة أن ضياع الضغط في الكومة السفلية الساكنة يزداد مع مربع السرعة  $w^2$  ولكنه يبقى ثابتاً في الطبقة (الفرشاة) المتحركة.



الشكل 11.4 : ضياع الضغط  $\Delta p$  في الفرشاة الساكنة وفي فرشاة الوقود الدوامية المستقرة المعرضة للضغط الجوي.

سرعة انجرار الحبيبات ومغادرتها للحيز الموجودة فيه

هي سرعة الغاز التي تُحمل فيها الحبيبات من فرشاة الوقود الدوامية وهي تحسب من المعادلة:

$$\begin{aligned} w_a &= Re_a v / d_p \\ &= 1.74 Ar v / d_p (31.3 + \sqrt{Ar}) \text{ [m/s]} \end{aligned} \quad (30.4)$$

## مثال 2.4

ما هي سرعة التميع الصغرى لحبيبات الفحم التي قطرها الوسطي 1 mm وكتلتها النوعية 1450 kg/m<sup>3</sup> عند درجة الحرارة 850 °C والضغط 1 bar؟  
ما هو ضياع الضغط لفرشاة الوقود الدوامية المستقرة التي ارتفاعها 1.5 m، إذا كانت مسامية الطبقة عند سرعة التميع الصغرى 0.42؟

مواصفات الهواء عند 850 °C و 1 bar هي:

$$\rho = 1.293 \times 273 / (273 + 850) = 0.314 \text{ kg / m}^3$$

$$v = 142.65 \times 10^{-6} \text{ m}^2/\text{s}$$

الحل

1. رقم أرخميدس

$$\begin{aligned} Ar &= g d_p^3 (\rho_p - \rho) / \rho v^2 \\ &= 9.81 \text{ m / s}^2 (1.10^{-3})^3 \text{ m}^3 \times (1450 - 0.314) \text{ kg / m}^3 / 0.314 \text{ kg / m}^3 \\ (142.65 \times 10^{-6} \text{ m}^2/\text{s})^2 &= 2225.7 \end{aligned}$$

2. رقم رينولدز

$$\begin{aligned} Re_{mf} &= \sqrt{(27.2^2 + 0.0408 Ar)} - 27.2 \\ &= \sqrt{(27.2^2 + 0.0408 \cdot 2225.7)} - 27.2 = 1.62 \end{aligned}$$

3. سرعة التميع الصغرى

$$\begin{aligned} w_{mf} &= Re_{mf} v / d_p \\ &= 1.62 \times 142.65 \times 10^{-6} \text{ m}^2 / \text{s} / 1 \times 10^{-3} \text{ m} = 0.23 \text{ m / s} \end{aligned}$$

4. ضياع الضغط لفرشة الوقود التي ارتفاعها 1.5 m ومساميتها 0.42 يبلغ

$$\begin{aligned} \Delta p &= g (\rho_p - \rho) H_{mf} (1 - \varepsilon_{mf}) \\ &= 9.81 \text{ m/s}^2 (1450 - 0.314) \text{ kg / m}^3 1.5 \text{ m} (1 - 0.42) = 12372.6 \text{ Pa} \end{aligned}$$

### مثال 3.4

ما هي سرعة انجرار حبيبات الفحم التي قطرها الوسطي 1 mm وكتلتها النوعية 1450 kg/m<sup>3</sup> عند درجة الحرارة 850 °C والضغط 1 bar، مواصفات الهواء عند هذا الضغط وهذه الحرارة هي: الكتلة النوعية 0.314 kg / m<sup>3</sup> واللزوجة الحركية 142.65 × 10<sup>-6</sup> m<sup>2</sup>/s رقم أرخميدس .Ar = 2225.7

الحل

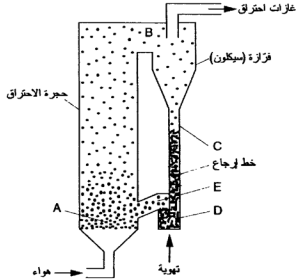
بتطبيق المعادلة (30.4) نجد سرعة انجرار حبيبات الفحم:

$$w_a = 1.74 \times 2225.7 \times 142.65 \times 10^{-6} \text{ m}^2 / \text{s} / 1 \times 10^{-3} \text{ m}$$

$$(31.3 + \sqrt{2225.7}) = 7.04 \text{ m/s}$$

### فقاعات الغاز

تتميز فرشاة الوقود الدوامية بتشكيل فقاعات الغاز وهي عادة ذات تركيب غير متجانس. يحدث تميع المادة الصلبة عن طريق جزء فقط من تيار الغاز الإجمالي، أما الجزء الآخر من تيار الغاز فإنه يمر على شكل فقاعات غاز عبر الطبقة الدوامية، وعملياً تكون فقاعات الغاز حرة وخالية من الحبيبات الصلبة، وهي تُساعد على اختلاط الحبيبات. يحدث عند شروط معينة جريان أسطواني للفقاعات يقلل من التبادل الحراري بين فرشاة الوقود السائلة وسطوح التسخين.



الشكل 12.4 : مخطط فرشاة الوقود الدوامية الدوارة.

### فرشاة الوقود الدوامية الدوارة

يكون حجم الحبيبات الصلبة في هذه الفرشاة أصغر منه في الفرشاة المستقرة، وتكون سرعة الغاز أكبر من سرعة انجرار الحبيبات الصلبة (الشكل 12.4). هنا تُحمل الحبيبات من فرشاة الوقود وتنقل إلى فرازة (سيكلون) حيث تفصل هناك عن تيار الغاز ويعاد إرسالها إلى فرشاة الوقود. إن توزيع الحبيبات الصلبة على طول الارتفاع في فرشاة الوقود الدوامية الدوارة غير متجانس، ويمكن التمييز بين منطقتين، إحداهما تكون كثافة المادة الصلبة فيها عالية ويكون ارتفاعها عدة أمتار فوق الأرضية

المتبقية، والمنطقة الأخرى بارتفاع عدة أمتار أخرى فوق المنطقة الأولى تكون حملتها من الحبيبات الصلبة قليلة.

يستخدم في فرشاة الوقود الدوامية الدوارة فحم يتراوح حجم حبيباته بين 0.1 و 6 mm، أما سرعة هواء التميع (التخلخل) الذي يرسل في الأرضية المثقبة عبر طبقة الوقود فتتراوح بين 3 و 8 m/s وبعكس فرشاة الوقود الدوامية الساكنة فإن فرشاة الوقود الدوامية الدوارة تملأ حجم حجرة الاحتراق كله.

وتسود في فرشاة الوقود الدوامية الدوارة لرقمي أرخميدس وفروود القيم التالية:

$$0.01 < Ar < 100$$

$$0.01 (\rho_p / \rho - 1) < Fr < 100 (\rho_p / \rho - 1) \quad \text{و}$$

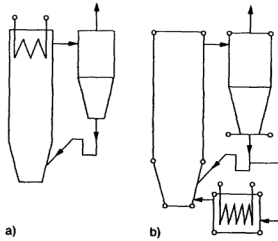
يمكن حساب سرعة النقل وفق العلاقة التجريبية التالية (من أجل  $20 > Ar < 5.10^4$ ):

$$(31.4) \quad w_{tr} = 1.45 (v / d_p) Ar^{0.484}$$

حيث:  $v$  اللزوجة الحركية لمادة التميع  $[m^2/s]$

$d_p$  القطر الوسطي للحبيبة

$Ar$  رقم أرخميدس.



الشكل 13.4 : إعادة الحبيبات الصلبة من الفرازة (السيكلون) إلى فرشاة الوقود الدوامية الدوارة عن طريق وعاء غاطس (a) أو عن طريق مبرّد ذي فرشاة نقالة (b).

#### مثال 4.4

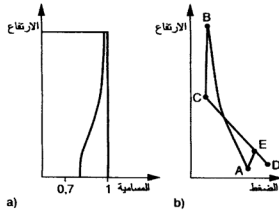
ما هي سرعة نقل حبيبات الفحم التي قطرها الوسطي 1 وكتلتها النوعية  $1450 \text{ kg/m}^3$  عند درجة الحرارة  $850^\circ\text{C}$  والضغط  $1 \text{ bar}$ .  
مواصفات الهواء عند درجة الحرارة  $850^\circ\text{C}$  والضغط  $1 \text{ bar}$  هي:  $\rho = 0.314 \text{ kg/m}^3$ ،  $Ar = 2225.7$ ،  $v = 142.65 \times 10^{-6} \text{ m}^2/\text{s}$

الحل

$$\begin{aligned} w_{tr} &= 1.45 (v / d_p) Ar^{0.484} \\ &= 1.45 (142.65 \times 10^{-6} \text{ m}^2/\text{s} / 1 \times 10^{-3} \text{ m}) 2225.7^{0.484} \\ &= 8.63 \text{ m/s} \end{aligned}$$

تُفصل حبيبات الفحم التي لم تحترق بشكل كامل مع حبيبات الرماد في فرازة تالية وتعاد إلى فرشة الوقود الدوامية عن طريق وعاء غاطس أو عن طريق مبرد ذي فرشة نقالة والشكل (13.4) يوضح ذلك بشكل تخطيطي.

يتناقص حجم الحبيبات وكثافة تواجدتها في فرشة الوقود الدوامية الدوارة بالابتعاد عن الأرضية الملتقبة، ولكن مسامية الفرشة تزداد من 0.7 في الأعلى إلى 1 في الأسفل الشكل (14.4a).



الشكل 14.4 : تغير المسامية (a) والضغط (b) تبعاً للارتفاع في فرشة وقود دوامية دوارة.

#### ضياح الضغط

من أجل دورة للوقود الصلب في حجرة الاحتراق AB (ضياح ضغطها  $\Delta p_{FR}$ ) وفي المنطقة الانتقالية (التي ضياح ضغطها  $\Delta p_{tr}$ )، وفي الفرازة BC (التي ضياح ضغطها  $\Delta p_c$ ) وعند خط



الإرجاع CED (الذي ضياع ضغطه  $\Delta p_R$ ) وكما هو موضح في الشكل (b14.4) يمكن كتابة معادلة موازنة الضغط التالية:

$$(32.4) \quad \Delta p_R = \Delta p_{FR} + \Delta p_H + \Delta p_c \quad [\text{Pa}]$$

تتحدد  $\Delta p_R$  و  $\Delta p_H$  بناءً على وزن الجسم الصلب في الموقع المدروس من الدورة وبمراعاة تغير المسامية  $\varepsilon$  لفرشة الوقود ولا ارتفاعها  $H$  ويإهمال وزن الغاز، وذلك من العلاقة التالية:

$$(33.4) \quad \Delta p = g \int (1 - \varepsilon) \rho_p dH \quad [\text{Pa}]$$

وضياع الضغط للفرازة:

$$(34.4) \quad \Delta p_Z = \zeta \rho w_{c,ent}^2 / 2 \quad [\text{Pa}]$$

حيث:  $\zeta$  عامل المقاومة للفرازة

$\rho$  الكتلة النوعية للغاز  $[\text{kg/m}^3]$

$w_{c,ent}$  سرعة الغاز عند مدخل الفرازة  $[\text{m/s}]$ .

عند إقلاع (بدء تشغيل) مولد البخار تتألف الفرشة الدوامية من المادة الداخلية فقط (رمل كوارتزي أو رماد). بسبب العطالة الحرارية العالية للفرشة الدوامية فإن زمن الإقلاع عند التشغيل من الحالة الباردة أكبر من زمن إقلاع مولدات البخار التقليدية، ولكنه عند التشغيل من الحالة الساخنة يكون أصغر من المولدات التقليدية.

#### 2.4.4 تخفيض انبعاثات الغازات الضارة في فرشة الوقود الدوامية

يمكن التمييز بين:

- الحرق في فرشة الوقود الدوامية المستقرة عند الضغط الجوي.
- الحرق في فرشة الوقود الدوامية الدوارة.
- الحرق في فرشة الوقود الدوامية ذات الضغط العالي.
- ومزايا الحرق في فرشة الوقود الدوامية هي:
- سحب الكبريت في حجرة الاحتراق.
- الانبعاث القليل لأكاسيد الآزوت (التروجين) بسبب درجات الحرارة المنخفضة السائدة (850 حتى 900 °C).

يوجد في غرف الاحتراق لمولدات البخار ذات الفرشة الدوامية مزيج من المواد الصلبة يتكون من جزيئات من الفحم (الكربون) والرماد والكلس.

تتراوح درجة الحرارة في فرشة الوقود الدوامية بين 800 و 900°C، ويمكن تحقيق ذلك عن طريق تركيب سطوح تسخين مثل المبخرات أو عن طريق اختيار قيمة مناسبة لعامل فائض الهواء. يمكن سحب أكاسيد الكبريت بسهولة عند استخدام فرشة الوقود السائلة. وإذا استخدم الحجر الكلسي مع الفحم فإن الكلس يتحد مع ثاني أكسيد الكبريت الذي ينشأ مع غازات الاحتراق ويتشكل الجص (الجبصين، الجبس) الذي يطرح مع الرماد. وتعد النسبة Ca/S عامل تأثير هام إلى جانب درجة الحرارة. وتبلغ هذه النسبة في فرشة الوقود الدوامية الدوارة 1.5 — 2.5 وفي فرشة الوقود الدوامية المستقرة تكون محدود 3 أو أعلى. يكون انبعاث SO<sub>2</sub> في فرشة الوقود السائلة المستقرة 100 ppm (حوالي 290 mg/m<sup>3</sup> عند الشروط النظامية).

يتأمن في الفرشة الدوامية الوقت الكافي لهذه التفاعلات عند درجة حرارة مثلى للتفاعل. يتناقص تشكل NO من هواء الاحتراق بشكل كبير في فرشة الوقود الدوامية، وذلك بسبب انخفاض درجة حرارة الاحتراق، وينشأ NO<sub>x</sub> في غازات احتراق فرشة الوقود الدوامية بشكل رئيسي بسبب تأكسد الآزوت (التروجين) الموجود في الوقود. يتم تقسيم هواء الاحتراق إلى هواء أولي وثانوي. يقوم الهواء الأولي بتميع (خلخله) الحبيبات الصلبة ويرسل بكميات تكفي لهذا الغرض عبر الأرضية المثقبة لفرشة الوقود الدوامية، ويقوم بالإضافة إلى ذلك بدوره في الاحتراق. أما الهواء الثانوي فيُساق إلى حجرة الاحتراق فوق فرشة الوقود الدوامية بقصد إتمام الاحتراق، ويمكن عن طريق الإحراق في مرحلتين تخفيض تركيز NO<sub>x</sub> في غازات الاحتراق من 50 إلى 100 ppm أو 200 mg/m<sup>3</sup> (NO<sub>2</sub>) في الشروط النظامية، عند مخرج المرجل). وتبلغ في فرشة الوقود الدوامية المستقرة 150 إلى 250 ppm أو 300 إلى 500 mg/m<sup>3</sup> (NO<sub>2</sub>) في الشروط النظامية، عند مخرج المرجل).

أما مركبات HCl و HF التي مصدرها الوقود فإنها تتشكل عند درجات الحرارة التي تسود عادة في فرشة الوقود الدوامية بمعدل 50 إلى 80 % بالنسبة للكlor و 90 إلى 99 % بالنسبة للفلور. أما سرعة الغاز فتكون في فرشة الوقود الدوامية المستقرة متوسطة بين المعسبات وبين حراقات الفحم المسحوق ذات السرعة العالية للغاز في حجرة الاحتراق. وتقع درجة الحرارة في العادة عند 850 °C ومع اختلاف ±50°C.

تتراوح قيمة التحميل السطحي في فرشاة الوقود السائلة المستقرة بين 1 و  $3 \text{ MW/m}^2$ . عند اكتمال احتراق الأجزاء القابلة للاحتراق في الفحم فإن حبيبات الحم الصغيرة جداً تحمل مع غازات الاحتراق وتغادر فرشاة الوقود الدوامية، أما بقايا الاحتراق فإنها تسقط عبر ثقوب الأرضية ليتم سحبها. وتحمل غازات الاحتراق جسيمات الرماد بحدود  $80 \text{ g/m}^3$ . أما طرح الحرارة من حجرة الاحتراق ذات فرشاة الوقود الدوامية المستقرة فيجري بمساعدة سطوح تسخين غاطسة، وهذا مرتبط بالمشاكل التالية:

— تآكل (حت) سطوح التسخين الغاطسة.

— عدم اكتمال الاحتراق.

— ازدياد انبعاث الغازات الضارة عند الحملات الجزئية.

تستخدم حالياً فرشاة الوقود الدوامية المستقرة لحرق أنواع الوقود ذات القيم الحرارية المنخفضة (فحم بني ذو محتوى عالٍ من الرماد والرطوبة أو لحرق النفايات).

تتألف فرشاة الوقود الدوامية الدوارة من حجرة احتراق وفرازة ويجرى لإرجاع الحبيبات الصلبة، وتحمل هذه الحبيبات عادة مع تيار الغاز فتغادر فرشاة الوقود الدوامية وتصل إلى الفرازة التي تفصلها عن غازات الاحتراق، ويُعاد الرماد مع الفحم إلى حجرة الاحتراق.

ومن أنواع فرشات الوقود الدوامية التي يتم إنتاجها هناك *Ahlström*، *Circofluid*، *Ecoflow*، و *Lurgi*.

ولتمييزها عن بعضها فهناك الحراقات التالية:

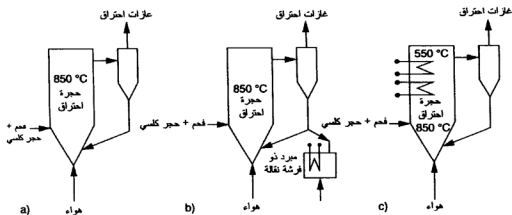
— حراقات فرشاة الوقود الدوامية الدوارة مع وعاء غاطس وإحكام هيدروليكي،

— حراقات فرشاة الوقود الدوامية الدوارة مع مبرد ذي فرشاة نقالة،

— حراقات *Circofluid* (ذات المائع الدوار).

والشكل (15.4) يبين أنواع مولدات البخار بشكل تخطيطي.

وفي الحراقات من النوع الأول يحدث انتقال الحرارة بشكل رئيسي عند جدار حجرة الاحتراق التي تُصنع من أنابيب ملحومة أي كجدار غشائي (*membrane*). يمكن في الجزء العلوي من حجرة الاحتراق إضافة سطوح تسخين، وهي عبارة عن أنابيب موضوعة بشكل أفقي إلى جانب بعضها البعض وتعبئها بشكل متعامد غازات الاحتراق. يتراوح التحميل الحراري السطحي لحجرة احتراق فرشاة الوقود الدوامية الدوارة بين  $3 - 8 \text{ MW/m}^2$ .

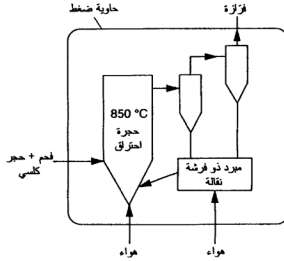


**الشكل 15.4 :** مولدات البخار ذات فرشاة الوقود الدوامية الدوارة (a) فرشاة عادية (b) فرشاة مع مبرد ذي فرشاة نقالة (c) مائع دوّار.

وحتى عام 1994 بنيت في العالم 146 منشأة من النوع الأول ومجموع استطاعتها الحرارية  $P_{th}$  حوالي 15 GW، أنتجت شركة Ahlström Pyropower السويدية 92 منها باستطاعة حرارية  $P_{th}$  قدرها 9.9 GW وأنتجت شركة KDO Tampella الفنلندية 18 منشأة باستطاعة حرارية  $P_{th}$  قدرها 2.6 GW وشركة Lurgi الألمانية أنتجت 9 منشآت باستطاعة حرارية  $P_{th}$  تبلغ 0.9 GW... إلخ. وفي اليابان تعمل منذ عام 1994 أكبر منشأة في العالم Takehara ذات فرشاة وقود دوامية مستقرة باستطاعة كهربائية 350 MW، وفي عام 1995 وضعت في الخدمة أول منشأة لفرشاة وقود دوامية دوارة باستطاعة كهربائية 250 MW، وسيتم التحول إلى وحدات كبيرة لفرشاة الوقود الدوامية الدوارة وباستطاعات 500 إلى 600 MW. توجد في العالم حتى الآن أربع منشآت تعمل بفرشاة وقود دوامية مضغوطة، وتجرب الآن في اليابان منشأة من هذا النوع باستطاعة كهربائية قدرها 71 MW (في واكاماتسو Wakamatsu).

لتسهيل امتصاص الحرارة المفيدة من فرشاة الوقود الدوامية الدوارة يستخدم مبرد ذو فرشاة نقالة، يركب تحت الفرازة. ويسحب من هذا المبرد حوالي 40 % من استطاعة التبخير الإجمالية، وقد ركب حتى الآن 43 فرشاة وقود دوامية دوارة مع مبرد ذي فرشاة نقالة ويبلغ مجموع استطاعتها 7.7 GW. شركة Lurgi بنت 3 منشآت 800 MW  $P_{th}$  وشركة Steinmüller بنت منشأتين 250 MW  $P_{th}$ . أما شركة Babcock فقد طورت وبنت 21 منشأة من النوع Circofluid وباستطاعة حرارية إجمالية قدرها 1.8 GW.

يتحسن احتراق الفحم ويصبح من الأسهل امتصاص أوكسيد الكبريت عن طريق الحجر الكلسي، وكذلك يقل نشوء أكاسيد الآزوت في حجرة الاحتراق وذلك كلما ارتفع الضغط في حجرة الاحتراق. فبذلك يمكن تصغير حجم حجرة الاحتراق وربما مساحة سطوح التسخين. ولإيصال الفحم إلى فرشاة الوقود الدوامية المضغوطة وللتخلص من الحُث تستخدم مجارٍ خاصة معقدة. الشكل (16.4) يوضح تخطيطاً حراقات فرشاة الوقود الدوامية الدوارة.



الشكل 16.4 : مخطط عمل فرشاة الوقود السائلة الدوارة ذات الضغط العالي والمردّ ذي الفرشاة النقالة.

على العكس من فرشاة الوقود الدوامية التي تعمل عند الضغط الجوي فإن فرشاة الوقود الدوامية المضغوطة يمكنها أن تعمل في منشآت الدارة المركبة (العنفات الغازية والبخارية) تتضمن المنشأة عندئذ فرشاة وقود دوامية مضغوطة، وساحب الغبار من الغاز الساخن وعنفة غازية ومرجل امتصاص حرارة الغازات ومنشأة عنفة بخارية، وحجرة احتراق فرشاة الوقود الدوامية تعوض في هذه الحالة عن حجرة احتراق العنفة الغازية. يجري الغاز الذي يفوق ضغطه 10 bar ودرجة حرارته 900 °C حول ساحب الغبار من الغاز الساخن ثم يدخل على العنفة الغازية، وبعد تمده في العنفة الغازية يستخدم الغاز لتوليد البخار في المرجل الموصول بمنشأة البخار التالية. ولتحقيق مردود عالٍ يجب أن تكون درجة حرارة دخول الغاز إلى العنفة الغازية 1100 °C، بينما تقع درجة الحرارة المثلى لارتباط الكبريت في فرشاة الوقود الدوامية في حدود 800 إلى 900 °C. ستتم معالجة منشآت الدارة المركبة في الفصل الثامن.

## 5.4 تصميم سطوح التسخين

### 1.5.4 الموازنة الحرارية لسطوح التسخين والاستطاعة الحرارية المنقولة

سنعرض في هذا الفصل التصميم الحراري لسطوح التسخين. إن تصميم مولد البخار شديد التعقيد، إذ أن ذلك يتضمن قبل كل شيء الحساب الحراري وحساب الجريانات لسطوح التسخين، والجزء التالي للتصميم هو حساب المقاومة للأجزاء المعرضة للضغط ولمساند الحمل وكذلك تحديد أجهزة القياس والتحكم. من أجل حسابات الجريان يمكن الاستعانة بالمبادئ التي عرضناها في الفصل الأول.

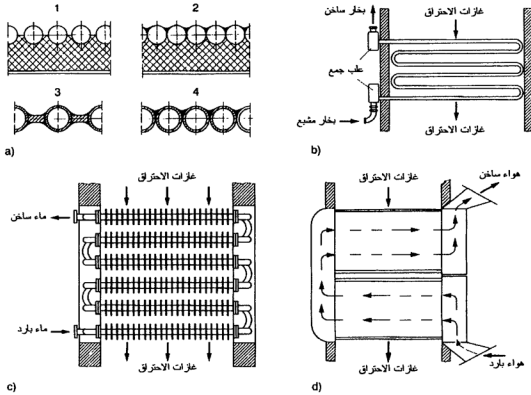
توضع الأسس اللازمة لهذه الحسابات استناداً إلى معطيات عن الاستطاعة ومواصفات البخار وماء التغذية (ضغط ودرجة حرارة ماء التغذية والبخار الطازج وكذلك شروط التحميص الوسطي)، وعن مواصفات الوقود وطريقة إحراقه إلخ.. وتوضع لكل جزء الموازنة الحرارية والكتلية.

تتألف سطوح تسخين مولد البخار من قسم تنتقل الحرارة إليه بالحمل وآخر بالإشعاع. الأجزاء التي تنتقل إليها الحرارة بالإشعاع هي المبخرات والمحمصات الإشعاعية. يوضع المبخر على جدران حجرة الاحتراق، أما الحمص الإشعاعي فيعلق على الجزء العلوي لغرفة الاحتراق. أما الأجزاء التي تنتقل الحرارة إليها بالحمل فهي المحمصات التلامسية والمحمصات الوسطية والمسخنات الأولية للماء (Eco) ومسخنات الهواء. وتوضع عادة في المجرى الثاني للمرجل (الغلاية).

يقوم الحساب الحراري لمولد بخار على حسابات عمليات انتقال الحرارة (انظر الفصل الأول). ويُراعى في حجرة الاحتراق بالدرجة الأولى إشعاع الغاز والشعلة، ويمكن عملياً إهمال انتقال الحرارة بالحمل. يُشارك في سطوح الإشعاع إلى جانب الإشعاع الحمل أيضاً، يُراعى في سطوح الحمل عملية الحمل بالدرجة الأولى إلى جانب إشعاع غازات الاحتراق. إذا كانت درجة حرارة غازات الاحتراق أدنى من 400°C، فإن إشعاع الغازات يمكن إهماله.

فيما يلي سنعرض الأسس اللازمة للدراسة الحرارية لسطوح تسخين مولد البخار، وهدف هذه الحسابات هو تحديد مساحة سطوح التسخين اللازمة، وسنقدم كمثال دراسة عن مسخن أولي لماء التغذية (Eco) ومسخن هواء أولي متجدد.

يوضح الشكل (17.4) بشكل تخطيطي تفاصيل كل من المبخر والمحمص والمسخن الأولي لماء التغذية، ومسخن الهواء الأولي.



الشكل 17.4 : التصميم النمطية لسطوح التسخين (a) مبخر (1) جدار حجرة احتراق غشائي membrane (2) جدار ذو طبقة واحدة من الأنابيب (3) صفائح ملحومة (4) أنابيب ملحومة، (b) محمص، (c) مسخن ماء أولي، (d) مسخن هواء أولي أنبوبي.

### الموازنة الحرارية لسطح التسخين

تكتب معادلة الموازنة الحرارية لسطح تسخين ما بالشكل التالي:

$$(35.4) \quad Q = m_G (h_{G,ent} - h_{G,exit}) = m_f (h_{f,exit} - h_{f,ent}) \quad [W]$$

حيث:  $Q$  التدفق الحراري (أي الاستطاعة الحرارية المتبادلة)  $[W]$

$m_G$  التدفق الكتلي لغازات الاحتراق  $[kg/s]$

$h_{G,exit}$  و  $h_{G,ent}$  الانتالي النوعي لغازات الاحتراق عند الدخول والخروج  $[J/kg]$

$m_f$  تدفق المائع الكلي (الماء، البخار، الهواء) [kg/s]

$h_{f,exit}, h_{f,ent}$  الانتالي النوعي للمائع عند الدخول والخروج من سطح التسخين [J/kg].

يمكن التعويض عن انتالي غازات الاحتراق وانتالي المائع (ماء، بخار، هواء) بجداء درجة الحرارة  $t$  [°C] والسعة الحرارية النوعية  $c_p$  [J/kg K]، لكن المبخر يشكل استثناءً لأنه يحدث فيه تغير في الطور (الحالة) أي من الماء إلى البخار مع بقاء درجة حرارة الإشباع ثابتة.

### الاستطاعة الحرارية المنقولة

تتألف عملية نفوذ الحرارة من غازات الاحتراق إلى المائع الوسيط الذي يوجد في داخل سطوح التسخين من انتقال للحرارة من غازات الاحتراق إلى السطح الخارجي للسطوح ومن التوصيل في الجدار وبعدها انتقال الحرارة من الجدار الداخلي لسطح التسخين إلى الوسيط الذي يجري داخل سطح التسخين. تُحسب الاستطاعة الحرارية المنقولة وفق ما يلي:

1. من اجل عملية انتقال الحرارة من غازات الاحتراق إلى سطح التسخين

$$Q = \alpha_{out} A_{out} (t_G - t_{w,out}) \quad [W] \quad (36.4)$$

2. وللتوصيل الحرارية في الجدار:

$$Q = (\lambda / \delta) A_m (t_{w,out} - t_{wi}) \quad [W] \quad (37.4)$$

3. ولانتقال الحرارة من سطح التسخين إلى المائع الذي يجري في الداخل:

$$Q = \alpha_i A_{in} (t_{wi} - t_f) \quad [W] \quad (38.4)$$

حيث:  $\alpha_{out}$ ،  $\alpha_i$  عامل انتقال الحرارة عند السطح الخارجي أو الداخلي لسطح التسخين

[W/m² K]

$A_{in}$ ،  $A_m$ ،  $A_{out}$  السطح الخارجي، الوسطي، الداخلي على التسلسل [m²]

$\lambda$  عامل التوصيل الحراري لمادة سطح التسخين [W/m K]

$\delta$  سماكة الجدار [m]

$t_f$ ،  $t_G$  درجة حرارة غازات الاحتراق أو المائع داخل سطح التسخين [°C]

$t_{wi}$ ،  $t_{w,out}$  درجة حرارة السطح الخارجي أو الداخلي [°C].

يمكن حساب درجات حرارة السطح الخارجية والداخلية ودرجة الحرارة الوسطية للجدار كما

يلي:



$$t_{wi} = t_f + Q / A \alpha_i, \quad T_{w,out} = t_G - Q / A \alpha_{out} \quad (39.4)$$

$$t_w = (t_{w,out} + t_{wi}) / 2$$

#### 2.5.4 إشعاع الغاز والشعلة في حجرة الاحتراق

لتصميم مولد البخار فإن التبادل الحراري بالإشعاع ذو أهمية كبيرة، ونميز هنا بين إشعاع الغاز وإشعاع الشعلة. يحسب التيار الحراري المنقول بالإشعاع من غازات الاحتراق إلى الجدار المحيط أو الجدار الغشائي للمبخر في حجرة الاحتراق كما يلي:

$$Q_{rad} = A_w C_o \varepsilon_w [\varepsilon_G (T_G / 100)^4 - \alpha_G (T_w / 100)^4] \quad (40.4)$$

حيث:  $A_w$  سطح التسخين أو الجدار  $[m^2]$

$C_o$  5.67  $W/m^2 K^4$  عامل الإشعاع الحراري للجسم الأسود

$T_w, T_G$  درجة حرارة الغاز الوسطية أو درجة حرارة الجدار الوسطية  $[K]$

$\varepsilon_w$  عامل إصدار سطح التسخين

$\varepsilon_G$  عامل إصدار غازات الاحتراق عند درجة الحرارة  $T_G$  (emission)

$\alpha_G$  عامل امتصاص غازات الاحتراق عند درجة حرارة الجدار  $T_w$ .

بحسب عامل امتصاص غازات الاحتراق  $\alpha_G$  عند درجة الحرارة  $T_w$ .

تستخدم المعادلة (40.4) أيضاً من أجل سطوح التسخين الأخرى في مولد البخار.

ولحساب  $\varepsilon_w$  يمكن اعتماد القيم التالية 0.7 - 0.96 للمعادن المؤكسدة، 0.7 - 0.93 لمواد البناء،

و 0.76 - 0.89 لرواسب الخبث على سطوح التسخين.

من بين مركبات غازات الاحتراق يشارك فقط  $CO_2$ . وبخار الماء  $H_2O$  في الإشعاع الغازي.

وتتعلق درجة الإصدار بدرجة الحرارة، وتتألف من الإصدار الحراري لكل من  $H_2O$  و  $CO_2$ :

$$\varepsilon_G = \varepsilon_{CO_2} + \varepsilon_{H_2O} \quad (41.4)$$

ولحساب درجة إصدار  $CO_2$  و  $H_2O$  يمكننا أن نكتب:

$$\varepsilon_{CO_2} = 1 \exp(-s k_{CO_2} p_{CO_2})$$

$$\varepsilon_{H_2O} = 1 \exp(-s k_{H_2O} p_{H_2O}) \quad (42.4)$$

حيث:  $s$  المسافة الوسطية (سماعة طبقة الغاز) في الحيز المملوء بغازات الاحتراق  $[m]$

$k_{CO_2}$  أو  $k_{H_2O}$  عامل الإخماد (الانطفاء) لـ  $H_2O$  و  $CO_2$   $[1/m \text{ Pa}]$

$p_{\text{CO}_2}$  أو  $p_{\text{H}_2\text{O}}$  الضغط الجزئي لـ  $\text{CO}_2$  و  $\text{H}_2\text{O}$  [Pa].

يحسب الضغطان الجزئيان لـ  $\text{CO}_2$  و  $\text{H}_2\text{O}$  بالاستعانة بالحجوم الجزئية  $r_{\text{CO}_2}$  و  $r_{\text{H}_2\text{O}}$  والضغط الكلي  $p$  كما يلي:

$$(43.4) \quad p_{\text{H}_2\text{O}} = p r_{\text{H}_2\text{O}} \text{ [Pa]} \quad \text{و} \quad p_{\text{CO}_2} = p r_{\text{CO}_2} \text{ [Pa]}$$

أما مسار الإشعاع أي سماكة الطبقة الغازية (مثلاً حجرة الاحتراق)  $s$  فتحسب كما يلي:

$$(44.4) \quad s = 3.6 V / A_u \text{ [m]}$$

حيث:  $V$  حجم الحجرة المملوءة بالغاز (مثلاً حجرة الاحتراق) [ $\text{m}^3$ ]

$A_u$  مساحة السطح الجانبي للحيز [ $\text{m}^2$ ].

مراقبة إشعاع اللهب يمكن التمييز بين شعلة مضئبة وشعلة غير مضئبة. يحترق الغاز الطبيعي بشعلة غير مضئبة، بينما يحترق الوقود السائل والفحم بشعلة مضئبة. وسبب إضاءة الشعلة هو بشكل أساسي حبيبات الهباب التي تتشكل باحتراق الفحم والهيدروجينية الثقيلة للوقود السائل والأجزاء الطيارة من الفحم. ويبلغ قطرها الوسطي حوالي 0.03 mm. وتنشأ عند إحراق مسحوق الفحم حبيبات معلقة (معلقات) من الكربون وفحم الكوك والرماد في الغازات ضمن حجرة الاحتراق، وهذه حجمها أكبر بكثير من حبيبات الهباب.

إن درجة الإصدار (emission) للشعلة المضئبة أعلى بكثير منها للشعلة غير المضئبة. وتتميز الشعلة المضئبة بالإشعاع المستمر للحبيبات، وهو يتعلق بالعوامل التالية: تحميل غازات الاحتراق بالحبيبات، وحجمها وكثافتها، ودرجة الحرارة والمسار الوسطي للإشعاع. تساهم الحبيبات بشكل خاص في مجال الأشعة تحت الحمراء بإصدار اللهب.

تُعطى المعادلة التقريبية التالية لحساب درجة إصدار الهباب:

$$(45.4) \quad \epsilon_{\text{soot}} = 1 - \exp(-s k_R c_R)$$

حيث:  $k_R$  عامل الامتصاص لحبيبات الهباب [ $\text{m}^2/\text{kg}$ ]

$c_{\text{soot}}$  تحميل غازات الاحتراق بالهباب [ $\text{kg}/\text{m}^3$ ].

تتراوح قيمة عامل الامتصاص  $k_{\text{soot}}$  لإشعاع الهباب بين 960 و 3400  $\text{m}^2/\text{kg}$ . وكقيمة استرشادية لتركيز الهباب  $c_{\text{soot}}$  في شعلة الوقود السائل المضئبة تؤخذ 750  $\text{mg}/\text{m}^3$  وفي شعلة الوقود الغازي غير المضئبة تؤخذ 2.5  $\text{mg}/\text{m}^3$ .

تنتج درجة الإصدار (emission)  $\epsilon_{\text{fl}}$  لشعلة مسحوق الفحم من العلاقة التالية:

$$(46.4) \quad \varepsilon_{FI} = 1 - (1 - \varepsilon_G)(1 - \varepsilon_o)(1 - \varepsilon_{ck})(1 - \varepsilon_A)$$

حيث:  $\varepsilon_G$ ،  $\varepsilon_o$ ،  $\varepsilon_{ck}$ ،  $\varepsilon_A$  درجات الإصدار للغازات الاحتراق والكربون وفحم الكوك والرماد على التسلسل.

تُحسب درجة الإصدار للكربون وفحم الكوك، وحببيات الرماد بشكل مشابه لحببيات الهباب كما هو وارد في المعادلة (45.4).

وبطريقة تقريبية يُحسب تيار الإشعاع من الشعلة إلى الجدار أو إلى سطح تسخين المبخر كما يلي:

$$(47.4) \quad Q_{Rad} = A_{fl} C_o \varepsilon_{eff} [(T_{FI} / 100)^4 - (T_w / 100)^4] \quad [W]$$

حيث:  $A_{FI}$  السطح المحيط بالشعلة  $[m^2]$

$\varepsilon_{eff}$  درجة لإصدار الفعلية لحجرة الإحتراق

$T_w$  و  $T_{FI}$  درجة الحرارة الوسطية للشعلة والجدار.

تنتج قيمة  $\varepsilon_{eff}$  من درجات الإصدار ( $\varepsilon_w$ ،  $\varepsilon_{FI}$ ) والسطوح ( $A_w$ ،  $A_{FI}$ ) للشعلة و جدار حجرة الاحتراق:

$$(48.4) \quad \varepsilon_{FR} = 1 / [1 / \varepsilon_{FI} + (1 / \varepsilon_w - 1) A_{FI} / A_w]$$

يمكن حساب درجة الحرارة  $T_G$  فقط بطريقة التكرار (iterative) من الموازنة الحرارية لحجرة الاحتراق، أما درجة الحرارة الوسطية فيمكن حسابها وفق العلاقة التقريبية التالية:

$$(49.4) \quad T_{FI} = \sqrt{T_{th} T_{FR}} \quad [K]$$

حيث:  $T_{th}$  و  $T_{FR}$  درجة حرارة الاحتراق النظرية للغازات الاحتراق ودرجة حرارة غازات

الاحتراق في نهاية حجرة الاحتراق. يبين الجدول (11.2) قيماً استرشادية لكل من  $t_{th}$  و

$t_{FR}$

## 2.5.4 انتقال الحرارة على سطوح التسخين الخارجية والداخلية

انتقال الحرارة الخارجي ( من جهة غازات الاحتراق)

يحدث انتقال الحرارة من الغازات إلى سطوح التسخين الإشعاعية أو التلامسية لمولد البخار عن طريق الإشعاع والحمل، ويتألف التيار الحراري من الغازات إلى سطح التسخين (مبخر، محمص، محمص وسطي، موقر، مسخن أولي للهواء) من جزء حمل و آخر إشعاعي: تطبق العلاقة التالية لحساب التيار الحراري الإجمالي من الغازات إلى سطح التسخين:

$$(50.4) \quad Q = Q_c + Q_{\text{Rad}} = (\alpha_c + \alpha_{\text{Rad}}) A (t_G - t_w) \quad [\text{W}]$$

حيث:  $\alpha_c$ ،  $\alpha_{\text{Rad}}$  عامل انتقال الحرارة بالحمل والإشعاع وذلك من الغازات إلى سطح التسخين  $[\text{W/m}^2 \text{ K}]$

$$A \text{ سطح التسخين } [\text{m}^2]$$

$t_w, t_G$  درجة حرارة الغازات والجدار  $[^\circ\text{C}]$ .

من أجل الأنابيب وحزم الأنابيب التي يعبرها الجريان بشكل عرضي يُحسب عامل انتقال الحرارة بالحمل  $\alpha_c$  من جهة غازات الاحتراق كما يلي:

$$(51.4) \quad Nu = 1.11 C R_e^n Pr^{0.31}$$

وبحال الصلاحية هو:  $Pr = 0.5 - 1000$ .

يتعلق المقدار الثابت  $c$  والأس  $n$  عند الجريان حول حزمة حول أنابيب وعند رقم رينولدز الواقع في المجال بين  $5 \times 10^3$  و  $7 \times 10^4$  بالمقادير التالية: توضع الأنابيب (خلف بعضها كما في الشطرنج أو منزاحة وغير مرتبة خلف بعضها)، التقسيم النسبي العرضي والطولي للأنابيب  $(t_l/d, t_q/d)$  الذي تتراوح قيمته بين 0.6 و 3. لذلك يجب تحديد مواصفات غازات الاحتراق عند درجة الحرارة الوسطية.

لحساب عامل انتقال الحرارة بالإشعاع.

$$(52.4) \quad \alpha_{\text{Rad}} = Q_{\text{Rad}} / A (t_G - t_w)$$

حيث: تحسب  $Q_{\text{Rad}}$  بحسب العلاقة (40.4).

**انتقال الحرارة الداخلي (من جهة الوسيط المتلقي للحرارة)**

يحسب عامل انتقال الحرارة بالحمل  $\alpha$  من السطح الداخلي للأنابيب إلى المائع الذي يجري في داخلها (أي الماء أو البخار أو الهواء) والتي تشكل سطوح تسخين مولد البخار وفق القوانين التي سنعرضها فيما يلي. من أجل الجريان الداخلي المضطرب (غير المنتظم) للمائع المألوف تستخدم العلاقة بين رقم نوسيل من جهة ورقم رينولدز ورقم برانتل من جهة أخرى (قارن الفصل الأول). يُحسب عامل انتقال الحرارة من أجل رقم نوسيل معطى كما يلي:

$$(53.4) \quad \alpha = \lambda Nu / d \quad [\text{W/m}^2\text{K}]$$

حيث:  $\lambda$  عامل توصيل (ناقلية) المائع  $[\text{W/m K}]$

$d$  الطول المميز (القطر للأنابيب التي يجري المائع حولها أو على طولها  $[m]$ ).

بحسب عامل انتقال الحرارة لمختلف سطوح التسخين (مبخّر، محمّص، محمّص وسطي، موفر، مسخن أولي للهواء) إما مباشرة أو بمساعدة معادلة رقم نوسيل.  
ومن أجل المحمّص أو المحمّص الوسطي فإن عامل انتقال الحرارة من جهة البخار يحسب بمساعدة رقم نوسيل من المعادلة التالية:

$$(54.4) \quad Nu = 0.024 Re^{0.786} Pr^{0.45} [1 + (d/L)^{2/3}]$$

حيث:  $Re = w d / \nu$  رقم رينولدز

$Pr$  رقم برانتل

$w$  سرعة جريان البخار [m/s]

$d$  القطر الداخلي للأنبوب [m]

$L$  طول الأنبوب [m]

$\nu$  اللزوجة الحركية للبخار [m<sup>2</sup>/s].

تعطى القيم المميزة للبخار (عامل التوصيل الحراري  $\lambda$  واللزوجة الحركية  $\nu$ ) ورقم برانتل المرتبط به عند درجة الحرارة المرجعية التالية:

$$t_m = 0.5 [t_w + 0.5 (t_{v,ent} + t_{v,exit})] \text{ [}^\circ\text{C]}$$

حيث:  $t_w$  درجة حرارة جدار الأنبوب [°C]

$t_{v,ent}$  و  $t_{v,exit}$  درجة حرارة دخول البخار وخروجه [°C].

من أجل الجريان المضطرب للماء في الموفر ( $Eco$ ) أي مسخن الماء الأولي وعندما يكون  $Re > 2320$  و  $Pr = 1.5 - 500$  يُحسب رقم نوسيل بالعلاقة التالية:

$$(55.4) \quad Nu = 0.012 (Re^{0.87} - 280) Pr^{0.4} [1 + (d/L)^{-2/3}] (Pr / Pr_w)^{0.11}$$

حيث:  $Pr$  و  $Pr_w$  رقم برانتل للماء عند درجة حرارة وسطية  $t_f$  وعند درجة حرارة جدار الأنبوب  $t_w$ .

من أجل مسخن الهواء الأولي المتجدد وعند جريان مضطرب للهواء (عند  $Re > 2320$  و  $Pr = 0.5 \rightarrow 1.5$ ) تستخدم المعادلة التالية:

$$(56.4) \quad Nu = 0.0214 (Re^{0.8} - 100) Pr^{0.4} [1 + (d/L)^{2/3}] (t_m / t_w)^{0.45}$$

حيث:  $t_m$  و  $t_w$  درجة الحرارة الوسطية للهواء أو للحدار [°C].  
تؤخذ القيم المميزة للمانع سواءً كان الماء أو الهواء (أي عامل التوصيل الحراري  $\lambda$  واللزوجة الحركية  $\nu$ ) ورقم برانتل الموافق من الجداول A.13 و A.14 في الملحق عند درجة حرارة وسطية للمانع.

#### 4.5.4 انتقال الحرارة من فرشاة الوقود الدوامية إلى سطوح التسخين

في فرشاة الوقود السائل المستقرة التي تعمل عند الضغط الجوي تغطس سطوح التسخين في الفرشة - أما في فرشاة الوقود السائلة الدوارة وتجنباً للتآكل بسبب السرعة العالية للغاز وبشكل خاص سرعات الحبيبات الصلبة، فإنه يستغنى في هذه الحالة عن سطوح التسخين الغاطسة في الفرشة. تصنع عادة سطوح التسخين للمبخر في حجرة الوقود السائلة الدوارة كحدران غشائية أو كحدار أنابيب مزعنة.

يُراعى في عامل انتقال الحرارة  $\alpha_{FB}$  من فرشاة الوقود الدوامية إلى سطوح التسخين انتقال الحرارة بالحمل والإشعاع. من أجل فرشاة الوقود الدوامية المستقرة التي تعمل عند الضغط الجوي، وحساب عامل انتقال الحرارة من الفرشة إلى الأنابيب الغاطسة يمكن استخدام العلاقة التجريبية التالية:

$$\alpha_{FB} = 900 (1 - \varepsilon) (\lambda / d_a) [(w d_a \rho_p / 2\mu) (\mu^2 / g d_p^3 \rho_p^2)]^{0.326} \quad (57.4)$$

$$Pr^{0.3} + \varepsilon_{ff} \sigma (T_{ws}^4 - T_w^4) / (T_{ws} - T_w) \quad [W / m^2 K]$$

حيث:  $\varepsilon$  مسامية فرشاة الوقود السائلة

$\lambda$  عامل التوصيل (الناقلي) الحراري للغاز [W / mK]

$w$  سرعة جريان الغاز عند المقطع الفارغ للجهاز [m/s]

$d_a$  القطر الخارجي للأنبوب [m]

$\rho_p$  الكتلة النوعية للحسيم (الحبيبة) [kg / m<sup>3</sup>]

$\mu$  اللزوجة الديناميكية للغاز [Pa . s]

$g$  التسارع الأرضي [m<sup>2</sup> / s]

$d_p$  قطر الحبيبة [m]

$Pr$  رقم برانتل للغاز

$\varepsilon_{ff}$  درجة الإصدار الفعلية للحملة المؤلفة من فرشاة العقود السائلة و سطح التسخين

$$5.67 \times 10^{-8} \text{ W / m}^2\text{K}^4 = \sigma$$

$T_W$  و  $T_{FB}$  درجة حرارة فرشاة الوقود السائلة و سطح التسخين (جدار الأنبوب) [K].

تصلح هذه المعادلة عندما يكون:  $(w d_p \rho / \mu) > 10$

ولحساب درجة الإصدار الفعلية لجملة [فرشاة الوقود السائلة و سطح التسخين] تطبق العلاقة التالية:

$$(58.4) \quad \varepsilon_{\text{eff}} = 1 / (1 / \varepsilon_{FB} + 1 / \varepsilon_w - 1)$$

حيث:  $\varepsilon_w$  و  $\varepsilon_{FB}$  درجة الإصدار لفرشاة الوقود الدوامية و جدار الأنبوب.

ولحساب  $\varepsilon_{WS}$ :

$$(59.4) \quad \varepsilon_{FB} = (\varepsilon_p + 1) / 2$$

حيث:  $\varepsilon_p$  درجة إصدار الحبيبة (0.8 إلى 0.9)

يحدث انتقال الحرارة من فرشاة الوقود الدوامية الدوّارة إلى سطوح التسخين عن طريق الحمل والإشعاع، ويساهم في انتقال الحرارة الحبيبات المضطربة المتجمعة ككتل (قطاعات) والمواقع الفقيرة بالحبيبات الصلبة من فرشاة الوقود. عند كل لحظة يلامس جزء من سطح التسخين ( $\alpha$ ) قطاعاً من فرشاة الوقود فقيراً بالحبيبات الصلبة، والجزء الآخر يلامس القطاع الغني بكتل الحبيبات المتجمعة، وبالتالي يمكن تحديد عامل انتقال الحرارة من فرشاة الوقود الدوامية إلى سطح التسخين كما يلي:

$$(60.4) \quad \alpha_{FB} = \alpha (\alpha_c + \alpha_{Rad})_f + (1 - \alpha) (\alpha_c + \alpha_{Rad})_{pa} \quad [\text{W/m}^2\text{K}]$$

حيث:  $\alpha_{Rad}$  عامل انتقال الحرارة عن طريق الحمل والإشعاع.

الدليل  $f$  يُشير إلى القطاعات الفقيرة بالوقود من فرشاة الوقود و  $p_a$  إلى الحبيبات المتجمعة على شكل كتلة.

ومن أجل التوصيل من الحبيبات المتجمعة إلى سطح التسخين نطبق العلاقة:

$$(61.4) \quad \alpha_{cpa} = 1 / (d_p / 10 \lambda + \sqrt{\pi t_{pa} / 4 \lambda_{pa} c_{pa} \rho_{pa}})$$

حيث:  $d_p$  قطر الحبيبات [m]

$\lambda$  عامل التوصيل الحراري للغاز [W/mK]

$t_{pa}$  فترة بقاء الكتلة المتجمعة من الحبيبات الصلبة على سطح التسخين [s]

$\lambda_{pa}$  عامل التوصيل الحراري الفعلي لكتلة الحبيبات المتجمعة [W/mK]

$c_{pa}$  السعة الحرارية النوعية الفعلية لكتلة الحبيبات المتجمعة [J/kgK]

$\rho_{pa}$  الكتلة النوعية الفعلية لكتلة الحبيبات المتجمعة [kg/m<sup>3</sup>].

ومن أجل  $\rho_{pa}$  و  $c_{pa}$  يصلح:

$$\begin{aligned} c_{pa} &= (1 - \varepsilon_{pa}) c_p + \varepsilon_{pa} c_g \\ \rho_{pa} &= (1 - \varepsilon_{pa}) \rho_p + \varepsilon_{pa} \rho_g \end{aligned} \quad \text{أو}$$

حيث:  $\varepsilon_{pa}$  مسامية كتلة الحبيبات المتجمعة

$c_p$  أو  $c_g$  السعة الحرارية النوعية للحبيبات أو الغاز [J / kg K]

$\rho_p$  أو  $\rho_g$  الكتلة النوعية لحبيبات أو الغاز [kg / m<sup>3</sup>].

يمكن إهمال الحد الثاني في المعادلة 61.4 من أجل الحبيبات الخشنة ذات البقاء القصير على سطوح التسخين وتصبح المعادلة كما يلي:

$$(63.4) \quad \alpha_{cpa} = 10 \lambda d_p$$

ومن أجل الجزء المرتبط بالحمل في عامل انتقال الحرارة من القطاع الفقير بالحبيبات الصلبة في فرشاة الوقود الدوامية إلى سطح التسخين تطبق المعادلة اللابعدية التالية:

$$(64.4) \quad Nu = (c_p / c_g) (\rho_d / \rho_p)^{0.3} Fr^{0.42} Pr$$

حيث: رقم نوسيل  $Nu$   $\alpha_k d_p / \lambda$

$\alpha_c$  عامل انتقال الحرارة بالحمل من فرشاة الوقود الدوامية إلى سطح التسخين [W/m<sup>2</sup>K]

$d_p$  قطر الحبيبات [m]

$\lambda$  عامل التوصيل الحراري للغاز [W/mK]

$c_p$  أو  $c_g$  السعة الحرارية النوعية للحبيبات الصلبة أو الغاز [J/kg K]

$\rho_d$  أو  $\rho_g$  الكتلة النوعية للحبيبات الصلبة في القطاع الفقير بالحبيبات من الفرشة أو

للحبيبات [kg/m<sup>3</sup>]

$Fr$  رقم فرود (Froude) اللابعدية، يحسب عند سرعة الجبر للحبيبات  $w_a$  كما يلي:

$$Fr = w_a / \sqrt{(g d_p)}$$

$Pr$  رقم برانتل للغاز  $\nu \rho_g c_g / \lambda$

$\nu$  اللزوجة الحركية للغاز [m<sup>2</sup>/s].

ومن أجل انتقال الحرارة بالحمل فقط تطبق المعادلة التالية:



(65.4)

$$Nu = 0.009 Pr^{1/3} Ar^{1/2} \quad [W / m^2 K]$$

حيث: رقم أرخميدس  $Ar = g d_p^3 (\rho_p - \rho_g) / \rho_g v^2$  تعوض مواصفات الغاز  $(\lambda, \nu, \rho, c_p)$  ورقم برانتل  $Pr$  في المعادلة 65.4 عند درجة حرارة فرشاة الوقود الدوامية.

تقع قيم  $\alpha_{cpa}$  بحسب المعادلة 61.4 عند الحدود العليا وبحسب المعادلة 64.4 أو 65.4 عند الحدود الدنيا للمجال الممكن. ويلعب الإشعاع في فرشاة الوقود الدوامية عند درجات الحرارة 800 إلى 900 °C دوراً مهماً. وبالتبسيط ينتج عامل انتقال الحرارة بالإشعاع كما يلي:

(66.4)

$$\alpha_{Rad} = 4 \varepsilon_{eff} \sigma T_m^3$$

حيث:  $\alpha_{Rad}$  عامل انتقال الحرارة بالإشعاع

$\varepsilon_{eff}$  درجة الإصدار الفعلية (عملياً لا تؤخذ إلا 0.9)

$\sigma$  ثابت بولتزمان وقيمته  $5.67 \cdot 10^{-8} W / m^2 K^4$

$T_m$  درجة الحرارة الوسطية للجسم المولفة من فرشاة الوقود الدوامية  $T_{FB}$  و سطح التسخين

$$T_m = (T_{FB} + T_w) / 2$$

وبناءً على الخبرات المكتسبة فإنه يمكن رفع  $\alpha_c$  المحسوبة بالعلاقة 64.4 بمقدار 30 % لمراعاة تجمع الحبيبات الصلبة في كتل.

تحدد سطوح التسخين المركبة بعد الفزازة (Cyclon) لفرشاة الوقود الدوامية الدوّارة بشكل مشابه لسطوح مولدات البخار الأخرى.

إن انتقال الحرارة في فرشاة الوقود الدوامية المضغوطة لم يُبحث إلا بشكل قليل، ولذلك لا توجد في الوقت الحاضر طرق حساب موثوقة لعامل انتقال الحرارة، وتستخدم المعادلات الواردة أعلاه لحساب عامل انتقال الحرارة لفرشاة الوقود الدوامية المضغوطة مع بعض التحفظ.

#### 5.5.4 تحديد السطوح الحرارية اللازمة

عامل نفوذ الحرارة

عامل نفوذ الحرارة  $k$  هو مقلوب المقاومة الحرارية وبحسب للجدران المستوية وللأنابيب الرقيقة الجدران كما يلي:

$$(67.4) \quad k = \frac{1}{1/\alpha_{out} + (\delta/\lambda)_{dirt,o} + (\delta/\lambda)_w + (\delta/\lambda)_{dirt,i} + l/\alpha_i} \quad [W/m^2 K]$$

حيث:  $1/\alpha_{out}$  أو  $1/\alpha_i$  المقاومة الحرارية لانتقال الحرارة على الجانب الخارجي لغازات الاحتراق

أو الجانب الداخلي للمائع (الماء أو البخار أو الهواء)  $[m^2 K/W]$

$(\delta/\lambda)_w$  أو  $(\delta/\lambda)_{dirt,o}$  أو  $(\delta/\lambda)_{dirt,i}$  المقاومة الحرارية للجدران وللطبقة المتشكلة

(الأوساخ) على السطح الخارجي المواجه لغازات الاحتراق، وعلى الجانب الداخلي

للمائع  $[m^2 K/W]$

$\alpha$  عامل انتقال الحرارة  $[W/m^2 K]$

$\lambda$  عامل التوصيل الحراري  $[W/m K]$

$\delta$  السماكة  $[m]$ .

يمكن إهمال  $1/\alpha_i$  إذا كانت  $\alpha_i$  أكبر بكثير من  $\alpha_{out}$ ، ولكن يجب مراعاة المقاومة  $(\delta/\lambda)$  للسطح

الخارجي ولترسبات الداخلية (الهباب، الرماد الطيار أو طبقة الأملاح المتجمعة على جدران الأنابيب).

يمكن أن ينسب عامل نفوذ الحرارة لسطوح التسخين التي تأخذ شكل حزمة من الأنابيب

على السطح الداخلي أو الخارجي أو الوسطي للأنبوب أي  $A_{in} = \pi d_i l$ ،  $A_{out} = \pi d_{out} l$

$A_m = 0.5 (A_{in} + A_{out})$ ، فمثلاً يصبح عامل نفوذ الحرارة منسوباً إلى السطح الوسطي للأنبوب (بدون ترسبات الأوساخ) كما يلي:

$$(68.4) \quad k_m = \frac{1}{A_{out}/\alpha_{out} A_{out} + (A_m/2\pi\lambda l) \ln(d_{out}/d_{in}) + A_m/\alpha_i A_{in}}$$

حيث:  $d_{out}$  أو  $d_{in}$  القطر الخارجي أو الداخلي للأنبوب  $[m]$

$l$  طول الأنبوب  $[m]$

$\lambda$  عامل التوصيل الحراري لمادة الأنبوب  $[W/mK]$ .

وتصبح الاستطاعة المنتقلة:

$$(69.4) \quad Q = k_m A_m \Delta t_m \quad [W]$$

حيث:  $\Delta t_m$  فرق درجات الحرارة الوسطى  $[K]$ .

يبين الجدول (4.4) قيماً تقديرية لعامل نفوذ الحرارة  $k$  للمبادلات الحرارية وسطوح التسخين.

يتراوح عامل التوصيل الحراري  $\lambda_{\text{diff}}$  [W/m K] للأوساخ المتجمعة على السطوح الحرارية بين 0.04 و 0.07 ولللباب وبين 0.6 و 2.3 للأملح (السماة أحجار المرجل) المتجمعة في الأنابيب وهي غنية بالحصى.

الجدول 4.4: قيم تقريبية لـ  $k$  في المبادلات الحرارية و سطوح التسخين

الوسيط الساخن/البارد	$k$ [W/m <sup>2</sup> K]	حالات الاستخدام
1. المبادلات الحرارية ذات استعادة الحرارة		
غاز/ هواء 1 bar	10 - 35	أنابيب مسخنات الهواء الأولية
غاز/هواء (عند ضغط عالٍ)	50 - 100	مولدات البخار المضغوطة
غاز (1 bar)/ماء	15 - 70	الموفرات، مرابجل استعادة حرارة الغازات
غاز (بضغط عالٍ)/ ماء	50 - 170	مولدات بخار مضغوطة
بخار/ماء	1500 - 4000	المكثفات
2. المبادلات الحرارية المتجددة		
غاز/هواء	10 - 15	مسخنات الهواء الأولية من نوع Ljungström

### سطوح التسخين اللازمة

تُحسب سطوح التسخين اللازمة ( $A$ ) بالاستعانة بالاستطاعة الحرارية المنتقلة  $Q$  وعامل نفوذ الحرارة  $k$  وفرق درجات الحرارة الوسطي  $\Delta t_m$ .

$$A = Q / k \Delta t_m \text{ [m}^2\text{]} \quad (70.4)$$

أما فرق درجات الحرارة الوسطي فينتج من العلاقة التالية:

$$\Delta t_m = (\Delta t_{\max} - \Delta t_{\min}) / \ln (\Delta t_{\max} / \Delta t_{\min}) \quad (71.4)$$

حيث:  $\Delta t_{\max}$  و  $\Delta t_{\min}$  الفرق الأعظمي والأصغري لدرجات الحرارة بين المائع الساخن والمائع البارد (انظر المعادلات من 40.1 إلى 43.1).

### مثال 5.4

يطلب تحديد مساحة سطح التسخين لمسخن ماء أولي (موفر) يجري تسخينه بغازات الاحتراق، وذلك لمولد بخار استطاعة توليده للبخار 2000 t/h ذي الضغط 250 bar.

درجة حرارة دخول الماء إلى الموفر  $t_{w,ent} = 240^\circ\text{C}$  ودرجة حرارة خروجه  $t_{w,exit} = 320^\circ\text{C}$ .  
 درجة حرارة دخول الغازات إلى الموفر  $t_{g,ent} = 600^\circ\text{C}$  ودرجة حرارة خروجها  $t_{g,exit} = 360^\circ\text{C}$   
 عامل نفوذ الحرارة  $k = 56 \text{ W/m}^2 \text{ K}$

**الحل**

1. من الجدول (A-5) للبخار والماء في الملحق، (وعند الضغط 260 bar و  $t_{w,ent} = 320^\circ\text{C}$  و  $t_{w,exit} = 320^\circ\text{C}$  للماء) يمكن الحصول على انتالي ماء التغذية عند درجة حرارة الدخول والخروج كما يلي:

$$h_{w,exit} = 1438.6 \text{ KJ / kg}$$

$$h_{w,ent} = 1041.3 \text{ KJ / kg} \quad \text{أو:}$$

2. التدفق الكتلي لماء التغذية يبلغ:

$$m_w = m_v = 2000 / 3.6 = 555.56 \text{ kg/s}$$

3. الاستطاعة الحرارية المتبادلة:

$$Q = m_w (h_{w,exit} - h_{w,ent}) = 555.56 \text{ kg/s} \times$$

$$(1438.6 - 1041.3) \text{ KJ/kg} = 220.72 \text{ MW}$$

4. فرق درجات الحرارة الأعظمي والأصغري في الجريان المتعاكس (Counterflow):

$$\Delta t_{\max} = t_{g,ent} - t_{w,exit} = 600 - 320 = 280 \text{ K}$$

$$\Delta t_{\min} = t_{g,exit} - t_{w,ent} = 360 - 240 = 120 \text{ K}$$

5. فرق درجات الحرارة الوسطي لجريان متعاكس :

$$\Delta t_{CF} = (\Delta t_{\max} - \Delta t_{\min}) / \ln (\Delta t_{\max} / \Delta t_{\min}) = 188.8 \text{ K}$$

6. معرفة:

$$P = \Delta t_w / (t_{g,ent} - t_{w,exit}) = (320 - 240) / (600 - 240) = 0.222$$

$$R = \Delta t_g / (t_{g,ent} - t_{w,exit}) = (600 - 360) / (600 - 240) = 0.5$$

وبالتالي ينتج عامل التصحيح  $f = 0.5$ .

7. من أجل جريان متصالب يصبح فرق درجات الحرارة الوسطي:

$$\Delta t_m = f \cdot \Delta t_{CF} = 0.5 \times 188.8 = 94.4 \text{ K}$$

8. ينتج الآن سطح الموفر كما يلي:

$$\begin{aligned}
A &= Q/k \cdot \Delta t_m \\
&= 220.72 \times 10^6 \text{ W} / 56 \text{ W/m}^2\text{K} \times 94.4 \text{ K} \\
&= 41748.6 \text{ m}^2
\end{aligned}$$

## 6.5.4 دراسة (تصميم) مسخن الهواء الأولي المتجدد

### أنواع مسخنات الهواء الأولية

تُخَفِّضُ درجة حرارة غازات الاحتراق باستخدامها لتسخين الهواء تسخيناً أولياً، ويؤدي هذا إلى رفع مردود مولد البخار. تتعلق درجة حرارة غازات الاحتراق المغادرة بسطح المسخن الأولي للهواء، ويجب أن لا تنخفض درجة حرارة الغازات إلى حدٍّ أدنى من درجة تكاثف الغازات، وذلك تحاشياً لخطر الصدأ وتجمع الرواسب والغبار على الصفائح الرطبة. عملياً تكون درجة حرارة غازات الاحتراق المغادرة لمولد البخار أعلى من 110 °C.

تجدر الإشارة إلى أن عيب درجة حرارة الاحتراق الشديدة الارتفاع هو تسببها في زيادة تشكل أكسيد الآزوت. تصل درجات الحرارة الأعظمية عند إحراق الوقود مع تفريغ الخبث بالحالة السائلة إلى 420 °C وذلك عند إحراق الفحم البني مع طرد الرماد بالحالة الجافة، وإلى 350 °C عند إحراق الوقود الغازي والسائل وإلى 320 °C للفحم الحجري المطحون الذي يطرح رماده بالحالة الجافة وتصل إلى 250 °C لفرشة الوقود السائلة وإلى 150 °C عند إحراق الفحم في المصبّعات.

يُستخدم لمسخنات هواء مولدات البخار في محطات توليد الطاقة نوعان هما: المسخنات المتجددة والمسخنات الاسترجاعية.

### مسخنات الهواء الأولية المتجددة

تستخدم في مولدات البخار الكبيرة غالباً مسخنات الهواء المتجددة. للمسخن المتجدد كتلة تخزين تتألف من عدد كبير من الأقنية التي هي عبارة عن شرائح رقيقة من الصاج (سمائكتها حوالي 0.5 mm)، وبالتالي فمساحة سطحها كبيرة. هناك نوعان من المسخنات المتجددة:

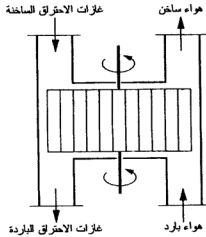
— كتلة التخزين دوارة وموضوعة في غلاف ثابت (ساكن)

— كتلة التخزين ساكنة والغلاف دوّار

يُمرّر على كتلة التخزين أولاً غازات الاحتراق الساخنة ثم هواء بارد، وذلك من خلال الأقنية المخصصة لكل وسيط (الهواء والغاز). مسخن كتلة التخزين بسرعة بسبب سطحها الكبير وبفعل

الحرارة التي تتلقاها من غازات الاحتراق، ثم تقوم بإعطاء الحرارة التي خزنتها إلى تيار الهواء البارد. وبسبب الضغط المرتفع في جهة الهواء مقارنةً بجهة غازات الاحتراق ينشأ تيار تسرب يتم تحاشيه باستعمال حشوات إحكام.

يبين الشكل (18.4) وبشكل تخطيطي مبدأ عمل مسخن الهواء الأولي الدوار من نوع Ljungström له كتلة تخزين بطيئة الدوران. يكون الدوار ذا محور أفقي أو شاقولي. في النوع المسمى Stator تكون كتلة التخزين ساكنة بينما تدور حولها وصلات الهواء وغازات الاحتراق.



الشكل 18.4 : مخطط يبين مبدأ عمل مسخن الهواء الأولي المتجدد من نوع Ljungström.

مسخن الهواء الأولي الاسترجاعي: تنفذ هذه المسخنات في أكثر الأحيان على شكل أنابيب وأحياناً على شكل صفائح. يحدث انتقال الحرارة بين تيار غازات الاحتراق وتيار الهواء الواجب تسخينه في داخل حزمة الأنابيب عبر جدار الأنبوب، ومن حسنات مسخنات الهواء الأنبوبية عدم وجود أية أجزاء متحركة. تعيق الأوساخ التي تتجمع بفعل الرماد الطيار على سطوح التسخين التيار الحراري المنتقل وترفع ضياع الضغط من جهة غازات الاحتراق.

#### تعدد سطح التسخين لمسخن الهواء الأولي المتجدد

لتصميم مسخنات الهواء الأولية الاسترجاعية تستخدم القواعد المألوفة لحساب المبادلات الحرارية الاسترجاعية، ولكن حساب المسخنات المتجددة أعقد بكثير، ويمكن أن تحسب بشكل تقريبي بنفس طريقة حساب المسخنات الاسترجاعية كما هم مبين فيما يلي:

يمكن الآن كتابة المعادلات التالية لحساب التيار الحراري  $Q$ :

— لتيار غازات الاحتراق

$$(72.4) \quad Q = m_{G,ent} C_{pG} (t_{G,ent} - t_{G,exit}) \quad [W]$$

— لتيار الهواء

$$(73.4) \quad Q = m_{A,ent} c_{pA} (t_{A,exit} - t_{A,ent}) \quad [W]$$

حيث:  $m_{G,ent}$  أو  $m_{A,ent}$  التدفق الكتلي لتيار غازات الاحتراق أو الهواء عند الدخول [kg/s]

$c_{pG}$  أو  $c_{pA}$  السعة الحرارية النوعية لغازات الاحتراق أو للهواء [J/kg K]

$t_G$  أو  $t_A$  درجة حرارة غازات الاحتراق أو الهواء [°C].

يُحسب سطح التسخين من جهة الهواء أو جهة غازات الاحتراق كما يلي:

$$(74.4) \quad Q = k_A A_A \Delta t_m = k_G A_G \Delta t_m \quad [W]$$

حيث:  $k_A$  أو  $k_G$  عامل نفوذ الحرارة للهواء أو غازات الاحتراق [W/m²K]

$A_A$  أو  $A_G$  سطح التسخين لكتلة التخزين من جهة الهواء أو غازات الاحتراق [m²]

$\Delta t_m$  فرق درجات الحرارة الوسطي بين غازات الاحتراق والهواء [K].

يتم حساب عوامل نفوذ الحرارة وفرق درجات الحرارة الوسطي بين غازات الاحتراق والهواء وفقاً للمعادلات التي وردت في الفصل الأول والفقرة 4.4. كثافة التدفق الكتلي  $g$  هي كميات

الهواء وغازات الاحتراق الإجمالية التي تعبر المقطع خلال الثانية الواحدة، وتبلغ عادة 6 إلى 8

kg/m²s. يكون عامل نفوذ الحرارة  $k$  عندئذ بين 10 و 15 W/m² K.

فرق درجات الحرارة  $\Delta t_{Hot} = t_{G,ent} - t_{A,exit}$  على الجانب الحار. لمسخن الهواء الأولي (يسمى

أيضاً التدرج) يجب أن يكون على الأقل 20 K. فرق درجات الحرارة للهواء  $\Delta t_A = t_{A,exit} - t_{A,ent}$

يدعى الحرارة المكتسبة (أي التي تم ربحها). عند معرفة التدفقات الكتلية ومعرفة ثلاث درجات

( $t_{G,ent}$ ,  $t_{A,ent}$ ,  $t_{A,exit}$ )، يمكن تحديد درجة الحرارة الرابعة ( $t_{G,exit}$ ) من المعادلات المذكورة أعلاه.

يسبب التيار المتسرب (الضائع) الناشئ بفعل فرق الضغط بين الهواء وغازات الاحتراق والذي

يتعلق بتصميم مسخن الهواء الأولي وحجمه، يسبب تخفيض درجة حرارة غازات الاحتراق وتنتج

هذه الدرجة كما يلي:

$$(75.4) \quad t_G = t_{G,exit} - m_{leak} / m_{G,exit} (t_{G,exit} - t_{A,exit}) \quad [°C]$$

يُحدَّد تيار التسرب  $m_{Leak}$  (منسوباً إلى كمية غازات الاحتراق الجافة) بناءً على موازنة للعناصر وذلك عن طريق تحديد هبوط  $CO_2$  في جهة غازات الاحتراق:

$$(76.4) \quad m_{Leak} = \Delta r_{CO_2} m_{G,ent} (1 - r_{H_2O}) / (r_{CO_2} - \Delta r_{CO_2}) \quad [kg/s]$$

يبلغ هبوط  $CO_2$  أي  $\Delta r_{CO_2}$  في جهة غازات الاحتراق  $(0.007 - 0.01 \text{ m}^3/\text{m}^3)$ .  
يحدَّد المحجمان الجزئيان  $r_{H_2O}$  و  $r_{CO_2}$  لكل من  $H_2O$  و  $CO_2$  من حسابات الاحتراق.  
يحسب التدفق الكتلي عند الخروج لغازات الاحتراق وللواء كما يلي:

$$(77.4) \quad m_{G,exit} = m_{G,ent} + m_{Leak} \quad [kg/s]$$

$$(78.4) \quad m_{A,exit} = m_{A,ent} - m_{Leak} \quad [kg/s]$$

من مساحة المقاطع لغازات الاحتراق  $A_G$  وللواء  $A_A$  ينتج المقطع الإجمالي لمسخن الهواء الدوار:

$$(79.4) \quad A_q = A_G + A_A = (m_{G,ent} + m_{A,ent}) / g \quad [m^2]$$

وبإضافة 10 % لمساحة الصاج يصبح قطر مسخن الهواء الأولي:

$$(80.4) \quad D = 1.1 (4 A_q / \pi)^{0.5} \quad [m]$$

سيعرض في المثال 6.4 حساب مسخن هواء أولي من النوع المتحد.

## 6.4 مثال

يطلب تحديد سطح التسخين اللازم  $A$  وكتلة التخزين  $m_s$  والقطر  $D$  لمسخن هواء أولي متحدد في مولد بخار عند الشروط التالية:

- التدفق الكتلي عند الدخول لكل من الهواء وغازات الاحتراق:  $m_{G,ent} = m_{A,ent} = 765 \text{ kg/s}$   
-  $800 \text{ kg/s}$ .

- درجات الحرارة عند الدخول والخروج للهواء:  $t_{A,ent} = 30^\circ\text{C}$ ,  $t_{A,exit} = 250^\circ\text{C}$ .

- درجات الحرارة عند الدخول والخروج لغازات الاحتراق:  $t_{G,ent} = 350^\circ\text{C}$ ,  $t_{G,exit} = 150^\circ\text{C}$ .

- كثافة التدفق الكتلي:  $g = 7.8 \text{ kg/m}^2\text{s}$ .

- عامل النفوذ الحراري للهواء:  $k_A = 13 \text{ W/m}^2\text{K}$ .

- السعة الحرارية النوعية للهواء:  $c_{pA} = 1.01 \text{ kJ/kg K}$ .



## الحل

1. التيار الحراري المتبادل:

$$\begin{aligned} Q &= m_{A,ent} c_{pA} (t_{A,exit} - t_{A,ent}) \\ &= 764.8 \times 1.01 \times 10^{-3} (250 - 30) = 169.94 \text{ MW} \end{aligned}$$

2. فرق درجات الحرارة الوسطي بين غازات الاحتراق والهواء:

$$\begin{aligned} \Delta t_m &= (t_{G,ent} - t_{A,exit}) + (t_{G,exit} - t_{A,ent}) / 2 \\ &= (350 - 250) + (150 - 30) / 2 = 110 \text{ K} \end{aligned}$$

3. سطح التسخين اللازم من جهة الهواء وكذلك جهة الغازات:

$$\begin{aligned} A_A &= A_G = Q / k_A \Delta t_m \\ &= 169.94 \times 10^6 / 13 \times 110 = 118800 \text{ m}^2 \end{aligned}$$

4. السطح الإجمالي لمسخن الهواء:

$$A = A_A + A_G = 237600 \text{ m}^2$$

5. إذا كانت سماكة الصاج  $\delta = 0.5 \text{ mm}$  وكتلته النوعية  $\rho_s = 7800 \text{ kg/m}^3$  فإن كتلة التخزين للمسخن:

$$\begin{aligned} m_s &= A \delta \rho_s \\ &= 237600 \text{ m}^2 \times 0.0005 \text{ m} \times 7800 \text{ kg/m}^3 = 926640 \text{ kg} \end{aligned}$$

6. مقطع مسخن الهواء:

$$\begin{aligned} A_q &= (m_{G,ent} + m_{A,ent}) / g \\ &= (800 + 765) \text{ kg/s} / 7.8 \text{ kg/m}^2 \text{ s} = 200.64 \text{ m}^2 \end{aligned}$$

7. يحسب قطر المسخن الآن كما يلي:

$$\begin{aligned} D &= 1.1 (4 A_q / \pi)^{0.5} \\ &= 1.1 (4 \times 200.64 / \pi)^{0.5} = 17.58 \text{ m} \end{aligned}$$

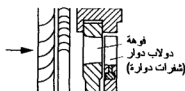


## 5 العنفات البخارية، المكثفات، مسخنات الماء الأولية، وحدات ماء التبريد

### 1.5 عنفات أويلر والمعادلة الأساسية

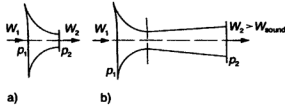
العنفات هي آلات حرارية لتحويل الحرارة إلى طاقة ميكانيكية (عمل) وذلك عن طريق تمدد وسيط عمل (بخار الماء في العنفة البخارية أو غازات الاحتراق في العنفة الغازية). تتألف العنفات عادة من عدة مراحل الشكل (1.5).

تتألف مرحلة العنفة من دولاب (عجلة) توجيه ساكن ذي فوهات مثبت على غلاف العنفة ودولاب آخر دوار ذي شفرات دوارة مثبت على محور العنفة (الدوار Rotor).



الشكل 1.5 : مراحل العنفة.

يتم في فوهة دولاب التوجيه تمدد البخار، يرافق ذلك هبوط في الانتالي وتحوله إلى طاقة حركية للبخار المتدفق، مما يؤدي إلى تسريعه. يتم الحصول في فوهة مدببة (أي مقطعها متناقص كما في الشكل a2.5) على سرعة للبخار لا تتجاوز سرعة الصوت، وللحصول على سرعة تفوت سرعة الصوت تستخدم فوهة لافال (الشكل b2.5).



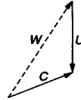
الشكل 2.5: (a) فوهة بسيطة، (b) فوهة لافال Laval-Nozzle.

تعطى سرعة البخار  $c$  في الدولاب الدوار كمجموع شعاعي لمركبيتي سرعة (الشكل 3.5) كما يلي:

$$(1.5) \quad c = u + w$$

حيث:  $u$  السرعة المحيطية للدولاب الدوار.

$w$  سرعة البخار بالنسبة للدوار أي في المجرى الموجود بين الشفرات الدوارة.



الشكل 3.5: مركبات سرعة البخار.

تنتج المركبة المحيطية  $c_u$  لسرعة البخار عند مقطع الدخول أو الخروج (الدليل 1 أو 2) للدولاب كما يلي:

$$(2.5) \quad c_{u2} = C_2 \cos \alpha_2 \quad \text{و} \quad c_{u1} = c_1 \cos \alpha_1$$

حيث:  $\alpha$  هي الزاوية بين سرعة الجريان والاتجاه المحيطي.

تُدير قوى دفع تيار البخار الشفرات الدوارة للعنفة. تعطي معادلة أويلر التالية عزم الدوران الناشئ على محور العنفة

(3.5)	$M = m (R_1 c_{1u} - R_2 c_{2u}) \quad [\text{Nm}]$
-------	---

حيث:  $M$  التدفق الكتلي للوسيط  $[\text{kJ/s}]$

$R_1$  و  $R_2$  نصف القطر الوسطي لمقطع الدخول والخروج للدولاب الدوار  $[\text{m}]$

$c_{1u}$  و  $c_{2u}$  المركبات المحيطية لسرعة البخار عند مقطع الدخول والخروج للدولاب الدوار

$[\text{m/s}]$ .

يسمى جداء نصف القطر  $R$  في المركبة المحيطة الدفع، وهو عزم الدوران. تؤثر عند مقطع الدخول قوة دفع باتجاه الجريان وعند مقطع الخروج قوة عكس اتجاه الجريان. تنشأ بفعل انحراف الوسيط قوة رد فعل تؤثر على الشفرة.

تطبق العلاقة 3.5 ليس على العنفات البخارية والغازية وحسب وإنما كذلك على آلات الجريان الأخرى (المراوح، المضخات، الضواغط في محطات العنفات الغازية).

تُحدد استطاعة العنفة البخارية بمساعدة معادلة أولير. تحسب استطاعة مرحلة من العنفة من عزم الدوران  $M$  [Nm] وسرعة الدوران  $\omega$  [1/s] للدولاب الدوار:

$$P_s = M \omega = m (u_1 c_{1u} - u_2 c_{2u}) \quad [W] \quad (4.5)$$

تحسب السرعات المحيطة  $u_1$  و  $u_2$  عند مقطع الدخول أو الخروج للدولاب الدوار كما يلي:

$$u_1 = R_1 \omega \quad \text{و} \quad u_2 = R_2 \omega \quad (5.5)$$

ينتج العمل النوعي في المرحلة  $w_{st}$  لعنفة من الاستطاعة  $P_{stage}$  للمرحلة والتدفق الكتلي للوسيط العامل  $m$ :

$$w_{stage} = P_{stage} / m = u_1 c_{1u} - u_2 c_{2u} \quad [J/kg] \quad (6.5)$$

يأجراء تحويل بسيط للمعادلة أعلاه تنتج معادلة أولير:

$$w_{stage} = \frac{1}{2} [(c_1^2 - c_2^2) + (u_1^2 - u_2^2) - (w_1^2 - w_2^2)] \quad [J/kg] \quad (7.5)$$

حيث:  $w_1$  و  $w_2$  مركبات (منسوبة إلى الدوران) سرعة الجريان عند مقطع الدخول والخروج للدولاب الدوار [m/s].

عند معرفة السرعات يمكن حساب تحول الطاقة في الدولاب الدوار. بحسب القانون الأول في الترموديناميك يمكن حساب عمل المرحلة النوعي بدون ضياعات كما يلي:

$$w_{st} = \Delta h_{is} + \frac{1}{2} (c_1^2 - c_2^2) \quad (8.5)$$

ولحساب هبوط الانتالي  $\Delta h_{is}$  عند تمدد ايزونثري في الدولاب الدوار للعنفة نكتب:

$$\Delta h_{is} = h_1 - h_2 = \frac{1}{2} [(u_1^2 - u_2^2) - (w_1^2 - w_2^2)] \quad [J/kg] \quad (9.5)$$

وبمراعاة مردود الدولاب الدوار  $\eta_R$  تنتج سرعة الخروج خلف الدوار:

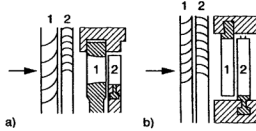
$$w_2 = w_{2is} \sqrt{\eta_R} = \sqrt{\eta_R} \{ \Delta h_{is} + \frac{1}{2} [w_1^2 - (u_1^2 - u_2^2)] \} \quad [m/s] \quad (10.5)$$

## 2.5 أنواع العنفات البخارية

### عنفات الضغط المتساوي والضغط العالي

تُقسم العنفات تبعاً لطريقة اصطدام الوسيط بالشفرات إلى عنفات ضغط متساوٍ وعنفات ضغط عالٍ. !

يبين الشكل (4.5) بشكل تخطيطي مرحلة ذات ضغط متساوٍ وأخرى ذات ضغط عالٍ.



الشكل 4.5 : (a) مرحلة الضغط المتساوي 1 - فوهة 2 - شفرات دوارة،  
(b) مرحلة الضغط العالي 1 - شفرات التوجيه 2 - الشفرات الدوارة.

تألف المرحلة في العنفة من دولاب (عجلة) توجيه ساكن ودولاب دوار ذي شفرات دوارة. يبين الشكل (a5.5) تحويلات السرعة وكذلك الضغط في المرحلة الواحدة لعنفة ذات ضغط متساوٍ وأخرى ذات ضغط عالٍ، ويتضح من هذا الشكل أن الضغط في العنفة ذات الضغط المتساوي يتناقص في دولاب التوجيه ويبقى في الدولاب الدوار ثابتاً. تزداد سرعة البخار C في دولاب التوجيه وتتناقص في الدولاب الدوار بحيث يجري البخار عند مدخل الدولاب الدوار ومخرجه بنفس السرعة.

يتحول هبوط الاتتالي للمرحلة  $\Delta h_s$  [J/kg] في عنفة الضغط المتساوي عند تمدد البخار في فوهات دولاب التوجيه إلى طاقة حركية بشكل كامل وتصبح سرعة اندفاع البخار الذي يخرج:

$$(11.5) \quad w_2 = (\Delta h_{st} + w_1^2)^{0.5} \quad [\text{m/s}]$$

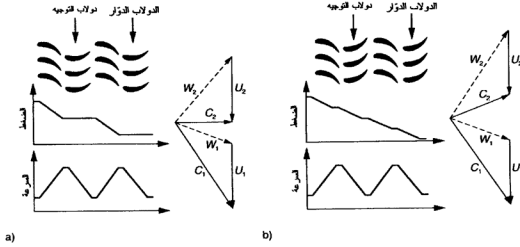
تُعرف درجة رد الفعل  $r$  لعنفة بخارية بأنها نسبة هبوط الاتتالي في الدولاب الدوار  $\Delta h_R$  إلى هبوط الاتتالي للمرحلة كلها  $\Delta h_{st}$ :

$$(12.5) \quad r = \Delta h_R / \Delta h_{st}$$

إن قيمة درجة رد الفعل في العنفات ذات الضغط المتساوي معدومة (تساوي الصفر).  
يتم في مرحلة العنف ذات الضغط العالي استخدام هبوط الإنتالي في الدولاب الدوار ودولاب التوجيه:

$$\Delta h_{\text{stage}} = \Delta h_{\text{GB}} + \Delta H_R \quad (13.2)$$

ويرافق ذلك انخفاض للضغط  $p$  في الدولاب الدوار ودولاب التوجيه (الشكل b5.5).



الشكل 5.5 : تحويلات السرعة وشكل (بروفيل) الضغط لـ (a) عنفة ذات ضغط متساوٍ ثنائية المراحل (b) عنفة ذات ضغط عالٍ مؤلفة من مرحلتين.

عندما تكون درجة رد الفعل  $r$  مساوية لـ 0.5 يكون هبوط الإنتالي في دولاب التوجيه والدولاب الدوار متساوياً. تتألف مرحلة كورتيس Curtis من دولاب توجيه ودولاب دوار ذي حلقتين. يوجد بين الشفرتين الدوارتين شفرة ساكنة تعكس اتجاه حركة الجريان. يشابه تحويل السرعة وشكل (بروفيل) الضغط نظريهما في مرحلة العنف ذات الضغط المتساوي.

#### عدد المراحل

تُحسب السرعة المحيطية المثلى للدولاب الدوار  $u_{\text{opt}}$  من أجل عنفة ذات ضغط متساوٍ أو عالٍ كما يلي:

من أجل العنف ذات الضغط المتساوي:

$$u_{\text{opt}} = 2c_1 \cos \alpha_1 \quad (14.5)$$

ومن أجل العنفة التي درجة رد فعلها  $r = 0.5$

$$(15.5) \quad u_{opt} = c_1 \cos \alpha_1$$

تقسم العنفات ذات الاستطاعات العالية إلى ثلاثة أجزاء: ذي الضغط العالي، ذي الضغط المتوسط وذي الضغط المنخفض ويكون لها ثلاثة أغلفة (صناديق).

يحسب هبوط الإنتالي الأعظمي في مرحلة واحدة لعنفة متساوية الضغط أو ذات ضغط عالٍ عندما تكون قيمة عامل رد الفعل  $r = 0.5$  كما يلي:

$$(16.5) \quad \begin{aligned} \Delta h_{stage} &= \Delta h_{GB} = (2 c_1 \cos \alpha_1)^2 / 2 \\ &= (2.300)^2 / 2 \text{ (m / s)}^2 = 180 \text{ kJ/kg} \end{aligned}$$

و:

$$(17.5) \quad \begin{aligned} \Delta h_{stage} &= \Delta h_{GB} + \Delta h_R = 2 (c_1 \cos \alpha_1)^2 / 2 \\ &= (2.300)^2 / 2 \text{ (m / s)}^2 = 90 \text{ kJ/kg} \end{aligned}$$

تكون السرعة المحيطية في الجزء ذي الضغط المنخفض من العنفة محدودة بـ 300 m/s أما في جزئي الضغط المتوسط والعالي فإن السرعة المحيطية أصغر بسبب صغر الحجم النوعي. من أجل سرعة محيطية قيمتها 300 m/s ينتج من أجل الجزء ذي الضغط المنخفض للعنفة ذات الضغط المتساوي أو العنفة ذات الضغط العالي ما يلي:

$$\Delta h_{stage} = (2.300)^2 / 2 \text{ (m / s)}^2 = 180 \text{ kJ/kg}$$

و:

$$\Delta h_{stage} = (2.300)^2 / 2 \text{ (m / s)}^2 = 90 \text{ kJ/kg}$$

القيم النمطية (السائدة) لـ  $\Delta h_{stage}$  لمرحلة في الأجزاء المرتفعة أو المتوسطة الضغط للعنفة ذات الضغط العالي تتراوح بين 40 و 60 kJ/kg وفي العنفات ذات الضغط المتساوي تكون القيمة هي الضعف.

ينتج عدد المراحل  $n$  من هبوط الإنتالي الإجمالي  $\Delta h_{total}$  والهبوط الوسطي للمرحلة في الجزء ذي الضغط العالي أو المتوسط أو المنخفض للعنفة. يكون عدد المراحل في العنفات ذات الضغط العالي أكبر منه في العنفات ذات الضغط المتساوي.

#### العنفات ذات التكاليف وعنفات الضغط الخلفي

وفقاً لضغط البخار المغادر للعنفة هناك نوعان من العنفات: الأول ذو تكثيف البخار والثاني ذو الضغط الخلفي. في العنفات ذات تكاثف البخار يحدث تمدد للبخار إلى ضغط أقل من الضغط



الجوي (0.035 - 0.06 bar)، وذلك في مكثف. يتكاثف البخار عند درجة حرارة تقع بين 20 و 30 °C. يبلغ المردود الكهربائي لعملية البخار في العنفات ذات التكاثف حوالي 38 %. هنا يطرح في المكثف مع ماء التبريد حوالي 60 % من طاقة الوقود، وتصرّف هذه الحرارة إلى الوسط الخارجي. تستخدم العنفات ذات التكاثف من أجل توليد الكهرباء حصراً، أما إذا كان الغرض هو الحصول على طاقة حرارية فتستخدم عنفات ذات سحب البخار (استنزاف) عند ضغوط مختلفة. تتميز العنفات ذات الضغط الخلفي بارتفاع ضغط البخار المغادر للعنفه، وهي تستخدم في المنشآت الصناعية، حيث تتم مواءمة ضغط البخار المغادر للعنفه مع مواصفات البخار المطلوبة لمستهلك البخار أو الحرارة. ولضمان تأمين درجات حرارة المستهلك يكون الضغط عادة حوالي 1 bar. جرّاء ارتفاع ضغط البخار المغادر للعنفه يقلّ العمل المفيد للعنفه ويصبح المردود الكهربائي 30 حتى 35 % فقط. تبلغ قيمة المردود الإجمالي للمنشأة، أي نسبة الطاقة الإجمالية المفيدة (تبار وحرارة عملية أو حرارة تسخين) إلى الطاقة التي يحملها معه الوقود المستخدم: 80 إلى 85 %.

سنتعرض في الفصل الثامن لاستخدام العنفات ذات الضغط الخلفي وللعنفات ذات سحب البخار في محطات توليد الكهرباء والحرارة معاً.

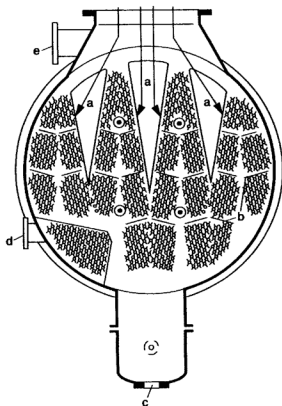
#### التحكم بالوحدات ذات المكثف

يُحدّد نوع التحكم السلوك الديناميكي لوحدة التوليد واستهلاك الحرارة الموافق للحمولة. وهناك نوعان لطريقة التشغيل أحدهما عند ضغط ثابت والآخر عند ضغط متدرج. عند التشغيل بضغط ثابت يبقى ضغط البخار المولّد ثابتاً بصرف النظر عن الحمل، أما عند التشغيل بضغط متدرج فيتغير ضغط البخار الطازج تبعاً للحمولة.

### 3.5 تصميم المكثفات والمسخنات الأولية لماء التغذية

**المكثف - المسخن الأولي لماء التغذية** - صاحب الحرارة من البخار المبرد تستخدم في محطات الطاقة عنفات بخارية ومكثفات للبخار، بالإضافة إلى المسخنات الأولية المتجددة لماء التغذية وساحبات الحرارة من البخار ومبردات الماء المتكاثف، ويستخدم من أجل ذلك المبادلات الحرارية الاسترجاعية التي يجري بها انتقال الحرارة من بخار الماء المتكاثف إلى ماء التبريد أو التسخين أو ماء تغذية المرجل.

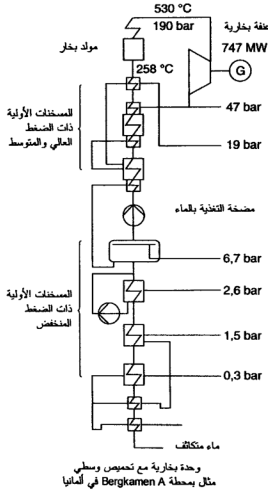
لاستغلال الحرارة بشكل أفضل تستخدم في كثير من الأحيان ساحبات الحرارة من البخار وميردات الماء المتكاثف. يُبرد البخار المحمص في ساحب الحرارة من البخار إلى درجة حرارة الإشباع عند ضغط معين، وذلك في مسخن ماء تغذية أولي يلي المحمص. يتم في ميرد الماء المتكاثف سحب الحرارة من البخار المتكاثف (الماء) وإعطاؤها إلى ماء تغذية المرجل، ليتم تسخينه تسخيناً أولياً. إن المكثفات والمسخنات الأولية للماء وساحبات الحرارة من البخار المحمص هي جميعها مبادلات حرارية (heat exchangers) من النوع (ماء — بخار)، أما ميردات الماء المتكاثف فهي مبادلات حرارية من النوع (ماء — ماء).  
يوضح الشكل (6.5) بشكل تخطيطي مكثف عنفه بخارية.



الشكل 6.5 : مكثف عنفه البخارية (a) فتحات بخار في جدار الأنبوب الحامل (b) صفائح توجيه (c) مخرج السائل المتكاثف (d) مساند امتصاص الهواء (e) فتحة تصريف عند الطوارئ.

من وجهة النظر الترموديناميكية يفضل تسخين ماء تغذية المرجل بشكل أولي بالتكثيف المباشر للبخار المستنزف في المسخنات الأولية التي تعمل بالمرج، ومن أجل  $n$  مرحلة لتسخين ماء التغذية

يلزم ( $n + 1$ ) مضخة مياه تغذية، مما يجعل استطاعة تشغيل هذه المضخات كبيرة جداً، ولهذا تستخدم في المنشآت الكبيرة وبشكل رئيسي المسخنات الأولية المقفلة. يتم التسخين الأولي لماء التغذية في خزان ماء التغذية بشكل مماثل تماماً لحلاط التسخين الأولي عن طريق التلامس المباشر بين البخار والماء.



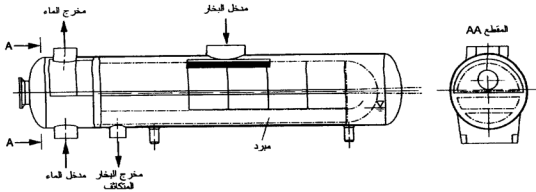
الشكل 7.5 : مخطط التوصيلات للدوري الماء والبخار.

يجري نقل ماء التغذية بمساعدة مضخة البخار المتكاثف عبر سلسلة من المسخنات الأولية ذات الضغط المنخفض، وبذلك يتم تسخين ماء التغذية من درجة حرارة تكاثف الماء (حوالي 35 °C وبحسب ضغط المكثف) إلى درجة الحرارة 150 °C. تستخدم من أجل التسخين الأولي حرارة تكثيف البخار المأخوذ من العنف. يرتفع ضغط البخار الساخن من 0.1 إلى 0.2 bar في المرحلة

الأولى إلى حوالي 10 bar في المرحلة الأخيرة ذات الضغط المنخفض قبل خزان ماء تغذية المرجل. يُبرّد البخار الحار المتكاثف (الماء) أولاً في مررد خاص ثم يُنقل إلى مسخن أولي للماء ذي ضغط بخار منخفض وبهذا يمكن تحقيق ارتفاع محسوس في المررد.

يبين الشكل (7.5) مخطط مبدأ وصل دورة الماء ودورة البخار، بثلاث مسخنات أولية منخفضة الضغط، ومسخن أولي متوسط الضغط، ومسخن أولي آخر منخفض الضغط. يوجد قبل كل من المسخن الأولي ذي الضغط العالي أو ذي الضغط المتوسط صاحب حرارة من البخار، حيث يتم فيه تبريد البخار المستنزف من المحمص إلى درجة حرارة الإشباع، وتنقل حرارة تحميص البخار إلى ماء التغذية.

والشكل (8.5) يبين تركيب مسخن أولي مغطى ذي ضغط منخفض مع حزمة أنابيب على شكل U. يجري ماء التغذية داخل حزمة الأنابيب (جهة الأنبوب) أما بخار التسخين فيجري بين الأنابيب (جهة الغلاف).



**الشكل 8.5 :** تركيب مسخن أولي ذي ضغط منخفض مع حزمة أنابيب على شكل U.

تستخدم لرفع مردود المنشأة 9 مراحل لتسخين الماء تسخيناً أولياً، وذلك بمساعدة ساحبات حرارة البخار. يتم تبريد البخار المستنزف في ساحبات حرارة البخار وإيصاله إلى درجة حرارة الإشباع. يمكن على سبيل المثال رفع درجة حرارة ماء التغذية حتى 322 °C وذلك عن طريق الاستنزاف من العنفة البخارية ذات الضغط العالي عند 113 bar و يربط ساحبي حرارة من البخار قبل ذلك لاستنزاف البخار من عنفة الضغط المتوسط.

كذلك يمكن وصل ساحبي حرارة من البخار بعد الاستنزاف من العنفة ذات الضغط العالي. يمكن ضخ الماء المتكاثف إما إلى المسخنات الأولية للماء التالية ذات الضغط المنخفض أو إلى خط تغذية الماء فوق المسخنات في ساحبات حرارة البخار المنفصلة.

تسحب حرارة التخميص للبخار المستنزف وتعطى لماء التغذية عند درجات حرارة عالية ويتدرج منخفض. التدرج  $\Delta T$  هو الفرق بين درجة حرارة الإشباع للبخار ودرجة حرارة خروج ماء التغذية ويمكن أن يصل إلى 2 K -.

### الاستطاعة الحرارية المتبادلة

يمكن حساب استطاعة المتبادلة في المكثف، والمسخن الأولي المقفل لماء التغذية وساحب الحرارة من البخار والمنتقلة من البخار إلى الماء من الموازنة الحرارية التالية:

$$(18.5) \quad \begin{aligned} Q &= m_v (h_v - h_c) \\ &= m_w c_{p,w} (t_{w,out} - t_{w,ent}) \quad [W] \end{aligned}$$

حيث:  $m_v$  و  $m_w$  التدفق الكتلي للبخار أو ماء التبريد وماء تغذية المرجل [kg/s]

$h_v$  و  $h_c$  الانتالي النوعي للبخار وللماء المتكاثف [J/kg]

$c_{p,w}$  السعة الحرارية النوعية للماء [J/kg K]

$T_{w,ent}$  و  $t_{w,out}$  درجة حرارة الدخول والخروج للماء [°C].

وبحسب التيار الحراري في مبرد الماء المتكاثف من العلاقة التالية:

$$(19.5) \quad \begin{aligned} Q &= m_c c_{p,c} (t_{c,out} - t_{c,ent}) \\ &= m_w c_{p,w} (t_{w,out} - t_{w,ent}) \quad [W] \end{aligned}$$

حيث:  $m_c$  أو  $m_w$  التدفق الكتلي للبخار المتكاثف أو ماء التغذية [kg/s]

$c_{p,c}$  أو  $c_{p,w}$  السعة الحرارية للبخار المتكاثف أو ماء التغذية [J/kg K]

$t_{c,ent}$  أو  $t_{c,out}$  درجة حرارة الدخول والخروج للبخار المتكاثف [°C]

$T_{w,ent}$  و  $t_{w,out}$  درجة حرارة الدخول والخروج لماء التغذية [°C].

وبحسب سطح التسخين اللازم للمكثف أو لمسخن ماء التغذية الأولي أو لساحب حرارة البخار كما يلي:

$$(20.5) \quad A = Q / k \Delta t_m \quad [m^2]$$

حيث:  $k$  عامل نفوذ الحرارة [W/m² K]

$\Delta t_m$  فرق درجات الحرارة الوسطي [K].

لحساب فرق درجات الحرارة الوسطي في المكثف أو لمسخن الأولي للماء تطبق المعادلة التالية:

(21.5)

$$\Delta t_m = \Delta t_w / \ln [(t_s - t_{w,ent}) / (t_s - t_{w,exit})] \quad [K]$$

حيث:  $\Delta t_w$  فرق درجات الحرارة لماء التبريد أو التغذية

$t_s$  درجة حرارة الإشباع عند ضغط المكثف أو مسخن الأولي للماء [°C]

$t_{w,ent}$  أو  $t_{w,out}$  درجة حرارة الدخول أو الخروج [°C].

ينتج وفق درجات الحرارة الأعظمي أو الأصغري كما يلي:

$$\Delta t_{max} = t_s - t_{w,ent}$$

(22.5)

$$\Delta t_{min} = t_s - t_{w,exit} \quad [K]$$

أو:

يبين الشكل (9.5) تحويلات درجة الحرارة عند سحب حرارة من البخار أو التكثيف أو التبريد إلى مادون نقطة التكثف. يقصد بالتدرج في مسخن أولي لماء التغذية أو ساحب لحرارة البخار أو مبرد البخار المتكثف فرق درجات الحرارة الأصغري بين الموائع (الوسائط) الموجودة في جهة البخار وجهة الماء ونحسب من العلاقة:

(23.5)

$$\Delta t_{End} = t_s - t_6$$

ينتج تدرج منطقة التكثف أو تدرج التبريد إلى مادون التكثف من العلاقة:

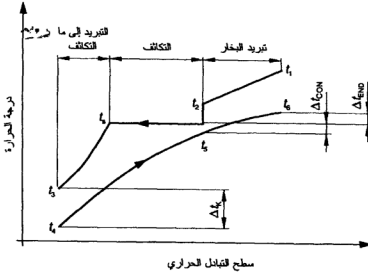
(24.5)

$$\Delta t_{con} = t_s - t_5$$

أما تدرج التبريد إلى ما دون التكثف فينتج من العلاقة التالية:

(25.5)

$$\Delta t_c = t_3 - t_4$$



$\Delta t_{END} = t_1 - t_6$  التدرج النهائي  
 $\Delta t_{CON} = t_1 - t_5$  تدرج منطقة التكثف  
 $\Delta t_c = t_3 - t_4$  تدرج التبريد إلى ما دون التكثف

الشكل 9.5: تحويلات درجة الحرارة عند سحب حرارة البخار، التكثف، التبريد إلى ما دون التكثف.

### عامل نفوذ الحرارة

لحساب عامل نفوذ الحرارة في مكثف أو مسخن أولي للماء أو صاحب لحرارة البخار أو مبرد الماء المتكثف، وعندما تكون الأنابيب رقيقة، يمكن استخدام المعادلة التقريبية التالية:

$$(26.5) \quad k = \frac{1}{1/\alpha_{out} + (\delta/\lambda)_{dirt,ext} + (\delta/\lambda)_w + (\delta/\lambda)_{dirt,int} + 1/\alpha_i} \quad [W/m^2K]$$

حيث:  $\alpha_i$  أو  $\alpha_{out}$  عامل انتقال الحرارة في الجهة الداخلية أو الخارجية

$\delta$  سماكة جدار الأنبوب أو طبقة الاتساخ

$\lambda_{dirt,ext,int}$  عامل توصيل الحرارة.

الدلائل  $w, dirt, ext, int$  تعني جدار الأنبوب وطبقة الاتساخ في الجهة الخارجية وفي الجهة الداخلية. يحسب عامل نفوذ الحرارة عند السطح الوسطي  $A_m$  للجدران السمكية للأنابيب من العلاقة التقريبية التالية:

$$(27.5) \quad k = \frac{1}{A_m / \alpha_{ext} A_{ext} + (A_m / 2\pi \lambda l) \ln (d_{ext} / d_{int}) + A_m / \alpha_{int} A_{int}}$$

حيث:  $A$  مساحة السطح الخارجي للجدار

$d$  قطر الأنبوب

$\alpha$  عامل انتقال الحرارة

$\lambda$  عامل توصيل الحرارة

$l$  طول الأنبوب

الدليل  $ext$  يشير إلى السطح الخارجي لجدار الأنبوب و  $int$  للسطح الداخلي للجدار.

يتطلب تحديد قيمة  $k$  معرفة عوامل انتقال الحرارة للجهة الداخلية والخارجية لكل من المكثف ومسخن الماء الأولي، وساحب الحرارة أو المبرد، ولحسابها تستخدم المعادلات الواردة فيما يلي.

### عامل توصيل الحرارة عند تكاثف البخار

تصنع مكثفات العنفات البخارية عادة بحيث تكون حزمة من الأنابيب الأفقية. وبحسب عامل انتقال الحرارة  $\alpha_v$  عند تكاثف غشاء البخار على السطح الخارجي لأنبوب أفقي من المعادلة التالية:

$$(28.5) \quad \alpha_v = 0.726 \{ \lambda^3 \rho^2 g h_{eve} / \mu (t_g - t_w) d_{ext} \}^{0.25} \quad [W/m^2K]$$

حيث:  $\lambda$  عامل توصيل الحرارة للماء المتكاثف  $[W/m k]$

$P$  الكتلة النوعية للبخار المتكاثف  $[kg/m^3]$

$g$  التسارع الأرضي  $[m/s^2 \ 9.81]$

$h_{eva}$  انتالي الكثائف (تساوي قيمة انتالي التبخر)  $[J/kg]$

$\mu$  اللزوجة الديناميكية للماء المتكاثف  $[Pas]$

$t_s$  درجة حرارة الإشباع  $[^\circ C]$

$t_w$  درجة حرارة جدار الأنبوب  $[^\circ C]$

$d_{ext}$  القطر الخارجي للأنبوب  $[m]$ .

تؤخذ القيم المميزة للماء المتكاثف ( $\lambda$ ,  $\rho$ ,  $\mu$ ) عند درجة الحرارة الوسطية:

$$t_m = 0.5 (t_s + t_w)$$

أما انتالي الكثائف  $h_{eva}$  فيؤخذ عند ضغط الماء المتكاثف.

يجب تصحيح المعادلة 28.5 من أجل حزمة أنابيب أفقية تحوي  $n$  صفاً من الأنابيب التي تقع فوق بعضها البعض وتحسب قيمة  $\alpha$  في هذه الحالة كما يلي:

$$\alpha_B = \alpha / n^{0.17} \quad [W/m^2K] \quad (29.5)$$

إذا كانت  $n < 20$  يمكن عندئذ اعتبار  $\alpha_B = \alpha$ .

بتكثيف بخار الماء في أنبوب شاقولي وحيد أو في حزمة أنابيب يُحسب عامل نفوذ الحرارة كما

يلي:

$$\alpha_v = 0.943 \{ \lambda^3 \rho^2 g h_{eva} / \mu (t_s - t_w) H \}^{0.25} \quad [W/m^3K] \quad (30.5)$$

حيث:  $H$  ارتفاع الأنبوب أو حزمة الأنابيب  $[m]$ .

**عامل انتقال الحرارة الداخلي**

ينتج عامل انتقال الحرارة  $\alpha_{int}$  من أجل جريان داخلي للماء في أنابيب مكثف أو مسخن أولي للماء أو صاحب لحرارة البخار أو مررد للماء من علاقة رقم نوسل التالية:

$$\alpha_i = Nu \lambda / d_i \quad (31.5)$$

حيث:  $Nu$  رقم نوسل

$\lambda$  عامل توصيل الحرارة للماء

$d_i$  القطر الداخلي للأنبوب.



يُحسب رقم نوسل من أجل جريان مضطرب ماء التبريد في المكثف وفي المجال  $Re > 2320$  و  $Pr = 1.5 - 500$  كما يلي:

$$Nu = 0.012 (Re^{0.87} - 280) Pr^{0.4} [1 + (d_i / L)^{2/3}] (Pr / Pr_w)^{0.11} \quad (32.5)$$

حيث:  $Re = w d_{int} / \nu$  رقم رينولدز

$w$  سرعة الجريان

$d_{int}$  القطر الداخلي للأنبوب [m]

$\nu$  اللزوجة الحركية للماء المتكاثف [m<sup>2</sup>/s]

$L$  طول الأنبوب [m]

$Pr$  أو  $Pr_w$  رقم برانتل للماء عند درجة حرارة متوسطة  $t_m$  أو عند درجة الحرارة الجدار  $t_w$ .

تؤخذ القيم المميزة ( $\lambda$ ,  $\nu$ ) ورقم برانتل  $Pr$  عند درجة وسطية للماء  $t_m = 0.5 (t_{w,ent} + t_{x,exit})$ .

يبين الجدول (1.5) قيماً استرشادية لعامل نفوذ الحرارة والتدرج  $\Delta T$  من أجل مسخنات الماء الأولية وساحبات حرارة ومبردات المكثف.

الجدول 1.5: عامل نفوذ الحرارة  $K$  والتدرج  $\Delta T$  لمسخنات الماء الأولية وللمبردات ولساحبات الحرارة من البخار

المبادل الحراري	$k$ بالـ [W/m <sup>2</sup> K]	$\Delta T$ [K]
مسخن ماء أولي ذو ضغط عالٍ	4500 – 3500	من 1 إلى 4
مسخن ماء أولي ذو ضغط منخفض ( $P > \text{barl}$ )	3500 – 2500	من 3 إلى 5
مسخن ماء أولي ذو ضغط منخفض ( $P < \text{barl}$ )	2500 – 1500	من 3 إلى 5
ساحب حرارة البخار لمسخن الماء الأولي	1000 – 400	
مبرد الماء المتكاثف ذو الضغط العالي	4000 – 2500	من 5 إلى 10
مبرد الماء المتكاثف ذو الضغط المنخفض	3000 – 2500	من 5 إلى 10

ضياح (هيوط) الضغط في مكثف عنفة بخارية

يتألف ضياح الضغط الإجمالي  $\Delta p$  من جهة ماء التبريد في مكثف من الضياح في الأنبوب بفعل الاحتكاك  $\Delta p_{fr}$  وضياحات الضغط عند وصلات دخول ماء التبريد وخروجه  $\Delta p_{CW,ent}$  و

وضياحات الضغط عند مدخل الأنبوب ومخرجه  $(\Delta p_{exit} \text{ و } \Delta p_{ent})$

$$\Delta p = \Delta p_{fr} + \Delta p_{CW,ent} + \Delta p_{CW,exit} + \Delta p_{ent} + \Delta p_{exit} \quad [\text{Pa}] \quad (33.5)$$

أما ضياح الاحتكاك في الأنبوب فهو:

(34.5)

$$\Delta p_f = \lambda (L / d) \rho w^2 / 2 \quad [\text{Pa}]$$

حيث:  $\lambda$  عامل الاحتكاك في الأنبوب

$L$  و  $d$  طول الأنبوب وقطره [m]

$\rho$  الكتلة النوعية لماء التبريد [ $\text{kg/m}^3$ ]

$w$  سرعة ماء التبريد [m/s].

ومن أجل الأنابيب الملساء هيدروليكيًا (مثلاً النحاس الأصفر) تطبق العلاقة التالية:

$$\lambda = 0.3164 / Re^{0.25} \quad (35.5)$$

حيث:  $Re = w d / \nu$  رقم رينولدز

$\nu$  اللزوجة الحركية للماء [ $\text{m}^2/\text{s}$ ]

تحدد المقاومات المختلفة  $\Delta p_{CW,ent}$ ،  $\Delta p_{CW,exit}$ ،  $\Delta p_{ent}$  و  $\Delta p_{exit}$  كما يلي:

(36.3)

$$\Delta p = \xi \rho w^2 / 2 \quad [\text{Pa}]$$

كما تحسب عوامل المقاومة  $\xi$  كما يلي:

$$\xi_{ent} = 0.25 - 0.3; \xi_{exit} = 0.5 - 0.6$$

$$\xi_{cw,ent} = (1 - A_{ent} / A_{w,ent})^2$$

$$\xi_{cw,exit} = 0.42 (1 - A_{exit} / A_{w,exit}) \quad (37.5)$$

حيث:  $A_{ent}$  و  $A_{exit}$  مساحة المقطع الإجمالية لوصلات دخول ماء التبريد أو خروجه

$A_{w,ent}$  أو  $A_{w,exit}$  المساحة الإجمالية لأرضية حجرة الماء عند الدخول أو الخروج.

يشكل ضياع الضغط في الأنابيب حوالي 80 % من ضياعات الضغط الإجمالية في المكثف.

## 4.5 وحدات ماء التبريد

يتم طرح حرارة التكاثف من المكثف عن طريق ماء التبريد، وينتج التيار الحراري المطروح من

الموازنة الحرارية للمكثف:

(38.5)

$$Q_R = m_v \Delta h = m_w c_{pw} \Delta t_w \quad [\text{W}]$$

حيث:  $Q_R$  التدفق الكتلي للبخار [ $\text{kg/s}$ ]

$\Delta h$  فرق الإنتالبي بين البخار والبخار المتكاثف [J/kg]

$m_w$  التدفق الكتلي لماء التبريد [kg/s]

$c_{pw}$  السعة الحرارية النوعية لماء التبريد [J/kg K]

$\Delta t_w$  فرق درجات الحرارة لماء التبريد بين مغرج المبرد ومدخله [K].

من أجل سطح تبريد معلوم  $A$  في مكثف فإن فرق درجات الحرارة لماء التبريد بحسب كما يلي:

$$(39.5) \quad \Delta t_w = t_{w,exit} - t_{w,ent} = (t_s - t_{w,ent}) - [1 - \exp(-k A / m_w c_{pw})] \text{ [K]}$$

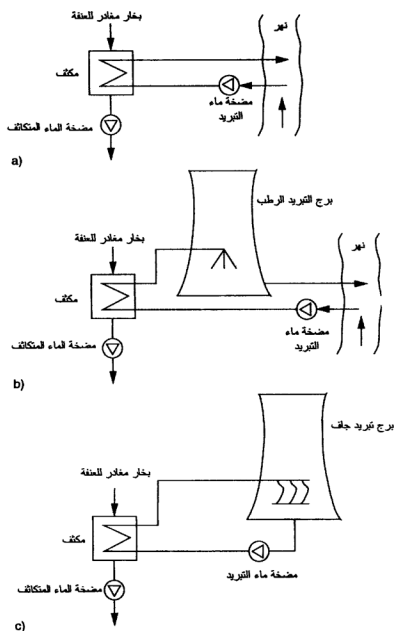
حيث:  $t_{w,exit}$  أو  $t_{w,ent}$  درجة حرارة الخروج أو الدخول لماء التبريد في المكثف [K]

$t_s$  درجة حرارة الإشباع عند ضغط المكثف [°C]

$K$  عامل نفوذ الحرارة [W/m²K].

يبين الشكل (10.5) وحدات تبريد الماء المستخدمة في محطات الطاقة بشكل تخطيطي، ثمة ثلاثة أنواع من وحدات التبريد ذات الماء الجاري وذات الماء المنفلت (الضائع) وذات الماء الذي يعاد تدويره. يبين الشكل (a10.5) الوحدة ذات الماء الجاري. يؤخذ الماء من التيار الجاري ويُقى من الشوائب الميكانيكية ثم يضخ إلى مكثف العنف، ومن هناك يعاد ماء التبريد الذي أصبح دافئاً إلى النهر ثانية. من وجهة النظر الترموديناميكية فإن هذه الوحدة هي الأفضل، ولكن ذلك يشكل عبئاً حرارياً على الماء، ولذلك لا تُستخدم إلا بشكل محدود. أما في الوحدة ذات المائع الضائع (الشكل b10.5) فيوصل بعد المكثف وقبل الوصول إلى مجرى الماء الرئيسي برج تبريد رطب، وتكمن ميزة هذه الطريقة في قلة الحرارة المنقولة إلى مجرى الماء (النهر)، أما عيبها فهو التكاليف الإضافية لبرج التبريد. الطريقتان المذكورتان أعلاه مناسبتان فقط في المواقع التي تتوفر فيها المياه بكميات كافية. أما في وحدة التبريد من النوع الثالث، أي ذات الماء الذي يعاد تدويره، فيجري تبريد ماء التبريد في برج جاف أو رطب ثم يعاد سوجه إلى المكثف ثانية. يجري تعويض ضياعات الماء التي تحصل في برج التذير بالتطير أو التذير أو مع الأوحال عن طريق إضافة مياه جديدة. ويبين الشكل (c10.5) وحدة تبريد الماء ذات إعادة تدوير الماء مع برج تبريد جاف، وتعتبر هذه الطريقة أسلوب تبريد جاف غير مباشر. وبهذا يُساق ماء التبريد من مكثف العنف إلى برج تبريد جاف عبر مكثف سطحي (مقل) أو مكثف حقن بعد أن يكون بُرد بالهواء المحيط ثم يُعاد إلى مكثف العنف ثانية.

٤



**الشكل 10.5 :** (a) وحدة تبريد الماء ذات الماء الجاري (b) وحدة تبريد الماء ذات الماء الضائع (c) وحدة تبريد الماء ذات إعادة تدوير الماء.

يستخدم في وحدات التبريد المهيمنة (المختلطة) بشكل ممتاز خليط من التبريد الجاف والرطب. تستخدم في محطات الطاقة لإرجاع ماء التبريد إلى مكثف العنفة أبراج تبريد جافة ورطبة.

يُرش في برج التبريد ماء التبريد الساخن (تدفقه الكتلي  $m_w$  [kg/s] ودرجة حرارته  $t_w$ ) فيتطاير جزء صغير من الماء ( $\Delta m_w$ ) مما يؤدي إلى تناقص درجة حرارة ماء التبريد. عن طريق إضافة ماء إضافي (بتدفق  $\Delta m_w$  ودرجة حرارة  $t_w$ ) فإن كمية الماء المغادر من ماء التبريد تكون مساوية لـ  $m_w$  ولها درجة حرارة  $t_{w,ent}$ . يسخن تيار الهواء الصاعد في برج التبريد (تدفقه الكتلي  $m_A$  بالـ kg من الهواء الجاف في الثانية) وترتفع رطوبته وتزداد قيمته الاتتالي ومحتوى الرطوبة للهواء من القيم المقابلة للهواء الخارج  $h_1$  و  $x_1$  إلى قيم توافق الخروج من برج التبريد  $h_2$  [جول لكل كغ هواء جاف] و  $x_2$  (كغ بخار ماء لكل كغ هواء جاف).  
من موازنة الكتل في برج التبريد الرطب ينتج التدفق الكتلي لماء التبريد المتطاير أو كمية الماء اللازم إضافتها:

$$\Delta m_w = m_A (x_2 - x_1) \quad [\text{kg/s}] \quad (40.5)$$

ومن الموازنة الحرارية لجملة التبريد التي تتألف من المكثف وبرج التبريد الرطب، تنتج استطاعة التبريد.

$$Q = m_w c_{pw} \Delta t_w = m_A \Delta h_A - m_w c_{pw} \Delta t_w \quad [\text{W}] \quad (41.5)$$

حيث:  $\Delta h_A = h_2 - h_1$  ارتفاع الإتنالي للهواء في برج التبريد [J لكل kg هواء جاف].  
ومنه ينتج استهلاك الماء الإضافي المنسوب لكل 1 kg من ماء التبريد

$$\Delta m_w / m_w = c_{pw} \Delta t_w / (\Delta h_A / \Delta x_A - c_p \Delta t_w) \quad [\text{kg/kg}] \quad (42.5)$$

بالمقارنة مع وحدة التبريد ذات الماء الجاري ينتج أن استهلاك الماء المضاف يبلغ 1.5 إلى 2 %.  
على سبيل المثال، من أجل محطة طاقة وقودها الفحم البني واستطاعتها الكهربائية MW 880 يستخدم برجا تبريد ارتفاعهما 162 m وتصل حدود التبريد إلى 9 K. التدفق الكتلي لماء التبريد  $m_w = 27879 \text{ kg/s}$ . عند تصميم أبراج التبريد الرطبة فإن فرق درجات الحرارة لماء التبريد  $\Delta t_w$  يعتبر عرض منطقة التبريد، كذلك يعتبر الفرق في درجات الحرارة بين الماء البارد والهواء الجاف حدّ التبريد. يجب أن تقدم مضخات ماء التبريد عندما يكون عرض منطقة التبريد 8.16 K كمية من الماء البارد قدرها  $10^5 \text{ t}$  كل ساعة ( $m_w = 27876 \text{ kg/s}$ ).

تُغَاد غازات الاحتراق المغادرة للمولد في مشاريع محطات الطاقة الحديثة إلى الوسط الخارجي بحيث تكون أعلى من أبراج التبريد. هناك الأنواع التالية من أبراج التبريد الجافة:

- وحدة مبردة بشكل مباشر مع تكثيف.
- وحدة مبردة بشكل غير مباشر بدون تكثيف.
- أبراج تبريد ذات قهوة قسرية عن طريق مراوح.
- أبراج تبريد ذات سحب طبيعي.
- والأبراج الأكثر شيوعاً هي الأبراج الرطبة ذات السحب الطبيعي، وفي حالات قليلة تستعمل الأبراج الرطبة مع مراوح.

## 1.5 مثال

يطلب تحديد مساحة التبريد والتدفق الكتلي لماء التبريد لمكثف عنفة بخارية عند الشروط التالية:

$$P_{el} = 700 \text{ MW}$$

$$\text{المردود الكهربائي للمحطة } \eta_{el} \text{ للمحطة } 40\%$$

$$\text{ضغط المكثف } 0.05 \text{ bar}$$

$$\text{درجة حرارة الدخول و الخروج لماء التبريد في المكثف هي } 16 \text{ و } 26^\circ\text{C}$$

$$\text{عامل نفوذ الحرارة } k = 2300 \text{ W/m}^2 \text{ K}$$

## الحل

1. درجة حرارة الإشباع عند الضغط  $p = 0.05 \text{ bar}$  تبلغ  $33^\circ\text{C} \approx 32.898^\circ\text{C}$  (انظر الجدول A5 في الملحق).

2. فرق درجات الحرارة الوسطي بين البخار والماء:

$$\Delta t_m = (\Delta t_{\max} - \Delta t_{\min}) / \ln (\Delta t_{\max} / \Delta t_{\min})$$

$$= [(133 - 16) - (33 - 26)] / \ln [(133 - 16) - (33 - 26)] = 11.3 \text{ K}$$

3. الاستطاعة الحرارية التي تطرح من المكثف مع ماء التبريد ( $Q_r$ ) تحسب من الفرق بين الاستطاعة الحرارية المضافة والاستطاعة الكهربائية

$$Q_r = Q_{ad} - P_{el} = P_{el} / \eta_{el} - P_{el}$$

$$= 700 \text{ MW} / 0.40 - 700 \text{ MW} = 17150 - 700 = 1050$$

4. سطح التبريد اللازم في المكثف:

$$A = Q_r / k \Delta t_m$$

$$= 1050 \times 10^6 \text{ W} / 2300 \text{ W/m}^2 \text{ K} \times 11.3 \text{ K} = 40400 \text{ m}^2$$

5. السعة الحرارية النوعية لماء التبريد عند درجة حرارة وسطية  $21^{\circ}\text{C} = (16 + 26) / 2$  تبلغ  $\text{J/kgK}$

4182 (انظر الجدول 14.A في الملحق).

6. التدفق الكتلي لماء التبريد يصبح:

$$\begin{aligned} m_w &= Q_R / C_{pw} \Delta t_w \\ &= 1050 \times 10^6 \text{ W} / 4182 \text{ J/kgK} \times (26 - 16) \text{ K} \\ &= 25107.6 \text{ kg/s} = 90387 \text{ t/h} \end{aligned}$$





## 6 تخفيض إطلاق محطات الطاقة لغازات

### الاحتراق الضارة

#### 1.6 إطلاق غاز ثاني أكسيد الكربون $CO_2$

##### انبعاث الغازات الضارة

عند إحراق الوقود المستحاثي في محطات توليد الطاقة فإنه يتم إطلاق غاز ثاني أكسيد الكربون ذي التأثير الكبير على المناخ بالإضافة إلى الغازات الضارة التالية:

— من وقود الفحم: ثاني أكسيد الكبريت  $SO_2$ ، أكاسيد النتروجين (الآزوت)  $NO_x$ ، أول أكسيد الكربون  $CO$ ، المركبات الهالوجينية مثل  $HCl$  و  $HFI$ ، الغبار بالإضافة إلى الخبث والرماد.

— من الوقود السائل (زيت الوقود):  $SO_2$ ،  $NO_x$ ،  $CO$ ، الهيدروكربونات  $C_mH_n$  والهباب (soot).

— من الغاز الطبيعي:  $NO_x$ ،  $CO$ ،  $C_mH_n$ .

لا يحتوي الغاز الطبيعي على كبريت، وكذلك لا ينطلق عند الاحتراق الكامل إلا  $NO_x$ ، أما  $CO$  و  $C_mH_n$  فهي تتشكل فقط عند الاحتراق غير الكامل، ويمكن تخفيض إصدار  $NO_x$  و  $CO$  في المنشآت التي تحرق الوقود الغازي بشكل كبير عن طريق إجراءات احتراق مناسبة. أي أنه يمكن اعتبار الغاز الطبيعي وقوداً نظيفاً، ولكن للأسف فإن احتياطي الغاز الطبيعي صغير نسبياً. كما أن أنواع الوقود الغازي الأخرى، مثل الغازات الناتجة عن تغويز الفحم (تحويله إلى غاز) تعتبر أيضاً رديئة بالبيئة بعد معالجتها.

يتشكل عند إحراق الوقود السائل مقدار أكبر بكثير من الغازات الضارة، وذلك مقارنة بالوقود الغازي. وعلى سبيل المثال فعند إحراق الوقود السائل (فيول أوليل) الخفيف (EL) الذي يحوي قدراً

صغيراً جداً من الكبريت مقارنة بالوقود الثقيل، عندئذ تنطلق بشكل رئيسي  $\text{NO}_x$ ، بينما يكون إطلاق  $\text{SO}_2$  مرتفعاً نسبياً عند إحراق الوقود الثقيل.

تؤدي الفحم، وخاصة الفحم البني البيئة بأكبر درجة، وذلك مقارنة بأنواع الوقود الأخرى. ومنتجات الزيوت المعدنية أكثر رفقاً بالبيئة، أما الغاز الطبيعي فيمكن إحراقه بإطلاق ضئيل جداً للغازات الضارة (مثلاً في منشآت العنفات الغازية).

إن الغازات الضارة الناتجة عن الاحتراق في معدات الاحتراق ومحطات توليد الطاقة والمواصلات تؤدي الهواء والماء والأرض، وتؤثر مباشرة على هواء التنفس وماء الشرب والأغذية، وعلى الإنسان والحيوان، وأبعد من ذلك فهي تضر عالم النبات وتؤدي الأتربة.

وقد بلغ انبعاث الغازات الضارة من محطات توليد الطاقة في ألمانيا عام 1990 (بملايين الأطنان/العام) كما يلي: الغبار  $0.17$ ،  $\text{SO}_2$   $1.96$ ،  $\text{NO}_x$   $0.93$ ،  $\text{C}_m\text{H}_n$   $0.01$ ، ويمكن تخفيضها باستخدام إجراءات أولية (مرتبطة بالوقود وطريقة إحراقه)، أو إجراءات ثانوية (مرتبطة بغازات الاحتراق الناتجة). كذلك يجب التخلص من المياه الملوثة والفضلات الناتجة عن معدات معالجة غازات الاحتراق بشكل ملائم للبيئة.

### انبعاث $\text{CO}_2$ النوعي

غاز ثاني أكسيد الكربون  $\text{CO}_2$  غاز مهم للمناخ، وهو يساهم في التسخين الإجمالي للأرض حيث يلعب دور البيت الزجاجي على الأرض. يجب تقليل انبعاث  $\text{CO}_2$  بمحدود 50 %، ولا يمكن الوصول إلى ذلك إلا عن طريق الإقلال من استهلاك الوقود. لهذا يجب رفع مردود عمليات تحويل الطاقة واستخدامها بشكل كبير.

يُحسب مقدار الـ  $\text{CO}_2$  المنطلق لكل 1 MJ من الحرارة المتحررة بالاحتراق كما يلي:

$$g_{\text{CO}_2} = V_{\text{CO}_2} \rho_{\text{CO}_2} / \text{LCV} \quad [\text{kg/MJ}] \quad (1.6)$$

حيث:  $V_{\text{CO}_2}$  كمية غاز ثاني أكسيد الكربون  $[\text{m}^3 \text{ لكل } 1 \text{ kg وقود صلب أو سائل لكل } \text{m}^3 \text{ وقود غازي}]$

$\rho_{\text{CO}_2}$  الكتلة النوعية عند الشروط النظامية ( $1.977 \text{ kg/m}^3$ )

LCV القيمة الحرارية الدنيا  $[\text{MJ لكل } 1 \text{ kg وقود صلب أو سائل أو لكل } \text{m}^3 \text{ وقود غازي}]$ .

يحسب الانبعاث النوعي لـ  $\text{CO}_2$  من محطة توليد طاقة لكل 1 kWh من الطاقة الكهربائية المقدمة كما يلي:

$$\begin{aligned} g'_{\text{CO}_2} &= 3.6 V_{\text{CO}_2} \rho_{\text{CO}_2} / \text{LCV } \eta_{\text{ps}} \\ (2.6) \quad &= 3.6 g_{\text{CO}_2} / \eta_{\text{ps}} \quad [\text{kg/kWh}] \end{aligned}$$

حيث:  $\eta_{\text{ps}}$  مردود محطة توليد الطاقة.

كلما ارتفع مردود محطة الطاقة، قلَّ الانبعاث النوعي لـ  $\text{CO}_2$  من أجل كل 1 kWh هذه المحطة، ولذلك فإن رفع المردود إجراء مهم لتقليل إصدار  $\text{CO}_2$ .

الجدول 1.6: القيم المحسوبة للانبعاث النوعي لـ  $\text{CO}_2$  —  $g_{\text{CO}_2}$  بالـ kg/MJ وكذلك  $g'_{\text{CO}_2}$  بالـ kg/kWh لمختلف أنواع الوقود

نوع الوقود	LCV	$\eta_{\text{ps}}$	$V_{\text{CO}_2}$	$g_{\text{CO}_2}$	$g'_{\text{CO}_2}$
فحم بني	9.63	0.36	0.56	0.1147	1.1147
فحم حجري	31.4	0.40	1.5	0.0949	0.854
وقود سائل خفيف	42.7	0.44	1.61	0.0751	0.615
غاز طبيعي	37.5	0.44	1.07	0.0554	0.54

## مثال 1.6

يطلب حساب مقدار  $\text{CO}_2$  المنطلق لكل 1 MJ طاقة حرارية متحررة أو لكل kWh استطاعة كهربائية من أجل محطات الطاقة التي تحرق أنواعاً مختلفة من الوقود. يعطي الجدول (1.6) القيم الحرارية الدنيا لأنواع الوقود LCV (بالـ MJ لكل kg ووقود صلب أو سائل أو لكل 1 m<sup>3</sup> ووقود غازي) وكذلك كمية غاز ثاني أكسيد الكربون  $V_{\text{CO}_2}$  المنطلقة (بالـ m<sup>3</sup> لكل kg ووقود صلب أو سائل أو لكل 1 m<sup>3</sup> ووقود غازي) وكذلك القيم المحسوبة لـ  $g_{\text{CO}_2}$  و  $g'_{\text{CO}_2}$ .

الحل

تعطي المعادلات 1.6 و 2.6 القيم التالية:

$$g_{\text{CO}_2} = 0.56 \times 1.977 / 9.63 = 0.1147 \text{ kg/MJ} \quad \text{مثلاً للفحم البني:}$$

$$g'_{\text{CO}_2} = 3.6 \times 0.1147 / 0.36 = 1.147 \text{ kg/kWh}$$

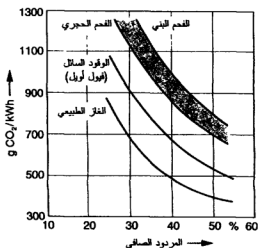
بطريقة مماثلة تحسب هذه القيم من أجل أنواع الوقود الأخرى، والنتائج مبينة في الجدول (1.6).

أما الجدول (2.6) فيتضمن معطيات عن القيم العملية للانبعاث النوعي لـ  $\text{CO}_2$  لمحطات الطاقة المختلفة التي تحرق أنواعاً مختلفة من الوقود.

الجدول 2.6: الانبعاث النوعي لـ  $\text{CO}_2$  من محطات الطاقة [kg/kWh]

انبعاث [kg/kWh] $\text{CO}_2$	الوقود المستخدم	الاستطاعة [MW]	نوع محطة الوقود
1.16-1.04	فحم بني	800	محطة بخارية مزودة بمعدات تنقية غازات الاحتراق
0.83	فحم حجري	700	محطة بخارية مزودة بمعدات تنقية غازات الاحتراق
0.91	فحم بني	300	محطة دارة مركبة (بخارية + غازية) يحول الفحم فيها إلى غاز
0.79	فحم حجري	300	محطة دارة مركبة يحول الفحم فيها إلى غاز
0.76	وقود سائل ثقيل	400	محطة بخارية
0.58	غاز طبيعي	150	محطة عنفة غازية
0.45	غاز طبيعي	400	محطة بخارية
0.38		600	محطة دارة مركبة
0.025		1300	محطة نووية — المفاعل ذو الماء المضغوط
0.15-0.1		حتى 80	محطة شمسية
0.2-0.15		حتى 6	منشأة فوتوفولطية
0.02		حتى 3	منشأة طاقة الرياح
0.004		20	محطة مائية

يمكن تخفيض انبعاث  $\text{CO}_2$  عن طريق رفع مردود محطة الطاقة أو الاستعاضة عن وقود معين بوقود آخر. يكون الانبعاث أعظمياً عند إحراق الفحم البني وأصغرياً عند إحراق الغاز الطبيعي.



الشكل 1.6 : الإصدار النوعي لمحطات توليد الطاقة وعلاقته بالمرندو الصافي وبنوع الوقود.

يبين الشكل (1.6) تخطيطاً الانبعاث النوعي لمخطة الطاقة وعلاقته بالمردود الصافي وبنوع الوقود.

بلغ إجمالي إصدار العالم من  $\text{CO}_2$  عام 1990 القيمة التالية:  $\text{Mio t/a } 22108$  (طن/العام)، نصيب الولايات المتحدة منها (بملايين الأطنان/العام) 5389، وأوروبا 4674 والاتحاد السوفيتي السابق 1006، واليابان 1153 وتعتبر عملية تخفيض انبعاث  $\text{CO}_2$  أمراً يجب إيلاؤه بالغ الاهتمام. بلغ الإطلاق الإجمالي لمخطات الطاقة في ألمانيا عام 1990 (بملايين الأطنان/العام)  $\text{t/a } 348$ . ستعالج فيما يلي الوسائل الهندسية لسحب الغبار والكبريت والآزوت من غازات الاحتراق.

## 2.6 سحب الغبار

### أنواع ساحبات الغبار

تنتقل من أجهزة الاحتراق في الغالب البقايا التالية: رماد حشن أو خبث أو رماد متطاير أو غبار ناعم. تتعلق كميات هذه المواد بتركيب الوقود وطريقة إحراقه، وينطلق الجزء الأكبر من الغبار عند إحراق الفحم والخشب والقمامة. لتقليل انبعاث الغبار تستخدم الساحبات التالية:

- ساحبات الغبار باستخدام قوة الثقالة وقوة العطالة.
- الساحبات الدوارة التي تستخدم القوة النابذة.
- المصافي الكهربائية والمصافي النسيجية (خيوط نسيجية).
- المصافي الرطبة.

### درجة السحب (التقية)

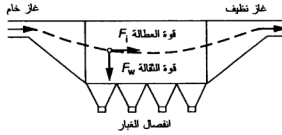
تحدد درجة السحب كما يلي:

$$\eta_{\text{Fil}} = (1 - b_1 / b_2) 100 \% \quad (3.6)$$

حيث:  $b_1$  أو  $b_2$  نسبة تواجد الغبار في غازات الاحتراق عند مدخل صاحب الغبار وعند مخرجه  $[\text{g/m}^3]$ .

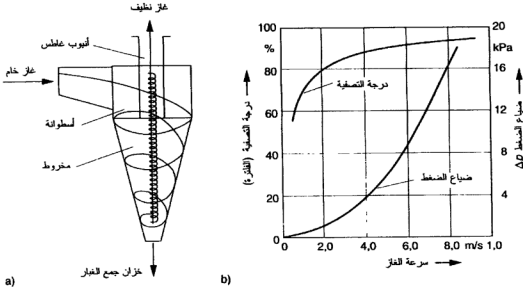
### ساحبات الغبار باستخدام قوة الثقالة (فلتر الثقالة)

تتبع مصافي (فلتر) الثقالة والعطالة لزمرة المصافي الكتلية التي تقسم بناءً على القوة المؤثرة على عملية التصفية (الفلتر) إلى مصافي الثقالة والعطالة والقوة النابذة (الشكل 2.6).



الشكل 2.6 : مبدأ عمل المصافي الكتلية.

تتعلق درجة السحب (الفترة) في مصافي قوة الثقالة بفرق الكثافة بين الغاز والحبيبات الصلبة وبفترة بقاء غازات الاحتراق في المصفاة. إذا تعرض مزيج الغاز والحبيبات الصلبة إلى تغيير في اتجاه الجريان فإن انفصال الحبيبات الصلبة يحدث بفعل قوة الثقالة مع قوى العطالة [1].



الشكل 3.6 : السيكلون (الساحبات الدورانية) (a) مخطط مبدأ العمل (b) درجة التصفية وضياح الضغط.

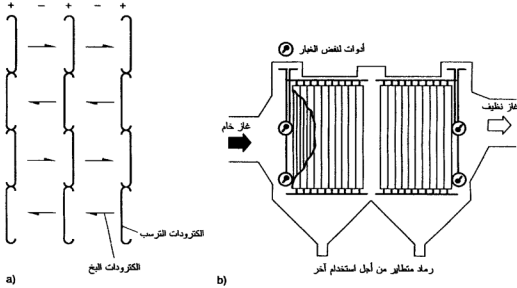
### ساحبات الغبار الدورانية (السيكلون)

تعتمد على فرق الكثافة الكبير بين الغاز والحبيبات الصلبة وهي مناسبة لتصفية الحبيبات الكبيرة (الشكل 3.6).

\* رقم المرجع (مبين في آخر الكتاب) — المراجع.

## المصافي الكهربائية

يستخدم لهذه المصافي توتر (جهد، ضغط) كهربائي عالٍ، وهي تقوم بفصل حبيبات الغبار من تيار غازات الاحتراق. ومبدؤها مبين في الشكل (4.6).



الشكل 4.6 : المصافي الكهربائية (a) مخطط مبدأ العمل (b) التركيب.

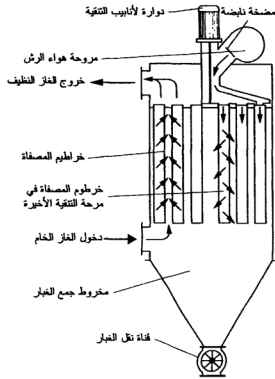
تتألف المصفاة الكهربائية من أقطاب متوازية مشحونة إيجابياً (صفائح رقيقة مؤرضة) وبرادة مشحونة سلباً تتوضع بين الصفائح. تنشأ في المصفاة عند مرور غازات الاحتراق عملية تأين (تحول إلى شوارد ذات شحنة كهربائية) لهذه الغازات فتقوم الإلكترونات الأولية الحرة بطرد الكثرونات أخرى من جزيئات الغاز (ظاهرة كورونا). إذا مرّرت غازات الاحتراق بالغبار بين الصفائح فإن جزيئات الغاز المشحونة سلباً تتجمع معاً مشكلة جسيمات. تنتقل هذه الجسيمات إلى الأقطاب الموجبة حيث تفقد شحنتها هناك وتسقط في خزان جمع حبيبات الغبار. أما حوامل الشحنات الموجبة من الغازات فتتجمع على أقطاب البرادة. يبين الشكل (b4.6) تركيب مصفأة كهربائية.

هذه المصافي مناسبة لسحب الجسيمات التي تتراوح أبعادها بين  $10^{-3}$  و  $10^{-10}$   $\mu\text{m}$ .

تتعلق درجة التنقية (الفلترية) لمصفاة كهربائية بالتدفق الحجمي للغازات  $V$  وبسرعة حركة الحبيبات الصلبة في الغازات  $w$  وبمساحة سطح الترسيب  $A$  وفقاً للمعادلة التالية:

$$(4.6) \quad \eta_{\text{Fil}} = 1 - \exp(-wA / V)$$

تعمل معظم المصافي الكهربائية عند درجة حرارة لغازات الاحتراق قدرها 140 °C.



الشكل 5.6 : المصفاة النسيجية (ألياف).

### المصافي النسيجية

يتم فصل الحبيبات الصلبة من غازات الاحتراق في هذا النوع من المصافي عن طريق طبقة ذات مسام، وبناءً على المتطلبات تستخدم خيوط من منتجات طبيعية أو من الزجاج أو المعادن. (انظر الشكل 5.6). يتم تصميم (اختيار) المصفاة النسيجية (ذات الألياف) بناءً على سطح المصفاة المعرض لغازات الاحتراق، وتحمل المصافي ذات الألياف المصنوعة من الزجاج أو التفلون (مادة لدائية عازلة صامدة للحرارة والرطوبة) درجة حرارة الغازات التي تبلغ 260 °C.

الجدول 3.6: مجالات انبعاث مختلف طرائق التنقية.

طريقة التنقية – الجهاز	درجة التنقية	مجال الانبعاث
المصفاة الكهربائية	99.5% > عندما $d > 10\mu m$ 90.5% > عندما $d < 10\mu m$	$mg/m^3 > 30$
المصفاة النسيجية	99.5% > لأنعم حبيبات من الغبار	$mg/m^3 20 - 10$
الساحبات الدورانية (السيكلون)	99% > للغبار الخشن ( $d > 20\mu m$ ) 40% > للغبار الخشن ( $d < 5\mu m$ )	$mg/m 150$ عندما $d > 20\mu m$



### مقارنة درجات السحب (التصفية)

يبين الجدول (3.6) درجات التصفية لمختلف طرائق التصفية والأجهزة المستعملة لذلك.

## 3.6 سحب الكبريت (desulpherization)

### تشكل $SO_2$

يتفاوت تشكل ثاني أكسيد الكبريت في معدات الاحتراق تبعاً لنوع المنشأة وطريقة الاحتراق ونوع الوقود المستخدم. ينطلق  $SO_2$  بشكل رئيسي من أجهزة حرق الفحم والوقود السائل. في حراقات الوقود السائل والغازي ينبعث عملياً كل الكبريت المحمول مع الوقود، بينما يرتبط جزء من الكبريت بالرماد عند إحراق الفحم.

لتخفيض انبعاث  $SO_2$  من محطات الطاقة التي تحرق الوقود المستحاثي (الأحفوري) يتم اللجوء إلى استخدام أنواع من الوقود قليلة المحتوى من الكبريت، أو إلى سحب الكبريت من الوقود قبل حرقه، أو إلى سحب الكبريت من الغازات الناتجة عن الاحتراق. يمكن بمعالجة ميكانيكية مناسبة للفحم سحب الكبريت المرتبط في البيريت (FeS) جزئياً فقط (5 إلى 30 %) من الفحم، أي أن محتوى الفحم من الكبريت ينخفض من 1.3 إلى 1 %.

### طرائق سحب الكبريت من غازات الاحتراق ونواتجها النهائية

في جميع طرائق سحب الكبريت من غازات الاحتراق لمحطات الطاقة يتم امتصاص (absorption) أو امتزاز (adsorption) ثاني أكسيد الكبريت الموجود في غازات الاحتراق بمساعدة مواد كيميائية فعالة. وفي أكثر الأحيان يجري سحب الكبريت من غازات الاحتراق عن طريق تحويل كيميائي لـ  $SO_2$  بمساعدة مادة ماصة لتشكيل الكبريتات أو الكبريتيت. من وسائط الامتصاص هناك  $CaCO_3$  (الحجر الكلسي) و  $CaO$  (الحجر الكلسي المحروق) و  $Ca(OH)_2$  (الكلس المطفأ) بالإضافة إلى مواد أخرى مثل  $NH_3$  و  $Na_2SO_3$  أو  $NaOH$ . ويُميز بين الطريقة الرطبة (Absorption) ونصف الرطبة والجافة.

أما النواتج فهي تختلف بحسب وسيط الامتصاص، فهناك الجص، عنصر الكبريت، ثاني أكسيد الكبريت السائل، حمض الكبريت، كبريتات الأمونيوم، كبريتيت الكالسيوم. وفي أغلب الأحيان يستخدم الحجر الكلسي في طريقة غسيل غازات الاحتراق، ويكون الناتج النهائي هو الجص

(الجبس)  $(\text{CaSO}_4 \cdot \text{H}_2\text{O})$ . يتم تحول  $\text{SO}_2$  إلى جص بنسبة 96 إلى 99 % في المرحلة المائية كتفاعل تأين عند قيمة مثلى لـ pH.

في طريقة الامتزاز ينتج من غازات الاحتراق المحملة بالكبريت وبمساعدة وسيط الامتزاز (الذي هو غالباً الفحم المنشط) عنصر الكبريت، ثاني أكسيد الكبريت السائل، أو حموض الكبريت، تتحدد قابلية وسيط الامتزاز (الفحم المنشط) عند درجة الحرارة 300 إلى 600 °C.

### درجة سحب الكبريت

تنتج درجة سحب الكبريت في منشأة سحب الكبريت من غازات الاحتراق من العلاقة التالية:

$$\eta_{\text{desO}_2} = (1 - c_{\text{Cl}} / c_{\text{Ra}}) 100 \% \quad (5.6)$$

حيث:  $c_{\text{Ra}}$  أو  $c_{\text{Cl}}$  تركيز  $\text{SO}_2$  في الغاز الخام والغاز النظيف حسب الحال أي عند مدخل ومخرج محطة المعالجة  $[\text{mg}/\text{m}^3]$ .

في أجهزة الإحراق الكبيرة ذات الغسيل بالطريقة الرطبة لسحب الكبريت من غازات الاحتراق تزيد درجة السحب عن 90 %.

### 1.3.6 سحب الكبريت من غازات الاحتراق مع إنتاج الجص

#### طريقة غسيل غازات الاحتراق بالحجر الكلسي

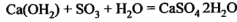
في طريقة غسل الغازات هذه مع إنتاج الجص يُمرّر الغاز بعد تنقيته في المصفاة الكهربائية عبر غسّالة تكون على شكل برج غسيل بالرداذ. عند إجراء التفاعل في مرحلة واحدة يدور ماء الغسيل ماراً عبر منطقة الامتصاص في دورة، كما يتم سوق الهواء.

يبين الشكل (6.6) بشكل تخطيطي منشأة سحب الكبريت من غازات الاحتراق لمحطة طاقة تحرق الفحم في Lippendorf في ألمانيا. الأرقام المبينة على الشكل توافق استطاعة قدرها MW 750. تُمرّر غازات الاحتراق قبل وصولها إلى المدخنة على مسخن أولي للغاز من النوع Ljungström فتسخن من الدرجة 55 إلى 110°C.

تحدث في هذه التفاعلات التالية وينتج الجص:

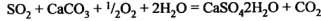


(8.6)



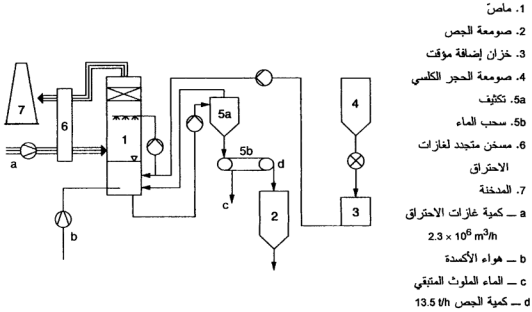
ومجموع التفاعلات السابقة هو:

(9.6)



والموازنة المولية لهذا التفاعل هي:

$$64 + 100 + 16 + 36 = 172 + 44 \quad [\text{kg/kmol}]$$



الشكل 6.6 : منشأة لسحب الكيريت من غازات الاحتراق وإنتاج الجص. محطة توليد الطاقة بالفحم Lippendorf استطاعة وحدة التوليد MW 750 كمية الفحم 220 t/h مقدار الانبعاث 400 mg/m<sup>3</sup> محتوى الفحم من الكيريت 1.3 % وزناً.

### كمية الحجر الكلسي والجص

يمكن حساب كمية الحجر الكلسي اللازمة CaCO<sub>3</sub> وكتلة الجص بالطريقة التالية:

عند إحراق وقود محتواه من الكيريت S (kg/kg) يتشكل S 2 kg من SO<sub>2</sub> لكل kg وقود. ويلزم لكل kg واحد من SO<sub>2</sub> في غازات الاحتراق 100/64 kg من CaCO<sub>3</sub>. إذا عُلم استهلاك الوقود m<sub>F</sub> ومحتواه من الكيريت S تنتج كتلة CaCO<sub>3</sub> اللازمة من أجل درجة معينة معطاة لسحب الكيريت η<sub>desO<sub>2</sub></sub>.

(10.6)

$$m_{\text{CaCO}_3} = 100 / 64 \times 2 \times S / 100 m_F \eta_{\text{desO}_2}$$

عند استخدام مستحلب الكلس Ca(OH)<sub>2</sub> يحدث تفاعل سحب الكيريت التالي:



$$2 \times 64 + 2 \times 74 + 2 \times 18 + 32 = 2 \times 172$$

من 1 kg SO<sub>2</sub> يتشكل 172/64 kg CaSO<sub>4</sub>·2H<sub>2</sub>O (الجص).

ومن 56 kg CaO (الحجر الكلسي المحروق) وبعد حلّه في 18 kg ماء (H<sub>2</sub>O) يتشكل 74 kg مستحلب كلسي Ca(OH)<sub>2</sub>. هذا يعني أنه من 1 kg كلس محروق يتشكل 74/56 kg مستحلب كلسي، وبالتالي فإنه يلزم لكل kg واحد SO<sub>2</sub> مقدار 74/64 kg من Ca(OH)<sub>2</sub> أو 56/64 kg من CaO.

## 2.6 مثال

في منشأة لسحب الكبريت من غازات الاحتراق في محطة طاقة تبلغ قيمة تدفق غازات الاحتراق  $V_G = 175 \times 10^6 \text{ m}^3/\text{h}$  محتوى الغازات من SO<sub>2</sub> قبل مرورها في المنشأة  $C_{ra} = 10000 \text{ mg/m}^3$  وبعد المغادرة تصبح  $C_{CL} = 400 \text{ mg/m}^3$ . ما هو الاستهلاك الساعي للكلس المحروق (CaO) والإنتاج الساعي للجص؟

**الحل**

1. كمية SO<sub>2</sub> في الساعة الواجب سحبها في الممتص من غازات الاحتراق تبلغ:

$$m_{\text{SO}_2} = V_G (c_{ra} - c_{CL}) \\ = 1.75 \times 10^6 \text{ m}^3/\text{h} (10000 - 400) \text{ mg/m}^3 = 16800 \text{ kg/h}$$

2. الاستهلاك الساعي للكلس المحروق:

$$m_{\text{CaO}} = 56 / 64 \times 16800 \text{ kg/h} \\ = 14.7 \text{ t/h}$$

3. الإنتاج الساعي للجص:

$$m_{\text{Gypsum}} = 172 / 64 m_{\text{SO}_2} = 172 / 64 \times 16800 \text{ kg/h} \\ = 45.15 \text{ t/h}$$

## 2.3.6 سحب الكبريت من غازات الاحتراق مع إنتاج الكبريت

هناك الطريقة الرطبة التي يكون وسيط الامتصاص فيها NaOH، وطريقة الامتزاز حيث يستخدم الفحم المنشط، وينتج في المحصلة عنصر الكبريت، وثاني أكسيد الكبريت السائل وحمض

الكبريت. يمكن على سبيل المثال ذكر الطريقة الرطبة Wellman - Lord، التي يجري فيها امتصاص  $\text{SO}_2$  عن طريق  $(\text{Na}_2\text{SO}_3)$  الذي تلامسه غازات الاحتراق عند أرضية الجهاز التي يرسل منها محلول وسيط الامتصاص على شكل قطرات اتجاه حركتها معاكس لاتجاه حركة غازات الاحتراق. يرتبط  $\text{SO}_2$  بمحلول  $(\text{Na}_2\text{SO}_3)$  كيميائياً ويتشكل  $(\text{NaHSO}_3)$ . أما تجديد وسيط الامتصاص فيتم عن طريق تمرير البخار فيه في منشأة خاصة. عندئذ ينطلق  $\text{SO}_2$  مع بخار الماء، ثم تتم معالجته بحيث يخرج على شكل غاز، فتبقى  $\text{Na}_2\text{SO}_3$  الذي يستخدم بعد تجهيزه لسحب الكبريت ثانية من غازات الاحتراق. يجري تبييع غاز  $\text{SO}_2$  الناتج حتى يمكن استخدامه في الأغراض الصناعية (مثلاً لإنتاج المنظفات، الورق، السكر) أما الرماد المتطاير الذي هو مزيج من كبريتات الشادر  $(\text{NH}_4)_2\text{SO}_4$  فتم معالجته لإنتاج السماد الآزوتي.

الجدول 4.6: مواصفات منشأة سحب الكبريت (طريقة Wellman-Lord) لمحطة Buschhaus. الاستطاعة الكهربائية MW 350، الوقود: فحم بني قيمته الحرارية الدنيا  $\text{LCV} = 8 - 12 \text{ MJ/kg}$ ، محتواه من الفحم 3.5 % - 2.

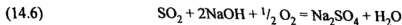
الوصف	القيم
تركيز $\text{SO}_2$ [ $\text{mg/m}^3$ ]	
قبل مرور الغاز على صاحب الكبريت (غاز خام)	10 000-20 000
بعد مروره على صاحب الكبريت (غاز نظيف)	< 40
كمية $\text{SO}_2$ [t/a] (طن بالسنة)	
قبل مرور الغاز على صاحب الكبريت (غاز خام)	180 000
بعد مروره على صاحب الكبريت (غاز نظيف)	6 000
استهلاك محلول كربونات الصوديوم الطبيعية مع 50 % NaOH [t/a]	10 000
النواتج الثانوية لسحب الكبريت من غازات الاحتراق	
الكبريت S	80 000
كبريتات الصوديوم $\text{Na}_2\text{SO}_4$	10 000

\* عند الشروط النظامية، لغازات الاحتراق الجافة،  $\text{O}_2$  66 %.

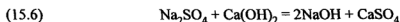
يعطي الجدول (4.6) مواصفات منشأة سحب الكبريت من محطة توليد الطاقة في Buschhaus (في ألمانيا).

معادلات التفاعل هي:

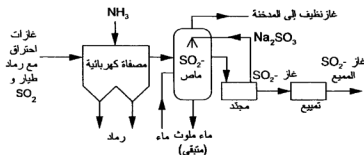




أما تحويل كبريتات الصوديوم إلى حصص فيجري وفق المعادلة التالية:



يبين الشكل (7.6) مخطط منشأة لسحب الكبريت تنتج أيضاً غاز  $\text{SO}_2$  المميع.



الشكل 7.6 : مخطط منشأة لسحب الكبريت تنتج غاز  $\text{SO}_2$  المميع. محتوى الرماد الطيار الناتج عن الاحتراق  $150 \text{ mg/m}^3$ ، الغاز التنظيف حوالي  $0 - 10 \text{ mg/m}^3$ ، محتوى غازات الاحتراق من  $\text{SO}_2$  حوالي  $3500 \text{ mg/m}^3$  وفي الغاز التنظيف حوالي  $300$  إلى  $350 \text{ mg/m}^3$ . يستخدم غاز  $\text{SO}_2$  المميع في:

- صناعة المنظفات
- صناعة الورق
- صناعة المواد الغذائية

## 4.6 سحب النيتروجين (الآزوت) (DENOX)denitrification

### تقانة تقليل أكاسيد النتروجين $\text{NO}_x$

يتعلق انبعاث  $\text{NO}_x$  عند الاحتراق بمحتوى الوقود من النتروجين وبطريقة الاحتراق. يؤدي استخدام الوقود ذي المحتوى العالي من النتروجين إلى انبعاث عالٍ لـ  $\text{NO}_x$ ، كما يزداد انبعاث أكاسيد الآزوت  $\text{NO}_x$  مع ارتفاع درجة حرارة حجرة الاحتراق وارتفاع درجة حرارة مسخن الهواء الأولي، وكذلك مع زيادة عامل فائض الهواء.

يمكن التمييز بين الإجراءات الأولية والثانوية لتقليل انبعاث  $\text{NO}_x$ ، إذ تقوم الإجراءات الأولية على اختيار نوع الوقود (تُفضل الأنواع قليلة النتروجين) وعلى كيفية إحراقه. الإجراءات المرتبطة بطريقة إحراق الوقود تتضمن الإحراق على مراحل واسترجاع غازات الاحتراق. يقصد بالإحراق على مراحل إرسال كل من الهواء والوقود إلى الحرق تدريجياً (على مراحل)، ويؤدي هذا إلى تقليل

انبعاث  $\text{NO}_x$  بحدود 10 إلى 20 %، هذا ويجب استخدام الاحتراق على مراحل واسترجاع غازات الاحتراق في نفس الوقت.

شروط ذلك هي إنقاص عامل زيادة الهواء وتخفيض مقدار التسخين الأولي للهواء وإقلال إجهاد حجرة الاحتراق.

يمكن معرفة مردود إجراءات طريقة الإحراق على إنقاص انبعاث  $\text{NO}_x$  من الجدول (5.6). أما مدلول رموز تقانات إقلال انبعاث  $\text{NO}_x$  المستخدمة والمذكورة في الجدول فهي كما يلي: (1) استخدام الحراقات ذات الانبعاث القليل لـ  $\text{NO}_x$ ، (2) استخدام الإحراق على مراحل، (3) استخدام عملية استرجاع غازات الاحتراق.

الجدول 5.6: مردود الإجراءات المستخدمة في عملية الإحراق لتخفيض انبعاث  $\text{NO}_x$ .

الوقود/طريقة الإحراق	الإجراءات الأولية	انبعاث $\text{NO}_x$ [mg/m <sup>3</sup> ]
مسحوق الفحم	1	800 – 600
الإحراق بالطريقة الجافة	3 + 2 + 1	400 – 200
مسحوق الفحم	1	1800 – 1300
التخلص من الرماد بالطريقة المائية	3 + 2 + 1	1000 – 400
فرشة الوقود الدوامية المستقرة		600 – 300
فرشة الوقود الدوامية الدوارة		250 – 100
إحراق الوقود السائل	3	600 – 400
	3 + 2 + 1	200 – 100
إحراق الوقود الغازي	3	400 – 300
	3 + 2 + 1	100 – 50

### آلية تشكل أكاسيد النتروجين (الآزوت)

ينشأ عند احتراق الوقود المستحاثي  $\text{NO}$  و  $\text{NO}_2$  من النتروجين الموجود في هواء الاحتراق والنتروجين المرتبط بالوقود، ويُشار إلى مجموع  $\text{NO}$  و  $\text{NO}_2$  بـ  $\text{NO}_x$ . يمكن التمييز بين ثلاث آليات لنشوء  $\text{NO}$ :

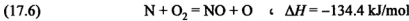
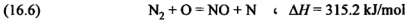
—  $\text{NO}$  الحراري

—  $\text{NO}$  الآتي (Prompt)

— NO الذي مصدره الوقود

### أكسيد الآزوت NO الحاراري

ينشأ بفعل الأكسدة الجزئية لجزئيات النتروجين الموجودة في هواء الاحتراق عند بقائها لفترة طويلة في حيز تفوق درجة حرارته 1300 °C، وذلك وفقاً للمعادلات التالية (بحسب Zeldovich): مع انتالي التفاعل ( $\Delta H$ ):



يزداد تشكل NO الحاراري مع ارتفاع درجة الحرارة بشكل أسي ويتناسب مع تركيز الأوكسجين في منطقة الاحتراق.

### أكسيد الآزوت NO الآني

يكون نشوء NO الآني في الشعلة (بحسب Fenimore) قليل الأهمية. تتأكسد روابط نيتروجين الوقود بعد اختزالها إلى روابط سيانيد ( $H_mC_nN$ ) أو إلى  $NH_3$  لتشكيل NO. ينشأ NO- الوقود نتيجة تأكسد جزئي للنتروجين المرتبط بشكل عفوي في الوقود، وهو ينطلق حتى عند درجات الحرارة المعتدلة أثناء تفكك الوقود الحاراري (Pyrolysis) ثم يتحول إلى  $NO_x$  و  $N_2$ . تساهم هذه الآلية عند إحراق مسحوق الفحم بتشكيل 50 إلى 70 % من NO- الوقود. من أجل فحم حجري محتواه من الآزوت 1.2 % فإن 75 % من  $NO_x$  المتشكل سببه نيتروجين الوقود، وعند إحراق هذا الوقود وتصريف رماده بالحالة الجافة وباستخدام حراقات قليلة الإصدار لـ  $NO_x$  تكون كمية  $NO_x$  في غازات الاحتراق  $800 \text{ mg/m}^3$ .

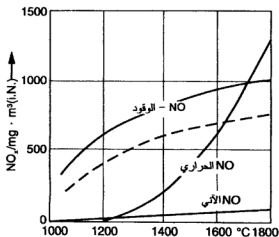
### أكسيد الآزوت NO الذي مصدره الوقود

يتأثر تشكل NO- الوقود بالمقادير التالية:

- محتوى الوقود من الآزوت (بسبب المحتوى من N، يسيطر تشكل الـ NO الحاراري في النفط والغاز الطبيعي).
- محتوى الوقود من المركبات الطيارة مثل HCN،  $NH_3$ ... إلخ.
- التركيز المرتفع للأوكسجين في بعض مناطق حجرة الاحتراق.
- مدى تناقص (اختزال) NO بفعل فحم الكوك المتبقي والأمس (Radicals).



عند إحراق الفحم الحجري وتصريف الخبث بالحالة المائعة تكون درجة حرارة الاحتراق 1450 إلى 1800 °C، ويكون قسم كبير من الـ NO حرارياً (40 حتى 60 %). وإذا كان التخلص من الخبث بالحالة الجافة فإن درجة حرارة الاحتراق أدنى بـ 100 إلى 300 K ويكون NO الحراري المتشكل فقط 10 إلى 30 % من الكمية الإجمالية. يبين الشكل (8.6) تأثير درجة حرارة حجرة الاحتراق (من 1000 إلى 2000 °C) على تشكل NO.



الشكل 8.6 : تأثير درجة حرارة حجرة الاحتراق على عملية تشكل NO.

بما أن التوازن الترموديناميكي للتفاعل:



يقع عند درجات حرارة تزيد على 650 °C على الجانب الأيسر من المعادلة السابقة، فإنه ينبعث في معظم عمليات الاحتراق NO (فوق الـ 95 %). وعند درجات حرارة أقل من 650 °C (كذلك عند الضغط الجوي) يتم تحول NO إلى NO<sub>2</sub>، وهذا يتعلق بنسبة وجود O<sub>2</sub> في غازات الاحتراق وفترة بقائهما معاً.

تبلغ نسبة NO في NO<sub>x</sub> الإجمالي الذي تطلقه حراقات محطات الطاقة 95 % أما NO<sub>2</sub> تبلغ نسبته 5 % فقط.

#### 1.4.4.6 منشأة سحب الآزوت (DENOX) من غازات الاحتراق

يتم تحرير غازات الاحتراق بواسطة الإجراءات الثانوية من SO<sub>2</sub> بشكل شبه كامل. ولسحب NO<sub>x</sub> هناك منشآت خاصة يستخدم منها نوعان SNCR و SCR.

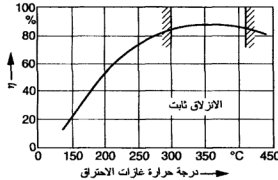
## درجة سحب الآزوت

نتج درجة سحب الآزوت من المعادلة:

$$\eta_{\text{DENOX}} = (1 - c_{\text{CL}} / c_{\text{Ra}}) 100 \% \quad (19.6)$$

حيث:  $c_{\text{CL}}$  و  $c_{\text{Ra}}$  تركيز  $\text{NO}_x$  في الغاز الخام والنظيف حسب الحال، أي عند مدخل منشأة سحب الآزوت ومخرجها  $[\text{mg}/\text{m}^3]$ .

يبين الشكل (9.6) درجة سحب الآزوت بالنسبة لدرجة حرارة غازات الاحتراق. درجة الحرارة المثلى تقع بين 300 و 400 °C.



الشكل 9.6 : درجة سحب الآزوت وارتباطها بدرجة حرارة غازات الاحتراق.

## طرائق التوضع

يتم تركيب معدات سحب أكاسيد النتروجين في محطات الطاقة في واحد من ثلاثة مواقع حسب الحال:

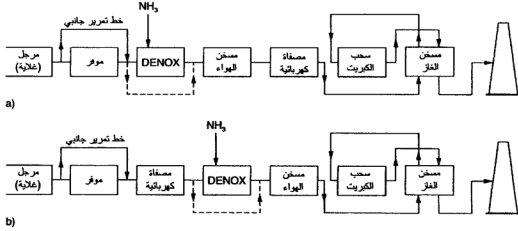
— سحب الآزوت من الغازات الساخنة والمحملة بالغبار (High-dust).

— سحب الآزوت من الغازات الساخنة غير المحملة بالغبار (Low-dust).

— سحب الآزوت من الغازات الباردة.

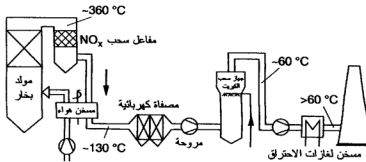
في المنشآت التي تتعامل مع غاز ساخن محمل بالغبار توضع معدات سحب الآزوت من الغازات بعد سطح التسخين الرئيسي مولد البخار مباشرة بين الموفر (ECO) ومسخن الهواء. يمرر قسم من الغازات الساخنة المحملة بالغبار على الموفر للمحافظة على درجة حرارة التشغيل اللازمة لعمل الحفّاز (Catalytic Converter) وهي تقع بين 300 و 400 °C. ويستمر الحفّاز صالحاً للاستخدام

لمدة 12 000 ساعة عمل. يُركب خلف جهاز سحب الآزوت كلٌ من مسخن الهواء و فاصل الغبار (المصفاة الكهربائية) ومعدات سحب الكبريت والمسخن الأولي المتحد لغازات الاحتراق.



**الشكل 10.6:** توضّع منشأة سحب أكاسيد الآزوت DENOX (a) قبل مسخن الهواء والمصفاة الكهربائية ومعدات سحب الكبريت (b) خلف المصفاة الكهربائية وقبل مسخن الهواء ومعدات سحب الكبريت. في النوع الثاني الذي يعالج غازات الاحتراق الساخنة ذات المحتوى القليل من الغبار (الشكل 10.6b) يركب جهاز سحب الآزوت بعد فاصل الغبار (المصفاة الكهربائية)، يلي صاحب  $NO_x$  مسخن الهواء الأولي وجهاز سحب الكبريت ثم مسخن غازات الاحتراق. أما في النوع الثالث الذي يعالج غازات الاحتراق الباردة غير المحملة بالغبار فيركب جهاز سحب الآزوت بعد جهاز سحب الكبريت، وقبل ذلك تسخّن غازات الاحتراق في المسخن إلى درجة الحرارة  $300^\circ C$ .

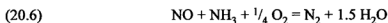
يبين الشكل (11.6) مخطط المنشأة التي يركب فيها جهاز سحب أكاسيد الآزوت قبل مسخن الهواء الأولي بشكل مبسط.



**الشكل 11.6:** مخطط وصل مولد البخار مع جهاز سحب أكاسيد الآزوت قبل مسخن الهواء الأولي.

**طريقة SCR لسحب أكاسيد الآزوت من غازات الاحتراق (Selective Catalytic Reduction)**  
تقلل طريقة التخفيض الانتقائي لأكاسيد الآزوت في غازات الاحتراق بواسطة الحفاز (مُعجِّل التفاعل) انبعاث أو أكسيد الآزوت عن طريق تفاعل محفز غير متجانس لأوكسيد الآزوت مع وسيط (يكون عادة الأمونياك  $\text{NH}_3$ ) عند درجات حرارة تتراوح بين 300 و 400 °C، وبهذا يتحول NO إلى آزوت وماء. يتألف الحفاز من مادة أساسية ( $\text{TiO}_2$ ،  $\text{Al}_2\text{O}_3$  أو السيليكات) مطلية بروابط من الفاناديوم، الموليبيدوم، التيتانيوم، التنغستين. يأخذ الحفاز شكل أنابيب أو صفائح أو أطباق (صينية). إذا كانت غازات الاحتراق محملة بشكل قليل بالغبار، فإنها تُمرر على الحفاز بشكل أفقي (أو شاقولي إذا كانت عالية المحتوى من الغبار).

التفاعل الرئيسي الذي يؤدي إلى تخفيض NO بطريقة SCR هو:



الكتلة المولية لـ NO هي (30 kg/kmol) ولـ  $\text{NH}_3$  هي (17 kg/kmol)، فإذا كان التدفق الحجمي لغازات الاحتراق  $V_G$  [m³/h] وأردنا تخفيض تركيز  $\text{NO}_x$  في غازات الاحتراق من  $c_{Ra}$  إلى  $c_{CL}$  [mg/m³] فإن كمية  $\text{NH}_3$  اللازمة تكون:

$$(21.6) \quad m_{\text{NH}_3} = 17 / 30 V_G (c_{Ra} - c_{CL}) 10^{-6} \quad [\text{kg/h}]$$

### مثال 3.6

ما هي كمية  $\text{NH}_3$  اللازمة لسحب الآزوت من غازات الاحتراق إذا كان ( $V_G = 1.75 \times 10^6$  m³/h) باستخدام طريقة SCR وكان تركيز  $\text{NO}_x$  في الغاز الخام  $c_{Ra} = 750$  mg/m³ وفي الغاز النظيف  $c_{CL} = 150$  mg/m³؟ الحجم معطاة عند الشروط النظامية.

*الحل*

الاستهلاك الساعي لـ  $\text{NH}_3$ :

$$\begin{aligned} m_{\text{NH}_3} &= 17 / 30 \cdot 1.75 \times 10^6 \text{ m}^3/\text{h} (750 - 150) \text{ mg/m}^3 \\ &= 595 \text{ kg/h} \end{aligned}$$

تتعلق درجة سحب أكاسيد الآزوت في طريقة SCR بفعالية سطح الحفاز وبزمن تلامس غازات الاحتراق مع الحفاز، ويمكن الوصول إلى درجة تنقية 95 %.

من أجل تشغيل آمن يجب ألا يتجاوز تركيز  $\text{NH}_3$  المتبقي في غازات الاحتراق عند مغادرة جهاز سحب  $\text{NO}_x$  القيمة 5 ppm، وإلا يمكن أن تنشأ ترسبات وإشكالات في مسخن الهواء الأولي والمصفاة الكهربائية وجهاز سحب الكبريت. عند إغلاق مولد البخار تغاد غازات الاحتراق الباردة عبر مجرى جانبي (Bypass) حول مفاعل الـ SCR.

لا تطرأ عملياً أية إشكالات عندما يوصل مفاعل الـ SCR بعد جهاز سحب الكبريت بشرط ضمان خلو غازات الاحتراق بعد جهاز سحب الكبريت من  $\text{HCl}$  و  $\text{HF}$  وتسخين الغازات قبل وصولها إلى جهاز سحب الآزوت  $\text{DENOX}$  إلى درجة الحرارة 300 وحتى 400 °C.

**طريقة SNCR لسحب الآزوت من غازات الاحتراق (Selective Non-Catalytic Reduction)**  
تقلل طريقة التخميض الانتقائي لأكاسيد الآزوت في غازات الاحتراق بدون حفاز (بعكس طريقة SCR) من انبعاث  $\text{NO}_x$  وذلك عن طريق التفاعل بين غازات الاحتراق ووسيط إنقاص الآزوت عند درجات الحرارة 800 حتى 1000 °C، ويستخدم عادة الأمونياك  $\text{NH}_3$  كوسيط. يمكن أن تصل درجة سحب الآزوت بهذه الطريقة حتى 80 %  $\eta_{\text{DENOX}}$ .

## 5.6 السحب المتزامن للكبريت والآزوت

يمكن تنظيف غازات الاحتراق بالسحب المتزامن (بنفس الوقت) لـ  $\text{NO}_x$  و  $\text{SO}_2$  في نفس المنشأة. وهناك طرائق رطبة وأخرى جافة لهذا الغرض.

### طريقة الفحم (الكربون) المنشط

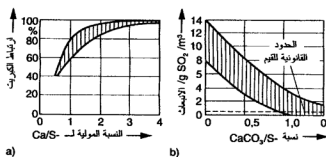
في طريقة الامتزاز الجاف بالفحم المنشط يؤكسد في المرحلة الأولى  $\text{SO}_2$  إلى حمض الكبريت  $\text{H}_2\text{SO}_4$ ، وذلك عند درجة الحرارة 120 °C، ويتم ذلك بمساعدة الكربون المنشط. وفي المرحلة الثانية يضاف  $\text{NH}_3$  وفحم منشط ومُحدّد  $\text{C}$  وبذلك يُحفّز  $\text{NO}_x$  ليتحول إلى  $\text{N}_2$  و  $\text{H}_2\text{O}$ . يتم تخليص الفحم المنشط بشكل دوري من  $\text{H}_2\text{SO}_4$  أي أنه يُحدّد.

### الطريقة الرطبة

يستخدم في الطريقة الرطبة  $\text{NH}_4\text{OH}$  من  $\text{SO}_2$  يتشكل في البداية  $(\text{NH}_4)\text{SO}_3$  و  $\text{NH}_4\text{HSO}_3$  التي تؤكسد بعدئذ إلى  $\text{NH}_4\text{NO}_2$  و  $\text{NH}_4\text{NO}_3$ . بمساعدة الآزوت تسحب في الغاسل الثاني أكاسيد الآزوت على شكل نترات أو نيتريت الأمونيوم من غازات الاحتراق الخالية من  $\text{SO}_2$ ، ثم يتم



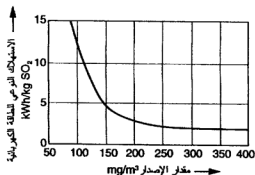
بشعاع من الإلكترونات المنطلقة من مُسرّع (معجل) (accelerator) ذي نبضات. يقوم مولد شعاع (تيار) الإلكترونات بإنتاج نبضات توترها (جهدا) الأعظمي 500 kv و تيار هالتها (كورونا) 36 mA، وبذلك يتم تفكيك جزئيات  $O_2$  و  $N_2$  إلى ذرات. تتحول أكاسيد الآزوت والكبريت ( $NO_x$  و  $SO_x$ ) أولاً مع ذرات الأوكسجين إلى حموض الكبريت والآزوت ( $H_2SO_4$  و  $HNO_3$ ) ثم تتحول مع  $NH_3$  إلى  $NH_4NO_3$  و  $(NH_4)_2SO_4$ . وهذه تتم تصفيتها من غازات الاحتراق عن طريق مصافي نسيجية (ذات ألياف) وتحقق هذه الطريقة درجة عالية لسحب الآزوت والكبريت، وقد أمكن في منشأة تجريبية الوصول إلى سحب لـ  $NO_x$  قدره 85 % ولـ  $SO_x$  قدره 98 % من غازات الاحتراق.



الشكل 13.6 : درجة سحب الكبريت في فرشة الوقود الدوامية (a) ارتباط الكبريت بالنسبة المولية Ca/S (b) الانبعاث النوعي للكبريت وعلاقته بالنسبة  $CaCO_3/S$ .

### الاستهلاك الذاتي للطاقة

يبين الشكل (14.6) الاستهلاك النوعي للكهرباء وعلاقته بمقدار انبعاث  $SO_2$ . على سبيل المثال، عند تخفيض تركيز  $SO_2$  المسموح به في غازات الاحتراق من  $200 \text{ mg/m}^3$  إلى  $100 \text{ mg/m}^3$  يزداد الاستهلاك الذاتي النوعي للطاقة من  $2.5 \text{ kWh/kg}$  إلى  $12.5 \text{ kWh/kg}$ .



الشكل 14.6 : الاستهلاك النوعي للكهرباء وعلاقته بمقدار انبعاث  $SO_2$ .





## 7 محطات العنفات الغازية

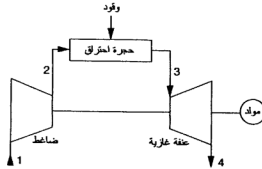
إنَّ أهم اعتبارات هندسة الطاقة المتقدمة هي: المردود المرتفع وتوليد الكهرباء مع المحافظة على سلامة البيئة وتكاليف الطاقة المنخفضة. إن المحطات الحديثة التي تعمل على استخدام العنفات الغازية وبشكل خاص محطات الدارة المركبة التي تستخدم العنفات الغازية والبخارية معاً، والمبنية على أساس المردود العالي للعنفات الغازية. هذه المحطات تحقق الاعتبارات المذكورة أعلاه بأفضل ما يمكن، إذا ما قورنت بمحطات توليد الطاقة التقليدية. فمثلاً يصل مردود أفضل النماذج من العنفات الغازية إلى 40 %، وتبلغ تكاليف المنشأة 50 % من تكاليف منشأة بخارية مقابلة لها، ويبقى تأثيرها على البيئة منخفضاً جداً. ومع الدارة البخارية التالية الموصلة بها يصل المردود الإجمالي للدارة المركبة إلى ما يزيد عن 57 %.

سُتعالج في هذا الفصل النواحي الترموديناميكية، والبيئية المرتبطة بمحطة توليد الطاقة بالإضافة إلى الجوانب الفنية والاقتصادية لمحطات العنفات الغازية الحديثة. أما محطات الدارة المركبة فستعالج في الفصل الثامن.

### 1.7 دورة عمل جول

سنبدأ قبل كل شيء بالتحليل الترموديناميكي لمنشأة العنف الغازية البسيطة. هناك نوعان من هذه المنشآت: المفتوحة والمغلقة. تتألف منشأة العنف الغازية المفتوحة من العناصر التالية: ضاغط (Compressor)، حجرة احتراق، عنفة غازية مع مولد كهربائي كما هو مبين في الشكل (1.7). تبين دورة عمل جول الأسس الترموديناميكية لمنشأة ذات عنفة غازية، إذا أُجريت هذه الدورة على غاز مثالي وبشكل عكوس. يقصد بمفهوم العكوسية عند إجراء الدورة أن تغيرات الحالة للغاز تتم بدون ضياعات داخلية للطاقة وبدون احتكاك، وبأن إضافة الحرارة أو طرحها يجري عند فروق

درجات حرارة صغيرة يمكن إهمالها، وباعتبار وسيط العمل المستخدم في الدورة غازاً كاملاً (مثالياً).



الشكل 1.7 : مخطط عمل منشأة ذات عنفة غازية مفتوحة.

يبين الشكل (2.7) دورة عمل جول في مخططي  $p-v$  و  $T-s$ . تكتمل دورة عمل جول من خلال تحولات الحالة العكوسة التالية:

- 1 - 2 انضغاط ايزنتروبي للهواء في الضاغط.
  - 2 - 3 إضافة الحرارة في حجرة الاحتراق (الاحتراق) بثبوت الضغط.
  - 3 - 4 تمدد ايزنتروبي لوسيط العمل في العنفة الغازية .
  - 4 - 1 طرح للحرارة إلى الوسيط المحيط بثبوت الضغط.
- من المهم في عملية التحليل الترموديناميكي لمخطة العنفة الغازية تحديد المردود الحراري لعملية تحول الحرارة إلى عمل. ومن أجل ذلك نحتاج كمية الحرارة المقدّمة والعمل المفيد لدورة العمل. تتحدد هذه الكميات عن طريق معرفة درجات حرارة الغاز عند المواقع المختلفة. يجري التحليل الترموديناميكي بافتراض أن مواصفات وسيط العمل (غازات الاحتراق) ماثلة لمواصفات الغاز المثالي الذي هو الهواء. فمثلاً تحسب كميات الحرارة عن طريق السعة الحرارية الوسطية بثبوت الضغط  $c_p$  التي قيمتها  $1.005 \text{ kJ/kg K}$ .

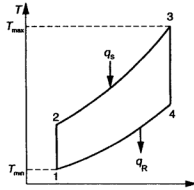
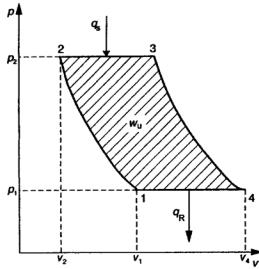
ترتبط المقادير المميزة لحالة الغاز أي الضغط  $p$  [Pa] ودرجة الحرارة  $T$  [K] والحجم النوعي  $v$  [ $\text{m}^3/\text{kg}$ ] من خلال معادلة الحالة التالية:

$$(1.7) \quad p v = R T$$

حيث:  $R$  ثابت الغاز [ $\text{J/kg K}$ ] (قيمته مثلاً للهواء  $287 \text{ J/kg K}$ ).

وتتحقق من أجل الانضغاط أو التمدد الايزنتروبي العلاقات التالية:

$$(2.7) \quad p v^k = \text{const} \text{ و } T v^{k-1} = \text{const} , \quad T / p^{(k-1)/k} = \text{const}$$



الشكل 2.7 : دورة عمل جول في المخططين  $p, v$  و  $T, s$ .

العلاقات التالية (3.7 حتى 8.7) تعطي كميات الحرارة النوعية بالنسبة لـ 1 kg من الغاز من أجل دورة عمل جول.

تحتسب الحرارة النوعية المضافة [kJ/kg] من المعادلة:

$$(3.7) \quad q_s = c_p (T_3 - T_2) = h_3 - h_2$$

أما الحرارة النوعية المطروحة [kJ/kg]:

$$(4.7) \quad q_R = c_p (T_4 - T_1) = h_4 - h_1$$

العمل النوعي للتمدد في العنفة الغازية:

$$(5.7) \quad w_T = h_3 - h_4 = c_p (T_2 - T_1) \quad [\text{kJ/kg}]$$

والعمل النوعي للانضغاط في الضاغط:

$$(6.7) \quad w_{\text{comp}} = h_2 - h_1 = c_p (T_2 - T_1) \quad [\text{kJ/kg}]$$

أما العمل المفيد لدورة عمل جول:

$$(7.7) \quad w_u = w_T - w_{\text{comp}} \quad [\text{kJ/kg}]$$

وفقاً للقانون الأول في الترموديناميك فإن العمل النوعي المفيد مساوٍ للحرارة النوعية المفيدة:

$$(8.7) \quad w_u = q_u = q_s = c_p (T_3 - T_2) - (T_4 - T_1) \quad [\text{kJ/kg}]$$

يُعرف المردود الحراري لدورة عمل بأنه نسبة العمل المفيد للدورة إلى الحرارة المضافة. ومن أجل دورة عمل جول:

$$\begin{aligned} \eta_{\text{th}} &= w_u / q_s = 1 - q_R / q_s \\ &= 1 - (T_4 - T_1) / (T_3 - T_2) \end{aligned}$$

$$(9.7) \quad = 1 - T_1 (T_4 / T_1 - 1) / T_2 (T_3 / T_2 - 1)$$

أهم المقادير المميزة لدورة عمل العنفة الغازية هو نسبة الضغط في الضاغط وفي العنفة الغازية:

$$(10.7) \quad \beta = p_2 / p_1$$

ترتبط درجات الحرارة عند النقاط المميزة لدورة عمل جول ببعضها البعض عن طريق نسبة الضغط كما يلي:

$$(11.7) \quad T_2 = T_1 \cdot \beta^{(k-1)/k}$$

$$(12.7) \quad T_4 = T_3 / \beta^{(k-1)/k}$$

حيث:  $T_1$  درجة الحرارة قبل الضاغط  $T_2$  بعد الضاغط

$T_3$  درجة الحرارة قبل العنفة الغازية و  $T_4$  بعد العنفة الغازية

$k$  أس الايزنتروبي (قيمته 1.4 من أجل الهواء في الضاغط والعنفة الغازية).

من المعادلتين 11.7 و 12.7 ينتج:

$$(13.7) \quad T_2 / T_1 = T_3 / T_4 = \beta^{(k-1)/k}$$

و:

$$(14.7) \quad T_4 / T_1 = T_3 / T_2$$

إذا عوضنا المعادلة (15.7) في المعادلة (9.7) نحصل على المردود الحراري لدورة عمل جول:

(15.7)

$$\eta_{th} = 1 - T_1 / T_2 = 1 - 1 / \beta^{(k-1)/k}$$

تبين المعادلة (15.7) بأن المردود الحراري  $\eta_{th}$  لمنشأة عنفة غازية يزداد بارتفاع نسبة الضغط  $\beta$ . تكون قيمة  $\beta$  بمحدود الـ 15 في العنفات الغازية الحديثة ذات الاستطاعات العالية، والتي تتمتع بتبريد فعال لشفرات العنف. و تصل قيمة  $\beta$  إلى 30 في أحدث النماذج من العنفات الغازية GT 24 و GT 26 التي تنتجها شركة ABB. أما درجة حرارة الدخول الأعظمية المسموح بها للعنفة الغازية فهي ذات سقف معين يحدده نوع المعدن المستخدم وتقانة التبريد، وتبلغ حالياً حوالي 1250 °C. يُجسب العمل النوعي المفيد لمنشأة عنفة غازية بدلالة كمية الحرارة المضافة والمردود الحراري للمنشأة كما يلي:

(16.7)

$$w_u = q_s \eta_{th} \text{ [kJ/kg]}$$

سيتم في المثلين 1.7 و 2.7 حساب النقاط المميزة وكميات الحرارة النوعية المضافة والمردود الحراري لدورة عمل جول.

### 1.7 مثال

عنفة غازية تعمل وفق دورة عمل جول (انظر الشكلين 1.7 و 2.7) وعند نسبة الضغط  $\beta = p_2 / p_1 = 15$ . مواصفات الهواء قبل الضاغط هي:  $p_1 = 1 \text{ bar}$  و  $t_1 = 10^\circ \text{C}$ . درجة حرارة الدخول إلى العنف  $T_3 = 1100^\circ \text{C}$ . الوسط العامل هو غاز مثالي: هواء ثابته  $R = 0.287 \text{ kJ/kg K}$  وأس الايزوتروبي له  $k = 1.4$ . يطلب تحديد مميزات وسيط العمل (الضغط  $p$ ، درجة الحرارة  $T$ ، الحجم النوعي  $v$ ) عند النقاط المميزة للدورة.

### الحل

1. الحجم النوعي للهواء قبل الضاغط يمكن حسابه من معادلة الحالة للغاز المثالي:

$$\begin{aligned} v_1 &= R T_1 / p_1 \\ &= 0.287 \text{ kJ/kg K} \times 283 / 100 \text{ kPa} \\ &= 0.812 \text{ m}^3/\text{kg} \end{aligned}$$

2. درجة حرارة الهواء بعد الانضغاط الايزنتروبي:

$$T_2 = T_1 \beta^{(k-1)/k} \\ = 283 \times 15^{(1.4-1)/1.4} = 613.5 \text{ K}$$

3. درجة حرارة الغاز بعد التمدد الايزنتروبي في العنفة:

$$T_4 = T_3 / \beta^{(k-1)/k} \\ = 1373 / 15^{0.2857} = 633.4 \text{ K}$$

وبطريقة مشابهة تنتج القيم المميزة عند كل النقاط المحددة لدورة العمل. الجدول (1.7) يعطي النتائج لكل نقطة.

الجدول 1.7: القيم المميزة لوسيط العمل عند النقاط المحددة لدورة عمل جول

النقطة	[bar] $p$	[K] $T$	[m <sup>3</sup> /kg] $\nu$
1	1	283	0.812
2	15	613.5	0.117
3	15	1373	0.263
4	1	633.4	1.818

## مثال 2.7

من أجل المنشأة ذات العنفة الغازية الواردة في المثال 1.7 يطلب تحديد مايلي:

— عمل الانضغاط النوعي

— عمل التمدد النوعي

— العمل المفيد النوعي

— المردود الحراري

إذا تغيرت نسبة الضغط  $\beta$  بين 4 و 30، فكيف يتغير المردود الحراري لدورة العمل؟

قيمة السعة الحرارية النوعية بثبوت الضغط لوسيط العمل الذي هو الهواء تبلغ 1.005 kJ/kg K.

**الحل**

1. وفقاً للجدول (1.7) فإن درجات الحرارة كالتالي ( $\beta = 15$ ): قبل الانضغاط  $T_1 = 283 \text{ K}$ ، بعد

الانضغاط  $T_2 = 613.5 \text{ K}$ ، قبل التمدد  $T_3 = 1373 \text{ K}$  وبعد التمدد  $T_4 = 633.4 \text{ K}$ .

2. العمل النوعي للانضغاط:

$$w_{\text{comp}} = c_p (T_2 - T_1) \\ = 1.005 \text{ kJ/kg} (613.5 - 283) \text{ K} = 332.2 \text{ kJ/kg}$$

العمل النوعي للتمدد:

$$w_T = c_p (T_3 - T_4) \\ = 1.005 \text{ kJ/kg} (1373 - 633.4) \text{ K} = 743.3 \text{ kJ/kg}$$

العمل النوعي المفيد:

$$w_u = w_T - w_{\text{comp}} \\ = 743.3 \text{ kJ/kg} - 332.2 \text{ kJ/kg} = 411.1 \text{ kJ/kg}$$

3. كمية الحرارة النوعية المضافة للدورة:

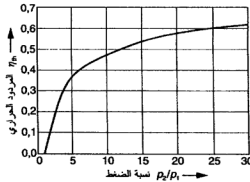
$$q_s = c_p (T_3 - T_2) \\ = 1.005 \text{ kJ/kg} (1373 - 613.5) \text{ K} = 763.3 \text{ kJ/kg}$$

4. المردود الحراري لدورة العمل:

$$\eta_{\text{th}} = w_u / q_s \\ = 411.1 \text{ kJ/kg} / 763.3 \text{ kJ/kg} = 0.538$$

5. قيمة المردود الحراري هذه أكبر بـ  $0.237 / (0.538 - 0.327) = 0.538 - 0.327$  من قيمة  $\eta_{\text{th}}$  التي تبلغ 0.237 عندما  $\beta = 4$ .

6. عندما تكون  $\beta = 30$  فإن المردود الحراري يصبح 0.621 وهو أكبر من المردود الحالي الذي يبلغ 0.538 بمقدار  $0.538 - 0.621 = 0.083$  أي 15.4 %.



الشكل 3.7: المردود الحراري لدورة عمل جول وعلاقته بنسبة الضغط  $p_2/p_1$ .

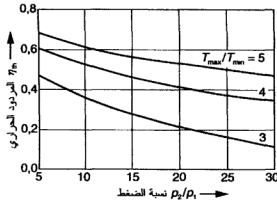
الجدول (2.7) والشكل (3.7) يبينان العلاقة بين المردود الحراري لدورة عمل جول  $\eta_{th}$  ونسبة

$$\beta = p_2/p_1 \text{ الضغط}$$

الجدول 2.7: المردود الحراري  $\eta_{th}$  لدورة عمل جول وعلاقته بنسبة الضغط  $\beta$ .

نسبة الضغط	1	5	10	15	20	30	60
المردود الحراري $\eta_{th}$ %	0	36.9	48.2	53.5	57.5	65.1	69

يتعلق المردود الحراري لدورة عمل جول بشكل كبير بنسبة درجة الحرارة الأعظمية إلى الأصغرية  $T_{max}/T_{min}$ ، حيث  $T_{max}$  درجة حرارة الدخول إلى العنفة الغازية و  $T_{min}$  درجة حرارة الدخول إلى الضاغط. يبين الشكل (4.7) تخطيطاً تأثير نسبة درجة الحرارة الأعظمية إلى الأصغرية  $T_{max}/T_{min}$  ونسبة الضغط  $p_2/p_1$  على المردود الحراري لدورة عمل جول.



الشكل 4.7 : المردود الحراري لدورة عمل جول  $\eta_{th}$  وعلاقته بنسبة الضغط  $p_2/p_1$  ونسبة درجات الحرارة  $T_{max}/T_{min}$  (3,4,5).

## 2.7 الكفاءة (الفعالية)

تختلف دورة العمل لمنشأة عنفة غازية فعلية عن دورة عمل جول. تُراعى في المنشأة ذات العنفة الغازية ضياعات الطاقة الناتجة عن عمليتي الانضغاط والتمدد الفعليين (غير العكوسيتين) في كل من الضاغط والعنفة، وكذلك ضياعات الضغط عند مدخل الضاغط وفي حجرة الاحتراق وعند مخرج العنفة الغازية.



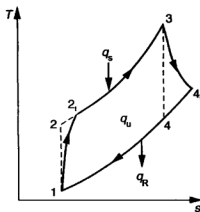
يبين الشكل (5.7) اختلاف تغيرات الحالة الفعلية في الضاغط والعنفة الغازية عن التغيرات الايزوتروبية.

يكون عمل الانضغاط الفعلي أكبر وعمل التمدد الفعلي في العنفة أصغر والعمل المفيد لدورة العمل الحقيقية أصغر منه في دورة عمل جول وذلك بسبب عدم العكسية. تتم مراعاة هذه الاختلافات عن طريق المردود الداخلي للضاغط  $\eta_{i,comp}$  وللنفطة الغازية  $\eta_{iT}$ ، أي أن:

$$(17.7) \quad \eta_{i,comp} = w_{comp} / w_{comp,a}$$

$$(18.7) \quad \eta_{iT} = w_{T,a} / w_T$$

حيث:  $w_{comp}$  عمل الانضغاط النوعي النظري  $w_{comp,a}$  عمل الانضغاط النوعي الفعلي [kJ/kg]  $w_{T,a}$  عمل التمدد النوعي الفعلي  $w_T$  عمل التمدد النوعي النظري [kJ/kg].



الشكل 5.7 : الانضغاط والتمدد الفعليان في منشأة العنفة الغازية في المخطط T-s.

يمكن اعتماد القيم التالية للمردود الداخلي من أجل العنفات الغازية والضواغط الحديثة  $\eta_{iT} = 0.9 - 0.92$  و  $\eta_{i,comp} = 0.86 - 0.89$ .

ينتج الاتالي للهواء بعد انضغاط غير عكوس (فعلي) كما يلي:

$$(19.7) \quad h_{2,a} = h_1 + (h_2 - h_1) / \eta_{i,comp} \quad [\text{kJ/kg}]$$

وبطريقة مشابهة يمكن حساب الاتالي للغاز بعد تمدد غير عكوس في العنفة:

$$(20.7) \quad h_{4,a} = h_3 - (h_3 - h_4) / \eta_{iT} \quad [\text{kJ/kg}]$$

وتنتج بالتالي درجة الحرارة الفعلية بعد الانضغاط أو التمدد كما يلي:

$$(21.7) \quad T_{2,a} = T_1 + (T_2 - T_1) / \eta_{i,comp} \quad [K]$$

$$(22.7) \quad T_{4,a} = T_3 - (T_3 - T_4) \eta_{i,comp} \quad [K]$$

يحسب عمل الانضغاط النوعي بالنسبة لـ 1 kg وسيط عمل من العلاقة:

$$(23.7) \quad \begin{aligned} w_{comp,a} &= w_{comp} / h_{i,comp} = (h_2 - h_1) / \eta_{i,comp} \\ &= h_{2a} - h_1 = c_p(T_{2a} - T_1) \quad [kJ/kg] \end{aligned}$$

والعمل النوعي الفعلي للتمدد بالنسبة لـ 1 kg وسيط عمل:

$$(24.7) \quad w_{Ta} = \eta_{iT} / w_T = \eta_{iT} (h_3 - h_4) = h_3 - h_{4a} = c_p(T_3 - T_{4a}) \quad [kJ/kg]$$

والعمل النوعي الفعلي المفيد بالنسبة لـ 1 kg وسيط عمل:

$$(25.7) \quad \begin{aligned} w_{u,a} &= w_{Ta} / w_{comp,a} = (h_3 - h_{4a}) - (h_{2a} - h_1) \\ &= c_p [(T_3 - T_{4a}) - (T_{2a} - T_1)] \quad [kJ/kg] \end{aligned}$$

والاستطاعة النظرية لمنشأة العنف الغازية:

$$(26.7) \quad P_{theor} = m (w_T - w_{comp}) \quad [KW]$$

وأخيراً فإن الاستطاعة الفعلية لمنشأة العنف الغازية تحسب من العلاقة التالية:

$$(27.7) \quad P = m w_{u,a} = m (w_{Ta} - w_{u,a}) = m (w_T \eta_{iT} - w_{comp} / \eta_{i,comp}) \quad [KW]$$

حيث:  $m$  التدفق الكتلي للغاز في العنف الغازية [kg/s].

في المثال (3.7) تمت مراعاة تأثير عدم العكوسية في الضاغط والعنف الغازية وكذلك تأثير ضياعات الطاقة على المردود الحراري لمخطة العنف الغازية .

### مثال 3.7

ما هو المردود الحراري لمخطة عنفة غازية نسبة الضغط فيها 15 ودرجة حرارة الدخول إلى الضاغط 10 °C ودرجة حرارة الدخول إلى العنف الغازية 1100 °C، إذا كان المردود الداخلي للعنف 0.92 وللضاغط 0.89؟

الحل

1. يؤخذ كل من درجة حرارة وسيط العمل بعد الانضغاط والتمدد الايزنتروبي وكميات الحرارة النظرية النوعية (عمل الانضغاط والتمدد، كمية الحرارة المضافة) وكذلك المردود الحراري لدورة عمل جول العكوسة من المثالين (1.7) و(2.7):  $T_1 = 283 \text{ K}$ ,  $T_2 = 613.5 \text{ K}$ ,  $T_3 = 1373 \text{ K}$ ,  $T_4 = 633.4 \text{ K}$ ,  $w_{comp} = 332.2 \text{ kJ/kg}$ ,  $q_s = 763.3 \text{ kJ/kg}$ ,  $\eta_{th} = 0.538$ .

2. بمساعدة المردود الداخلي للنفثة  $\eta_{IT} = 0.92$  وللضاغط  $\eta_{i,comp} = 0.89$  يمكن حساب درجات الحرارة الفعلية لوسيط العمل بعد الانضغاط والتمدد كما يلي:

$$\begin{aligned} T_{2,a} &= T_1 + (T_2 - T_1) / \eta_{i,comp} \\ &= 283 + (613.5 - 283) / 0.89 = 645.3K \end{aligned}$$

$$\begin{aligned} T_{4,a} &= T_3 + (T_3 - T_4) / \eta_{IT} \\ &= 1373 - (1373 - 633.4) 0.92 = 692.6K \end{aligned}$$

3. يُحسب العمل النوعي الفعلي للانضغاط، والتمدد، والعمل النوعي المفيد كما يلي:

$$\begin{aligned} w_{comp,a} &= w_{comp} / \eta_{i,comp} \\ &= 332.2 \text{ kJ/kg} / 0.89 = 373.2 \text{ kJ/kg} \end{aligned}$$

$$\begin{aligned} w_{T,a} &= w_T \eta_{IT} \\ &= 743.3 \text{ kJ/kg} \times 0.92 = 683.8 \text{ kJ/kg} \end{aligned}$$

$$\begin{aligned} w_{u,a} &= w_{T,a} - w_{comp,a} \\ &= 683.8 \text{ kJ/kg} - 373.2 \text{ kJ/kg} = 310.6 \text{ kJ/kg} \end{aligned}$$

4. الحرارة المضافة لكل 1 kg غاز في حجرة احتراق النفثة الغازية:

$$\begin{aligned} q_{s,a} &= c_p (T_3 - T_{2,a}) \\ &= 1.005 \text{ kJ/kg} (1373 - 654.3)K = 772.3 \text{ kJ/kg} \end{aligned}$$

5. المردود الحراري لدورة العمل الفعلية:

$$\begin{aligned} \eta_{th,a} &= w_{u,a} / q_{s,a} \\ &= 310.6 \text{ kJ/kg} / 772.3 \text{ kJ/kg} = 0.43 \end{aligned}$$

بالمقارنة مع  $\eta_{th} = 0.538$  لدورة عمل جول العكوسة (انظر المثال 2.7) فإن المردود الحراري الفعلي  $\eta_{th,a}$  أصغر بـ:  $\% 20 = (0.538 - 0.43) / 0.538$

## 3.7 رفع الاستطاعة الجاهزة

### 1.3.7 رفع نسبة الضغط ودرجة حرارة الدخول إلى النفثة الغازية

تحدد قدرة منشأة ذات نفثة غازية على تقديم الاستطاعة عن طريق الاستطاعة القابلة للاستخدام (المفيدة) والمردود الحراري والاستهلاك النوعي للحرارة.

أما الاستطاعة الحرارية المفيدة  $p$  لمحطة عنفة غازية فتحدد عن طريق تدفق الغاز الذي يمر عبر العنفة الغازية والعمل النوعي المفيد للعنفة:

$$(28.7) \quad P = m W_u \quad [\text{Kw}]$$

يتألف التدفق الكتلي للغاز من التدفقات التالية:  $m_A$  تدفق الهواء،  $m_F$  تدفق الوقود،  $m_V$  تدفق البخار الذي يستخدم لتقليل انبعاث  $\text{NO}_x$ :

$$(29.7) \quad m = m_A + m_F + m_V \quad [\text{kg/s}]$$

يحسب التدفق الكتلي للوقود من الاستطاعة الحرارية  $Q_F$  [kW] التي تتحرر باحتراق الوقود في حجرة الاحتراق والقيمة الحرارية الدنيا للوقود LCV [kJ/kg]:

$$(30.7) \quad m_F = Q_F / \text{LCV} \quad [\text{kJ/kWh}]$$

سيتم حساب التدفق الكتلي للوقود  $m_F$  فيما يلي، وسيوضح أنه صغير بالمقارنة بالتدفق الكتلي للهواء  $m_A$ .

يُعرف الاستهلاك النوعي للحرارة في محطة العنفة الغازية  $q_{\text{spec}}$  بأنه نسبة الحرارة المضافة إلى العمل المفيد وواحدته [kJ/kWh] حيث kWh هي الاستطاعة الكهربائية المُولدة:

$$(31.7) \quad q_{\text{spec}} = 3600 Q_S / P = 3600 / \eta_{\text{th}} \quad [\text{kJ/kWh}]$$

رفع المردود الحراري يزداد العمل النوعي المفيد للعنفة الغازية، وبالتالي ينخفض الاستهلاك النوعي للحرارة في المنشأة.

رفع المردود الحراري للمحطة ذات العنفة الغازية يجب رفع درجة الحرارة الوسطية لإضافة الحرارة  $T_S$  وتخفيض درجة الحرارة الوسطية لطرح الحرارة  $T_R$ .

يتم رفع المردود الحراري للمحطة ذات العنفة الغازية عن طريق:

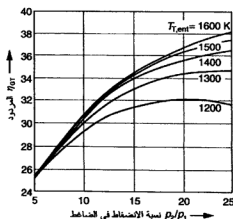
- رفع نسبة الضغط  $\beta$ .
- زيادة درجة الحرارة عند الدخول إلى العنفة الغازية.
- التسخين الأولي المتجدد للهواء قبل إرساله إلى حجرة الاحتراق عن طريق غازات الاحتراق.
- الانضغاط على مراحل مع تبريد وسطي والتمدد على مراحل مع التخميص الوسطي.

تم تحليل تأثير نسبة الضغط  $\beta$  في الفقرة السابقة، وبين الجدول (2.7) والشكل (3.7) العلاقة بين المردود الحراري  $\eta_{th}$  ونسبة الضغط  $\beta$  من أجل دورة عمل جول المثالية. فمثلاً يزداد المردود الحراري لدورة عمل جول من 36.9 إلى 65.1% عند رفع نسبة الضغط من 5 إلى 30، وتصل قيمة نسبة الضغط إلى 15 وحتى 30 في العنفات الغازية الحديثة ذات المردود العالي المستخدمة لتوليد التيار الكهربائي.

أما في العنفات المستعملة فعلياً فهناك حدود عليا لدرجة حرارة دخول الغاز إلى العنفة مرتبطة بمادة (معدن) شفرات العنفة الغازية وطريقة التبريد المستخدمة. تبلغ درجة الحرارة عند الدخول إلى العنفة الغازية حالياً من أجل العنفة الغازية ذات المردود العالي للجيلين الثاني والثالث القيمة 1100 إلى 1250°C.

يتعلق مردود العنفة الغازية بالتدفق الكتلي للغاز ودرجة حرارته لدى دخوله إلى العنفة الغازية وبارتفاع موقع العنفة عن سطح البحر.

يؤدي رفع درجة حرارة الغاز لدى دخوله إلى العنفة الغازية إلى ارتفاع كبير في مردود العنفة، وبين الشكل (6.7) تأثير درجة حرارة دخول الغاز إلى العنفة  $T_{T,ent}$  على نسبة الضغط  $p_2/p_1$  وعلى المردود الحراري  $\eta_{GT}$  لمحطة العنفة الغازية. هناك قيمة مثلى لنسبة الضغط (من أجل درجة حرارة معينة لدى دخول الغازات إلى العنفة) يتحقق عندها الوصول إلى العمل النوعي المفيد الأعظمي.



الشكل 6.7 : مردود محطة العنفة الغازية  $\eta_{GT}$  وعلاقته بنسبة الانضغاط  $p_2/p_1$  وبدرجة حرارة الغاز لدى دخوله العنفة  $T_{T,ent}$ .

تؤثر درجات الحرارة امتصاص الهواء المرتفعة إلى الضاغط بشكل غير مناسب على مردود العنفة الغازية. ولذلك تكون استطاعة العنفة الغازية في الصيف أقل منها في الشتاء. تحدد القيم القياسية عند شروط ISO [أي عند مستوى سطح البحر حيث الارتفاع = صفر، الضغط 1.013 bar درجة الحرارة 15 °C، الرطوبة النسبية للهواء 60 %].

تزداد كثافة الهواء عند درجات حرارة أدنى وعند ضغط أعلى للهواء الخارجي مقارنة بالقيمة المقبولة عند شروط ISO القياسية. يزداد التدفق الكتلي للهواء عند انخفاض درجة الحرارة للهواء الخارجي، ولذلك فإن استطاعة العنفة الغازية في الشتاء أعلى منها في الصيف. كذلك تنخفض استطاعة نفس العنفة عند تركيبها في موقع أعلى.

من الإجراءات الأخرى لرفع مردود محطة العنفة الغازية هناك التسخين الأولي المتجدد للهواء والتبريد الوسيط والتحميص الوسيط لوسيط العمل، وستعرض لهذا في الفقرات القادمة.

### 2.3.7 التسخين الأولي المتجدد للهواء

تتعلق درجة الحرارة التي تغادر عندها الغازات العنفة بدرجة الحرارة لهذه الغازات لدى دخولها إلى العنفة ونسبة الضغط.

يعطي الجدول (3.7) درجات حرارة الغازات لدى مغادرتها للعنفة الغازية عند مختلف درجات الحرارة أثناء الدخول  $T_{T,ent}$  وعند مختلف نسب الضغط  $\beta$ . القيم المختارة لـ  $T_{T,ent}$  و  $\beta$  تمثل الجليدين الثاني والثالث من العنفات الغازية الحديثة.

الجدول 3.7: درجة حرارة الغازات لدى مغادرتها للعنفة الغازية [°C] وعلاقتها بدرجة حرارة دخول الغازات إلى العنفة ونسبة الضغط  $\beta$  المردود الداخلي للعنفة الغازية 0.9.

نسبة الضغط $\beta$		درجة حرارة دخول الغازات إلى العنفة [°C]
30	15	
330	423	1000
448	560	1250
566	696	1500

كذلك يبين الجدول (3.7) بأن درجة حرارة الغازات المغادرة للعنفة

— تزداد مع ارتفاع درجة حرارة الغازات لدى دخولها عند ثبات نسبة الضغط.

— تتناقص مع ارتفاع نسبة الضغط عند ثبات درجة حرارة دخول الغازات.

في محطات العنفات الغازية التي تتراوح درجة حرارة دخول الغازات إلى العنفة فيها بين 1100 و 1250 °C تكون درجة حرارة الغازات عند المغادرة بين 450 و 620 °C تبعاً لنسبة الضغط. تكون الضياعات الحرارية مع غازات الاحتراق عند درجات الحرارة هذه عالية جداً ومن ثم يكون المردود منخفضاً.

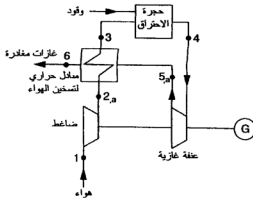
يمكن تحسين مردود محطة العنفة الغازية المفتوحة بشكل جوهري عن طريق استخدام الحرارة التي تحملها الغازات المغادرة للعنفة لتسخين الهواء الذي تم رفع ضغطه في الضاغط تسخيناً أولياً.

عن طريق التسخين الأولي المتجدد للهواء يتناقص الاستهلاك النوعي للوقود في حجرة احتراق العنفة الغازية، وتخفض درجة حرارة غازات الاحتراق التي تطرد إلى الوسط الخارجي.

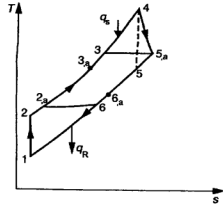
يبين الشكل (a7.7) بشكل تخطيطي محطة عنفة غازية مزودة بمبادل حراري لتسخين الهواء تسخيناً أولياً، وبين الشكل (b7.7) دورة عمل هذه المنشأة على المخطط  $T-s$ .

من الممكن نظرياً الاستفادة من فرق درجات الحرارة المتاح في مسخن الهواء ( $T_{5,a} - T_{2,a}$ ) بشكل كامل وبدون ضياعات من أجل تسخين الهواء بشكل متجدد تسخيناً أولياً.

في هذه الحالة يجري تسخين الهواء من  $T_{2,a}$  إلى  $T_{3,a} = T_{5,a}$  بشكل متجدد، وغازات الاحتراق تبرد عندئذ من  $T_{3,a}$  إلى  $T_{6,a}$ .



(a) مخطط تسلسل العمليات



(b) مخطط  $T-s$

الشكل 7.7 : المنشأة ذات العنفة الغازية والتسخين الأولي للهواء المتجدد.

من أجل منشأة ذات عنفة غازية وتسخين أولي للهواء ومتحدد و كامل تطبيق العلاقات التالية:

(a) كمية الحرارة النوعية المضافة أو المطروحة [kJ/kg]:

$$(32.7) \quad q_{s,reg} = c_p (T_4 - T_3) = c_p (T_4 - T_{5,a})$$

$$(33.7) \quad q_{R,reg} = c_p (T_6 - T_1) = c_p (T_{2,a} - T_1)$$

(b) العمل النوعي المفيد [kJ/kg]:

$$(34.7) \quad \begin{aligned} w_{u,reg} &= w_T - w_{comp} = (T_4 - T_{5,a}) - (T_{2,a} - T_1) \\ &= c_p (T_4 - T_{5,a}) - (T_{2,a} - T_1) \end{aligned}$$

المردود الحراري للمنشأة ذات العنف الغازية والتسخين الأولي الكامل المتحدد للهواء:

$$(35.7) \quad \eta_{th,rag} = w_{u,reg} / q_{s,reg} = [(T_4 - T_{5,a}) - (T_{2,a} - T_1)] / (T_4 - T_3)$$

في محطات العنفات الغازية ذات التسخين الأولي المتحدد للهواء تكون درجة حرارة الهواء الفعلية التي يمكن الوصول إليها  $T_{3,a}$  أقل من  $T_3$ ، وتكون درجة الحرارة الفعلية لخروج الغازات من العنفة  $T_{6,a}$  أقل من  $T_6$  (الشكل b.7.7).

تتحدد قابلية انتقال الحرارة لمسخن هواء أولي حقيقي عن طريق عامل الفعالية  $\varepsilon$  الذي هو نسبة الاستطاعة الحرارية الفعلية للمبادل الحراري إلى النظرية، أي:

$$(36.7) \quad \varepsilon = (T_{3,a} - T_{2,a}) / (T_{5,a} - T_{2,a})$$

حيث:  $(T_{3,a} - T_{2,a})$  الارتفاع الفعلي لدرجة الحرارة

$(T_{5,a} - T_{2,a})$  فرق درجات الحرارة المتوفر بين الغاز المغادر للعنفة والهواء في المبادل الحراري.

تتراوح قيمة  $\varepsilon$  عملياً بين 0.6 و 0.8.

تبلغ الدرجة الفعلية للهواء أو لغازات الاحتراق عند مخرج المبادل الحراري:

$$(37.7) \quad T_{3,a} = T_{2,a} + \varepsilon (T_{5,a} - T_{2,a})$$

أو

$$(38.7) \quad T_{6,a} = T_{5,a} + \varepsilon (T_{5,a} - T_{2,a})$$

من أجل محطة عنفة غازية تحوي مبادلاً حرارياً فعلياً تطبيق العلاقات التالية:

(a) لحساب الحرارة النوعية المضافة أو المطروحة [kJ/kg]:

$$(39.7) \quad q_{s,reg} = c_p (T_4 - T_{3,a}) = c_p [T_4 - T_{2,a} - \varepsilon (T_{5,a} - T_{2,a})]$$



(40.7)

$$q_{R,reg} = c_p (T_{6,a} - T_1)$$

(b) لحساب العمل النوعي المفيد [kJ/kg]

(41.7)

$$w_{u,reg} = c_p [(T_4 - T_{5,a}) - (T_{2,a} - T_1)]$$

كذلك فإن:

(42.7)

$$w_{u,reg} = q_{s,reg,a} - q_{R,reg,a}$$

ويمكن الآن حساب المردود الحراري لمحطة العنفة الغازية عند إجراء التسخين الأولي للهواء كما يلي:

(43.7)

$$\eta_{th,reg,a} = w_{u,reg,a} / q_{s,reg,a}$$

وتُحسب النسبة بين مردود محطة العنفة الغازية مع مبادل حراري لتسخين الهواء تسخيناً أولياً وبين مردودها بدون المبادل بشكل تقريبي كما يلي:

(44.7)

$$\eta_{th,reg,a} / \eta_{th} = (T_4 - T_{2,a}) / (T_4 - T_{3,a})$$

سيتم في المثال 4.7 تحليل تأثير التسخين الأولي المتجدد للهواء على المردود الحراري للعنفة الغازية.

#### مثال 4.7

كيف يتغير المردود الحراري لعنفة غازية (المثال 3.7) إذا استخدمت حرارة غازات الاحتراق لتسخين الهواء تسخيناً أولياً متجدداً؟ عامل فعالية مسخن الهواء  $\varepsilon = 0.75$ . تعمل المنشأة عند نسبة ضغط 15، درجة حرارة دخول الهواء إلى الضاغط 10 °C والغازات إلى العنفة الغازية 1100 °C. المردود الداخلي للعنفة 0.92 وللضاغط 0.89.

الحل

1. تؤخذ من المثال 3.7 القيم التالية (انظر الشكل (b7.7):  $T_1 = 283 \text{ K}$ ,  $T_{2,a} = 654.3 \text{ K}$ ,

$$T_{3,a} = 1373 \text{ K}, T_{5,a} = 692.6 \text{ K}, w_{comp,a} = 373.2 \text{ kJ/kg}, w_{T,a} = 683.8 \text{ kJ/kg}, w_{u,a} = 310.6$$

$$q_{s,a} = 722.3 \text{ kJ/kg}, \eta_{th,a} = 0.43$$

2. درجة حرارة الغازات الفعلية بعد مسخن الهواء الأولي:

$$\begin{aligned} T_{3,a} &= T_{2,a} + \varepsilon (T_{5,a} - T_{2,a}) \\ &= 654.3 + 0.75 (692.6 - 654.3) = 683 \text{ K} \end{aligned}$$

ودرجة حرارة الهواء الفعلية بعد المسخن الأولي للهواء:

$$T_{6,a} = T_{5,a} + \epsilon (T_{5,a} - T_{2,a})$$

$$= 692.6 + 0.75 (692.6 - 654.3) = 663.9 \text{ K}$$

3. تحسب كمية الحرارة النوعية المضافة إلى المنشأة ذات العنفة الغازية أو المطروحة منها مع وجود تسخين أولي متجدد للهواء كما يلي:

$$q_{s,reg,a} = c_p (T_4 - T_{3,a})$$

$$= 1.005 \text{ kJ/kg} (1373 - 683) \text{ K} = 693.4 \text{ kJ/kg}$$

$$q_{R,reg,a} = c_p (T_{6,a} - T_1)$$

$$= 1.005 \text{ kJ/kg} (663.9 - 283) \text{ K} = 382.8 \text{ kJ/kg}$$

4. يبقى العمل النوعي المفيد للعنفة الغازية ثابتاً أي  $w_{u,a} = 310.6 \text{ kJ/kg}$ ، وبالتالي فالمردود الحراري للمنشأة مع تسخين أولي متجدد للهواء:

$$\eta_{th,reg} = w_{u,a} / q_{s,reg,a} = 310.6 / 693.4 = 0.448$$

5. بالمقارنة مع المرودود المحسوب في المثال 3.7 حيث  $\eta_{th,a} = 0.43$  فإن المرودود  $\eta_{th,reg}$  قد ارتفع بمقدار  $\% 4.2 = (0.448 - 0.43) / 0.43$ .

سيتم في المثال 5.7 تحليل تأثير درجة حرارة دخول الغازات إلى العنفة على المرودود الحراري وعلى العمل النوعي المفيد لمحطة العنفة الغازية.

## 5.7 مثال

كم يبلغ المرودود الحراري والعمل النوعي المفيد لمحطة عنفة غازية نسبة الضغط لها 15 درجة حرارة دخول الهواء إلى الضاغط 10 °C. المرودود الداخلي للعنفة الغازية 0.92 وللضاغط 0.89؟ المنشأة بدون تسخين أولي متجدد للهواء ودرجة حرارة دخول الغاز إلى العنفة 950 °C و 1250 °C حسب الحال. قارن النتائج بتلك الواردة في المثال 4.7.

*الحل*

1. من المثال 4.7 نجد:

$$w_{u,a} = 373.2 \text{ kJ/kg}, \eta_{th,a} = 0.43, \beta = 15, w_{comp,a} = 373.2 \text{ kJ/kg}, T_{2,a} = 654.3 \text{ K}, T_1 = 283 \text{ K}$$

$$T_3 = 1100^\circ\text{C} = 1373 \text{ K} \text{ من أجل } \text{kJ/kg}$$

2. من أجل درجة حرارة دخول إلى العنفة  $T_3 = 950^\circ\text{C} = 1223 \text{ K}$  ،  $\beta = 15$  ،  $\eta_{IT} = 0.92$  . فإنه:

(a) تحسب درجة حرارة الغاز بعد التمدد في العنفة كما يلي:

$$\begin{aligned} T_{4,a} &= T_3 - (T_3 - T_4) = \eta_{IT} \\ &= T_3 [1 - (1 - 1/\beta^{(k-1)/k}) \eta_{IT}] \\ &= 1223 [1 - (1 - 1/15^{0.2857}) 0.92] = 616.9 \text{ K} \end{aligned}$$

(b) يحسب عمل التمدد النوعي أو العمل النوعي المفيد لدورة العمل كما يلي:

$$\begin{aligned} w_{T,a} &= c_p(T_3 - T_{4,a}) \\ &= 1.005 \text{ kJ/kgK} (1223 - 616.9) \text{ K} = 609.1 \text{ kJ/kg} \end{aligned}$$

$$\begin{aligned} w_{u,a} &= w_{T,a} - w_{\text{comp},a} \\ &= 609.1 \text{ kJ/kg} - 373.2 \text{ kJ/kg} = 235.9 \text{ kJ/kg} \end{aligned}$$

(c) كمية الحرارة النوعية المضافة:

$$\begin{aligned} q_{s,a} &= c_p(T_3 - T_{2,a}) \\ &= 1.005 \text{ kJ/kg} (1223 - 654.3) \text{ K} = 571.5 \text{ kJ/kg} \end{aligned}$$

(d) المردود الحراري:

$$\begin{aligned} \eta_{th,a} &= w_{u,a}/q_{s,a} \\ &= 235.9 \text{ kJ/kg} / 571.5 \text{ kJ/kg} = 0.413 \end{aligned}$$

3. عندما تكون درجة حرارة الدخول إلى العنفة الغازية  $T_3 = 1250^\circ\text{C} = 1523 \text{ K}$  تصبح القيم

الجديدة كما يلي:

$$T_{4,a} = T_3 [1 - (1 - 1/\beta^{(k-1)/k}) \eta_{IT}] \quad (a)$$

$$= 1523 [1 - (1 - 1/15^{0.2857}) 0.92] = 768.2 \text{ K}$$

$$w_{T,a} = c_p(T_3 - T_{4,a}) \quad (b)$$

$$= 1.005 (1523 - 768.2) = 758.2 \text{ K}$$

$$w_{u,a} = w_{T,a} - w_{\text{comp},a}$$

$$= 758.5 - 373.2 = 385.3 \text{ kJ/kg}$$

$$q_{s,a} = c_p(T_3 - T_{2,a}) \quad (c)$$

$$= 1.005 (1523 - 654.3) = 873 \text{ kJ/kg}$$

$$\eta_{th,a} = w_{u,a} / q_{s,a} \quad (d)$$

$$= 385.3 / 873 = 0.441$$

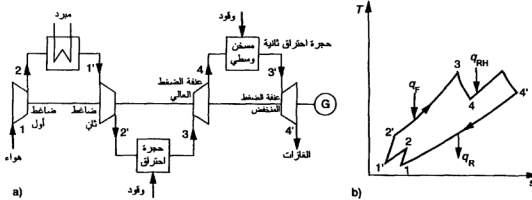
تم ترتيب النتائج في الجدول 4.7.

**الجدول 4.7:** تأثير درجة حرارة الدخول إلى العنفة الغازية على المردود الحراري  $\eta_{th}$  والعمل النوعي المفيد  $w_u$  لمحلة العنفة الغازية. القيم المرجعية هي:  $T_1 = 283^\circ\text{C}$ ،  $\beta = 15$ ،  $T_3 = 1100^\circ\text{C}$   
 $w_{u,\beta} = 310.6 \text{ kJ/kg}$ ،  $\eta_{th,a} = 0.43$

درجة حرارة الدخول إلى العنفة الغازية $^\circ\text{C}$	$\eta_{th}$	$\Delta\eta_{th}/\eta_{th,\beta}$ [%]	$w_u$ [kJ/kg]	$\Delta w_u/w_{u,\beta}$ [%]
950	0.413	- 4	235.9	-24
1100	0.430	-	310.6	-

### 3.3.7 التبريد الوسيط والتسخين الوسيط

يمكن رفع درجة الحرارة الوسطية لإضافة الحرارة وتخفيض درجة الحرارة الوسطية لطرح الحرارة عن طريق الانضغاط على مراحل مع التبريد الوسيط والتمدد على مراحل في العنفة الغازية مع التسخين الوسيط. وبذلك تزداد الاستطاعة المقدمة من العنفة وكذلك المردود الحراري للمنشأة.



**الشكل 8.7 :** منشأة ذات عنفة غازية يحدث فيها الانضغاط على مرحلتين (a) مخطط تسلسل الأجزاء  
 (b) مخطط T-s.

يبين الشكل (8.7) مخطط دورة عمل عنفة غازية ذات انضغاط على مرحلتين وتبريد وسطي للهواء وكذلك ذات تمدد على مرحلتين مع التسخين الوسيط.

من أجل هذه المنشأة التي يكون فيها الانضغاط والتمدد عند نفس التغيرات لدرجة الحرارة في كل مرحلة تطبق العلاقات التالية:

(a) العمل النوعي المفيد لكل kg من الوسيط العامل:

$$\begin{aligned} w_{u,a} &= (w_{T1} + w_{T2}) - (w_{comp1} + w_{comp2}) \\ (45.7) \quad &= 2c_p [(T_3 - T_4) \eta_{iT} - (T_2 - T_1) / \eta_{i,comp}] \quad [\text{kJ/kg}] \end{aligned}$$

(b) كمية الحرارة النوعية المضافة في حجرة الاحتراق الأولى (دليلها C.C) وفي عملية التسخين الوسطي في حجرة الاحتراق الثانية (دليلها RH):

$$(46.7) \quad q_s = q_{cc} + q_{RH} = c_p [(T_3 - T_2) + (T_3' - T_4)] \quad [\text{kJ/kg}]$$

(c) كمية الحرارة النوعية المطروحة:

$$(47.7) \quad q_R = c_p (T_{4'} - T_1) \quad [\text{kJ/kg}]$$

(d) المردود الحراري لمحلة العنفة الغازية:

$$(48.7) \quad \eta_{th} = w_{u,a} / q_s$$

الحرارة المطروحة من مورد الهواء:

$$(49.7) \quad q_C = c_p (T_2 - T_{1'}) \quad [\text{kJ/kg}]$$

تُحسب درجتا الحرارة الفعليتان  $T_2$  و  $T_{4'}$  عن طريق المعادلتين 21.7 و 22.7. وتُحسب الاستطاعة الحرارية المفيدة المكتسبة من محطة العنفة الغازية كما يلي:

$$(50.7) \quad P = m w_{u,a} \quad [\text{kW}]$$

حيث:  $m$  التدفق الكتلي لوسيط العمل في الضاغط والعنفة الغازية  $[\text{kg/s}]$ .

في الحالة العامة ومن أجل  $n_{comp}$  مرحلة للانضغاط مع التبريد الوسطي ومن أجل  $n_T$  مرحلة للتمدد مع التسخين الوسطي فإن كميات الحرارة النوعية  $[\text{kJ/kg}]$  والمردود الحراري تُحسب كما يلي:

$$\begin{aligned} w_{u,a} &= n_T w_{T,a} - n_{comp} w_{comp,a} \\ (51.7) \quad &= c_p [n_T (T_3 - T_{4s}) \eta_{iT} - n_{comp} (T_{2s} - T_1) / \eta_{i,comp}] \end{aligned}$$

$$(52.7) \quad q_s = c_p [(T_3 - T_{2'}) + (n_T - 1) (T_{3'} - T_{4'})]$$

$$(53.7) \quad q_R = c_p (T_{4'} - T_1)$$

$$(54.7) \quad q_c = c_p (T_2 - T_1) (\eta_{\text{comp}} - 1)$$

$$(55.7) \quad \eta_{\text{th}} = w_{u,a} / q_s$$

حيث:  $T_{2s}$  و  $T_{4s}$  درجتا الحرارة بعد الانضغاط الايزنتروبي أو التمدد الايزنتروبي ( $s = \text{const}$ )

و  $T_2$ ،  $T_3$ ،  $T_4$  درجات الحرارة بعد الانضغاط الثاني، وقبل العنفة الثانية  $T_2$  وبعدها.

إذا بلغ عدد المراحل اللانهاية و  $\eta_{\text{comp}} = \eta_{\text{tr}} = 1$  نحصل على مردود دورة عمل كير (Ackeret - Keller) المؤلف من عمليتين بثبوت درجة الحرارة وعمليتين بثبوت الضغط. حيث يجري تبريد وسيط العمل بين مراحل الانضغاط بثبوت الضغط إلى درجة الحرارة الابتدائية، وكذلك يجري تسخينه بعد كل مرحلة تمتد ثانية إلى درجة حرارة الدورة الأعظمية وذلك بثبوت الضغط. المردود الحراري لدورة العمل هذه مساوٍ للمردود الحراري لدورة عمل كارنو ذات درجة الحرارة الأعظمية  $T_3$  ودرجة الحرارة الصغرى  $T_1$ :

$$(56.7) \quad \eta_{\text{th}} = 1 - T_1 / T_3$$

جرّاء التكاليف العالية للأجزاء الإضافية فإنه في الوقت الحاضر لا يوجد عملياً إلا تبريد وسطي وحيد وتسخين وسطي وحيد.

يبين المثال 6.7 حساب الاستطاعة الكهربائية والاستهلاك النوعي للوقود لعنفة غازية.

## 6.7 مثال

محطة عنفة غازية لها المواصفات التالية: نسبة الضغط 15، درجة حرارة دخول الهواء إلى الضاغط 10 °C وإلى العنفة الغازية 1100 °C. المردود الداخلي للعنفة 0.92 وللضاغط 0.89، التدفق الكتلي للهواء 610 kg/s. يطلب تحديد ما يلي: استهلاك الغاز الطبيعي في حجرة احتراق العنفة الغازية والاستطاعة الكهربائية. القيمة الحرارية الدنيا للغاز الطبيعي  $\text{LCV} = 46780 \text{ kJ/kg}$ ، مردود المولدة الكهربائية 0.98.

**الحل**

1. من المثال 3.7 نحصل على القيم التالية:  $\beta = 15$ ،  $T_1 = 283 \text{ K}$ ،  $T_{2,a} = 654.3 \text{ K}$ ،  $T_3 = 1373 \text{ K}$ ،

$q_{s,a} = w_{u,a} = 310.6 \text{ kJ/kg}$ ،  $w_{T,a} = 683.8 \text{ kJ/kg}$ ،  $w_{\text{comp},a} = 373.2 \text{ kJ/kg}$ ،  $T_{4,a} = 692.6 \text{ K}$

·  $\eta_{\text{th},a} = 0.43$ ،  $722.3 \text{ kJ/kg}$

2. تحسب استطاعة التشغيل الفعلية اللازمة للضاغط بدلالة التدفق الكتلي للهواء  $m_A = 610 \text{ kJ/s}$ :

$$P_{\text{comp}} = m_A w_{\text{comp},a}$$

$$= 610 \text{ kg/s} \times 373.2 \text{ kJ/kg} = 227652 \text{ kW}$$

3. الاستهلاك النوعي للوقود في حجرة احتراق العنفة الغازية:

$$m_F = m_A q_{s,a} / \text{LCV}$$

$$= 610 \text{ kg/s} \times 722.3 \text{ kJ/kg} / 46780 \text{ kJ/kg} = 9.42 \text{ kg/s}$$

4. تدفق الغازات المغادرة للعنفة:

$$m_G = m_A + m_F$$

$$= 610 \text{ kg/s} + 9.42 \text{ kg/s} = 619.42 \text{ kg/s}$$

5. الاستطاعة الفعلية للعنفة الغازية:

$$P_T = m_G W_{T,a}$$

$$= 619.42 \text{ kg/s} \times 683.8 \text{ kJ/kg} = 423559 \text{ kW}$$

6. الاستطاعة الكهربائية للمنشأة

$$P_{el} = \eta_G (P_T - P_{\text{comp}})$$

$$= 0.98 (423559 - 227652) = 191989 \text{ kW}$$

## 4.7 أجزاء المحطة

### 1.4.7 مجموعة العنفة (العنفة الغازية + المولدة الكهربائية)

تستخدم العنفات الغازية الثابتة لتشغيل المولدات الكهربائية في محطات توليد الطاقة، ويتصل في مجموعة العنفة كل من العنفة والمولد والضاغط التوربيني. تحتاج محطات العنفات الغازية مقارنة بالآلات الحرارية الأخرى إلى أقل قدر من المساحة وحجم البناء والكتلة للمعدات، وتبلغ تكاليف المعدات للمنشأة ذات العنفة الغازية 50 حتى 60 % فقط من تكاليف معدات المنشأة ذات العنفة البخارية.

تُحدد استطاعة العنفة عن طريق التدفق الكتلي وهبوط الإنتالي لوسيط العمل (الهواء) مع مراعاة الضياعات الداخلية. تعطى استطاعة ومردود العنفة عند الشروط المحيطة وفقاً لمعايير الـ ISO أي عند مستوى البحر (الارتفاع صفر عن مستوى سطح البحر) والضغط  $p = 1.013 \text{ bar}$

ودرجة الحرارة  $t = 15^{\circ}\text{C}$ ، من أجل التصحيح عند الارتفاع عن مستوى البحر يُعتبر بأن الاستطاعة تنخفض بمعدل 1.12 % لكل 100 m ارتفاع بسبب انخفاض الكتلة النوعية للهواء. كذلك يلزم تصحيح آخر بسبب ضياع الضغط.

يبلغ ضياع الاستطاعة 1.2 إلى 2.5 % لكل 1 kPa ضياع في الضغط في قناة امتصاص الضغوط و 0.5 إلى 1.5 % لكل 1 kPa ضياع في الضغط في مجرى تصريف الغازات من العنفة الغازية. يتحدد مردود محطة العنفة الغازية عن طريق نسبة الضغط  $\beta$  ودرجة حرارة دخول الغازات إلى العنفة الغازية. تستخدم في محطات توليد الطاقة على الأغلب عنفات غازية ذات محور وحيد تعمل عند قيمة  $\beta$  تتراوح بين 10 و 16 مع انضغاط أحادي المرحلة. تبلغ أكبر استطاعة للعنفات التي تتولد فيها الكهرباء بتردد 50 هرتز في الوقت الحاضر MW 240 (عند شروط الـ ISO) من أجل تدفق كتلي للهواء قدره 640 kg/s وعند درجة حرارة دخول إلى العنفة تبلغ حوالي  $1230^{\circ}\text{C}$ . للتردد 60 هرتز ينتج MW 170 و 454 kg/s.

من أجل تصميم أمثل تعمل العنفة عند سرعات عالية إذا كانت الاستطاعة الكهربائية أقل من MW 70، تربط العنفة عادة بالمولدة الكهربائية عن طريق علبة سرعة.

تصمم شفرات العنفة من أجل عمر قدره 50000 حتى 100000 ساعة عمل.

تبلغ استطاعة عنفات سيمنس من السلسلة الجديدة 70 حتى MW 240.

ويبين الجدول (5.7) المعطيات الفنية لعنفات سيمنس V84.2، V94.2، V64.3A، V84.3A، V94.3A.

المجدول 5.7: المعطيات الفنية لعنفات سيمنس الغازية، السلسلة 2 و 3A الوقود: غاز طبيعي شروط ISO القياسية هي  $15^{\circ}\text{C}$  و 1013 mbar، عند مستوى سطح البحر.

نموذج العنفة الغازية	V84.2	V94.2	V64.3A	V84.3A	V94.3A
الاستطاعة الكهربائية [MW]	109	159	70	170	240
التردد [Hz]	60	50	50/60	60	50
المردود [%]	34.0	34.5	36.8	38.0	38.0
نسبة الضغط	11.0	11.1	16	16	16
تدفق الغازات الكتلي [kg/s]	360	519	194	454	460
درجة حرارة مغادرة العنفة [ $^{\circ}\text{C}$ ]	544	540	565	562	562
إصدار $\text{NO}_x$ [ppm]*	25	25	< 25	< 25	< 25

\* المقصود بـ ppm جزء بالمليون (parts per million)



أما الجدول (6.7) فيتضمن مواصفات الأداء لمجموعة العنف 26 GT من شركة ABB لحظة الطاقة AG.

الجدول 6.7: مواصفات مجموعة العنف 26 GT (عند شروط ISO) من صنع شركة ABB لمحطات الطاقة AG. الوقود المستخدم: غاز طبيعي. الشروط القياسية ISO هي 15 °C و 1013 mbar وعند مستوى سطح البحر.

الوصف	الوحدة	القيمة
الاستطاعة	MW	240
المردود (الكفاءة)	%	37.8
نسبة الضغط	-	30
التدفق الكتلي	kg/s	542
درجة حرارة الغاز	°C	610
عدد المراحل	-	5
— العنف	-	22
— الضاغط	-	
العدد	-	
— حجرة الاحتراق (قليلة الإصدار للغازات الضارة)	-	2
— حرق لكل حجرة احتراق	-	30/24
انبعاث NO <sub>x</sub> (عند محتوى 15% أو كسجين في الغازات)	*ppm	< 25
parts per million - ppm * (جزء من المليون)		

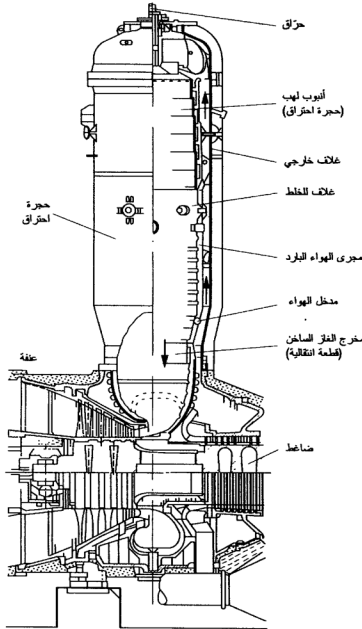
لقد تضمنت عنفات الاستطاعات التالية 26 GT من شركة ABB و V94.3A من شركة Siemens /KWU أحدث التطورات في هندسة العنفات الغازية، وهي بذلك تحقق أعلى مردود مع ضمان إصدار قليل لـ NO<sub>x</sub> عند إحراق الغاز الطبيعي والوقود السائل الثقيل (فيول أويل). تتميز العنفة الغازية 26 GT باحتراق ثنائي المراحل في حجرتي احتراق قليل الإصدار للغازات الضارة.

يُعرف مردود مجموعة العنفة (العنفة الغازية مع المولد الكهربائي) بأنه نسبة استطاعة المولدة الكهربائية إلى الاستطاعة الحرارية الداخلة (المقدمة).

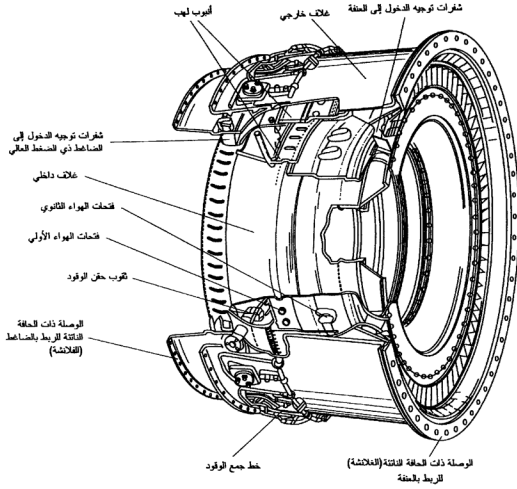
## 2.4.7 حجرة الاحتراق والحرق اللذان يصدران قدرًا ضئيلاً من الغازات الضارة

استخدمت قديماً حجرة الاحتراق المفردة أو التي تأخذ شكل صومعة (Silo) في محطات توليد الطاقة ذات العنفة الغازية، و(الشكل 9.7) ولكن في الأونة الأخيرة استخدمت حجر الاحتراق التي

لها شكل حلقي في محطات توليد الطاقة، والتي كان قد جرى تطويرها أصلاً من أجل محركات الطائرات النفاثة. وهي حجر احتراق تمتاز بقلة إصدارها للغازات الضارة وتعدد الحراقات المركبة عليها والمتجمعة بين الضاغطة والعنفة.



الشكل 9.7 : حجر احتراق وحيدة (المصدر شركة ABB).  
يبين الشكل (10.7) حجرة احتراق لعنفة غازية حلقيّة الشكل.

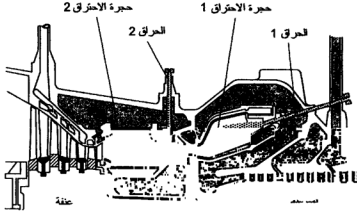


الشكل 10.7 : حجرة الاحتراق الحلقية مع احتراق على مرحلتين.

يتراوح تحميل حجرة الاحتراق بين 40 (من أجل حجرة احتراق واحدة) و  $800 \text{ MW/m}^3$  (حجر الاحتراق الحلقية الشكل). يتم تبريد جدار حجرة الاحتراق المصنوعة من خليطة Ni (النيكل) و  $\text{CO}$  (الكوبالت) بالحمل والتبريد الغشائي (film).

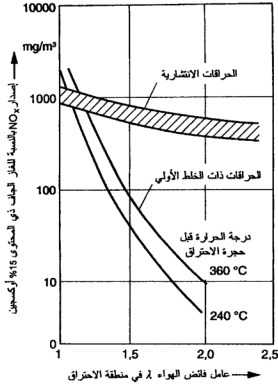
تساعد درجات الحرارة العالية السائدة في حجرة الاحتراق (حوالي  $1500^\circ\text{C}$ ) على تشكيل  $\text{NO}_x$  في حجرة الاحتراق. ولتقليل انبعاث  $\text{NO}_x$  تستخدم حراقات ذات إصدار قليل للغازات الضارة. هناك نوعان من الحراقات: الأول انتشاري (diffusion Burner) والثاني ذو خلط أولي (Premixing B). في النوع الأول لا يختلط الوقود مع الهواء إلا في حجرة الاحتراق. تشير هنا أن استخدام النوع الثاني من الحراقات (أي ذات الخلط الأولي) يُستخدم لتقليل انبعاث  $\text{NO}_x$ . تنخفض في هذه الحالة درجة الحرارة في حجرة الاحتراق وبالتالي يتناقص تشكل NO، ويتم تحقيق ذلك عن

طريق الاختيار الأمثل لنسبة الهواء إلى الوقود في احتراق ثنائي المراحل في حجرة الاحتراق (الشكل 11.7). يتم الاحتراق في هذه الحالة من أجل عامل فائض هواء  $\lambda = 0.6$  في المرحلة الأولى و  $\lambda = 2$  في المرحلة الثانية للاحتراق. كذلك يمكن تخفيض انبعاث  $NO_x$  عن طريق تشغيل الحراقات وإيقافها عن العمل أثناء تشغيل العنفة.



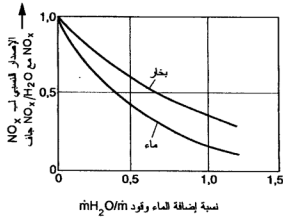
الشكل 11.7 : حجرة الاحتراق الحلقية مع احتراق على مرحلتين.

تستخدم في الوقت الحاضر الطريقة الرطبة التي تتضمن إضافة الماء والبخار إلى الحراق بقصد تخفيض انبعاث  $NO_x$ . مساوئ هذه الطريقة هي الاستهلاك الكبير للماء الخالي من الأملاح وتخفيضها للمردود. يبلغ الاستهلاك الساعي للماء من أجل منشأة استطاعتها 100 MW حوالي  $25 \text{ m}^3$ . يتأثر المردود بنسبة الماء إلى الوقود، ومن أجل  $f = 1$  ينخفض المردود حوالي 5%. تقدم طرق الإحراق المبتدعة لتقليل انبعاث الغازات الضارة على استخدام الحراقات ذات الخلط الأولى، وعندها لا يُضاف أية كميات من الماء أو البخار إلى الحراق. عند عمل العنفة الغازية بالحمولة الكاملة تُمكن الحراقات ذات الخلط الأولى من الوصول إلى احتراق كامل للغاز الطبيعي لزيت الوقود السائل الخفيف (المازوت) gasoil مع انبعاث قليل جداً لـ  $NO_x$ . عند بدء التشغيل وعندما تكون حمولة العنفة صغيرة (حتى 40% من الحمولة الكاملة) فإن الحراقات ذات الخلط الأولى السائدة حالياً لا تستطيع تأمين احتراق مستقر، ولذلك تستخدم في هذه الحالة الحراقات الانتشارية مع إضافة للماء. يبين الشكل (12.7) انبعاث  $NO_x$  من أجل غاز جاف محتواه من الأوكسجين 15% وعلاقة ذلك بعامل فائض الهواء  $\lambda$  لكلٍ من الحراقات الانتشارية والحراقات ذات الخلط الأولى.



الشكل 12.7 : إصدار  $\text{NO}_x$  بالنسبة للغاز الجاف ذي المحتوى 15% أو أكسجين وارتباطه بعامل زيادة الهواء في للحراقات الانتشارية وذات الخلط الأولي.

كما يبين الشكل (13.7) تأثير إضافة الماء أو البخار إلى حجرة الاحتراق على انبعاث  $\text{NO}_x$ .



الشكل 13.7 : تأثير إضافة الماء أو بخار الماء إلى حجرة الاحتراق على انبعاث  $\text{NO}_x$ .

## 5.7 مقارنة بين محطات الطاقة ذات العنفات الغازية والمحطات البخارية

- محطات الطاقة ذات العنفات الغازية مقارنة بالمحطات البخارية المزايا التالية:
  - قابلية كبيرة لرفع درجة الاستفادة من طاقة الوقود وذلك بإمكانية وصلها مع دورة بخار لتشكيل دارة مركبة (درجة الاستفادة الإجمالية تصل إلى 58%).
  - زمن إنشاء المحطة قصير.
  - التكاليف المنخفضة للمعدات (50 إلى 65 % من تكاليف محطة طاقة بخارية).
  - قصر زمن الإقلاع (من 5 إلى 15 — 20 دقيقة بحسب الحمولة).
  - صِغَر المكان اللازم (10 إلى 20 m<sup>2</sup> لكل MW، بينما تحتاج المحطة البخارية 50 حتى 80 m<sup>3</sup>/MW).
  - عدم الحاجة إلى مياه تبريد.
  - الاستهلاك الذاتي للضئيل للطاقة (أقل من 1 % من الاستطاعة الاسمية).
- من المساوئ المحتملة للمحطات ذات العنفات الغازية بالمقارنة مع المحطات البخارية انخفاض المردود وارتفاع إطلاق NO<sub>x</sub>. لقد كان ذلك صحيحاً حتى قبل عدة أعوام. جرّاء انخفاض درجة دخول الغازات إلى العنفة الغازية وصِغَر نسبة الضغط فقد كان مردود العنفة الغازية بين 25 و 30%. أما انبعاث NO<sub>x</sub> فقد كان مرتفعاً بسبب ارتفاع درجة حرارة حجرة الاحتراق. لكن التطور الهائل في هندسة العنفات الغازية خلال الفترة القصيرة الفائتة أدى إلى رفع مردود العنفة الغازية بشكل كبير، حيث تجاوز 38.5 % تبعاً لمعلومات المصنعين. لقد أمكن باستخدام مفاهيم حجات الاحتراق المحافظة على البيئة والتصاميم المبتكرة للحراقات تخفيض إطلاق NO<sub>x</sub> بشكل كبير (عند إحراق الغاز الطبيعي في حالات مناسبة انخفض إصدار NO<sub>x</sub> إلى ما دون 10 ppm)، ولذلك فإن عيوب (مساوئ) العنفات الغازية في الوقت الحاضر مقارنة بحسناؤها هي:
  - محدودة مرونتها عند اختيار الوقود المناسب [تستخدم في حجر احتراق العنفات الغازية الأنواع الجيدة ذات القيمة العالية من الوقود الغازي والوقود السائل الخفيف (المازوت (gasoil)].
  - قصر عُمر شفرات العنفة الغازية.
  - ضرورة تخميد الصوت.

وفقاً لمعايير عام 1997 فإن أعلى مردود لعنفة ذات استطاعة عالية في محطات الطاقة يمكن أن يصل إلى 39.5%.

استخدمت العنفات الغازية في الماضي في محطات الطاقة من اجل تغطية الذروة بسبب قصر الزمن اللازم لإقلاعها، أما الآن فتستخدم لتغطية الحمولة الأساسية.

يُستفاد في محطة الدارة المركبة (بخارية وغازية) من مزايا كلا العمليتين لرفع مردود عملية تحويل الطاقة. شرط الحصول على مردود إجمالي مرتفع في محطة دارة مركبة هو استخدام عنفة غازية ذات مردود عالٍ. وسنعرض هذا في الفصل الثامن.





## 8 محطات الدارة المركبة\*

### 1.8 المحطة المركبة بدون إحراق وقود إضافي لتوليد البخار

تركيب وأنواع محطات الدارة المركبة

في محطة الدارة المركبة تُرتبط عنفة غازية تقوم بعملية أولى على التسلسل مع عنفة بخارية تقوم بدورها بعملية ثانية

ترتبط العمليتان بالشكل الأمثل، وبحيث يتحقق الاستغلال الأمثل لطاقة الوقود. تستخدم في هذه المنشأة الحرارة المضافة عند درجة الحرارة العالية في العنفة الغازية أولاً وبمردود عالٍ لتوليد الكهرباء، ثم تُستغل حرارة الغازات المغادرة للعنفة الغازية في عملية بخار تالية لتوليد الكهرباء أيضاً.

هناك نوعان أساسيان لهذه المنشآت:

— محطة الدارة المركبة بدون إحراق وقود إضافي لتوليد البخار.

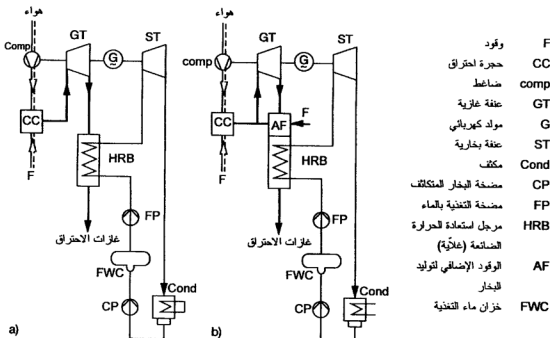
— محطة الدارة المركبة مع إحراق وقود إضافي لتوليد البخار.

تتألف المنشأة في النوع الأول من دورة عمل لعنفة غازية يليها دورة عمل لعنفة بخارية. يبين الشكل (1.8) الأجزاء التي تتألف منها النوعان المذكوران أعلاه.

في النوع الأول يُحرق الوقود في حجرة احتراق العنفة الغازية فقط، ويتم تحويل الحرارة إلى عمل في العنفة الغازية والعنفة البخارية. يُؤلد البخار في مرجل (غلاية) استعادة (استرجاع) الحرارة الضائعة (heat recovery boiler) باستخدام الحرارة الضائعة المرتبطة مع غازات الاحتراق المغادرة للعنفة الغازية. أما البخار المغادر للعنفة البخارية فيجري تكثيفه وضخه عن طريق مضخة خاصة، ثم يرسل إلى خزان ماء التغذية حيث يُسحب منه الهواء. ليس هناك تسخين أولي لماء التغذية إلا في

\* Combined Cycle Power Plants — المترجم

خزان ماء التغذية، وهذا يساعد على زيادة تبريد غازات الاحتراق في مرجل استعادة الحرارة الضائعة. درجة الحرارة للدنيا المسموح بها لغازات الاحتراق هي درجة حرارة التكاثف (الندى) لهذه الغازات، وهي تتعلق بالضغط الجزئية لبخار الماء وثاني أكسيد الكبريت في غازات الاحتراق، أي أنه لا يجوز أن تنخفض درجة حرارة ماء التغذية إلى ما دون درجة حرارة التكاثف، وكلما ازداد محتوى الوقود من الكبريت كلما توجب رفع درجة حرارة ماء تغذية المرجل.

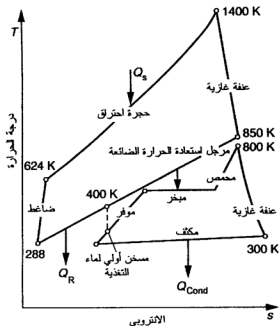


الشكل 1.8 : مبدأ عمل المحطات المركبة: (a) بدون إحراق وقود إضافي لتوليد البخار و(b) مع إحراق وقود إضافي لتوليد البخار.

يبين الشكل (2.8) دورة عمل محطة الدارة المركبة وذلك على المخطط T-s. تتألف دروة العمل الإجمالية من عملية العنفة الغازية وعملية المنشأة البخارية الموصولة بعدها.

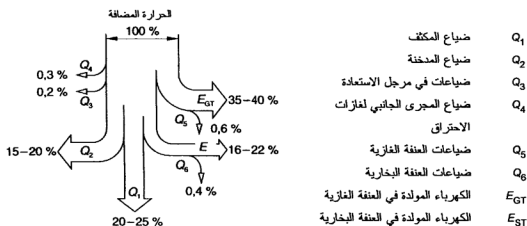
وستقدم في الوصف التالي توضيحاً لطريقة عمل محطة الدارة المركبة. يُضَغَطُّ الهواء ادياباتياً (بشكل كظيم) في الضاغط، ثم يُحرق الوقود بواسطة الهواء المضغوط وذلك في حجرة احتراق العنفة الغازية عند ضغط ثابت، وبعدها تتمدد الغازات الناتجة عن الاحتراق في العنفة الغازية بشكل كظيم. بعد مغادرتها للعنفة الغازية تقدم الغازات جزءاً من حرارتها إلى مرجل استعادة الحرارة

الضائعة، وي طرح الجزء الباقي إلى الوسط الخارجي، وفي المخطط السابق أعطيت درجات الحرارة العملية على سبيل المثال.



الشكل 2.8 : مخطط الدارة المركبة على المخطط T-s.

أما الشكل (3.8) فيبين مخطط تيار الحرارة لمحة الدارة المركبة بدون إحراق وقود إضافي لتوليد البخار.



الشكل 3.8 : مخطط تيار الحرارة لمحة الدارة المركبة بدون إحراق وقود إضافي لتوليد البخار.

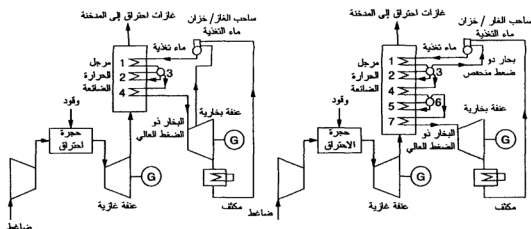
تتراوح درجة حرارة الغاز قبل العنفة الغازية في الوقت الحاضر بين 1100 و 1250 °C وبعدها تكون عادةً بين 550 و 600 °C. يمكن تبريد هذه الغازات في مرحلة استعادة الحرارة الضائعة حتى تصل درجة حرارتها إلى 100 °C. أخفض درجة حرارة لهذه المحطة المركبة تسود في مكثف العنفة البخارية، وهي تتراوح بين 25 و 30 °C. وكما هو واضح فإن مجال درجات الحرارة لعملية محطة الدارة المركبة يتحدد بين درجة حرارة دخول الغازات إلى العنفة التي تبلغ حوالي 1250 °C ودرجة حرارة المكثف التي تقع بين 25 و 30 °C. إن مبدأ رفع مردود (جودة) المنشأة هو رفع درجة الحرارة الوسطية لإضافة الحرارة وتخفيض درجة الحرارة الوسطية لطرح الحرارة، وهذا المبدأ يمكن تنفيذه في المحطة المركبة بطريقة مثلى، وبالتالي فإن محطات الدارة المركبة تمثل أعلى مردود بين جميع أنواع محطات توليد الطاقة.

تتباين محطات الدارة المركبة التي تعمل بدون إحراق إضافي لتوليد البخار وفقاً لدورة البخار فهناك:

- دورة البخار ذات الضغط الواحد
  - دورة البخار ذات الضغط الواحد مع مبخرات إضافية التفاضلية
  - دورة البخار ذات الضغطين
  - دورة البخار ذات الضغوط الثلاثة
- تتضمن المنشأة ذات الضغط الواحد لخط البخار والمبينة بشكل تخطيطي في الشكل (a4.8) ما يلي:

- جملة العنفة الغازية التي تتألف من ضاغط، حجرة احتراق، عنفة غازية مع مولد.
- مرحلة استعادة الحرارة الضائعة ذات التدوير الطبيعي المؤلف من أسطوانة الفصل للماء عن البخار (3) والموفر (1a) والمبخر (2b) ومحمص البخار (4).
- جملة العنفة البخارية المولدة من العنفة البخارية (6) مع المولد (G) والمكثف (7) ومضخة البخار المتكاثف (8) وساحب الغاز / خزان ماء التغذية (4) ومضخة ماء التغذية (5).
- جملة العنفة البخارية (6) مع المولد (G) والمكثف (7) ومضخة البخار المتكاثف (8) وساحب الغاز / خزان ماء التغذية (4)، ومضخة ماء التغذية (5).
- ينجز البخار المحمص عملاً في العنفة البخارية. يُرسل البخار المشبع إلى خزان ماء التغذية إما من الأسطوانة (الحلقة) 2 أو من الأسطوانة (الحلقة) 3 بعد مروره على صمام خنق، وبهذا يجري تسخين أولي للماء التغذية.

في توصيلات البخار ذات الضغط الواحد لا تبرد الغازات المغادرة للعنفة بشكل كافٍ ويكون مردود دورة البخار صغيراً بسبب درجة الحرارة الوسطية المنخفضة لإضافة الحرارة. بخلاف دورة البخار التقليدية ذات المراحل المتعددة لعملية التسخين الأولي للماء فإن ماء التغذية هنا درجة حرارة منخفضة.



**الشكل 4.8 :** (a) محطة الدارة المركبة ذات الضغط الواحد لحظ البخار (b) محطة الدارة المركبة ذات الضغطين لحظ البخار.

(b)	(a)
1 موفر ذو ضغط منخفض	1 موفر (سخن ماء أولي)
2 موفر ذو ضغط منخفض	2 موفر
3 أسطوانة (حالة) فصل ذات ضغط منخفض	3 أسطوانة (حالة) فصل الماء عن البخار
4 موفر ذو ضغط عالٍ	4 محمص بخار
5 مبدل ذو ضغط عالٍ	
6 أسطوانة (حالة) فصل ذات ضغط عالٍ	
7 محمص بخار ذو ضغط عالٍ	

تُستخدم دورة البخار أحادية الضغط ذات المبخرات الملتفة الإضافية على سبيل المثال لأنواع الوقود الرديئة (التي محتواها من الكبريت عالٍ).

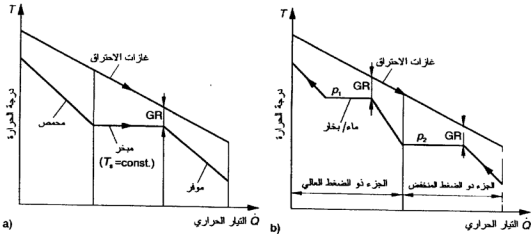
يتألف مرجل استعادة الحرارة الضائعة في محطات الدارة المركبة التي لدورة بخارها ضغطان (الشكل 4.8b) من جزء ذي ضغط منخفض (2) يحوي موفرًا ومبخراً، وجزء ذي ضغط عالٍ يحوي موفرًا ومبخراً ومحمصاً. يستخدم البخار المحمص الطازج المولد في الجزء عالي الضغط في العنفة البخارية. ويؤد في الجزء ذي الضغط المنخفض بخار مشبع يساق قسم منه إلى الجزء ذي الضغط المنخفض من العنفة البخارية ويمرر جزء آخر عبر صمام خنق (ليس مبيناً على الرسم) إلى خزان ماء التغذية (ساحب الغازات).

يجري في المجرى ثنائي الضغط الضغوط تبخر على مرحلتين. يستخدم جزء من البخار القادم من مبخر الضغط المنخفض للتسخين الأولي لماء التغذية ويتمدد الجزء الباقي في عنفة الضغط المنخفض، وتنخفض بذلك درجة حرارة الغازات المغادرة والضياعات الحرارية مع هذه الغازات، وبالتالي يرتفع المردود الإجمالي لمخطة الدارة المركبة.

أما المجرى الثلاثي الضغوط فهو يتألف من جزء يكون فيه ضغط البخار منخفضاً وآخر يكون فيه الضغط متوسطاً والثالث يكون فيه الضغط مرتفعاً، وهذه الطريقة يكون مردود عملية البخار أعلى منه في الطرق السابقة ولكنه الخيار الأعلى كلفة، لذلك يكون استخدام هذا الطريقة ذا مغزى في الحالات التي يُطلب فيها المردود الأكبر عندما تكون تكاليف الوقود مرتفعة.

يمكن كذلك تحسين المردود الإجمالي لمخطة الدارة المركبة عن طريق اللجوء إلى التحميص الوسطي وباستخدام ضغوط تفوق قيمتها الضغط الجوي في دورة البخار. إلا أن ذلك يؤدي إلى نشوء تكاليف إضافية.

يبين الشكل (5.8) تغيرات درجة الحرارة لغازات الاحتراق ولوسط العمل الذي هو ماء/بخار، وذلك في مرحل استعادة الحرارة الضائعة لمخطة دارة مركبة أحادية أو ثنائية الضغط في خط البخار بالنسبة للتيار الحراري  $Q$ . يبلغ التدرج (أي فرق درجات الحرارة الأصغري بين غازات الاحتراق ودرجة الإشباع للماء) 10 إلى 15 K.



الشكل 5.8 : تغيرات درجة الحرارة لغازات الاحتراق ولوسط العمل الذي هو ماء/بخار في مرحل استعادة الحرارة الضائعة (a) للمنشأة ذات الضغط الوحيد (b) للمنشأة ذات الضغطين.

## المردود الإجمالي

ينتج المردود الإجمالي لمخطة دارة مركبة غازية وبخارية  $\eta_{CC}$  بدون إحراق وقود إضافي لتوليد البخار كما يلي:

$$(1.8) \quad \eta_{CC} = (P_{GT} + P_{ST}) / Q_S$$

حيث:  $P_{GT}$  استطاعة العنفة الغازية،  $P_{ST}$  استطاعة العنفة البخارية [MW]  
 $Q_S$  الاستطاعة الحرارية [MW]، التي تقدم في حجرة احتراق العنفة الغازية.  
 بحسب المردود الحراري لدورة عمل العنفة الغازية كما يلي:

$$(2.8) \quad \eta_{GT} = P_{GT} / Q_S$$

أما الاستطاعة الحرارية المطروحة من دورة عمل العنفة الغازية فهي:

$$(3.8) \quad Q_{GT,R} = Q_S - P_{GT} = Q_S (1 - \eta_{GT})$$

تُقدّم هذه الاستطاعة الحرارية إلى مرحلة استعادة الحرارة الضائعة للاستفادة منها في دورة عمل العنفة البخارية ولذلك يصبح:

$$(4.8) \quad Q_{ST,S} = Q_S (1 - \eta_{GT})$$

وبالتالي فالمردود الحراري لدورة العنفة البخارية:

$$(5.8) \quad \eta_{ST} = P_{ST} / Q_{ST,S}$$

والاستطاعة المفيدة للعملية البخارية:

$$(6.8) \quad P_{ST} = \eta_{ST} Q_{ST,S} = \eta_{ST} Q_S (1 - \eta_{GT})$$

بتعويض قيمة  $P_{ST}$  من المعادلة (6.8) في المعادلة 1.8 يصبح:

$$(7.8) \quad \eta_{CC} = [P_{GT} + \eta_{ST} Q_S (1 - \eta_{GT})] / Q_S$$

وبالتالي يصبح:

$$(8.8) \quad \begin{aligned} \eta_{CC} &= \eta_{GT} + \eta_{ST} (1 - \eta_{GT}) \\ &= \eta_{GT} + \eta_{ST} - \eta_{GT} \eta_{ST} \end{aligned}$$

حيث:  $\eta_{GT}$  المردود الحراري للعنفة الغازية و  $\eta_{ST}$  المردود الحراري للعنفة البخارية.  
 تبين المعادلة (8.8) أن المردود الإجمالي لمخطة دارة مركبة ذات عنفة غازية وبخارية أكبر من مردود المنشأة ذات العنفة الغازية، ولكنه أصغر من مجموع مردودي المنشأة ذات العنفة الغازية

والمُنشأة ذات العنفة البخارية. إن المردود العالي للعنفة الغازية هو شرط للوصول إلى مردود إجمالي عالٍ للمنشأة المشتركة.

يُدعى فرق درجات الحرارة الأصغري بين غازات الاحتراق والماء في مرحلة استعادة الحرارة الضائعة بـ "التدرج" (Gradient).

يبين الجدول (1.8) مقارنة بين محطات الدارة المركبة التي بها عنفتان غازيتان GT 13 E2 من صنع شركة ABB مع أنواع مختلفة من دورات العمل البخارية. المردود الإجمالي معطى بدلالة القيمة الحرارية الدنيا للغاز الطبيعي.

الجدول 1.8: مقارنة بين محطات الدارة المركبة ذات الأنواع المختلفة من دورات البخار (عند شروط ISO القياسية أي درجة الحرارة 0°C والضغط 1.013 bar وعند مستوى سطح البحر).

المردود الإجمالي [%]	الاستطاعة [MW]			دورة عمل البخار
	CC	ST	GT	
51.6	466.7	148.1	318.6	دورة عمل أحادية الضغط
45.2	490.6	172	318.6	دورة عمل ثنائية الضغط
55.0	497.8	179.2	318.6	دورة عمل ثلاثية الضغط
55.2	499.7	181.1	318.6	دورة عمل ثلاثية الضغط مع تحميص وسطي

يتضح من الجدول (1.8) أن مردود المنشأة المشتركة يمكن أن يرفع عن طريق أساليب متطورة لدورة عمل البخار (مثلاً من 51.6% للدورة أحادية الضغط حتى 55.2% للدورة ثلاثية الضغط مع تحميص وسطي).

### 1.8 مثال

ما هو المردود الإجمالي  $\eta_{CC}$  لمحطة دارة مركبة بدون إحراق وقود إضافي لتوليد البخار إذا كان المردود الحراري للعنفة الغازية  $\eta_{ST} = 0.38$  وللعنفة البخارية  $\eta_{ST} = 0.25$ ؟ ما هو استهلاك الوقود السائل في حجرة احتراق العنفة الغازية إذا كانت الاستطاعة الكهربائية للمحطة الكاملة  $P_{el} = 350 \text{ MW}$ ؟ القيمة الحرارية الدنيا للوقود السائل الخفيف (المازوت)  $42700 \text{ kJ/kg}$ .

الحل

1. بمعرفة  $\eta_{GT} = 0.38$  و  $\eta_{ST} = 0.25$  يمكن حساب المردود الإجمالي بالاستعانة بالعلاقة (1.8) كما يلي:



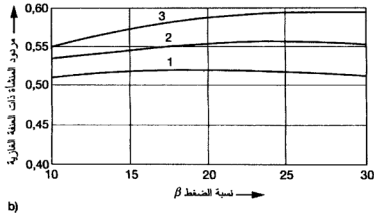
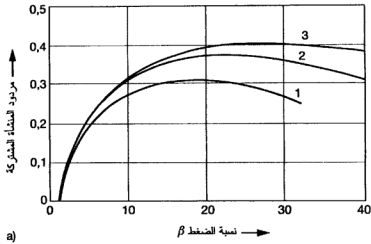
$$\eta_{CC} = \eta_{GT} + \eta_{ST} (1 - \eta_{GT})$$

$$= 0.38 + 0.25 (1 - 0.038) = 0.535$$

2. استهلاك الوقود السائل الخفيف (المازوت) الذي قيمته الحرارية الدنيا  $LCV = 42700 \text{ kJ/kg}$  للمنشأة ذات الاستطاعة الكهربائية  $P_{el}$  هو:

$$m_F = P_{el} / \eta_{CC} \cdot LCV$$

$$= 350 \text{ MW} / 0.535 \times 42.7 \text{ MJ/kg} = 15.3 \text{ kg/s}$$



الشكل 6.8 : (a) مردود المنشأة ذات العنفة الغازية (b) مردود المنشأة المشتركة. درجة حرارة الغاز عند الدخول إلى العنفة الغازية:  $3 = 1300^\circ\text{C}$ ,  $2 = 1150^\circ\text{C}$ ,  $1 = 1000^\circ\text{C}$ . يتحدد المردود الإجمالي لمخطة الدارة المركبة بشكل رئيسي عن طريق مردود العنفة الغازية، والشكل (6.8) يبين مردود المنشأة ذات العنفة الغازية وكذلك مردود المنشأة الكاملة بدون إحراق

وقود إضافي لتوليد البخار وعلاقتها بنسبة الضغط وبدرجة حرارة دخول الغازات إلى العنفة الغازية. يتم الحصول على المردود الإجمالي الأعظمي لمحطة الدارة المركبة عند قيمة مثلى لنسبة الضغط.

## 2.8 محطة الدارة المركبة مع إحراق وقود إضافي لتوليد البخار

مخطط هذه المنشأة مبين على الشكل (b1.8) تتم عملية إضافة الحرارة (إدخال الحرارة) بحرق الوقود في حجرة الاحتراق للعنفة الغازية وبخلاف حجرة احتراق العنفة الغازية التي يستخدم فيها الغاز الطبيعي أو الوقود السائل الخفيف (المازوت) فإنه يجري حرق الفحم في فرن توليد البخار. تتألف الاستطاعة الحرارية الإجمالية المضافة (الداخلية) من مقدارين:

$$(9.8) \quad Q_S = Q_{CC} + Q_{AF}$$

حيث:  $Q_{CC}$  الاستطاعة الحرارية المضافة في حجرة احتراق العنفة الغازية

$Q_{AF}$  الاستطاعة الحرارية المضافة في الفرن الإضافي لتوليد البخار.

وبالاستعانة بالنسبة:

$$(10.8) \quad f_{AF} = Q_{AF} / Q_{CC}$$

نحصل على الاستطاعة الحرارية الإجمالية المضافة كما يلي:

$$(11.8) \quad Q_S = Q_{CC} (1 - f_{AF})$$

والمردود الإجمالي لمحطة الدارة المركبة بفرن توليد البخار الإضافي:

$$(12.8) \quad \eta_{CC} = (P_{GT} + P_{ST}) / Q_S = (P_{GT} + P_{ST}) / Q_{CC} (1 + f_{AF})$$

المردود الحراري للعنفة الغازية:

$$(13.8) \quad \eta_{GT} = P_{GT} / Q_{CC}$$

والمردود الحراري للعنفة البخارية:

$$(14.8) \quad \eta_{ST} = P_{ST} / Q_{GT,R} + Q_{AF}$$

الاستطاعة الحرارية المطروحة من العنفة الغازية:

$$(15.8) \quad Q_{GT,R} = Q_{CC} (1 - \eta_{GT})$$

أما المردود الحراري للعنفة البخارية فيعطى بالعلاقة:

$$(16.8) \quad \eta_{ST} = P_{ST} / (Q_{GT,R} + Q_{AF}) \\ = P_{ST} / Q_{C.C} (1 - \eta_{GT} + f_{AF})$$

واستطاعة العنفة البخارية:

$$(17.8) \quad P_{ST} = \eta_{ST} Q_{C.C} (1 - \eta_{GT} + f_{AF})$$

إذا عوضنا  $P_{ST}$  في المعادلة 12.8 نحصل على المردود الإجمالي للمحطة مع فرق توليد البخار الإضافي:

$$(18.8) \quad \eta_{CC} = [P_{GT} + \eta_{ST} Q_{C.C} (1 - \eta_{GT} + f_{AF})] / Q_{C.C} (1 - f_{AF})$$

أو:

$$(19.8) \quad \eta_{CC} = [(\eta_{GT} + \eta_{ST} (1 - \eta_{GT} + f_{AT})) / (1 + f_{AF})]$$

$$(20.8) \quad \eta_{CC} = [(\eta_{GT} + \eta_{ST} - \eta_{GT} \eta_{ST} + f_{AF})] / (1 + f_{AF}) \quad \text{أو}$$

تتعلق قيمة  $\eta_{CC}$  بالدرجة الأولى بمردود العنفة الغازية، أما مردود عملية البخار والجزء الإضافي من الوقود الذي يحرق في فرن توليد البخار فهما عاملا تأثير مهمان.

يؤدي رفع  $f_{AF}$  إلى زيادة المردود الإجمالي  $\eta_{CC}$  فقط عندما لا يؤدي هذا إلى تناقص جوهري في  $\eta_{ST}$ . كلما ازدادت درجة حرارة دخول الغازات إلى العنفة الغازية، كلما قلّ تأثير  $f_{AF}$  على المردود الإجمالي. عند قيم صغيرة لـ  $f_{AF}$  وبالتالي عند درجة حرارة أقل للغازات الاحتراق بعد القرن الإضافي لتوليد البخار  $t_3$  (أدنى من 750 °C) يرتفع المردود الإجمالي عن طريق استخدام أفضل للحرارة المطروحة من العنفة الغازية. عند قيم أعلى لـ  $f_{AF}$  يتم الحصول على قيم لـ  $t_3$  تفوق الـ 750 °C، وبهذا يرتفع مردود دورة البخار، إلا أن المردود الإجمالي ينخفض.

### الخلاصة

يتحدد المردود الإجمالي لمحطة الدارة المركبة بشكل رئيسي بمردود العنفة الغازية. إن محطات الدارة المركبة التي لا تحوي فرنًا إضافيًا لتوليد البخار أبسط وأرخص من المنشآت ذات إحراق الوقود الإضافي بقصد توليد البخار، كما أن مردودها أعلى، إلا أن المنشآت ذات إحراق الوقود الإضافي بقصد توليد البخار أكثر مرونة من ناحية اختيار نوع الوقود، لأنه من الممكن إحراق الوقود الصلب في القرن الإضافي (ولا سيما الفحم) وليس الغاز الطبيعي كما يحرق في حجرة احتراق العنفة الغازية.

## مثال 2.8

ما هو المردود الإجمالي وكمية الوقود السائل الخفيف اللازمة لمحطة دارة مركبة استطاعتها الكهربائية 350 MW؟

كمية الوقود المضافة إلى فرن توليد البخار الإضافي تعادل 40 % من كمية الوقود المضافة إلى حجرة احتراق مرجل استعادة الحرارة. مردود العنفة الغازية 38 % والبخارية 25 %، القيمة الحرارية الدنيا للوقود السائل (المازوت) 42700 kJ/kg. يُطلب إجراء مقارنة هذه النتيجة مع نتيجة محطة الدارة المركبة بدون إضافة وقود لتوليد البخار الواردة في المثال 1.8.

**الحل**

1. يحسب المردود الإجمالي للمحطة كما يلي:

$$\eta_{CC} = (\eta_{GT} + \eta_{ST} - \eta_{GT} \eta_{ST} + f_{AF} \eta_{ST}) / (1 + f_{AF})$$

$$= (0.38 + 0.25 - 0.38 \times 0.25 + 0.4 \times 0.25) / (1 + 0.4) = 0.544$$

2. الاستهلاك الإجمالي للوقود السائل الخفيف:

$$m_F = P_{el} / (\eta_{CC} LCV)$$

$$= 350 \text{ MW} / 0.544 \times 42.7 \text{ MJ/kg} = 18.05 \text{ kg/s}$$

بالمقارنة مع المنشأة بدون فرن توليد البخار فإن مردود محطة الدارة المركبة ذات الفرن لتوليد البخار أصغر وبالتالي فإن استهلاك الوقود أكبر.

## مثال 3.8

تتألف محطة دارة مركبة من عنفة غازية استطاعتها الكهربائية  $P_{GT} = 240 \text{ MW}$  ومن مرجل استعادة (استرجاع) الحرارة الضائعة وعنفة بخارية استطاعتها الكهربائية  $P_{ST} = 120 \text{ MW}$ . تستخدم هذه المنشأة لتأمين الكهرباء والحرارة لمدينة، فإذا كانت مردود استخدام الطاقة لمحطة الطاقة  $\eta_{PS} = 87\%$  ويستهلك في حجرة احتراق العنفة الغازية  $m_F = 12.9 \text{ kg/s}$  من الغاز الطبيعي قيمته الحرارية الدنيا 49 MJ/kg.

المطلوب تحديد:

— الاستطاعة الحرارية  $Q_H$

— الرقم المميز للتيار  $\sigma$  في هذه المنشأة

- المردود الحراري للعنفة البخارية والغازية
- المردود الإجمالي الكهربائي للمنشأة
- درجة حرارة الغازات لدى مغادرتها لمرجل استعادة الحرارة الضائعة.
- لذلك تفرض القيم التالية:

$$A_{\min} = 17 \text{ kg/kg} \text{ لاحتراق } \lambda = 2.4 \text{ عامل زيادة الهواء في حجرة احتراق العنفة الغازية}$$

$$C_{p,G} = 1.05 \text{ kJ/kg K السعة الحرارية النوعية لغازات الاحتراق}$$

**الحل**

1. الطاقة المقدمة في الوقود إلى محطة الدارة المركبة:

$$Q_S = m_F \text{ LCV}$$

$$= 12.9 \text{ kg/s} \times 49 \text{ MJ/kg} = 632.1 \text{ MJ/s}$$

2. بما أن مردود استخدام الطاقة للمنشأة 0.87 فإن الاستطاعة الحرارية الممكن الاستفاد منها:

$$Q_H = \eta_{PS} Q_S - (P_{GT} + P_{ST})$$

$$= 0.87 \times 632.1 \text{ MJ/s} - (240 + 100) \text{ MW} = 209.93 \text{ MJ/s}$$

3. يُعطى الرقم المميز للتيار في هذه المنشأة المشتركة بالعلاقة:

$$\sigma = (P_{GT} + P_{ST}) / Q_H$$

$$= (240 + 100) \text{ MW} / 209.93 \text{ MJ/s} = 1.62$$

4. المردود الحراري للعنفة الغازية:

$$\eta_{GT} = P_{GT} / Q_S$$

$$= 240 \text{ MW} / 632.1 \text{ MJ/s} = 0.38$$

5. الحرارة التي تحملها الغازات المغادرة للعنفة الغازية:

$$Q_{R,GT} = Q_S - P_{GT}$$

$$= 632.1 \text{ MJ/s} - 240 = 392.1 \text{ MJ/s}$$

6. بما أن الحرارة المضافة إلى المنشأة البخارية  $Q_{S,ST}$  مساوية للحرارة المحمولة مع غازات العنفة

الغازية المغادرة فإن المردود الحراري لمنشأة العنفة البخارية:

$$\eta_{ST} = P_{ST} / Q_{S,ST}$$

$$= 100 \text{ MW} / 392.1 \text{ MJ/s} = 0.255$$

7. المردود الكهربائي لمخطة الدارة المركبة:

$$\eta_{el} = \eta_{GT} + \eta_{ST} (1 - \eta_{GT})$$

$$= 0.38 + 0.255 (1 - 0.38) = 0.538$$

أو:

$$\eta_{el} = (P_{GT} + P_{ST}) / Q_S$$

$$= (240 + 100) \text{ MW} / 632.1 \text{ MJ/s} = 0.538$$

8. التدفق الكتلي للهواء ولغازات الاحتراق:

$$m_A = \lambda A_{min} m_F = 2.4 \times 17 \text{ kg/kg} \times 12.9 \text{ kg/s} = 526.32 \text{ kg/s}$$

$$m_G = m_F + m_A = 12.9 + 526.32 = 539.22 \text{ kg/s}$$

9. الضياعات الحرارية مع غازات الاحتراق:

$$Q_{G, Loss} = Q_S (1 - \eta_{PS})$$

$$= 632.1 \text{ MJ/s} (1 - 0.87) = 82.17 \text{ MJ/s}$$

10. درجة حرارة غازات الاحتراق بعد مغادرتها لمرجل استعادة الحرارة الضائعة (عند مغادرة المنشأة بشكل كامل):

$$t_G = Q_{G, Loss} / m_G C_{PG}$$

$$= 82.17 \times 10^3 \text{ kJ/s} / 539.22 \text{ kg/s} \times 1.05 \text{ KJ/kg K} = 145^\circ\text{C}$$

يعطي الجدول (2.8) مواصفات أكبر محطات دارة مركبة في العالم.

حسب الوضع الراهن فإن مردود العنفات الغازية التي يتم تصنيعها يتراوح بين 35 و38.5%، ويمكن عن طريق محطات الدارة المركبة الحصول على مردود إجمالي يبلغ 55 حتى 58% باستخدام الغاز الطبيعي والوقود السائل الخفيف (المازوت).

تتراوح درجة حرارة دخول الغازات إلى العنف الغازية بين 1000 و1250 °C ودرجة حرارة الدخول إلى مرجل استعادة الحرارة الضائعة بين 610 و550 ودرجة حرارة الخروج منه 110 — 170 °C.

الجدول 2.8: محطات الدارة المركبة (التي هي قيد العمل حتى عام 1995 أو قيد الإنشاء)

موقع المنشأة - البلد	الاستطاعة [MW]	المردود	عام الإنشاء
Bang Pakong — تايلاند	750	42	1980
Ambarli — تركيا	1350	52	1990
King's Lynn — بريطانيا	350	55.4	1996
Topada do Oterio — البرتغال	990	—	1998

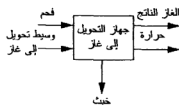
### 3.8 التواؤم مع استخدام الفحم الذي يتم تحويله إلى غاز (المغوَّز)

#### 1.3.8 تحويل الفحم إلى غاز (التغويز)

عملية التحويل إلى غاز

! التغويز هو التحويل الكيميائي للفحم عن طريق وسيط إلى غاز قابل للاحتراق.

يمكن توضيح عملية التحويل إلى الغاز من حيث المبدأ كما يلي (الشكل 7.8).

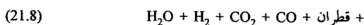


الشكل 7.8 : مبدأ عمل تحويل الفحم إلى غاز.

فحم + وسيط تحويل إلى غاز + حرارة = وقود غازي + خبث (رماد)

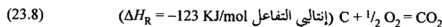
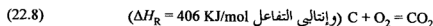
عند تسخين الفحم بمعزل عن الهواء تنطلق أولاً المركبات الطيارة (القابلة للتطاير) الموجودة في الفحم وذلك عند درجات الحرارة العالية (التفكك) ويتشكل فحم الكوك.

الفحم = فحم الكوك + الهيدروكربونات ( $C_mH_n$ )



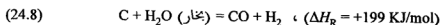
تُحول نواتج التفكك في جهاز التحويل إلى غاز بعد ذلك إلى غاز (ناتج عن الفحم).

إن عملية التحول إلى الغاز عملية ماصة للحرارة (endothermic) ويمكن إنتاج كمية الحرارة اللازمة عن طريق احتراق جزء من الفحم مع الأكسجين داخل جهاز التحويل إلى غاز وذلك وفق التفاعل التالي للاحتراق الكامل أو الناقص:

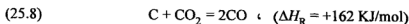


يستخدم لتحويل الفحم إلى غاز عادةً بخار الماء مع الأكسجين أو الهواء كوسيط تحويل إلى غاز. تتم في عملية التحويل إلى غاز عادة التفاعلات التالية:

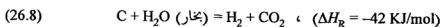
التفاعل غير المتجانس للماء (مادة صلبة/غاز):



تفاعل Boudouard غير المتجانس:



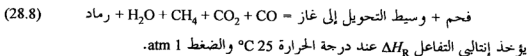
تفاعل الماء المتجانس (غاز/غاز):



تفاعل تشكل الميثان المتجانس:



ويعرف التفاعل التالي بمعمل العملية:



يتعلق تركيب غاز الفحم بوسيط التحويل إلى غاز المستخدم وبدرجة الحرارة التي يجري عندها التحويل. يتم تنظيف الغاز الخام من الغبار باستخدام الهواء (كوسيط تحويل) يتم توليد غاز ذي محتوى عالٍ من (النيتروجين) (الآزوت)، وباستخدام بخار الماء ينتج غاز الماء (Watergas) الذي يتألف بشكل رئيسي من الهيدروجين وأول أكسيد الكربون.

يبين الجدول (3.8) التركيب الوسيط والقيمة الحرارية الدنيا للغاز الناتج.

تُحسب القيمة الحرارية الدنيا للغاز الناتج LCV<sub>G</sub> من تركيب الأجزاء التي يتألف منها وقيمها الحرارية الدنيا (CH<sub>4</sub>, H<sub>2</sub>, CO<sub>2</sub>):

$$(29.8) \quad LCV_G = r_{CO} LCV_{CO} + r_{H_2} LCV_{H_2} + r_{CH_4} LCV_{CH_4}$$



حيث:  $r$  نسبة حجم المركبات  $\text{CH}_4$ ,  $\text{H}_2$ ,  $\text{CO}$  [ $\text{m}^3/\text{m}^3$ ]

$LCV$  القيمة الحرارية الدنيا للغاز الناتج (G) وللمركبات  $\text{CH}_4$ ,  $\text{H}_2$ ,  $\text{CO}$  [ $\text{MJ}/\text{m}^3$ ] حسب الحال.

الجدول 3.8: التركيب والقيمة الحرارية الدنيا للغاز الناتج ولغاز الماء ( $LCV_G$ )

غاز الماء	الغاز المولّد	مركبات الغاز
40	25	[%] $\text{CO}$
50	15	[%] $\text{H}_2$
5	8	[%] $\text{CO}_2$
4	52	[%] $\text{N}_2$
1	—	[%] $\text{H}_2\text{O}$
12.6	5.04	[ $\text{MJ}/\text{m}^3$ ] $LCV_G$

تصنف الغازات التي تفوق قيمتها الحرارية الدنيا  $12.5 \text{ MJ}/\text{m}^3$  بأنها غازات قوية وإلا تعتبر غازات ضعيفة.

مردود التحويل إلى غاز هو النسبة بين طاقة الارتباط الكيميائي للغاز الناتج إلى الحرارة المضافة مع الوقود.

$$\eta_{Ga} = LCV_G V_G / LCV \quad (30.8)$$

حيث:  $LCV_G$  القيمة الحرارية الدنيا للغاز (المولّد) [ $\text{MJ}/\text{m}^3$ ]

$V_G$  حجم الغاز الناتج [ $\text{m}^3/\text{kg}$ ]. متر مكعب لكل كغ وقود

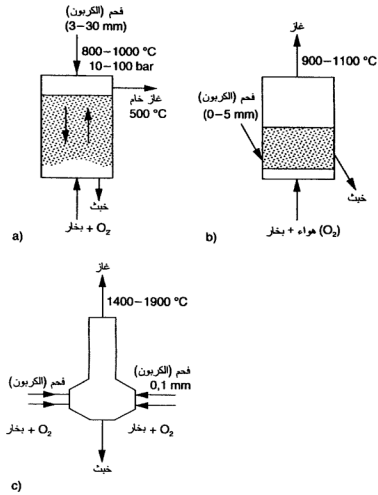
$LCV$  القيمة الحرارية الدنيا للوقود [ $\text{MJ}/\text{kg}$ ].

درجة تحويل الغاز هي النسبة بين محتوى الغاز الناتج من الكربون وبين محتوى كمية الكربون المرسلة إلى جهاز التغويز:

$$\eta_C = \text{محتوى الغاز الناتج من الكربون} / \text{كمية الكربون الصافية المرسلة إلى جهاز التغويز} \quad (31.8)$$

### 2.3.8 جهاز التحويل إلى غاز (التغويز)

هناك ثلاث طرائق سائدة عملياً: طريقة الطبقة الثابتة، طريقة الطبقة الدوامة، طريقة التيار الطيار (الشكل 8.8).



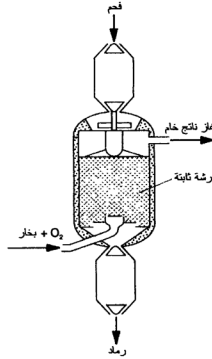
**الشكل 8.8 :** طرائق التحويل إلى غاز (a) جهاز التحويل ذو الطبقة الثابتة (b) جهاز التحويل ذو الطبقة الدوامة (c) جهاز التحويل ذو التيار الطيار.

### محول الغاز ذو الطبقة الثابتة

تستخدم في هذه الطريقة غالباً محولات Lurgi ذات الضغط (الشكل 9.8). يجري توزيع الكربون ذي الحبيبات التي يتراوح قطرها بين 3 و 30 mm بشكل متساوٍ من الأعلى على الفرشة الثابتة. يستخدم الأوكسجين وبخار الماء كوسيط تحويل. يجري في المواقع المختلفة من المفاعل تخفيف وتحويل إلى غاز وجزئياً احتراق للكربون.

تسود درجة الحرارة القصوى (تحت درجة حرارة ذوبان الرماد) في منطقة الاحتراق فوق الشبكة وبجوارها. يتساعد الغاز الناتج ذو المحتوى المرتفع من الميثان ماراً عبر الفرشة، ويتبرد أثناء

ذلك حتى درجة الحرارة 300 أو 650 °C. يُفصل كلُّ من الغبار والهيدروكربونات القابلة للتكاثف من غاز الكربون. شروط التشغيل هي كما يلي: الضغط 10 حتى 100 bar، درجة الحرارة 800 حتى 1000 °C (تحت درجة حرارة تليّن الرماد). يصل إنتاج محولات الغاز من نوع Lurgi إلى 75 t/h. هذا وقد تم تطوير محول غاز ذي طبقة ثابتة مع سحب للرماد وهو بالحالة المائعة من قبل شركة الغاز البريطانية British Gas/Lurgi.

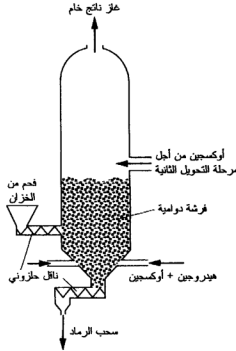


الشكل 9.8 : مخطط محوّل غاز من نوع Lurgi ذي طبقة ثابتة.

#### محول الغاز ذو الطبقة الدوامية

يمكن تحويل الكربون الذي يتراوح قطر حبيباته بين 1 و 5 mm عند الضغط الجوي ودرجة الحرارة 800 إلى 1000 °C إلى غاز في محول غاز ذي طبقة دوامية من نوع Winkler باستخدام الأوكسجين والبخار عند درجة حرارة أدنى من درجة تليّن الرماد. يبين الشكل (10.8) مخطط مولد الغاز من نوع Winkler. تمتاز هذه الطريقة ببساطة المعالجة الأولية لوقود الكربون وانخفاض استهلاك الأوكسجين والتشغيل الجيد عبر مجالات واسعة للاستطاعة. ترتفع في محوّل Winkler ذي درجة الحرارة العالية الاستطاعة النوعية للمحوّل (الكسب في الغاز ومردود التحويل إلى غاز)

وذلك جراء الضغط العالي (10 إلى 25 bar) ودرجة الحرارة المرتفعة (1000 حتى 1600 °C). ترتفع درجة تحويل الكربون حتى 99 % عن طريق استرجاع الرماد المحمول مع الغاز الخام.



الشكل 10.8 : محوّل غاز ذي طبقة دوامية من نوع Winkler.

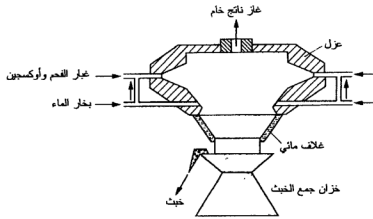
### جهاز التحويل ذو التيار الطيار

يتعرض في هذا الجهاز (الشكل 11.8) الكربون المطحون الناعم الذي يبلغ قطر حبيباته 0.1 mm لوسيط التحويل الذي هو الأوكسجين وبخار الماء، ويجري التحويل إلى غاز في غيمة غبار طيارة عند درجة حرارة تصل إلى 1900 °C وضغط يتراوح بين 25 و 40 bar. يتكثّل الجزء الأكبر من الرماد الذائب ويتم سحبه من أسفل الجهاز، أما الرماد الطيار فيتم تنظيف الغاز الناتج منه. هناك الطرائق الصناعية التالية التي تستخدم التيار الطيار: PRENFLO، TEXACO، SHELL ... إلخ. في طريقة TEXACO يطحن الكربون بالحالة الرطبة ويضاف على شكل عجينة مشبعة بالماء من أعلى جهاز تحويل الغاز، وتجرى عملية التحويل إلى غاز عند ضغوط تصل إلى 80 bar، وتكون درجة الحرارة محدود 1400 °C، وذلك في غيمة من الغبار الطيار. يتم التخلص من الحثب السائل عن طريق حقنه بالماء وتبريده ثم سحبه.

## مقارنة طرائق التحويل إلى غاز

أهم القيم المميزة لطريقة تحويل إلى غاز هي:

- كمية الغاز التي يتم كسبها [كغ لكل كغ وقود]
- الاستهلاك من وسيط التحويل إلى غاز [كغ لكل كغ وقود]
- تركيب الغاز الناتج.
- القيمة الحرارية للغاز الناتج.
- درجة تحويل الكربون.
- المردود الحراري لعملية التحويل إلى غاز.



الشكل 11.8 : مخطط محوّل غاز تيار طيار.

الجدول 4.8: الغاز المكتسب وكمية الوسيط اللازمة للتحويل إلى غاز [kg لكل kg فحم].

التيار الطيار	الطبقة الدوامية	الطبقة الثابتة	
2.15	5.3	2.13	كمية الغاز الناتجة عن عملية التحويل إلى غاز [kg/kg]
1.07	—	0.71	كمية الأوكسجين اللازم لعملية التحويل [kg/kg]
—	3.75	—	كمية الهواء اللازمة لعملية التحويل [kg/kg]
0.14	0.61	0.48	كمية البخار اللازمة لعملية التحويل [kg/kg]

تبين الجداول من (4.8) إلى (6.8) القيم المميزة لمختلف طرائق التحويل إلى غاز (جهاز التحويل ذو الطبقة الثابتة، ذو الطبقة الدوامية، ذو التيار الطيار). القيم الموضوعة هي بالنسبة لكربون رديء

تركيبه العنصري (كنسبة وزنية) كما يلي:  $C = 80.1$ ،  $H = 3.5$ ،  $O = 2.2$ ،  $N = 1.3$ ،  $S = 1.2$  الرماد 6.7، الماء 5. القيمة الحرارية الدنيا لهذا الفحم 31 MJ/kg. الوسيط المستخدم في عملية التحويل إلى غاز هو الأوكسجين/ بخار الماء في كل من جهاز التحويل ذي الطبقة الثابتة وذو التيار الطيار، أما في جهاز التحويل ذي الطبقة الدوامة فإن الوسيط هو الهواء/بخار الماء.

الجدول 5.8: التركيب [%] والقيمة الحرارية للغاز الجاف.

المركبات	الطبقة الثابتة	الطبقة الدوامة	التيار الطيار
CO	21	18	55
H <sub>2</sub>	39	21	34
CH <sub>4</sub>	10	1	—
N <sub>2</sub>	2	51	1
CO <sub>2</sub>	28	9	10
القيمة الحرارية [MJ/m <sub>3</sub> ]	10.5	4.9	10.7

الجدول 6.8 مردود عملية التحويل إلى غاز  $\eta_{Ga}$ ، درجة تحول الفحم

$\eta_c$ ، المردود الحراري لمختلف عمليات التحويل إلى غاز  $\eta_{th,Ga}$

	الطبقة الثابتة	الطبقة الدوامة	التيار الطيار
$\eta_{Ga}$	89	73	79
$\eta_c$	99	95	99
$\eta_{th,Ga}$	94	92	95

### 3.3.8 محطات الدارة المركبة مع استعمال الغاز الناتج عن تحويل الكربون

إلى غاز

المعطيات التفصيلية للمنشأة

يبين الشكل (12.8) شكلاً مبسطاً لمحطة دارة مركبة لتوليد الطاقة تستخدم الكربون المتحول إلى

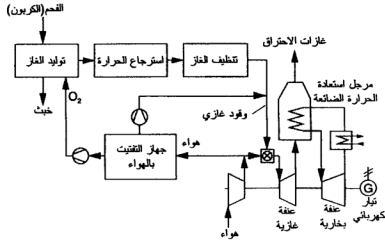
غاز وهي تتضمن ثلاثة أجزاء رئيسية:

— جهاز تحويل الكربون إلى غاز مع معدات لتنقية الغاز والتفتيت بالهواء

— منشأة ذات عنفة غازية ومرجل لاستعادة الحرارة الضائعة

— منشأة ذات عنفة بخارية.

كان من المفترض أن تبدأ في عام 1996\* المحطة التحريية KoBra التي تستخدم الفحم البني باستطاعة كهربائية قدرها 367 KW بإحراق فحم الكوك المتبقي في مرجل ذي فرشاة دوامية. يُمكن مبدأ KoBra من تحقيق مردود يزيد عن مردود المنشآت التقليدية بحدود 30 إلى 45 % (صافي).



الشكل 12.8 : مخطط عمل الدارة المركبة التي تستخدم عملية تحويل الكربون إلى غاز.

كذلك سينخفض انبعاث  $SO_2$ ،  $NO_x$  والغبار بشكل واضح. ويجري التخطيط لوحدة KoBra استطاعتها 700 إلى 1000 MW. تتألف هذه المنشأة من الأجزاء التالية:

- مجفف كربون ذو طبقة دوامية.
- جهاز تحويل الكربون إلى غاز من النوع Winkler الذي يعمل عند درجة حرارة مرتفعة وله طبقة دوامية.
- الدارة المركبة التي تحوي عنفة غازية ومرجل استعادة الحرارة الضائعة وعنفة بخارية.

يبين الجدول (7.8) معلومات تفصيلية عن المنشأة التحريية KoBra.

يسخن الكربون البني الخام الذي محتواه من الماء 40 إلى 60 % في مسخن أولي حتى درجة الحرارة 65 °C ثم يضاف إلى المجفف الذي يعمل عند درجة الحرارة 110 °C والذي يحوي طبقة دوامية، ويجري تجفيفه بحيث تصبح نسبة الماء المتبقي فيه 12 %. تقدم الطاقة اللازمة للتجفيف على شكل بخار يُمرّر في مبادلات حرارية غاطسة.

\* قبل عام من تأليف الكتاب (المترجم).

الجدول 7.8: مواصفات المنشأة التحريية KoBra.

القيمة	التسمية
367	1. الاستطاعة الإجمالية [MW]
45	2. المردود الكهربائي [%]
فحم بني (كربون بني)	3. الوقود
18.6/9.9	— القيمة الحرارية للفحم الخام أو الفحم الجاف [MJ/kg]
748	4. التدفق الحراري مع الوقود [MJ/s]
	5. التحويل إلى غاز بطريقة Winkler ذات درجة الحرارة العالية
160	— تدفق الفحم [t/h]
90.5	— تدفق الهواء اللازم لجهاز التحويل إلى غاز [kg/s]
140	— تدفق الغاز الخام الناتج (الرطب) [kg/s]
91	— درجة تحويل الفحم [%]
72	— مردود الغاز البارد [%]
4.2	— القيمة الحرارية للغاز الناتج [MJ/kg]
	6. تبريد الغاز الخام الناتج
330/128	(a) بخار ذو ضغط عالٍ — ضغطه [bar]، درجة حرارته [°C]
90	التدفق [kg/s]
246/37	(b) بخار ذو ضغط متوسط — ضغطه [bar] درجة حرارته [°C]
15	التدفق [kg/s]
	7. العنفة البخارية (شركة MAN)
155	— الاستطاعة [MW]
	— البخار الطازج
103/520/110	ضغطه [bar] درجة الحرارة [°C] تدفقه [kg/s]
	— التحميص الوسطي
116/520/29	ضغطه [bar] درجة الحرارة [°C] التدفق [kg/s]
	— بخار الاستنزاف
440/17 (من 8.5 إلى 50)	ضغطه [bar] درجة الحرارة [°C] التدفق [kg/s]
0.05	8. ضغط المكثف [bar]
	9. العنفة الغازية (Siemens V94.3)
212	— استطاعتها [MW]
611/39/562	— التدفق الكتلي [kg/s] — الهواء/ الوقود الغازي/ غازات الاحتراق
16	— نسبة الضغط في الضاغط
550/1120	— درجة حرارة الغازات لدى دخولها إلى العنفة — عند خروجها [°C]



يُحوَّل الكربون البني المجفف في جهاز التحويل إلى غاز ذي الطبقة الدوامية من نوع Winkler. ينقل الوقود إلى جهاز التحويل إلى غاز عن طريق جملة ممرات خاصة بواسطة ناقل حلزوني أو أنبوب مائل. يؤخذ هواء التحويل إلى غاز من ضاغط العنفة الغازية عند الضغط النهائي، وبعد رفع ضغطه حتى 30 bar ليستخدم كوسيط تحويل إلى غاز. يصل مردود تحويل الكربون إلى 91 %.

يُفصل الغبار من الغاز الخام الناتج في فرازة ساخنة، ويضاف إلى الطبقة الدوامية عن طريق أنبوب هابط. أما النواتج السفلية (التي تتألف من وقود غير مُحوَّل والرماد) فيتم إخراجها عبر جملة خاصة. يتم تخليص الوقود الغازي قبل استخدامه للعنفة الغازية من الهيدروكربونات الثقيلة ومن روابط الكبريت.

تُرفع استطاعة المجموعة (غازي + بخاري) عن طريق ترطيب الوقود الغازي المُنقى، ويؤدي هذا إلى تخفيض تشكل  $NO_x$  في حجرة احتراق العنفة الغازية. يستخن الغاز النظيف أخيراً بواسطة بخار متوسط الضغط حتى درجة الحرارة  $220^\circ C$  قبل إرساله إلى حجرة احتراق العنفة الغازية وإحراقه.

العنفة مصممة بحيث تكون درجة الحرارة عند الدخول إليها  $1160^\circ C$ . تستخدم حرارة الغازات المغادرة للعنفة بدرجة حرارة  $550^\circ C$  في مرحلة استعادة الحرارة الضائعة لتوليد البخار. يتألف هذا المرحل من مسخن أولي للبخار (الماء) المتكاثف وموفر (مسخن أولي للماء) ذي ضغط متوسط وآخر ذي ضغط عالٍ ومixer ذي ضغط متوسط وآخر ذي ضغط عالٍ وعمص وسطي.

يُحمص البخار المشيع القادم من مبرد الغاز الخام والذي يكون ضغطه عالياً أو متوسطاً في مرحلة استعادة الحرارة الضائعة. العنفة البخارية التي تسحب البخار المتكاثف (MAN) ذات صناديق ثلاثة لثلاثة أجزاء ذات ضغط عالٍ ومتوسط ومنخفض ذي مجريين.

تتألف مجموعة (كتلة) العنفة من عنفة غازية رباعية المراحل (صنع شركة Siemens) من النوع V 94.3 (50 Hz, MW 220) وضغط ذي 17 مرحلة نسبة انضغاطه تساوي 16 وحجري احتراق أفقيتين تحويان على حراقات ذات انبعاث قليل لغازات  $NO_x$  (Low  $NO_x$  - Burners).

#### منشأة ELCOGAS

تركب في Puertollano (اسبانيا) محطة دارة مركبة من نوع حديث يتم فيها تحويل الفحم إلى غاز. الاستطاعة الكهربائية القائمة (Brutto) لهذه المنشأة هي MW 335 والصافية (Net) MW 300.

\* بتاريخ تأليف الكتاب عام 1997 (المترجم).

تستخدم فيها عنفة غازية Siemens من النوع V 94.3، درجة حرارة دخول الغاز إليها 1120 °C. واستطاعتها MW 200، كذلك توجد عنفة بخارية استطاعة خرجها MW 138. في جهاز تحويل الفحم إلى غاز الذي أنتجته شركة Krupp-Koppers يستخدم 180000 m<sup>3</sup>/h من الغاز الذي قيمته الحرارية الدنيا 10.6 MJ/m<sup>3</sup> وهو مستخرج من مزيج وقود (يتألف من 50% فحم و 50% فحم كوك من النفط -Petrol-Coke). يُستخدم هنا مولد بخار ذو تدوير قسري وانضغاط في ثلاث مراحل للاستفادة من حرارة غازات العنفة الغازية في توليد البخار. مواصفات البخار: ضغط البخار الطازج 115 bar ودرجة حرارته 508 °C، التخميص الوسطي عند 29 bar و 517 °C، ضغط المكثف 0.07 bar. يصل المردود الصافي للمنشأة إلى 45%. تنخفض هنا عملية انبعاث الغازات الضارة بحيث يصبح انبعاث SO<sub>2</sub> أقل من 10 mg/m<sup>3</sup> وانبعاث NO<sub>x</sub> حتى 60 mg/m<sup>3</sup>.

## 9 محطات التوليد المشترك للكهرباء

### والحرارة\*

#### 1.9 الأرقام المميزة لمحطات التوليد المشترك للكهرباء وللحرارة

##### محطة التوليد المشترك للكهرباء وللحرارة

تقوم هذه المحطات بنفس الوقت بتأمين الطاقة الكهربائية بالإضافة إلى الطاقة الحرارية اللازمة للاستعمالات الصناعية أو التدفئة.

تدعى المحطات الكبيرة التي تقوم بتأمين الطاقة الكلية (تيار كهربائي وحرارة تسخين) للمنشآت الصناعية أو للمدن بمحطة التدفئة وتوليد الكهرباء المركزية، أما المجموعات الصغيرة التي تؤمن الطاقة (كهرباء + حرارة) لمجموعة من الأبنية السكنية أو المصانع أو المكاتب أو لمشاريع أخرى فتدعى بمحطة التدفئة وتوليد الكهرباء اللامركزية.

لمحطة التوليد المشترك مزية الوفرة الكبير في الطاقة الأولية، إذا ما قورنت بمحطات التوليد الكهرباء البخارية التقليدية (مع مكثف) أو بمحطات التدفئة أو بالمرجل (الغلايات) المستقلة.

##### الرقم المميز للتيار الكهربائي

من أجل تقييم محطة التوليد المشترك للكهرباء والحرارة من ناحية استهلاكها للطاقة هناك رقمان مميزان: الرقم المميز للتيار الكهربائي  $\sigma$  وعامل استهلاك الوقود  $\beta$ .

يُعرف الرقم المميز للتيار في محطة توليد مشترك للكهرباء والحرارة  $\sigma$  بأنه النسبة بين الاستطاعة الكهربائية للمحطة واستطاعتها الحرارية.

$$(1.9) \quad \sigma = P_{el} / Q_H$$

في محطات التدفئة وتوليد الكهرباء ذات عنفات سحب البخار وتكثيفه تنتج الاستطاعة الكهربائية كمجموع للمقادير الناتجة عن تمدد البخار في مراحل العنفة المختلفة، أي:

$$(2.9) \quad P_{el} = \sum m_{vi} \Delta h_{vi} \eta_m \eta_G$$

حيث:  $m_{vi}$  التدفق الكتلي للبخار في المرحلة  $i$  من العنفة

$\Delta h_{vi}$  الهبوط الحقيقي للإنتالي في المرحلة  $i$  من العنفة

$\eta_m$  المردود الميكانيكي لمجموعة العنفة

$\eta_G$  مردود المولدة الكهربائية.

تُحسب الاستطاعة الحرارية  $Q_H$  لمخطة التدفئة وتوليد الكهرباء كما يلي:

$$(3.9) \quad Q_H = m_{HV} (h_{HV} - H_{He}) = m_{HW} (h_{HWexit} - h_{HWent}) \quad [kW]$$

حيث:  $m_{HV}$  التدفق الكتلي لبخار التسخين في المكثف [kg/s]

$m_{HW}$  التدفق الكتلي لماء التسخين [kg/s]

$h_{HV}$  الإنتالي النوعي لبخار التسخين [kg/kg] قبل مكثف التسخين (التدفئة)

$h_{HC}$  الإنتالي النوعي لبخار التسخين بعد مكثف التسخين [kg/kg]

$h_{HWent}$  و  $h_{HWexit}$  الإنتالي النوعي لماء التسخين قبل وبعد مكثف التسخين [kJ/kg].

في محطة التدفئة وتوليد الكهرباء التي تحوي عنفة ذات ضغط خلقي فإن الرقم المميز للتيار  $\sigma$  معيار مهم لتقدير جودة تنفيذ العملية. كذلك لـ  $\sigma$  أهمية خاصة في محطات الطاقة الكهربائية ذات سحب البخار وتكثيفه.

عامل استهلاك الوقود

يُعرف عامل استهلاك الوقود كما يلي:

$$(4.9) \quad \beta = (Q_{F,TPS} - Q_{F,con}) / Q_H$$

حيث:  $Q_{F,TPS}$  الحرارة المحمولة مع الوقود المستهلك في محطة التدفئة وتوليد الكهرباء [Kw]

$Q_{F,con}$  الحرارة المحمولة مع الوقود المستهلك في محطة الطاقة الكهربائية ذات سحب البخار وتكثيفه [kW].

والاستهلاك الحراري مع الوقود [kJ/s] محطة الطاقة الكهربائية ذات سحب البخار وتكثيفه:

$$(5.9) \quad Q_{F,con} = m_{F,con} LCV$$

والاستهلاك الحراري مع الوقود [kJ/s] محطة الطاقة الحرارية والكهربائية (thermal power station)

$$(6.9) \quad Q_{F,TPS} = m_{F,TPS} LCV$$

حيث:  $m_{F,con}$  استهلاك الوقود في المحطة الكهربائية ذات سحب البخار وتكثيفه [kg/s]

$m_{F,TPS}$  استهلاك الوقود في محطة التدفئة وتوليد الكهرباء [kg/s]

LCV القيمة الحرارية الدنيا للوقود [kJ/kg].

كذلك يمكننا كتابة:

$$(7.9) \quad Q_{F,con} = P_{el} / \eta_{con}$$

$$(8.9) \quad Q_{F,TPS} = (Q_H + P_{el}) / \eta_{TPS} = Q_H (1 + \sigma) / \eta_{T,PS} \quad \text{كذلك}$$

حيث:  $\eta_{con}$  و  $\eta_{TPS}$  مردود محطة الطاقة الكهربائية ذات سحب البخار وتكثيفه ومردود محطة التدفئة وتوليد الكهرباء.

### المردود الإجمالي لمحطة التدفئة وتوليد الكهرباء

تتألف الاستطاعة المفيدة الجاهزة للاستعمال من الطاقة الكهربائية  $P_{el}$  والاستطاعة الحرارية  $Q_H$ . تقدم درجة الاستفادة من الطاقة في محطة التدفئة وتوليد الكهرباء فكرة عن الجزء المفيد من الاستطاعة ( $P_{el} + Q_H$ ) الذي يأتي مع الوقود المستخدم أي  $Q_{F,TPS}$ .

$$(9.9) \quad \eta_{TPS} = (P_{el} + Q_H) / Q_{F,TPS}$$

المردود الكهربائي لمحطة التدفئة وتوليد الكهرباء.

$$(10.9) \quad \eta_{el} = P_{el} / Q_{F,TPS}$$

مراعاة المردود الحراري لدورة العمل ( $\eta_m$ ) ومردود مولد البخار ( $\eta_{SG}$ ) والمردود الداخلي للتعنف البخارية ( $\eta_{IT}$ ) والمردود الكهربائي — الميكانيكي للمولدة ( $\eta_G$ ) والاستهلاك الذاتي لمحطة الطاقة  $\eta_{is}$  ينتج المردود الكهربائي.

$$(11.9) \quad \eta_{el} = \eta_{SG} \eta_{th} \eta_{IT} \eta_G$$

ولحساب المردود الحراري لعملية تحول الحرارة في محطة الطاقة البخارية تطبق العلاقة التالية:

$$(12.9) \quad \eta_{th} = W_u / Q_S$$

$$\text{أو: } \eta_{th} = (h_v - h_{ev}) / (h_v - h_{FW})$$

حيث:  $W_u$  العمل المفيد للنفقة [J]

$Q_S$  كمية الحرارة المضافة [J]

$h_v, h_{ev}, h_{FW}$  الانتالي النوعي لـ البخار الطازج، البخار المنفصل (بعد النفقة)، ماء التغذية (عند مدخل المرجل) [kJ/kg].

مردود مولد البخار:

$$(13.9) \quad \eta_{SG} = Q_{SG} / Q_F$$

حيث:  $Q_{SG}$  الاستطاعة الحرارية المفيدة لمولد البخار [W]

$Q_F$  الحرارة المضافة مع الوقود عند إحراقه في مولد البخار [W].

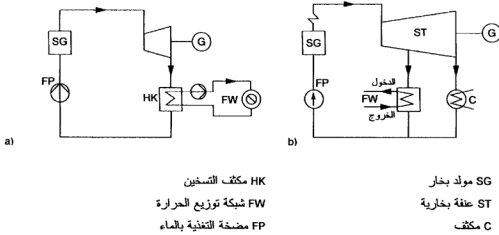
## 2.9 محطات التدفئة وتوليد الكهرباء ذات الضغط المقابل وذات سحب البخار وتكثيفه

يُستخدم في محطات التدفئة وتوليد الكهرباء نوعان من العنفات البخارية: ذات الضغط المقابل (Back Pressure) والعنفات البخارية ذات سحب البخار وتكثيفه (extracting and condensing) للاستفادة من حرارته. !

يختلف هذان النوعان بالدرجة الأولى من ناحية ضغط البخار عند مخرج النفقة. في النوع الثاني من المحطات يغادر البخار المنفصل عنفة التكثيف عند ضغط تخلخل يبلغ 0.04 إلى 0.06 bar، وعمر في مكثف، وهناك يفقد حرارته ويعطىها إلى ماء التبريد، مما يؤدي إلى تكاثفه. تبلغ درجة حرارة ماء التبريد 25 إلى 35 °C، والحرارة المطروحة من المكثف لا يمكن الاستفادة منها ثانية. إلا أنه يمكن الحصول على حرارة عن طريق سحب البخار من عنفة التكاثف عند ضغط معين.

في العنفة البخارية ذات الضغط المقابل (الخلفي) يتم رفع ضغط البخار عند مخرج العنفة حتى قيم تتناسب مع درجات الحرارة اللازمة للمستهلك، ويكون الضغط عادة أكبر من 1 bar. إذا أريد استخدام محطة تدفئة وتوليد كهرباء لتأمين الحرارة من أجل عمليات تكنولوجية (تقنية) في منشأة صناعية فإن ضغط الخروج من عنفة الضغط المقابل يتحدد وفقاً لضغط البخار اللازم للعملية التقنية.

يجب أن تكون درجة حرارة البخار المنفلت من العنفة في المحطات المستخدمة لتدفئة المدن مرتفعة بحيث يمكن إصال ماء التسخين إلى درجة الحرارة المطلوبة في مجموعة التدفئة. النموذجان الرئيسيان لمحطات التدفئة وتوليد الكهرباء مبينان على الشكل (1.9).

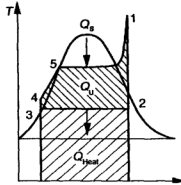


**الشكل 1.9 :** مبدأ وصل محطة التدفئة وتوليد البخار (a) ذات عنفة التكاثف التي تعمل عند ضغط خلفي (مقابل) (b) ذات سحب البخار وتكثيفه للاستفادة من حرارته.

يبين الشكل (2.9) بشكل مبسط دورة عمل محطة تدفئة وتوليد كهرباء ذات ضغط خلفي على المخطط T-s. يغادر البخار المنفلت العنفة البخارية عند ضغط مرتفع (أعلى من 1 bar) وتستخدم حرارة تكاثفه لتوليد طاقة حرارية. يكون انخفاض الانتالي للبخار ضمن العنفة وكذلك الاستطاعة الكهربائية للمحطة الحرارية ذات الضغط الخلفي أقل منهما في حالة المنشأة ذات سحب البخار وتكثيفه للاستفادة من حرارته.

المساحة الموجودة داخل دورة العمل على المخطط T-s تعبر عن الحرارة المفيدة  $Q_u$  المساوية للعمل المفيد في دورة العمل  $W_u$ . أما المساحة أسفل الخط 2-3 في المخطط T-s فهي حرارة

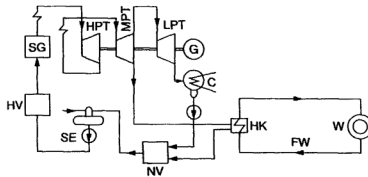
التسخين الممكن الاستفادة منها نظرياً  $Q_{\text{heat,th}}$ ، والمساحة تحت الخط 1-4 تمثل الحرارة المضافة لدورة العمل  $Q_s$ . إن حرارة التسخين الممكن الاستفادة منها فعلياً  $Q_{\text{heat}}$  أقل من  $Q_{\text{heat,th}}$  النظرية.



الشكل 2.9 : دورة عمل المحطة الحرارية ذات الضغط الخلفي على المخطط T-s.

في المحطات ذات الضغط الخلفي فإن تقدم الطاقة الكهربائية والحرارية مترابط بشكل كبير، وهذه المحطات لا تستخدم إلا في المنشآت الصناعية.

يتم سحب حرارة التدفئة (التسخين) في أكثر الأحيان باستخدام العنفات ذات سحب البخار وتكتيفه (الشكل 3.9).

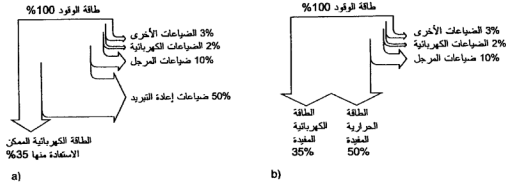


HPT	عنفة الضغط العالي	SG	مولد بخار ذو محمص وسطي
LPT	عنفة الضغط المنخفض	MPT	عنفة الضغط المتوسط
HK	مكثف التسخين	C	مكثف
W	مستهلك حرارة	FW	شبكة توزيع الحرارة
HV	مسخن أولي للماء ضغطه مرتفع	NV	مسخن أولي للماء ذو ضغط منخفض
		SE	خزان ماء تغذية مع مضخة

الشكل 3.9 : سحب الطاقة الحرارية (حرارة التسخين) من عنفة سحب البخار وتكتيفه.



يتراوح مردود المحطات الكهربائية التي تحوي عنفة تكاثف بين 36 و 43 %، أما المحطات ذات التوليد المشترك للكهرباء والحرارة فيصل فيها مردود استخدام الطاقة  $\eta_{\text{cog}} = 0.8$  حتى 0.85 .  
وبين الشكل (4.9) مخطط توزيع الطاقة النمطي لكلا النوعين.



## مثال 1.9

من أجل مجموعة بعنفة ذات ضغط خلفي معلوم ما يلي:

مواصفات البخار الطازج قبل العنفة:  $p_1 = 100 \text{ bar}$ ،  $t_1 = 550^\circ\text{C}$ ، الضغط المقابل  $p_2 = 3 \text{ bar}$   
تدفق البخار الكتلي:  $m = 50 \text{ kg/s}$ ، المردود الداخلي للعنفة  $\eta_T = 0.9$  ومردود المولد الكهربائي  $\eta_G = 0.98$  المطلوب حساب:

— بالاستعانة الكهربائية للمجموعة،

— المردود الكهربائي،

— الرقم المميز للتيار،

— عند دخل الاستفادة من الطاقة لمحطة التوليد المشترك للحرارة والكهرباء إذا كانت الضياعات

الحرارية عند المستهلك 20 %  $\eta_{\text{LOS}} =$

الحل:

1. بالاستعانة بمخطط  $h-s$  نحدد:

التالي البخار الطازج عند  $p_1 = 100 \text{ bar}$  و  $t_1 = 550^\circ\text{C}$ ،  $h_1 = 3500 \text{ kJ/kg}$

التالي البخار المنفلت من العنفة عند تمدد ايزنتروبي للبخار من  $p_1$  إلى  $p_2$ ،  $h_{2s} = 2630 \text{ kJ/kg}$

2. الانتالي الفعلي للبخار المنفصل عند تمدد غير عكوس:

$$h_2 = h_1 - \eta_T (h_1 - h_{2s})$$

$$= 3500 - 0.9 (3500 - 2630) = 2717 \text{ kJ/kg}$$

3. انتالي ماء تغذية المرجل عند  $p_2$  (من الجدول A.5):

$$h_{FW} = 584.27 \text{ kJ/kg}$$

4. العمل النوعي الفعلي للنفخة (هبوط الإنتالي في النفخة):

$$w_T = h_1 - h_2 = 3500 - 2717 = 783 \text{ kJ/kg}$$

5. كمية الحرارة المضافة لكل 1 kg بخار:

$$q_s = h_1 - h_{FW} = 3500 - 584.27 = 2915.73 \text{ kJ/kg}$$

6. المردود الحراري الفعلي:

$$\eta_{th} = w_T / Q_s = 783 / 2915.73 = 0.269$$

7. المردود الكهربائي:

$$\eta_{el} = \eta_{th} \eta_G = 0.269 \times 0.98 = 0.263$$

8. الاستطاعة الكهربائية:

$$P_{el} = m w_T \eta_G$$

$$= 50 \text{ kg/s} \times 783 \text{ kJ/kg} \times 0.98 = 38367 \text{ kW}$$

9. الاستطاعة الحرارية المفيدة:

$$Q_u = m (h_2 - h_{FW}) (1 - \eta_{LOS})$$

$$= 50 \text{ kg/s} (2717 - 584.27) (1 - 0.2) = 85309.2 \text{ kW}$$

10. الرقم المميز للتيار

$$\sigma = P_{el} / Q_u = 38367 / 85309.2 = 0.45$$

11. درجة الاستفادة من الطاقة لمحطة التوليد المشترك للحرارة والكهرباء

$$\eta_{total} = P_{el} + Q_u / m q_s$$

$$= (38367 + 85309.2) / 50 \times 2915.73 = 0.848$$

### 3.9 تصميم محطة التدفئة وتوليد الكهرباء

بناء على الاستطاعة الحرارية الأعظمية (استطاعة التدفئة)  $Q_{ft}$  للنفخة البخارية يتم اختيار مواصفات البخار الطازج ودرجة حرارة التخميص الوسطي عند تصميم محطة التدفئة وتوليد الكهرباء وفقاً للجدول (1.9).

الجدول 1.9: اختيار مواصفات البخار لمحطة التدفئة وتوليد الكهرباء.

استطاعة التسخين الحرارية	مواصفات البخار الطازج	مواصفات التخميص الوسطي
$Q_H$ (MW)	$p$ [bar]	$t_{RH}$ [°C]
50	485-520	60-80
100	520-535	80-125
150	535	125-165
200-250	535-540	165-185
300-600	450-550	185-250

يبرز ارتفاع أسعار الوقود اللجوء إلى استخدام قيم مرتفعة للبخار الطازج، فالمواصفات المنخفضة للبخار الطازج يرافقها انخفاض كمية التيار المنتج وكذلك تكاليف الاستثمار.

وبحسب مواصفات البخار الطازج يتم اختيار المسخنات الأولية لماء التسخين.

ومنصف على سبيل المثال تفاصيل محطة التدفئة وتوليد الكهرباء Reuter West في برلين.

والشكل (5.9) يبين هذا المحطة بشكل تخطيطي. أجزاؤها الأساسية هي: مولد البخار 1 مع معدات تنظيف غازات الاحتراق (جهاز سحب الآزوت a، المصفاة الكهربائية b، جهاز غسل غازات الاحتراق وسحب الكبريت منها c)، المدخنة d، مجموعة العنفة التي يسحب البخار منها (ذات الضغط العالي والمتوسط والمنخفض 2 - 2 b) مع المولد 3، جملة إعادة التبريد مع برج التبريد 4، المكثف 5، المسخنات الأولية لماء التغذية (خزان ماء التغذية/ساحب الغازات 7)، جملة نقل الحرارة 9-13.

أهم المواصفات الفنية لهذه المحطة الحرارية هي:

الاستطاعة الكهربائية الصافية للأعظمية للمحطة 600 MW. الاستطاعة الحرارية الأعظمية

للتسخين 774 MW وعند ذلك تبلغ الاستطاعة الكهربائية 249 MW × 2.

1. مولد البخار: هناك مولدان بحوي كل منهما بحري ونصف للغازات من النوع ذي الجريان القسري والأحادي للماء في المنشأة من النوع Benson الذي يحوي مضخة تدوير عند المحولات الصغيرة (حمولة المرجل) (الغلاية) يمكن تخفيضها حتى 20 % من الاستطاعة الاسمية وتكون عادة حتى 35 %.

البخار الطازج: الاستطاعة الاسمية لتوليد البخار 961 t/h، الضغط 196 bar، درجة الحرارة 540 °C.

التحميص الوسطي البسيط: كمية البخار  $1817 \text{ t/h}$ ، الضغط  $49 \text{ bar}$ ، درجة الحرارة  $540^\circ\text{C}$

درجة حرارة دخول ماء التغذية  $293^\circ\text{C}$ ، مردود المولد  $92\%$ .

2. الاحتراق: الوقود هو الفحم الحجري، خليط الفحم الحجري والفحم البني ( $75\% / 25\%$ )، وقود سائل ثقيل (فيول أويل)، [حتى  $40\%$  من الاستطاعة الاسمية للمرجل (العلاية)].  
تدفع الوقود  $102 \text{ t/h}$  منها  $76 \text{ t/h}$  فحم حجري و  $26 \text{ t/h}$  فحم بني. كذلك يحرق الفحم المطبوعون (غبار الفحم): احتراق ثنائي المراحل، هناك  $16$  حراقاً ذا مراحل من النوع الذي تتبع فيه غازات  $\text{NO}_x$  بكميات قليلة ( $\text{Low NO}_x \text{ Burners}$ )، الحركة في الحراقات دوامية وتجري إضافة الهواء إلى الحراقات عبر توصيلات منفصلة ولها فوهات (فالات) هواء إضافية. يتم التخلص من الرماد وهو في الحالة الجافة. مقدار تشكّل  $\text{NO}_x$  عند الاحتراق أقل من  $650 \text{ mg}$  لكل  $\text{m}^3$  من غازات الاحتراق.

3. معدات طحن الفحم: هناك 4 مطاحن ذات أحواض تحوي أسطوانات، استطاعة الطحن لكل منها  $28 \text{ t/h}$ . تخدم كل مطحنة 4 حراقات.

4. العنفات، المولدات، المحولات: هناك عنفتان، كل منهما ذات ثلاثة صناديق يسحب منها البخار لتكثيفه والاستفادة من حرارته. تعمل هذه العنفات مع تحميص وسطي بسيط، هناك عنفة أحادية الفيض ذات ضغط عالٍ (قسم الضغط العالي) وعنفتان كل منهما ثنائية الفيض إحداهما متوسطة الضغط والأخرى منخفضة الضغط.

استطاعة الوحدة (unit) الأعظمية  $300 \text{ MW}$ ، سرعة الدوران  $3000 \text{ min}^{-1}$ .

المولد ثنائي الأقطاب استطاعته الاسمية  $353 \text{ MVA}$  (التوتر — الجهد الاسمي  $22 \text{ kV}$ ) ويتم تبريده بالهيدروجين. المحول مرتبط مباشرة مع المولد (بلوك) باستطاعة اسمية  $330 \text{ MVA}$ ، طرف التوتر (الجهد) العالي:  $400 \text{ kV}$ .

5. مكثفات التسخين: هناك اثنان لكل عنفة، استطاعة التسخين الأعظمية  $2 \times 387 \text{ MW}$ .

6. جملة التغذية بالماء وإعادة التبريد: يتم تسخين ماء التغذية في المسخنات  $6-8$  حتى درجة الحرارة  $293^\circ\text{C}$ . يجري في خزان ماء التغذية 7 سحب الغازات من ماء التغذية. برج التبريد من النوع الرطب ذي السحب الطبيعي (ارتفاعه حوالي  $100 \text{ m}$ ، قطر التضايق والقطر الأساسي  $105/61 \text{ m}$ ) باستطاعة تبريد قدرها  $700 \text{ MW}$ ، وتدفع تيار الماء  $23000 \text{ m}^3/\text{h} \times 2$ ، درجة حرارة الماء الساخن والبارد  $32.1/19^\circ\text{C}$ .



تؤخذ الحرارة من عنفة الضغط المتوسط عبر مكثفي تسخين 9 ومبادل حراري 10. وهكذا ترفع درجة حرارة ماء التسخين حتى 110 °C. تُركَّب مضخات تدوير في مركز التدفئة البعيد 12 وفي محطة الضخ 13. يتم التوزيع عن طريق محطة مبادلة 11. قطر قناة أنابيب توزيع ونقل ماء التسخين 4.1 m.

محطة التدفئة وتوليد الكهرباء Reuter West (في برلين) مجهزة بأجهزة لتقليل إصدار الغبار والحبيبات، وتتألف معدات تنقية غازات الاحتراق لكل وحدة من جهاز سحب الآزوت a 1، مصفاة كهربائية b 1 وجهاز لسحب الكبريت من غازات الاحتراق c 1.

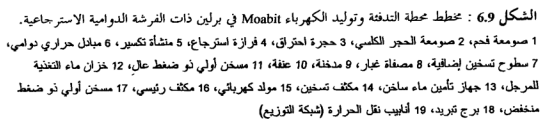
يتم سحب الآزوت من غازات الاحتراق عن طريق منشأة أفقية من النوع (Selective SCR Catalytic Reduction) ذات مجريين طويلين يشكل كل منهما جملة تخفيض 25 x 3.

تتوضع الحفازات بين الموفر (مسخن الماء الأولي) ومسخن الهواء الأولي على طريق غازات الاحتراق. بإضافة الأمونياك كوسيط تخفيض لتواجد الآزوت في الغازات يتم فصل أكاسيد الآزوت إلى آزوت وماء. وقد تم وصف هذه الطريقة في الفصل السادس ووسيط التخفيض هو  $\text{NH}_3$ . درجة حرارة التشغيل تتراوح بين 330 و 437 °C ويصبح محتوى غازات الاحتراق من  $\text{NO}_x$  بعدئذ أقل من  $200 \text{ mg/m}^3$ .

أما درجة سحب الغبار في المصفاة الكهربائية فتبلغ 99.7 %.

المادة المستخدمة للامتزاز (adsorption) في منشأة سحب الكبريت من الغازات هي الحجر الكلسي والمادة الناتجة هي الجص. تبلغ درجة سحب الكبريت 85 %، أما محتوى الغاز النظيف الأعظمي من  $\text{SO}_2$  فهو بحدود  $400 \text{ mg/m}^3$ . يقسم الغاز الذي سحب الغبار منه إلى جزئين، أحدهما يمر في غاسل متساوي الاتجاه ومتعاكس الاتجاه.

يتم رش مزيج معلق (Suspension) من الحجر الكلسي (المحلول بالماء) فينشأ مزيج معلق جديد هو الجص، الذي يتألف من أوكسيد الكبريت والحجر الكلسي، يُطرح من مستنقع الغسل عن طريق مضخات خاصة ثم تتم تصفيته وسحب الماء منه بحيث تبقى نسبة الرطوبة فيه 10 % بواسطة فراغات بالطرد المركزي (Centrifuge). التدفقات الكتلية الوسطية هي مسحوق الحجر الكلسي (كالطحين)  $4050 \text{ kg/h}$ ، حمض النمل  $22 \text{ kg/h}$ ، الجص  $6200 \text{ kg/h}$ ، المياه المستهلكة (الملحقة)  $9.5 \text{ m}^3/\text{h}$ .



يُسخَّن الغاز النظيف في حجرة احتراق تحرق الوقود السائل ثم تساق إلى المدخنة. تتألف منشأة السمدخنة في المحطة الحرارية Reuter West (برلين) من أنبوبين فولاذيين لتصريف الغازات (القطر 4.75 m، الارتفاع 122 m) في محور إسمنتي (قطره 13 m، ارتفاعه 104 m).  
محطات التدفئة وتوليد الكهرباء في نفس الوقت مقارنة بالمحطات الكهربائية ذوات عنفات التكاثف المزايا التالية: يبلغ المردود الكهربائي عند توليد التيار الكهربائي فقط في المحطات الكهربائية ذوات عنفات التكاثف 38 % والضياعات مع ماء التبريد 54 % والضياعات مع غازات الاحتراق 8 % من الطاقة الحرارية القادمة مع تيار الوقود. أما عند توليد الحرارة والتيار الكهربائي في نفس الوقت في محطة التدفئة وتوليد الكهرباء فيبلغ المردود الكهربائي 31 % ولكن هناك ربحاً في الطاقة المفيدة عن طريق حرارة التسخين مقداره 49 %، فالمردود الإجمالي يصل إلى 80 %. تبلغ الضياعات الحرارية 20 % (مع ماء التبريد 12 % ومع غازات الاحتراق 8 %) وبهذا تُوفّر طاقة أولية ويقلّ انبعاث الغازات الضارة.

#### محطات التدفئة وتوليد الكهرباء ذات مولدات البخار الدوامية (fluidized bed)

تعمل محطة Moabit في برلين منذ عام 1991، وهي محطة تدفئة وتوليد للكهرباء مزودة بفرشة وقود دوامية دوارة (استرجاعية). تتألف وحدة التوليد (unit) التي استطاعتها الحرارية MW 240 من مرجل بنسون ذي الانسياب الوحيد والقسري للماء في الدورة، ومن عنفة بخارية ومولد. يتضمن مولد البخار فرشة وقود دوامية استرجاعية (مقطعها 7.5 m × 7.5 m وارتفاعها 32 m) وفرازين (سلكون) ومبرداً ذا سير نقال وسطوح تسخين أخرى (محمصاً، محمصاً، سطياً، موفراً، مسخن هواء أولي). يبلغ التحمل السطحي لحجرة الاحتراق الدوامية 4.3 MW/m<sup>2</sup> والتحميل الحجمي لها 0.13 MW/m<sup>3</sup>. سطوح تسخين المبخّر على شكل أنابيب جدارية مبردة بالماء (ممرانية أو غشائية) وكذلك الأمر للمبرد واللفزارتين. يسخن الماء تسخيناً أولياً حتى درجة الحرارة 300 °C. يبين الشكل (6.9) مخطط عمل محطة التدفئة وتوليد الكهرباء ذات الطبقة الدوامية Moabit. يضاف إلى حجرة الاحتراق خليط من 39 % فحم حجري و 44 % فحم بني و 13 % رماد طيار و 4 % ححر كلسي. تبلغ القيمة الحرارية الوسطية للخليط MJ/kg 24.4.

يتعرض الهواء للتسخين الأولي في مسخن مُركَّب خلف المصفاة الكهربائية، ويضاف الهواء الأولي والثانوي وكذلك الوقود والحجر الكلسي والرماد المسترجع من الفرازات والمبردات إلى



النصف السفلي من حجرة الاحتراق. يُرسل الهواء الأولي بسرعة 7 m/s فوق الأرضية المثقبة وتصل نسبة إتمام الاحتراق للفحم إلى ما يزيد على 99%.

تُفصل المواد الصلبة من غازات الاحتراق عن طريق فرازتين موصولتين على التوازي (القطر 7.3 m الطول الإجمالي 15 m). يجري سحب الغبار من غازات الاحتراق في المصفاة الكهربائية عند درجة الحرارة 320 °C. تبلغ الانبعاثات القيم التالية (بوحدة mg في الـ m<sup>3</sup> عند الشروط النظامية): المحتوى من الغبار 20، SO<sub>2</sub>: 200، NO<sub>2</sub>: 200، CO: 250.

كما يمكن في محطات التدفئة وتوليد الكهرباء استخدام مولدات بخار ذات فرشاة دوامية مضغوطة، وهي تتمتع بالمزايا التالية: بناؤها المدمج (Compact) وعامل انتقالها الحراري المرتفع واكتمال احتراق الوقود ودرجة سحب الكبريت المرتفعة ومحتوى غازات الاحتراق المنخفض من NO<sub>x</sub>، أما مساوئها فهي انخفاض مردود العملية. تتم عملية الضغط في هذه الطريقة بواسطة ضاغط وحيد المرحلة، وعنفة غازية، حيث يرتفع الضغط إلى 6 bar ويستفاد من حرارة الغازات في توليد البخار وقد بينت الحسابات تحسناً في مردود العملية بحملها.

## 4.9 مجموعة التدفئة وتوليد الكهرباء اللامركزية

### 1.4.9 مجموعة التدفئة وتوليد الكهرباء اللامركزية التي تستخدم محركات

#### الاحتراق الداخلي

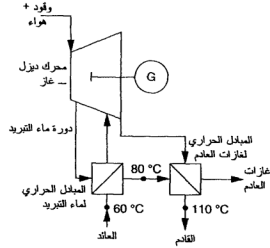
مجموعة التدفئة وتوليد الكهرباء اللامركزية هي محطة توليد طاقة تقوم بالإنتاج المشترك للكهرباء والحرارة لتأمين متطلبات محلية (لا مركزية). تستخدم في هذه المحطات محركات الاحتراق الداخلي أو العنفات الغازية من أجل التوليد المتزامن (بنفس الوقت) للتيار الكهربائي والحرارة (ربما البرودة أيضاً).

تتحول في المجموعات التي تعتمد على محركات الاحتراق الداخلي الطاقة الكيميائية المخزنة في الوقود الغازي أو السائل إلى طاقة حرارية وميكانيكية مفيدة.

ومبدأ هذه المجموعة مبين في الشكل (7.9).

وتستخدم لهذا الغرض محركات الديزل أو المحركات الغازية أو محركات الديزل — الغاز.

تتألف المجموعة ذات المحرك من جملة محرك — مولد ومبادلين حراريين أو ثلاثة لاستغلال حرارة غازات الاحتراق (العادم). تتراوح الاستطاعة الكهربائية للمجموعة ذات المحرك  $P_e$  بين 40 kW و 8 MW والاستطاعة الحرارية  $Q_{th}$  بين 80 kW و 9 MW. يبلغ مردود الاستفادة من الطاقة 75 حتى 90 %.



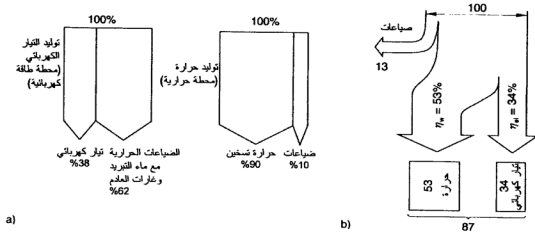
الشكل 7.9 : مبدأ عمل مجموعة التدفئة وتوليد الكهرباء التي تستخدم محرك الاحتراق الداخلي.

يُستخدم في هذه المجموعات الغاز الطبيعي، وقود الديزل (المازوت)، غاز المولدات، غاز فحم الكوك، غاز شبكة المدينة بالإضافة إلى الغاز المستخرج من مطامر القمامة أو محطات معالجة مياه المجاري، كما يستخدم الوقود السائل الخفيف أو الثقيل. وخلافاً لمحطات الطاقة البخارية التي تولد كهرباء بمردود 38 % فإن المجموعات التي تستخدم محركات الاحتراق الداخلي يصل تحويل الطاقة الأولية فيها إلى تيار كهربائي وحرارة إلى القيمة 90 %، منها 30 % طاقة كهربائية و60 % حرارة قابلة للاستخدام، وبالتالي فإن استخدام مثل هذه المجموعات يساهم في توفير الطاقة وحماية البيئة. تُحوّل الحرارة الضائعة مع غازات احتراق المحرك وكذلك مع ماء التبريد أو زيت التشحيم إلى حرارة مفيدة لماء التسخين.

تُعرّف نسبة الاستطاعة الكهربائية  $P_e$  إلى الاستطاعة الحرارية  $Q_{th}$  — "الرقم المميز للتيار الكهربائي"، ووفقاً للوقود المستخدم ولتصميم جملة المحرك — المولد فإن قيمة  $\eta$  يمكن أن تصل حتى 1.

على سبيل المثال يتراوح استهلاك الطاقة الأولية (غاز طبيعي قيمته الحرارية الدنيا LCV حوالي  $33 \text{ MJ/m}^3$ ) بين 148 و 392 kJ/s وذلك في مجموعة التدفئة وتوليد الكهرباء ذات الاستطاعة الكهربائية  $P_{\text{ه}}$  المتروحة بين 45 و 115 kW وذات الاستطاعة الحرارية المتروحة بين 85 و 210 kW. وتبلغ درجة الاستفادة من الطاقة حوالي 90%.

يبين الشكل (8.9) مقارنة بين عملية التوليد المشترك للتيار الكهربائي وحرارة التسخين (التدفئة) في مجموعة التدفئة وتوليد الكهرباء وبين التوليد المنفصل للطاقة الكهربائية (في محطة الطاقة الكهربائية) والطاقة الحرارية (في محطة طاقة حرارية). من أجل توفير الحرارة بشكل مضمون لبعض المشاريع (الأبنية السكنية، أبنية المعامل والمكاتب، المشافي، المساح) يضاف مرجل ليعمل عند حموله الذروة، يحرق الغاز أو الوقود السائل.



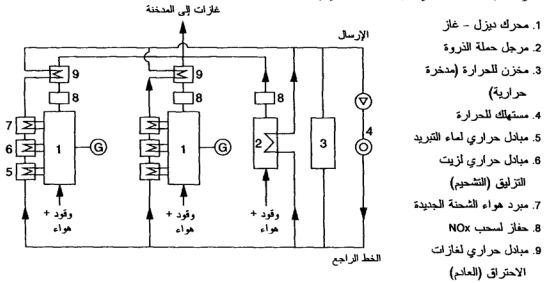
الشكل 8.9 : مخطط Sankey (إضافة الحرارة وتحويلها) لـ: (a) توليد منفصل للتيار الكهربائي في محطة الطاقة البخارية (توليد الكهرباء) وحرارة التسخين في محطة التدفئة (التسخين) (b) التوليد المشترك للكهرباء وللحرارة في مجموعة التدفئة وتوليد الكهرباء.

يؤدي استخدام محرك يعمل على وقودين (غاز — ديزل) وحرق ووقودين لمرجل حموله الذروة إلى رفع جاهزية واقتصادية المنشأة بمحملها. تُعرف الجاهزية بأنها قابلية المنشأة لتوليد الطاقة، وتميزها القيم التالية: الجاهزية الزمنية وجاهزية الاستطاعة والجاهزية للعمل. الجاهزية الزمنية مثلاً هي النسبة بين مجموع أزمته التشغيل مع أزمته الجاهزية وبين الزمن الكلي للفترة المعتبرة أما

الجاهزية للعمل فهي نسبة العمل المتاح (أي الفرق بين العمل الاسمي والعمل غير المتاح) إلى العمل الاسمي.

يبين الشكل (9.9) مخطط التسلسل في مجموعة التدفئة وتوليد الكهرباء المؤلفة من مجموعتي محرك — مولد مع المبادلات الحرارية الموافقة بالإضافة إلى مرجل حموله الذروة.

يجري توزيع الحرارة على المستهلكين المختلفين عن طريق محطة توزيع الحرارة بالبخار بمضخات تدوير في الشبكة وموزعات باتجاه التيار (المرسلات) وبمجمعات التيار العائد والعدادات الحرارية، بالإضافة إلى أجهزة التحكم. تنظم درجة حرارة الإرسال وفقاً لدرجة حرارة الوسط الخارجي. (الحرارة المحيطة). تستخدم في مجموعة التدفئة وتوليد الكهرباء المولدات المتوافقة (المتزامنة) أو غير المتزامنة (Synchronous, asynchronous).



الشكل 9.9 : تسلسل العمليات في مجموعة التدفئة والتسخين ذات مجموعتي المحرك — المولد ومرجل حموله الذروة.

## 2.4.9 كفاءة (فعالية) محركات الاحتراق الداخلي في مجموعات التدفئة

### وتوليد الكهرباء

#### دورة عمل المحرك الغازي (محرك البنزين)

تتألف دورة عمل محركات الاحتراق الداخلي من انضغاط ايزنتروبي وإضافة للحرارة بثبوت الحجم أو الضغط، و تمدد ايزنتروبي وطرح للحرارة بثبوت الحجم. يعتبر الهواء وسيط العمل

لعمليات المقارنة بين محركات الاحتراق الداخلي، كما يعتبر غازاً مثالياً بأس الايزنتروبي قدره  $k = 1.4$  وثابت الغاز له  $R = 0.287 \text{ kJ/kg K}$ . السعة الحرارية النوعية بثبوت الحجم  $c_v = 0.718 \text{ kJ/kg K}$  وبثبوت الضغط  $c_p = 1.005 \text{ kJ/kg K}$ .

عملية المقارنة المناسبة للمحركات الغازية هي دورة أوتو (Otto)، التي تتألف من:

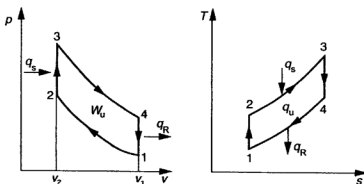
— انضغاط ايزنتروبي 1-2 يستهلك عملاً،

— إضافة للحرارة بثبوت الحجم 2-3،

— تمدد ايزنتروبي 3-4 يقدم عملاً،

— طرح للحرارة بثبوت الحجم 4-1.

وبين الشكل (10.9) دورة أوتو في مخططي  $p, v$  و  $T, s$ .



الشكل 10.9 : دورة عمل أوتو على المخططين  $p-v$  و  $T-s$ .

تتميز دورة العمل بنسبة الانضغاط

$$(14.9) \quad \varepsilon = v_1 / v_2$$

العلاقة بين القيم المميزة للحالة (الحجم النوعي  $v$ ، الضغط  $p$ ، درجة الحرارة  $T$ ) لوسيط العمل

الذي هو الهواء وذلك في دورة عمل أوتو مبينة في الجدول (2.9).

تُحسب كميات الحرارة لدورة أوتو من العلاقات التالية.

من أجل الحرارة المضافة بثبوت الحجم ( $v = \text{const}$ ):

$$(15.9) \quad Q_s = m c_v (T_3 - T_2) \quad [\text{kJ}]$$

حيث:  $c_v$  يبلغ  $0.718 \text{ kJ/kg K}$  وهي السعة الحرارية النوعية بثبوت الحجم للهواء.

الجدول 2.9: العلاقات بين القيم المميزة للحالة  $v$ ،  $p$ ،  $T$  في دورة عمل أوتو (Otto).

تغير الحالة	$v$	$p$	$T$
انضغاط ايزنتروبي 1-2 ( $s = \text{const}$ )	$v_2 = v_1 / \varepsilon$	$p_2 / p_1 = \varepsilon^k$	$T_2 / T_1 = \varepsilon^{(k-1)} = (p_2 / p_1)^{(k-1)/k}$
إضافة الحرارة بثبوت الحجم 2-3 ( $v = \text{const}$ )	$v_3 = v_2$	$p = R T / V$	$T_3 / T_2 = P_3 / P_2$
تمدد ايزنتروبي 3-4 ( $s = \text{const}$ )	$v_4 = v_1$	$p_4 / p_3 = 1 / \varepsilon^k$	$T_4 / T_3 = 1 / \varepsilon^{(k-1)} = (p_4 / p_3)^{(k-1)/k}$
طرح الحرارة بثبوت الحجم 1-4 ( $v = \text{const}$ )	$v_4 = v_1$	$p_4 / p_1 = T_4 / T_1$	

ومن أجل الحرارة المطروحة (عند  $v = \text{const}$ ):

$$(16.9) \quad Q_R = m c_v (T_4 - T_1) \quad [\text{kJ}]$$

ينتج عمل الانضغاط بين  $p_1$  و  $p_2$  [kPa] من أجل أس ايزنتروبي  $k = 1.4$  كما يلي:

$$(17.9) \quad \begin{aligned} W_{\text{comp}} &= (p_2 V_2 - p_1 V_1) / (k - 1) \\ &= m R (T_2 - T_1) / (k - 1) \quad [\text{kJ}] \end{aligned}$$

ينتج عمل التمدد بين  $p_3$  و  $p_4$  [kPa] كما يلي:

$$(18.9) \quad \begin{aligned} W_{\text{exp}} &= (p_3 V_3 - p_4 V_4) / (k - 1) \\ &= m R (T_3 - T_4) / (k - 1) \quad [\text{kJ}] \end{aligned}$$

ويصبح العمل المفيد لدورة العمل:

$$(19.9) \quad W_u = W_{\text{exp}} - W_{\text{comp}} = Q_S - Q_R \quad [\text{kJ}]$$

والمردود الحراري لدورة عمل أوتو:

$$(20.9) \quad \eta_{\text{th}} = W_u / Q_S = 1 - Q_R / Q_S = 1 - 1 / \varepsilon^{k-1}$$

كلما ارتفعت نسبة الانضغاط  $\varepsilon$  كلما ازداد المردود الحراري  $\eta_{\text{th}}$  (الجدول 3.9).

الجدول 3.9: المردود الحراري  $\eta_{\text{th}}$  لدورة عمل أوتو وعلاقته بنسبة الانضغاط  $\varepsilon$  وأس الايزنتروبي  $k = 1.4$ .

نسبة الانضغاط $\varepsilon$	3	6	9	12
المردود الحراري $\eta_{\text{th}}$	0.36	0.51	0.58	0.63

## دورة عمل محرك الديزل Diesel

عملية المقارنة المستخدمة لمحركات الديزل هي دورة عمل "ديزل" التي تتألف من:

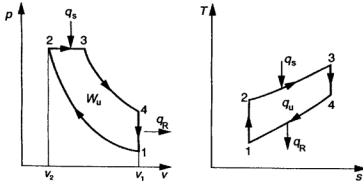
- انضغاط ايزنتروبي 1-2 يستهلك عملاً،
- إضافة للحرارة بثبوت الضغط 2-3،
- تمدد ايزونتروبي 3-4 يقدم عملاً،
- طرح للحرارة بثبوت الحجم 4-1.

يبين الشكل (11.9) دورة عمل ديزل على المخططين T-s و p-v

تتميز دورة ديزل بنسبة الانضغاط  $\varepsilon$  ونسبة الحقن  $\phi$ :

$$(21.9) \quad \phi = v_3 / v_2 \quad \text{و} \quad \varepsilon = v_1 / v_2$$

يُضغَطُّ الهواء (وليس خليط الهواء والوقود كما هو الحال في دورة أوتو)، وتكون نسبة الانضغاط  $\varepsilon$  أكبر بكثير منها في دورة أوتو.



الشكل 11.9 : دورة عمل ديزل على المخططين T-s و p-v.

تنطبق المعادلتان (16.9) و (17.9) المستخدمتان في دورة أوتو أيضاً على دورة ديزل في حساب

الحرارة المطروحة  $Q_R$  أو عمل الانضغاط  $W_{\text{comp}}$ .

تُحسب الحرارة المضافة (عند  $p = \text{const}$ ) في دورة ديزل كما يلي:

$$(22.9) \quad Q_S = m c_p (T_3 - T_2) \quad [\text{kJ}]$$

حيث:  $c_p = 1.005 \text{ kJ/kgK}$  السعة الحرارية النوعية بثبوت الضغط للهواء.

أما عمل التمدد في دورة ديزل فيحسب كما يلي:

$$(23.9) \quad \begin{aligned} W_{\text{exp}} &= p_2 (v_3 - v_2) + (p_3 v_3 - p_4 v_4) / (k - 1) \\ &= m R [(T_3 - T_2) + (T_3 - T_4)] / (k - 1) \quad [\text{kJ}] \end{aligned}$$

حيث:  $p_2$  و  $p_3$  و  $p_4$  بالـ [kPa]

$k$  أس الايزنتروبي وقيمتة 1.4.

المردود الحراري لدورة عمل ديزل:

$$(24.9) \quad \eta_{th} = W_u / Q_s = 1 - Q_R / Q_s = 1 - (\varphi^k - 1) / k(\varphi - 1) \varepsilon^{k-1}$$

يزداد المردود الحراري  $\eta_{th}$  لدورة عمل ديزل مع ازدياد نسبة الانضغاط  $\varepsilon$  وانخفاض نسبة الحقن  $\varphi$ .

وبازدياد الحمولة تزداد قيمة  $\varphi$ . يبين الجدول (4.9) تأثير  $\varphi$  على المردود الحراري  $\eta_{th}$  لدورة ديزل.

الجدول 4.9: المردود الحراري لدورة عمل ديزل وارتباطه بنسبة الحقن  $\varphi$  ونسبة الانضغاط  $\varepsilon = 14$  ونسبة الضغوط  $p_2/p_1 = 40.2$ ؛ أس الايزنتروبي  $k = 1.4$  من أجل  $\varphi = 1$  أي دورة أوتو فإن  $\eta_{th} = 0.65$ .

نسبة الحقن $\varphi$	2	3	4	5
المردود الحراري $\eta_{th}$	0.59	0.55	0.51	0.47

المردود الفعلي (الفعال)

المردود الفعلي لحرك احتراق داخلي هو نسبة الاستطاعة الميكانيكية المفيدة للمحرك  $P_e$  إلى تيار الحرارة المضافة مع الوقود  $Q_F$ .

$$(25.9) \quad \eta_e = P_e / Q_F$$

وكذلك:

$$(26.9) \quad \eta_e = \eta_{th} \eta_g \eta_m = \eta_i \eta_m$$

يُحسب المردود الحراري  $\eta_{th}$  بدلالة الاستطاعة النظرية للمحرك كما يلي:

$$(27.9) \quad \eta_{th} = P_{th} / Q_F$$

ودرجة الجودة  $\eta_{good}$  هي نسبة الاستطاعة الدليلية للمحرك  $P_i$  إلى الاستطاعة النظرية:

$$(28.9) \quad \eta_{good} = P_i / P_{th}$$

أما المردود الدليلي:

$$(29.9) \quad \eta_i = P_i / Q_F$$



والمردود الميكانيكي:

$$(30.9) \quad \eta_m = P_e / P_i$$

### الاستطاعة الميكانيكية

تُحسب الاستطاعة الدليلية للمحرك كما يلي:

$$(31.9) \quad P_i = V_s p_i n / u \quad [\text{kW}]$$

حيث:  $V_s$  حجم الإزاحة للمحرك  $[\text{m}^3]$

$p_i$  الضغط الدليلي  $[\text{kPa}]$

$n$  سرعة الدوران  $[\text{min}^{-1}]$

$u$  120 للمحركات الرباعية الأشواط، و 60 للمحركات الثنائية الأشواط.

### الاستهلاك النوعي للوقود

يحسب الاستهلاك النوعي للوقود في محرك الاحتراق الداخلي كما يلي:

$$(32.9) \quad S_{cf_e} = 3.6 \times 10^6 m_F / P_e = 10^3 / \eta_e \text{ LCV} \quad [\text{g/kWh}]$$

حيث:  $m_F$  استهلاك الوقود  $[\text{kg/s}]$

LCV القيمة الحرارية الدنيا للوقود  $[\text{kWh/kg}]$ .

من أجل محركات أوتو أو ديزل يمكن اعتماد القيم الاسترشادية التالية:

— نسبة الانضغاط  $\epsilon$  في محركات أوتو تتراوح بين 7 و 11 وفي محركات ديزل 14-24،

— نسبة الضغط  $P_2/P_1$  لمحركات أوتو تتراوح بين 10 و 15 وفي محركات ديزل 24-50،

— درجة الجودة  $\eta_{\text{good}} = 0.7 - 0.9$ ،

— المردود الميكانيكي لمحركات أوتو 0.8 إلى 0.9 ومحركات ديزل 0.75-0.85،

— المردود الفعال لمحركات أوتو 0.2 إلى 0.3 ومحركات ديزل 0.27-0.36،

— الاستهلاك النسوي للوقود لمحركات أوتو  $S_{cf_e}$  يبلغ 250 إلى 380 ومحركات ديزل 240 حتى

290 g/kWh.

### مثال 2.9

محرك ديزل رباعي الأشواط يتمتع بالمواصفات التالية: حجم الإزاحة  $V_s = 5.71$ ، نسبة

الانضغاط  $\epsilon = 17$ ، سرعة الدوران  $n = 3000 \text{ min}^{-1}$ ، الضغط الدليلي  $p_i = 1000 \text{ kPa}$ .

ما هي قيمة الاستطاعة الدليلية والفعالة وكذلك المردود الفعال للمحرك إذا كان الاستهلاك النوعي للوقود  $240 \text{ [g/Kwh]}$  (القيمة الحرارية الدنيا لوقود الديزل  $\text{LCV} = 11.67 \text{ kWh/kg}$ ) المردود الميكانيكي  $\eta_m = 0.85$  ؟

**الحل**

الاستطاعة الدليلية للمحرك:

$$\begin{aligned} P_i &= V_s p_i n / u \\ &= 5.75 \times 10^{-3} \text{ m}^3 \times 1000 \text{ kPa} \times 3000 \text{ min}^{-1} / 120 \\ &= 143.75 \text{ kW} \end{aligned}$$

الاستطاعة الفعالة للمحرك:

$$\begin{aligned} P_e &= P_i \eta_m \\ &= 143.75 \text{ kW} \times 0.85 = 122.2 \text{ kW} \end{aligned}$$

وينتج الآن المردود الفعال:

$$\begin{aligned} \eta_e &= 10^3 / Scf_e \text{ LCV} \\ &= 10^3 / 240 \text{ g/kWh} \times 11.67 \text{ kWh/kg} = 0.357 \end{aligned}$$

### 3.4.9 الموازنة الحرارية واستهلاك الوقود لمجموعة التدفئة وتوليد الكهرباء

الموازنة الحرارية لمجموعة التدفئة وتوليد الكهرباء تكتب كما يلي (كل الحدود بالـ kW)

(33.9)	$Q_F = P_{el} + Q_H + Q_{LOS}$
--------	--------------------------------

حيث:  $Q_F$  تدفق الحرارة المنطلقة من الوقود

$P_{el}$  الاستطاعة الكهربائية

$Q_H$  الاستطاعة الحرارية المأخوذة من المجموعة

$Q_{LOS}$  تدفق الحرارة الضائعة.

بحسب التيار الحراري المرسل مع الوقود كما يلي:

$$(34.9) \quad Q_F = m_F \text{ LCV } \eta_{TPS} \quad [\text{kW}]$$

حيث:  $m_F$  استهلاك الوقود  $[\text{kg/s}]$

$\text{LCV}$  القيمة الحرارية الدنيا للوقود  $[\text{kJ/kg}]$

$\eta_{TPS}$  مردود مجموعة التدفئة وتوليد الكهرباء.

استهلاك الوقود (الوقود الغازي، السائل الخفيف، وقود الديزل) في مجموعة التدفئة وتوليد الكهرباء يُحسب كما يلي:

$$(35.9) \quad m_F = Q_F / (\eta_{TPS} LCV) \quad [\text{kg/s}] \text{ أو } [\text{m}^3/\text{s}]$$

يتم أخذ الحرارة في المبادلات الحرارية المتصلة بماء التبريد وبغازات الاحتراق (العادم)، ولذلك تتألف الاستطاعة الحرارية المفيدة لمجموعة التدفئة وتوليد الكهرباء من:

$$(36.9) \quad Q_H = Q_{CW} + Q_G \quad [\text{kJ/s}]$$

حيث:  $Q_{CW}$  الاستطاعة الحرارية لمبادل ماء التبريد  $[\text{kW}]$

$Q_G$  الاستطاعة الحرارية لمبادل غازات الاحتراق  $[\text{kW}]$ .

تُحسب هاتان الاستطاعتان بالاعتماد على التدفق الكتلي لماء التسخين  $m_{HW} [\text{kg/s}]$  والسعة الحرارية النوعية للماء  $C_{p,W} (4.187 \text{ kJ/kgK})$  وعلى ارتفاع درجة الحرارة لماء التسخين إما في مبادل ماء التبريد  $\Delta t_{cw} [\text{K}]$  أو في مبادلات غازات الاحتراق  $\Delta t_G [\text{K}]$ .

$$(37.9) \quad Q_{CW} = m_{HW} c_{pW} \Delta t_{CW}$$

$$(38.9) \quad Q_G = m_{HW} c_{pW} \Delta t_G$$

التدفق الإجمالي للحرارة المفيدة في مجموعة التدفئة وتوليد الكهرباء يصبح:

$$(39.9) \quad Q_H = m_{HW} c_{pW} (t_1 - t_2) \quad [\text{kJ/s}]$$

حيث:  $t_1$  درجة حرارة الماء الساخن الزاخر

$t_2$  درجة حرارة الماء الساخن العائد (الراجع).

أما الموازنة الحرارية لمبادل غازات الاحتراق فهي:

$$(40.9) \quad Q_G = m_G c_{pG} \Delta t_G = m_{HW} c_{pW} \Delta t_{HW} \quad [\text{kW}]$$

حيث:  $m_G$  التدفق الكتلي لغازات الاحتراق  $[\text{kg/s}]$

$C_{p,G}$  السعة الحرارية النوعية بثبوت الضغط لغازات الاحتراق  $[\text{kJ/kgK}]$

$\Delta t_G$  فرق درجات الحرارة في مبادل غازات الاحتراق  $[\text{K}]$

$\Delta t_{HW}$  ارتفاع درجة حرارة ماء التسخين في مبادل غازات الاحتراق  $[\text{K}]$ .

تُحسب درجة حرارة غازات الاحتراق عند مخرج مبادل الغازات كما يلي:

$$(41.9) \quad t_{G,exit} = t_{G,ent} - Q_G / (m_F V_G c_{p,G})$$

حيث:  $T_{G,ent}$  درجة حرارة الغازات عند مدخل مبادل الغازات [°C]

$V_G$  كمية الغازات الناتجة [m<sup>3</sup> لكل kg أو m<sup>3</sup> لكل m<sup>3</sup> من استهلاك الوقود] (تُحسب هذه القيمة من حسابات الاحتراق، انظر الفصل الثاني)

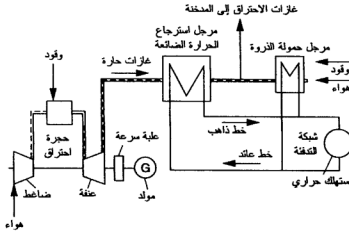
$c_{p,G}$  السعة الحرارية النوعية بثبوت الضغط لغازات الاحتراق [kJ/kgK].

تُصمَّم محطات التدفئة وتوليد الكهرباء عادةً بحسب الاستهلاك الحراري اللازم، أما التيار الكهربائي المولّد فيفضل أن يستخدم بشكل كامل ما أمكن في الأبنية التي تتم تدفئتها.

## 5.9 محطات التوليد المشترك للكهرباء والحرارة التي تستخدم العنفات الغازية

محطات التدفئة وتوليد الكهرباء اللامركزية ذات العنفات الغازية

تقسم في هذه المحطات الاستطاعة التي تولدها العنف الغازية إلى الاستطاعة المفيدة للمولد الكهربائي وإلى الاستطاعة المقدمة لتشغيل الضاغط، كما يستفاد من حرارة غازات الاحتراق المغادرة للعنف في مرجل لاستعادة (استرجاع) الحرارة الضائعة لتسخين ماء التدفئة المستخدم للتدفئة القريبة أو البعيدة عن موقع المحطة. لقد تمّ في الفصل السابع استعراض التحليل الترموديناميكي لدورة عمل العنف الغازية.



الشكل 12.9 : مخطط عمل محطة التدفئة وتوليد الكهرباء اللامركزية ذات العنف الغازية.

أما تركيب محطة التدفئة وتوليد الكهرباء ذات العنفة الغازية فهو مبين بشكل تخطيطي في الشكل (12.9). يتم أخذ حرارة التدفئة عن طريق مرجل استرجاع الحرارة الضائعة. الاستطاعة الحرارية المأخوذة:

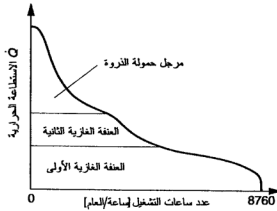
$$Q_H = m_{HW} c_{PW} \Delta t_{HW} \quad (42.9)$$

سنعرض على سبيل المثال محطة التدفئة وتوليد الكهرباء Köpenick في برلين، وهي تتألف من عنفتين غازيتين ومرجلين لاسترجاع الحرارة الضائعة وثلاثة مراحل لحمولات الذروة. يتضمن التحضير المتعدد المراحل للماء الدافئ بالإضافة إلى التدوير الدائم الوصول إلى درجة الحرارة 55 °C، ويتم بذلك في نفس الوقت تبريد الخط الراجع لماء التسخين. الموصفات الفنية لكل من وحدتي محطة التدفئة وتوليد الكهرباء في Köpenick معطاة في الجدول (5.9).

الجدول 5.9: الموصفات الفنية لمحطة التدفئة وتوليد الكهرباء اللامركزية في Köpenick (برلين).

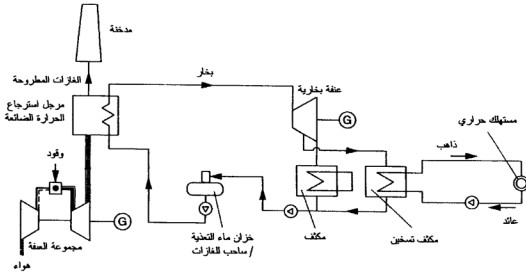
الموصفات الفنية	الجهاز
1. العنفة الغازية	نوعها Solor Taurus 7000
ثلاثية المراحل	سرعة الدوران
14950 min <sup>-1</sup>	درجة حرارة الغازات المغادرة للعنفة
حوالي 480 °C	2. الضاغط
بحوي 12 مرحلة	3. حجرة الاحتراق
حجرة احتراق حلقة ذات 12 فوهة (فتحة)	الوقود
غاز طبيعي، الوقود السائل الخفيف (المازوت)	4. المولد الكهربائي
MW 5.3	الاستطاعة الكهربائية P <sub>el</sub>
1500 min <sup>-1</sup>	سرعة الدوران
MW 9.3	5. مرجل استرجاع الحرارة الضائعة
حوالي 110 °C	استطاعته الحرارية
MW 9.3	6. درجة حرارة الغازات المغادرة
حوالي 110 °C	مرجل حمولات الذروة عدد (3)
غاز طبيعي، وقود سائل خفيف (مازوت)	الاستطاعة الحرارية
	درجة حرارة الغازات المغادرة
	نوع الوقود

في شبكة لتوزيع الحرارة ثنائية الخطوط طول تمديداتها 10.1 km وقطر أنابيبها 0.5 m تنظم درجة الحرارة للخط الذهاب بشكل متقلب من 80 حتى 135 °C . وهناك 83 محطة تبادل حراري استطاعتها الحرارية 60 MW . بلغت الكلفة الإجمالية محطة التدفئة وتوليد الكهرباء Köpenick 26 مليون مارك ألماني .



الشكل 13.9 : تغطية الاستهلاك الحراري في محطة التدفئة وتوليد الكهرباء ومرجل حمولة الذروة (وتوضعها على منحنى التحميل السنوي).

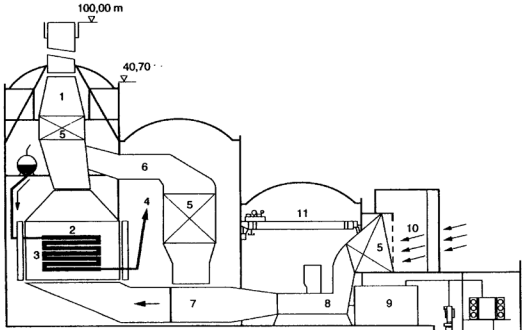
يبين الشكل (13.9) منحنى التحميل السنوي لغرض التدفئة، وكذلك مجالات تشغيل العنفات الغازية ومرجل حمولة الذروة. ويتضح أن العنفة الأولى تستخدم 6200 ساعة في العام والثانية تستخدم 5000 ساعة/العام ومرجل حمولة الذروة 3500 ساعة/العام.



الشكل 14.9 : المحطة المشتركة (الدائرة المركبة) لتوليد الكهرباء والحرارة.

### محطة التدفئة وتوليد الكهرباء ذات العنفة الغازية

يبين الشكل (14.9) محطة مشتركة لتزويد المشتركين بالكهرباء والحرارة بشكل تخطيطي. تتألف هذه المحطة المشتركة (الدائرة المركبة) من المجموعات التالية: مجموعة العنفة، مرحلة استرجاع الحرارة الضائعة، العنفة البخارية ذات الضغط المقابل (الخلفي) مع المولد. تستخدم أولاً الغازات الساخنة المغادرة للعنفة الغازية لتوليد البخار في مرحلة استرجاع الحرارة الضائعة، ثم يتمدد البخار المتولد في عنفة الضغط المقابل حتى مستوى الضغط المطلوب لتسخين ماء التدفئة. ترتيب وتوضُّع أجزاء هذه المنشأة أي العنفة الغازية ومرحلة استرجاع الحرارة الضائعة مبين على الشكل (15.9).



- |                                  |                                 |
|----------------------------------|---------------------------------|
| 1. مدخنة                         | 6. مجرى جانبي                   |
| 2. مرحلة استرجاع الحرارة الضائعة | 7. مجرى لغازات الاحتراق         |
| 3. مولد البخار                   | 8. عنفة غازية                   |
| 4. بخار إلى العنفة البخارية      | 9. مولد كهربائي                 |
| 5. مخمد صوت (كاتم صوت)           | 10. مدخل الهواء مع مصفاة للهواء |
|                                  | 11. رافعة                       |

الشكل 15.9 : توضع مركبات العنفة الغازية مع مرحلة الحرارة الضائعة في منشأة مشتركة لتوليد التدفئة.

يجري تسخين ماء التدفئة بالدرجة الأولى في مسخنات ماء التغذية بواسطة البخار المنفلت من العنفة البخارية، كما تستخدم حرارة مرحلة استرجاع الحرارة الضائعة لهذا الغرض. تزود المنشأة

عادةً، يمرجل حمولة الذروة الذي يؤمن الحرارة اللازمة عند درجات الحرارة الخارجية المنخفضة جداً.

يتميز هذا النوع من المنشآت بالكسب الكبير للكهرباء والاستغلال الجيد للوقود.

## 6.9 وفر الطاقة واقتصادية استخدام منشأة التدفئة وتوليد الكهرباء

يبين الشكل (4.9) مقارنةً بين توزيع الطاقة في محطة توليد الكهرباء ذات عتفة التكاثف وتوزع الطاقة في محطة توليد مشترك للكهرباء وللحرارة. عند استخدام النوع الثاني يتحقق وفر في الطاقة. إنَّ استهلاك الطاقة في منشأة التدفئة وتوليد الكهرباء أقل من مجموع الاستهلاك في محطة توليد الكهرباء البخارية ومحطة التدفئة عند توليد نفس الكميات من الكهرباء والحرارة في المنشأتين. يُحسب الوفر الذي يمكن الحصول عليه في استهلاك الوقود لمنشأة بالتدفئة وتوليد الكهرباء مقارنة بعملية التوليد المنفصل للكهرباء والحرارة كما يلي:

$$(43.9) \quad \Delta m = m_{\text{separate}} - m_{\text{TPS}} \quad [\text{kg/s أو } m^3/\text{s}]$$

حيث:  $m_{\text{separate}}$  استهلاك الوقود عند التوليد المنفصل للكهرباء والحرارة  
 $m_{\text{TPS}}$  استهلاك الوقود في منشأة التدفئة وتوليد الكهرباء.

### مثال 3.9

ما هو الوفر في الطاقة الأولية لمنشأة التدفئة وتوليد الكهرباء مقارنة بعملية التوليد المنفصل للكهرباء والحرارة في محطة توليد كهرباء (Power Station) وفي محطة تدفئة (Heating Station)؟  
 تتم المقارنة بين الأسلوبين بناءً على تساوي الطاقة المولدة أي توليد الكهرباء بمعدل  $E_{\text{el}} = 80 \text{ MWh}$  وتوليد الحرارة  $Q_{\text{H}} = 100 \text{ MWh}$ .

يبلغ مردود كل عملية كالتالي: المردود الصافي لمحطة الطاقة البخارية  $\eta_{\text{sp}} = 36\%$  ومحطة التدفئة  $\eta_{\text{TPS}} = 88\%$ ، المردود الفعلي لاستخدام الطاقة في منشأة التدفئة وتوليد الكهرباء  $\eta_{\text{TPS}} = 88\%$ .  
 القيمة الحرارية الدنيا للوقود  $\text{LCV} = 11 \text{ kWh/kg}$ .

الحل

- بما أن المردود الفعلي لاستخدام الطاقة في منشأة التدفئة وتوليد الكهرباء يبلغ  $88\%$  فإن استهلاك الطاقة الأولية لإنتاج  $80 \text{ MWh}$  كهرباء (Eel) و  $100 \text{ MWh}$  حرارة (QH):



$$Q_{PS} = (E_{el} + Q_H) / \eta_{TPS}$$

$$= 80 + 100 / 0.88 = 204.5 \text{ MW}$$

2. عند التوليد المنفصل للكهرباء وللحرارة فإن استهلاك الطاقة الأولية:

$$Q_{separate} = E_{el} / \eta_{SP} + Q_H / \eta_{HS}$$

$$= 80 / 0.36 + 100 / 0.9 = 333.3 \text{ MWh}$$

3. استهلاك الوقود عند التوليد المنفصل للكهرباء وللحرارة:

$$m_{separate} = E_{separate} / LCV$$

$$= 333.3 \times 10^3 \text{ kWh} / 11 \text{ kWh/kg} = 30.3 \times 10^3 \text{ kg}$$

4. الوفر في الطاقة الأولية عند استخدام منشأة التدفئة وتوليد الكهرباء (دارة مركبة):

$$\Delta E = E_{separate} - E_{TPS}$$

$$= 333.3 - 204.5 = 128.8 \text{ MWh}$$

5. الوفر في الوقود

$$\Delta m_F = \Delta E / LCV$$

$$= 128.8 \times 10^3 \text{ kWh} / 11 \text{ kWh/kg} = 11.7 \times 10^3 \text{ kg}$$

أو:

$$\Delta m_F / m_{separate} = 38.6 \%$$

تناسب منشأة توليد الكهرباء والتدفئة التي تستخدم محركات الاحتراق الداخلي للخدمة في مجال الاستطاعات الصغيرة والمتوسطة أي بين 80 kW وحتى 10 MW، ومن أجل الاستطاعات الحرارية الأعلى تستخدم منشآت توليد الكهرباء والتدفئة (الدائرة المركبة) ذات العنفة الغازية.

وفقاً لنوع المحرك والوقود المستخدم فإن المردود الكهربائي لمنشآت توليد الكهرباء والتدفئة  $\eta_{el} = P_{el} / Q_F$  يتراوح بين 30 و35%، ودرجة الاستفادة من الطاقة في المنشأة  $\eta_{TPS} = (P_{el} + Q_H) / Q_F$  تتراوح بين 85 و90%، أما الرقم المميز للتيار  $\sigma$  فيتراوح بين 0.6 و0.8. تُزوّد منشأة توليد الكهرباء والتدفئة بمنظومة إدارة تُمكن من الحصول على تشغيل أوتوماتيكي بشكل كامل، وذلك عن طريق أجهزة التحكم.

يُعتبر عند تصميم هذه المنشأة بأن زمن الاستفادة منها هو 20 عاماً، تستهلك الاستثمارات (يسترد رأس المال المستثمر) بعد 5 أعوام كحد أقصى.

تزداد اقتصادية هذه المنشأة عندما يستهلك التيار الكهربائي والحرارة طوال العام، وهذا يؤدي إلى ربط إنتاج كل من الكهرباء والحرارة والبرودة. مثل هذه المنشآت المشتركة تقدم الكهرباء طوال العام والحرارة للتدفئة في فصل الشتاء والبرودة المفيدة لتكييف أبنية الورش والمكاتب الرسمية في فصل الصيف.

### اقتصادية استخدام منشأة توليد الكهرباء والتدفئة اللامركزية

تتعلق الاقتصادية بزمان الاستخدام  $t_u$  للمنشأة.

يُعرف زمن الاستخدام  $t_u$  بأنه النسبة بين الإنتاج السنوي للكهرباء والاستطاعة الاسمية المركبة للمولد  $P_{el}$  أو بأنه النسبة بين الإنتاج السنوي للحرارة  $Q_y$  إلى الاستطاعة الاسمية الحرارية  $Q_H$  للمنشأة:

$$(44.9) \quad t_u = E_{el} / P_{el} \quad \text{أو} \quad t_u = Q_y / Q_H \quad [h/a] \quad [\text{ساعة/عام}]$$

يتحدد زمن الاستخدام من خلال الحرارة المقدمة في منشأة توليد الكهرباء والتدفئة اللامركزية كما يلي:

الاستهلاك السعوي (norm) للحرارة  $Q_N$  [W] في مشروع ما والاستطاعة الحرارية للتدفئة  $Q_H$  [W] لجملة المنشآت التي تقوم بتوليد الكهرباء والتدفئة وساعات الاستخدام الكامل  $b_v$  [h/a] ودرجة حرارة الوسط الخارجي المعيارية  $t_{amb}$  [°C] (الحرارة المحيطة المعيارية). الإنتاج السنوي للحرارة لجملة من المنشآت التي تقوم بتوليد الكهرباء والتدفئة هو جداء زمن الاستخدام  $t_u$  بالاستطاعة الحرارية للحملة  $Q_H$ :

$$(45.9) \quad Q_{HM} = t_u Q_M \quad [J/a]$$

يُحدد زمن الاستخدام  $t_u$  بشكل منفصل لكل جملة على حدة.

إذا استخدمت على سبيل المثال مجموعتان متماثلتان من منشآت توليد الكهرباء والتدفئة، الاستطاعة الحرارية لكل منها 200 kW لتدفئة بناء للمكاتب في برلين والاستهلاك الوسطي المعيار للحرارة  $Q_N = 1000 \text{ kW (Norm)}$ ، فإن زمن الاستخدام (الاستفادة)  $t_u$  هو 2480 h/a وعموماً يقابل عدد ساعات استخدام كامل قدره  $b_v = 1600 \text{ h/a}$ . عدد ساعات الاستهلاك الكامل  $b_v$  يُعرف بأنه النسبة بين الاستهلاك السنوي لحرارة التدفئة والاستهلاك المعيار للحرارة في المشروع (حاجة المشروع من الحرارة معيارياً).

#### مثال 4.9

يطلب تحديد زمن استرداد رأس المال لمنشأة توليد الكهرباء والتدفئة التي تحرق الغاز ذات الاستطاعة الكهربائية 500 kW والاستطاعة الحرارية 900 kW. المعطيات اللازمة للحل تُذكر مع الحل.

**الحل**

1. تكاليف الطاقة لإنتاج الحرارة بشكل تقليدي مع التيار الكهربائي.

(a) انطلاقاً من أن الاستطاعة الكهربائية للمحطة العاملة على الغاز هي 500 kW والاستطاعة الحرارية لها 900 kW، وكذلك بمعرفة زمن الاستفادة  $h/a = 2480$  ومرتدو مرجل التدفئة  $\eta_{HB} = 0.85$ ، فالاستهلاك السنوي للوقود (الغاز الطبيعي) الذي قيمته الحرارية الدنيا  $LCV = 9.3 \text{ kWh/m}^3$  هو  $2.63 \text{ GWh/a}$  (يسلغ إنتاج الحرارة عندئذ  $2.23 \text{ GWh/a}$ ) أو  $2.82 \times 10^3 \text{ m}^3/a$ .

إذا كان سعر الغاز  $0.7 \text{ DM/m}^3$  (0.7 مارك ألماني لكل متر مكعب)، فإن تكاليف إنتاج الحرارة باستخدام مرجل التدفئة التقليدي حوالي 0.2 مليون مارك ألماني في العام.

(b) انطلاقاً من أن إنتاج الكهرباء  $3.6 \text{ GWh/a}$  وسعر التيار الكهربائي  $0.25 \text{ DM/kWh}$  فإن تكلفة إنتاج الكهرباء 0.9 مليون مارك ألماني في العام.

(c) التكاليف السنوية للطاقة بما فيها إنتاج الحرارة بالطريقة التقليدية بالإضافة إلى إنتاج التيار الكهربائي:  $0.2 + 0.9 = 1.1 \times 10^6 \text{ DM/a}$ .

2. تكاليف الطاقة لمنشأة توليد الكهرباء والحرارة.

بما أن درجة الاستخدام للمنشأة 0.85 والإنتاج السنوي للحرارة والكهرباء  $3.6 + 2.23 = 5.83 \text{ GWh/a}$  وبما أن سعر الغاز هو  $0.7 \text{ DM/m}^3$  فإن قيمة إنتاج الطاقة في هذه المنشأة:

$$\frac{0.7 \text{ DM/m}^3 \times 5.83 \times 10^6 \text{ kWh/a}}{0.87 \times 9.3 \text{ kWh/m}^3} = 0.5 \times 10^6 \text{ DM/a}$$

3. تكاليف الصيانة منسوبة إلى إنتاج الكهرباء (0.05 DM لكل kWh) تصبح:

$$0.18 \times 10^6 \text{ DM/a} = 0.05 \text{ DM/kWh} \times 3.6 \text{ GWh/a}$$

\* DM تعني مارك للأن.

الكسب السنوي (الربح) للمنشأة هو الفرق بين تكاليف الطاقة للتوليد التقليدي للطاقة و كلفة توليدها في منشأة توليد الكهرباء والتدفئة وعمرأة تكاليف الصيانة:

$$1.1 - 0.5 - 0.18 = 0.41 \times 10^6 \text{ DM/a}$$

4. زمن الاسترداد إذا كانت تكاليف الاستثمار النوعية (التكاليف التأسيسية) لمنشأة توليد الكهرباء والحرارة هي 1700 DM لكل 1 kW استطاعة كهربائية فإن الكلفة الإجمالية لاستثمار هذه

$$\text{المنشأة تبلغ: } 1700 \text{ DM/kWh} \times 500 \text{ kW} = 0.85 \text{ مليون DM}$$

فمن الاسترداد المحسوب إحصائياً هو:  $2.07 = 0.85/0.41$  عاماً.

### مثال 5.9

يُطلب تحديد المردود الكهربائي ودرجة الاستخدام الإجمالية للطاقة لمنشأة توليد الكهرباء والحرارة اللامركزية ذات المحرك الغازي والتي استطاعتها الحرارية للتدفئة  $Q_H = 930 \text{ kW}$  والرقم المميز للتيار  $\sigma$  فيها يبلغ 0.72.

يحرق في المحرك الغازي  $0.04 \text{ kg}$  من الغاز الطبيعي ذي القيمة الحرارية الدنيا  $\text{LCV} = 46000 \text{ kJ/kg}$  كل ثانية.

### الحل

1. التدفق الحراري مع الوقود:

$$Q_F = m_F \text{ LCV} \\ = 0.04 \text{ kg/s} \times 46000 \text{ kJ/kg} = 1840 \text{ kJ/s}$$

2. الاستطاعة الكهربائية لمنشأة توليد الكهرباء والحرارة

$$P_{el} = \sigma Q_H = 0.72 \times 930 = 669.6 \text{ kW}$$

3. المردود الكهربائي للمنشأة:

$$\eta_{el} = P_{el} / Q_F \\ = 669.6 / 1840 = 0.364$$

4. درجة الاستخدام للمنشأة:

$$\eta_{total} = (P_{el} + Q_H) / Q_F \\ = (669.6 + 930) / 1840 = 0.869$$

## 10 المنشآت الشمسية الحرارية والكهروضوئية (الفوتوفولطية)

### 1.10 الإشعاع الشمسي، المجمعات الشمسية، المعدات الشمسية الحرارية

الإشعاع الشمسي من خارج الأرض (extraterrestrial) والثابت الشمسي تُشع الشمس في كل ثانية تياراً حرارياً إجمالياً قيمته حوالي  $4 \times 10^{33} \text{ kW}$ ، يصل منه جزء صغير إلى الأرض قيمته  $2.16 \times 10^5$  بزاوية فراغية قيمتها  $32^\circ$  أو  $0.54^\circ$  حسب الحال. يتضمن الطيف الشمسي الموجات التي يتراوح طولها  $\lambda$  بين 0.25 حتى ما يزيد على  $0.5 \mu\text{m}$ ، أي الإشعاعات فوق البنفسجية، والضوء المرئي ( $0.38 \mu\text{m} - 0.78 \mu\text{m}$ ) والأشعة تحت الحمراء. يعادل الإشعاع القادم من خارج الأرض والساقط على الحدود الخارجية للغلاف الجوي للأرض ( $0.6 \times 10^{24} \text{ J}$  في العام) إشعاع جسم أسود درجة حرارته  $5777 \text{ K}$ . تدعى شدة الإشعاع القادم من خارج الأرض والذي يسقط بشكل عمودي على مساحة من الأرض بعدها الوسطي عن الشمس  $149.5$  مليون كيلومتراً، تدعى بالثابت الشمسي  $I_{sc} = 1367 \text{ W/m}^2$ .

#### الإشعاع العام (global) — الإشعاع المنتشر

يتألف الإشعاع العام  $E$  الساقط على السطح الخارجي للأرض من الإشعاع المنتشر  $E_d$  والإشعاع المباشر  $E_D$ . تتعلق شدة الإشعاع العام  $I$  بالموقع الجغرافي (خط العرض) وبالوقت (من اليوم أو من السنة) وحالة الجو، وتكون قيم الإشعاعات أعظمية في الحزام الصحراوي للأرض على جانبي خط الاستواء (في شمال أفريقيا، الشرق الأوسط، وسط آسيا، شمال وجنوب أمريكا، أستراليا). يتراوح الإشعاع العام الوسطي على سطح الأرض في السنة بين  $800$  و  $2400 \text{ kWh}$  لكل  $\text{m}^2$ . وتكون

قيمتيه في وسط أوروبا 900 حتى 1100 kWh/m<sup>2</sup> في العام (فسي الجبال تصل القيمة إلى 1400 kWh/m<sup>2</sup> في العام).

من القيم المميزة للإشعاع الشمسي في موقع معين هناك فترة سطوع الشمس اليومية أو السنوية، وتبلغ قيمتها في شمال أفريقيا 3200 حتى 3465 h/a (ساعة في اليوم)، وفي جنوب أوروبا 2300 إلى 2810 h/a وفي وسط أوروبا 1400 إلى 1900 h/a. يتضمن المرجع [11] معطيات الإشعاع والمناخ للعالم وأوروبا وألمانيا.

### الإشعاع الإجمالي الساعي أو اليومي على مجمّع (لاقط) شمسي

توضع المجمّعات إما بشكل مائل أو توجّه نحو الشمس. يتألف الإشعاع الساقط على مجمع مستوٍ (مسطح) مائل من إشعاع مباشر وإشعاع منتشر وإشعاع منعكس على الأرض. لحساب الإشعاع المباشر الساعي على سطح مائل موجه نحو الجنوب تطبق العلاقة التالية:

$$\begin{aligned} I_{Dk} &= I_D \cos \theta_k / \cos \theta \\ (1.10) \quad &= I_D [\cos (\varphi - \beta) \cos \delta \cos \omega + \sin (\varphi - \beta) \sin \delta] \\ &/ [\cos \varphi \cos \delta \cos \omega + \sin \delta] \quad [\text{MJ}] \quad \text{أو} \quad [\text{kWh/m}^2 \cdot \text{h}] \end{aligned}$$

حيث:  $I_D$  الإشعاع المباشر الساعي على سطح أفقي

$\theta$  أو  $\theta_k$  زاوية سقوط الإشعاع المباشر على سطح مجمع أفقي، أو على سطح مجمع مائل موجه نحو الجنوب.

$\beta$  زاوية ميل المجمع الشمسي

$\varphi$  العرض الجغرافي

$\delta$  ميل (انحراف) الشمس

$\omega$  الزاوية الساعية.

ولحساب الإشعاع اليومي المباشر الساقط على مجمع مائل موجه نحو الجنوب تطبق العلاقة

التالية:

$$\begin{aligned} E_{Dk} &= E_D [\cos (\varphi - \beta) \cos \delta \sin \omega_k + (\pi \omega_k / 180) \\ (2.10) \quad &\sin (\varphi - \beta) \sin \delta] / [\cos \varphi \cos \delta \sin \omega_s + (\pi \omega_s / 180) \\ &\sin \varphi \sin \delta] \quad [\text{MJ}] \quad \text{أو} \quad [\text{kWh/m}^2 \text{ day}] \end{aligned}$$

حيث:  $\omega_k$  الزاوية الساعية لغروب الشمس من أجل سطح مائل لليوم المعتمر،  $\omega_s$  الزاوية الساعية لغروب الشمس من أجل سطح أفقي لليوم المعتمر.  
ولحساب  $\omega_k$  و  $\omega_s$  نكتب:

$$(3.10) \quad \omega_s = \arccos (-\tan \phi \tan \delta)$$

$$(a3.10) \quad \omega_k = \arccos [-\tan (\phi - \beta) \tan \delta]$$

يبلغ الإشعاع الإجمالي في ساعة  $I_k$  مقدار بالـ  $[MJ/m^2 h]$  أو  $[kWh/m^2 h]$  الذي يسقط خلال ساعة واحدة على سطح بمجم مائل مساحته  $1 m^2$ :

$$(4.10) \quad I_k = I_D R_D + I_d (1 + \cos \beta) / 2 + I \rho (1 - \cos \beta) / 2$$

حيث:  $I$ ،  $I_D$ ،  $I_d$  الإشعاع الساعي الإجمالي والمباشر والمتنثر حسب التسلسل، وذلك على سطح أفقي.

$\rho$  درجة الانعكاس للأرض (Albedo): قياس قدرة سطح على عكس النور).

ولحساب الإشعاع الإجمالي في الساعة يستخدم عامل التحويل التالي:

$$R = I_k / I$$

$$(5.10) \quad = I_{Dk} / I_D + I_d / I (1 + \cos \beta) / 2 + \rho (1 - \cos \beta) / 2$$

أما الإشعاع الإجمالي اليومي  $[MJ/m^2\text{-day}]$  أو  $[kWh/m^2\text{-day}]$  الذي يسقط على  $1 m^3$  من سطح المائل فيبلغ:

$$(6.10) \quad E_k = E \cdot R = E_{Dk} + E_d (1 + \cos \beta) / 2 + E \rho (1 - \cos \beta) / 2$$

أما عامل التحويل للإشعاع الإجمالي اليومي فهو:

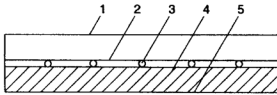
$$(7.10) \quad R = E_{Dk} / E_D + E_d / E (1 + \cos \beta) / 2 + \rho (1 - \cos \beta) / 2$$

يمكن الحصول على المعلومات التفصيلية عن الإشعاع الشمسي من المرجع [11].

### الجمّعات الشمسية

يختص المجمع الشمسي الإشعاع الشمسي ثم يقوم بتحويله إلى حرارة. وهناك أنواع مختلفة من المجمعات مثل المجمعات المركزة والمجمعات غير المركزة والمجمعات ذات درجات الحرارة المنخفضة والمتوسطة والعالية [المرجع 11].

تستخدم في المجالات ذات درجات الحرارة المنخفضة (دون الـ 100°C) المجمعات المسطحة أو المفرغة التي تستفيد من الإشعاع المباشر والإشعاع المنتثر وتُرَكَّب في موقع ثابت وبشكل مائل. يوضح الشكل (1.10) بشكل تخطيطي تركيب مجمع مسطح، وهو يتألف من صفيحة امتصاص وصفٍّ من الأنابيب أو المجاري يمر فيها ناقل حراري سائل وغطاء شفاف وعلبة (غلاف) مع عازل حراري. تستطيع المجمعات المسطحة المستخدمة لتأمين الماء الساخن للعمليات الصناعية أو للتدفئة توفير طاقة قدرها 250 إلى 400 kWh/m<sup>2</sup> year وذلك في المناخ السائد في وسط أوروبا (400 كيلو واط ساعة لكل 1 m<sup>2</sup> في السنة). أما المجمعات ذات الأنابيب المفرغة فهي تستخدم حتى درجات الحرارة 250 °C، ومجال استعمالها هو تأمين الماء الساخن والتدفئة والتبريد وعملية إنتاج الحرارة. يصل الكسب السنوي للمجمعات ذات الأنابيب المفرغة إلى 300 وحتى 600 kWh/m<sup>2</sup>.



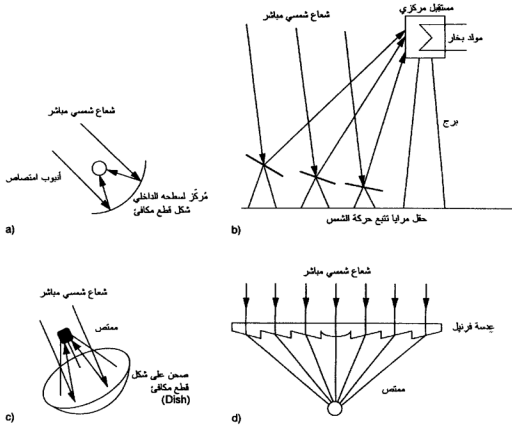
- 1 غطاء شفاف
- 2 صفيحة امتصاص
- 3 أنبوب ناقل الحرارة
- 4 عازل الحرارة
- 5 صندوق (غلاف)

الشكل 1.10 : تركيب مجمع مسطح.

والمجالات درجات الحرارة المتوسطة والعالية تستخدم المجمعات المركزة. يتألف المجمع المركّز (الشكل 2.10) من مركّز (مرايا أو عدسات فريزل) ولا قط للإشعاع. وبواسطة المركّز تُرَفَّع شدة الإشعاع الساقط على لا قط الإشعاع بنسبة التركيز  $C = A_g / A$  حيث  $A_g$  مساحة سطح الفتحة أو الفجوة (Aperture) و  $A$  مساحة السطح الممتص.

تجمع المجمعات المركزة الإشعاع المباشر فقط، ولذلك يجب أن تتبع الشمس، وهي ذات نسبة تركيز مرتفعة، حيث يمكن الوصول إلى درجات حرارة عمل تفوق الـ 1000 °C. تستخدم المجمعات المركزة بالدرجة الأولى في المنشآت الشمسية الحرارية لتوليد التيار الكهربائي ولتأمين الحرارة لبعض العمليات الصناعية [11].





الشكل 2.10 : المجمعات المركزة (a) المركز على شكل قطع مكافئ، (b) حقل مرايا تتبع حركة الشمس مع مستقبل مركزي (مستقبل الإشعاع)، (c) صحن على شكل قطع مكافئ، (d) عدسة فرنيل.

الاستطاعة الحرارية المفيدة ومردود الجمع الشمسي (كفاءة الجمع الشمسي)

تُحسب الاستطاعة الحرارية المفيدة لجمع مسطح كما يلي [11].

$$(8.10) \quad Q_k = A [I_k F_R (\tau \alpha) - F_R + K_k (T_{ent} - T_{amb})] \text{ [W]}$$

حيث:  $A$  مساحة سطح الجمع  $[m^2]$

$I_{sk}$  شدة الإشعاع الشمسي في مستوى الجمع  $[W/m^2]$

$F_R$  عامل طرح الحرارة أو انتقالها من الجمع

$(\tau \alpha)$  الجداء الفعال لدرجة إرسال (نقل) الغطاء الشفاف  $\tau$  ودرجة الامتصاص لهذا

الغطاء

$K_k$  عامل ضياع الحرارة الإجمالي للمجمع  $[W/m^2K]$

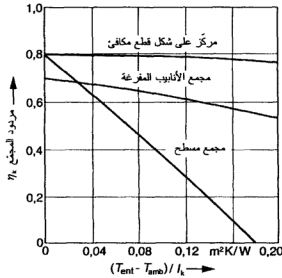
$T_{ent}$  و  $T_{amb}$  درجة الحرارة عند الدخول إلى المجمع ودرجة حرارة الوسط الخارجي (درجة الحرارة المحيطة)  $[^{\circ}C]$ .

يُعرف مردود (كفاءة) مجمع بأنه الاستطاعة الحرارية المفيدة مقسومة على تيار الحرارة الذي يسقط على سطح المجمع، أي:

$$(9.10) \quad \eta_k = Q_k / (A I_k)$$

ويحسب مردود مجمع مسطح بالعلاقة:

$$(10.10) \quad \eta_k = F_R [(\tau \alpha) - K_k (T_{ent} - T_{amb}) / I_k]$$



الشكل 3.10 : المنحنيات المميزة لمختلف أنواع المجمعات.

يعطي المنحني المميز لمجمع شمسي العلاقة بين مردود (كفاءة) المجمع  $\eta_k$  والعامل  $x = T_{ent} - T_{amb} / I_k$  بشكل تخطيطي، وبمساعدة المنحني المميز للمجمع يمكن تحديد القيم المميزة له أي: المردود البصري الفعّال  $F_R (\tau \alpha)_n$  عند السقوط الشاقولي للإشعاع كمحور صفري للمنحني المميز وعامل ضياع الحرارة الإجمالي  $K_k$  كمماس لزاوية الميل. يبين الشكل (3.10) المنحنيات المميزة لأنواع مختلفة من المجمعات (مجمع مسطح، مجمع الأنابيب المفرغة، المركّز مقعر، أي بسطح

داخلي على شكل قطع مكافئ) في مجال القيم الصغيرة لـ  $x$  (أقل من  $0.2 \text{ m}^2\text{K/W}$ ). عند درجات الحرارة العالية تختلف المنحنيات المميزة عن الخط المستقيم (وخاصة للمجمعات المفرغة والمجمعات المركزة).

تُحسب الاستطاعة الحرارية المفيدة  $Q_k$  لمجمع مركّز كما يلي [11]:

$$(11.10) \quad Q_k = F_R A_a [I_{Dk} \eta_{\text{opt}} - (K_k / C) (T_{\text{ent}} - T_{\text{amb}})]$$

حيث:  $F_R$  عامل طرح الحرارة من المجمع

$A_a$  مساحة سطح الفتحة غير المعرضة للظل

$I_{Dk}$  شدة الإشعاع المباشر على فتحة المجمع [ $\text{W/m}^2$ ]

$\eta_{\text{opt}}$  المردود البصري للمجمع [ $\text{W/m}^2\text{K}$ ]

$C$  نسبة تركيز المجمع

$T_{\text{ent}}, T_{\text{amb}}$  درجة حرارة الدخول، ودرجة الحرارة المحيطة [ $^\circ\text{C}$ ].

يُعرف المردود البصري لمجمع مركّز بأنه نسبة شدة الإشعاع الشمسي المُمتص إلى شدة الإشعاع الشمسي المباشر الساقط:

$$(12.10) \quad \eta_{\text{opt}} = \eta_{\text{opt},0} K_{\text{opt}} = \rho \gamma \tau \alpha_a K_{\text{opt}}$$

حيث:  $\eta_{\text{opt},0}$  المردود البصري للمجمع عند زاوية السقوط  $0^\circ$  للإشعاع المباشر

$K_{\text{opt}}$  عامل تصحيح عند اختلاف زاوية السقوط عن الصفر ( $0^\circ$ )

$\rho$  درجة العاكسية للمرآة

$\gamma$  عامل الالتقاط (التلقي)

$\tau$  درجة إرسال (نقل) الغطاء الشفاف للمُمتص.

$\alpha_a$  درجة امتصاص المُمتص.

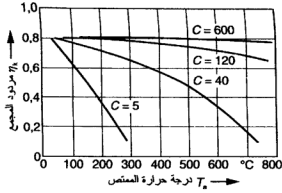
أما مردود المجمع المركّز فيحسب كما يلي [11]:

$$\eta_k = Q_k / A_a I_{Dk}$$

$$(13.10) \quad = F_R \eta_{\text{opt}} - (F_R K_k / C I_D) (T_{\text{ent}} - T_{\text{amb}})$$

يبين الشكل (4.10) مردود مجمع مركّز وعلاقته بدرجة حرارة المُمتص  $T_a$  وبنسبة التركيز  $C$

(من 5 حتى 600).



**الشكل 4.10 :** علاقة مردود المجموع المركز بدرجة حرارة الممتص  $T_r$  وبنسبة التركيز (Concentration ratio)

درجة حرارة خروج الحامل الحراري في المجموع مهما كان نوعه تحسب كما يلي:

$$(14.10) \quad T_{\text{exit}} = T_{\text{ent}} + Q_k / (m C_p)$$

حيث:  $Q_k$  الاستطاعة الحرارية المفيدة للمجموع [W]

$m$  التدفق الكتلي للحامل الحراري [kg/s]

$C_p$  السعة الحرارية النوعية للحامل الحراري [J/kgK].

يبين الجدول (1.10) قيماً تغطية لأنواع المختلفة من المجمعات الشمسية.

**الجدول 1.10:** قيم تغطية (مرجعية) لأنواع مختلفة من المجمعات الشمسية.

نوع المجموع	$F_R(\tau\alpha)^*$	$F_R K_k^{**}$	درجة حرارة التشغيل °C	التكاليف **** DM/m <sup>2</sup>
مجمع مسطح				
بدون غطاء شفاف	0.9	20-15	30	250-200
مع صفيحة زجاجية	0.8	4-3.5	أقل من 100	700-500
مجمع ذو أنابيب محلاة (مفرغة)	0.7	1.8-1.5	أقل من 250	1500-1000
مركز ذو شكل قطع مكافئ	0.8	***0.7-0.2	400	حوالي 1000

\* المرودود البصري الفعال للمجموع.

\*\* عامل ضياع الحرارة الفعال للمجموع.

\*\*\* منسوباً إلى 1 m<sup>2</sup> من سطح الفتحة (عند نسبة تركيز C قيمتها بين 20 و 100).

\*\*\*\* DM تعني مارك ألماني (الترجم).

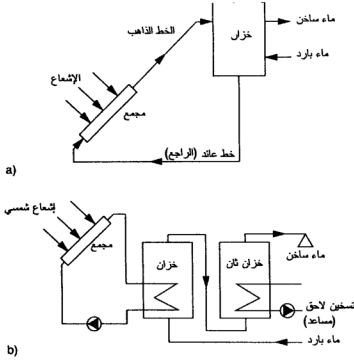
## المنشآت الشمسية الحرارية

تستخدم المنشآت الشمسية ذات درجات الحرارة المنخفضة على سبيل المثال في تدفئة مياه المسابح (درجة الحرارة بين 23 و 30 °C) وفي تسخين المياه (45 حتى 60 °C) وللتدفئة ( $T_p$  بين 30 و 90 °C) ولإنتاج البرودة (التبريد) أقل من 10 °C.

إن تسخين المياه هو الاستخدام الأكثر انتشاراً للطاقة الشمسية. يبين الشكل (5.10) نوعين من المنشآت الشمسية لتسخين المياه:

□ المنشأة التي تعتمد على قوة الثقالة وذات الدورة الأحادية، من أجل التشغيل عندما تكون درجة حرارة الوسط الخارجي أعلى من 0 °C.

□ المنشأة الشمسية ذات الجريان القسري الثنائية الدورات لتسخين المياه في الصيف والشتاء.



الشكل 5.10 : منشأة شمسية لتحضير الماء الساخن (a) جريانها يعتمد على قوة الثقالة وذات دورة أحادية، ذات جريان قسري ودورتين. (b)

تتألف المنشأة البسيطة التي تعتمد على قوة الثقالة من مجمع وخزان ماء ساخن وأنابيب للذهاب والإياب. إلى جانب المركبات السابقة تتضمن المنشأة ذات الجريان القسري بدورتين مضخة تحريك

ونظام تحكم بالإضافة إلى مبادل حراري، لأنه يستخدم في الجمع ناقل حراري لا يتجمد، ويستخدم الماء في الخزان. ولضمان تحضير الماء الساخن يُضاف للمنشأة جهاز للتسخين الإضافي. هناك أنواع أخرى من المعدات الشمسية التي جرى وصفها بشكل مفصل في [11]. يعرض المثال (1.10) حساباً مبسطاً لسطح الجمع المستخدم لتحضير الماء الساخن في منشأة شمسية.

### مثال 1.10

- يُطلب حساب مساحة سطح الجمع في منشأة شمسية لتحضير الماء الساخن.
- في موقع تركيب المنشأة يمكن قبول المواصفات التالية للمنطقة للمنشأة التي يجري اختيارها:
- الإشعاع الشمسي اليومي في مستوي الجمع المائل المسطح هو  $E = 5 \text{ kWh/m}^2\text{d}$ .
  - الاستهلاك اليومي للماء الساخن  $m_{ww} = 1000 \text{ kg/s}$ .
  - درجة حرارة الماء الساخن  $t_{ww} = 45^\circ\text{C}$  والماء البارد  $t_{cw} = 14^\circ\text{C}$ .
  - السعة الحرارية النوعية للماء  $c_{pw} = 1.163 \text{ Wh/kgK}$ .
  - المردود الوسطي للجمع (بحسب الخبرة)  $\eta_k = 48\%$ .

الحل:

1. الاستهلاك اليومي للحرارة

$$\begin{aligned} Q_{ww} &= m_{ww} c_{pw} (t_{ww} - t_{cw}) \\ &= 1000 \text{ kg/d} \times 1.163 \text{ Wh/kgK} (45 - 14) \text{ K} = 36053 \text{ Wh/d} \end{aligned}$$

2. لحساب الكسب الحراري اليومي للمنشأة الشمسية لكل  $\text{m}^2$  من سطح الجمع:

$$Q_{sol} = E \eta_k = 5 \text{ kWh/m}^2\text{d} \times 0.48 = 2.4 \text{ kWh/m}^2\text{d}$$

3. المساحة اللازمة لسطح الجمع:

$$A = Q_{ww} / Q_{sol} = 36053 \text{ Wh/d} / 2400 \text{ Wh/dm}^2 = 15 \text{ m}^2$$

## 2.10 المنشآت الحرارية الشمسية لتوليد الكهرباء

### Solar Thermal Power Generation

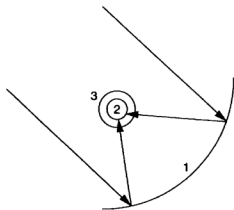
تقوم هذه المنشآت أولاً بتحويل الطاقة الشمسية إلى حرارة ثم إلى عمل ميكانيكي. وللحصول على مردود عالٍ تستخدم مجمعات شمسية مركزة. للحصول على القوة الميكانيكية ثم توليد

الكهرباء تستخدم بشكل رئيسي مزارع شمسية أو أبراج شمسية. ويتم تحويل الطاقة الشمسية إلى كهربائية في خلايا شمسية.

إن المواقع الأنسب لهذه المنشآت هي المناطق المشمسة التي يفوق الإشعاع الشمسي فيها 1600 kWh/m<sup>2</sup> وعلى مدى 2400 حتى 3400 ساعة في العام، ومنشآت توليد الكهرباء بالطاقة الشمسية ملائمة للبلدان المجاورة للحزام الصحراوي في أفريقيا، أستراليا، الشرق الأوسط، وسط آسيا، كاليفورنيا (USA)، بلدان البحر الأبيض المتوسط (جنوب أوروبا، شمال أفريقيا)، أمريكا اللاتينية، الصين والمهند.

### محطات توليد الكهرباء باستخدام المزارع الشمسية

تتألف المحطة من مجموعة من المرايا الشمسية الموصولة على التوازي المربوطة بمحطة توليد طاقة تقليدية. تتألف المجموعة الواحدة من مركز مقعر على شكل قطع مكافئ موجه ومن أنبوب امتصاص يجري فيه وسيط العمل المتوضع في غلاف زجاجي مفرغ من الهواء (الشكل 6.10). تعرف نسبة التركيز  $C$  لمجموع بأنها النسبة بين مساحة الفتحة (الفجوة)  $A_a$  ومساحة الامتصاص  $A_{abs}$ . وتصل هذه النسبة في المجموع المقعر الذي يأخذ شكل قطع مكافئ 20 حتى 100، وبذلك يمكن تسخين وسيط العمل (زيت حراري أو بخار ماء) حتى 350 إلى 400 °C.



الشكل 6.10 : المركز المقعر بشكل قطع مكافئ (1) وأنبوب الامتصاص (2) مع الغلاف الزجاجي المفرغ من الهواء (3).

## مثال 2.10

يُطلب حساب الاستطاعة الحرارية المفيدة  $Q_k$  وكذلك درجة حرارة الخروج لوسيط العمل  $T_{\text{exit}}$  في مركز بشكل قطع مكافئ. شدة الإشعاع المباشر في مستوى المجموع تبلغ  $I_{\text{Dk}} = 750 \text{ W/m}^2$  والمردود البصري  $\eta_{\text{opt}} = 0.74$ . مساحة الفجوة التي تتعرض للظل  $A_a = 240 \text{ m}^2$ ، نسبة التركيز  $C = 40$ . درجة حرارة دخول الناقل الحراري  $T_{\text{ent}} = 280^\circ\text{C}$  وتدفقه الكتلي  $m = 0.6 \text{ kg/s}$  وسعته الحرارية النوعية  $C_p = 3200 \text{ kJ/kgK}$ . درجة حرارة الوسط المحيط  $T_{\text{amb}} = 30^\circ\text{C}$ . عامل نفوذ الحرارة الإجمالي  $K_k = 7 \text{ W/m}^2\text{K}$  وعامل تصريف الحرارة للمجمع  $F_R = 0.96$ .

الحل

الاستطاعة الحرارية المفيدة للمجمع

$$Q_k = F_R A_a [I_{\text{Dk}} \eta_{\text{opt}} - (K_k / C) (T_{\text{ent}} - T_{\text{amb}})]$$

$$= 0.96 \times 240 [750 \times 0.74 - (7 / 40) (280 - 30)] = 117792 \text{ W}$$

درجة حرارة خروج الناقل الحراري من المجمع:

$$T_{\text{exit}} = T_{\text{ent}} + Q_k / (m c_p)$$

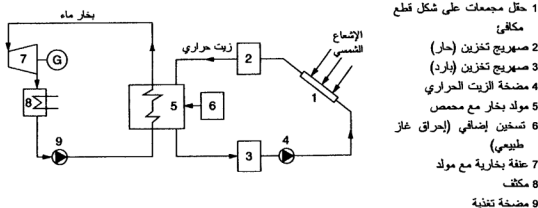
$$= 280 + 117792 / (0.6 \times 3200) = 341.35^\circ\text{C}$$

أصبحت المنشآت التي تستخدم المزارع الشمسية ناضجة من الناحية الهندسية ومناسبة اقتصادياً، وهي في الوقت الحاضر النوع الوحيد من المنشآت الحرارية الشمسية الرائجة تجارياً. تمّ في صحراء Mojave في كاليفورنيا، التي يصل فيها الإشعاع الوسطي السنوي إلى  $2400 \text{ kWh/m}^2$ ، منذ عام 1984 تركيب 9 محطات شمسية تجارية لتوليد الكهرباء ذات مجمعات مقعرة على شكل قطع مكافئ واستطاعتها الإجمالية  $354 \text{ MW}$ ، وسميت المنشآت بـ (Solar SEGs Electric Generating Systems) أي المجموعة الشمسية لتوليد الكهرباء، وتبلغ كلفة الكهرباء التي تولدها هذه المجموعة الشمسية  $0.19$  إلى  $0.14 \text{ DM/kWh}$  [5].

يبين الشكل (7.10) محطة توليد للكهرباء عن طريق مزرعة شمسية. يتألف الجزء الشمسي من حقل من المجمعات التي تأخذ شكل قطع مكافئ بالإضافة إلى خزاني حرارة. يسخّن وسيط العمل في المجمعات (الوسيط هو زيت حراري) ثم يرسل إلى مولد بخار. ثم يحصل تحول آخر للطاقة في



العنفة البخارية مع المولد. تتركب معدات حرق إضافي، يتم فيها حرق الغاز الطبيعي، بحيث يكتمل بذلك عمل المنشأة.



الشكل 7.10 : مخطط وصل محطة توليد الكهرباء باستخدام مزرعة شمسية.

وبين الجدول (2.10) المواصفات الفنية للمنشأة SEGS VII و VIII التي استطاعتها الكهربائية 30 و 80 MW [5].

الجدول 2.10: المواصفات الفنية لمخطط توليد الطاقة باستخدام المزرعة الشمسية SEGS VII و VIII في كاليفورنيا.

VIII	VII	SEGS
80	30	الاستطاعة الكهربائية MW
37.6	37.5	المردود الحراري %
464	194	مساحة فتحة المجموع $[10^3 \text{ m}^2]$
53	43	مردود الحقل [%]
253	93	الإنتاج السنوي الصافي $[\text{GWh/a}]$
0.14	0.19	تكلفة إنتاج الكهرباء $[\text{DM/kWh}]$

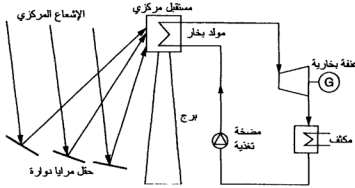
يمكن أن يصل المردود السنوي الإجمالي إلى 15 %. تعمل هذه المنشآت بشكل هجين (مشارك) (Hybrid)، حيث تساهم الكمية الإضافية من الوقود (الغاز) التي تحرق في هذه المنشأة فقط بنسبة 25 %.

يصل التشغيل الشمسي الصافي إلى 1800 ساعة في العام، ويتراوح عدد الساعات الإجمالي لعمل المنشأة في العام بين 3147 و 3169 h/a [5].

### محطات توليد الكهرباء باستخدام الأبراج الشمسية

يبين الشكل (8.10) مخطط وصل محطة توليد باستخدام الأبراج الشمسية، وتتألف المنشأة من جزء شمسي وجزء يحوي محطة توليد كهرباء تقليدية. يتضمن الجزء الشمسي حقل مرايا دوارة (Heliostats) ومستقبل إشعاع (مستقبل مركزي) (receiver) يركب على ذروة ال برج، وربما خزان حرارة. تتألف المرآة الدوارة (Heliostat) التي تعكس الشمس في اتجاه واحد من مرآة مسطحة سطحها 25 إلى 150 m<sup>2</sup>.

يتم تركيز الإشعاع الشمسي المباشر بواسطة حقل المرايا الدوارة على المستقبل المركزي. تتطلب المرايا الدوارة العاكسة توجيهاً مستمراً بواسطة محور مزدوج. يتم توجيه كل مرآة عاكسة بواسطة حاسوب (كمبيوتر)، بحيث تتناسب زاوية ميلها وتوجيهها مع ارتفاع الشمس في الأوقات المختلفة.



الشكل 8.10 : مخطط وصل محطة توليد الكهرباء ذات البرج الشمسي.

تحدد الاستطاعة الحرارية لمنشأة ذات برج شمسي بالإشعاع ومساحة سطح المرايا الدوارة والضغوطات الحرارية. وتتراوح درجة حرارة الممتص الأعظمية بين 400 و 1000 °C، أما درجة التركيز  $C$  أي النسبة بين المساحة الإجمالية لسطوح المرايا ومساحة سطوح اللواقط فهي تتراوح بين بضعة مئات و 1500.

يستخدم بخار الماء والهواء والمعادن السائلة (الصوديوم) والأملاح العضوية المذابة كحوامل حرارية. تُشغّل عنفة بخارية بواسطة الوسيط العامل المُسخّن في الممتص (بخار الماء).

وقد تم حتى الآن تركيب 7 منشآت تجريبية بأبراج شمسية ذات استطاعة كهربائية 18 MW [11] ومنها منشأة واحدة باستطاعة 10 MW في كاليفورنيا (Solar One) تم إيقافها عن العمل قبل عدة سنوات.

يبين الجدول (3.10) المواصفات الفنية للمنشأة ذات البرج الشمسي CESA-1 باستطاعة كهربائية 1.2 MW في Almeria (إسبانيا).

يستخدم كحامل حراري في المُجمَع بخار الماء، ويستخدم الملح كوسيط تخزين في خزانات الحرارة التي سعتها التخزينية 2.7 MWh (مُحوَّلَة إلى ما يكافئها من إنتاج الطاقة الكهربائية). يتم في المستقبل المركزي توليد بخار ماءٍ محمص بضغط 100 bar ودرجة حرارة 520 °C. يبلغ المردود الإجمالي للمنشأة ذات البرج الشمسي SSPS/CRS في Almeria حوالي 7 %.

الجدول 3.10: المواصفات الفنية للمنشأة ذات البرج الشمسي CESA-1

المميزات	القيمة
الاستطاعة الشمسية، MW	5.5
الاستطاعة الحرارية، MW	4.95
الاستطاعة الكهربائية، MW	1.2
مساحة سطوح المرايا الدوارة، $10^3 \text{m}^2$	حوالي 12
ارتفاع البرج، m	80

في المشروع الأوروبي Phoebus (الاستطاعة الكهربائية تبلغ 30 MW) وفي المشروع الشمسي 100 (استطاعته 100 MW) في جنوب أوروبا يُنتظر الوصول إلى مردود إجمالي قدره 15 % وبحيث تكون تكاليف إنتاج الطاقة الكهربائية أقل من 0.2 DM/kWh.

تستخدم كمستقبلات مركزية في أكثر الأحيان مستقبلات مفتوحة أو مستقبلات ذات حجرة فارغة. يُسخَّن الإشعاع الشمسي الممتص الحامل الحراري في حزمة أنابيب، تستخدم من أجل درجات الحرارة التي تصل إلى 550 °C المناسبة لعملية البخار مستقبلات أسطوانية. أما من أجل محطات توليد الطاقة الكهربائية باستخدام العنفات الغازية فتلزم درجات حرارة تصل إلى 1000°C، وهنا يناسب المستقبل ذو الحجرة الفارغة الذي يتمتع بنسبة عالية بين ارتفاع البرج ومساحة حقل المرايا الدوارة، ويصنع البرج إما من الفولاذ أو من الإسمنت المسلح بالفولاذ. تناسب في المواقع القريبة من خط الاستواء المستقبلات المفتوحة مع المرايا الدوارة حول البرج، وعند درجات العرض الأعلى تُركَّب المستقبلات ذات الحجرة الفارغة مع حقل شمالي أو جنوبي في النصف الشمالي أو

الجنوبي للكرة الأرضية. تتعلق مساحة حقل المرايا العاكسة بالاستطاعة الكهربائية  $P_{\text{ه}}$ ، فعندما تكون الاستطاعة 20 أو 100 MW فإن المساحة اللازمة تكون 0.5 أو 3.3 km<sup>2</sup> [15].

إن سبب الضياعات الحرارية هو الانعكاس الناقص وأخطاء الإنتاج والتركيب وتعرض المرايا الدوارة العاكسة للظل. يتراوح مردود حقل المرايا العاكسة  $\eta_{\text{hf}}$ ، والذي يُعرف بأنه النسبة بين الشعاع الساقط على سطح الممتص والإشعاع المباشر على المرايا الدوارة، بين 55 و 80%.

تُحسب الاستطاعة المفيدة اللحظية للإشعاع من أجل حقل مرايا دوارة مساحته الإجمالية  $A_{\text{hf}}$  كما يلي:

$$E_{\text{fu}} = A_{\text{hf}} I_{\text{Dn}} \eta_{\text{hf}} \quad [\text{W}] \quad (15.10)$$

حيث:  $I_{\text{Dn}}$  كثافة الإشعاع المباشر على السطح العمودي على الإشعاع [W/m<sup>2</sup>].  
 $\eta_{\text{hf}}$  مردود (كفاءة) حقل المرايا العاكسة الدوارة.

**كفاءة (فعالية) المنشآت الحرارية الشمسية في توليد الكهرباء**  
تُحسب الاستطاعة المفيدة للإشعاع  $Q_{\text{u}}$  من أجل حقل مجمعات في منشأة ذات مزرعة شمسية تحوي  $n$  مجمعاً على شكل قطع مكافئ كما يلي:

$$Q_{\text{u}} = n I_{\text{D}} A_{\text{a}} \eta_{\text{kf}} \quad (16.10)$$

حيث:  $A_{\text{a}}$  سطح الفتحات لمجموعة المجمعات [m<sup>2</sup>]  
 $I_{\text{D}}$  شدة الإشعاع المباشر في المستوى المائل للفتحة [W/m<sup>2</sup>]  
 $\eta_{\text{kf}}$  مردود حقل المجمعات.

يُحسب مردود مجموعة المجمعات التي تأخذ قطع مكافئ كما يلي:

$$\eta_{\text{k}} = \rho \sigma_{\text{abs}} - (K_{\text{k}}/C I_{\text{D}}) (T_{\text{abs}} - T_{\text{amb}}) - (\epsilon_{\text{abs}} \sigma / C I_{\text{D}}) (T_{\text{abs}}^4 - T_{\text{amb}}^4) \quad (17.10)$$

حيث:  $\rho$  درجة الانعكاس في العاكس أو الممتص

$\sigma_{\text{abs}}$  أو  $\epsilon_{\text{abs}}$  درجة امتصاص الممتص أو درجة إصداره

$K_{\text{k}}$  عامل نفوذ الحرارة [W/m<sup>2</sup>K]

$C$  نسبة التركيز

$T_{\text{abs}}$  أو  $T_{\text{amb}}$  درجة حرارة الممتص أو الوسط الخارجي [K].

تعتمد الاستطاعة المفيدة  $E_{f,u}$  لحقل مرايا عاكسة دوارة في مستقبل مركزي لمخطة توليد كهرباء ذات برج شمسي، باعتبارها الاستطاعة الحرارية  $Q_u$  المفيدة لتسخين وسيط العمل. يذهب جزء من الإشعاع إلى الوسط المحيط ضياعاً. تتألف ضياعات الطاقة من المستقبل إلى الوسيط المحيط من ضياعات الانعكاس  $E_{\text{los},r}$  والضياعات الحرارية بفعل الحمل  $(Q_{\text{los},c})$  والإشعاع  $(Q_{\text{los},R})$ . والتوصيل عند عملية التحويل في المستقبل  $(Q_{\text{los},\text{cond}})$ .

وتصبح الاستطاعة الحرارية المفيدة  $Q_u$  للممتص:

$$(18.10) \quad Q_u = E_{f,u} - E_{\text{los},r} - (Q_{\text{los},c} + Q_{\text{los},R} + Q_{\text{los},\text{cond}}) \quad [\text{W}]$$

وكذلك:

$$(19.10) \quad \begin{aligned} Q_u &= F_R A_a [I_a - K_k (T_{\text{ent}} - T_{\text{amb}}) A_f / A_a] \\ &= m (h_{\text{exit}} - h_{\text{ent}}) \quad [\text{W}] \end{aligned}$$

حيث:  $F_R$  عامل تصريف الحرارة

$A_a$  مساحة فتحة المستقبل  $[\text{m}^2]$

$I_a$  استطاعة الإشعاع الشمسي الممتصة في كل  $1 \text{ m}^2$  من مساحة الفتحة  $[\text{W}/\text{m}^2]$

$K_k$  عامل نفوذ الحرارة الإجمالي للمستقبل  $[\text{W}/\text{m}^2\text{K}]$

$T_{\text{ent}}$  و  $T_{\text{amb}}$  درجة حرارة الدخول إلى المجموع ودرجة حرارة الوسط الخارجي  $[\text{K}]$

$A_f$  مساحة حقل المرايا العاكسة الدوارة  $[\text{m}^2]$

$m$  التدفق الكتلي للحامل الحراري في الممتص  $[\text{kg}/\text{s}]$

$h_{\text{exit}}$ ،  $h_{\text{ent}}$  الإنتالي عند الدخول أو الخروج للحامل الحراري  $[\text{J}/\text{kg}]$

تحسب استطاعة الإشعاع الشمسي الممتص كما يلي:

$$(20.10) \quad I_a = (E_{f,u} - E_{\text{los},r}) / A_a = I_{Dn} \rho (\gamma \tau \alpha) K_{\text{opt}} \quad [\text{W}/\text{m}^2]$$

حيث:  $I_{Dn}$  كثافة الإشعاع المباشر الساقط بشكل عمودي

$\rho$  درجة الانعكاس للممتص

$\gamma$  درجة الالتقاط للممتص

$\tau$  درجة إرسال (نقل) الغطاء الشفاف للمستقبل ( $\tau = 1$ ) عندما لا يُستخدم غطاء)

$\alpha$  درجة امتصاص الممتص

$K_{\text{opt}}$  عامل تصحيح تغير المردود للمجموع مع الزمن.

عامل الانكسار  $\gamma$  للممتص هو نسبة الإشعاع المنعكس من المرايا الدوارة العاكسة إلى الإشعاع الذي يسقط على الممتص.  
مردود المستقبل هو:

$$(21.10) \quad \eta_R = Q_u / E_{f,u}$$

حيث:  $E_{f,u}$  استطاعة الإشعاع المفيدة لحقل المرايا العاكسة الدوارة [W].

ويحسب تيار الضياع الحراري  $Q_{los,c}$  بالحمل في المستقبل كما يلي:

$$(22.10) \quad Q_{los,c} = \alpha_c A_{abs} (T_{abs} - T_{omb}) \quad [W]$$

حيث:  $\alpha_c$  عامل انتقال الحرارة بين فتحة الامتصاص والوسط المحيط (6 حتى  $18 \text{ W/m}^2\text{K}$ )

$A_{abs}$  مساحة سطح الممتص [ $\text{m}^2$ ]

$T_{omb}$  و  $T_{abs}$  درجة حرارة الممتص والوسط المحيط [K].

أما تيار الضياع الحراري  $Q_{los,cond}$  بفعل التوصيل الحراري فهو صغير عندما يكون هناك عزل جيد للمستقبل وهو يحسب كما يلي:

$$(23.10) \quad Q_{los,cond} = A_{abs} (T_{abs} - T_{amb}) / [(\delta / \lambda)_w + (\delta / \lambda)_i 1 / \alpha_a] \quad [W]$$

حيث:  $\delta_w$  و  $\delta_i$  سماكة الجدار والعازل [m]

$\lambda_w$  و  $\lambda_i$  عامل التوصيل الحراري لمادة الجدار والعازل [W/mK]

$\alpha_a$  عامل انتقال الحرارة للسطح الخارجي للممتص [ $\text{W/m}^2\text{K}$ ].

لحساب تيار الضياع الحراري  $Q_{los,R}$  بفعل الإشعاع والانعكاس:

$$(24.10) \quad Q_{los,R} = \rho E_{f,u} / [1 - \rho(1 - r_r)] + A_{abs} \varepsilon \sigma (T_{abs}^4 - T_u^4) / [(1 - \rho)(1 - \varepsilon)(1 - r_r)] \quad [W]$$

حيث:  $E_{f,u}$  استطاعة الإشعاع المفيدة لحقل المرايا العاكسة الدوارة [W]

$\rho$  درجة الانعكاس الفعالة والممتص

$r_r$  نسبة سطحي الفتحة والممتص للمستقبل المركزي

$\varepsilon$  درجة الإصدار للممتص في مجال الموجات الطويلة  $5.67 \times 10^{-8} \text{ W/m}^2 \text{K}^4$

يكون المستقبل المفتوح في تبادل مباشر بالإشعاع مع الوسط المحيط ويكون فيه  $r_r = 1$ ، أما

الضياعات الحرارية بالإشعاع والانعكاس فهي:

$$(25.10) \quad Q_{R,r} = \rho E_{f,u} + A_{abs} \varepsilon \sigma (T_{abs}^4 - T_{amb}^4) \quad [W]$$

### مجموعة صحن ستيرلينغ Dish-Stirling

تتألف الجملة الشمسية ذات الصحن الذي يأخذ شكل جسم مكافئ دوراني (Paraboloid) بالإضافة إلى محرك ستيرلينغ من مرآة مقعرة تأخذ شكل جسم مقعر دوراني (صحن) ومستقبل للإشعاع (مستقبل) ومحرك احتراق (محرك ستيرلينغ ذي غاز ساخن) يمكن وصله بمولد كهربائي. وهذه المنشآت أعلى مردود لتحويل الطاقة الشمسية إلى طاقة ميكانيكية وكهربائية. تُركَّب مثل هذه المنشآت باستطاعة كهربائية إجمالية قدرها 8 MW. وهناك في الولايات المتحدة مُركَّبات قطرها بين 7 و 12 m ونسبة التركيز فيها C تتراوح بين 240 و 2500. تصل درجة حرارة الممتص  $T_a$  القيمة 300 حتى 800 °C ومردود المركِّز 63 حتى 77%.

وتم منذ آذار (مارس) 1992 في Almeria (إسبانيا) بشكل متواصل تشغيل ثلاث مجموعات ذات صحن ومحرك ستيرلينغ من الجيل الثالث أنتجتها شركة SBP (ألمانيا في مدينة Stuttgart) (الشكل 9.10) [11]. يبين الجدول (4.10) المواصفات الفنية لهذه المنشأة.



**الشكل 9.10 :** مخطط جملة الصحن (الذي يأخذ شكل جسم مقعر دوراني) ومحرك ستيرلينغ. تصل الاستطاعة التصميمية الكهربائية لجملة الصحن ومحرك ستيرلينغ إلى 9 kW عندما يكون الإشعاع  $1000 \text{ W/m}^2$ . تُوجَّه المرآة التي شكلها جسم مقعر دوراني نحو الشمس عن طريق محورين، بحيث تصل نسبة التركيز إلى 4000 يعمل محرك ستيرلينغ من النوع V-160 من صنع شركة SOLO (في مدينة Stuttgart بألمانيا) بواسطة الهيليوم كعنصر عمل، ويصل مردوده الحراري عند 40 إلى 150 bar و 250 و 650 °C حتى 33%. تم التوصل حتى الآن إلى 7.8 kW ومردود إجمالي قدره 21%. عند نسب تركيز عالية (حتى 4000) ودرجات حرارة عالية في المجال من 700 إلى 900 °C يمكن أن يرتفع المردود الحراري حتى 40% والمردود الإجمالي ليصل 23 إلى 25%. إذا أمكن التوصل إلى تصنيع صحن بكلفة منخفضة، وتحقق تحسين تصميمي لا مركزي في المناطق الجنوبية المعزولة والبعيدة وبشكل اقتصادي. أي أنه يجب تخفيض تكاليف الاستثمار الحالية التي تتراوح بين 12500 و 37000 DM لتصبح 3000 DM لكل 1 kW.

المجدول 4.10: المواصفات الفنية لجملة الصحن (شكله جسم مكافئ دوراني) وعرك

ستويلينغ

القيمة	المقدار المميز
9	الاستطاعة الكهربائية (عند الإشعاع $1000\text{W/m}^2\text{K}$ ) [kW]
25	المردود [%]
حتى	المرآة المقعرة التي تأخذ شكل جسم مكافئ دوراني (الصحن)
غشاء من الفولاذ الجيد سماكته 0.2 mm مع مرآة زجاجية رقيقة	
7.5	القطر [m]
5	البعد المحرقي [m]
44	المساحة [m <sup>2</sup> ]
4000	نسبة التركيز

#### محطة توليد الكهرباء ذات تيار الهواء المتصاعد

تتألف المنشأة من مسخن هواء شديد البساطة كبير المساحة، ومدخنة وعنفق هوائية (الشكل 10.10).

يتسخن الهواء بسبب الإشعاع الشمسي الموارد عبر القبة التي تسمح بنفوذ الضوء، فيصعد ماراً في المدخنة وعابراً العنفق الهوائية. تتحدد قوة الرفع بواسطة فرق الكثافة بين الهواء البارد والساخن بالإضافة إلى ارتفاع المدخنة. تنشأ قوة الرفع بفعل فرق الضغط الذي يؤدي إلى جريان الهواء، ويُحسب فرق الضغط بالنسبة لـ  $1\text{ m}^2$  كما يلي:

$$\Delta p = g H (\rho_c - \rho_w) \quad [\text{N/m}^2] \quad (26.10)$$

حيث:  $g$  التسارع الأرضي  $[\text{m/s}^2]$  (قيمه 9.81)

$H$  ارتفاع المدخنة [m]

$\rho_c$  الكتلة النوعية للهواء البارد عند درجة الحرارة المحيطية  $[\text{kg/m}^3]$

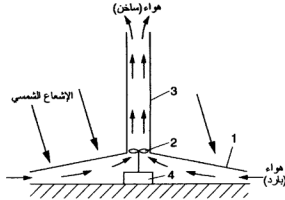
$\rho_w$  الكتلة النوعية للهواء الدافئ عند درجة حرارة المدخنة الوسطية  $[\text{kg/m}^3]$ .

تتحول طاقة الضغط إلى طاقة حركية للهواء الجاري. يمكن حساب سرعة الهواء في المدخنة من

معادلة برنولي:

$$w = \sqrt{2 \Delta p \rho_w} \quad [\text{m/s}] \quad (27.10)$$





1. غطاء شفاف
2. عنفة هوائية
3. مدخنة
4. مولد كهربائي

الشكل 10.10 : مخطط محطة توليد الكهرباء ذات تيار الهواء المتصاعد.

تحتسب استطاعة العنفة الهوائية بالاستعانة بسرعة الهواء ومساحة مقطع المدخنة بطريقة مماثلة للعنفات الريحية (انظر الفقرة 2.12).

أما مردود محطة توليد الكهرباء ذات تيار الهواء المتصاعد فينتج من العلاقة:

(28.10)

$$\eta = P_T / I_A$$

حيث:  $P_T$  استطاعة العنفة الهوائية [W]

$I$  شدة الإشعاع العام [ $W/m^2$ ]

$A$  مساحة سطح مجمع تسخين الهواء [ $m^2$ ].

أنشئت أول محطة من هذا النوع في إسبانيا وتعمل منذ عام 1981، ومواصفاتها الفنية التفصيلية

مبينة في الجدول (5.10).

الجدول 5.10: المواصفات الفنية لمحطة توليد الكهرباء ذات تيار

الهواء المتصاعد في إسبانيا.

المعطيات	القيمة
الاستطاعة الإسمية، kW	50
نصف قطر المجمع الشمسي، m	122
ارتفاع المدخنة وقطرها، m	10, 200
قطر العنفة، m	10
سرعة الهواء في المدخنة، m/s	7.6
إنتاج الطاقة الكهربائية، MWh/a	42
المردود الإجمالي، %	0.05

### محطة توليد الكهرباء باستخدام حرارة مياه البحار

تم تجريب أول منشأة من هذا النوع باستطاعة قدرها 40 kW عام 1930 في كوبا. عن طريق امتصاص الأشعة الشمسية يصبح الماء المجاور للسطح الخارجي في المحيط دافئاً، وذلك في المناطق الاستوائية، وتصل درجة حرارته في الشتاء إلى 250 °C وفي الصيف إلى 30 °C. تمتد هذه المنطقة من خط العرض 35° شمال خط الاستواء حتى خط العرض 30 °C جنوباً. وعلى عمق 500 m تكون درجة حرارة الماء ثابتة وتبلغ 5 إلى 8 °C. يمكن تحويل الطاقة الشمسية ترموديناميكاً إلى طاقة كهربائية، وأكبر مردود حراري ينتج باستخدام دورة كارنو بين درجة حرارة الماء عند طبقة السطح الخارجي ( $T_o$ ) وعند العمق ( $T_i$ ) للمحيط المداري:

(29.10)

$$\eta_{th} = 1 - T_i / T_o$$

بحسب مردود محطة من هذا النوع من القيمتين  $\eta_{th,c}$  ودرجة الجودة  $\eta_{Good}$ .

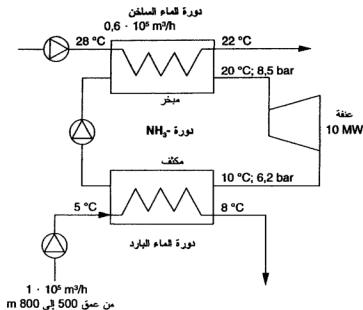
(30.10)

$$\eta_{ps} = \eta_{th,c} \eta_{Good}$$

يمكن لقيمة  $\eta_{ps}$  أن تصل 3 إلى 4 %.

يسقط على بحار الكرة الأرضية 4/5 مما يسقط من الإشعاع الشمسي الإجمالي الذي يسقط على سطح الأرض، وهذا يعادل تياراً حرارياً في العام الواحد قدره  $0.85 \times 10^{18}$  kWh/a. يسقط يومياً على كل متر ربع في المنطقة القريبة من خط الاستواء 17 إلى 20 MJ/m<sup>2</sup>d، وتبلغ كثافة الاستطاعة 12 W لكل m<sup>2</sup> من مساحة سطح البحار. يستخدم مفهوم (Ocean Thermal energy OTEE conversion) أي (تحويل الطاقة الحرارية للمحيط) لتوليد الكهرباء من حرارة الماء (البحر)، والمخطط الذي يبين مبدأ عمل هذه المحطة مبين على الشكل (11.10). تتألف المحطة من مبخّر وعنفة بخارية ومكثف، ومضخة، ويستخدم كوسيط عمل الأمونياك. تضاف إلى المبخر حرارة السطح الخارجي للماء (درجة الحرارة تتراوح بين 27 و 30 °C) ويستخدم كوسيط تبريد الماء البارد (درجة حرارته بين 5 و 8 °C) المسحوب من عمق 500 حتى 800 m. من أجل استطاعة كهربائية قدرها 20 MW يجب أن يمرر على المبخر والمكثف كميات متساوية تقريباً من الماء الساخن والبارد (حوالي 2000 m<sup>3</sup>/h). تبلغ الاستطاعة الحرارية لأول منشأة تجريبية بالقرب من هاواي (USA) 2.8 MW، أما الاستطاعة الكهربائية فتبلغ 50 kW (max). وقد بلغت الاستطاعة

الصافية 18 kW. يبلغ قطر التمديدات المصنوعة من البولي إيثيلين من أجل الماء البارد 600 mm وطولها 650 m. كما يوجد في اليابان منشأة استطاعتها الكهربائية 100 kW.



الشكل 11.10 : مخطط منشأة توليد الكهرباء باستخدام حرارة ماء المحيط.

يمكن استخدام التيار المُولَّد لإنتاج الهيدروجين عن طريق التحليل الكهربائي للماء. تكاليف الاستثمار هنا أقل من التكاليف في محطات التوليد التقليدية الحرارية والنووية، وتكاليف الكهرباء حوالي 0.04 DM/kWh عند خرج المحطة. إن أفضل شكل لنقل الطاقة إلى مواقع الاستهلاك هو نقل الهيدروجين إليها.

### مثال 3.10

ما هو مردود محطة توليد الكهرباء باستخدام حرارة ماء المحيط عندما تكون درجة حرارة الماء عند الطبقة السطحية لمحيط استوائي ( $T_0 = 30^\circ\text{C}$ ) وفي العمق  $8^\circ\text{C}$ ؟ درجة الجودة للمحطة  $\eta_{\text{Good}} = 0.5$ .

الحل

المردود الحراري لدورة كارنو بين  $T_0$  و  $T_1$ :

$$\eta_{th,c} = 1 - T_c / T_o$$

$$= 1 - (8 + 273) K / (30 + 273) K = 7.26 \%$$

وبالتالي فمردود محطة توليد الكهرباء باستخدام حرارة ماء المحيط:

$$\eta_{PS} = \eta_{th,c} \eta_{Good} = 0.072 \times 60.5 = 3.63 \%$$

## 3.10 المنشآت الكهروضوئية Photovoltaics

### 1.3.10 الخلايا الشمسية، الجملة الشمسية والمولد الشمسي

#### الخلية الشمسية

اكتشف التأثير الكهروضوئي (الكهربائي — الضوئي) عام 1839 من قبل العالم Becquerel. يحدث تمهيج كهروضوئي لالكترون عن طريق امتصاص طاقة كم (Quantum) من الضوء  $h\nu$ . إن الطاقة الحركية الأعظمية للالكترون المنبعث تابع خطي لتردد الضوء  $\nu$ ، وكثافة تيار الكهرباء بفعل انبعاث (الالكترونات) بتأثير الضوء متناسبه مع شدة الإشعاع الذاتي للضوء، وتحت حد معين للتردد لا يحدث أي انبعاث بتأثير الضوء، وقد اكتشف Bell Telephone في عام 1954 (USA)، مبدأ الخلايا الشمسية. الخلية الشمسية هي أحد عناصر المجموعة الكهروضوئية (PV- System) التي تقوم بالتحويل المباشر لطاقة إشعاع الضوء إلى طاقة كهربائية (تيار مستمر).

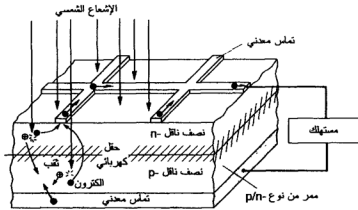
بامتصاص الضوء يتولد في أنصاف النواقل حوامل للشحنة: الكترولونات ذات شحنة سالبة، ومن المواقع غير المشغولة بالالكترونات تتولد أماكن ذات شحنة موجبة (ثقوب)، ويؤدي ذلك إلى نشوء توتر (جهود) كهربائي.

يتم فصل الالكترونات والثقوب الناشئة عن بعضها البعض بواسطة أنصاف نواقل معينة — عن طريق ممر (سطح انتقال) p/n، وجملة MIS (Metal-Isolator-Semiconductor) أي (معدن — عازل — نصف ناقل) أو عن طريق جملة SIS (Semiconductor-Isolator-Semiconductor) أي (نصف ناقل — عازل — نصف ناقل).

\* الكم (Quantum) هو أصغر مقدار من الطاقة يمكن أن يوجد مستقلاً — المترجم

الممر من نوع  $p/n$  هو عبارة عن شبكة ثنائية الطبقات يتأخم فيها نصف ناقل  $n$ - (مثلاً سيليسيوم مطلي بآثار من الفوسفور) نصف ناقل آخر  $p$ - (مثلاً سيليسيوم مطلي بالبور) (الشكل 12.10).

في هذا المجال الحدي، أي الممر  $p/n$  يتشكل عند التعريض للضوء حقل كهربائي داخلي. بامتصاص الإشعاع الشمسي تنفصل على جانبي الطبقة الحدية أزواج من الإلكترونات والثقوب، وتنتقل الإلكترونات من نصف الناقل  $p$  إلى نصف الناقل  $n$ ، أما الثقوب فتنتقل من نصف الناقل  $n$  إلى نصف الناقل  $p$ ، وذلك لموازنة هبوط حوامل الشحنة في الطبقة الحدية. تحت تأثير الحقل الداخلي تجتمع الإلكترونات في الناقل  $n$  والثقوب في الناقل  $p$ ، وبذلك ينشأ عند سطوح التماس للمعدن على السطح الخارجي منبع توتر (جهد، ضغط) يعاكس الحقل الداخلي ويساويه. يؤدي هذا الجهد في دارة كهربائية خارجية مغلقة إلى نشوء تيار مستمر.

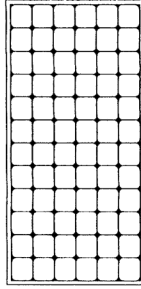


الشكل 12.10 : الخلية الشمسية مع الممر من نوع  $p/n$ .

يمكن إنتاج الخلايا الشمسية من أنصاف نواقل مختلفة ومن مركبات أنصاف النواقل. يتعلق الجهد المتولد في الخلايا الشمسية بأنواع مواد أنصاف النواقل المستعملة، وتردد شدة التيار مع شدة الإشعاع والمساحة المعرضة للضوء، وتصل الاستطاعة الأعظمية الممكن الوصول إليها إلى 100 W لكل متر مربع من مساحة الخلية الشمسية. هذا يتطلب الوصول إلى مردود جيد استعمال أنصاف نواقل شديدة النقاوة وتستخدم حالياً في أغلب الأحيان خلايا شمسية من السيليوم.

### الجملة الشمسية والمولد

العنصر الأساسي لمجموعة كهروضوئية PV - System هو الجملة الشمسية (الشكل 13.10). إنه الجزء الأصغر الذي يولد الطاقة الكهربائية والذي يُوصل فيه صف من الخلايا الشمسية خلف بعضها البعض، وتُجمع تحت غطاء شفاف كتيتم للهواء بحيث تكون متينة ميكانيكياً. وهكذا يمكن الوصول إلى جهود (توترات، ضغوط) كهربائية واستطاعات عالية. يبلغ الجهد الاسمي للجملة شمسية V 12.



الشكل 13.10 : الجملة الشمسية.

يُصنَّع المولّد ذو الخلية الشمسية أو المولّد الشمسي عن طريق وصل عدة جمل شمسية ويستخدم لتأمين الطاقة الكهربائية لمستهلك أو أكثر. عند الوصل التسلسلي لعدة جمل عن طريق ربط القطب السالب للجملة مع القطب الموجب للجملة التالية تُضرب قيمة التوتر (الجهد) الاسمي  $U_n$  للجملة الشمسية الواحدة بعدد الجمل  $n$  وذلك عند نفس تيار الشحن  $I$ :

$$U = n U_n \quad (31.10)$$

ينتج الوصل التسلسلي لجلتين كل منهما V 12 ينتج مولداً شمسياً بتوتر (جهد) V 24 .  
لرفع التيار وبالتالي استطاعة مولد شمسي تُربط عدة جمل متساوية التوتر (الجهد) الاسمي  $U_n$  على التوازي (التفرّع) (كل منها القطب السالب مع القطب السالب والقطب الموجب مع القطب الموجب). وهكذا ينتج تيار الشحن  $I$  واستطاعة المولد الشمسي كما يلي:

$$(32.10)$$

$$I = n I_n$$

$$(33.10)$$

$$P = I U$$

### الخلايا الشمسية المصنوعة من السيليوم

يُميز بين ثلاثة أنواع رئيسية من الخلايا الشمسية المصنوعة من السيليوم، وذلك تبعاً لشكل التبلور (crystalization):

– الخلايا الشمسية المصنوعة من السيليوم أحادية البلورة.

– الخلايا الشمسية المتعددة البلورات.

– الخلايا الشمسية ذات الطبقة الرقيقة أو غير المتبلورة (amorphous) (اللابلورية).

لإنتاج النوع الأول من الخلايا الشمسية يسحب من مصهور السيليوم ناقل أحادي البلورات من النوع p طوله 2 إلى 3 m وقطره 10 إلى 15 cm، ثم يُقسم بالمنشار إلى شرائح سماكتها 0.3 إلى 0.5 mm. ولتشكيل المر (سطح عبور التيار) p/n يطلى الجانب المواجه للإشعاع الشمسي بطبقة سماكتها 3 إلى 4 mm بالفوسفور. أما استخراج التيار فيتم عبر تماسات من الطبقة المعدنية (على الجانب الأمامي من الشبكة المعدنية الموصلة للتيار). ولكن ينفذ أكبر قدر من الإشعاع الشمسي فلا يجوز لمساحة الشبكة المعدنية أن تغطي أكثر من 10 % من المساحة الإجمالية. تعطي خلية سيليوم شمسية أبعادها 10 × 10 cm وتوتراً (جهداً) كهربائياً قيمته 0.5 V واستطاعة أعظمية قدرها 1 W عندما تكون شدة الإشعاع 100 W/m<sup>2</sup>. تحاط الخلية الشمسية بغلاف من الزجاج أو البلاستيك بحيث تصبح كثيفة للهواء.

إن مردود خلايا السيليوم الشمسية الأحادية البلورة مرتفع نسبياً (15 إلى 18 %) وهي تستخدم في المحطات الكهروضوئية (PV) المتوسطة والكبيرة.

يشكل السيليوم في الخلايا الشمسية المتعددة البلورات، بلورات عديدة ذات أحجام واتجاهات مختلفة.

تقسم الكتلة التي تتألف من العديد من بلورات السيليوم الصغيرة إلى شرائح لاستخدامها كخلايا شمسية كما هو الحال في الخلايا الأحادية البلورة. يتراوح مردود الخلايا المتعددة البلورات بين 12 و 14 % كحد أعظمي. يبين الجدول (6.11) القيم الأعظمية لمردود مجموعات خلايا السيليوم الشمسية.

**الجدول 6.10: المردود الأعظمي لخلايا السيليسيوم الشمسية والمجموعات الشمسية.**

نوع الخلية الشمسية		المردود %
الخلية الشمسية		للجملة الشمسية
خلايا السيليسيوم الشمسية الأحادية البلورة	17.8	17.4
خلايا السيليسيوم الشمسية المتعددة البلورات	13.8	13.4

يحتاج تصنيع خلايا السيليسيوم البلورية الكثير من العمل والجهد، ويبلغ الزمن اللازم لتغطية كلفتها ثلاثة أعوام. تبلغ تكاليف إنتاجها 12 إلى 20 DM لكل W 1 استطاعة، وتبلغ تكاليف الطاقة الكهربائية المنتجة 0.8 إلى 1.6 DM/kWh مقابل 0.05 إلى 0.15 DM/kWh في محطات الطاقة التقليدية. أما تكاليف خلايا السيليسيوم الشمسية المتعددة البلورات فهي أقل. يتطلب ترقيع خلايا السيليسيوم الشمسية البلورية في السوق تخفيض تكاليف إنتاج الطاقة الكهربائية إلى الخمس، وذلك بتبسيط تقنية الإنتاج.

يُيخَّر السيليسيوم في الخلايا الشمسية اللابلورية من مركب غازي مثل  $\text{SiH}_4$  (Silan) على مادة حاملة كالزجاج ويُطلى به بنفس الوقت.

ونتيجة للتوضع غير المنتظم تماماً لذرات السيليسيوم، فإنه يتمتع بدرجة امتصاص أعلى للإشعاع الشمسي من السيليسيوم البلوري، وبذا فإن سماكة 1 m لسطوح العبور (المرات) p/n كافية. كذلك يمكن ربط هذه الخلايا الشمسية الرقيقة على التسلسل بالتبخير على شكل جملة.

إن إنتاج الخلايا الشمسية اللابلورية أرخص بكثير من إنتاج الخلايا الشمسية البلورية ولكن مردودها صغير، إذ يتراوح بين 5 و 8 %. يمكن أن تُنتج مثل هذه الخلايا الشمسية بمحوم مختلفة حسب الحاجة كما أن العمل والجهد المبذولين لإنتاجها وكذلك استهلاك السيليسيوم الصافي تحقق وفضلاً مقارنة بالخلايا الشمسية البلورية.

كذلك يمكن إنتاج الخلايا الشمسية ذات الطبقة الرقيقة من أنصاف نواقل أخرى مثل GaAs، أو CdTe أو  $\text{CuInSe}_2$  ... الخ. عند الإنتاج بكميات كبيرة يتم الحصول بالخلايا الشمسية المصنوعة من GaAs على مردود يبلغ حوالي 20 %. يتم الوصول إلى أكبر مردود بواسطة ما يسمى بالخلايا الشمسية الترادفية (Tandem)، إذ يصل إلى ما يزيد على 30 %، وتتألف هذه الخلايا من عدة طبقات، مواد أنصاف النواقل فيها مختلفة. يكون التأثير الكهروضوئي (الفوتوفولطي) أعظمياً لمادة ما في جزء من الطيف الشمسي ولمادة أخرى في جزء آخر من الطيف. فمثلاً يكون أعظمياً لـ



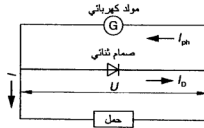
كبريت الكاديوم والسيلينيوم (Se) في مجال الضوء المرئي، أما للسليسيوم أو GaAs في مجال قريب من الأشعة تحت الحمراء (Infra-red). وقد أمكن في المخبر وبلاستعانة بـ GaAs/GaSb الحصول على مردود قدره 37 % (يمكن نظرياً تحقيق قيم تصل حتى 40 %).

### 2.3.10 المنحني المميز والمردود لجملة شمسية كهروضوئية (PV)

المنحني المميز للتيار وللتوتر (الجهد) الكهربائي

يبين الشكل (14.10) مخططاً مكافئاً لوصل مجموعة شمسية (كذلك يمكن استخدام هذا المخطط للخلايا الشمسية والمولدات الشمسية). يستعاض بذلك عن الخلية الشمسية بمولد كهربائي وصمام ثنائي (diode) موصول به على التوازي. يتفرع تيار الضوء  $I_{ph}$  الذي يولده المولد الكهربائي إلى تيار في الدارة الخارجية  $I$  وإلى تيار في الصمام الثنائي  $I_D$ .

تتميز الدارة المكافئة بتيار الإشعاع أو الإغلاق للصمام الثنائي  $I_0$  ومقاومة الدارة التفرعية  $R_p$  أو  $R_{sh}$  للصمام الثنائي. إن مقاومة الدارة التفرعية  $R_{sh}$  للخلايا الشمسية الحديثة عالية.



الشكل 14.10 : المخطط المكافئ لوصل جملة شمسية.

يبين الشكل (15.10) المنحني المميز للتوتر (الجهد) — التيار في خلية شمسية، وهو يمثل تخطيطاً العلاقة بين التيار  $I$  الذي تقدمه الجملة الشمسية والتوتر (الجهد) المولّد. عند درجة حرارة ثابتة وشدة ثابتة للإشعاع الشمسي تطبق العلاقة التالية:

(34.10)

$$I = I_{sc} - I_0 [\exp (qU / k T) - 1] \quad [A]$$

حيث:  $I$  شدة التيار [A]

$I_{sc}$  تيار القصر [A] (Short Circuit)

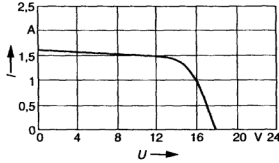
$I_0$  تيار الإشعاع (الإغلاق) للصمام الثنائي [A]

$q$  الشحنة الأولية (العنصرية) ( $1.60219 \times 10^{-19} \text{C}$ )

$U$  التوتر (الجهد) الكهربائي [V]

$k$  ثابت بولتزمان ( $1.38066 \times 10^{-23} \text{J/K}$ )

$T$  درجة الحرارة [K].



الشكل 15.10 : المنحني المميز للجهد — التيار في خلية شمسية.

ينتج من المنحني المميز للتوتر — التيار كل من تيار القصر  $I_{sc}$  والتوتر بدون حمل  $U_{oc}$  والاستطاعة الأعظمية  $P_{max}$  للحملة الشمسية. يوافق تيار القصر التوتر المقدم، أما التوتر بدون حمل  $U_{oc}$  فهو يمثل أعظم توتر عندما لا يسري أي تيار ( $I=0$ ). ينتج من المعادلة 34.10 عندما يكون  $I=0$  ما يلي:

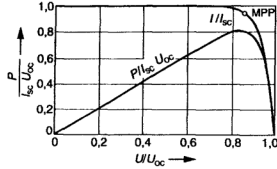
$$(35.10) \quad I_{sc} / I_0 = \exp (q U_{oc} / k T) - 1$$

أما استطاعة الحملة الشمسية فتنتج من العلاقة التالية:

$$(36.10) \quad P = I U = \{I_{sc} - I_0 [\exp (q U / k T) - 1]\} U \quad [\text{W}]$$

يبين الشكل (16.10) المنحني المميز بشكل لا بعدي كعلاقة بين  $I / I_{sc}$  و  $U / U_{oc}$ ، بالإضافة إلى منحني الاستطاعة  $(P / I_{sc} U_{oc})$  للحملة الشمسية. توافق الاستطاعة الأعظمية النقطة MPP (Maximum Power Point) ذات التيار  $I_p$  والتوتر  $U_p$ . وتنطبق العلاقة  $P_{max} = I_p U_p$ ، وتُعرف الاستطاعة الاسمية لحملة شمسية بأنها الاستطاعة عند النقطة MPP عندما يكون الإشعاع  $1000 \text{ W/m}^2$  ودرجة الحرارة  $25^\circ \text{C}$ . يتعلق المنحني المميز لحملة بشدة الإشعاع الشمسي، وعند شدات إشعاع منخفضة يتناقص تيار القصر وتنزاح النقطة MPP باتجاه التناقص القليل للتوتر.

عندما ترتفع درجة حرارة الخلية الشمسية جرّاء الإشعاع الشمسي الممتص (خصوصاً عند ارتفاع درجة حرارة الوسط المحيط) تنزاح النقطة MPP باتجاه التوتر الأخفض.



الشكل 16.10 : المنحني المميز لخلية شمسية مثالية.

فمثلاً عند ارتفاع درجة الحرارة من 25 °C إلى 40 °C يحصل ضياع في الطاقة، تصل قيمته في الخلايا الشمسية البلورية المصنوعة من السيليسيوم إلى 3 وحتى 5 % كل عام. تبلغ قيمة الضياع في كسب الطاقة بفعل اختلاف الإشعاع الوسطي (في وسط أوروبا 500 W/m<sup>2</sup>) عن القيمة الاسمية (1000 W/m<sup>2</sup>) 7%.

لحساب درجة حرارة الجملة الشمسية المعرضة للأشعة، يجب إجراء موازنة حرارية لهذه الجملة الشمسية:

$$(37.10) \quad I_{sol} \tau \alpha = \eta_M I_{sol} + k_M (t_M - t_{amb})$$

حيث:  $I_{sol}$  شدة الإشعاع في مستوى الجملة الشمسية [W/m<sup>2</sup>]

$\tau$  و  $\alpha$  درجة التحويل (النقل) للغطاء الشفاف، و  $\alpha$  درجة امتصاص الجملة الشمسية للإشعاع الساقط عليها.

$\eta_M$  مردود (كفاءة) الجملة الشمسية

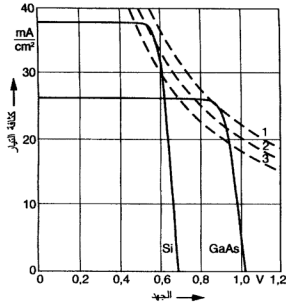
$k_M$  عامل الضياع الحراري الإجمالي للجملة الشمسية [W/m<sup>2</sup>K]

$t_M$  درجة حرارة الجملة الشمسية [°C]

$T_{amb}$  درجة حرارة الوسط الخارجي المحيط [°C]

وينتج من ذلك درجة حرارة الجملة الشمسية:

$$(38.10) \quad t_M = t_{amb} + I_{sol} (\tau \alpha - \eta_M) / K_m$$



**الشكل 17.10 :** المنحنيات المميزة والمراديد (0.22 - 1، 0.2 - 2، 0.18 - 3) لأفضل خلايا شمسية مصنوعة من السيليسيوم أو GaAs.

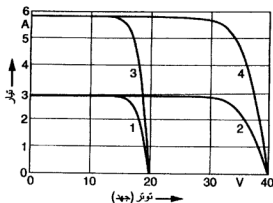
يبين الشكل (17.10) منحنيات المردود لأفضل خلايا شمسية من النوع GaAs أو السيليسيوم بالإضافة إلى المنحنيات المميزة لها. أما القيم المميزة لهاتين الخليتين الشمسيتين فهي مبينة في الجدول (7.10).

عند الوصل على التوازي للحمل الشمسية تجمع التيارات، وعند الوصل التسلسلي لها تجمع التيارات الكهربائية.

**الجدول 7.10:** القيم المميزة لخلاية السيليسيوم الشمسية (من النوع LBSF من مادة السيليسيوم النموذج 0.5 Wcm) والخلاية الشمسية GaAs (النموذج p/n GaAlAs، المادة Ga As)

القيمة المميزة	الوصف (الرمز)	الواحدة	خلاية السيليسيوم الشمسية	خلاية GaAs الشمسية
التوتر بدون حمل	$U_{oc}$	mV	682	1016
كثافة تيار القصر	$I_{sc}/A$	$mA/cm^2$	37.9	26.1
درجة الملء	$FF$	-	0.796	0.839
المردود (الكفاءة)	$\eta$	-	20.6	22.3
المساحة	$A$	$Cm^2$	$2 \times 2$	$1 \times 1$

يبين الشكل (18.10) المنحني المميز للتيار — التوتر من أجل الوصل التسلسلي أو التفرعي للحمل الشمسية.



1. الجملة 55-W
2. جملتان موصولتان على التسلسل
3. جملتان موصولتان على التوازي (التفرع)
4. جمع بين 2 و 3

الشكل 18.10 : المنحنيات المميزة للجملة الشمسية.

أما الجدول (8.10) فيبين المواصفات الفنية للجملة الشمسية M 55 من صنع شركة Siemens.

الجدول 8.10: المواصفات للجملة الشمسية M55 من شركة سيمنس

Siemens.

القيمة	القيمة المميزة
53	الاستطاعة الأعظمية $W, P_{max}$
21.7	التوتر بدون حمل $V, U_{oc}$
3.35	تيار القصر $A, I_{sc}$
$36 \times 329 \times 1293$	الأبعاد mm
5.7	الوزن، kg

### المردود

يُعرف مردود (كفاءة) جملة شمسية  $\eta_M$  بأنه نسبة الاستطاعة الكهربائية الأعظمية المنتجة  $P_M$  إلى استطاعة الإشعاع المستقبل.

(39.10)

$$\eta_M = P_M / A_M I_{sol}$$

حيث:  $A_M$  المساحة الصافية لسطح الجملة الشمسية

$I_{sol}$  شدة الإشعاع الشمسي في مستوى الجملة الشمسية.

وتصبح الاستطاعة الكهربائية الأعظمية الممكنة تقديرها:

$$P_M = I_{sc} U_{oc} FF \quad (40.10)$$

حيث:  $I_{sc}$  تيار القصر

$U_{oc}$  التوتر بدون حمل

$FF$  درجة الملء.

أما حساب التوتر (الجهد) بدون حمل  $U_{oc}$  وتيار القصر  $I_{sc}$  (عند  $R_s = 0$  و  $R_{sh} = \infty$ ) فيحسبان كما يلي:

$$U_{oc} = (A_M k T / q) \ln (I_{sc} / I_0 + 1) \quad (41.10)$$

$$I_{sc} = I_{ph} \quad (42.10)$$

حيث:  $I_0$  تيار الإشباع في الصمام الثنائي و  $I_{ph}$  التيار الضوئي المولد في الخلية الشمسية [A].

عامل الملء هو نسبة الاستطاعة الأعظمية إلى مساحة المستطيل ذي البعدين  $I_{sc}$  و  $U_{oc}$ :

$$FF = P_M / I_{sc} U_{oc} \quad (43.10)$$

لكن يتم الحصول على استطاعة ومردود أعظميين يجب أن تكون قيمة  $I_{ph}$  أعظمية وقيمة  $I_0$  أصغرية.

تُحسب الاستطاعة المفيدة لخلية شمسية من الفرق بين تيار الإشعاع الشمسي الممتص وتيار الضياعات الحرارية. تتعلق ضياعات الطاقة في الخلية الشمسية بآلية التحول الكهروضوئية (PV) وهي تحصل للأسباب التالية (القيم الموجودة بين قوسين هي القيم النظرية منسوبة إلى الإشعاع الشمسي الساقط):

- لا تمتص الفوتونات الموجودة في مستوى الطاقة  $E$  الواقع تحت مستوى فجوة الطاقة  $E_g$  (تبلغ هذه الضياعات في الطاقة لخلية السيليسيوم الشمسية 24 % وفي خلية GaAs تبلغ 38 %).
- تُحوّل طاقة الفوتونات الفائضة إلى طاقة حرارية في الشبكة المعدنية — الغلاف (تبلغ هذه الضياعات في الطاقة لخلية السيليسيوم 32 % و لخلية GaAs تبلغ حوالي 19 %).
- عامل الكسب (الربح)  $qU_{oc}/E_g$  (خلية السيليسيوم الشمسية و لخلية GaAs يبلغ حوالي 12 %).
- تبلغ الضياعات الأخرى (عامل  $FF$ ، مردود التجميع، مقاومة الربط على التسلسل و ضياعات الانعكاس) بمجموعها حوالي 11 % في خلية السيليسيوم الشمسية و 19 % في خلية GaAs. ولهذا فإن مردود خلية السيليسيوم الشمسية يبلغ 10 إلى 12 %.

### 3.3.10 بنية وعناصر الوحدات الكهربائية الضوئية (PV - Systems)

#### الوحدات الكهربائية الضوئية المفردة والموصولة مع الشبكة

يقدم المولد الشمسي تياراً فقط عندما يتعرض للضوء، وتعلق قيمة التيار المستمر المولد بشدة الإشعاع. لا يمكن قبول عدم استمرار تقديم الطاقة إلا في مجالات الاستخدام البسيط (مثل مضخات الماء، الآلات الحاسبة أو الساعات) وفي مثل هذه الحالات يوصل الجهاز المراد تغذيته بالتيار مباشرة مع المولد الشمسي. يزداد أمان التغذية لمستهلك تيار مستمر بوصل المنشأة مع العناصر التالية:

— مدّخرات (بطاريات) لتخزين التيار الكهربائي

— مولدات إضافية

ولتغذية المستهلكين الذين يحتاجون إلى تيار متناوب يتم تحويل التيار المستمر إلى تيار متناوب. يتم ضمان تأمين التيار عن طريق الوصل التفرعي (على التوازي) بالشبكة الكهربائية العامة.

ثمة نوعان من الوحدات الكهربائية الضوئية:

— معدات تأمين التيار الكهربائي المستقلة عن الشبكة والتي تعمل بشكل منفرد وليس لها أي اتصال بالشبكة العامة وتشكل بحذاتها شبكة خاصة.

— وحدة مربوطة بالشبكة العامة.

إن الوحدات المستقلة مناسبة لتزويد المستهلكين البعيدين عن الشبكة العامة كمضخات الماء وأجهزة الاتصالات (إرسال الإشارات) ومحطات القياس. وأكواخ متسلسلي الجبال\*... إلخ. يبين الشكل (19.10) مخطط وصل جملة مستقلة، وهي تتألف من العناصر التالية:

— مولد شمسي (كهروضوئي)

— بطارية تخزين مع منظم شحن

— موجّ تيار (يحول التيار المستمر إلى متناوب)

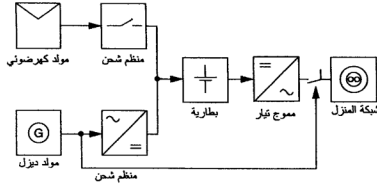
— المجموعة الاحتياطية المؤلفة من محرك احتراق داخلي ومولدة

— شبكة التوزيع الرئيسية.

---

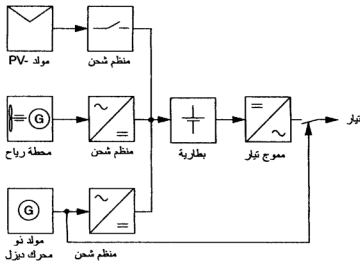
\* كما هو الحال في جبال الألب في أوروبا (الترجم).

بما أن المولدات الشمسية يمكن أن تأخذ حجوماً مختلفة، فإن استطاعات الوحدات المستقلة تختلف حسب الحاجة.



الشكل 19.10 : مخطط وصل منشأة ضوئية كهربائية مستقلة (جملة الجزيرة).

إن الوحدات الضوئية الكهربائية التي توصل بشبكة الكهرباء العامة أبسط بكثير من الوحدات المستقلة. يُحوّل التيار المستمر للمولد الشمسي عن طريق مَوَجِّ التيار إلى تيار متناوب وثلاثي الطور حسب الحاجة يغذي المستهلك مباشرة أو يغذي الشبكة العامة. ولما كانت الشبكة تعتبر خزاناً كبيراً للطاقة، فهي قادرة على تلقي الطاقة المولدة الفائضة أو تغطية النقص.



الشكل 20.10 : مخطط وصل منشأة هجينة (عدة مصادر توليد) لتأمين التيار الكهربائي مؤلفة من وحدة ضوئية كهربائية (PV)، ومولد تيار للطوارئ (محرك ديزل ومولد)، ومحطة رياح.



يمكن ربط وحدات PV- مع منشآت توليد طاقة أخرى مثل محطات التدفئة وتوليد الكهرباء ومجموعات الطوارئ لتوليد الكهرباء ومحطات الرياح. بين الشكل (20.10) مخطط وصل محطة هجينة (hybrid). يتم توليد الطاقة الكهربائية في مولد شمسي أو في محطة رياح أو بواسطة محرك ديزل مع مولدة. تصبح المنشأة كاملة بإضافة بطارية تخزين وموَج للتيار وشبكة للتوزيع. كما بين الجدول (9.10) المواصفات الفنية لهذه المنشأة.

**الجدول 9.10:** المواصفات الفنية للمنشأة الهجينة لتأمين الكهرباء لمحطة معالجة مياه المجاري (في ألمانيا).

الوصف	القيمة
1. مولد PV من النوع PQ10/40	40 قطعة
39 متعدد البلورات	
الاستطاعة الأعظمية	140 kW
2. موج تيار	اثنا كل منهما 80 kVA
3. محطة الرياح	
الاستطاعة الاسمية	250kW
الدوّار (rotor)	ثلاث شفرات بفطر 25m، مادة الأجنحة GFK
ارتفاع البرج	27.3 m
4. محطة التدفئة وتوليد الكهرباء	محرك M102- Daimler-Benz
الاستطاعة الاسمية	30 kW (كهربائية) و 60 kW (حرارية)
الوقود	غاز حيوي (biogas)

### الجميل الشمسية

يجري في الجمل الشمسية تحويل الإشعاع الشمسي إلى طاقة كهربائية، وهي تتألف من عدة خلايا شمسية متصلة بجمعة ضمن مادة بلاستيكية مرنة. لحماية الجملة الشمسية من التأثيرات الخارجية يوضع على وجهها الأمامي غطاء زجاجي شديد الشفافية وعلى الجانب الخلفي توضع علبه وصل كتيمة ضد الماء. أما الإطار فهو مصنوع من الألومنيوم المقاوم للصدأ.

المواصفات الكهربائية لجملة شمسية هي الاستطاعة العظمى  $P_{max}$ ، تيار القصر  $I_{sc}$ ، توتر (جهد) العمل بدون حمل  $U_{oc}$  بالإضافة إلى التيار  $I$  والتوتر (الجهد) في حالة التحميل.

على سبيل المثال فإن المواصفات الفنية للجملة الشمسية M 55 ذات خلايا السيليسيوم الشمسية التي عددها 36، إنتاج شركة سيمنس كما يلي:

$$U = 17.4 \text{ V}, I = 3.05 \text{ A}, U_{oc} = 21.7 \text{ V}, I_{sc} = 3.4 \text{ A}, P_{max} = 53 \text{ W}$$

أما الأبعاد والوزن فهي:

$$5.7 \text{ kg و } 1293 \times 330 \times 36 \text{ mm}$$

تتكون الجملة الشمسية المؤلفة من خلايا ذات الطبقة الرقيقة من حامل زجاجي، وخلايا شمسية غير منتظمة (لابلورية) تتوضع على طبقة أكسيد الزنك الجيدة الناقلية بالإضافة إلى غطاء زجاجي، وعلى الجانب الخلفي ثمة طبقة ناقلة وتماسات كهربائية مع مرس كهربائي (كابل). تحاط هذه الجملة بإطار بلاستيكي (PUR) يغلفها.

للجملة الشمسية ذات الطبقة الرقيقة T 25 الأبعاد التالية  $1321 \times 365 \times 23 \text{ mm}$  ومواصفاتها الفنية كما يلي:

$$U = 15 \text{ V}, I = 1.7 \text{ A}, U_{oc} = 23 \text{ V}, I_{sc} = 2.1 \text{ A}, P_{max} = 25 \text{ W}$$

#### المدخرات (البطاريات)

تتعلق استطاعة الطاقة الكهربائية المولدة بالمولد الشمسي مباشرةً بشدة الإشعاع الشمسي، ولكن استهلاك الطاقة يختلف عادةً عن مقدار الطاقة المتاحة. لموازنة هذه الفروق تستخدم بطارية تخزين. تتلقى البطارية فائض الطاقة الكهربائية في أوقات ارتفاع شدة الإشعاع الشمسي وتخزنها ثم تعيدها ثانية إلى المستهلك في أوقات انخفاض شدة الإشعاع الشمسي.

تستخدم في منشآت PV- التي تزيد استطاعتها على 10 W مدخرات رصاصية، تتألف من سلسلة من صفائح الرصاص في خزان يحوي حمض الكبريت الممدد. عندما تكون المدخرة مشحونة يكون القطب السالب من الرصاص والقطب الموجب من أكسيد الرصاص. تستخدم للأجهزة الصغيرة بطاريات قابلة للشحن ثانية مصنوعة من النيكل والكاديوم (Ni-Ca).

وتبعاً لاستطاعة المستهلك المطلوبة تقع سعة مدخرات التخزين السائدة الاستعمال بين 40 و 280 Ah. تتألف دورة المدخرة من عملية شحن وعملية تفريغ. تُنسب السعة الاسمية لمدخرة C إلى فترة تفريغ محددة  $t_c$  ذات تيار تفريغ محدد  $I_c$ .

من أجل الطاقة التي تستطيع المدخرة تخزينها بتوتر U تنطبق العلاقة:

$$E_{sb} = C U = I_c t_c U \quad [\text{Wh}] \quad (44.10)$$

على سبيل المثال تخزن بطارية سعتها 200 Ah توتراً قدره 12 V وقدره  $2400 \text{ Wh} = 12 \times 200$ . ولضمان العمر الأطول (5 أعوام) للمدخرة يجب تجنب حالات زيادة الشحن أو تناقصه الشديد (تفريغ المدخرة).

يبلغ التوتر الاسمي للمدخرة رصاصية 2 V لكل خلية. ويمكن الحصول على السعة المطلوبة والتوتر للمدخرة عن طريق الوصل التسلسلي أو التفريعي. تتألف المدخرة 12 V من 6 خلايا موصولة على التسلسل ومتوضعة في علبة. والبطاريات الكبيرة ذات 6 V تحوي ثلاث خلايا فقط. من أجل سعة أكبر من 200 Ah تستخدم خلية واحدة.

يقوم منظم الشحن للمدخرة بعملية وقايتها من زيادة الشحنة لتجنب توتر تصاعد الغازات (gasing) ولتحاشي التفريغ الشديد إلى ما دون حدود معينة (مثلاً 10.5 V) والوقاية من التيار العكسي وذلك لتفادي سريان تيار من البطارية إلى الجملعة الشمسية عند حلول الظلام.

يُستخدم محول التوتر لتشغيل أجهزة ذات توترات أخرى. تستخدم في الأجهزة ذات التيار المستمر محولات التوتر المستمر (محول DC/DC) بمردود 80 %. أما أجهزة التيار المتناوب فيمكن وصلها عبر مُمَوِّج تيار بمردود 70 إلى 85 % في مدخرة ذات 12 V أو 24 V.

لضمان توفير التغذية الكهربائية بشكل أفضل يستخدم إلى جانب منشأة PV مجموعة توليد مؤلفة من محرك احتراق داخلي ومولدة تقوم بتوفير التيار اللازم ويشحن المدخرة.

### 4.3.10 تصميم المنشأة الكهروضوئية (PV)

#### موازنة الطاقة

لموازنة الطاقة في منشأة PV مستقلة، تتألف من مولد شمسي، ومنظم (مُحوِّج Inverter)، ومدخرة ومولد مع محرك ديزل وحمولة وذلك عبر فترة استخدام معينة تنطبق العلاقة:

$$E_G + E_{sb} + E_D - E_v = E_L \quad [J] \quad (45.10)$$

حيث:  $E_G$  الطاقة الكهربائية المولدة من المولد الشمسي

$E_{sb}$  الطاقة المحولة في المدخرة

$E_D$  الطاقة الكهربائية المستحقة من مولد محرك الديزل

$E_{los}$  الاستهلاك الذاتي للطاقة وضياعات الطاقة للمنظم والمدخرة.

$E_L$  الطاقة الكهربائية المستهلكة (الحمولة).

تستخدم المعادلة (45.10) لحساب الاستطاعة المقابلة  $P$ . تحسب كميات الطاقة بالمكاملة للاستطاعات الموافقة خلال الأوقات المقابلة  $t$ .

وبالتالي فالطاقة المقدمة من قبل المولد الشمسي خلال الفترة  $t$  هي:

$$E_G = A_G I_{sol} \eta_G t \quad [J] \quad (46.10)$$

حيث:  $A_G$  مساحة سطح الخلايا الشمسية الإجمالية [ $m^2$ ]

$I_{sol}$  شدة الإشعاع الشمسي الآتية أو الوسطية [ $W/m^2$ ]

$\eta_G$  المردود الآتي أو الوسطي للمولد الشمسي

$T$  الفترة الزمنية [s].

يراعي المردود  $\eta_G$  للمولد الشمسي بالإضافة إلى ضياعات التحويل في منشأة PV، ضياعات طاقة الإشعاع الشمسي إلى الوسط المحيط.

تُحسب سعة تخزين الطاقة للمدخنة مقدرة بالواط الساعي عن طريق العجز (النقص) في الطاقة الكهربائية الذي يمكن أن ينشأ خلال فترة تصميمية محددة.

ويُحسب حجم المولد الشمسي بدون ادخار طاقة عن طريق معرفة استهلاك الطاقة خلال فترة تفريغ محددة.

### مساحة سطح الخلايا الشمسية

يستخدم لتحديد فترة التصميم  $t$  (عمر الخلية الشمسية) مدة الاستقلال الذاتي  $t_a$  (الفترة الزمنية التي تتكرر بعدها عملية توليد الطاقة للمولد الشمسي واستهلاكها). تُحسب المساحة اللازمة للخلايا الشمسية من أجل قيمة معينة لـ  $t_a$  ولإستهلاك معين للطاقة ( $E_L$ ) كما يلي:

$$A_G = E_L / \eta_G I_{sol} t_a \quad [m^2] \quad (47.10)$$

### كسب الطاقة السنوي

لحساب الإنتاج السنوي للطاقة في منشأة PV- ندخل مفهوم عامل الجودة  $Q$ :

$$Q = P_a / P_n \quad (48.10)$$

حيث:  $P_a$  الاستطاعة الفعلية الوسطية لمنشأة PV- و  $P_n$  الاستطاعة الاسمية.

وبين الجدول (10.10) قيم  $Q$ .

لحساب الكسب السنوي للطاقة تستخدم العلاقة التالية:

$$E_{cl} = E Q P_{\max} / I_{sol} \quad [\text{kWh/a}] \quad (49.10)$$

حيث:  $E$  المجموع السنوي للإشعاع الإجمالي على  $1 \text{ m}^2$  من سطح المولد الشمسي  $[\text{kWh/m}^2\text{a}]$   
 $Q$  عامل الجودة

$P_{\max}$  الاستطاعة الأعظمية للمولد الشمسي الكهربائي  $[\text{kW}]$

$I_{sol}$  شدة الإشعاع الشمسي عند الشروط الاسمية أي  $1 \text{ kW/m}^2$ .

**الجدول 10.10:** عوامل الجودة للأنواع المختلفة من المنشآت الضوئية الكهربائية وعناصرها.

العناصر / الجملة	Q
الجملة الشمسية، المولد الشمسي، منشآت PV- المستقلة	0.88-0.8
— بدون مولد إضافي	0.4-0.1
— مع مولد إضافي	0.6-0.4
المنشأة التي توصل بالشبكة	0.73-0.6

تصل قيم الكسب في الطاقة إلى ذروتها في المنشآت الضوئية (منشآت PV-) الموصولة بالشبكة. كذلك يجب مراعاة الضياعات الحرارية التالية: ضياعات الموائمة أثناء تغليف الجملة الشمسية والضياعات الأومية الحرارية في التمديدات (الكوابل) والضياعات في المنظمات (كل منها تبلغ 2%)، والضياعات في موجات التيار (10 إلى 15 %).

يتراوح الإنتاج السنوي للطاقة في منشأة PV ذات خلايا سيليسيوم شمسية، منسوبة إلى  $1 \text{ kW}$  للاستطاعة الأعظمية، بين حوالي  $1000 \text{ kWh/a}$  لكل  $\text{kW}$  في الشمال (في مدينة هامبورغ الألمانية) و  $1120 \text{ kWh/a}$  لكل  $\text{kW}$  في الجنوب (Weihenstephan).

### 5.3.10 الاستخدام والاعتبارات الاقتصادية

#### حجم الإنتاج باستخدام منشآت PV

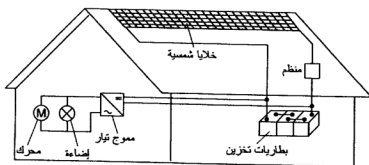
بلغ حجم الإنتاج العالمي المتاح عام 1990 باستخدام منشآت PV مقدار  $67.6 \text{ MW}$ ، منها  $48 \text{ MW}$  في البلدان الصناعية و  $19.6 \text{ MW}$  في البلدان النامية. أما الإنتاج العالمي لمنشآت PV فقد بلغ  $49 \text{ MW}$ ، والاستطاعة الكلية المركبة  $46.5 \text{ MW}$ ، منها  $17.7 \text{ MW}$  في البلدان الصناعية و  $28.8 \text{ MW}$  في البلدان النامية. وبيع عام 1991 في العالم من المولدات الشمسية ما استطاعته  $20 \text{ MW}$ ،

منها 40 % من الصناعة الأمريكية (USA) واليابانية 33 %، والأوروبية 19 %، ومن الصناعة الألمانية 7 %.

تختلف مجالات استخدام PV بحسب الاستطاعة، والوصل بالشبكة والغرض من الاستخدام. تغطي حمل PV المستقلة والموصولة بالشبكة العديد من الاستخدامات بدءاً من الأجهزة الصغيرة (الخلايا الشمسية اللابلورية في الآلات الحاسبة والساعات) حتى مجال الاستطاعات الصغيرة وصولاً إلى مجالات الاستطاعة المتوسطة التي تبلغ 50 W حتى 5 kW ومن 100 kW حتى بضعة ميغاواط. تستخدم منشآت PV المستقلة التي تتراوح استطاعتها بين 50 و 5 kW للمشاريع المستقلة (البيوت، محطات، الإرسال والإذاعة، الإنارة، مضخات الماء... إلخ).

تحتاج منشآت PV المركبة على السقف لأجل التغذية اللامركزية (المحلية) للمنازل السكنية استطاعة تبلغ حتى 5 kW. يمكن استخدام منشآت PV في البلدان ذات السطوع الشمسي الطويل (جنوب أوروبا مثلاً)، وفي مجال الزراعة لتأمين مياه الشرب وللري والتبريد وتزويد القرى بالكهرباء... إلخ.

تم في الولايات المتحدة ومنذ عام 1983 إنشاء وتوسيع عدة منشآت PV (قسم منها بالاعتماد على الجمل الشمسية ذات المرايا الدوارة)، ويمكن اعتبارها وفقاً لاستطاعتها — مخطط حتى 100 MW — محطات توليد كهرباء بالطاقة الشمسية. أنشئت في عام 1984 منشأة PV في Carrisa Plains (كاليفورنيا — USA) تحوي 754 مرآة دوارة عاكسة يتألف كل منها من 100 m<sup>2</sup> من الخلايا الشمسية وباستطاعة أعظمية قدرها 6.5 MW. ومن المزمع توسيعها لتصبح استطاعتها 16 MW باستخدام الخلايا الشمسية الترادفية (tandem).



الشكل 21.10 : تغذية منزل بالتيار الكهربائي باستخدام المنشأة PV.

تزود هذه المحطة الموصولة بالشبكة العامة 2300 منزلاً بالتيار الكهربائي. أما في البلدان الصناعية الفقيرة بالشمس فتستخدم المولدات الشمسية للبيوت البعيدة المنعزلة (للإنارة والبراد والعدة والراديو) وكذلك للقوارب، والمنارات وأجهزة الإرسال العامة وإشارات المرور وأنفاق المرور. أما في البلدان النامية فتستخدم المولدات الشمسية بالدرجة الأولى لمضخات المياه وللمشافي (الإنارة — التلفون)، وللقرى وللمزارع (تشغيل أجهزة التبريد) ولتحلية المياه ولإشارات المرور، وبين الشكل (21.10) تغذية بيت مستقل بالتيار الكهربائي. تبلغ استطاعة مولد شمسي في ألمانيا 300 kW وهو موجود في جزيرة تقع شمال ألمانيا (Pellworm).

#### تغذية مضخات الماء بواسطة الخلايا الشمسية

إن مجال استخدام الخلايا الكهروضوئية لتشغيل مضخات الماء يغطي المجال الواقع بين المضخات اليدوية والمضخات ذات محرك الديزل. عادة تكون الاستطاعة القصوى للمولد الشمسي في هذه الأحوال بين بضع عشرات الواط و 10 kW. يكون التدفق للماء ضمن المجال من 1 حتى 40 m<sup>3</sup>/h وارتفاع الضخ بين 2.5 و 120 m. تعمل عادة هذه المنشآت بتوتر PV بدون مدخرات، وفقاً للمضخة المغذاة يكون توتر التيار المستمر بين 12 و 560 V والتيار المتناوب بين 60 و 380 V، ويمكن استخدام الأنواع المختلفة من المضخات (غاطسة، عائمة، ذات محور أسي، ذات امتصاص ذاتي). كذلك يمكن، أسوةً بالمجمعات الشمسية، تركيب المولدات الشمسية بطرق مختلفة (على السقف، على حوامل، المرايا الدوارة العاكسة... إلخ). ينبغي تجنب ارتفاع درجة الحرارة دوماً تحاشياً لضيعات الاستطاعة غير المبررة. يمكن ربط منشأة PV لتأمين التيار الكهربائي بشكل مشترك مع منشأة شمسية لتأمين الماء الساخن في جملة لا مركزية (محلية).

#### اقتصادية حمل PV

بسبب شدة الإشعاع المنخفضة وانخفاض مردود الخلايا الشمسية فإن السطح اللازم كبير. لموازنة توزع الأشعة الساقطة فإن من الضروري تخزين الطاقة في معظم الاستخدامات. إن ارتفاع تكاليف التركيب لمنشآت PV تجعل التكاليف الاستثمارية لهذه المنشآت تبلغ 15 إلى 27 DM لكل واط من الاستطاعة الأعظمية. أما تكاليف إنتاج الكهرباء فتقع حالياً بين 1.2 DM/kWh لمنشآت PV الموصولة بالشبكة والتي استطاعتها 20 kW وإلى حوالي 4.5 DM/kWh للمنشآت ذات المدخرات التي استطاعتها 0.5 kW.

زمن اهتلاك الطاقة (energy amortisation) لمنشأة PV هو الزمن اللازم لإنتاج الكمية من الطاقة التي تغطي الطاقة التي صرفت عند صنع المنشأة وتركيبها، وهي تتراوح بين أربع وسبع سنوات لخلايا السيليسيوم البلورية وبين 3 و 5 سنوات للخلايا الشمسية اللابلورية. عامل (الإنتاج) لمنشأة PV هي النسبة بين كمية الطاقة الإجمالية المولدة طول عمرها إلى الطاقة المستهلكة في صنعها وتركيبها.

إن الحاجة إلى المنشآت ذات الخلايا الشمسية لتوليد الكهرباء كبيرة على مستوى العالم، وهي قابلة للاستخدام في تأمين الطاقة المحلية للمشاريع البعيدة المعزولة وفي المناطق المناخية المختلفة. ولكن بسبب التكاليف العالية فإن التوليد المركزي للكهرباء في محطات توليد الكهرباء الشمسية سيظل ولفترة طويلة قادمة غير اقتصادي.

#### محطات توليد الكهرباء على الأقمار الصناعية والليزر الشمسي (SOLASER)

التصورات المستقبلية هي استخدام محطات توليد الكهرباء على الأقمار الصناعية والليزر الشمسي. سيتم في محطات الكهرباء الفضائية توليد الكهرباء بطريقة PV على أقمار صناعية في الفضاء وعلى مدار الأرض بواسطة مولدات شمسية ذات مساحات كبيرة. سيتم تحويل الطاقة المولدة إلى طاقة موجات قصيرة جداً (micro wave) وستُرسل إلى الأرض حيث ستستقبلها هوائيات مساحتها بضع كيلو مترات مربعة. أما في مشروع الليزر الشمسي (SOLASER) فسيتم وضع ليزر غازي هائل في مدار الأرض. تُحوّل الأشعة الشمسية المركزة بواسطة المرآة عن طريق الليزر إلى طاقة ذات موجة وحيدة الطول. وسترسل استطاعة قدرها 100 MW في حزمة إشعاعات قطرها 20 إلى 100 m إلى الأرض.

#### مثال 4.10

كم يجب أن تكون مساحة سطح المولد الشمسي لمحطة كهرباء قمر صناعي استطاعتها  $P_{el} = 100 \text{ MW}$  ؟

مردود التحويل المباشر للطاقة الشمسية إلى تيار كهربائي هو  $\eta = 11\%$ .

الحل

تسقط على مولدات الأقمار الصناعية إشعاعات خارج الأرض (extraterrestrial) التي تبلغ شدتها الوسطية قيمة مساوية للثابت الشمسي  $I_{sc} = 1367 \text{ W/m}^2$



فالمساحة اللازمة للمولد الشمسي تنتج كما يلي:

$$\begin{aligned} A = P_{\text{el}} / \eta_{\text{isc}} &= 10^8 \text{ W} / (0.11 \times 1367 \text{ W/m}^2) \\ &= 665026 \text{ m}^2 \end{aligned}$$



## 11 الطاقة المائية، طاقة الرياح، طاقة باطن الأرض الحرارية، الكتلة الحيوية

### 1.11 محطات التوليد الكهرمائية\*

#### مساهمة المحطات المائية في توليد الكهرباء

يصل الاحتياطي العالمي لطاقة المياه الجارية على الأرض ما يعادل توليد طاقة كهربائية مقدارها  $36 \times 10^{12}$  kWh في العام الواحد، أما الطاقة التي يمكن الاستفادة منها فهي تعادل حوالي  $11 \times 10^{12}$  kWh/a. ويُؤَدّ في الوقت الحاضر بواسطة المحطات المائية  $2.04 \times 10^{12}$  kWh كهرباء سنوياً (عام 1987). بلغت مساهمة المحطات المائية في توليد الكهرباء عام 1984 كما يلي: في النرويج 99.7 %، البرازيل 94 %، كندا 66 %، النمسا 69 %، سويسرا 62 %، الولايات المتحدة (USA) 13 %، الاتحاد السوفيتي السابق 14 %، ألمانيا 4.6 %.

#### الاستطاعة المفيدة

تُستَمرّر في المحطات المائية الطاقة الحركية للماء، والتي تنشأ من الطاقة الكامنة للموقع عند جريان المياه بين ارتفاعات مختلفة. تتعلق الاستطاعة المفيدة للمحطة المائية: بتدفق الماء في العنفة وبارتفاع السقوط ويصبح:

$$P_u = g V \rho H \eta_T \eta_G \eta_{Tr} = g V \rho H \eta_e \quad [W] \quad (1.11)$$

حيث:  $g$  التسارع الأرضي ( $9.81 \text{ m/s}^2$ )

$V$  التدفق الحجمي للماء في العنفة [ $\text{m}^3/\text{s}$ ]

$\rho$  الكتلة النوعية للماء [kg/m<sup>3</sup>]

$H$  ارتفاع السقوط المجدي [m]

$\eta_T$  مردود العنفة (0.85-0.95)

$\eta_G$  مردود المولد (0.95-0.99)

$\eta_{Tr}$  مردود المحوِّلة (0.92-0.98)

$\eta_e$  المردود الفعّال للمحطة المائية.

وتبعاً للاستطاعة  $P_u$  ثمة محطات صغيرة (حتى 10 kW) ومتوسطة (حتى 100 MW) وكبيرة (فوق 100 MW). أكبر ثلاث محطات مائية في العالم هي: محطة Itaipu في البرازيل/الباراغوي باستطاعة 12.6 GW، محطة Grand Coulee في الولايات المتحدة الأمريكية باستطاعة 10.83 GW، محطة Guri في فنزويلا باستطاعة 10.3 GW. تقسم المحطات المائية إلى: محطات ذات ضغط منخفض، وفيها يصل ارتفاع السقوط إلى 10 m ومحطات ذات ضغط عالٍ يكون ارتفاع السقوط فيها أكبر من 100 m.

### مثال 1.11

ما هي الاستطاعة المفيدة لعنفة بلتون (Pelton) عندما يكون تدفق الماء الحجمي  $V = 70 \text{ m}^3/\text{s}$  والمردود الفعلي  $\eta_e = 0.82$ ؟  
يُساق الماء من ارتفاع  $H = 300 \text{ m}$  إلى العنفة. الكتلة النوعية للماء  $\rho = 1000 \text{ kg/m}^3$ .

*الحل*

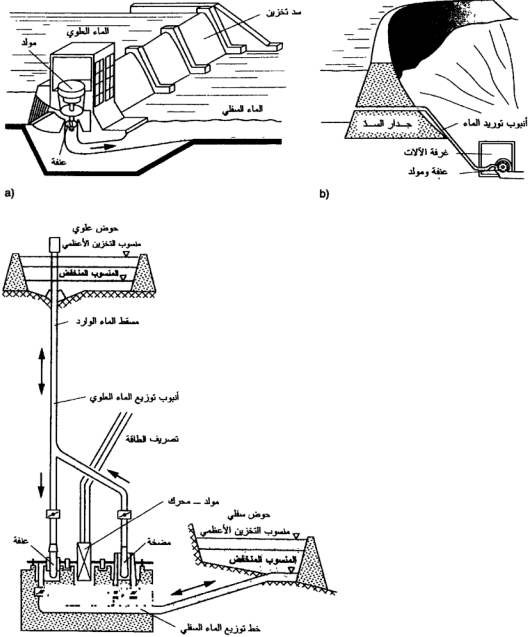
نحسب الاستطاعة المفيدة للعنفة وفق المعادلة 1.11 كما يلي:

$$P_u = g V \rho H \eta_e$$
$$= 9.81 \text{ m/s}^2 \times 70 \text{ m}^3/\text{s} \times 1000 \text{ kg/m}^3 \times 300 \text{ m} \times 0.82 = 168.9 \text{ MW}$$

### أنواع المحطات المائية

تقسم المحطات المائية إلى: محطات المياه المناسبة (الجارية) ومحطات المياه المخزنة والمحطات ذات التخزين بالضغط (Pumped-Storage Power Plants).  
والشكل (1.11) من a إلى c يبين مبدأ عمل هذه المحطات.

تُنشأ محطات المياه الجارية على الأنهار أو الجداول (الأنهار الصغيرة) وتتميز بكميات مياه كبيرة، ولكن ذات الانحدار القليل.



الشكل 1.11 : مبدأ عمل: (a) محطات المياه الجارية، (b) محطات المياه المخزنة، (c) المحطات ذات التخزين بالضغط.

تمتاز محطات المياه المخزنة بالتدفقات القليلة للماء وبفروق الارتفاع الكبيرة جداً والتي تتحقق بواسطة بحيرات وتشكل خلف السدود، حيث تستطيع بحيرة السد تخزين الماء خلال فترات طويلة. تستخدم المحطات الكهرمائية ذات المياه المخزنة لتغطية حمولات الذروة وكذلك للحمولة الأساسية. إن تخزين الطاقة الكامنة للماء هو الطريقة الأنسب من ناحية التكاليف والأكثر رفقاً بالبيئة إذا أريد تخزين الطاقة. أما المحطات ذات التخزين بالضخ فتستخدم لتغطية حمولات الذروة وكاحتياطي آني لتوليد الكهرباء (عند خروج محطة توليد كهرباء حرارية تغطي الحمل الأساسية من الخدمة)، إذ أن زمن وصلها وتشغيلها قصير لا يتجاوز الدقيقة الواحدة.

محطات المياه المخزنة والمحطات ذات التخزين بالضخ هي منشآت ذات ضغط عالٍ. يبين الجدول (1.11) معطيات الاستطاعة لأكبر محطات المياه المخزنة في العالم.

الجدول 1.11: معطيات الاستطاعة لأكبر محطات المياه المخزنة في العالم.

الاستطاعة [MW]	المحطة المائية
12600	Itaipu (البرازيل، نهر Parana)
10830	Grand Coulee (الولايات المتحدة، نهر كولومبيا)
10300	Guri (فنزويلا، نهر Caroni)
6400	Sajano-Schuschenskaja GES (روسيا، نهر Jenissei)
6000	krasnojarskaja GES (روسيا، نهر Jenissei)

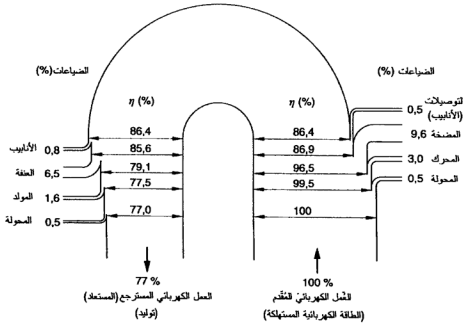
تتألف المحطة ذات التخزين بالضخ من عدة مجموعات عنفات ومعدات ضخ وأنابيب الضغط المرتفع وحوضين للتخزين (حوض علوي وآخر سفلي). يتراوح ارتفاع السقوط في محطات التخزين بالضخ العاملة في الوقت الحاضر في العالم بين 50 و 1120 m. تستخدم الطاقة الكهربائية الفائضة والمولدة في محطات تغطية الحمل الأساسية في أوقات انخفاض الحمل لضخ الماء إلى الحوض العلوي، ولتغطية حمولة الذروة تستخدم الطاقة الكامنة للماء المخزن في توليد الكهرباء في مجموعة العنف. يبين الشكل (1.11) أحد أشكال طريقة بناء محطة مائية ذات التخزين بالضخ. تستخدم في هذه الطريقة لبناء المحطة (التقليدية) آلتان منفصلتان هما العنف والمضخة حيث تركبان على نفس المحور مع الآلة التزامنية (Synchronous machine) التي تعمل كمولد أو محرك. هناك نوعان آخران من المحطات المائية ذات التخزين بالضخ. بعكس النوع الأول تستخدم هنا عنفة — مضخة قلوية (عكوسة) مع الآلة التزامنية.

الجدول 2.11: معطيات الاستطاعة لمحطات مخزنة ذات تخزين بالضخ.

الخطوة	الاستطاعة [MW]	ارتفاع السقوط [m]	عدد المجموعات
العنفات	المضخات		
(USA) Bath Country	2100	360	6
(USA) Ludingtow	1755	110	6
Dinorwig (بريطانيا)	1620	535	6
(USA) Raccoon	1530	320	4
Shinu Takase-gawa (اليابان)	1280	265	4
Grand Maison (فرنسا)	1220	955	8
Oku-Toshino (اليابان)	1210	515	6
Zakorsk (روسيا)	1200	1120	6
Piastra (إيطاليا)	1280	1070/610	9
Wehr/Hornberg (ألمانيا)	960	660	4

يبين الجدول (2.11) المواصفات المتعلقة باستطاعة المحطات المائية ذات التخزين بالضخ الأكبر في

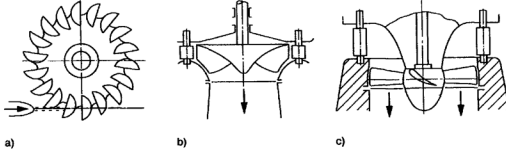
العالم.



الشكل 2.11 : مخطط تدفق الطاقة لمحطة الطاقة المائية ذات التخزين بالضخ.

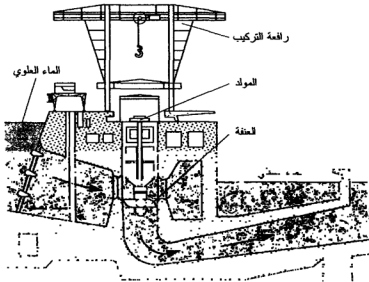
يصل مردود المحطة المائية ذات التخزين بالضخ، أي النسبة بين الطاقة الكهربائية التي تم كسبها والطاقة الكهربائية المستخدمة، إلى 75 % وأكثر.

في ألمانيا تبلغ استطاعة المحطات المائية ذات التخزين بالضخ GW 2.65. بين الشكل (2.11) مخطط تدفق محطة الطاقة ذات التخزين بالضخ. من العمل الكهربائي المستهلك لتشغيل المضخة يستعاد 77 % فقط (عادة بين 65 و 78 %) في مجموعة التوليد.



الشكل 3.11 : رسم تخطيطي لأنواع العنفات المائية (a) العنفة المماسية (عنفة بلتون)، (b) العنفة القطرية (عنفة فرنسيس)، (c) العنفة المحورية (عنفة كابلان).

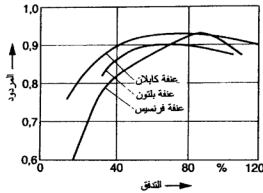
أنواع العنفات المائية المستخدمة مبينة في الشكل (3.11) بشكل تخطيطي. تصنع العنفات المماسية (عنفات بلتون) لارتفاعات السقوط بين 300 و 2000 m وللاستطاعة حتى MW 300. أما العنفات القطرية (عنفات فرنسيس) فتستخدم لارتفاعات السقوط من 40 حتى 700 m والاستطاعة حتى MW 1000 وبقطر للدولاب الدوار يصل إلى 11 m. أما العنفات المحورية (عنفات كابلان) فتتخذ من أجل استطاعات حتى MW 200.



الشكل 4.11 : مقطع في محطة مياه جارية ذات عنفات كابلان.



وبين الشكل (4.11) مقطعاً في محطة مياه جارية ذات عنفة كابلان، أما الشكل (5.11) فيبين تغير مردود العنفات المائية مع الحمولة.



الشكل 5.11 : تغير المردود مع تدفق الماء (a) العنفة المماسية (بلتون)، (b) العنفة القطرية (فرنسيس)، (c) العنفة/المحورية (كابلان).

وفي المحطات المسماة بـ "الجليدية" يُستخدم الماء المتجمد المخزن لتوليد الكهرباء، وتقدر الطاقة الكامنة الممكنة الاستفادة منها في العالم بهذه الطريقة بين 0.1 و  $4.10^{12}$  kWh/a.

## 2.11 محطات توليد الكهرباء باستخدام طاقة الرياح (محطات الرياح)

استطاعة الرياح في واحدة المساحة (كثافة استطاعة الرياح)  
طاقة الرياح هي الطاقة الحركية لجريان الهواء، واستطاعة الرياح في واحدة المساحة  $p_w$  (كثافة الاستطاعة) هي:

$$(2.11) \quad P_u = P / A = 1/2 g_a w^2 = 1/2 \rho_a w^3 \quad [\text{W/m}^2]$$

حيث:  $P$  استطاعة الرياح

$A$  المساحة المرجعية (عمودية على اتجاه الرياح)  $[\text{m}^2]$

$g_a$  كثافة التدفق الكتلي للهواء لكل  $\text{m}^2$  من المساحة المرجعية  $[\text{kg/m}^2\text{s}]$

$w$  سرعة الرياح  $[\text{m/s}]$

$\rho_L$  الكتلة النوعية للهواء  $[\text{kg/m}^3]$ .

تزداد سرعة الريح مع الارتفاع عن سطح الأرض، وعند سرعات وسطية للريح 3 أو 6 أو 9 m/s (مقاسة على ارتفاع 10 m عن سطح الأرض) تبلغ كثافة الطاقة  $p_a$  القيم 16.27 أو 130.14 أو 439.22 W/m<sup>2</sup>. هذه القيم تقابل كتلة نوعية للهواء  $\rho_a = 1.205 \text{ kg/m}^3$  عند الدرجة 20°C والضغط 1.013 bar.

ونظراً للقيمة المتدنية لكثافة الطاقة فإن المساحات اللازمة لإنشاء محطات الرياح تكون كبيرة. تستخدم محطات الرياح فقط في المواقع ذات السرعة العالية للهواء على مدار العام  $w$ . في ألمانيا تتمتع المناطق القريبة من الشاطئ (شمال ألمانيا) بسرعة رياح  $w$  أكبر من 6 m/s. وفي الجبال الوسطى (أعلى من 1000 m) تتراوح قيمة  $w$  بين 4 و 5 m/s. ومنذ عام 1992 فقد تم في ولاية (Brandenburg) تركيب أكثر من مئة محطة رياح.

### أنواع محطات الرياح

يبين الشكل (6.11) أنواع محطات الرياح بشكل تخطيطي مبسط. تتألف محطة الرياح الحديثة (وفقاً للشكل 7.11) ذات المحور الأفقي من عنفة هوائية ذات ثلاثة أجنحة (شفرات) أو جناحين (دوّار rotor) مع مولد ومحور وعلبة سرعة وتجهيزات للتحكم والتشغيل.

تقسم محطات الرياح وفقاً لاستطاعتها إلى الفئات التالية:

- محطات الرياح الصغيرة التي استطاعتها 10 إلى 50 kW وقطر دوّارها (rotor) 1 إلى 6 أمتار.
  - محطات الرياح المتوسطة، استطاعتها 50 إلى 500 kW وقطر دوّارها (rotor) 16 إلى 50 m.
  - محطات الرياح الكبيرة، استطاعتها 500 إلى 5000 kW وقطر الدوّار 50 إلى 130 m.
- ويتراوح ارتفاع البرج بين قيمة قطر الدوّار وضعفها. وأكبر محطة رياح في أوروبا تعمل الآن في الدانمارك (Tjaereborg) واستطاعتها الكهربائية 2MW وقطر دوّارها 60 m.

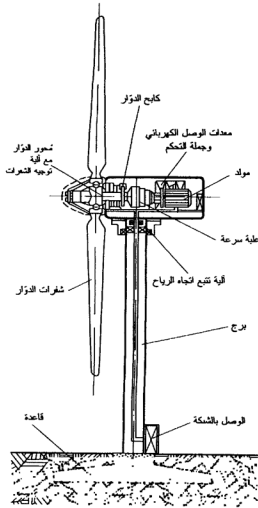
### تحديد استطاعة العنفة الهوائية

من معادلة العمل المتواصل (Continuity equation) فإن التدفق الكتلي للهواء عبر عنفة هوائية من أجل جريان غير قابل للانضغاط (أي باعتبار الكتلة النوعية للهواء مقدراً ثابتاً  $\rho_a = \text{const}$ ):

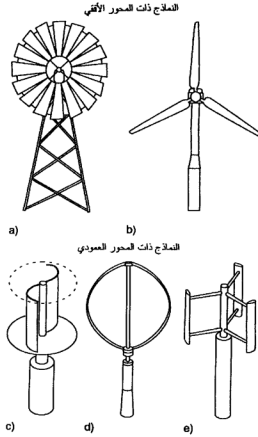
(3.11)

$$m = \rho_a A_1 w_1 = \rho_a A_2 w_2$$

حيث  $A_1$ ،  $A_2$  مساحة مقطع الجريان قبل العنفة الهوائية وبعدها  $w_1$ ،  $w_2$  سرعة الرياح قبل العنفة الهوائية وبعدها.



الشكل 7.11 : محطة رياح ذات محور أفقي.



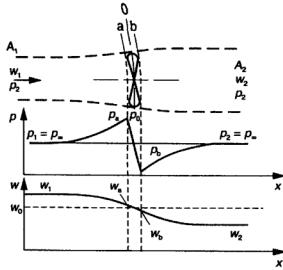
الشكل 6.11 : أنواع محطات الرياح (a) الدوارة البطيئة، (b) الدوارة السريعة ذات شفرة أو عناقط هوائية أميرية (c) دوارة سافوتينوس\* (d) الشفرتين أو الثلاث شفرات (e) دوارة ديروس.

يبين الشكل (8.11) تغيرات الضغط والسرعة عند الجريان عبر عنق هوائية. من معادلة برنولي يمكن حساب مركبة القوة المؤثرة على الدوار (rotor)، باتجاه حركة الجريان، وذلك بفرض أن الجريان يتم دون احتكاك وثابت الضغط ( $p_1 = p_2$ ):

$$(4.11) \quad F_2 = \rho_a (w_1^2 - w_2^2) / 2 \quad [N]$$

حيث:  $A$  مساحة سطح الدوار  $[m^2]$ .

\* مهندس فنلندي — المترجم



الشكل 8.11 : تغيرات الضغط والسرعة عند الجريان عبر عنفة هوائية.

وتنتج استطاعة العنفة الهوائية من الفرق بين استطاعة الريح قبل الدّوار وبعدها.

$$(5.11) \quad P_T = m (w_1^2 - w_2^2) / 2 \quad [W]$$

وعملياً تحسب استطاعة العنفة الهوائية كما يلي:

$$(6.11) \quad P_T = 0.5 C_p A \rho_a w^3 \quad [W]$$

حيث:  $C_p$  قرينة الاستطاعة

$w$  سرعة الريح [m/s].

#### قرينة الاستطاعة

من المعادلتين 5.11 و 6.11 ينتج أن قرينة الاستطاعة  $C_p$  هي النسبة بين الاستطاعة في واحدة المساحة للدوار  $P_T = P_T / A$  والاستطاعة في واحدة المساحة للريح، وهي تحسب كما يلي:

$$(7.11) \quad C_p = 0.5 (1 + w_2 / w_1) (1 - w_2^2 / w_1^2)$$

يبين الشكل (9.11) قرينة الاستطاعة  $C_p$  لأنواع الدوارات المختلفة وعلاقتها برقم سرعة الدولاب  $\lambda = u / w$  (حيث  $u$  السرعة المحيطية للدوار و  $w$  سرعة الريح). تبلغ القيمة الأعظمية النظرية لـ  $C_p = 16/27 = 0.593$ . تصل قيمة  $C_p$  في دوار ذي شفتين إلى حوالي 0.45.

#### عزم الدوران

عند سرعة دوران  $n$  (s<sup>-1</sup>) للدوار فإن العزم المؤثر يبلغ:

$$(8.11) \quad M = P_T / 2 \pi n \quad [\text{N m}]$$

يُحسب عزم الدوران عند معرفة السرعة المحيطية وسرعة الدوران للدوار كما يلي:

$$(9.11) \quad M = P_T / \omega = P_T R / u = 0.5 C_p A P_a w^2 R / \lambda \quad [\text{Nm}]$$

حيث:  $P_T$  استطاعة العنفة الهوائية [W]

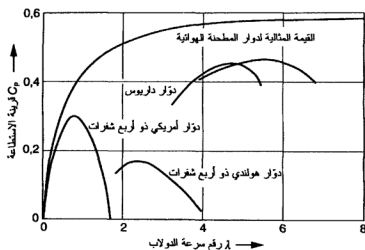
$\omega$  سرعة الدوران للدوار [ $\text{s}^{-1}$ ]

$R$  نصف القطر [m]

$u$  السرعة المحيطية للدوار عند نصف القطر  $R$  [m/s]

$w$  سرعة الرياح [m/s]

$\lambda$  رقم سرعة الدولاب ( $u/v$ ).



الشكل 9.11 : قرينة الاستطاعة  $C_p$  وعلاقتها برقم سرعة الدولاب  $\lambda$  للعنفة الهوائية (أنواع الدورات المختلفة).

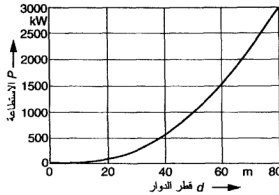
### التصميم

يبين الشكل (10.11) العلاقة بين قطر الدوار  $d$  واستطاعة العنفة الهوائية  $P$ . كما يبين الجدول

(3.11) القيم التصميمية لمخطة ربحية باستطاعة 600 kW.

إذا كان تصميم المنشأة يتضمن ثلاث شفرات مع محور صلب شفرات مع محور صلب، وكانت الشفرة مصنوعة من البوليستر المُقسَّى بخيوط زجاجية GFK، فيمكن الحصول على استطاعة مثلى

عدد المحمولات الدنيا للمنشأة. ونبين فيما يلي مواصفات محطة الرياح: الاستطاعة الاسمية 600 kW عند  $w = 14.5 \text{ m/s}$ ، سرعة الوصل 4.5 m/s، سرعة الفصل 25 m/s، سرعة التحمل (سرعة الرياح التي تتحملها المنشأة دون أن تنهار) 57 m/s.



الشكل 10.11 : استطاعة العنفة الهوائية وعلاقتها بقطر الدوار d.

يتم الانطلاق عند تصميم محطة الرياح من حوالي 2500 ساعة استفادة في العام في مواقع تبلغ السرعة الوسطية للرياح فيها 6 m/s.

الجدول 3.11: القيم التصميمية لمحطة الرياح AN BONUS 600 kW

الوصف	القيمة
1. قطر الدوار	41 m
عدد الشفرات	ثلاث مصنوعة من بوليستر مسلح بخيوط زجاجية GFK، الطول 19 m
عدد الدورات	$30 \text{ min}^{-1}$
تنظيم الاستطاعة	مستقر، مربوط ذو زاوية معايرة ثابتة
2. المولد	ترامبي (توافقي) (Synchronous)، 600 kW، 50 Hz، $1500 \text{ min}^{-1}$
3. علية السرعة	ثلاثية المراحل، نسبة التعشيق 1:50
الوصل بين المولد والمحور	وصل مرن
4. التحكم	حزمة ذات معالج صغير (microprocessor)
5. البرج	أنبوب فولاذي بارتفاع 40 m وارتفاع المحور 42.3 m

يتعرض توليد الطاقة في محطات الرياح لتغيرات كبيرة، وهذا يتطلب تنظيم سرعة الدوران والاستطاعة للمحطة. ثمة نوعان مستخدمان للتحكم: في النوع الأول تخفض سرعة الدوران بتقليل

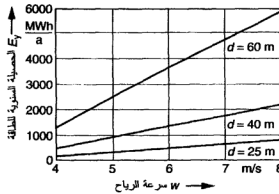
الهواء المندفع نحو رؤوس الشفرات (التحكم المستقر). وفي النوع الثاني تنخفض سرعة الدوران عن طريق تغير زاوية شفرات الدولاب الدوار (التحكم بالخطوة Pitch).  
يبين الجدول (4.11) المواصفات الفنية لمخطة رياح استطاعتها الكهربائية 500 kW.  
الجدول 4.11: مواصفات محطة ريحية باستطاعة 500 kW.

طبقة (نوع) العتفة الهوائية	500	1000	1500	2000
الاستطاعة الاسمية، kW	500	1000	1500	2000
السرعة الاسمية للرياح، m/s	13	15-14	5	15
سرعة الرياح عند الوصل/والفصل، m/s	25/4	25/3	25/4	21/3
قطر الدوار، m	40-36	55-53	65-63	60
عدد الشفرات	3/2	3/2	3	2
عدد دورات الدوار، min <sup>-1</sup>	30- 20	25-17	20-14	30
طريقة تقليل (التحكم) الاستطاعة	Pitch/stall	stall	Pitch/stall	stall
ارتفاع البرج/ والمحور m	50- 40	58	60	66

#### الحصيلة السنوية للطاقة

تتمدد الحصيلة السنوية للطاقة التي تنتجها محطة رياح (الإنتاج السنوي) عن طريق المقدرة على تقديم الاستطاعة النوعية  $e_p$ ، أي كمية الطاقة التي تُكسب في العام من كل 1 m<sup>2</sup> من سطح الدوار. تتراوح  $e_p$  وفقاً للسرعة الوسطية للرياح بين 250 و640 kWh لكل 1 m<sup>2</sup> من سطح الدوار خلال العام وذلك من أجل محطات الرياح الصغيرة والمتوسطة.

تبلغ الحصيلة السنوية للطاقة لمحطة رياح باستطاعة  $P_T = 175$  kW (قطر دوارها 25 m)  $E_p = 160$  MWh/a عند سرعة  $w = 4$  m/s و  $680$  MWh/a عند سرعة  $w = 8$  m/s. وبسبب ارتفاع سرعة الرياح عند الارتفاع عن سطح الأرض فإن المقدرة على تقديم الاستطاعة النوعية تزداد في المحطات الكبيرة لتصبح  $e_p = 1.5$  MWh لكل 1 m<sup>2</sup> في عام. لهذا فإن محطة رياح قطر دوارها 80 m، واستطاعتها 3 MW تكون الحصيلة السنوية التي تنتجها  $E_p = 2.7$  GWh/a عند  $w = 4$  m/s وتكون قيمة  $E_p = 11$  GWh/a عند  $w = 8$  m/s. وعندما يكون القطر 100 m ( $P_T = 5$  MW) يفترض أن تصل قيمة  $E_p$  إلى 4.5 GWh/a عند  $w = 4$  m/s و 19 GWh/a عند  $w = 8$  m/s. إن الحصيلة السنوية لطاقة محطة رياح  $E_p$  تابع لسرعة الرياح  $w$  وقطر الدوار  $d$  كما يبين ذلك الشكل (11.11).



الشكل 11.11 : الحصلة السنوية لطاقة محطة رياح وعلاقتها بسرعة الرياح  $w$  وقطر الدوار  $d$ .

في عام 1992 أنتجت 3440 عنفة مركبة في كافة أنحاء العالم مجموع استطاعتها 46 MW كمية 800 GWh/a من الطاقة كهربائية.

تتراوح أكبر القيم للاستطاعات الإفرادية بين 500 و 3200 kW. وقد اكتسبت العنفات الهوائية الدائمية شهرة واسعة، وهي تورد إلى كافة أنحاء العالم، وتعمل في الدائم منذ عام 1988 مزرعة ريحية (Wind Farm) فيها عنفتان استطاعة كل منهما 630 kW، وقطر الدوار 40 m بالإضافة إلى 5 عنفات استطاعتها 750 kW. أكبر عنفة هوائية في العالم هي MOD-5 ذات الاستطاعة الكهربائية 3.2 MW وقطر الدوار 98 m وضعت في الخدمة في هاواي عام 1987 وهي قيد العمل حتى الآن، وهذه العنفة تمثل الجيل الثالث من محطات الرياح. من محطات الجيل الثاني هناك عنفة استطاعتها 2 MW وقطر دورها 61 m في نورث كارولينا (USA) وأكبر محطات أوروبا (2 MW، قطر الدوار 60 W) في Tjaereborg (الدانمارك). يصل ما تولده محطة Taereborg من الكهرباء في العام إلى حوالي 3.4 GWh/a.

### التكاليف

تبلغ تكاليف محطة رياح باستطاعة 300 kW مبلغ 627 DM لكل 1 m<sup>2</sup> من سطح الدوار أو 1580 DM لكل 1 kW استطاعة، أما تكاليف التشغيل فتبلغ 0.006 إلى 0.008 DM/kWh. وبحسب الموقع يتراوح توليد الكهرباء السنوي من 500 إلى 600 MWh/a، وتكاليف التوليد 0.17 DM/kWh. تبلغ المساحة اللازمة للدوار من أجل كل 1 kW استطاعة حوالي 2.5 m<sup>2</sup>. كما تبلغ القيم الوسطية لـ 8 مزارع ريحية في إقليم Elsom (الدانمارك) كما يلي: 240 جهازاً، الاستطاعة الإجمالية: 42.7 MW، الاستطاعة الوسطية 178 kW، التكاليف الاستثمارية:



2100 DM/kW، التوليد السنوي النوعي للكهرباء 2005 kWh/a، تكاليف الطاقة المولدة 0.11 إلى 0.13 DM/kWh. يعتبر النموذج الأمثل للعنفات في الدائمارك باستطاعة 1 MW ويقطر للدوار قدره 50 m. ومن المزمع إجراء تطويرات بحيث تصبح الاستطاعة الإجمالية 1.5 MW بحيث يصل الإنتاج السنوي للكهرباء 3.5 GWh/a عام 2000 في الدائمارك\*. وسيمثل هذا 9.3 % من التوليد الإجمالي فيها.

### مثال 2.11

يُطلبُ حساب قطر الدوار لمخطة رياح استطاعتها 250 MW في موقع تبلغ السرعة الوسطية للرياح فيه  $w = 12 \text{ m/s}$ . قرينة الاستطاعة  $C_p = 0.43$  وفترة الاستخدام السنوية  $t_y = 2400 \text{ h/a}$ . كذلك يُطلبُ تحديد الاستطاعة على واحدة السطح  $P_T$  والحصيلة السنوية  $E_y$  وعزم الدوران  $M$  عند سرعة دوران للدوار تبلغ  $50 \text{ s}^{-1}$ . الكتلة النوعية للهواء  $\rho_a = 1.205 \text{ kg/m}^3$  عند درجة الحرارة  $20^\circ\text{C}$ .

#### الحل

1. تُحسب الاستطاعة عند واحدة السطح كما يلي:

$$\begin{aligned} p_T &= 0.5 C_p \rho_a w^3 \\ &= 0.5 \times 0.43 \times 1.205 \text{ kJ/m}^3 \times (12 \text{ m/s})^3 \\ &= 447.68 \text{ W/m}^2 \end{aligned}$$

2. تحسب مساحة الدوار كما يلي:

$$\begin{aligned} A &= P_T / p_T \\ &= 250 \text{ kW} / 447.68 \text{ W/m}^2 = 558 \text{ m}^2 \end{aligned}$$

3. قطر الدوار:

$$D = \sqrt{4A/\pi} = \sqrt{4 \times 558/\pi} = 26.7 \text{ m}$$

4. الحصيلة السنوية للطاقة:

$$\begin{aligned} E_y &= P_T t_y = 250 \text{ MW} \times 2400 \text{ h/a} \\ &= 600 \text{ MWh/a} \end{aligned}$$

\* التوقعات كانت في عام تأليف الكتاب 1997 — المترجم

5. عزم الدوران:

$$M = P_T / 2 \pi n = 250 \text{ kW} / 2 \pi \times 50 \text{ s}^{-1} = 796 \text{ Nm}$$

### 3.11 طاقة باطن الأرض الحرارية (الجيوحرارية)\*

تسود في مركز الأرض جراً تفكك النظائر درجة حرارة تصل إلى 10000 °C، وهكذا ينشأ تيار دائم من الطاقة يبلغ  $4.2 \times 10^{10} \text{ kW}$  كثافته الوسطية  $0.063 \text{ W/m}^2$ . ويتطلب استثمار حرارة الأرض لتوليد الطاقة أماكن ذات تدرج (gradient) عالٍ غير عادي لدرجة الحرارة يبلغ 0.3 K لكل 1 m من العمق.

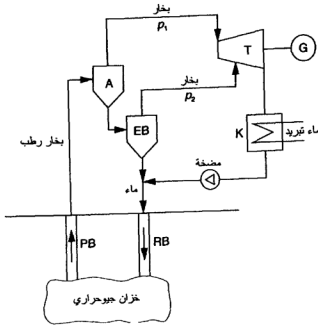
تعمل في العالم محطات كهربائية تستفيد من طاقة باطن الأرض (جيوحرارية) باستطاعة إجمالية 5000 MW، ففي الولايات المتحدة 1350 MW والفليين 784 MW وإيطاليا 455 MW، وفي كل من اليابان والمكسيك ونيوزيلندا حوالي 205 إلى 218 MW. أما أكبر المنشآت فهي The Geysers في الولايات المتحدة (674 MW) Laderello في إيطاليا (420 MW) تبلغ تكاليف التوليد من الطاقة الجيوحرارية 0.04 DM/kWh (أسعار عام 1985)، كذلك تستخدم حرارة الأرض إضافة إلى توليد الكهرباء في تأمين التدفئة. فمثلاً تؤمن التدفئة في Rejkjavic (عاصمة آيسلندا) من حرارة الأرض.

تستخدم لتوليد الكهرباء دورة البخار.

وبين الشكل (12.11) مبدأ العمل وبنية المحطة الجيوحرارية. يستخرج البخار المسخن من خزان جيوحراري عن طريق ثقب (فتحات). يندفع من الثقب خليط من الماء والبخار مع مواد معدنية منحلة (NaCl، KCl... إلخ) وغازات غير قابلة للتكاثف ( $\text{CO}_2$  و  $\text{H}_2\text{S}$ ). يُحرر البخار من الماء عن طريق فاصل يعمل بالطرد المركزي (Separator). ويستخدم لمكافحة الضجيج كاتم خاص. يسترجع الماء من الفاصل مع ماء العنفة والمكثف وتعاد هذه المياه لتتحقق ثانية في الفتحات إلى الخزان الجيوحراري. عن طريق تمدد البخار المشبع الذي تبلغ درجة حرارته 200 °C وضغطه حتى 15 bar في عنفة بخارية يتم كسب عمل وتوليد الكهرباء بواسطة المولدة الكهربائية.

---

\* Geothermal Energy — المترجم.



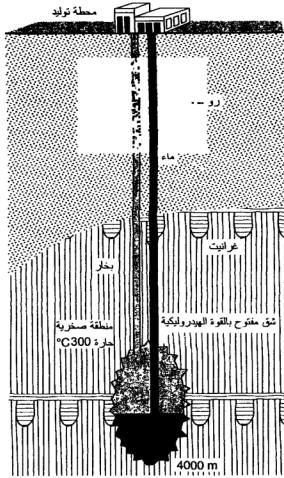
- A: ساحب للماء  
EB: خزان تمدد  
T: عنفة بخارية  
C: مكثف  
PB: فتحة إنتاج  
RB: فتحة إعادة الحقن

الشكل 12.11 : مبدأ العمل والتركيب الأساسي لمحطة توليد كهرباء جيوحرارية.

للاستفادة من حرارة الأرض عن طريق صخور جافة ساخنة تستخدم طريقة (Hot dry rock) HDR، والشكل (13.11) يمثل هذه الطريقة بشكل تخطيطي. عن طريق فتحة إعادة حقن يُضخَّط الماء البارد خلال شق موجود في صخور مسامية على عمق عدة كيلومترات، وبهذا تزداد قابلية الصخور للتميرير وبواسطة فتحة إنتاج يُساق الماء المسخن بواسطة حرارة الأرض إلى محطة الطاقة. يعتبر استخدام هذه التقنية عند استطاعة حرارية قدرها 100 MW اقتصادياً. الجدول (5.11) يتضمن مواصفات أكبر ثلاث محطات طاقة جيوحرارية.

الجدول 5.11: معطيات أكبر ثلاث محطات طاقة جيوحرارية

العمق [m]	درجة حرارة البخار [°C]	الاستطاعة [MW]	المحطة
600	200	400	Lardarello (إيطاليا)
800	230	200	Wairakei (نيوزيلندا)
1500	250	600	The Geysers (الولايات المتحدة)



الشكل 13.11 : طريقة الصخور الجافة الساخنة (Hot-dry-rock).

## 4.11 طاقة الأمواج والمدّ والجزر

### طاقة الموج وجريان ماء البحر

تنشأ أمواج البحر بفعل الرياح، وتمتلك هذه الأمواج طاقة كامنة وحركية. يبلغ إجمالي تدفق الطاقة بسبب جريان الهواء والبحار حوالي  $2.10^{12}$  kW. إن الأماكن ذات الرياح العالية السرعة والشواطئ الحرة المقابلة لبحر مفتوح مناسبة لاستخدام طاقة الأمواج. وعند ارتفاع 1.5 m فإن الموجة تكتسب خلال 6 أو 7 ثواني استطاعة مساوية لـ 14 kW لكل m من طول الشاطئ، فإذا اعتبرنا طول الشاطئ بالكامل فيمكن أن تكون الاستطاعة عالية إلى حد ما. إلا أنه لا توجد حتى الآن آلات عملية تقوم بهذا. وتستخدم في فرضية ممكنة من هذا النوع زعانف موصولة بطول

10 m وعرض 20 إلى 40 m [1.11]، ويبدو أن من الممكن تصنيع منشأة باستطاعة 1 MW بهذه الطريقة رغم طبيعة العمل المتقطعة والتأرجح الكبير في هذه الطاقة، بالإضافة إلى العوائق المتعددة التي تقف في وجه تطبيق المشاريع المختلفة ذات محاور الكامات الطافية والطوافات الحلقية والطوافات على شكل سفينة... إلخ [1.11]. إن الحصول على طاقة من جريان ماء البحر، مثل تيار الخليج أو تيار Kuroshio، مرتبط بمشاكل فنية أكثر من الحصول على طاقة الأمواج. وبحسب مشروع موجود في أمريكا (USA) فإنه يتم تحويل طاقة الحركة لتيار الخليج في صف من العنفات المائية تتوضع دون مستوى الماء قطرها 150 m. إذا اعتبرنا سرعة الماء 2.5 m/s فستكون استطاعة العنفات 75 MW، أي أنه من أجل الحصول على استطاعة قدرها 1200 MW فستلزم 15 عنفة من هذا النوع.

#### طاقة المد والجزر Tidal Power

تنشأ هذه الطريقة جرّاء الجاذبية المتبادلة بين الأرض والقمر والشمس، وهناك أماكن معينة فقط في العالم مناسبة لاستخدام طاقة المد والجزر. والفكرة هي استخدام التغير الشديد لوضع الماء في بعض المناطق من الشاطئ التي يصل فيها ارتفاع المد إلى عشرة أمتار أو أكثر، وتقدر الاستطاعة العالمية الكامنة وفق هذه الطريقة بـ 40 GW (استطاعة كهربائية). أما عيب محطات توليد الطاقة عن طريق المد والجزر فهو تقلب العمل (Periodical operation).

وهناك حالياً على مستوى العالم محطتا توليد للكهرباء باستخدام طاقة المد والجزر.

— محطة في ST. Malo (فرنسا) ذات استطاعة كهربائية قدرها 240 MW (24 عنفة كل منها استطاعتها 10 MW)، يقوم سد التخزين التابع لها بجمع 200 مليون متر مكعب في حوض تخزين، وارتفاع المد يصل إلى 12 أو 13 m والطاقة المولدة سنوياً 500 GWh (قارن هذه القيمة مع 2100 GWh التي تولدها محطة توليد الطاقة المائية العادية).

— المحطة التجريبية ذات الاستطاعة الكهربائية 800 kW في Kisbubsk (روسيا).

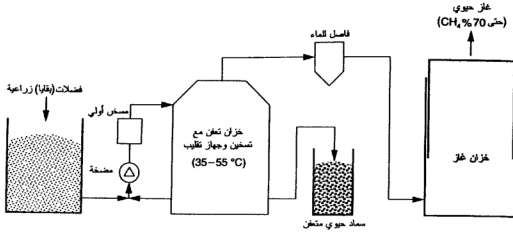
وهناك خطط لبناء منشآت ذات استطاعة إجمالية قدرها 3 GW في بريطانيا و6 GW في كندا.

### 5.11 استخدام طاقة الكتلة الحيوية

تنشأ الكتلة الحيوية عن طريق التمثيل الضوئي الذي يحول تدفقاً من الطاقة قدره  $10^{11} \times \text{kW}$  إلى مواد نباتية حية. يبلغ المخزون العالمي من الكتلة الحيوية على اليابسة فقط حوالي 2000 مليار

طن، وهذا يعادل مخزوناً من الطاقة قيمته  $10^{22} \times 3 \text{ J}$ . يبلغ مكافئ الطاقة لنمو الكتلة الحيوية في العام  $10^{21} \times 3 \text{ J}$ ، وهذا يوافق مردود استخدام للطاقة الشمسية قيمته 0.5 % للغابات وللماء الحلو. يستخدم حالياً فقط 1 % من الكتلة الحيوية في العالم لأغراض الطاقة. يمكن زراعة الأشجار سريعة النمو أو قصب السكر لقصب السكر أو الزيت بغرض استخدام طاقة الكتلة الحيوية. لقصب السكر والشوندر السكري مردود استخدام للطاقة الشمسية قيمته 5 % . إن القدرة الاقتصادية لإنتاج الكتلة الحيوية ضئيلة. أما تركيب الكتلة الحيوية فهو وسطياً كالتالي: 65 % سيلولوز، 17 % هيميسيلولوز (نصف سيلولوز)، 17 % خشب، 2 إلى 6 % مواد معدنية أو مواد أخرى. وهناك شكل آخر للكتلة الحيوية هو المخلفات (الفضلات) النباتية والحيوانية. يمكن في ألمانيا وحدها إنتاج طاقة سنوية تكافئ طاقة 10 مليون طن من الفحم الحجري عن طريق فضلات الكتلة الحيوية وهذا يكافئ 3 % من استهلاك الطاقة الأولية.

لتحويل الكتلة الحيوية يمكن استخدام الطرق البيولوجية — الكيميائية الحيوية والظروف الفيزيائية — الترموديناميكية. يتم في المرحلة الأولى تحويل الكتل الحيوية إلى حوامل للطاقة عند درجات حرارة منخفضة بواسطة كائنات حية صغيرة (مجهريه). يستخدم لأغراض هندسية الغاز الحيوي وغاز الإيثان الناتجان عن ميكروبات التفكيك أو تغيير التركيب (عن طريق الخمائر أو الأنزيمات) للكتلة الحيوية الحاوية على الفحوم الهيدروجينية عند نقص الهواء (لا هوائية) في وسط مائي. في بكتيريات النسيج الأوسط للنبات تبلغ فترة التخمر 20 إلى 30 يوماً، تكون درجة حرارة العملية 20 حتى 40 °C، أما بكتريات الوسط الدافئ فتبلغ فترة تخمرها 3 إلى 10 أيام عند درجة حرارة 45 إلى 60 °C. ويبين الشكل (14.11) تخطيطاً منشأة حيوية تعمل بشكل متواصل. تتراوح كمية الغاز الحيوي الذي يتم كسبه بين 0.3 — 0.4 و 0.4 — 0.7 m<sup>3</sup> لكل kg كتلة جافة من الفضلات الحيوانية والزراعية. وإنتاج الغاز الحيوي يمكن استخدام الفضلات النباتية والروث والوحل الناتج عن معالجة مياه المجاري الصناعية أو البلدية (للمدينة) والقمامة والبقايا النباتية للمنتجات الغذائية. يبلغ محتوى الغاز الطبيعي من CH<sub>4</sub> 60 إلى 70 %، أما قيمته الحرارية الدنيا فهي 20 حتى 30 MJ/m<sup>3</sup>. من مركبات الغاز الحيوي هناك CO<sub>2</sub> (حتى 35 %) بالإضافة إلى كل من H<sub>2</sub> و N<sub>2</sub> بنسبة 0.2 لكل منها و 0.1 % H<sub>2</sub>S. وبناءً على مجال الاستخدام فإن الغاز الحيوي الخام يجفف ويُخلص من الكبريت، وعندئذ يمكن استخدامه في محطات التدفئة وتوليد الكهرباء.



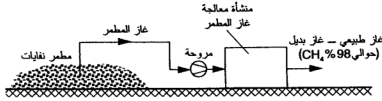
الشكل 14.11 : مخطط منشأة حيوية.

تُحرق الكتلة الحيوية (الخشب، فضلات الخشب، القمامة، الفضلات) إما مباشرة أو تحول أولاً إلى منتجات ثانوية (غاز حيوي، غاز مطامر الفضلات أو منشآت معالجة المجاري، الكحول، غاز أو زيت التحلل الحراري).

تُحوّل الكتلة الحيوية بطرق فيزيائية — كيميائية حرارية إلى طاقة أو حامل للطاقة — وأكثر الطرق انتشاراً هي التحضير الميكانيكي للكتلة الحيوية، مثل إعطاء بقايا الخشب والقش شكل كرات صغيرة أو قوالب أو مثل استخلاص الزيوت النباتية أو الهيدروكربونات، كذلك إحراق الخشب والفضلات لتوليد الكهرباء والحرارة وتحويل الخشب والفضلات إلى غاز وتحويل الكتلة الحيوية إلى سائل (تخميرها).

يصل المردود عند توليد الكهرباء إلى حوالي 20 %، وعند توليد الحرارة إلى 70 %. يمكن تحويل الكتلة الحيوية إلى غاز بمردود تحويل يصل إلى 70 — 80 %، وذلك باستخدام الهواء لإنتاج غاز المولدات الذي قيمته الحرارية الدنيا حوالي 5 MJ/m<sup>3</sup>، وعند استخدام البخار والأكسجين ينتج غاز صناعي (مزيج من أول أكسيد الكربون والهيدروجين). يُولّد من الكتلة الحيوية وقود سائل أو صلب أو غازي عن طريق التحلل الحراري أو التقطير التفكيكي أو بواسطة سحب الغاز في جو خال من الهواء ودرجة الحرارة من 300 حتى 1000 °C.

ينتج سنوياً 500 kg من القمامة لكل فرد وينشأ من 1000 kg قمامة منزلية حوالي 8 m<sup>3</sup>/a غاز مطامر، الذي يمكن استخدامه للتدفئة وتوليد الكهرباء.



الشكل 15.11 : مخطط منشأة غاز المطمر.

يحتوي الغاز الناتج عن مطمر فضلات حوالي 59 % ميثان  $CH_4$  وحوالي 40 % ثاني أكسيد الكربون  $CO_2$ ، وحوالي 1 % آزوت (نتروجين)  $N_2$  وآثاراً من الفحوم الهيدروجينية الثقيلة  $C_mH_n$  وكبريت الهيدروجين  $H_2S$  (ضار)، وروابط كبريت عضوية و فحوم هيدروجينية هالوجينية، وهذا الغاز الناتج عن المطامر غاز ضعيف له قيمة حرارية دنيا تبلغ  $5 MJ/m^3$ . عند وجود كميات كبيرة في المطامر يمكن معالجة غاز المطمر وتحويله إلى غاز طبيعي — غاز بديل. ويمكن إغناء الغاز بامتصاص ثاني أكسيد الكربون منه أو بإضافة الميثان له (حوالي 98 %). تقدم أكبر منشأة في العالم لتوليد غاز المطمر (توجد في Freshkills قرب نيويورك) حوالي  $52 \times 10^6 m^3/a$  من الغاز الطبيعي — الغاز البديل وتحقق هذه الكميات بشبكة الغاز الطبيعي العامة. يبين الشكل (15.11) بشكل تخطيطي منشأة لغازات المطامر.



## 12 تخزين الطاقة

### 1.12 طرائق تخزين الطاقة ومعايير تقويمها

#### طرائق تخزين الطاقة

- يرفع تخزين الطاقة الجاهزية وإمكانية استخدام هذه الطاقة، ووفقاً لشكل الطاقة يُعَمَّر بين:
- خزانات الطاقة للميكانيكية (الدولاب المعدل أو الحداقة، أحواض التخزين بالضغط، خزانات الهواء المضغوط)،
  - خزانات الطاقة الحرارية،
  - البطاريات الكهربائية، المدخرات (المركبات) وخزانات الحقل المغناطيسي.

#### معايير التقويم

تتميز خزانات الطاقة بالمعايير التالية:

- المحتوى الحراري أو سعة التخزين،
- الكثافة النوعية لطاقة الخزان،
- استطاعة التعبئة/ الشحن والتفريغ،
- فترة تخزين الطاقة،
- درجة الاستخدام (الاستفادة)،
- التكاليف الاستثمارية والعمر وفترة استرجاع التكاليف الاستثمارية (amortization).

#### سعة التخزين وكثافة الطاقة

يُعرَّف محتوى الطاقة أو سعة التخزين بأنه كمية الطاقة الأعظمية التي يمكن جمعها في خزان طاقة ذي نوع وحجم معين خلال دورة العمل.

أما الكثافة النوعية للطاقة لخزان طاقة ما فهي محتوى الطاقة بالنسبة لكل kg أو m<sup>3</sup>، ويعطي الجدول (1.12) الكثافة النوعية للطاقة لمختلف أنواع خزانات الطاقة.

الجدول 1.12: الكثافة النوعية للطاقة في خزانات الطاقة.

خزان الطاقة	كثافة الطاقة [Wh/kg]
خزانات الحرارة المحسوسة ( $\Delta t = 50K$ )	
ماء	58
البيتون، الصخر، الحصى	13
الحديد	8
تربة (حصىات خشنة)	25
خزانات الحرارة غير المحسوسة (latent) (حرارة لانتشر)	
٤٤	
الثلج (درجة ذوبانه 0 °C)	93
البارافينات (درجة ذوبانها 42 - 67 °C)	47-52
هيدرات الأملاح اللاعضوية (درجة الذوبان 29 - 70 °C)	48-70
فلوريد الليثيوم LiF (درجة الذوبان 848 °C)	283
خزانات الطاقة الميكانيكية	
حوض التخزين بالضغط، الارتفاع 300 m	0.81
الدولاب المعدل (الحدافة)	30 - 20
الوقود الاصطناعي/الهيدروجين	
الهيدروجين السائل	33000
الهيدروجين، هيدرات المعادن	600-2500
الميثانول	7390
الإيثانول	7695
البطاريات (الركمات)	
الرصاص - حموض الكبريت (20 - 30 °C)	40
النيكل - الحديد	60
النيكل - الكادميوم	100
Na-S و 4-S (300 - 375 °C)	150

### استطاعة التعبئة / الشحن والتفريغ

تُعرف كمية الطاقة التي تقدم إلى خزان الطاقة أو تُستخرج منه في واحدة الزمن بأنها استطاعة التعبئة / الشحن أو التفريغ حسب الحال، وهي مقدار تابع للزمن، وتكون استطاعة التعبئة / الشحن والتفريغ في بداية أي عملية أكبر منها في نهايتها.

### خزانات الطاقة القصيرة أو الطويلة الأمد

يُميز وفقاً لفترة التعبئة / التخزين بين الخزانات القصيرة أو الطويلة الأمد، وتتألف دورة عمل خزان ما من:

- الشحن بنقل الطاقة من منبع للطاقة
  - التخزين (مرحلة الركود) بدون إضافة أو طرح للطاقة
  - التفريغ نتيجة استحرار الطاقة ووضعها بتصرف المستهلك.
- تتألف دورة العمل  $\tau_c$  من زمن الشحن  $t_{ch}$  وزمن التخزين (الركود)  $\tau_{storage}$  وزمن التفريغ  $\tau_{d, ch}$ .

### درجة الاستخدام (الاستفادة)

درجة استخدام خزان طاقة  $\eta_s$  هي نسبة كمية الطاقة المستخرجة  $E_R$  إلى كمية الطاقة المقدمة  $E_S$  بالنسبة إلى دورة العمل:

$$\eta_s = E_R / E_S = 1 - E_{los} / E_s \quad (1.12)$$

حيث:  $E_{los}$  ضياعات الطاقة.

## 2.12 خزانات الطاقة الميكانيكية والكهربائية

### 1.2.12 التخزين بالحدافة (Fly Wheel)، أحواض التخزين بالضغط، التخزين

#### بالهواء المضغوط

يمكن تخزين الطاقة الميكانيكية باستخدام الحدافة أو أحواض التخزين بالضغط أو بالهواء المضغوط.

### التخزين باستخدام الحداثة Fly Wheel

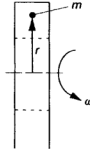
تخزن في الحداثة الطاقة الحركية، وتأخذ الحداثات أشكالاً مختلفة: قرصاً دائرياً أو حلقة دائرية أو قضيباً طويلاً رقيقاً. بين الشكل (1.12) حداثةً بشكل تخطيطي. يُحسب محتوى الطاقة كما يلي:

$$(2.12) \quad E = \frac{1}{2} M \omega^2 \quad [\text{J}]$$

حيث:  $E$  محتوى الطاقة

$M$  عزم عطالة الكتلة  $[\text{kgm}^2]$

$\omega$  السرعة الزاوية  $[\text{s}^{-1}]$ .



الشكل 1.12 : خزان يستخدم حداثة على شكل حلقة دائرية.

أما عزم عطالة الحداثة الأسطوانية الشكل فيحسب كما يلي:

$$(3.12) \quad M = \frac{1}{2} m r^2$$

حيث:  $m$  الكتلة  $[\text{kg}]$

$r$  نصف القطر  $[\text{m}]$ .

عند التحميل الكامل تصل الحداثة إلى سرعتها الزاوية الأعظمية  $\omega_{\max}$  ويصبح محتواها من الطاقة أعظمية:

$$(4.12) \quad E_{\max} = \frac{1}{2} M \omega_{\max}^2 \quad [\text{J}]$$

أما الطاقة المستجرة من الحداثة التي تلعب دور خزان طاقة فهي:

$$(5.12) \quad E_{\max} = \frac{1}{2} M (\omega_{\max}^2 - \omega_{\min}^2) \quad [\text{J}]$$

حيث:  $\omega_{\min}$  السرعة الزاوية الأصغرية  $[\text{s}^{-1}]$ .

تُحسب كثافة الطاقة بالنسبة لـ 1 kg كتلة كما يلي:

$$e = E/m = \frac{1}{4} r^2 (\omega_{\max}^2 - \omega_{\min}^2) \quad (6.12)$$

$$= k(\sigma / \rho) \quad [\text{J/kg}]$$

حيث:  $k$  عامل الشكل (من 0 حتى 1)

$\sigma$  إجهاد شد المادة المسموح به  $[\text{N/m}^2]$

$\rho$  الكتلة النوعية للمادة  $[\text{kg/m}^3]$ .

تتحدد قيم  $e$  الممكن الوصول إليها بالشكل الهندسي للحدافة وبالمادة المصنوعة منها. الشكل الأمثل ذو  $k = 1$  هو القرص ذو المقطع الأسّي والمقاومة المتجانسة. من بين جميع خلاطات المعادن فإن الأقراص المصنوعة من التيتانيوم تتمتع بكثافة طاقة أعظمية تبلغ 220 kJ/kg. للحصول على قيم أعلى، فإنه ينبغي استخدام مواد وصل. فمثلاً تبلغ قيمة  $e$  للدولاب المعدل الذي يأخذ شكل حلقة دائرية مصنوعة من الزجاج/الراتنج (Epoxy) 450 kJ/kg وللغرافيت/ راتنج تبلغ 450 kJ/kg. يبين الشكل (a2.12) محطة تخزين بالضخ، وهي تتألف من حوضي تخزين (علوي وسفلي) وأنابيب ضغط ومضخة/عنفة مع محرك/مولد. تُحسب الاستطاعة اللازمة لضخ الماء من الحوض السفلي عبر أنابيب الضغط إلى الحوض العلوي كما يلي:

$$P_p = g \rho V H / \eta_p \quad (7.12)$$

حيث:  $g$  التسارع الأرضي  $[\text{m}^2/\text{s}]$

$\rho$  الكتلة النوعية للماء  $[\text{kg/m}^3]$

$V$  التدفق الحجمي للماء  $[\text{m}^3/\text{s}]$

$H$  فرق الارتفاع  $[\text{m}]$

$\eta_p$  المردود الإجمالي للمضخة مع محرك تشغيلها.

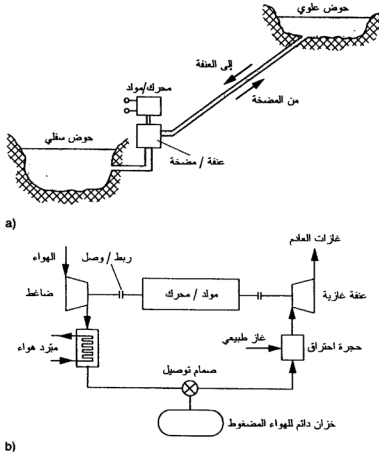
تُحسب الاستطاعة الميكانيكية التي يمكن كسبها بواسطة العنف المائية كما يلي:

$$P_T = g \rho V H \eta_T \quad [\text{W}] \quad (8.12)$$

حيث:  $\eta_T$  المردود الإجمالي للعنفة.

تكون الاستطاعة الكهربائية  $P_e$  أصغر من  $P_T$  بمقدار الضياعات في المولد.

أما درجة الاستفادة من محطة التخزين بالضخ فتنتج كنسبة بين الاستطاعة الكهربائية المستفاد منها والطاقة المستهلكة لذلك.



الشكل 2.12 : خزان للطاقة الكامنة (a) ذو أحواض تخزين بالضغط (b) ذو هواء مضغوط.

يمكن تخزين الطاقة الميكانيكية عن طريق ضغط مائع قابل للانضغاط مثل الهواء، والشكل (b2.12) يبين بشكل تخطيطي محطة تخزين بالهواء المضغوط. يُخزن الهواء بعد ضغطه في خزان تحت الأرض، ثم يرسل الهواء ذو الضغط العالي إلى عنفة غازية ليُقدم عملاً ويتمدد إلى ضغط الوسيط المحيط. لتخزين كميات كبيرة من الطاقة يلزم حجم كبير. توجد في العالم الآن جملتا تخزين بالهواء المضغوط إحداهما في ألمانيا والأخرى في الولايات المتحدة. الحملة الموجودة في ألمانيا (Hundorf) تتألف من محطة توليد كهرباء ذات عنفة غازية بالإضافة إلى تجاويف تحت الأرض حجمها المقيّد  $300000 \text{ m}^3$  عند عمق 650 إلى 800 m. يتم شحن الخزان بالهواء المضغوط (ضغطه 72 bar) في أوقات الحمولة الضعيفة (الاستطاعة 60 MW، تدفق الهواء الكتلّي 108 kg/s)، وفي الحمولة القصوى يُولّد تيار بواسطة محطة التوليد ذات العنفة الغازية (استطاعة المولد 290 MW). وهكذا

يساق الهواء المضغوط (بتدفق 425 kg/s) من المخزن إلى حجرة الاحتراق ويحرق مع الغاز الطبيعي. تبلغ كثافة الطاقة لمخزن الطاقة 4 kWh/m<sup>3</sup>، ويتم الحصول على مردود توليد للكهرباء قدره 42 % وكثافة الاستطاعة 1 kW/m<sup>3</sup>. يسمح حجم التخزين بالتشغيل عند الحمولة الكاملة لمدة أربع ساعات.

وتعمل في الولايات المتحدة الأمريكية حالياً محطة تخزين بالهواء المضغوط استطاعتها 100 MW ذات خزان ضغطه متدرج موجود في تجاويف ملحية.

تُحسب الاستطاعة التي يمكن كسبها بواسطة العنفة الغازية (قارن الفصل السابع) كما يلي:

$$(9.12) \quad P_T = m_T \Delta h_T \eta_T \quad [W]$$

حيث:  $m_T$  التدفق الكتلي لغازات الاحتراق في العنفة الغازية [kg/s]

$\Delta h_T$  هبوط الإنتالي في العنفة عند ثبات الإيزنتروبي [kJ/kg]

$\eta_T$  المردود الداخلي للعنفة.

الاستطاعة المستهلكة لضغط الهواء:

$$(10.12) \quad P_{comp} = m_{comp} \Delta h_{comp} / \eta_{comp}$$

حيث:  $m_{comp}$  التدفق الكتلي للهواء في الضاغط [kg/s]

$\Delta h_{comp}$  تغير الإنتالي في الضاغط عند ثبات الانتروبي [kJ/kg]

$\eta_{comp}$  المردود الداخلي للضاغط.

يُحسب هبوط الإنتالي كما يلي:

$$(11.12) \quad \Delta h = c_p \Delta T \quad [kJ/kg]$$

حيث:  $c_p$  السعة الحرارية النوعية بثبوت الضغط

$\Delta T$  تغير درجة الحرارة في العنفة الغازية أو الضاغط [K].

تعطي النسبة بين  $P_T$  و  $P_{comp}$  المردود الآلي (الحظي)  $\eta$  لمخزن الهواء المضغوط.

## 2.2.12 تخزين الطاقة الكهركيميائي

مبدأ تخزين الطاقة الكهركيميائي الكيمائي معلوم. تستخدم لتخزين الطاقة الكهركيميائية مدخرات/ بطاريات الرصاص مصنوعة من الرصاص Pb أو Ni-Cd (مركمات) أو غير ذلك، ولتخزين كميات كبيرة من الطاقة تلزم بطاريات تحقق المتطلبات التالية كحد أدنى: الاستطاعة النوعية

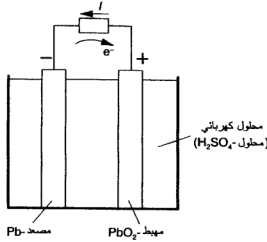
50 W/kg، كثافة الطاقة 200 Wh/kg، 1000 دورة كاملة، 4 إلى 6 سنوات كعمر للعمل. يبين

الشكل (3.12) مبدأ البطارية التي تعمل بالرصاص وحمض الكبريت.

بحسب التوتر (الجهد)  $U$  عند المقاومة الخارجية (الحمولة  $R_g$ ) كما يلي:

$$U = E - I R_i \quad [V] \quad (12.12)$$

حيث:  $R_i$  المقاومة الداخلية للبطارية.



الشكل 3.12 : مخطط بطارية رصاص — حموض.

أما التيار الممكن الحصول عليه فيبلغ:

$$I = E / (R_i + R_g) \quad [A] \quad (13.12)$$

كما يحسب هذا التيار كما يلي:

$$I = n F \quad [A] \quad (14.12)$$

حيث:  $n$  عدد مولات الالكترونات لكل مول من حمض الكبريت (يساوي 2)

$F$  ثابت فاراداي 96487 C/Mol

فالاستطاعة الممكن تقديمها تصبح:

$$P = U I \quad [W] \quad (15.12)$$

المثال المعروض أدناه يوضح حساباً لبطارية رصاص — حمض الكبريت (مدخرة رصاصية).

### مثال 1.12

مدخرة (بطارية) رصاصية V-12 تقدم تياراً شدته 60 A.



يُطلب حساب الاستطاعة الآتية المقدمة واستهلاك حمض الكبريت عند المصعد (anode).

الحل

تُحسب الاستطاعة الآتية المقدمة كما يلي:  $P = U I = 12V \times 60A = 720 \text{ W}$   
يُحلّ في كل مول من حمض الكبريت  $H_2SO_4$  مقدار 2 مول الكثرونات من مهبط (Cathode) البطارية وينشأ هيدروجين جزيئي.

يُحسب استهلاك حمض الكبريت (بالمول) بالتفكك عند المصعد والمهبط للبطارية كما يلي:

$$N_{acid} = 2 I / (n F)$$

حيث:  $F$  ثابت فاراداي وتبلغ قيمته  $96487 \text{ C/Mol}$

$n$  2Mol الكثرونات / حمض كبريت

$$N_{acid} = 2 \times 60A / (2 \times 96487 \text{ As/Mol}) = 6 \times 34 \cdot 10^{-4} \text{ Mol/s}$$

ويصبح بالتالي التدفق الكتلي لحمض الكبريت:

$$m = N_{acid} M_{H_2SO_4}$$

$$= 6.34 \times 10^{-4} \text{ Mol/s} \times 98 \text{ g/Mol} = 0.06 \text{ g/s} = 0.22 \text{ kg/h}$$

### 3.12 تخزين الطاقة الحرارية

#### أنواع خزانات الطاقة الحرارية

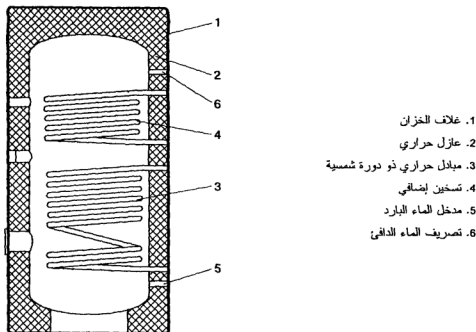
ثمة ثلاثة أنواع من التخزين هي التخزين على شكل حرارة محسوسة، والتخزين على شكل حرارة كامنة، والتخزين الحراري الكيميائي. تقسم الخزانات الحرارية بحسب درجة الحرارة إلى خزانات ذات درجة حرارة منخفضة (درجة الحرارة أدنى من  $100^\circ\text{C}$  وخزانات ذات درجة حرارة متوسطة (من  $100$  إلى  $500^\circ\text{C}$ )، وخزانات ذات درجة حرارة عالية (فوق  $500^\circ\text{C}$ ).

لتخزين الحرارة المحسوسة تستخدم وسائط صلبة وسائلة. يتغير المحتوى الحراري لخزان حرارة محسوسة بتغير درجة حرارة وسيط التخزين. بواسطة انتالبي الانصهار العالي فإنه يمكن الحصول على كثافة طاقة عالية في خزانات الحرارة الكامنة. أما في خزانات الحرارة الكيميائية فتستخدم حرارة التفاعل في التفاعلات الكيميائية العكوسة وتكون كثافة الطاقة أعلى من سابقتها.

#### خزانات الطاقة الحرارية بالماء الساخن

يجب أن يكون لوسيط التخزين في خزانات الحرارة المحسوسة سعة حرارية عالية، ويستخدم الماء من أجل درجات الحرارة التي تقل عن  $100^\circ\text{C}$ ، حيث تبلغ سعته الحرارية النوعية  $4.187 \text{ kJ/kgK}$ .

يبين الشكل (4.12) بشكل تخطيطي خزان ماء ساخن. أما من أجل درجات الحرارة التي تزيد عن 100 °C فتلزم الخزانات المضغوطة، وتستخدم عندئذ وسائط سائلة أخرى مثل بخار الماء والسوائل العضوية والأملاح والمعادن المصهورة. أما الوسائط الصلبة فتكون من الخرسانة أو التراب أو المواد السيراميكية. يتضمن الجدول (2.12) القيم المميزة لوسائط التخزين عند درجات الحرارة المنخفضة.



الشكل 4.12 : خزانات الماء الدافئ القصيرة الأمد.

تُحسب سعة التخزين لخزان حرارة محسوسة كما يلي:

$$Q_s = m c (t_{\max} - t_{\min}) = V \rho c (t_{\max} - t_{\min}) \quad [J] \quad (16.12)$$

حيث:  $m$  كتلة وسيط التخزين [kg]

$c$  السعة الحرارية النوعية لوسيط التخزين [J/kgK]

$V$  الحجم [m<sup>3</sup>]

$\rho$  الكثافة النوعية لوسيط التخزين [kg/m<sup>3</sup>]

$t_{\min}$  و  $t_{\max}$  درجتا الحرارة الأعظمية والأصغرية للخزان [°C].

الجدول 2.12: القيم المميزة لوسائط التخزين في خزانات الحرارة المحسوسة عند درجات منخفضة.

وسيط التخزين	الكتلة النوعية $\rho$ [kg/m <sup>3</sup> ]	عامل التوصيل $\lambda$ [W/mK]	السعة الحرارية النوعية $c$ [J/kgK]
ماء	1000	0.68	4187
خرسانة (بيتون)	2400	2.1	1000
صخور — حصي	2750	2.9	890
تربة	2040	0.59	1840

أما الكثافة الحرارية المنسوبة إلى كتلة أو حجم الخزان فهي:

$$(17.12) \quad q = Q / m = c (t_{\max} - t_{\min}) \quad [\text{J/kg}]$$

$$(18.12) \quad q_v = Q / V = \rho c' (t_{\max} - t_{\min}) \quad [\text{J/m}^3]$$

واستطاعتا التعبئة / الشحن والتفريغ للخزان الحراري تحسبان كما يلي:

$$(19.12) \quad Q_{\text{ch}} = m c_p (t_{\text{ent}} - t_{\text{exit}}) \quad [\text{W}]$$

$$(20.12) \quad Q_{\text{d.ch}} = m c_p (t_{\text{exit}} - t_{\text{ent}}) \quad [\text{W}]$$

حيث:  $m$  التدفق الكتلي للناقل الحراري [kg/s]

$c_p$  السعة الحرارية النوعية للناقل الحراري [J/kgK]

$t_{\text{ent}}, t_{\text{exit}}$  درجة حرارة الدخول والخروج [°C].

## مثال 2.12

ما هي كمية الماء اللازم لتخزين 300 kWh حرارة عندما تتغير درجة الحرارة في الخزان بين 80 °C عند الشحن الكامل و 20 °C عند التفريغ؟ ما هي كثافة الطاقة المنسوبة إلى الكتلة أو الحجم لهذا الخزان؟

الحل

1. الحرارة النوعية للماء عند درجة الحرارة الوسطية  $(80 + 20)/2 = 50^\circ\text{C}$  هي  $c_p = 4181 \text{ J/kgK}$

والكتلة النوعية عند درجة الحرارة الوسطية هي  $\rho = 988 \text{ kg/m}^3$ .

2. كمية الماء اللازمة (الكتلة والحجم):

$$m = Q / c_p (t_{\max} - t_{\min})$$

$$= 300 \text{ kWh} \times 3600 \text{ s/h} / 4.181 \text{ kJ/kgK} (80 - 20) \text{ K} = 4305.2 \text{ kg}$$

$$V = m / \rho$$

$$= 4305.2 \text{ kg} / 988 \text{ kg/m}^3 = 4.357 \text{ m}^3$$

3. لحساب كثافة الطاقة بالنسبة إلى الكتلة أو الحجم نكتب:

$$q = Q / m = 300 \text{ kWh} / 4305.2 \text{ kg} = 0.07 \text{ kWh/kg}$$

$$q_v = Q / V = 300 \text{ kWh} / 4.357 \text{ m}^3 = 68.85 \text{ kWh/m}^3$$

### الخزانات الحرارية ذات المواد الصلبة

إن المواد الصلبة كالخرسانة (البيتون) والتربة والحصى والغرانيت مناسبة لتخزين الحرارة عند درجات حرارة منخفضة. في الخزانات الحرارية ذات الأكوام المستخدمة في منشآت التدفئة الشمسية ذات المجمعات الهوائية يُمرَّر الهواء عبر كومة من حبيبات المادة حتى تضاف الحرارة إلى هذه الكومة أو تسحب منها. ونتيجة لارتفاع عامل انتقال الحرارة بين الهواء والمادة الصلبة، وبسبب كبر مساحة سطح الحبيبات، فإن درجة الحرارة بين الهواء والمادة الصلبة صغير. في التوضع الشاقولي المألوف يُمرَّر الهواء الساخن لشحن الخزان من الأعلى، ويمرَّر الهواء البارد لسحب (استخراج) الحرارة من الأسفل. إن درجة حرارة الجزء العلوي للخزان الحراري تكون دائماً أعلى منها في الجزء السفلي.

### الخزانات الحرارية الفصلية

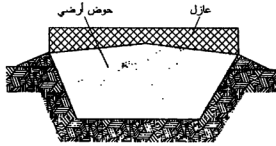
الأنواع الرئيسية لخزانات الحرارة الفصلية هي (الشكل 5.12):

— الخزانات الحرارية في حاويات (صناديق) فوق صناديق

— الخزانات الترابية

— خزانات الماء تحت الأرض (أحواض أرضية، تجاويف صخرية، مستودعات الماء الأرضية).

الخزانات الطويلة الأمد تحفظ الحرارة المحسوسة في الماء بالأحواض أو مستودعات الماء الأرضية ويتراوح حجمها بين 500 m<sup>3</sup> و 1200000 m<sup>3</sup>. تحتاج الخزانات الحرارية الموجودة فوق الأرض حجماً كبيراً وعزلاً حرارياً بالغ الجودة. ولأسباب تتعلق بالمقاومة فإن حجم الخزان المصنوع من الخرسانة أو الفولاذ لا يتجاوز 100000 m<sup>3</sup>. إن الاستهلاك لمادة العزل عالٍ جداً، ولذلك فإن التكاليف الاستثمارية للخزانات الحرارية الفصلية هي الأعلى بين الطرائق الأخرى. ولتقليل التكاليف تصمم الخزانات الفصلية بحيث تتوضع تحت الأرض.



الشكل 5.12 : خزان الحوض الأرضي للتخزين الفصلي للحرارة.

تُستخدم الأحواض الأرضية المملوءة بالماء كخزانات عالية درجة الحرارة وذات سعة تخزين كبيرة. تكون في الأحواض الأرضية النسبة بين السطح المغطى والحجم عاليةً عند مقارنتها بطرائق التخزين الأخرى. ولذلك يلزم العزل الحراري الجيد للغطاء والجزئي (على الأقل) للجوانب. إنها تحتاج عزلًا مضمونًا للماء. يجب أن يحقق موقع حوض أرضي متطلبات معينة (القاعدة المستقرة، سهولة الحفر، عدم وجود مياه جوفية).

أما التجاويف الصخرية فهي مناسبة لتخزين الحرارة عند درجات حرارية عالية وبكميات كبيرة. ويتم الحصول على هذه التجاويف عن طريق التفجير أو الحفر ثم تملأ بالماء الساخن القادم من المجمعات. تعمل المادة المحيطة (الغرانيت) كعازل حراري وخزان في نفس الوقت.

المستودع الأرضي (Aquifer) هو بناء جيولوجي يقع تحت الأرض (صخور، صخور رملية، رمل) محاط بمجريان بطيء للمياه الجوفية. ملء الخزان يساق الماء الدافئ من المجمعات الشمسية التي ليس لها غطاء شفاف والمسماة بممتصات الطاقة — عبر فتحات خاصة إلى هذه المستودعات، وبهذا يُزاح الماء الجوفي الموجود في المستودع الأرضي وتدفأ الصخور المحيطة (الصخر أو الرمل). أما تفريغ المستودع الأرضي فيتم إما من نفس فتحات ملئه أو عن طريق فتحات خاصة أخرى يُسترجع منها الماء الدافئ. يتم التخزين في المستودعات الأرضية عند درجات حرارة منخفضة، ويلزم لذلك ساعات تخزين كبيرة أو كبيرة جداً.

#### خزانات الحرارة الكامنة

من المناسب عند تخزين الحرارة الاستفادة من التغير الطوري: من صلب إلى سائل (الذوبان أو الانصهار) عند التعبئة (الشحن) أو من سائل إلى صلب (التجمد) عند تفريغ الخزان. عند شحن

خزان الحرارة الكامنة يُدوَّب وسيط الحرارة الكامنة وعند تفرغه يحدث تصلب لهذا المصهور عند ثبات درجة حرارة المصهور  $t_{\text{meld}}$  (للمواد النقية كيميائياً).  
 تحسب سعة التخزين لخزان الحرارة الكامنة كما يلي:

$$Q_s = m [c_{\text{solid}} (t - t_{\text{min}}) + h_{\text{melt}} + c_{\text{li}} (t_{\text{max}} - t_{\text{melt}})] \quad [\text{J}] \quad (21.12)$$

حيث:  $m$  كتلة وسيط تخزين الحرارة الكامنة

$c_{\text{li}}, c_{\text{solid}}$  السعة الحرارية النوعية للوسيط الصلب والسائل (على التوالي)  $[\text{J/kgK}]$

$h_{\text{melt}}$  الانتالي النوعي لانصهار وسيط تخزين الحرارة الكامنة  $[\text{J/kg}]$

$t_{\text{max}}, t_{\text{min}}$  درجة حرارة التخزين الأصغرية والأعظمية  $[\text{°C}]$

$t_{\text{melt}}$  درجة حرارة انصهار وسيط تخزين الحرارة الكامنة  $[\text{°C}]$ .

من أجل القيم المرتفعة لـ  $h_{\text{melt}}$  و  $C$  فإن الكتلة  $m$  والحجم  $V$  لوسيط تخزين الحرارة الكامنة اللازمين من أجل سعة تخزين محددة  $Q_s$  يكونان صغيرين.

تستخدم في مجال درجات الحرارة المنخفضة مائات الأملاح اللاعضوية مثل  $\text{Na}$ ،  $\text{K}$ ،  $\text{Ca}$ ،  $\text{Mg}$  والحموض الدهنية العضوية والبارافينات.

وبين الجدول (3.12) كميات وسيط التخزين اللازمة لتخزين الحرارة عند درجات الحرارة المنخفضة.

الجدول 3.12: كميات وسائط التخزين اللازمة لتخزين 1 GW حرارة من أجل فرق في درجات الحرارة قيمته  $\Delta t = 30 \text{ K}$ .

وسائط تخزين الحرارة الكامنة		وسائط تخزين الحرارة المحسوسة		
بارافين	$\text{Na}_2\text{SO}_4 \times 10\text{H}_2\text{O}$	الصخور	الماء	
2500	2200	39667	7933	الكتلة $[\text{kg}]$
3.18	1.5	38.1 *	7.93	الحجم $[\text{m}^3]$
* هناك فراغ في كومة الصخور يبلغ 35%.				

إن قيمة إنتالي الانصهار المفيدة والمستخدم لتخزين الحرارة  $h_{\text{melt}}$  عند درجات حرارة أدنى من  $100 \text{ °C}$  تكون في أكثر الأحيان أدنى من 100 kWh أو 360 MJ لكل  $1 \text{ m}^3$  من وسيط تخزين الحرارة الكامنة. عادةً تضاف الحرارة المحسوسة إلى الحرارة المخزنة والتي يحددها انتشار الحرارة

والسعة الحرارية النوعية. تتعلق كثافة الطاقة النوعية في خزانات الماء الساخن بانتشار الحرارة في الخزان  $\Delta t$ ، فمن أجل  $\Delta t = 70 - 20 = 50 \text{ K}$ ، فإن الحرارة المحسوسة تبلغ  $58.2 \text{ kWh}$  أو  $209.3 \text{ MJ}$  لكل  $\text{m}^3$  ماء.

تنشأ في خزانات الحرارة الكامنة ذات درجات الحرارة المنخفضة المشاكل التالية:

- التبريد الإضافي للمصهور إلى ما دون درجة الانصهار عند التبريد الحراري للخزان.
- التغير الكبير في الحجم لوسيط تخزين الحرارة الكامنة عند تغير حالته الطورية.
- تبادل الحرارة غير المناسب بين الناقل الحراري ووسيط تخزين الحرارة الكامنة.

يُثبت السلوك الكيميائي والفيزيائي لماءات الأملاح اللاعضوية عن طريق إضافة مواد خاصة مناسبة لوسيط تخزين الحرارة الكامنة، وبذلك يرتفع عدد دورات التخزين. هنالك مواد أخرى تُحسن سلوك التبلور لوسيط تخزين الحرارة الكامنة.

وتستخدم في كثير من الأحيان خزانات حرارية ذات مادتين، وهذا يكون إما جمعاً بين وسطي تخزين حرارة محسوسة مثل الماء والخرسانة، أو الحصى أو الرمل مع الزيت. أو جمعاً بين وسطي تخزين أحدهما للحرارة المحسوسة والآخر للحرارة الكامنة مثل الماء والبارافين.

على سبيل المثال تصبح سعة التخزين الإجمالية لخزان فصلي يتألف من عدة فجوات حصى مملوءة بالماء كالتالي:

$$\begin{aligned} Q_{\text{total}} &= (m_w c_{pw} + m_{\text{solid}} c_{\text{solid}}) (t_{\text{max}} - t_{\text{min}}) \\ (22.12) \quad &= (V_w \rho_w c_{pw} + V_{\text{solid}} \rho_{\text{solid}} c_{\text{solid}}) (t_{\text{max}} - t_{\text{min}}) \quad [\text{J}] \end{aligned}$$

حيث:  $m$  الكتلة

$c_{pw}$  و  $c_{\text{solid}}$  السعة الحرارية النوعية للمادة الصلبة (دليلها solid) وللماء (الدليل w)

$V$  الحجم

$\rho$  الكثافة النوعية.

من أجل خزان حراري هجين (مختلط) يتألف من وسيط حرارة محسوسة (مثل الماء) ووسيط حرارة كامنة (مثل البارافين) فإن سعة التخزين الإجمالية تحسب كما يلي:

$$\begin{aligned} Q_{\text{total}} &= \{m_s c_s (t_{\text{max}} - t_{\text{min}}) + m_l [c_{\text{solid}} (t_{\text{solid}} - t_{\text{min}}) \\ &\quad + h_{\text{melt}} + c_{\text{fl}} (t_{\text{max}} - t_{\text{melt}})]\} \quad [\text{J}] \end{aligned} \quad (23.12)$$

حيث:  $m_s$  كتلة وسيط تخزين الحرارة المحسوسة

$m_1$  كتلة وسيط تخزين الحرارة الكامنة  
 $c_s$  السعة الحرارية النوعية لوسيط تخزين الحرارة المحسوسة  
 $c_{\text{solid}}$  و  $c_{\text{fl}}$  السعة الحرارية النوعية لوسيط تخزين الحرارة الكامنة في الحالة الصلبة (Solid) أو السائلة (fl)  
 $t_{\text{min}}$  و  $t_{\text{max}}$  درجتا الحرارة الأعظمية والأصغرية للخرزان الحراري  
 $t_{\text{melt}}$  درجة حرارة انصهار وسيط تخزين الحرارة الكامنة  
 $h_{\text{melt}}$  انتالبي انصهار وسيط تخزين الحرارة الكامنة.

### الخرزانات الحرارية عند درجات الحرارة المتوسطة والعالية

في مجال درجات الحرارة المتوسطة (حتى 500 °C) تستخدم الطاقة الشمسية مثلاً لإنتاج الحرارة للعمليات الحرارية الصناعية أو للتبريد أو لتوليد الكهرباء. وبسبب الضياعات الحرارية الكبيرة فإنه من المناسب لتوليد الكهرباء بالطاقة الشمسية استخدام الخرزانات الحرارية القصيرة الأمد (فترة تخزينها 0.5 إلى 3 ساعات).

الجدول 4.12: القيم المميزة لوسط التخزين في مجال درجات الحرارة المتوسطة.

$\rho$ [kg/m <sup>3</sup> ]	$C$ [J/kgK]	$\lambda$ [W/mK]	$h_{\text{melt}}$ [kJ/kg]	$t_{\text{melt}}$ [°C]	وسيط التخزين
وسائط التخزين ذات الحرارة الكامنة (أملاح صاعدة وحلائط)					
2130	2030	1.33	530	252	LiNO <sub>3</sub>
1860	1750	0.43	150	337	KNO <sub>3</sub>
2160	950	4	520	800	NaCl
1880	1800	0.61	171	294	(93.6%/66.4) NaNO <sub>3</sub> /NaCl
1890	1210	0.48	150	320	(94.5%/64.5) KNO <sub>3</sub> /KCl
1887	1000	1	140	342	(88/4.7%/7.3) KNO <sub>3</sub> /KBr/KCl
وسائط التخزين الصلبة					
7850/7800	550/500	35/45	—	—	فولاذ/ حديد صب
2400	1000	2.1	—	—	خرسانة (بيتون)

ملاحظات:

1.  $t_{\text{melt}}$  درجة حرارة الانصهار،  $h_{\text{melt}}$  إنتالبي الانصهار
2. القيم المميزة للمواد ( $\lambda$  التوصيل الحراري،  $C$  السعة الحرارية النوعية،  $\rho$  الكتلة النوعية) منسوبة للحالة الصلبة.

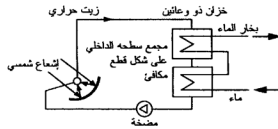


عند درجة الحرارة حوالي 200 °C يمكن استخدام خزانات الماء الساخن والبخار، وفوق درجة الحرارة هذه وحتى 400 °C تستخدم في الوقت الحاضر وبشكل رئيسي خزانات الزيت. وتُستعمل في الخزانات ذات الضغط الجوي الزيوت المعدنية كوسيط تخزين، وذلك عند درجات حرارة أدنى من 300 °C، أما من أجل درجات الحرارة التي تزيد عن 400 °C فتستخدم خزانات تتعرض للضغط العالي وتُشغّل بزيوت حراري غالي الثمن. يمكن لمجال درجات الحرارة بين 300 و 500 °C استخدام خزانات حرارة محسوسة تعمل بأملاح مصهورة ومعادن سائلة (الصوديوم).

يبين الجدول (4.12) القيم المميزة لوسائط التخزين لمجال درجات الحرارة المتوسطة. تتأثر أساليب التخزين المستخدمة في المحطات الشمسية بشكل كبير بالناقل الحراري وضغطه ومستوى درجة الحرارة.

يُستخدم كوناقل حرارية في المحطات الشمسية الهواء أو الملح (HITEC) أو الزيت الحراري أو الماء/البخار.

فمثلاً يتم تخزين الحرارة مباشرة عن طريق وسيط نقل حرارة المجموع أي الزيت الحراري في حوض تخزين يتألف من وعائين أحدهما حار والآخر بارد (الشكل 6.12). تبلغ درجة الحرارة الأعظمية المسموح بها 400 °C.



الشكل 6.12 : الخزان ذو الحوضين (الوعائين) الذي يعمل عند درجات الحرارة المتوسطة.

إلى جانب الخزانات الحرارية ذات الحرارة المحسوسة ذات درجات الحرارة المتوسطة فإن خزانات الحرارة الكامنة تكتسب أهمية أيضاً.

تقوم وسائط التخزين بالحرارة الكامنة بتخزين الحرارة المحسوسة بالإضافة إلى إنتالي الانصهار. من أجل درجات الحرارة التي تقع بين 280 و 500 °C فمن المناسب استخدام نترات المعادن القلوية\*

\* المقصود بهذه المعادن: ليثيوم، صوديوم، بوتاسيوم، روبيدوم، سيزيوم، فرانسسيوم، (المترجم).

أو تترات المعادن القلوية الأرضية<sup>\*\*</sup>.

في عملية تخزين الحرارة الكامنة تكون استطاعة التعبئة (الشحن) والتفريغ محدودة بسبب الانتقال السئ للحرارة بين ناقل الحرارة ووسيط التخزين.

في مجال درجات الحرارة المتوسطة تُستخدم كذلك هيدرات المعادن (مثل  $MgH_2$ ) كوسائط تخزين في الخزانات الحرارية — الكيميائية.

وفي مجال درجات الحرارة 500 حتى  $1300^\circ C$  يمكن استعمال خزانات الحرارة المخسوسة ذات المواد السيراميكية مثل  $MgO$ ،  $SiO_2$ ،  $Al_2O_3$ . في الخزانات الحرارية التي تستخدم مادتين مع ملح كوسيط حرارة كامنة في مسام مادة البناء السيراميكية يمكن الحصول على كثافة طاقة مرتفعة، ولذلك فإن الكمية اللازمة من وسيط التخزين أقل بكثير منها في خزانات الحرارة المخسوسة.

### مثال 3.12

يُطلب تحديد مواصفات خزان الحرارة الكامنة لمنشأة شمسية ذات درجة حرارة وسطية. سعة التخزين اللازمة 2 MWh، ودرجة الحرارة القصوى للعمل هي  $260^\circ C$ .

ما هو وسيط الحرارة الكامنة الأنسب للاستخدام؟

وما هي كتلة هذا الوسيط؟

يُشار إلى أنه لا يجوز أن يتجاوز فرق درجات الحرارة  $\Delta t$  لوسيط الحرارة الكامنة في دورة تخزين القيمة 20 K.

**الحل**

1. يتم اختيار أنسب وسيط حرارة كامنة من الجدول (4.12) وهو  $LiNO_3$  الذي تبلغ درجة حرارة

انصهاره  $t_{melt} = 252^\circ C$ ، انتالبي انصهاره  $h_{melt} = 530 \text{ kJ/kg}$ ، السعة الحرارية النوعية  $c = 2030$

$\text{J/kg K}$ .

2. تحسب كثافة الطاقة المنسوبة للكتلة من أجل خزان الحرارة الكامنة كما يلي:

$$Q = c \Delta t + h_{melt}$$

$$= 2.03 \text{ kJ/kg K} \times 20 \text{ K} + 530 \text{ kJ/kg} = 570.6 \text{ kJ/kg}$$

<sup>\*\*</sup> المقصود بهذه المعادن: معادن المجموعة الثانية في الجدول الدوري أي: بيريليوم، مغنيزيوم، كالسيوم، سترونتسيوم، باريوم، راديوم (المترجم).

3. الكتلة اللازمة لوسيط الحرارة الكامنة:

$$M = Q / q$$

$$= 2 \text{ MWh} \times 3600 \text{ s/h} \times 1000 \text{ kJ/MJ} / 570.6 \text{ kJ/kg} = 12618.3 \text{ kg}$$

### تخزين الطاقة الحراري — الكيميائي

يمكن تخزين الطاقة بسبب التفاعلات الكيميائية العكوسة ذات انتالبي التفاعل ذي القيمة الكبيرة، وتستخدم الطاقة في هذه العملية لإجراء تفاعل كيميائي ماص للحرارة (endothermic) وتُخزن نواتج الاحتراق. وفي التفاعل المُطلق للحرارة (exothermic) تستعاد الحرارة ثانية.

محاسن خزانات الطاقة الحرارية — الكيميائية هي:

— ارتفاع كثافة الطاقة المنسوبة إلى الحجم.

— عدم حدوث ضياعات طاقة أثناء تخزين نواتج التفاعل.

تعتبر أنواع التفاعلات العكوسة التالية مناسبة من أجل التخزين الحراري — الكيميائي للطاقة:

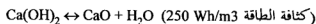
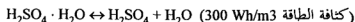
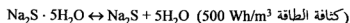
— نزع الهيدرات من هيدرات الأملاح والحموض (مثلاً  $\text{H}_2\text{SO}_4 \cdot \text{H}_2\text{O}$ ,  $\text{Na}_2\text{S} \cdot 5\text{H}_2\text{O}$ ).

— اختزال ماءات المعادن (مثل  $\text{Ca(OH)}_2$ ).

— التفكك الحراري للغازات (مثلاً  $\text{SO}_3 \leftrightarrow \text{SO}_2 + 1/2\text{O}_2$ ).

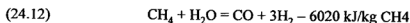
— التفكك (تحلل) الأملاح (مثلاً  $\text{CaCl}_2 \cdot 8\text{NH}_3$ ,  $\text{MgCO}_3$ ,  $\text{CaCO}_3$ ).

وهذه بعض الأمثلة لهذه التفاعلات:



### تخزين الطاقة باستخدام أنبوب حرارة كيميائي

يمكن استخدام أنبوب حرارة كيميائي على سبيل المثال لتخزين الطاقة الشمسية عن طريق دورة عمل حرارية — كيميائية. يستخدم الإشعاع الشمسي المركز في مفاعل ذي درجة حرارة عالية لتهديب الغاز الطبيعي بواسطة وسيط كيميائي (catalytic reforming)، وهكذا يجري التفاعل الماص للحرارة بين الميثان وبخار الماء عند درجة حرارة  $960^\circ\text{C}$ :



يستخدم خليط أول أكسيد الكربون CO والهيدروجين  $H_2$  كحامل للطاقة. يتم في منطقة الاستهلاك في مفاعل ذي وسيط كيميائي تشكيل الميثان من CO و  $H_2$  وتنتقل بذلك كمية من الحرارة.

يستخدم الروديوم أو النيكل كوسائط محفزة (حفازات) في كلا المفاعلين (المهذب وصانع الميثان).

## 4.12 خزانات البخار

خزان البخار الفائض عند انخفاض الحمل على العنفة البخارية

يتم تخزين الحرارة في خزان للماء الساخن، وتتألف دورة التخزين من عملية الملء والتخزين والتفريغ.

يتم الملء (الشحن) بتمرير البخار عبر فوهات بخار إلى داخل حوض الخزان وبذلك ترتفع قيمة الضغط فيه من  $p_1$  إلى  $p_2$  وعند ملاسة الماء المباشرة فإن البخار يتكاثف، ويؤدي تلقي حرارة التكاثف إلى رفع درجة الحرارة من  $t_1$  إلى  $t_2$  الاتتالي من  $h_1$  إلى  $h_2$ .

تعطي معادلة موازنة الطاقة عند شحن الخزان كمية البخار المضافة:

$$(25.12) \quad m_v = m_{w1} (h_1 - h_2) / (h_v - h_2) \quad [\text{kg}]$$

حيث:  $m_{w1}$  كتلة الماء في حوض التخزين عند بدء عملية التخزين وعند  $p_1$  و  $t_1$  [kg]

$h_1$  و  $h_2$  الاتتالي النوعي للماء عند بدء الشحن وعند النهاية [kJ/kg]

$h_v$  الاتتالي النوعي للبخار المضاف [kJ/kg].

عندما يكون الخزان مملوءاً توجد فيه الكتلة  $m_{w2} = m_{w1} + m_v$  من الماء الذي يغلي عند  $p_2$  و  $t_2$ .

وعند تفريغ الخزان يسحب البخار من حجرته مما يؤدي إلى تناقص الضغط في الخزان من  $p_2$  إلى

إلى  $p = p_2 - \Delta p$  ويحدث أثناء التناقص الكظيم للضغط تبخر لجزء من الماء ريثما تصبح درجة

الحرارة في الخزان مساوية لدرجة حرارة الإشباع عند الضغط  $p$ .

نتج كتلة البخار المشبع بواسطة إجراء موازنة للطاقة أثناء عملية التفريغ.

كمثال عن مواصفات منشأة ذات خزان للبخار الفائض في محطة نووية استطاعتها الكهربائية

400 MW نسوق المعطيات التالية: تتألف المنشأة من 4 خزانات حجم كل منها  $580 \text{ m}^3$  و

خزانات تجميع حجم كل منها  $180 \text{ m}^3$ . ضغط الشحن ودرجة حرارته كالتالي 20 bar و  $212^\circ\text{C}$

أو 48 bar و 260 °C . كما يكفي محتوى الطاقة لمنشأة التخزين لتشغيل محطة توليد الكهرباء لمدة ساعتين.



## 13 استخدام الطاقة بشكل اقتصادي وفعال

### 1.13 المحافظة على مصادر الطاقة والبيئة

يعطي الجدول (1.13) استهلاك الطاقة بحسب مجموعات المستهلكين ومجالات الاستخدام وذلك في ألمانيا الغربية (سابقاً).

يمكن تحقيق وفر في الطاقة الأولية وذلك عن طريق استخدام فعال لها، ويمكن الحد من الهدر عن طريق:

— تجنب الاستهلاك غير الضروري

— تخفيض الاستهلاك النوعي للطاقة

— تحسين المردود

— تخفيض ضياعات الطاقة

— الاستفادة من الطاقة المسترجعة.

الجدول 1.13: استهلاك الطاقة بحسب فئة المستهلك ومجال الاستخدام في ألمانيا الغربية سابقاً (عام 1991).

المستهلك	الاستهلاك بـ $10^{15}$ J	منها بالـ % قوة محرك	تسخين + تدفئة	عمليات حرارية صناعية	إتارة
الإجمالي	7.83	37.8	32.2 + 5.2	22.9	1.9
الصناعة	2.27	19.4	10.1 + 0.7	68.2	1.6
الاستهلاك المنزلي	2.12	6.0	76.6 + 12.2	3.7	1.5
للمواصلات	2.13	99.7	0.1	—	0.2
البقي	1.31	20.6	50.5 + 10.1	13.0	5.8

يؤدي الاستخدام الاقتصادي والعقلاني للطاقة إلى تقليل انبعاث المواد الضارة والغازات المؤثرة على المناخ والبيئة. (وبشكل خاص  $CO_2$ ).

## 2.13 تحسين العزل الحراري في الأبنية والأنابيب

### العزل الحراري في الأبنية والبيوت ذات الاستهلاك المنخفض للطاقة

يتراوح الاستهلاك الحراري لتدفئة المنازل في ألمانيا بين 220 و 270 kWh لكل  $m^2$  من مساحة السكن، أما استهلاك الطاقة لتدفئة المنازل فهو يرتبط بعوامل كثيرة مثل تكتل وعدم تبعر البناء وخواص العزل وقدرة السطوح الخارجية للبناء على تخزين الحرارة ودرجة الاستفادة من حمل التدفئة والتهوية واستخدام طاقة الشمس والوسط المحيط، بالإضافة إلى سلوك المستهلك نفسه. يكون استخدام الطاقة إيجابياً ومفضلاً إذا اجتمعت المواصفات الفيزيائية المثلى لبناء من حيث اختيار أبعاد الغلاف الخارجي له، مع التصميم الداخلي الجيد بما يتماشى مع الاستفادة الفعالة والبسيطة من الحمل الشمسية. كلما قلّت النسبة بين مساحة غلاف البناء وحجمه كلما كان البناء أكثر ترصاًصاً (compact). عند تساوي السطح المفيد فإن الضياعات الحرارية في البناء الأكثر ترصاًصاً تكون أقل. وبالتالي فإن عامل نفوذ الحرارة من الأبنية ذات المساكن المتعددة أقل منه في البيوت المنفردة (مسكن لأسرة واحدة).

يمكن الإقلال من استهلاك الحرارة لتدفئة منزل ما عن طريق بعض الإجراءات مثل الوفر في استهلاك الطاقة والاستفادة السلبية (passive) الممكنة من الطاقة الشمسية. تدعو النظم والقواعد المتعلقة بالمحافظة على الحرارة في ألمانيا إلى الحد الشديد من استهلاك الحرارة السنوي لتدفئة المنازل وإلى الإقلال ما أمكن من القيم المسموح بها لعامل نفوذ الحرارة  $k$  لأجزاء الأبنية المختلفة. والقيم المطلوب اتباعها قريبة من تلك النافذة لما يسمى "البيوت ذات الاستهلاك المنخفض للطاقة" والتي تتطلب جزءاً صغيراً فقط من الطاقة اللازمة للتدفئة التي تستهلكها البيوت التقليدية. في البيوت ذات الاستهلاك المنخفض للطاقة والتي تبين على مبدأ العزل الحراري الأمثل، والوفر الأعظمي بالطاقة عن طريق التهوية المتحكم بها واستعادة الحرارة والاستفادة من الطاقة الشمسية، يتراوح استهلاك الحرارة للتدفئة سنوياً بين 30 و 70 kWh لكل  $m^2$  من مساحة السكن.

تبلغ التكاليف الإضافية لبناء هذا النوع من البيوت 3 إلى 8 % من تكاليف البيوت المألوفة. يتطلب هذا النوع من البيوت العزل الحراري الجيد للجدران الخارجية للبناء بحيث تصبح كتيمة للهواء والريح، كذلك يجب تجنب الجسور الحرارية (المواقع ذات المقاومة الحرارية المنخفضة)، والتحكم بالتهوية والاستفادة السلبية (passive) من الطاقة الشمسية. تُخفّض في هذه البيوت إلى



الحد الأدنى ضياعات انتقال الحرارة وذلك عن طريق العزل الأمثل للغلاف الخارجي، وإغلاق الجسور الحرارية في أجزاء البناء (منع تمزيب الحرارة). كذلك يتم تقليل الضياعات الحرارية مع التهوية عن طريق غلاف يعيق تسرب الرياح، بالإضافة إلى ضبط جملة التهوية والتحكم بما بحيث لا يتجاوز عامل تجديد (تغيير) الهواء  $1/h - 0.5$ . كذلك يجب أن يصمم هذا المنزل من الناحية المعمارية بحيث يُستخدم الإشعاع الشمسي المار عبر النوافذ في الشتاء للتدفئة بشكل أمثل، وأن يُحجب في الصيف تفادياً للحرارة الزائدة.

إذا أمكن تأمين التيار الكهربائي والحرارة بشكل كامل عن طريق طاقة الشمس والمحيط عندها يتم الحصول على ما يسمى "البيت ذي الطاقة المعلوم". وشروط ذلك، عزل حراري أمثل واستخدام مصادر الطاقة الداخلية، واسترجاع الحرارة واستخدام منشآت فوتوفولطية وشمسية لتأمين الماء الساخن والتدفئة (عن طريق خزانات حرارة فصلية مصممة بالشكل الأمثل).

تتألف حرارة التدفئة لبناء ما من الحرارة اللازمة للتهوية والحرارة المنتقلة عبر جدران البناء:

$$(1.13) \quad Q_H = Q_T + Q_V = (k_m A_{\text{Build}} + z c_p V) (t_{\text{in}} - t_{\text{ext}}) \quad [\text{W}]$$

حيث:  $k_m$  عامل نفوذ الحرارة الوسطي للبناء  $[\text{W/m}^2\text{K}]$

$A_{\text{build}}$  مساحة الغلاف الخارجي للبناء  $[\text{m}^2]$

$V$  حجم البناء  $[\text{m}^3]$

$z$  عامل تجديد الهواء  $[1/h]$  (بين 0.5 أو 1 في الساعة)

$c_p$  السعة الحرارية النوعية للهواء  $[\text{Wh/m}^3\text{K}]$  (قيمته  $0.34 \text{ Wh/m}^3\text{K}$ )

$t_{\text{ext}}$  و  $t_{\text{in}}$  درجة الحرارة الداخلية والخارجية  $[\text{°C}]$ .

يُحسب عامل نفوذ الحرارة الوسطي  $k_m$  من قيم  $k$  لأجزاء البناء المختلفة (الجدار الخارجي، النافذة، السقف) وسطوحها كما يلي:

$$(2.13) \quad K_m = \sum (k A) / A_{\text{Build}}$$

يتم إنقاص استهلاك الحرارة بالنقل من سطح البناء عن طريق تحسين عملية العزل الحراري. ولهذا يُستخدم الزجاج المملوء بغاز خامل الذي تبلغ قيمة  $k$  له 1.4 إلى  $0.7 \text{ W/m}^2\text{K}$ ، أما السطوح غير الشفافة من البناء فيتم عزلها حرارياً بالشكل الأمثل. أما سماكة العازل لأجزاء البناء واللازمة

لإنقاص عامل نفوذ الحرارة عن القيمة الأصلية  $k$  (بدون عازل) إلى قيمة مرغوبة (أكثر محافظة على الحرارة)، فتحدد بمقارنة المقاومات الحرارية كما ستورد فيما يلي.  
تُحسب المقاومة الحرارية الإجمالية (بالـ  $m^2W/K$ ) كما يلي:

أ - بدون عازل

$$(3.13) \quad R = 1/k = 1/\alpha_i + \sum (\delta/\lambda) + 1/\alpha_{ext}$$

ب - مع عازل (تحسين المحافظة على الحرارة)

$$(4.13) \quad R_{isol} = 1/k_{isol} = 1/\alpha_{in} + \sum (\delta/\lambda) + (\delta/\lambda)_{isol} + 1/\alpha_{ext}$$

حيث:  $k$ ،  $k_{isol}$  عامل نفوذ الحرارة بدون عازل أو معه  $[W/m^2K]$

$\alpha_{ext}$ ،  $\alpha_{in}$  عامل انتقال الحرارة في داخل الغرفة وخارجها  $[W/m^2K]$

$(\delta/\lambda)$  مجموع المقاومات الحرارية لطبقات البناء ( $\delta$  سماكة الطبقة  $[m]$ )

$\lambda$  عامل توصيل الحرارة لمادة البناء  $[W/mK]$

$\delta_{isol}$  سماكة العازل  $[m]$

$\lambda_{isol}$  عامل توصيل الحرارة لمادة العزل  $[W/mK]$ .

تصبح السماكة اللازمة للعازل كما يلي:

$$(5.13) \quad \delta_{isol} = \lambda_{isol} (R_{isol} - R) = \lambda_{isol} (1/k_{isol} - 1/k) \quad [m]$$

يمكن التقليل من الحرارة اللازمة للتهوية (تجديد الهواء) بتخفيض عامل تغير الهواء  $z$  ومن أجل ذلك تلزم تهوية مضبوطة مع تسخين أولي للهواء البارد من طريق الحرارة الضائعة مع الهواء المطروح التي يتم استرجاعها في مبادل حراري خاص.  
يتناسب الوفرة في الطاقة بواسطة العزل الأفضل طردياً مع الفرق بين قيمة  $k$  للبناء العادي وقيمة  $k$  للبناء المعزول جيداً.

يمكن باستخدام درجات الحرارة القياسية في الداخل والخارج وبلاستعانة بالمعادلة 1.13 حساب الاستهلاك الحراري القياسي  $Q_N$  (Norm) بالواط وكذلك عدد ساعات الاستخدام الكلي في العام كما يلي:

$$(6.13) \quad Q_{H,Y} = Q_N b \quad [Wh/a]$$

### مثال 1.13

ما هي السماكة المطلوبة للعازل حتى يمكن تخفيض الضياعات الحرارية من جدار خارجي بمقدار 80 %. القيمة الأولية لـ  $k$  (قبل العزل) للجدار الخارجي 1.4 W/m<sup>2</sup>K، وعامل التوصيل الحراري للعازل 0.04 W/mK.

**الحل**

نحسب تيار الضياع الحراري من الجدار الخارجي بدون ومع عزل كما يلي:

$$Q = k A \Delta t, Q_{\text{isol}} = k_{\text{isol}} A \Delta t$$

$$Q_{\text{isol}} = 0.2 Q$$

وبالتالي ينتج عامل نفوذ الحرارة مع عزل كما يلي:

$$K_{\text{isol}} = 0.2 k = 0.2 \times 1.4 = 0.28 \text{ W/m}^2\text{K}$$

أما سماكة العازل:

$$\begin{aligned} \delta_{\text{isol}} &= \lambda_{\text{isol}} (1 / k_{\text{isol}} - 1 / k) \\ &= 0.04 (1 / 0.28 - 1 / 1.4) = 0.114 \text{ m} \end{aligned}$$

### عزل الحرارة في الأنابيب

سندرس فيما يلي حالتين: الضياعات الحرارية في أنبوب غير معزول وآخر معزول. تنشأ الضياعات الحرارية بسبب فرق درجات الحرارة بين المائع الساخن (ماء ساخن، بخار، هواء) ضمن الأنابيب والهواء الخارجي. يتحدد تيار الضياعات الحرارية بمعرفة فرق درجات الحرارة بين المائع والهواء الخارجي ومساحة سطح الأنابيب والمقاومة الحرارية الإجمالية. تبين المعادلة التالية كيفية حساب كثافة تيار الضياعات الحرارية بالنسبة إلى  $m$  من طول الأنابيب:

$$(7.13) \quad q_l = Q / L \quad [\text{W/m}]$$

حيث:  $Q$  تيار الضياعات الحرارية [W]

$L$  طول الأنابيب [m].

أما تيار الضياعات الحرارية فهو يحسب كما يلي:

$$\begin{aligned} Q &= L (t_F - t_{\text{air}}) / [1 / \pi d_i \alpha_{\text{in}} + (1 / 2 \pi \lambda) \ln (d_{\text{ext}} / d_{\text{in}}) + 1 / \pi d_{\text{ext}} \alpha_{\text{ext}}] \\ (8.13) \quad &= L (t_F - t_{\text{air}}) / (R_{\text{in}} + R_w + R_{\text{ext}}) \quad [\text{W}] \end{aligned}$$

حيث:  $t_F$  و  $t_{air}$  درجة حرارة المائع والهواء الخارجي [°C]

$d_{ext}$ ,  $d_{in}$  القطر الداخلي والخارجي للأنبوب [m]

$\alpha_{ext}$ ,  $\alpha_{in}$  عامل انتقال الحرارة للمائع إلى السطح الداخلي للأنبوب أو من السطح

الخارجي للأنبوب إلى الهواء [W/m²K]

$R_{ext}$ ,  $R_{in}$ ,  $R_w$  المقاومة الحرارية لجدار الأنبوب، ولانتقال الحرارة عند السطح الداخلي

أو الخارجي للأنابيب [mK/W].

تُحسب المقاومات الحرارية بالنسبة لـ 1 m من طول الأنبوب (بالـ mK/W) كما يلي:

- لجدار الأنبوب

$$(9.13) \quad R_w = (1 / 2 \pi \lambda) \ln (d_{ext} / d_{in})$$

- من أجل انتقال الحرارة من المائع الساخن (مثلاً الماء الساخن) إلى السطح الداخلي لجدار

الأنبوب:

$$(10.13) \quad R_{in} = 1 / \pi d_{in} \alpha_{in}$$

- لانتقال الحرارة من السطح الخارجي لجدار الأنبوب إلى الهواء البارد:

$$(11.13) \quad R_{ext} = 1 / \pi d_{ext} \alpha_{ext}$$

تكون في العادة قيم  $R_w$  و  $R_i$  أصغر بكثير من  $R_{ext}$  بحيث يمكن إهمالها ( $R_i$ ,  $R_w$ )، وبالتالي يمكن

اعتبار  $t_{ext}$  أي درجة حرارة السطح الخارجي للأنبوب مساوية تقريباً لـ  $t_F$ .

ولحساب تيار الضياعات الحرارية من الأنابيب غير المعزولة يمكن بشكل تقريبي كتابة:

$$(12.13) \quad Q \approx \alpha_{ext} \pi d_{ext} L (t_F - t_{air}) \quad [W]$$

يتألف عامل انتقال الحرارة الإجمالي من مقدارين:

$$(13.13) \quad \alpha_{ext} = \alpha_c + \alpha_{Rad} \quad [W/m^2K]$$

حيث:  $\alpha_c$  و  $\alpha_{Rad}$  عامل انتقال الحرارة بالحمل والإشعاع وذلك من السطح الخارجي للأنبوب

إلى الوسط المحيط [W/m²K].

من أجل الحمل الحر للهواء:

$$(14.13) \quad \alpha_c = Nu \lambda / l = m Ra^n \lambda / l$$

حيث:  $Nu$  رقم نوسيل

$\lambda$  عامل التوصيل الحراري للهواء

$l$  الطول المميز (القطر للأنايب الأفقية، الطول للأنايب الشاقولية)

$Ra$  رقم ريليه

$m$  و  $n$  أرقام مرتبطة بـ  $Ra$  (انظر الجدول 2.1).

يُحسب تيار الحرارة المنتقلة بالإشعاع كما يلي:

$$(15.13) \quad Q_{\text{Rad}} = A_{\text{ext}} \varepsilon C_o [(T_o / 100)^4 - (T_{\text{air}} / 100)^4] \quad [\text{W}]$$

حيث:  $A_{\text{ext}} = \pi d_{\text{ext}} L$  السطح الخارجي للأنبوب (حوالي 0.9)

$5.67 \text{ W/m}^2\text{K} = C_o$  عامل إشعاع الجسم الكامل السواد

$T_o$  و  $T_{\text{air}}$  درجة حرارة السطح الخارجي للأنبوب وللجو.

وبطريقة تقريبية:

$$(16.13) \quad Q_{\text{Rad}} = 0.5 A_{\text{ext}} \varepsilon C_o (T_o + T_{\text{air}})^3 \quad [\text{W}]$$

أما عامل انتقال الحرارة بالإشعاع فيحسب كما يلي:

$$\alpha_{\text{Rad}} = Q_{\text{Rad}} / A_{\text{ext}} (T_o - T_{\text{air}})$$

$$(17.13) \quad = 0.5 A_{\text{ext}} \varepsilon C_o (T_o + T_{\text{air}})^3 (T_o - T_{\text{air}}) \quad [\text{W/m}^2\text{K}]$$

## مثال 2.13

يُطلب حساب تيار الضياعات الحرارية لأنبوب ماء ساخن غير معزول قطره الخارجي  $d_{\text{ext}} = 80 \text{ mm}$  وطوله  $L = 20 \text{ m}$ . درجة حرارة السطح الخارجي لهذا الأنبوب  $t_f = 200^\circ\text{C}$ ، درجة حرارة الهواء  $t_{\text{air}} = 20^\circ\text{C}$ ، عامل انتقال الحرارة الإجمالي  $\alpha_{\text{ext}} = 18 \text{ W/m}^2\text{K}$  وذلك من الأنبوب إلى الهواء.

**الحل**

يحسب تيار الضياع الحراري كما يلي:

$$Q = \pi \alpha_{\text{ext}} d_{\text{ext}} L (t_f - t_{\text{air}})$$

$$= \pi 18 \text{ W/m}^2\text{K} \times 0.08 \text{ m} \times 20 \text{ m} (200 - 20)\text{K} = 162860 \text{ W}$$

تكون المقاومة الحرارية في الأنابيب المعزولة أعظمية في مادة العزل، ودرجة حرارة السطح

الخارجي للأنبوب أصغر بكثير من درجة حرارة المائع  $t_f$ .

ولحساب كثافة التيار الحراري بالنسبة لـ  $1 \text{ m}$  من طول الأنابيب المعزولة نكتب:

$$q_1 = Q/L = (t_F - t_{air}) / [1 / \pi d_{in} \alpha_{in} + (1/2 \pi \lambda_w) \ln(d_{ext}/d_{in}) + (1/2 \pi \lambda_{isol}) \ln(d_{isol}/d_{ext}) + 1 / \pi d_{isol} \alpha_{ext}] \quad (18.13)$$

حيث:  $d_{ext} = d_{isol} + 2\delta_{isol}$  قطر الأنبوب المعزول [m]  
 $\delta_{isol}$  سماكة العازل  
 $\lambda_w$  و  $\lambda_{isol}$  عامل التوصيل الحراري لجدار الأنبوب أو للعازل [W/mK].  
وبشكل بديل يمكننا كتابة:

$$q_1 = (t_F - t_{air}) / (R_{in} + R_w + R_{isol} + R_{ext}) \quad (19.13)$$

حيث:  $R_{isol}$  و  $R_w$  المقاومة الحرارية لجدار الأنبوب أو للعازل (بالنسبة لـ 1 m من طول الأنبوب) [mk / W]  
 $R_{ext}$  و  $R_{in}$  المقاومة الحرارية لعملية انتقال الحرارة عند الجانب الداخلي أو الخارجي للأنبوب (بالنسبة لـ 1 m من طول الأنبوب) [mk/W].  
إذا أهملت  $R_w$  و  $R_{in}$  بالنسبة لـ  $R_{isol}$  و  $R_{ext}$  تصبح:

$$q_1 \approx (t_F - t_{air}) / (R_{isol} + R_{ext}) = (t_O - t_{air}) / R_{ext} \quad [W/m] \quad (20.13)$$

ولحساب درجة حرارة السطح الخارجي للأنبوب:

$$t_o = t_{air} + (t_F - t_{air}) R_{ext} / (R_{isol} + R_{ext})$$

$$= t_{air} + (t_F - t_{air}) / [1 + (d_{isol} \alpha_{ext} / 2 \lambda_{isol}) \ln(d_{isol}/d_{ext})] \quad [^\circ C] \quad (21.13)$$

ولحساب تيار الضياعات الحرارية:

$$Q = \pi \alpha_{ext} d_{isol} L (t_O - t_{air}) \quad [W] \quad (22.13)$$

### مثال 3.13

تخفّض الضياعات الحرارية من الأنبوب الوارد في المثال 2.13 عن طريق عازل سماكته  $\delta_{isol} = 50 \text{ mm}$  وعامل توصيله للحرارة  $\lambda_{isol} = 0.04 \text{ W/mK}$   
ما هو تيار الضياعات الحرارية للأنبوب المعزول؟

الحل

القطر الخارجي للأنبوب المعزول:

$$d_{\text{isol}} = d_{\text{ext}} + 2 \delta_{\text{isol}} \\ = 0.08 \text{ m} + 2 \times 0.05 \text{ m} = 0.18 \text{ m}$$

وتحسب درجة حرارة السطح الخارجي للأنبوب الموزول وفقاً للمعادلة (12.13) كما يلي:

$$t_0 = 20^\circ\text{C} + (200 - 20)\text{K} / [1 + (0.18 \text{ m} \times 18 \text{ W/m}^2\text{K} / 20.04 \text{ W/mK}) \\ \ln (0.18 \text{ m} / 0.08 \text{ m})] = 25.3^\circ\text{C}$$

أما تيار حرارة الضياعات:

$$Q = \pi \alpha_{\text{ext}} d_{\text{isol}} L (t_0 - t_{\text{air}}) \\ = \pi 18 \text{ W/m}^2\text{K} \times 0.18 \text{ m} \times 20 \text{ m} (25.3 - 20)\text{K} = 539.5 \text{ W}$$

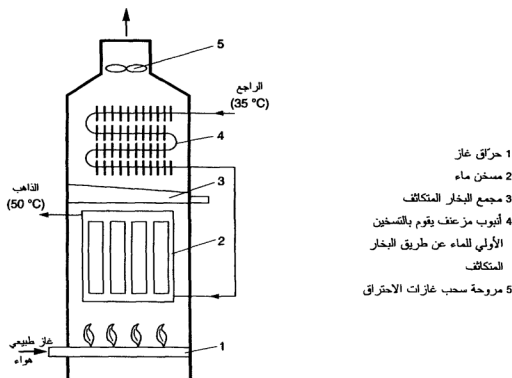
### 3.13 أجهزة التدفئة الاقتصادية

تُحصل في مراحل التدفئة القديمة ضياعات طاقة كبيرة. فيمكن مثلاً أن تصل الضياعات مع غازات الاحتراق إلى 12 وحتى 15 %، ومع الإشعاع والتحضيرات 10 إلى 23 %، بحيث يصل المردود إلى 62 وحتى 76 % فقط. وغالباً ما تكون المراحل المستخدمة أكبر من المطلوب وغير متناسبة بالأصل مع الحرارة المطلوبة، وبسبب ذلك يزداد الاستهلاك الحراري السنوي بمقدور 30 %. كذلك لا يتم في كثير من الأحيان تنظيم توزيع الحرارة بشكل صحيح. بالإضافة إلى ذلك يساهم العزل الخاطئ أو عدم وجوده أصلاً إلى زيادة الضياعات الحرارية. ويصل مردود الاستفادة السنوي في منشآت التدفئة القديمة حتى حوالي 60 % أما في المنشآت المُحدثة فيصل إلى حوالي 89 %.

تغطي تقانة التدفئة الحديثة الحاجات الحرارية للغرف وللعمليات الحرارية الصناعية بشكل اقتصادي وملائم للبيئة. كما يُمكن استخدام هندسة التحكم من الموازنة بين توليد الحرارة والحاجة الفعلية لها.

تُنظَّم في مراحل التدفئة ذات درجات الحرارة المنخفضة درجة حرارة دخول الماء إلى مراحل التسخين، بحيث تتواءم مع الاستهلاك الحراري الذي يتعلق بدرجة حرارة الهواء الخارجي. يمكن أن تستخدم في مراحل حرق الغاز القيمة الحرارية العليا للغاز التي تزيد 10 إلى 12 % عن القيمة الحرارية الدنيا LCV، ولذلك يكون مردود مراحل الغاز مرتفعاً ويصل إلى 105 حتى 110 % (منسوباً إلى القيمة الحرارية الدنيا للوقود). يبين الشكل (1.13) طريقة عمل مرجل الغاز، حيث يتم تبريد غازات الاحتراق عند درجة حرارة منخفضة للماء العائد إلى 50 °C، وهكذا يتكاثف

بخار الماء الموجود في غازات الاحتراق ويُستفاد من حرارة تكاثف بخار الماء في تسخين الماء تسخيناً أولياً. يجب أن يكون المسخن الأولي للماء مصنوعاً من مادة مقاومة للصدأ، وتتمتع مراحل الغاز الحديثة ذات درجات الحرارة المنخفضة بمردود عالٍ.



الشكل 1.13 : مخطط يبين مبدأ عمل مراحل الاستفادة من القيمة الحرارية العليا للغاز.

فمثلاً تبلغ الضياعات مع غازات الاحتراق 7 إلى 9 % بينما تبلغ ضياعات الإشعاع والتحضير 1 إلى 2 %، وبالتالي يبلغ المردود 89 إلى 92 %.

عناصر منشأة التدفئة التي تساهم في وفر الطاقة وحماية البيئة هي:

- الخزان الحراري
- المبادل الحراري الذي يستفيد من حرارة غازات الاحتراق وحرارة تكاثفها (أي من القيمة الحرارية العليا للوقود)
- الحراق الذي يطلق قدرأ ضئيلاً من المواد الضارة (حرقات حديثة)
- أجهزة التحكم التي توائم بين عمل منشأة التدفئة وحالة الجو.



يؤدي استخدام هذا النوع من المراحل إلى استخدام أفضل للوقود وإلى وفر في الطاقة بمقدار 20 إلى 25 %.

عند توزيع الحرارة تجري المحاولة قدر الإمكان إلى تخفيض درجة حرارة الماء المغادر للمرجل. بواسطة الموائمة المثلى بين عناصر المرجل يمكن تحقيق التوافق الجيد بين الحرارة المتولدة والاستهلاك الفعلي للحرارة. لتدفئة الغرف الكبيرة في المنشآت الصناعية يمكن استخدام التدفئة بالهواء الساخن، وهذه الطريقة مناسبة خاصة عندما يكون هناك تغير كبير لدرجات الحرارة أو للغرف التي تستخدم لأوقات قصيرة. وفي هذه الحالة فإنه من المناسب استخدام عدة مسخنات هواء صغيرة بدلاً من جهاز كبير.

في المثال التالي (4.13) سيُعرض حساب الوفر السنوي في تكاليف الطاقة لمرجل حرق الوقود الغازي مع الاستفادة من القيمة الحرارية العليا للغاز.

#### مثال 4.13

يُستعاض في جملة تدفئة عن مرجل تدفئة تقليدي درجة الاستفادة منه  $\eta_{\text{conv}} = 80\%$  بمرجل يحرق الغاز درجة الاستفادة منه  $\eta_{\text{G,SG}} = 104\%$  (منسوباً إلى القيمة الحرارية الدنيا للوقود). ما هو الوفر السنوي في استهلاك الطاقة؟ عندما يكون الاستهلاك المعياري للحرارة  $Q_N = 50 \text{ kW}$ . عدد ساعات الاستخدام في السنة  $b = 1640 \text{ h/a}$  وكلفة الغاز الطبيعي  $C = 0.7 \text{ DM/m}^3$ .

القيمة الحرارية الدنيا للوقود الغازي  $36 \text{ MJ/m}^3$ .

*الحل*

1. الاستهلاك السنوي للحرارة من أجل التدفئة:

$$\begin{aligned} Q_H &= Q_N b \\ &= 50 \text{ kW} \times 1640 \text{ h/a} = 82000 \text{ kWh/a} \end{aligned}$$

2. الاستهلاك السنوي للوقود:

– عندما تستخدم مجموعة التدفئة مرجلاً تقليدياً:

$$\begin{aligned} B_{\text{conv}} &= Q_H / \text{LCV } \eta_{\text{conv}} \\ &= 82000 \text{ kWh/a} \times 3600 \text{ s/h} / (36000 \text{ kJ/m}^3 \times 0.8) = 102500 \text{ m}^3/\text{a} \end{aligned}$$

- عند استخدام مرجل الاستفادة من القيمة الحرارية العليا للغاز:

$$B_{G,SG} = Q_H / LCV \eta_{G,SG}$$

$$= 82000 \text{ kWh/a} \times 3600 \text{ s/h} / (36000 \text{ kJ/m}^3 \times 1.04) = 78846 \text{ m}^3/\text{a}$$

3. الوفرة السنوي في الطاقة عند استخدام المرجل الجديد:

$$\Delta B = (B_{\text{conv}} - B_{G,SG}) C$$

$$= (102500 \text{ m}^3/\text{a} - 78846 \text{ m}^3/\text{a}) 0.7 \text{ DM/m}^3 = 16557.8 \text{ DM/a}$$

## 4.13 استرجاع الحرارة والمضخات الحرارية

يجري استرجاع الحرارة من هواء الغرف المطروح أو هواء العمليات الصناعية أو من الماء المطروح في مختلف المنشآت.

تتعلق درجة الحرارة الضائعة بالعمليّة والمنشأة (انظر الجدول 2.13).

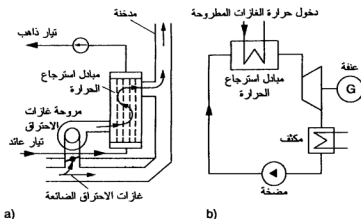
الجدول 2.13: درجات الحرارة النمطية للهواء الضائع، للغازات الضائعة، للماء المطروح

العملية/المنشأة	الوسيط	درجة الحرارة
تجهيزات هواء الغرفة	الهواء	26 – 16
عمليات التبريد	الهواء	60 – 20
منشآت التبريد وعمليات أخرى	ماء	60 – 20
منشآت محركات الاحتراق وهندسة العمليات	غازات الاحتراق	550 – 150

لاسترجاع الحرارة تستخدم المبادلات الحرارية الاسترجاعية الشكل (2.13)، ولتوليد الكهرباء تستخدم عملية (Organic rankine Cycle) ORC أي دورة رانكين العضوية ذات الوسيط العضوي (مثل R 11 و R 12 ...) ويمكن الحصول عن طريق عمليات ORC عندما تكون درجات حرارة الغازات الضائعة 200 إلى 500 °C على مرود يصل إلى 20 %.

لتحويل الحرارة الضائعة إلى حرارة مفيدة تستخدم أيضاً المضخات الحرارية. تنقل المضخة الحرارية الحرارة من وسيط منبع حراري ذي درجة حرارة منخفضة إلى وسيط عمل عند مستوى حراري أعلى، وهي تتألف من مبادل حراري لسحب الحرارة من المصدر الحراري (حرارة الوسيط الخارجي أو حرارة ضائعة) وآلة التبريد ومبادل حراري لانتقال الحرارة إلى وسيط عمل العملية

المفيدة، مثلاً إلى الماء الساخن. تتألف آلة التبريد بالانضغاط من أربعة عناصر: مبخّر وضغط ومكثف وصمام خنق الشكل (3.13). ويستخدم كوسيط تبريد مائع ذو درجة غليان منخفضة وغير حار على FCKW كالأمونيك. تستخدم لتشغيل الضاغط محركات كهربائية أو محركات احتراق داخلي.

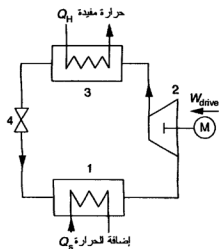


الشكل 2.13 : استرجاع حرارة الغازات (a) لتوليد حرارة مفيدة (b) لتوليد التيار الكهربائي.

رقم الاستطاعة أو رقم التسخين لمضخة حرارية هو النسبة بين حرارة التسخين وطاقة التحريك الميكانيكية.

(23.13)

$$\phi = Q_H / W_{drive}$$



- 1 مبخّر
- 2 ضاغط مع محرك تشغيل
- 3 مكثف
- 4 صمام خنق (تمدد)

الشكل 3.13 : المضخة الحرارية بالانضغاط.

تتراوح قيمة  $\phi$  للمضخات الحرارية الكهربائية بين 2.0 و 4.3. وللمضخات الحرارية ذات محرك الاحتراق الداخلي يصل رقم التسخين السنوي 1.1 إلى 2.4. تتراوح الحدود العليا لدرجة حرارة تكاثف وسائط التبريد المختلفة بين 55 و 120 °C. يرتبط فرق درجات الحرارة المرتفع بين المصدر الحراري والماء الساخن بالاستفادة الكبيرة من الطاقة مما يؤدي إلى قيم منخفضة نسبياً لـ  $\phi$ . أما المضخة الحرارية الامتصاصية فتتألف من: مبخر وقميص ومولد ومكثف ومضخة وصمامي خنق (تمدد) (الشكل 4.13).

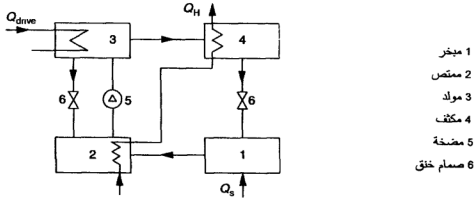
تعمل المضخات الحرارية الامتصاصية بزوج من وسائط العمل (بروميد الليثيوم — الماء للمبخرات التي تزيد حرارتها عن 4 °C أو الامونياك — الماء للمبخرات التي تقل درجة حرارتها عن الصفر 0 °C).

نسبة الحرارة لمضخة حرارية امتصاصية هي النسبة بين حرارة التسخين وحرارة التحريك (التشغيل):

$$(24.13) \quad \zeta = Q_{H1}/Q_{drive}$$

وبناءً على فرق درجات الحرارة بين المولد والمبخر فإن قيم  $\zeta$  التي يمكن الحصول عليها هي 1.1 و 1.3.

يمكن تشغيل منشآت التدفئة ذات المضخات الحرارية إما منفردة أو بالمشاركة مع منشأة أخرى.



الشكل 4.13 : المضخة الحرارية الامتصاصية.

عند التشغيل بمضخات حرارية منفردة فإنه يتم تغطية الحمولة الحرارية بدون تسخين إضافي، أما في المنشآت التي تعمل بالمشاركة فإن المضخة الحرارية تعمل على التوازي أو كبديل مع منشأة تدفئة

تقليدية، وعند التشغيل بالمشاركة يجب أن يصمم التسخين الإضافي دوماً من أجل 100 % للحرارة الأعظمية اللازمة للتسخين. يمكن للمنشآت التي تعمل بالمشاركة وعلى التوازي أن تغطي الاحتياجات الحرارية بشكل أكبر وذلك بمساعدة المضخة الحرارية.

تبلغ تكاليف الاستثمار 500 إلى 700 DM لكل kW من الاستطاعة المفيدة، ومن أجل تشغيل اقتصادي يلزم 5000 إلى 6000 ساعة استخدام في العام.

تستخدم المضخات الحرارية للتدفئة في الغرف ولتوليد الحرارة للعمليات المختلفة. أما مصادر الحرارة لمنشآت المضخات الحرارية فهي: الهواء الخارجي، المياه الجوفية (8 إلى 12 °C)، التراب (الأرض)، المياه السطحية (2 إلى 15 °C)، الإشعاع الشمسي، الهواء المطروح، المياه المطروحة، ماء التبريد.

### وفر الطاقة في المنشأة ذات التوليد المشترك للكهرباء والحرارة والبرودة

إن مزية هذه المنشأة هي عملها طوال العام، وبالتالي يرتفع معدل استثمارها واقتصاديتها. في المثال (5.13) ستعرض مقارنة بين المنشأة ذات التوليد المشترك للكهرباء والحرارة والبرودة وبين منشأة تبريد تقليدية ذات آلة تبريد بالانضغاط.

### مثال 5.13

يطلب تحديد درجة الاستفادة لمحطة ذات توليد مشترك للكهرباء وللحرارة وللبرودة بآلة تبريد امتصاصية، ومحطة أخرى تولد البرودة، بواسطة آلة تبريد بالانضغاط وتولد الكهرباء في منشأة بخارية.

معلوم للمحطة ذات التوليد المشترك للكهرباء والحرارة والبرودة، القيم الساعية التالية (بالـ kWh):

الاستهلاك للطاقة الأولية 2560، الطاقة المفيدة (الطاقة الكهربائية 770، الحرارة المفيدة 405 والبرودة المفيدة 1000)، ضياعات الطاقة 358.

أما كميات الطاقة الساعية (بالـ kWh) في منشأة المقارنة فهي:  
في محطة توليد الكهرباء: استهلاك الطاقة الأولية 3170، الطاقة المفيدة (الكهربائية) 770، ضياعات الطاقة 2155.

وفي آلة التبريد بالانضغاط: التبريد المفيد 1000، الطاقة الكهربائية لتشغيل الضاغط 245.

## الحل

تُحسب درجة الاستفادة التي هي النسبة بين الطاقة المفيدة (تيار كهربائي، حرارة، برودة) والطاقة المستخدمة كما يلي:

— لمحلة التوليد المشترك للكهرباء والبرودة والحرارة:

$$\eta_1 = E_u / E_{\text{prim}} = 2175 / 2560 = 0.85$$

— ولمنشأة المقارنة ذات توليد البرودة في آلة التبريد بالانضغاط وتوليد الكهرباء في المحطة البخارية.

$$\eta_2 = Q_u + E_{\text{el}} / E_{\text{prim}} = 770 + 1000 / 3170 = 0.56$$

## 5.13 توليد الكهرباء في آلات تمدد الغاز

### العملية

يتراوح ضغط الغاز الطبيعي في شبكات توزيع الغاز بين 40 و 70 bar، يُخفّض هذا الضغط إلى 4 حتى 8 bar في محطة تنظيم الضغط بواسطة الخنق.

**!** الخنق هو عملية تمدد كظيم غير عكوس لو بسيط عن طريق جريانه عبر صمام تمدد.

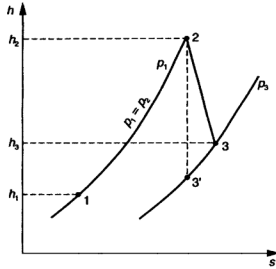
وهكذا ينخفض الضغط ( $p_2 < p_1$ ) مع بقاء إنتالبي وسيط العمل ثابتاً أي  $h_1 = h_2$ . كذلك تبقى درجة الحرارة في الغازات المثالية ثابتة  $t_1 = t_2$ . وجراء أثر تومسون — جول (Thomson-Joule effect) فإن الغاز الطبيعي يتبرّد عند إجراء عملية الخنق أي أن  $t_2 < t_1$  عندما تكون درجة حرارته قبل صمام التمدد أصغر من درجة حرارة العكس (الانقلاب)  $T_{\text{inv}}$ . فمثلاً تبلغ درجة حرارة الانقلاب لبخار الماء 4369 K ولذلك تنخفض درجة حرارته عند الخنق.

عند إجراء عملية الخنق للغاز الطبيعي فإنه يؤخذ عند الحساب انخفاض في درجة الحرارة قدره 0.4 إلى 0.5 K لكل 1 bar في تغير الضغط  $\Delta p$ . ولتجنب تبريد مبالغ فيه وغير مرغوب عند قيمة مرتفعة لـ  $\Delta p$  فإنه يتم عادة تسخين الغاز.

إن هبوط ضغط الغاز الطبيعي الذي يحدث في جملة التغذية وعند الخنق يمكن استخدامه في توليد التيار الكهربائي.

لتوليد الكهرباء يُسخّن الغاز الطبيعي في البدء تسخيناً أولياً ثم يترك ليتمدّد في آلة تمدد الغاز (عنفة أو آلة تمدد مكبسية أو لولبية).

من الضروري إجراء التسخين الأولي للغاز لأن درجة حرارته عند التمدد تنخفض.



الشكل 5.13 : التسخين الأولي للغاز بثبوت الضغط (2-1) وتمدد الغاز غير العكوس (3-2) على مخطط h-s.

يبين الشكل (5.13) العملية المولفة من تسخين أولي للغاز عند ثبوت الضغط وتمدد الغاز غير العكوس وذلك على مخطط h-s.

ينتج استهلاك الحرارة اللازم لتسخين الغاز تسخيناً أولياً (2-1) في الشكل (5.13) من المعادلة:

$$Q_s = m \Delta h_{\text{preh}} = m c_p (T_2 - T_1) \quad [\text{kJ/s}] \quad (25.13)$$

حيث:  $m$  التدفق الكتلي للغاز الطبيعي  $[\text{kg/s}]$

$\Delta h_{\text{preh}}$  ارتفاع الانتالبي  $[\text{kJ/kg}]$

$c_p$  السعة الحرارية النوعية الوسطية للغاز الطبيعي  $[\text{kJ/kg}]$

$T_1$  و  $T_2$  درجة حرارة الغاز قبل التسخين الأولي وبعده.

في التمدد النظري (الإيزونتروبي) (2 - 3') فإن العمل النوعي المفيد يحسب كما يلي:

$$w_1 = h_2 - h_3' = c_p (T_2 - T_3')$$

$$= k / (k - 1) R T_2 [1 - (p_3 / p_2)^{(k-1)/k}] \quad [\text{kJ/kg}] \quad (26.13)$$

حيث:  $k = 1.32$  لأس الإيزنتروبي ( $\text{CH}_4$  لب) أس الإيزنتروبي

$R$  ثابت الغاز ( $0.519 \text{ kJ/kgK}$ )، للدليان 2 و 3 هما حالة الغاز قبل التمدد وبعده.

ولحساب الاستطاعة النظرية لآلة تمدد الغاز:

$$(27.13) \quad P_{\text{theor}} = m w_i \quad [\text{kW}]$$

حيث:  $m$  التدفق الكتلي للغاز  $[\text{kg/s}]$ .

بسبب عدم العكسية تنشأ ضياعات طاقة يتم تضمينها في المردود الداخلي  $\eta_i$  للآلة.

أما الاستطاعة الفعلية  $P_a$  الممكن نقلها من آلة التمدد فهي أقل من الاستطاعة النظرية وهي:

$$(28.13) \quad P_a = \eta_i P_{\text{theor}} = \eta_i m w_i \quad [\text{kW}]$$

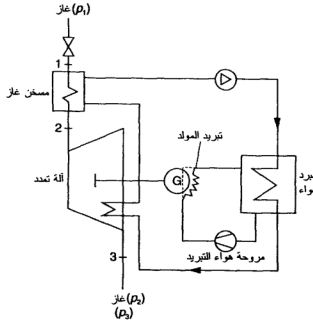
أما درجة الحرارة النهائية الفعلية للغاز فهي تحسب كما يلي:

$$(29.13) \quad T_3 = T_2 \{1 - [1 - (p_3 / p_2)^{(k-1)/k}] \eta_i\} \quad [\text{K}]$$

يتم كسب الاستهلاك الزائد (الإضافي) للتسخين الأولي عند التمدد مقارنة بالاختناق بشكل كامل كعمل.

ومردود العملية المثالية يحسب كما يلي:

$$(30.13) \quad \eta_{\text{theor}} = P_{\text{theor}} / Q_s$$



الشكل 6.13 : مخطط سير العمليات في منشأة آلة التمدد المؤلفة من مسخن الغاز، محرك غازي مع آلة تمدد، مولد ومبرد هواء.



المردود الإجمالي الفعلي (يبلغ حوالي 80 % عند استرجاع الحرارة) يحسب كما يلي:

$$(31.13) \quad \eta_{\text{total}} = \eta_{\text{theor}} \eta_i \eta_m \eta_G$$

حيث:  $\eta_i$  المردود الداخلي لآلة التمدد

$\eta_m$  المردود الميكانيكي

$\eta_G$  مردود المولد الكهربائي.

يبين الشكل (6.13) مخطط سير العمليات في منشأة آلة التمدد، المؤلفة من: آلة تمدد (محرك غازي) ومولد. تُنقل الحرارة التي تمر على آلة التمدد والمولد ثم تضيع إلى ماء التسخين في مبرد الهواء ومبرد المحرك الغازي، وتُستخدم في التسخين الأولي للغاز في مسخن للغاز. وكمثالٍ سُنْعرض مواصفات منشأة تمدد الغاز الطبيعي المستخدمة لتزويد مدينة Lübeck (الألمانية) بالغاز. القيم الأولية والنهائية التي تميز الغاز الطبيعي هي على سبيل المثال: 45 حتى 50 bar / 9 إلى 16 و 40 حتى 45 bar / 4 حتى 7.5 bar... إلخ حتى 4 bar / 17.5 حتى 8 bar. تعلق الاستطاعة الكهربائية  $P_{el}$  بمبوط الضغط وتدفق الغاز  $V$ : عند  $V = 45000 \text{ m}^3/\text{h}$  فإن  $P_{el} = 1.5 \text{ MW}$  وعند  $7000 \text{ m}^3/\text{h}$  تكون 0.365 MW. ويتم التشغيل الفعال بمعدّل 4000 ساعة حمولة كاملة في العام.

كذلك يمكن استخدام العنفات الغازية في عملية تمدد الغاز الطبيعي.



## 14 الهيدروجين، خلايا الوقود، مولدات MHD

### مفاعل الاندماج النووي

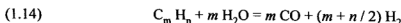
#### 1.14 إنتاج الهيدروجين واستخدامه كطاقة

##### طرائق الإنتاج السائدة

يتم في الوقت الحاضر توليد الهيدروجين من الغاز الطبيعي والنفط (نفثا) والفحم. يتولد عن طريق التحويل بواسطة البخار (عند الدرجة 900 °C) لأنواع الوقود الطيارة مثل الغاز الطبيعي، والنفثا (naphta) أو عن طريق الأكسدة الجزئية للفحم (تحويله إلى غاز بإضافة الأوكسجين وبخار الماء عند درجة الحرارة 1400 °C) يتولد مزيج غازات حارٍ على الهيدروجين، وينتج من الغاز الطبيعي والنفثا غازٌ تركيبيه كما يلي: حوالي 68 % H<sub>2</sub>، 10 % CO، 10 % CH<sub>4</sub>، 10 % CO<sub>2</sub> و 2 إلى 3 % N<sub>2</sub>. يتضمن غاز الكربون (الفحم) 30 إلى 40 % H<sub>2</sub> و 50 إلى 55 % CO و 1 إلى 3 % CH<sub>4</sub> و 3 إلى 12 % CO<sub>2</sub> و 1 إلى 2 % N<sub>2</sub>. عن طريق تحويل ثنائي المراحل مُحفَّز وعند درجة حرارة 300 إلى 500 °C أو عند 200 °C يجري تخليص الغاز الخام من CO. وفي عملية غسيل ثانية لاحقة يُفصل CO<sub>2</sub> وينتج بذلك غاز الهيدروجين (الشكل 1.14).

إذا استخدم الغاز الطبيعي أو النفط كوقود فإن العملية توصف كما يلي.

تحويل الفحم الهيدروجينية للوقود بالبخار:

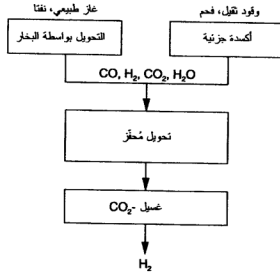
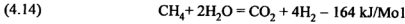
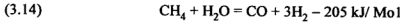


تحويل CO بواسطة البخار:



\* المقصود بذلك مزيج بترولي درجة غليانه بين 95 و 150 °C (من نواتج الصناعة البترو كيميائية) — المترجم.

وللميثان تنطبق معادلات التحفيز التالية:



**الشكل 1.14 :** توليد الهيدروجين بواسطة التحويل بالبخار للغاز الطبيعي أو للنفثا أو بواسطة تحويل الفحم إلى غاز.

يعادل المحتوى الحراري لغاز الهيدروجين  $\text{H}_2$  الناتج 75 حتى 80 % من المحتوى الحراري للغاز الطبيعي و 55 إلى 60 % من المحتوى الحراري للفحم. تختلف تكاليف إنتاج الهيدروجين وفقاً لنوع الوقود ولطريقة الإنتاج. من أجل 1 GJ من المحتوى الحراري تبلغ التكاليف عند استخدام الغاز الطبيعي 23 DM وعند استخدام الفحم البني 24 DM وللفحم الحجري 28 DM. ولإجراء مقارنة يُشار أن سعر الطاقة الكهربائية 20 DM/GJ.

### طريقة التحليل الكهربائي

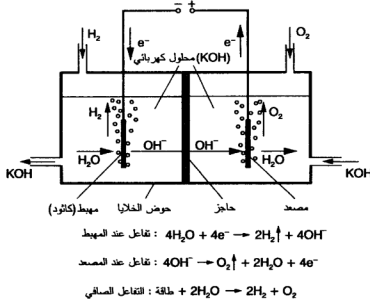
كطريقة بديلة لإنتاج الهيدروجين يمكن استخدام عملية تفكيك الماء بالتحليل الكهربائي والضوئي وبالتحليل الضوئي الحيوي.

عند تفكيك الماء بالتحليل الكهربائي ينتج الهيدروجين مباشرة:



ويبلغ إنتالبي التفاعل  $\Delta H$  حوالي 3.5 kWh لكل متر مكعب من الهيدروجين.

يبين الشكل (2.14) مبدأ خلية قلوية لتحليل الماء. يبلغ المردود الذي هو نسبة الاستهلاك النظري إلى الاستهلاك الفعلي حوالي 80 %. ويمكن رفعه إلى 90 % عن طريق إتقاص ضياعات الطاقة. وهناك الأنواع التالية من المحاليل الكهربائية القلوية والغشائية (ذات الغشاء الرقيق) والبخارية ذات درجة الحرارة المرتفعة.



الشكل 2.14 : مبدأ خلية قلوية لتحليل الماء.

استخدام الهيدروجين لتوليد التيار الكهربائي وإنتاج الحرارة

تستخدم التقانات التالية من أجل الاستفادة من الهيدروجين كوقود:

□ لتوليد الحرارة:

— عن طريق الإحراق مع الأكسجين والهواء والحصول على درجات حرارة عالية.

— عن طريق الإحراق المحفّز بغير اللهب ذي درجة الحرارة المنخفضة (قليل الإصدار للمواد الضارة).

□ لتوليد الكهرباء:

— خلايا ذات درجات حرارة عالية وخلايا وقود غشائية (membrane).

— عن طريق ما يسمى التوليد المباشر للبخار.

□ لتوليد الكهرباء وإنتاج الحرارة معاً

- في محطات التوليد المشترك للكهرباء والحرارة.
- في محطات الدارة المركبة ذات العنفات الغازية والبخارية (لتغطية حمولة الذروة).
- لتخزين الطاقة (في مآلات المعادن) وتخزين  $H_2$  تحت الضغط.
- لتشغيل المركبات المحافظة على البيئة.

### الاحتراق التقليدي والاحتراق المُحفَّز

على العكس من الغاز الطبيعي فإن للهيدروجين كوقود سرعة احتراق عالية ودرجة حرارة مرتفعة للهب. جرأ سرعة الاحتراق العالية لـ  $H_2$  (237 cm/s مقابل 42 cm/s للغاز الطبيعي) فإن من الممكن حدوث عدم استقرار عند الاحتراق، كما أن درجات الحرارة المرتفعة للشعلة تؤدي إلى زيادة انبعاثات  $NO_x$ .

أما الاحتراق المُحفَّز للهيدروجين فهو يجري عند درجات حرارة أقل من 500 °C. ويمكن استخدام الحراقات المحفزة في مجالات الاستطاعة 50 kW للتدفئة والتبريد الامتصاصي، وهي تتمتع بمردود عال وتعمل بدون إطلاق للمواد الضارة. بواسطة التشغيل المشترك للاحتراق بالهب والاحتراق المُحفَّز عند درجات حرارة تتراوح بين 800 و1500 °C يمكن الوصول إلى استطاعات في مجال الـ MW مع تشكل قليل من  $NO_x$ .

محطات الدارة المركبة (ذات العنفات الغازية والبخارية) ومحطات التوليد المشترك للكهرباء

### والحرارة

لتوليد الكهرباء والحرارة يمكن استخدام محطات الدارة المركبة (عنفاة غازية + بخارية) وكذلك محطات التوليد المشترك للكهرباء والحرارة ذات العنفات الغازية. تتمتع محطات الدارة المركبة (العنفات الغازية + البخارية) التي تحرق الوقود الغازي في الوقت الحاضر مقارنة بمحطات توليد الطاقة الأخرى في مجال الاستطاعة 500 MW بأقل تكاليف استثمار ويتراوح مردودها بين 50 و55 %. ويمكن الوصول إلى تشغيل بفعالية عالية دون تعديلات هندسية جوهرية باستخدام الهيدروجين لمحطات الدارة المركبة.

### التوليد المباشر للبخار

تتم تغذية عنفة بخارية ذات ضغط عالٍ ودرجة عالية من مولد بخار  $H_2/O_2$ ، وهذه العملية التي هي بديل لعملية البخار - الغاز (عنفة بخارية + عنفة غازية) تؤدي إلى ارتفاع المردود إلى ما يزيد على 50 %.

تُطوّر في الوقت الحاضر طريقة جديدة (HYDROSS) للتوليد المباشر للبخار من الماء والأوكسجين. مبدأ هذه الطريقة بسيط. تساق كميات متكافئة من  $H_2$  و  $O_2$  إلى حجرة احتراق ثم تحرق ويخفق الماء عبر فوهات متعددة إلى حجرة الاحتراق، وقبل ذلك يستخدم هذا الماء في تبريد جدار حجرة الاحتراق. تُبرّد غازات الاحتراق الساخنة من الدرجة 3000 °C إلى درجة حرارة البخار المطلوبة (500 حتى 1000 °C) ويتوقع أن يصل المردود إلى 50 % عند الحمولة الجزئية وإلى 100 % عند الحمولة الكاملة. يجب تنفيذ هذه الطريقة بحيث تكون بأسعار مناسبة، وتوضع في الوقت الحاضر خطط لمنشآت استطاعتها تتراوح بين 30 و 100 MW. ويمكن بزم إنقلاص صغير للغاية استخدام هذه المولدات كمعدات احتياط آتية في محطات توليد الطاقة.

في مجال تقانة الهيدروجين مازالت ثمة حاجة ماسة للتطوير.

## 2.14 خلايا الوقود

### المبدأ

يتم تحويل الطاقة عند استخدام الوقود بالطريقة التقليدية كما يلي:

الطاقة الكيميائية للوقود ← حرارة (احتراق وانتقال الحرارة) ← طاقة ميكانيكية (آلة حرارية) ← طاقة كهربائية (مولد).

تُحوّل خلايا الوقود عن طريق عملية كهركيميائية الطاقة الكيميائية لوقود ما (مثل الهيدروجين أو الغاز الطبيعي) بشكل مباشر إلى طاقة كهربائية، ويولد عندئذ تيار مستمر منخفض التوتر (الجهود).

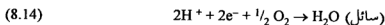
تجري العملية في خلية الوقود كما يلي:

وقود + وسيط تأكسد ← نواتج أكسدة + عمل مفيد (طاقة كهربائية) + حرارة (6.14)

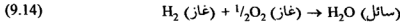
تتألف خلية الوقود  $H_2-O_2$  من قطبين (مصعد ومهبط) ومحلول كهربائي. أما المعادلات التي تجري عند المهبط أو المصعد فهي من أجل خلية وقود تحوي الهيدروجين والأوكسجين كما يلي:



أو



وهكذا يمكن وصف التفاعل الإجمالي في خلية الوقود  $H_2-O_2$  بالمعادلة التالية:



يمكن حساب القوة المحركة الكهربائية النظرية الأعظمية الناتجة عن خلية وقود باستخدام المعادلة

التالية:

$$(10.14) \quad E_{\text{rev}} = -\Delta G / nF \quad [\text{V}]$$

حيث:  $\Delta G$  تغير الطاقة الحرة في التفاعل [J/Mol]

$n$  عدد الإلكترونات التي تشارك بالتفاعل والموجودة في كل مول من الوقود

(للهدروجين  $n = 2$ )

$F$  ثابت فاراداي (69487 C/Mol).

ولحساب تغير الطاقة الحرة في تفاعل كيميائي:

$$(11.14) \quad \Delta G = \Delta H - T \Delta S \quad [\text{J / Mol}]$$

حيث:  $\Delta H$  تغير الإنثالبي للتفاعل الإجمالي

$T \Delta S$  كمية الحرارة الممتصة أثناء عملية عكوسة عند ثبات درجة الحرارة.

يتعلق توتر (جهد) خلية الوقود بدرجة الحرارة والضغط، وتبلغ لخلية الوقود  $\text{H}_2\text{-O}_2$  عند

1 atm القيمة 1.23 V عند درجة الحرارة 25 °C وعند درجة الحرارة 200 °C تصبح 1.15 V فقط.

وبازدياد الضغط يرتفع التوتر (الجهد).

**مردود خلية الوقود**

يتم الوصول إلى أعظم مردود حراري  $\eta_{\text{th}}$  في خلية وقود عكوسة، وتنطبق العلاقة التالية:

$$(12.14) \quad \eta_{\text{th}} = \Delta G / \Delta H = 1 - T \Delta S / \Delta H$$

حيث:  $\Delta G$  تغير الطاقة الحرة ( $\Delta G = -237.14 \text{ kJ/Mol}$ )

$\Delta H$  تغير الإنثالبي ( $\Delta H = -285.83 \text{ kJ/Mol}$ ) عند تشكل مول من الماء السائل من  $\text{H}_2$  و

$\text{O}_2$  عند 1 atm و 25 °C.

ولحساب العمل الأعظمي لكل مول  $\text{H}_2$  (متفاعل) أو لكل مول  $\text{H}_2\text{O}$  (ناتج):

$$(13.14) \quad W_{\text{max}} = \Delta G_R - \Delta G_{\text{H}_2\text{O}} \quad [\text{kJ/Mol}]$$

حيث:  $\Delta G_R = 0 \text{ kJ / Mol}$  للمتفاعل.



القوة المحركة الكهربائية (electro motoric force) تحسب كما يلي:

$$(14.14) \quad \text{EMF} = E_{\text{rev}} = W_{\text{max}} / (n \cdot F) \quad [\text{V}]$$

بمراعاة عامل الجودة  $\eta_{\text{Good}}$  يمكن حساب المردود الإجمالي لخلية الوقود كما يلي:

$$(15.14) \quad \eta_{\text{total}} = \eta_{\text{th}} \cdot \eta_{\text{Good}}$$

ولحساب الاستطاعة العكوسة الممكن كسيها:

$$(16.14) \quad P_{\text{rev}} = \Delta G \cdot m / M_{\text{H}_2} \quad [\text{W}]$$

حيث:  $m$  التدفق الكتلي للهيدروجين

$M_{\text{H}_2}$  الكتلة المولية للهيدروجين (2.016 kg / kMol).

ولحساب الاستطاعة الكهربائية الفعلية لخلية الوقود:

$$(17.14) \quad P_a = P_{\text{rev}} \cdot \eta_{\text{total}}$$

أما تيار الحرارة الذي يمكن تصريفه فيحسب كما يلي:

$$(18.14) \quad Q = P_{\text{rev}} - P_a \quad [\text{W}]$$

#### المخاسن والمساوي

لخلايا الوقود التي تستخدم الهيدروجين المزايا التالية:

— مردود أعلى (أكبر من 50 %) عند الحمولة الكاملة وكذلك الجزئية.

— الماء هو ناتج التفاعل.

— قلة الضجيج.

— عدم إصدار مواد ضارة.

أما العيب المقابل لهذه المزايا فهو ارتفاع تكاليف الاستثمار وقصر العمر.

تعتبر خلايا الوقود مصدراً مثالياً للتيار الكهربائي ويصل مردودها إلى 40 %، ويمكن رفعه (المردود) إلى 80 % عن طريق استخدام كمية الحرارة الإضافية المنتشرة. يمكن تحقيق وفر في الطاقة قدره 40 إلى 60 % عن طريق استخدام تقانة خلايا الوقود، كما يمكن تخفيض انبعاثات  $\text{NO}_x$  في محطّات توليد الطاقة ووسائل النقل من 50 إلى 90 % وتخفيض إطلاق  $\text{CO}_2$  بمحدود 50 % وذلك مقارنة بالطرق المألوفة.

### مثال 1.14

يُطلب حساب توتر (جهد) العمل على فراغ (بدون حمولة) والعمل الأعظمي والمردود الحراري لخلية وقود تستخدم  $H_2-O_2$  عند درجة الحرارة  $25^\circ C$  والضغط  $1 \text{ atm}$  ( $1.013 \text{ bar}$ ). الناتج  $H_2O$  يتواجد في الحالة السائلة.

ما هي قيمة الاستطاعة العكوسة الممكن كسبها وكذلك الاستطاعة الفعلية والمردود الإجمالي لخلية الوقود إذا كانت قيمة عامل الجودة  $0.7$  ؟

استهلاك  $H_2$  هو  $1.3 \text{ kg/h}$ .

*الحل*

1. تغير الطاقة الحرة وانتالي تشكل  $H_2O$  (سائل) عند  $1 \text{ bar}$  و  $25^\circ C$  هما كما يلي:

$$\Delta H_{H_2O} = -285.83 \text{ kJ / Mol}$$

$$\Delta G_{H_2O} = -237.14 \text{ kJ / Mol}$$

وبطريقة مشابهة فمن أجل المتفاعل:

$$\Delta H_R = \Delta G_R = 0 \text{ kJ / Mol}$$

2. العمل الأعظمي لكل مول  $H_2$  (المتفاعل) أو لكل مول  $H_2O$  (ناتج):

$$\begin{aligned} W_{\max} &= \Delta G_R - \Delta G_{H_2O} \\ &= 0 \text{ kJ / Mol} - (-237.14 \text{ kJ/Mol}) \\ &= 237.14 \text{ kJ/Mol} \end{aligned}$$

3. التوتر (الجهد) الكهربائي النظري يمكن حسابه عن طريق القوة المحركة الكهربائية (EMF):

$$\begin{aligned} EMF &= E_{\text{rev}} = W_{\max} / (n \cdot F) \\ &= 237.14 \text{ kJ / Mol} / (2 \times 96487 \text{ As/Mol}) \\ &= 1.229 \text{ V} \end{aligned}$$

4. المردود الحراري لخلية الوقود:

$$\begin{aligned} \eta_{th} &= \Delta G_{H_2O} / \Delta H_{H_2O} \\ &= 237.14 \text{ kJ/Mol} / 285.83 \text{ kJ/Mol} = 0.83 \end{aligned}$$

5. المردود الإجمالي لخلية الوقود:

$$\begin{aligned} \eta_{\text{total}} &= \eta_{th} \cdot \eta_{\text{Good}} \\ &= 0.83 \times 0.7 = 0.58 \end{aligned}$$

6. الاستطاعة العكوسة الممكن كسيها:

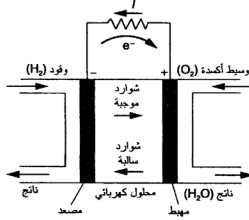
$$\begin{aligned} P_{\text{rev}} &= \Delta G \cdot m / M_{\text{H}_2\text{O}} \\ &= 237.14 \text{ kJ/Mol} \times 1.3 \text{ kg} / 3600 \text{ s} / 2.016 \text{ kg/Mol} \\ &= 42.48 \text{ W} \end{aligned}$$

7. الاستطاعة الكهربائية الفعلية لخلية الوقود:

$$\begin{aligned} P_a &= P_{\text{rev}} \cdot \eta_{\text{total}} \\ &= 42.48 \text{ W} \times 0.58 = 24.64 \text{ W} \end{aligned}$$

8. التيار الحراري الذي يتم تصريفه بحسب عن طريق الفرق بين الاستطاعة العكوسة والاستطاعة الفعلية المقدمة:

$$\begin{aligned} Q &= P_{\text{rev}} - P_a \\ &= 42.48 \text{ W} - 24.64 \text{ W} = 17.84 \text{ W} \end{aligned}$$



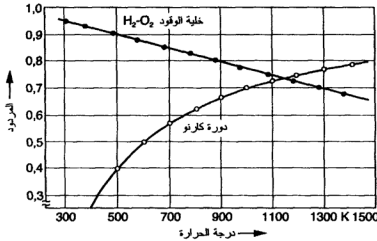
الشكل 3.14 : مبدأ خلايا الوقود.

## 1.2.14 أنواع خلايا الوقود

هناك الأنواع التالية من خلايا الوقود:

- الخلايا القلوية
- الخلايا الفوسفورية (حمض الفوسفور)
- خلايا الكربونات المنصهرة
- خلايا المحلول الكهربائي الصلب

يوضح الشكل (3.14) المبدأ العام لخلايا الوقود.  
كما يبين الشكل (4.14) مقارنة بين المردود المثالي (النظري) لخلية الوقود  $H_2-O_2$  وبين مردود دورة كارنو.



**الشكل 4.14 :** مردود خلية الوقود مقارنة بمردود دورة كارنو وعلاقة ذلك بدرجة الحرارة.  
تتغير درجة الحرارة  $T_1$  للمنبع الساخن في دورة كارنو بين 400 و 1400 K ، وتبلغ درجة حرارة الطرف ذي الدرجة المنخفضة  $T_2 = 300$  K. درجة حرارة خلية الوقود مساوية لـ  $T_1$ .

**الجدول 1.14:** مردود أهم نماذج خلايا الوقود.

نوع خلية الوقود	درجة الحرارة [°C]	المردود [%]
خلية وقود قلووية	90 - 60	60
خلية وقود حمض الفوسفور	220 - 160	42 - 37
خلية كربونات مصهورة	650 - 600	60 - 50
خلية أكسيد السيراميك	1000 - 800	65 - 60

يبين الجدول (1.14) المردود العملي الممكن تحقيقه ودرجات حرارة التشغيل للنماذج المهمة لخلايا الوقود.

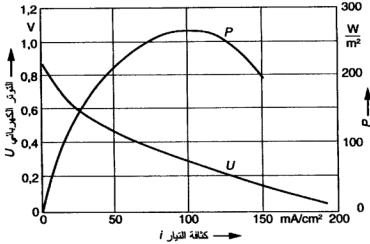
تحتاج خلايا الوقود مَوْجاً (inverter) لتحويل التوتر (الجهد) المستمر المتغير المُولّد إلى توتر متناوب ثابت.

### خلايا الوقود الخفيفة

تستخدم هذه الخلايا كمنبع خفيف للتيار وذلك في مجال رحلات الفضاء والجبال العسكري، وبسبب كلفتها العالية جداً فإنها لا تستخدم إلا في هذه المجالات. يولد التيار الكهربائي بمردود يزيد على 60 %، وبما أن درجة حرارة التشغيل منخفضة (80 °C) فإن استخدام الحرارة الضائعة في محاولة لرفع المردود أمر غير ممكن عملياً. تبلغ تكاليف الاستطاعة النوعية لهذه الخلايا في الوقت الحاضر 100 000 DM/kW تقريباً.

### خلايا الوقود بحمض الفوسفور

بمقارنتها بخلايا الوقود الخفيفة المتوفرة حالياً فإن خلايا حمض الفوسفور أرخص بشكل كبير، وتعمل هذه الخلايا عند درجة الحرارة 19 °C. وعند استخدامها لتوليد التيار فقط فإن مردودها يفوق 50 %، وباستخدام الحرارة الضائعة فإن من الممكن الوصول إلى مردود إجمالي يبلغ 80 %. تناسب خلايا حمض الفوسفور باستطاعة عدة كيلوواطات وحتى 10 MW بشكل خاص للاستخدام في المنازل الإفرادية (لأسرة واحدة) أو للمشاقي أو للمعامل الصغيرة، كما يمكن استخدامها بشكل منفصل (لا مركزي) لتوليد الكهرباء في موقع معين.



الشكل 5.14 : التوتر (الجهد) الكهربائي والاستطاعة  $P$  [W]، بالنسبة لـ  $m^2$  مساحة خلية وقود وعلاقتها بكثافة التيار  $i$  [mA/cm²].

توجد الآن منشآت استطاعتها في مجال الـ MW وهي قيد التجربة، ويتم في اليابان بناء عدة منشآت وصلت استطاعة الواحدة منها حتى 11 MW. ومن أجل المنشآت التي تقع استطاعتها

بحدود 200 kW فإن التكاليف الاستثمارية لها تبلغ 4500 DM/kWe (عند التشغيل بالغاز الطبيعي)، وهي ما تزال أعلى بثلاثة أضعاف مما هو مطلوب لتكون اقتصادية، ويجب أن تُخفّض في المستقبل لتصبح بحدود 1300 DM/kW. كذلك يجب إطالة عمرها الحالي الذي يبلغ 15000 ساعة ليصبح 40 000 ساعة.

### المنحنى المُميّز

يعطي المنحنى المميز لخلية وقود العلاقة بين التوتر الكهربائي  $U$  وكثافة التيار  $i$ . يبين الشكل (5.14) المنحنى المميز مع منحنى الاستطاعة (الاستطاعة بالواط منسوبة إلى المساحة  $m^2$  وعلاقتها بكثافة التيار) لخلية وقود  $H_2-O_2$ .

## 2.2.14 فكرة ومفهوم محطة الطاقة ذات خلايا الوقود

### خلايا الوقود ذات درجة الحرارة المرتفعة

تم تطوير هذه الخلايا للاستخدام في محطات الطاقة، وهي تتميز برفقها بالبيئة وبمردودها العالي لتوليد الكهرباء، والذي يصل إلى 65 %. إلا أن التحويل المباشر للوقود إلى خلية وقود لا يزال محدوداً لأسباب اقتصادية. لذلك يجب استخدام الحرارة الضائعة وطاقة الارتباط الكيميائية لغازات الاحتراق من أجل رفع مردود محطة الطاقة. يفصل الهيدروجين من غازات الاحتراق بالطريقة الكهروكيميائية ويُعاد إلى خلية الوقود. تستخدم الحرارة الضائعة ذات درجة الحرارة المرتفعة لتوليد التيار الكهربائي واستخراج الحرارة.

وهناك نوعان رئيسيان من محطات الطاقة ذات خلايا الوقود:

— خلايا وقود الأكاسيد الصلبة (SOFC = Solid oxide fuel cell).

— خلايا وقود الكربونات المصهورة (MCFC = Molten carbonate fuel cell).

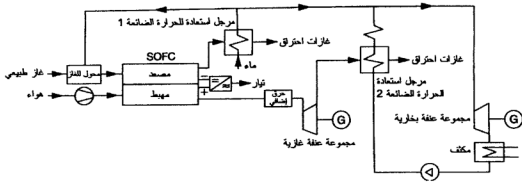
يبين الشكل (6.14) مبدأ وتركيب محطة طاقة ذات دارة مركبة باستخدام خلايا وقود ذات درجات حرارة عالية أجزاؤها الرئيسية:

— منشأة تحويل الغاز الطبيعي.

— خلايا وقود SOFC مع استخدام الحرارة الضائعة.

— عنفة غازية مع المولد مع مرجل استرجاع (استعادة) الحرارة الضائعة.

— عنفة بخارية مع المولد.



**الشكل 6.14 :** مخطط تركيب محطة ذات دارة مركبة باستعمال خلايا وقود تعمل عند درجة حرارة عالية.

وتمّة فكرة أخرى لمحطة للدارة المركبة تستخدم خلايا وقود MCFC، وهذه مناسبة للغاز المستخرج من الفحم لأنها قابلة للتشغيل ليس بالهيدروجين فقط وإنما بالميتان وأول أكسيد الكربون CO.

يتضمن مشروع محطة الطاقة ذات حجرة الاحتراق وخلايا الوقود MCFC ما يلي:

- جهاز تحويل الوقود إلى غاز بدرجات حرارة عالية
- مولد البخار — مبرد الغاز الخام
- سحب الغبار من غاز الفحم وتحضيره
- عنفة غازية
- خلايا الوقود
- الاستفادة من الحرارة الضائعة من المصعد
- التسخين الأولي لغاز المصعد / المهبط
- الاستفادة من الحرارة الضائعة بقصد التسخين الأولي لمياه التغذية.
- إن مزايا مثل هذه المشاريع — الأفكار مقارنة بمحطات توليد الطاقة التقليدية هي الانبعاث القليل للمواد الضارة والمردود الأعظمي عند استخدامها لتوليد التيار الكهربائي (بنفق 65%).
- ونظراً للتكاليف المرتفعة لتحضير غاز الفحم اللازم لتشغيل خلايا الوقود MCFC، فإن الانبعاثات تقل بشكل كبير.

لا تزال مشاريع محطات الطاقة التي تستخدم خلايا الوقود عند درجات الحرارة المرتفعة (MCFC و SOFC) في مرحلتها المبكرة، ويعين استخدامها التجاري التكاليف التي لا تزال عالية

جداً. إلا أن فعاليتها العالية وانخفاض إصدارها للمواد الضارة تبرران تكاليف 1500 دولار لكل 1 kW. إذا أنشئت مشاريع استطاعتها الإجمالية 200 إلى 300 MW في العام فإنه يمكن تحقيق هذه الأسعار. تخطط اليابان حتى عام 2000 لبدء تشغيل محطات طاقة ذات خلايا وقود استطاعتها GW 2 وتبدو محطات الطاقة ذات خلايا الوقود في المستقبل منافساً لمحطات الطاقة التقليدية.

### 3.14 تحويل الطاقة الحراري — الكهربائي

#### تأثير Seebeck

في عام 1922 اكتشف Seebeck التأثير الحراري — الكهربائي (سنشير إليه بالكهرحراري)، الذي يُمكن من التحويل المباشر للحرارة إلى تيار كهربائي. ينشأ في دورة مؤلفة من ناقلين A و B من معدنين مختلفين فرق كمون بين نقاط التماس ذات درجات الحرارة المختلفة. تدعى هذه الدارة الكهربائية بـ "العنصر الحراري" (thermo element).

يدعى الناقل الذي تجري فيه حوامل الشحنة السالبة النوع n (n - Type)، والناقل الثاني ذو حوامل الشحنات الموجبة، هو من النوع p (p - Type). تدعى نقاط التلامس بالوصلة الساخنة والوصلة الباردة. المعادن المستخدمة للنوع n هناك أسلاك النحاس وللنوع p أسلاك خليطة النيكل مع النحاس. أحد أكثر المواد فعالية للعناصر الحرارية هناك  $\text{Bi}_2\text{Te}_3$  الذي يمكن استخدامه بالاستعانة بتقانة معينة كناقيل موجب وسالب.

يتعلق ارتفاع فرق التوتر (الجهد) في عنصر حراري بزواج المواد الناقلة وبفرق درجات الحرارة بين نقاط التلامس. فعلى سبيل المثال يبلغ عامل Seebeck الذي نرسم إليه بـ  $\alpha$  لعنصر حراري يتألف من النحاس وخليطة النحاس مع النيكل 0.04 mV/K. عندما تكون درجة الحرارة في عنصر حراري K 600 ينشأ توتر كهربائي قيمته 24 mV، وهذا يعني أنه للحصول على فرق توتر أعلى يجب وصل عدة عناصر حرارية على التوازي.

#### المولد الكهرحراري

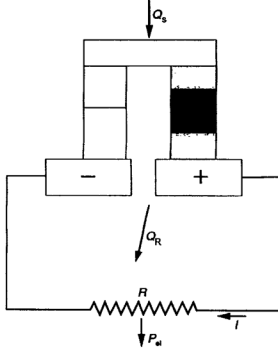
يمكن توليد تيار عن طريق مولد كهرحراري وجمع شمسي من الطاقة الشمسية. يبين الشكل (7.14) مبدأ عمل المولد الكهرحراري. تبلغ الاستطاعة المفيدة لمولد كهرحراري:

\* عند تأليف الكتاب في عام 1997 — المترجم



(19.14)

$$p_{el} = I^2 R \quad [W]$$

حيث:  $I$  التيار $R$  المقاومة الخارجية للحمل ( $\Omega$ ).

الشكل 7.14 : مبدأ عمل المولد الحراري.

ولحساب التيار نكتب:

(20.14)

$$I = \alpha \Delta T / (R_i + R) \quad [A]$$

حيث:  $\alpha$  عامل Seebeck [V/K] $\Delta T$  فرق درجات الحرارة بين الطرف الساخن والبارد [K] $R_i$  المقاومة الداخلية [ $\Omega$ ].

لزيادة الاستطاعة المفيدة لمولد كهحراري يستخدم الوصل التسلسلي والتفرعي، وهذا ميين

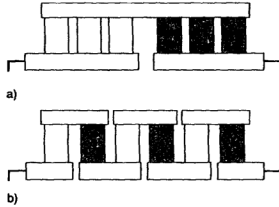
على الشكل (8.14) في a و b.

**المردود**

تحدد جودة (كفاءة) مولد كهحراري عن طريق المردود الحراري  $\eta_{th}$  الذي ينتج كنسبة بين الاستطاعة الكهربائية  $P_{el}$  والاستطاعة الحرارية المستهلكة  $Q$ ، وبحسب المردود الحراري الأعظمي كما يلي:

$$(21.14) \quad \eta_{th,max} = (\Delta T / T_H) \sqrt{(1 + Z T_m) - 1} / [\sqrt{(1 + Z T_m) + T_c / T_H}]$$

حيث:  $T_c$ ،  $T_H$  درجة حرارة الطرف الساخن والبارد  
 $T_m$  درجة الحرارة الوسطية  
 $Z$  عامل الفعالية [K<sup>-1</sup>].



الشكل 8.14 : مخططات الوصل لرفع الاستطاعة المفيدة (a) الوصل التسلسلي (b) الوصل التفرعي (على التوازي).

لحساب  $Z$ :

$$(22.14) \quad Z = \alpha^2 / (\sqrt{\rho_N \lambda_N} + \sqrt{\rho_P \lambda_P})^2$$

حيث:  $\rho$  المقاومة النوعية [Ωm]  
 $\lambda$  عامل توصيل الحرارة [W/mK]  
 $N$  و  $P$  القطب السالب والقطب الموجب.  
يختلف المردود المقابل للاستطاعة الأعظمية  $P_{el,max}$  عن  $\eta_{th,max}$  ، حيث:

$$(23.14) \quad \eta_{th} = (\Delta T / \Delta T_H) / [2 + (4 / Z_{opt} T_H) - 0.5 \Delta T / T_H]$$

حيث:  $Z_{opt}$  عامل الكفاءة الأمثل.

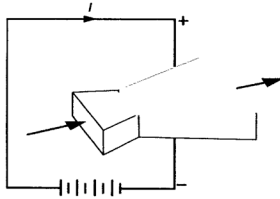
عندما يكون فرق درجات الحرارة بين الطرف الساخن والبارد 400 K (حيث البارد 373 K والساخن 773 K) فإن قيمة  $\eta_{th}$  الأعظمية تبلغ 11.4 %، بينما يصل مردود دورة كارنو  $\eta_{th,c}$  إلى 52 % وبالتالي تبلغ جودة المحول الكهحراري 0.22.

## 4.14 مولد MHD (المولد الهيدروديناميكي المغناطيسي)

المبدأ

مبدأ مولد MHD (Magnetohydrodynamic generator) يقوم على ظاهرة التحريض الكهرومغناطيسي. عندما يتحرك مائع ناقل للكهرباء في حقل مغناطيسي فإنه يتعرض في المائع (الوسيط) توتر (جهد) كهربائي. يتحرك في مولد MHD تيار من الغاز المتأين (بلازما ذات درجة حرارة منخفضة مؤلفة من إلكترونات وشوارد) ذي السرعة العالية في قناة أفقية عبر حقل مغناطيسي. تتراوح حرارة البلازما بين 2000 و 2500 °C. ولا يمكن الوصول إلى قابلية التوصيل الكهربائي اللازمة للبلازما إلا عن طريق إضافة كميات قليلة من المواد السهلة التأين (مثل السيزيوم، البوتاسيوم).

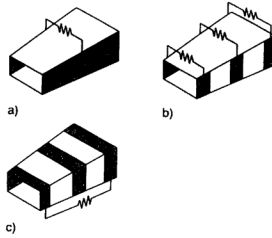
والشكل (9.14) يبين مبدأ مولد MHD.



الشكل 9.14 : مبدأ مولد MHD.

يتولد الحقل المغناطيسي بواسطة مغناطيس كهربائي متوضع حول القناة. تمر خطوط الحقل المغناطيسي بشكل عمودي على القناة، والقناة معزولة كهربائياً من الأعلى والأسفل. تقسم الجدران الجانبية للقناة إلى عدة أجزاء منفصلة عن بعضها البعض، حيث تتركب هناك أقطاب كهربائية (electrodes). بفعل الحث (التحريض) الكهربائي — المغناطيسي فإنه يتولد توتر كهربائي بالتحريض في الاتجاه المحوري والاتجاه الشاقولي، وتتوجه شوارد وإلكترونات البلازما إلى الأقطاب الموافقة، وهكذا تُحوّل الطاقة الحرارية مباشرة إلى طاقة كهربائية.

يبين الشكل (10.14) بشكل تخطيطي توضع الأقطاب الكهربائية في مولد MHD.



الشكل 10.14 : توضع الأقطاب لحرك MHD، (a) التوضع المتصل (b) أقطاب قطاعية (c) مولد Hall.

في غاز متأين يجري بسرعة  $w$  عبر حقل مغناطيسي  $B$  (خطوطه عمودية على اتجاه الجريان)، يتم التحكم باتجاه حوامل الشحنة (الالكترونات والشوارد الموجبة في البلازما) بحيث تكون عمودية على اتجاه الجريان وينشأ بالتالي حقل كهربائي متعرض.

إذا كان البعد بين الأقطاب  $s$  في مولد فاراداي عندئذ يحسب التيار الموافق للاستطاعة الأعظمية

كما يلي:

$$(24.14) \quad I_{\max} = w \cdot B \cdot A / Q \quad [A]$$

حيث:  $A$  مساحة سطح الأقطاب  $[m^2]$

$Q$  المقاومة النوعية للغاز المتأين  $[\Omega m]$ .

أما التوتر الكهربائي:

$$(25.14) \quad U_{\max} = w \cdot B \cdot s - I_{\max} \cdot \rho \cdot s / A \quad [V]$$

وتحسب الاستطاعة الأعظمية كما يلي:

$$(26.14) \quad P_{\max} = U_{\max} \cdot I_{\max} \quad [W]$$

**المردود (الكفاءة)**

يُعرف مردود محول الطاقة MHD بأنه النسبة بين الاستطاعة الكهربائية المستحقة والاستطاعة

المقدمة واللازمة لدفع تيار الغاز المتأين عبر قناة MHD:

$$(27.14) \quad \eta_{MHD} = P_R / P_s$$

ويحسب مردود مولد MHD بالتالي كما يلي:

$$(28.14) \quad \eta_{\text{MHD}} = U_{\text{max}} / (w \cdot B)$$

أو بشكل تقريبي:

$$(29.14) \quad \eta_{\text{MHD}} = R_a / (R_a + R_i)$$

حيث:  $R_a$  و  $R_i$  المقاومة الخارجية والداخلية للغاز المتأين [Ω].

## مثال 2.14

من أجل قناة MHD التي تُشغّل كمولد فاراداي تبلغ المقاومة النوعية  $\rho = 0.08 \Omega \cdot m$ .  
لتكن شدة الحقل المغناطيسي  $B = 3.8 \text{ T}$  (3.8 تسلا)، ومساحة سطح الأقطاب الكهربائية  
A تبلغ  $1.2 \text{ m}^2$ . وعند عرض  $s$  للقناة يبلغ  $0.9 \text{ m}$  فإن سرعة البلازما  $w = 950 \text{ m/s}$ .  
ما هي الاستطاعة المأخوذة ومردود التحويل؟

**الحل**

يحسب توتر العمل بدون حمل (على فراغ):

$$\begin{aligned} U_o &= w \cdot B \cdot s \\ &= 950 \text{ m/s} \times 3.8 \text{ T} = 3249 \text{ V} \end{aligned}$$

ويحسب تيار القصر كما يلي:

$$\begin{aligned} I_k &= A |w \cdot B| / \rho \\ &= 1.2 \text{ m}^2 \times 950 \text{ m/s} \times 3.8 \text{ T} / 0.08 \Omega \cdot m = 54150 \text{ A} \end{aligned}$$

وبالتالي فالجهد (التوتر):

$$\begin{aligned} U_{\text{max}} &= w \cdot B \cdot s - I_{\text{max}} \rho \cdot s / A \\ &= 950 \text{ m/s} \times 3.8 \text{ T} \times 0.9 \text{ m} - 27075 \text{ A} \times 0.08 \Omega \cdot m \times 0.9 / 1.2 \text{ m}^2 \\ &= 1624.5 \text{ V} \end{aligned}$$

والاستطاعة الأعظمية:

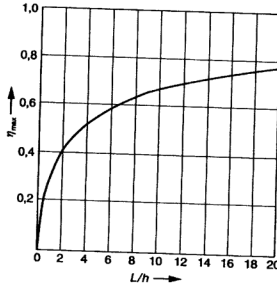
$$\begin{aligned} P_{\text{max}} &= U_{\text{max}} \cdot I_{\text{max}} \\ &= 1624.5 \text{ V} \times 27075 \text{ A} = 44 \text{ MW} \end{aligned}$$

ومن ثم يُحسب مردود التحويل كما يلي:

$$\begin{aligned} \eta_{\text{MHD}} &= U_{\text{max}} / (w \cdot B) \\ &= 1624.5 \text{ V} / (950 \text{ m/s} \times 3.8 \text{ T}) = 0.45 \end{aligned}$$

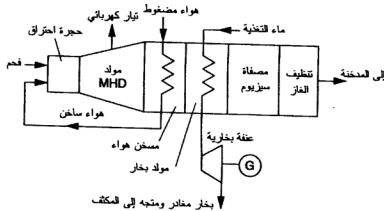
تبين التقديرات بأن التصميم الأمثل لمولد MHD يمكن أن يحقق مردود تحويل للطاقة قيمته الأعظمية تصل إلى 0.5.

يبين الشكل (11.14) المردود الأعظمي لمولد MHD وعلاقته بالنسبة  $L/h$  (طول القناة إلى عرضها).



الشكل 11.14 : المولد الأعظمي لمولد MHD وعلاقته بالنسبة  $L/h$  (طول القناة على عرضها).

يمكن رفع مردود استخدام الطاقة عن طريق استخدام منشأة مشتركة مؤلفة من مولد MHD مع عنفة غازية أو عنفة بخارية موصولة بعده، ويصل المردود الإجمالي إلى حوالي 60%.



الشكل 12.14 : مخطط منشأة MHD تحرق الفحم مع عنفة بخارية تالية.

يبين الشكل (12.14) منشأة مشتركة بشكل تخطيطي تتألف من مولد MHD وعنفه بخارية تحرق الفحم.

يُحسب المردود الإجمالي للمنشأة المشتركة ذات مولد MHD كما يلي:

(30.14)

$$\eta_{\text{total}} = \eta_{\text{MHD}} + \eta_{\text{ST}} - \eta_{\text{MHD}} \cdot \eta_{\text{ST}}$$

### مثال 3.14

ما هي قيمة المردود الإجمالي لمنشأة مشتركة تتألف من مولد MHD مردوده 0.4 ومنشأة بخارية ذات مردود قيمته 0.38 بدون إحراق إضافي للوقود.

الحل

يُحسب المردود الإجمالي من العلاقة:

$$\begin{aligned} \eta_{\text{total}} &= \eta_{\text{MHD}} + \eta_{\text{ST}} - \eta_{\text{MHD}} \cdot \eta_{\text{ST}} \\ &= 0.4 + 0.38 - 0.4 \times 0.38 = 0.628 \end{aligned}$$

هناك أفكار لتركيبة منشآت MHD مشتركة، ولتحقيقها يجب حل بعض المشاكل الفنية (مثلاً مسخن الهواء ذو درجة الحرارة المرتفعة).

## 5.14 الاندماج الحراري النووي المضبوط

المبدأ

يجري داخل الشمس، حيث تسود درجة الحرارة حوالي 40 مليون كلفن، تفاعل اندماج نووي حراري (انصهار) لنوى خفيفة، ويرافق ذلك انطلاق حرارة الارتباط أي حرارة الاندماج وتحويلها إلى طاقة حركية لنواتج التفاعل. عند اندماج 4 نوى من الهيدروجين إلى نواة هليوم فإن طاقة الاندماج تصل إلى 28.3 MeV (حيث  $1 \text{ MeV} = 1.602 \times 10^{-3} \text{ J}$ ). وتصل هذه الطاقة لكل 1 g من الهليوم إلى حوالي  $10^{11} \text{ J}$  و  $6.7 \times 10^7$  وهذا يكفي لاحتواء الحراري لـ 23 طن من الفحم الحجري الذي قيمته الحرارية الدنيا 29.1 MJ/kg.

الطريقة

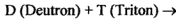
أهم الطرق هناك اندماج الديوتريوم والتريثيوم وكذلك الديوتريوم مع الديوتريوم. الديوتريوم والتريثيوم هما نظيران (isotope) للهيدروجين  $^2\text{H}$  أو  $^3\text{H}$ ، ويمكن استخدامها كوقود في تفاعلات

الاندماج. يتواجد الديوتريوم في الطبيعة على شكل ماء ثقيل فقط في جبال الهيمالايا بنسبة 1:6500.

الترشيوم عنصر مشع ويمكن إنتاجه صناعياً فقط وذلك من نظائر الليثيوم الثقيلة  $^6\text{Li}$ .

تُعرف نوى الديوتريوم والترشيوم بالديوتريون D والتريتون T. يجب أن تملك نوى مزيج والتريتون الديوتريوم مع التريشيوم المتأينة أي للبلازما طاقة حركية كبيرة من أجل التغلب على قوة التدافع للذرات المشحونة إيجابياً عندما تكون الأبعاد بين الذرات  $10^{-15}\text{ m}$ ، والطاقة الحركية اللازمة لذلك يمكن الوصول إليها عند سرعة للذرات قدرها 1000 km في الثانية.

تجري في مزيج D-T في البلازما أي في مزيج الإلكترونات ونوى الذرات المشحونة إيجابياً (الشوارد) تفاعلات الاندماج التالية:



من أجل إشعال (ignition) وضمان استمرار حدوث الاندماج D-T الحراري النووي في البلازما والتحكم به فإنه تلزم طاقة حركية قدرها 10 keV (حيث درجة الالتهاب  $1.1 \times 10^8 \text{ K}$ ) و  $1 \text{ keV} = 1.14 \times 10^7 \text{ K}$ . يمكن الحصول على درجة الحرارة فائقة الانخفاض هذه بواسطة إضافة شعاع من الجسيمات الحادية أو التسخين عالي التردد. في اصطدام الاندماج يأتي  $10^5$  كولون Coulomb (حيث  $1 \text{ Coulomb} = 1 \text{ A.s}$ ). يجب أن تحاط البلازما بحيز للتفاعل وأن تبقى مادة جدران المفاعل بعيدة عن ذلك. وخلال مراحل بدء التسخين والتطويق تنشأ ضياعات للطاقة بفعل الإشعاع والتوصيل أو عدم نقاء البلازما بسبب امتزاجها بمادة الجدران.

لا يبقى في البلازما (أي ضمن حيز التفاعل) إلا طاقة جسيمات  $\alpha$  (3.5 MeV) لنويات  $^4\text{He}$  لأن النيوترونات السريعة تتسرب (14.1 MeV).

وللحصول على توازن الطاقة الإيجابي يجب أن تحصل تفاعلات اندماج كافية في كل واحدة زمن. وبناءً على درجة حرارة  $T [\text{keV}]$  البلازما فإنه يجب أن يتحقق معيار Lawson الذي ينص على أن جداء كثافة البلازما  $n_i$  (عدد الجسيمات  $[1/\text{m}^3]$ ) بزم من حصر الطاقة  $t_E [s]$  هو كما يلي:

$$n_i t_E > 2 \times 10^{20} \text{ s/m}^3 \quad \text{عند } T \geq 10 \text{ keV} \quad (32.14)$$

الإحاطة بالبلازما (حصر البلازما) في مفاعل الاندماج

هناك طريقتان للإحاطة بالبلازما:

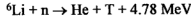
— الإحاطة المغناطيسية



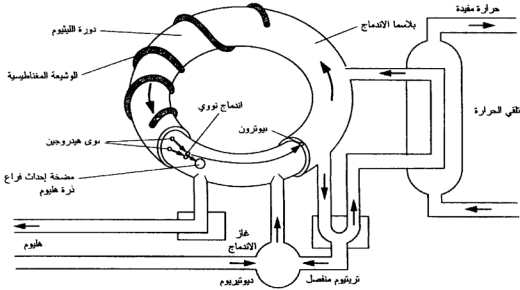
— الإحاطة بواسطة العطالة.

يُستخدم في مفاعل الاندماج مع إحاطة البلازما بالحقل المغناطيسي كما هو الحال في مشروع Tokamak (الشكل 13.14) الحقل المغناطيسي لمغناطيسات كهربائية عالية الشدة لإبقاء البلازما في وعاء مفرغ وتحريكها على طول خطوط الحقل المغناطيسي. يُصنع المفاعل بشكل دائري (Torus)، وتتوضع ملفات المغناطيسات الكهربائية حوله، ويقوم المفاعل الدائري بدور الملفات الثانوية للمحولة. وهنا يتحرض تيار يقوم بتسخين البلازما إلى درجة الحرارة  $10^8$  K. يُغلف الحقل المغناطيسي البلازما ويؤمن لها وقود الاندماج الحراري، ويمنع تلامس البلازما مع اجزاء المفاعل ومبرده. للوعاء المُفرغ غلاف داخلي من الليثيوم (الدثار)، حيث تستولد (تقس) نيوترونات التريتيوم كما يلي:

(33.14)



يلعب الليثيوم الثقيل  ${}^6\text{Li}$  دور المادة الحاضنة والمعدّل (المهدّي).



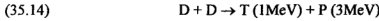
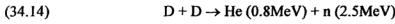
الشكل 13.14 : مبدأ Tokamak.

يتم حجب إشعاعات غاما والنيوترونات عن طريق طبقة خارجية من الرصاص والماء، كما يُخدم الدثار كمصدر حراري لمفاعل Tokamak. تنقل حرارة الاندماج بواسطة ليثيوم ساخن

(1000°C) مع وسيط تبريد (ليثيوم سائل، ماء أو هليوم) إلى مولد البخار لاستخدامها في العملية البخارية.

إن تحقيق موازنة حرارية بخارية إيجابية للاندماج الحراري المضبوط يشترط توفر قيمة عالية لـ  $nT_E$  (قارن المعادلة 32.14). ومن أجل كثافةغطية للبلازما تبلغ  $10^{20}/m^3$  في مفاعل Tokamak يجب أن تكون قيمة  $T_E = 25$  عند درجة حرارة للبلازما قدرها  $10^8$  K. إلا أنه لم يتم الوصول بعد في منشآت إجراء البحث إلى هذه القيم، وإنما تم الوصول إلى درجة حرارة التهاب تبلغ حوالي  $10^8$  K عند الكثافة المطلوبة تقريباً للبلازما وإلى زمن الحصر 0.1 s، وبالتالي فإن تحقيق الاندماج الحراري المضبوط مع موازنة حرارية موجبة لم يتم بعد.

في غاز الديوتريوم المتأين بشكل كامل يمكن أن تجري تفاعلات الاندماج التالية:



وتتطلب هذه التفاعلات حرارة التهاب أعلى بكثير (حوالي  $10^9$  K) من تفاعل D-T (انظر الجدول).

الجدول 2.14: درجات الحرارة التصميمية لمفاعل الاندماج المخطط له NETII.

المواصفات	القيم
استطاعة الاندماج الحراري MW	800
نصف قطر البلازما الكبير/الصغير، m	2.05/6.3
شدة الحقل الحلقي على المحور، T	6
تيار البلازما، MA	25-30
إجهاد الجدار بالنيوترنات، MW/m <sup>2</sup>	0.7

في المفاعل ذي الإحاطة (الحصر) بواسطة العطالة (المقصود إحاطة البلازما) يتم اللجوء إلى كثافة أعلى للجسيمات تبلغ 10 keV، وهنا لا يلزم حقل مغناطيسي مغلف. تؤمن طاقة التسخين عن طريق ليزر ومُطلق للشوارد. كما تُطلق كريات زجاج متجمد يبلغ قطرها عدة ملليمترات مملوءة بمزيج من D-T عن طريق ليزر كبير جداً مع قطب إشعاع (لفترة  $10^{-9}$  s) ويجري هذا من كل الجوانب. وهكذا ينشأ في الكريات تركيز الطاقة اللازم لبدء الاندماج النووي. تنضغط البلازما

المتشكلة بسرعة كبيرة والمسخنة والموجودة في الطبقة الخارجية وتقوم بتأين خليط  $D-T$  داخل الكرة الصغيرة.

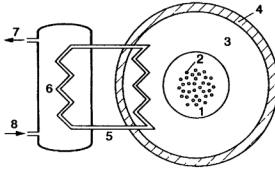
يحدث الاندماج النووي في حجرة مفاعل شكلها حلقي، ويتم نقل الحرارة المنطلقة بواسطة غلاف الليثيوم إلى الماء.

يعيق تطوير هذه الطريقة بالدرجة الأولى عدم توفر الليزر ذي الاستطاعة العالية.

يتم العمل الآن في إطار الاتحاد الأوروبي وضع برنامج بحث استراتيجي (Next European NET Tours) هدفه تطوير مفاعل اندماج، ويبيّن الجدول (2.14) درجة الحرارة التصميمية لمفاعل الاندماج المخطط لبنائه NET II.

وعلى طريق تحقيق هذا المشروع هناك عقبات كبيرة أهمها الاجهاد الشديد للمواد وخاصة في الأجزاء الداخلية للمفاعل.

يبين الشكل (14.14) مخطط منشأة مستقبلية لتوليد الطاقة مع مفاعل انصهار وعنفات مع مولدات، ومادة التشغيل هي بخار البوتاسيوم أو بخار الماء. ويُؤمل بأن تصبح طاقة الاندماج النووي في المستقبل نبع الطاقة الذي لا ينضب.



- 1 مفاعل الاندماج
- 2 أنبوب (خرطوم) البلازما
- 3 ممتص الحرارة
- 4 مادة الهيكل
- 5 دورة وسيط التبريد
- 6 مولد بخار
- 7 بخار إلى العنف
- 8 ماء التغذية

الشكل 14.14 : مبدأ مفاعل اندماجي ذي غلاف مغناطيسي.



## الملاحق

### بعض الجداول والأشكال

- الجدول A.1 - الأجزاء والأضعاف السابقة للوحدات ورموزها
- الجدول A.2 - وحدات الطاقة والاستطاعة
- الجدول A.3 - عوامل التحويل لوحدات الطاقة
- الجدول A.4 - وحدات الضغط ودرجة الحرارة
- الجدول A.5 - عوامل الحالة الترموديناميكية للماء وبخار الماء في حالة الإشباع
- الجدول A.6 - عوامل الحالة للماء في الغليان ولبخار الماء المشبع
- الجدول A.7 - الانتالبي النوعي  $[kJ/kg]$  للماء وللبخار الحار
- الجدول A.8 - الانتالبي النوعي للماء في مجال ما دون الغليان
- الجدول A.9 - الحجم النوعي  $[m^3/kg]$  للماء ولبخار الماء
- الجدول A.10 - السعة الحرارية النوعية الوسطية  $c_p$  بثبوت الضغط للغازات المثالية  $[kJ/kg K]$   $c_p$
- الجدول A.11 - القيم الحرارية لحوامل الطاقة
- الجدول A.12 - السعة الحرارية النوعية  $c_p$  للهواء عند الضغوط من 1 حتى  $[kJ/kg K]$  300 bar
- الجدول A.13 - القيم المميزة للهواء الجاف عند 1.013 bar
- الجدول A.14 - القيم المميزة للماء عند 0.981 bar أو عند ضغط الإشباع
- الشكل A.1 - منحنى  $h-s$  لبخار الماء

### الجدول A.1 الأجزاء والأضعاف ورموزها

جزء من المليون	$10^{-6} =$	$\mu =$	ميكرو
جزء من الألف	$10^{-3} =$	$m =$	ميلي
ألف ضعف	$10^3 =$	$k =$	كيلو
مليون ضعف	$10^6 =$	$M =$	ميغا
مليار ضعف	$10^9 =$	$G =$	جيجا
بليون ضعف	$10^{12} =$	$T =$	تيرا
بيليارد ضعف	$10^{15} =$	$P =$	بيتا
تريليون ضعف	$10^{18} =$	$E =$	إكسا

### الجدول A.2 وحدات الطاقة والاستطاعة

للمطاقة، كمية الحرارة	[J]	جول
للاستطاعة، تدفق الطاقة (جبار الطاقة)، التدفق الحراري	[W]	واط
1 جول = نيوتن متر (Nm) = 1 واط ثانية (Ws)	[J]	1 جول
3600 KJ =		1 kWh
وحدة الحرارة البريطانية = 1.05504 kJ		1 BTU

### الجدول A.3 عوامل التحويل لواحدات الطاقة

$m^3$ غاز طبيعي	Kg ROE	*Kg HCE	kWh	Kcal	kJ	
0.000032	0.000024	0.000034	0.000278	0.2388	—	كيلو جول (kJ)
0.00013	1.0001	0.000143	0.001163	—	4.1868	كيلو كالوري (kcal)
0.113	0.086	1.123	—	860	3600	كيلو واط ساعي [kWh]
0.923	0.7	—	8.14	7000	29308	الوحدة المكافئة لـ 1kg فحم حجري [HCE]
1.319	—	1.486	11.63	10000	41868	الوحدة المكافئة لـ 1kg نفط خام (ROE)
—	0.758	1.083	8.816	7580	31736	1 متر مكعب من الغاز الطبيعي
Hard Coal Equivalent = HCE *						
Row Oil Equivalent = ROE**						

### الجدول A.4 وحدات الضغط ودرجات الحرارة

1 Pa = 1 N/m <sup>2</sup>
1 bar = 10 <sup>5</sup> Pa = 0.1 MPa = 750 mm Hg = 1,02 · 10 <sup>4</sup> mm H <sub>2</sub> O
T [K] = t [°C] + 273,15
t [°C] = (t [°F] - 32)/1,8
T [°R] = t [°F] + 459,67
T [K] = 1,8 T [°R]
الشروط القياسية: الدرجة 0 °C والضغط 1.013 bar

الجدول A.5 عوامل الحالة الترموديناميكية للماء وبخار الماء في حالة الإشباع

$p$	$T$	$v'$	$v''$	$h'$	$h''$	$\Delta h_g$	$s'$	$s''$
bar	°C	dm <sup>3</sup> /kg	m <sup>3</sup> /kg	kJ/kg	kJ/kg	kJ/kg	kJ/(kg · K)	kJ/(kg · K)
0,010	6,9808	1,0001	129,20	29,34	2514,4	2485,0	0,1060	8,9767
0,015	13,036	1,0006	87,98	54,71	2525,5	2470,7	0,1957	8,8288
0,020	17,513	1,0012	67,01	73,46	2533,6	2460,2	0,2607	8,7246
0,025	21,096	1,0020	54,26	88,45	2540,2	2451,7	0,3119	8,6440
0,030	24,100	1,0027	45,67	101,00	2545,6	2444,6	0,3544	8,5785
0,035	26,694	1,0033	39,48	111,85	2550,4	2438,5	0,3907	8,5232
0,040	28,983	1,0040	34,80	121,41	2554,5	2433,1	0,4225	8,4755
0,045	31,035	1,0046	31,14	129,99	2558,2	2428,2	0,4507	8,4335
0,050	32,898	1,0052	28,19	137,77	2561,6	2423,8	0,4763	8,3960
0,055	34,605	1,0058	25,77	144,91	2564,7	2419,8	0,4995	8,3621
0,060	36,183	1,0064	23,74	151,50	2567,5	2416,0	0,5209	8,3312
0,065	37,651	1,0069	22,02	157,64	2570,2	2412,5	0,5407	8,3029
0,070	39,025	1,0074	20,53	163,38	2572,6	2409,2	0,5591	8,2767
0,075	40,316	1,0079	19,24	168,77	2574,9	2406,2	0,5763	8,2523
0,080	41,534	1,0084	18,10	173,86	2577,1	2403,2	0,5925	8,2296
0,085	42,689	1,0089	17,10	178,69	2579,2	2400,5	0,6079	8,0872
0,090	43,787	1,0094	16,20	183,28	2581,1	2397,9	0,6224	8,1881
0,095	44,833	1,0098	15,40	187,65	2583,0	2395,3	0,6361	8,1691
0,10	45,833	1,0102	14,67	191,83	2584,8	2392,9	0,6493	8,1511
0,12	49,446	1,0119	12,36	206,94	2591,2	2384,3	0,6963	8,0872
0,14	52,574	1,0133	10,69	220,02	2596,7	2376,7	0,7367	8,0334
0,16	55,341	1,0147	9,433	231,59	2601,6	2370,0	0,7721	7,9869
0,18	57,826	1,0160	8,445	241,99	2605,9	2363,9	0,8036	7,9460
0,20	60,086	1,0172	7,650	251,45	2609,9	2358,4	0,8321	7,9094
0,25	64,992	1,0199	6,204	271,99	2618,3	2346,4	0,8932	7,8323
0,30	69,124	1,0223	5,229	289,30	2625,4	2336,1	0,9441	7,7695
0,40	75,886	1,0265	3,993	317,65	2636,9	2319,2	1,0261	7,6709
0,45	78,743	1,0284	3,576	329,64	2641,7	2312,0	1,0603	7,6307
0,50	81,345	1,0301	3,240	340,56	2646,0	2305,4	1,0912	7,5947
0,55	83,737	1,0317	2,964	350,61	2649,9	2299,3	1,1194	7,5623
0,60	85,954	1,0333	2,732	359,93	2653,6	2293,6	1,1454	7,5327
0,65	88,021	1,0347	2,535	368,62	2656,9	2288,3	1,1696	7,5055
0,70	89,959	1,0361	2,365	376,77	2660,1	2283,3	1,1921	7,4804
0,75	91,785	1,0375	2,217	384,45	2663,0	2278,6	1,2131	7,4570
0,80	93,512	1,0387	2,087	391,72	2665,8	2274,0	1,2330	7,4352
0,85	95,152	1,0400	1,972	398,63	2668,4	2269,8	1,2518	7,4147
0,90	96,713	1,0412	1,869	405,21	2670,9	2265,6	1,2696	7,3954
1,0	99,632	1,0434	1,694	417,51	2675,4	2257,9	1,3027	7,3598
1,5	111,37	1,0530	1,159	467,13	2693,4	2226,2	1,4336	7,2234
2,0	120,23	1,0608	0,8854	504,70	2706,3	2201,6	1,5301	7,1268
2,5	127,43	1,0675	0,7184	535,34	2716,4	2181,0	1,6071	7,0520
3,0	133,54	1,0735	0,6056	561,43	2724,7	2163,2	1,6716	6,9909
3,5	138,87	1,0789	0,5240	584,27	2731,6	2147,4	1,7273	6,9392
4,0	143,62	1,0839	0,4622	604,67	2737,6	2133,0	1,7764	6,8943
4,5	147,92	1,0885	0,4138	623,16	2742,9	2119,7	1,8204	6,8547
5,0	151,84	1,0928	0,3747	640,12	2747,5	2107,4	1,8604	6,8192
6,0	158,84	1,1009	0,3155	670,42	2755,5	2085,0	1,9308	6,7575
7,0	164,96	1,1082	0,2727	697,06	2762,0	2064,9	1,9918	6,7052
8,0	170,41	1,1150	0,2403	720,94	2767,5	2046,5	2,0457	6,6596
9,0	175,36	1,1213	0,2148	742,64	2772,1	2029,5	2,0941	6,6192
10,0	179,88	1,1274	0,1943	762,61	2776,2	2013,6	2,1382	6,5828

تمة الجدول A.5

$p$	$T$	$v'$	$v''$	$h'$	$h''$	$\Delta h_p$	$s'$	$s''$
bar	°C	dm <sup>3</sup> /kg	m <sup>3</sup> /kg	kJ/kg	kJ/kg	kJ/kg	kJ/(kg·K)	kJ/(kg·K)
11	184,07	1,1331	0,1774	781,13	2779,7	1998,5	2,1786	6,5497
12	187,96	1,1386	0,1632	798,43	2782,7	1984,3	2,2161	6,5194
13	191,61	1,1438	0,1511	814,70	2785,4	1970,7	2,2510	6,4913
14	195,04	1,1489	0,1407	830,08	2787,8	1957,7	2,2837	6,4651
15	198,29	1,1539	0,1317	844,67	2789,9	1945,2	2,3145	6,4406
16	201,37	1,1586	0,1237	858,56	2791,7	1933,2	2,3436	6,4175
17	204,31	1,1633	0,1166	871,84	2793,4	1921,5	2,3713	6,3957
18	207,11	1,1678	0,1103	884,58	2794,8	1910,3	2,3976	6,3751
19	209,80	1,1723	0,1047	896,81	2796,1	1899,3	2,4228	6,3554
20	212,37	1,1766	0,09954	908,59	2797,2	1888,6	2,4469	6,3367
21	214,85	1,1809	0,09489	919,96	2798,2	1878,2	2,4700	6,3187
22	217,24	1,1850	0,09065	930,95	2799,1	1868,1	2,4922	6,3015
23	219,55	1,1892	0,08677	941,60	2799,8	1858,2	2,5136	6,2849
24	221,78	1,1932	0,08320	951,93	2800,4	1848,5	2,5343	6,2690
25	223,94	1,1972	0,07991	961,96	2800,9	1839,0	2,5543	6,2536
26	226,04	1,2011	0,07686	971,72	2801,4	1829,6	2,5736	6,2387
28	230,05	1,2088	0,07139	990,48	2802,0	1811,5	2,6106	6,2104
30	233,84	1,2163	0,06663	1008,4	2802,3	1793,9	2,6455	6,1837
32	237,45	1,2237	0,06244	1025,4	2802,3	1776,9	2,6786	6,1585
34	240,88	1,2310	0,05873	1041,8	2802,1	1760,3	2,7101	6,1344
36	244,16	1,2381	0,05541	1057,6	2801,7	1744,2	2,7401	6,1115
38	247,31	1,2451	0,05244	1072,7	2801,1	1728,4	2,7689	6,0896
40	250,33	1,2521	0,04975	1087,4	2800,3	1712,9	2,7965	6,0685
45	257,41	1,2691	0,04404	1122,1	2797,7	1675,6	2,8612	6,0191
50	263,91	1,2858	0,03943	1154,5	2794,2	1639,7	2,9206	5,9735
55	269,93	1,3023	0,03563	1184,9	2789,9	1605,0	2,9757	5,9309
60	275,55	1,3187	0,03244	1213,7	2785,0	1571,3	3,0273	5,8908
65	280,82	1,3350	0,02972	1241,1	2779,5	1538,4	3,0759	5,8527
70	285,79	1,3513	0,02737	1267,4	2773,5	1506,0	3,1219	5,8162
75	290,50	1,3677	0,02533	1292,7	2766,9	1474,2	3,1657	5,7811
80	294,97	1,3842	0,02353	1317,1	2759,9	1442,8	3,2076	5,7471
85	299,23	1,4009	0,02193	1340,7	2752,5	1411,7	3,2479	5,7141
90	303,31	1,4179	0,02050	1363,7	2744,6	1380,9	3,2867	5,6820
95	307,21	1,4351	0,01921	1386,1	2736,4	1350,2	3,3242	5,6506
100	310,96	1,4526	0,01804	1408,0	2727,7	1319,7	3,3605	5,6198
110	318,05	1,4887	0,01601	1450,6	2709,3	1258,7	3,4304	5,5595
120	324,65	1,5268	0,01428	1491,8	2689,2	1197,4	3,4972	5,5002
130	330,83	1,5672	0,01280	1532,0	2667,0	1135,0	3,5616	5,4408
140	336,64	1,6106	0,01150	1571,6	2642,4	1070,7	3,6242	5,3803
150	342,13	1,6579	0,01034	1611,0	2615,0	1004,0	3,6859	5,3178
160	347,33	1,7103	0,009308	1650,5	2584,9	934,3	3,7471	5,2531
170	352,26	1,7696	0,008371	1691,7	2551,6	859,9	3,8107	5,1855
180	356,96	1,8399	0,007498	1734,8	2513,9	779,1	3,8765	5,1128
190	361,43	1,9260	0,006678	1778,7	2470,6	692,0	3,9429	5,0332
200	365,70	2,0370	0,005877	1826,5	2418,4	591,9	4,0149	4,9412
210	369,78	2,2015	0,005023	1886,3	2347,6	461,3	4,1048	4,8223
220	373,69	2,6714	0,003728	2011,1	2195,6	184,5	4,2947	4,5799
221,2	374,15	3,17	0,00317		2107,4	0		4,4429



الجدول A.6 عوامل الحالة للماء في حالة الغليان ولبخار الماء المشبع؛ قائمة درجات الحرارة (kJ, bar)

درجة الحرارة	الضغط	المحجم النوعي	الكثافة النوعية	الانثالبي النوعي	حرارة التبخر	الانترنوسى النوعي
$t$ °C	$p$ bar	$v'$ m <sup>3</sup> /kg	$v''$ m <sup>3</sup> /kg	$h'$ kJ/kg	$h''$ kJ/kg	$s'$ kJ/kg K
0,00	0,006108	0,0010002	206,3	0,004847	2501,6	9,1577
5	0,008718	0,0010000	147,2	0,006795	2510,7	9,0269
10	0,012270	0,0010003	106,4	0,009396	2519,9	8,9020
15	0,017039	0,0010008	77,98	0,01282	2529,1	8,7826
20	0,02337	0,0010017	57,84	0,01729	2538,2	8,6684
25	0,03166	0,0010029	43,40	0,02304	2547,3	8,5592
30	0,04241	0,0010043	32,93	0,03037	2556,4	8,4546
35	0,05622	0,0010060	25,24	0,03961	2565,4	8,3543
40	0,07375	0,0010078	19,55	0,05116	2574,4	8,2583
45	0,09582	0,0010099	15,28	0,06546	2583,3	8,1661
50	0,12335	0,0010121	12,05	0,08302	2592,2	8,0776
55	0,15741	0,0010145	9,579	0,1044	2601,0	7,9926
60	0,19920	0,0010171	7,679	0,1302	2609,7	7,9108
65	0,2501	0,0010199	6,202	0,1612	2618,4	7,8322
70	0,3116	0,0010228	5,046	0,1982	2626,9	7,7565
75	0,3855	0,0010259	4,134	0,2419	2635,4	7,6835
80	0,4736	0,0010292	3,409	0,2933	2643,8	7,6132
85	0,5780	0,0010326	2,829	0,3535	2652,5	7,5454
90	0,7011	0,0010361	2,361	0,4235	2660,1	7,4799
95	0,8453	0,0010399	1,982	0,5045	2668,1	7,4166
100	1,0133	0,0010437	1,673	0,5977	2676,0	7,3554
105	1,2080	0,0010477	1,419	0,7046	2683,7	7,2962
110	1,4327	0,0010519	1,210	0,8265	2691,3	7,2388
115	1,6906	0,0010562	1,036	0,9650	2698,7	7,1832
120	1,9854	0,0010606	0,8915	1,122	2706,0	7,1293
125	2,3210	0,0010652	0,7702	1,298	2713,0	7,0769
130	2,7013	0,0010700	0,6681	1,497	2719,9	7,0261
135	3,131	0,0010750	0,5818	1,719	2726,6	6,9766
140	3,614	0,0010801	0,5085	1,967	2733,1	6,9284
145	4,155	0,0010853	0,4460	2,242	2739,3	6,8815
150	4,760	0,0010908	0,3924	2,548	2745,4	6,8358
155	5,433	0,0010964	0,3464	2,886	2751,2	6,7911
160	6,181	0,0011022	0,3068	3,260	2756,7	6,7475
165	7,008	0,0011082	0,2724	3,671	2762,0	6,7048
170	7,920	0,0011145	0,2426	4,123	2767,1	6,6630
175	8,924	0,0011209	0,2165	4,618	2771,8	6,6221
180	10,027	0,0011275	0,1938	5,160	2776,3	6,5819
185	11,233	0,0011344	0,1739	5,752	2780,4	6,5424
190	12,551	0,0011415	0,1563	6,397	2784,3	6,5036
195	13,987	0,0011489	0,1408	7,100	2787,8	6,4654

تمة الجدول A.6

درجة الحرارة	الضغط	الحجم النوعي		الكثافة النوعية		الإنثالبي النوعي		حرارة التبخر	الإنثالبي النوعي	
$t$ °C	$p$ bar	$v'$ m <sup>3</sup> /kg	$v''$ m <sup>3</sup> /kg	$\rho'$ kg/m <sup>3</sup>	$\rho''$ kg/m <sup>3</sup>	$h'$ kJ/kg	$h''$ kJ/kg	$r$ kJ/kg	$s'$ kJ/kg K	$s''$ kJ/kg K
200	15,549	0,0011565	0,1272	7,864	852,37	2790,9	1938,6	2,3307	6,4278	
205	17,243	0,0011644	0,1150	8,694	874,99	2793,8	1918,8	2,3778	6,3906	
210	19,077	0,0011726	0,1042	9,593	897,74	2796,2	1898,5	2,4247	6,3539	
215	21,060	0,0011811	0,09463	10,57	920,63	2798,3	1877,6	2,4713	6,3176	
220	23,198	0,0011900	0,08604	11,62	943,67	2799,9	1856,2	2,5178	6,2817	
225	25,501	0,0011992	0,07835	12,76	966,89	2801,2	1834,3	2,5641	6,2461	
230	27,976	0,0012087	0,07145	14,00	990,26	2802,0	1811,7	2,6102	6,2107	
235	30,632	0,0012187	0,06525	15,33	1013,8	2802,3	1788,5	2,6562	6,1756	
240	33,478	0,0012291	0,05965	16,76	1037,2	2802,2	1764,6	2,7020	6,1406	
245	36,523	0,0012399	0,05461	18,31	1061,6	2801,6	1740,0	2,7478	6,1057	
250	39,776	0,0012513	0,05004	19,99	1085,8	2800,4	1714,6	2,7935	6,0708	
255	43,246	0,0012632	0,04590	21,79	1110,2	2798,7	1688,5	2,8392	6,0359	
260	46,943	0,0012756	0,04213	23,73	1134,9	2796,4	1661,5	2,8848	6,0010	
265	50,877	0,0012887	0,03871	25,83	1159,9	2793,5	1633,6	2,9306	5,9658	
270	55,058	0,0013025	0,03559	28,10	1185,2	2789,9	1604,6	2,9763	5,9304	
275	59,496	0,0013170	0,03274	30,55	1210,9	2785,5	1574,7	3,0223	5,8947	
280	64,202	0,0013324	0,03013	33,19	1236,8	2780,4	1543,6	3,0683	5,8586	
285	69,186	0,0013487	0,02773	36,06	1263,2	2774,5	1511,3	3,1146	5,8220	
290	74,461	0,0013659	0,02554	39,16	1290,0	2767,6	1477,6	3,1611	5,7848	
295	80,037	0,0013844	0,02351	42,53	1317,3	2759,8	1442,6	3,2079	5,7469	
300	85,927	0,0014041	0,02165	46,19	1345,0	2751,0	1406,0	3,2552	5,7081	
305	92,144	0,0014252	0,01993	50,18	1373,4	2741,1	1367,7	3,3029	5,6685	
310	98,700	0,0014480	0,01833	54,54	1402,4	2730,0	1327,6	3,3512	5,6278	
315	105,61	0,0014726	0,01686	59,33	1432,1	2717,6	1285,5	3,4002	5,5858	
320	112,89	0,0014995	0,01548	64,60	1462,6	2703,7	1241,1	3,4500	5,5423	
325	120,56	0,0015289	0,01419	70,45	1494,0	2688,0	1194,0	3,5008	5,4969	
330	128,63	0,0015615	0,01299	76,99	1526,5	2670,2	1143,6	3,5528	5,4490	
335	137,12	0,0015978	0,01185	84,36	1560,3	2649,7	1089,5	3,6063	5,3979	
340	146,05	0,0016387	0,01078	92,76	1595,5	2626,2	1030,7	3,6616	5,3427	
345	155,45	0,0016858	0,009763	102,4	1632,5	2598,9	966,4	3,7193	5,2828	
350	165,35	0,0017411	0,008799	113,6	1671,9	2567,7	895,7	3,7800	5,2177	
355	175,77	0,0018085	0,007859	127,2	1716,6	2530,4	813,8	3,8489	5,1442	
360	186,75	0,0018959	0,006940	144,1	1764,2	2485,4	721,3	3,9210	5,0600	
365	198,33	0,0020160	0,006012	166,3	1818,0	2428,0	610,0	4,0021	4,9579	
370	210,54	0,0022136	0,004973	291,1	1890,2	2342,8	452,6	4,1108	4,8144	
374,15	221,20	0,00317	0,00317	315,5		2107,4	0,0	4,4429		

الجدول A.7 الانتافي البرمي [K/(kg/deg)] للماء والبخار الحار

الضغط [bar]	200	250	300	350	400	450	500	550	600	700	800
1	2875.4	2974.5	3074.5	3175.6	3278.2	3382.4	3488.1	3595.8	3704.8	3928.2	4158.3
5	2856.2	2955.1	3054.8	3158.1	3262.1	3372.2	3483.8	3595.6	3707.5	3925.5	4154.4
10	2837.8	2936.0	3035.1	3138.5	3244.4	3350.8	3463.3	3576.1	3689.4	3907.2	4135.1
15	2791.3	2921.5	3037.6	3147.7	3255.8	3363.7	3472.2	3582.4	3693.3	3915.6	4151.7
20	852.6	2902.4	3025.0	3138.6	3248.7	3357.8	3467.3	3577.6	3689.2	3916.5	4149.4
25	852.8	2879.5	3010.4	3128.2	3240.7	3346.7	3451.7	3557.9	3665.1	3913.4	4147.0
30	853.0	2854.8	2995.1	3117.5	3232.5	3344.6	3456.2	3568.1	3681.0	3910.3	4144.7
35	853.2	2828.1	2979.0	3106.5	3224.2	3338.0	3450.6	3563.4	3676.9	3907.2	4142.4
40	853.4	1085.8	2962.0	3095.1	3215.7	3331.2	3445.0	3558.6	3672.8	3904.1	4140.0
45	853.6	1085.8	2944.2	3083.3	3207.1	3324.4	3439.3	3553.8	3668.6	3901.0	4137.7
50	853.8	1085.8	2925.5	3071.2	3198.3	3317.5	3433.7	3549.0	3664.5	3897.9	4135.3
60	854.2	1085.8	2885.0	3045.8	3180.1	3303.5	3422.2	3539.3	3656.2	3891.7	4130.7
70	854.6	1085.8	2839.4	3018.7	3161.2	3289.1	3410.6	3529.6	3647.9	3885.4	4126.0
80	855.1	1085.8	2786.8	2989.9	3141.6	3274.3	3398.8	3519.7	3639.5	3879.2	4121.3
90	855.5	1085.8	2744.5	2959.0	3121.2	3259.2	3386.8	3509.8	3631.1	3873.0	4116.7
100	855.9	1085.8	1343.4	2925.8	3099.9	3243.6	3374.6	3499.8	3622.7	3866.8	4112.0
120	856.8	1085.9	1341.2	2849.7	3054.8	3211.4	3349.6	3479.6	3605.7	3854.3	4102.7
140	857.7	1086.1	1339.2	2754.2	3005.6	3177.4	3323.8	3458.8	3588.5	3841.7	4093.3
160	858.6	1086.3	1337.4	2620.8	2951.3	3141.6	3297.1	3437.7	3571.0	3829.1	4084.0
180	859.5	1086.5	1335.7	1659.8	2890.3	3104.0	3269.6	3416.1	3553.4	3816.5	4074.6
200	860.4	1086.7	1334.3	1647.2	2820.5	3064.3	3241.1	3394.1	3535.5	3803.8	4065.3
250	862.8	1087.5	1331.1	1625.1	2582.0	2954.3	3165.9	3337.0	3489.9	3771.9	4041.9
300	865.2	1088.4	1328.7	1610.0	2161.8	2825.6	3085.0	3227.4	3443.0	3739.7	4018.5
350	867.7	1089.5	1326.8	1598.7	1993.1	2676.4	2998.3	3215.4	3395.1	3707.3	3995.1
400	870.2	1090.8	1325.4	1589.7	1934.1	2515.6	2906.8	3151.6	3346.4	3674.8	3971.7
500	875.4	1093.6	1323.7	1576.4	1877.7	2293.2	2723.0	3021.1	3248.3	3610.2	3925.3
600	880.8	1096.9	1323.2	1567.1	1847.3	2187.1	2570.6	2896.2	3151.6	3547.0	3879.6
800	891.9	1104.4	1324.7	1555.9	1814.2	2094.1	2397.4	2708.0	2980.3	3428.7	3792.8

المجلد 8.8 الاتاني النوعي للماء في مجال ما دون الغليان [kJ/kg]

درجة الحرارة °C	الضغط بالبار [bar]																			
	2	5	10	20	40	60	80	100	120	140	160	180	200	220	240	260	280	300	340	400
100	419.1	419.4	419.7	420.5	422.0	423.5	425.0	426.5	428.0	429.5	431.0	432.5	434.0	435.6	437.1	438.6	440.1	441.6	449.2	
120	503.9	503.9	504.3	505.0	506.4	507.8	509.2	510.6	512.1	513.5	514.9	516.3	517.7	519.2	520.6	522.0	523.5	524.9	532.1	
140	589.2	589.2	589.5	590.2	591.5	592.8	594.1	595.4	596.7	598.0	599.4	600.7	602.0	603.4	604.7	606.0	607.4	608.7	615.5	
160			675.7	676.3	677.5	678.6	679.8	681.0	682.2	683.4	684.6	685.9	687.1	688.2	689.5	690.8	692.0	693.3	699.6	
180				763.6	764.6	765.1	766.7	767.8	768.8	769.9	771.0	772.0	773.1	774.2	775.3	776.4	777.6	778.7	784.4	
200				852.6	853.4	854.2	855.1	855.9	856.8	857.6	858.6	859.5	860.4	861.4	862.3	863.3	864.2	865.2	870.2	
220					944.1	944.7	945.3	945.9	946.6	947.2	947.9	948.6	949.3	950.0	950.8	951.5	952.3	953.1	957.2	
240					1037.7	1037.9	1038.1	1038.4	1038.7	1039.1	1039.4	1039.8	1040.3	1040.7	1041.2	1041.7	1042.2	1042.8	1045.8	
260						1134.7	1134.5	1134.2	1134.1	1134.0	1133.9	1133.9	1134.0	1134.0	1134.1	1134.3	1134.5	1134.7	1136.3	
280							1236.0	1235.0	1234.1	1233.3	1232.6	1232.0	1231.4	1231.4	1230.5	1230.2	1229.9	1229.7	1229.2	
300							1343.4	1341.2	1339.2	1337.4	1335.7	1334.3	1332.9	1331.7	1330.6	1329.6	1328.9	1328.7	1325.4	
320								1460.8	1456.3	1452.4	1448.8	1445.6	1442.7	1440.1	1437.8	1435.6	1433.6	1432.9	1425.9	
340											1588.3	1579.7	1572.5	1566.2	1560.8	1555.9	1551.6	1547.7	1532.9	
360												1742.9	1722.0	1707.2	1695.6	1686.1	1678.0	1650.5		

الجدول 9. أ. الحجم النوعي للماء وليبخار [m³/kg]

الضغط [bar]	200	250	300	350	400	450	500	550	600	700	800
1	2.172	2.406	2.639	2.871	3.102	3.334	3.565	3.797	4.028	4.490	4.952
5	0.4250	0.4744	0.5226	0.5701	0.6172	0.6640	0.7108	0.7574	0.8039	0.8968	0.9896
10	0.2059	0.2327	0.2580	0.2824	0.3065	0.3303	0.3540	0.3775	0.4010	0.4477	0.4943
15	0.1324	0.1520	0.1697	0.1865	0.2029	0.2191	0.2350	0.2509	0.2667	0.2980	0.3292
20	0.0011725	0.01114	0.1255	0.1386	0.1511	0.1634	0.1756	0.1876	0.1995	0.2232	0.2467
25	0.0011955	0.08699	0.09693	0.10975	0.12604	0.13904	0.15987	0.14958	0.15921	0.17826	0.19714
30	0.0011950	0.07055	0.08116	0.09053	0.09931	0.10779	0.11608	0.12428	0.13234	0.14832	0.16412
35	0.0011545	0.05869	0.06842	0.07678	0.08449	0.09189	0.09909	0.10617	0.11315	0.12694	0.14054
40	0.0011540	0.0012512	0.05883	0.06645	0.07338	0.07996	0.08634	0.09260	0.09876	0.11090	0.12285
45	0.0011533	0.0012503	0.05134	0.05840	0.06472	0.07068	0.07643	0.08204	0.08757	0.09843	0.10910
50	0.0011530	0.0012494	0.04530	0.05194	0.05779	0.06325	0.06849	0.07360	0.07862	0.08845	0.09809
60	0.0011519	0.0012476	0.03614	0.04222	0.04738	0.05210	0.05659	0.06094	0.06518	0.07348	0.08159
70	0.0011511	0.0012461	0.02946	0.03523	0.03992	0.04413	0.04809	0.05189	0.05559	0.06279	0.06980
80	0.0011501	0.0012443	0.02426	0.02995	0.03431	0.03814	0.04170	0.04510	0.04839	0.05477	0.06096
90	0.0011491	0.0012426	0.0014030	0.02579	0.02993	0.03348	0.03674	0.03982	0.04280	0.04853	0.05408
100	0.0011482	0.0012409	0.0013987	0.02242	0.02641	0.02974	0.03276	0.03560	0.03832	0.04355	0.04858
120	0.0011463	0.0012376	0.0013904	0.01721	0.02108	0.02412	0.02679	0.02926	0.03160	0.03607	0.04033
140	0.0011444	0.0012344	0.0013827	0.01321	0.01723	0.02008	0.02251	0.02472	0.02680	0.03072	0.03444
160	0.0011428	0.0012312	0.0013794	0.009764	0.01427	0.01703	0.01929	0.02132	0.02320	0.02672	0.03002
180	0.0011408	0.0012283	0.0013685	0.007172	0.01191	0.01464	0.01678	0.01867	0.02040	0.02360	0.02659
200	0.0011390	0.0012253	0.0013619	0.006728	0.009947	0.01271	0.01477	0.01655	0.01816	0.02111	0.02385
250	0.0011343	0.0012175	0.0013453	0.0016000	0.006014	0.009171	0.01113	0.01272	0.01413	0.01663	0.01891
300	0.0011301	0.0012107	0.0013316	0.0015540	0.002831	0.006735	0.008681	0.01017	0.01144	0.01365	0.01562
350	0.0011260	0.0012042	0.0013191	0.0015186	0.002111	0.004956	0.006925	0.008342	0.009519	0.01152	0.01327
400	0.0011220	0.0011981	0.0013077	0.0014896	0.001909	0.003675	0.005616	0.006982	0.008088	0.009930	0.01152
500	0.0011444	0.0011866	0.0012874	0.0014438	0.001729	0.002492	0.003882	0.005113	0.006111	0.007720	0.009076
600	0.0011073	0.0011761	0.0012698	0.0014083	0.001632	0.002084	0.002952	0.003947	0.004835	0.006269	0.007460
800	0.0010941	0.0012573	0.0012401	0.0013547	0.001518	0.001772	0.002188	0.002764	0.003379	0.004319	0.005481

الجدول A.10 السعة الحرارية النوعية الوسطية بثبوت الضغط للغازات المثالية  $c_p$  [kJ/kgK]

$t$ [°C]	Luft	N <sub>2</sub>	N <sub>2</sub>	O <sub>2</sub>	CO <sub>2</sub>	H <sub>2</sub> O	SO <sub>2</sub>
-60	1,0030	1,0303	1,0392	0,9123	0,7831	1,8549	0,5915
-40	1,0032	1,0304	1,0392	0,9130	0,7943	1,8561	0,5971
-20	1,0034	1,0304	1,0393	0,9138	0,8055	1,8574	0,6026
0	1,0037	1,0305	1,0394	0,9148	0,8165	1,8591	0,6083
20	1,0041	1,0306	1,0395	0,9160	0,8273	1,8611	0,6139
40	1,0046	1,0308	1,0396	0,9175	0,8378	1,8634	0,6196
60	1,0051	1,0310	1,0398	0,9191	0,8481	1,8660	0,6252
80	1,0057	1,0313	1,0401	0,9210	0,8580	1,8690	0,6309
100	1,0065	1,0316	1,0404	0,9230	0,8677	1,8724	0,6365
120	1,0073	1,0320	1,0408	0,9252	0,8771	1,8760	0,6420
140	1,0082	1,0325	1,0413	0,9276	0,8863	1,8799	0,6475
160	1,0093	1,0331	1,0419	0,9301	0,8952	1,8841	0,6529
180	1,0104	1,0338	1,0426	0,9327	0,9038	1,8885	0,6582
200	1,0117	1,0346	1,0434	0,9355	0,9122	1,8931	0,6634
250	1,0152	1,0370	1,0459	0,9426	0,9322	1,9054	0,6759
300	1,0192	1,0401	1,0490	0,9500	0,9509	1,9185	0,6877
350	1,0237	1,0437	1,0526	0,9575	0,9685	1,9323	0,6987
400	1,0286	1,0477	1,0568	0,9649	0,9850	1,9467	0,7090
450	1,0337	1,0522	1,0613	0,9722	1,0005	1,9615	0,7185
500	1,0389	1,0569	1,0661	0,9792	1,0152	1,9767	0,7274
550	1,0443	1,0619	1,0712	0,9860	1,0291	1,9923	0,7356
600	1,0498	1,0670	1,0764	0,9925	1,0422	2,0082	0,7433
650	1,0552	1,0722	1,0816	0,9988	1,0546	2,0244	0,7505
700	1,0606	1,0775	1,0870	1,0047	1,0664	2,0408	0,7571
750	1,0660	1,0827	1,0923	1,0104	1,0775	2,0574	0,7633
800	1,0712	1,0879	1,0976	1,0158	1,0881	2,0741	0,7692
850	1,0764	1,0930	1,1028	1,0209	1,0981	2,0909	0,7746
900	1,0814	1,0981	1,1079	1,0258	1,1076	2,1077	0,7797
950	1,0863	1,1030	1,1130	1,0305	1,1167	2,1246	0,7846
1000	1,0910	1,1079	1,1179	1,0350	1,1253	2,1414	0,7891
1050	1,0956	1,1126	1,1227	1,0393	1,1335	2,1582	0,7934
1100	1,1001	1,1172	1,1274	1,0434	1,1414	2,1749	0,7974
1150	1,1045	1,1217	1,1319	1,0474	1,1489	2,1914	0,8013
1200	1,1087	1,1260	1,1363	1,0512	1,1560	2,2078	0,8049
1250	1,1128	1,1302	1,1406	1,0548	1,1628	2,2240	0,8084
1300	1,1168	1,1343	1,1448	1,0584	1,1693	2,2400	0,8117
1400	1,1243	1,1422	1,1528	1,0651	1,1816	2,2714	0,8178
1500	1,1315	1,1495	1,1602	1,0715	1,1928	2,3017	0,8234
1600	1,1382	1,1564	1,1673	1,0775	1,2032	2,3311	0,8286
1700	1,1445	1,1629	1,1739	1,0833	1,2128	2,3594	0,8333
1800	1,1505	1,1690	1,1801	1,0888	1,2217	2,3866	0,8377
1900	1,1561	1,1748	1,1859	1,0941	1,2300	2,4127	0,8419
2000	1,1615	1,1802	1,1914	1,0993	1,2377	2,4379	0,8457
2100	1,1666	1,1853	1,1966	1,1043	1,2449	2,4620	0,8493
2200	1,1714	1,1901	1,2015	1,1092	1,2517	2,4851	0,8527

الجدول A.11 القيم الحرارية لحوامل الطاقة

حامل الطاقة	الواحدة	القيمة الحرارية kJ	عامل HCU*
الفحم الحجري	kg	29 809	1.017
فحم الكوك المستخرج من الفحم الحجري	kg	28 650	0.978
قوالب الفحم الحجري	kg	31 401	1.071
الفحم البني	kg	8 303	0.283
قوالب الفحم البني	kg	19 259	0.657
الفحم البني القاسي	kg	14 980	0.511
حشب الإحراق ( $1 \text{ m}^3 = 0.7 \text{ t}$ )	kg	14 654	0.500
فحم المستنقعات القابل للإحراق	kg	14 235	0.486
الوُحْل الناتج عن معالجة مياه المجاري	kg	8 499	0.290
النفط الخام	kg	42 622	1.454
بترين المحركات، بترول المحركات	kg	43 543	1.486
البترين الخام	kg	43 543	1.486
بترين الطائرات، الوقود الخفيف للتعفان العازية على الطائرات	kg	43 543	1.486
الوقود الثقيل المستخدم للتعفان العازية على الطائرات، النفط	kg	42 702	1.457
وقود الديزل (للملازوت)	kg	42 702	1.457
وقود التدفئة الخفيف	kg	42 702	1.457
وقود التدفئة الثقيل	kg	41 031	1.400
الكوك المستخرج من النفط	kg	29 308	1.000
الغاز المميع	kg	45 887	1.566
غاز المصافي العظمية	kg	48 358	1.650
غاز التحويل إلى فحم كوك (غاز التكوين) غاز المدينة	m <sup>3</sup>	15 994	0.546
غاز الأفران العالية	m <sup>3</sup>	4 187	0.143
الغاز الطبيعي	m <sup>3</sup>	31 736	1.083
غاز النفط الخام (الغاز المرافق)	m <sup>3</sup>	40 300	1.375
الغاز الذي يتواجد غالباً في جبال الفحم الحجري (ميثان)	m <sup>3</sup>	15 994	0.546
الغاز الناتج عن معالجة مياه المجاري	m <sup>3</sup>	15 994	0.546
النفط الخام	kg	39 565	1.350
القطران الخام	kg	37 681	1.286
القطار (الزفت)	kg	37 681	1.286
المحوم الهيدروجينية الأخرى	kg	38 520	1.314
للتباحتات الأخرى من الزيت المعدنية	kg	38 937	1.329

\* المقصود بـ HCU واحدة للفحم الحجري الذي قيمته الحرارية 29300 kg/kg (Hard Coal Unit)

عامل HCF = القيمة الحرارية للوقود / 29300 (Hard Coal Factor)

الجدول A.12 السعة الحرارية النوعية بثبوت الضغط للهواء عند الضغط من 1 حتى 300 bar بالـ [kg/kgK]

300	200	150	100	50	25	1	P [bar]
1.4087	1.3612	1.3022	1.2156	1.1116	1.0579	1.0065	t = 0°C
1.2816	1.2288	1.1866	1.1335	1.0720	1.0395	1.0080	50°C
1.2045	1.1614	1.1316	1.0959	1.0549	1.0330	1.0117	100°C

الجدول A.13 القيم المميزة للهواء الجاف عند 1.013 bar

t	c <sub>p</sub>	λ	10 <sup>3</sup> · η	10 <sup>6</sup> · ν	10 <sup>6</sup> · α	Pr
°C	kJ/(kg · K)	W/(m · K)	kg/(m · s)	m <sup>2</sup> /s	m <sup>2</sup> /s	–
-150	1,026	0,0120	0,870	3,11	4,19	0,74
-100	1,009	0,0165	1,18	5,96	8,28	0,72
-50	1,005	0,0206	1,47	9,55	13,4	0,715
0	1,005	0,0243	1,72	13,30	18,7	0,711
20	1,005	0,0257	1,82	15,11	21,4	0,713
40	1,009	0,0271	1,91	16,97	23,9	0,711
60	1,009	0,0285	2,00	18,90	26,7	0,709
80	1,009	0,0299	2,10	20,94	29,6	0,708
100	1,013	0,0314	2,18	23,08	32,8	0,704
120	1,013	0,0328	2,27	25,23	36,1	0,70
140	1,013	0,0343	2,35	27,55	39,7	0,694
160	1,017	0,0358	2,43	29,85	43,0	0,693
180	1,022	0,0372	2,51	32,29	46,7	0,69
200	1,026	0,0386	2,58	34,63	50,5	0,685
250	1,034	0,0421	2,78	41,17	60,3	0,68
300	1,047	0,0454	2,95	47,85	70,3	0,68
350	1,055	0,0485	3,12	55,05	81,1	0,68
400	1,068	0,0516	3,28	62,53	91,9	0,68
450	1,080	0,0543	3,44	70,54	103,1	0,685
500	1,093	0,0570	3,58	78,48	114,2	0,69
600	1,114	0,0621	3,86	95,57	138,2	0,69
700	1,135	0,0667	4,12	113,7	162,2	0,70
800	1,156	0,0706	4,37	132,8	185,8	0,715
900	1,172	0,0741	4,59	152,5	210	0,725
1000	1,185	0,0770	4,80	173	235	0,735

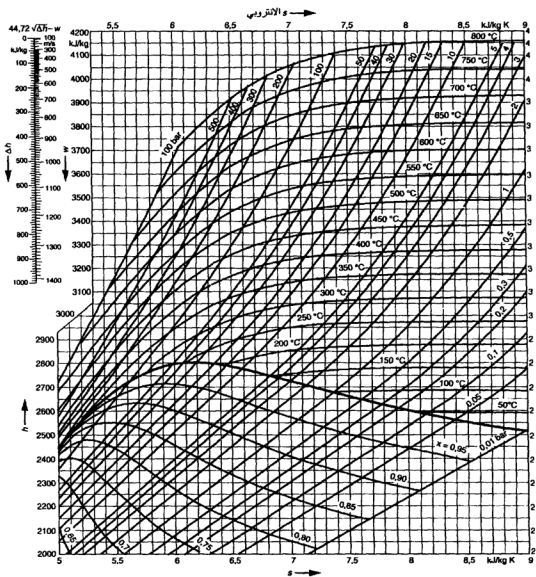
t درجة الحرارة  
c<sub>p</sub> السعة الحرارية النوعية بثبوت الضغط  
λ معامل التوصيل الحراري  
η اللزوجة الديناميكية (الحركي)  
ν اللزوجة الشعرية  
α معامل نفوذ الحرارة  
Pr رقم برانتل



الجدول A.14 القيم المميزة للماء عند 0.981 bar أو عند ضغط الإشباع

$t$	$p$	$\rho$	$c_p$	$\lambda$	$10^3 \cdot \beta$	$10^3 \cdot \eta$	$10^6 \cdot \nu$	$10^6 \cdot a$	$Pr$
°C	bar	kg/m <sup>3</sup>	kJ/(kg · K)	W/(m · K)	1/K	kg (m · s)	m <sup>2</sup> /s	m <sup>2</sup> /s	–
0	0,9807	999,8	4,218	0,552	-0,07	1,792	1,792	0,131	13,67
10		999,7	4,192	0,578	+0,088	1,307	1,307	0,138	9,47
20		998,2	4,182	0,598	0,206	1,002	1,004	0,143	7,01
30		995,7	4,178	0,614	0,303	0,797	0,801	0,148	5,43
40		992,2	4,178	0,628	0,385	0,653	0,658	0,151	4,35
50		988,0	4,181	0,641	0,457	0,548	0,554	0,155	3,57
60		983,2	4,184	0,652	0,523	0,467	0,475	0,158	3,00
70		977,8	4,190	0,661	0,585	0,404	0,413	0,161	2,56
80		971,8	4,196	0,669	0,643	0,355	0,365	0,164	2,23
90		965,3	4,205	0,676	0,698	0,315	0,326	0,166	1,96
100	1,0132	958,4	4,216	0,682	0,752	0,282	0,295	0,169	1,75
120	1,9854	943,1	4,245	0,686	0,860	0,235	0,2485	0,171	1,45
140	3,6136	926,1	4,287	0,684	0,957	0,199	0,215	0,172	1,25
160	6,1804	907,4	4,324	0,682	1,098	0,172	0,1890	0,173	1,09
180	10,027	886,9	4,409	0,676	1,233	0,151	0,1697	0,172	0,98
200	15,550	864,7	4,497	0,666	1,392	0,136	0,1579	0,171	0,92
220	23,202	840,3	4,610	0,653	1,597	0,125	0,1488	0,168	0,88
240	33,480	813,6	4,760	0,636	1,862	0,166	0,1420	0,164	0,87
260	46,491	784,0	4,978	0,612	2,21	0,107	0,1365	0,157	0,87
280	64,191	750,7	5,309	0,581	2,70	0,0944	0,1325	0,145	0,91
300	85,917	712,5	5,86	0,541	3,46	0,0935	0,1298	0,129	1,00
320	112,89	667,0	6,62	0,491	4,60	0,0856	0,1282	0,111	1,15
340	146,08	609,5	8,37	0,430	8,25	0,0775	0,1272	0,0844	1,5
360	186,74	524,5	13,4	0,349		0,0683	0,1306	0,0500	2,6
374,3	221,24	326	∞	0,209	∞	0,0506	0,155	0	∞

$t$  درجة الحرارة  
 $p$  الضغط  
 $\rho$  الكثافة النوعية  
 $c_p$  السعة الحرارية النوعية شوت الضغط  
 $\lambda$  عامل التوصيل الحراري  
 $\beta$  عامل التمدد الحجمي  
 $\eta$  اللزوجة الديناميكية (والركية)  
 $\nu$  اللزوجة الحركية  
 $a$  عامل نفوذ الحرارة  
 $Pr$  رقم برانتل



الشكل A.1 مخطط  $h-s$  لبخار الماء

## تعريف الرموز

$d$ القطر [m]	$A$ محتوى الوقود من الرماد [kg/kg]
$E$ كثافة تيار الإشعاع [ $W/m^2$ ]	$A$ المساحة [ $m^2$ ]
$E_k$ الطاقة الحركية [J]	$a$ نفوذية المائع [ $m^2/s$ ]
$E_p$ الطاقة الكامنة للموقع [J]	$Ar = g d^3 (p - \rho) / \rho v^2 =$ رقم أرخميدس
$F$ القوة [N]	$B$ شدة الحقل المغناطيسي [T]
$F = 96487 \text{ C/Mol}$ ثابت فاراداي	$b$ الاستهلاك النوعي للوقود [kg/kWh]
$F_R$ عامل التصريف أو النقل الحراري	$C$ محتوى الوقود من الكربون (الفحم)
للمجمع الشمسي	[kg/kg]
$G$ الطاقة الحرة [J]	$C$ نسبة التركيز للمجمع
$g$ التسارع الأرضي [ $m/s^2$ ]	$C$ عامل إشعاع الجسم [ $W/m^2K^4$ ]
$Gr = g l^3 / \nu^2 \beta \Delta T$ رقم غراسهوف	$C_o = 5.67 W/m^2K^4$ عامل إشعاع الجسم
$H$ الإنثالبي [J]	الأسود
$H$ محتوى الوقود من الهيدروجين [kg/kg]	$C_p$ قريبة الاستطاعة
$H$ الارتفاع عن مستوى مرجعي [m]	$c$ السعة الحرارية النوعية [J/kg K]
$h$ الإنثالبي النوعي [J/kg]	$c_B$ السعة الحرارية النوعية للوقود [J/kgk]
$HCL$ القيمة الحرارية العليا للوقود	$c_p$ السعة الحرارية النوعية بثبوت الضغط
[J/KG أو $m^3$ ]	[J/kg K]
$H_{vap}$ الإنثالبي النوعي للتبخير [J/kg]	$c_{p,a}$ السعة الحرارية النوعية بثبوت الضغط
$I$ شدة الإشعاع الإجمالية في المستوى	للجواء [ $J/m^3K$ ]
الأفقي [ $W/m^2$ ]	$c_{p,w}$ السعة الحرارية النوعية بثبوت الضغط
$I$ شدة التيار الكهربائي [A]	للماء [J/kg K]
$I_D$ شدة الإشعاع المباشر في المستوى	$c_v$ السعة الحرارية النوعية بثبوت الحجم
الأفقي [ $W/m^2$ ]	[J/kg K]

$O$ محتوى الوقود من الأوكسجين [kg/kg]	$I_{Dk}$ شدة الإشعاع المباشر في مستوى المجموع
$O_{min}$ الاستهلاك الأصغري للأوكسجين	المائل [W/m <sup>2</sup> ]
$P$ اللازم لإحراق الوقود [kg/kg]	$I_d$ شدة الإشعاع المنتشر في المستوي الأفقي
$P_{el}$ الاستطاعة الكهربائية لمحطة توليد	[W/m <sup>2</sup> ]
$P_{st}$ استطاعة العنفة البخارية [W]	$I_{dk}$ شدة الإشعاع المنتشر في مستوى المجموع
$P_{GT}$ استطاعة العنفة الغازية [W]	المائل [W/m <sup>2</sup> ]
$P_T$ استطاعة العنفة [W]	$I_k$ شدة الإشعاع الإجمالي في مستوى المجموع
$p$ الضغط [Pa]	المائل [W/m <sup>2</sup> ]
$p_i$ الضغط الجزئي لأحد مركبات غازات	$I_k$ تيار القصر [A]
$p_{dyn}$ الضغط الديناميكي [Pa]	$k$ أس الايزنتروبي
$Pr = \nu/\alpha = \mu c_p/\lambda$ رقم برانتل	$k$ عامل نفوذ الحرارة [W/m <sup>2</sup> K]
$Q$ كمية الحرارة [J]	$K_k$ عامل الضياعات الحرارية الإجمالية
$Q$ التدفق (التيار) الحراري [J] (تعرف في	للمجموع الشمسي [W/m <sup>2</sup> K]
المراجع غالباً بـ $Q$ )	$L$ طول الأنبوب [m]
$Q_G$ الاستطاعة الحرارية المفيدة لغازات	$l$ الطول المميز (مثل قطر الأنبوب $d$ ) [m]
$Q_R$ كمية الحرارة المطروحة [J]	$LCV$ القيمة الحرارية الدنيا للوقود m <sup>3</sup> أو J/kg
$Q_{CC}$ الاستطاعة الحرارية لحرارة احتراق	$M$ عزم الدوران [N m]
$Q_k$ الاستطاعة الحرارية المفيدة للمجموع	$M$ الكتلة المولية [kg/k Mol]
$Q_{CW}$ الاستطاعة الحرارية المفيدة لماء تبريد	$m$ الكتلة [kg]
$Q_u$ المبادل الحراري [W]	$m$ التدفق الكتلي [kg/s] (يشار إليه غالباً
	في المراجع بـ $m$ )
	$m_f$ استهلاك الوقود [kg/s]
	$mv$ التدفق الكتلي للبخار الطازج [kg/s]
	$N$ محتوى الوقود من الآزوت (النيتروجين)
	$n$ عدد الدورات [min <sup>-1</sup> ]
	$Nu$ $\alpha l/\lambda = \text{رقم نوسيل}$

$s$ الانتروبي النوعي [J/kgK]	$Q_{AF}$ الاستطاعة الحرارية للوقود الإضافي الذي يحرق [W]
$T$ درجة الحرارة [K]	$Q_s$ كمية الحرارة المضافة [J]
$t$ درجة الحرارة [°C]	$q$ كثافة التيار الحراري [W/m <sup>2</sup> ]
$t_f$ درجة حرارة المائع [°C]	$q_A$ التحميل السطحي لحجرة الاحتراق [W/m <sup>2</sup> ]
$t_g$ درجة حرارة الهواء [°C]	$q_R$ الحرارة النوعية المطروحة [J/kg]
$t_{amb}$ درجة حرارة الوسط المحيط [°C]	$q_G$ التحميل الحراري لمحيط الحراقات (أي لحدران حجرة الاحتراق) [W/m <sup>2</sup> ]
$t_2$ درجة حرارة ماء التدفئة العائد [°C]	$q_{spec}$ الاستهلاك الحراري النوعي لمخطة الطاقة [kJ/kWh]
$t_{th}$ درجة حرارة الاحتراق النظرية (الكظيمة) [°C]	$q_v$ التحميل الحجمي لحجرة الاحتراق [W/m <sup>3</sup> ]
$t_s$ درجة حرارة الإشباع [°C]	$q_s$ الحرارة النوعية المضافة [J/kg]
$t_1$ درجة حرارة ماء التدفئة الذاهب [°C]	$R$ ثابت الغاز [J/kg K]
$t_w$ درجة حرارة الجدار [°C]	$R$ المقاومة الحرارية [m <sup>2</sup> K/W]
$U$ التوتر (الجهد، الضغط) [V]	$R_i$ المقاومة الداخلية [Ω]
$U_0$ توتر العمل بدون حمل [V]	$r_{CO}$ نسبة حجم CO في غازات الاحتراق [m <sup>3</sup> /m <sup>3</sup> ]
$u$ المركبة المحيطية للسرعة [m/s]	$r_{CO_2}$ نسبة حجم CO <sub>2</sub> في غازات الاحتراق [m <sup>3</sup> /m <sup>3</sup> ]
$x$ نسبة البخار في البخار الرطب [kg/kg]	$r_{H_2O}$ نسبة حجم H <sub>2</sub> O في غازات الاحتراق [m <sup>3</sup> /m <sup>3</sup> ]
$x$ محتوى الهواء من الرطوبة [kg هواء جاف / kg بخار ماء]	$r_i$ نسبة حجم إحدى مركبات الغاز في غازات الاحتراق [m <sup>3</sup> /m <sup>3</sup> ]
$V$ الحجم [m <sup>3</sup> ]	$R_a$ رقم ريلية $R_a = Gr Pr = g\beta \Delta T l^3 / \nu a$
$v$ الحجم النوعي [m <sup>3</sup> /kg]	$R_e$ رقم رينولدز $w / l \nu =$
$V_{GS}$ كمية غازات الاحتراق الناتجة عن إحراق كغ وقود [m <sup>3</sup> /kg]	$S$ الانتروبي [J/K]
$V_{CO_2}$ كمية ثاني أكسيد الكربون في غازات الاحتراق [kg / CO <sub>2</sub> وقود]	$S$ محتوى الوقود من الكبريت [kg/kg]
$V$ كمية غازات الاحتراق الرطبة [kg/m <sup>3</sup> وقود]	
$V_{dry}$ كمية غازات الاحتراق الجافة [kg/m <sup>3</sup> وقود]	

$\beta$ نسبة الضغط	$V_{H_2O}$ كمية بخار الماء في غازات الاحتراق
$\beta$ زاوية ميل المجموع الشمسي (درجة)	$m^3$ بخار ماء / kg وقود]
(Grad	$V_{N_2}$ كمية الأزوت (النيتروجين) في غازات
$\beta$ عامل التمدد الحجمي للمائع [1/K]	الاحتراق $m^3$ من الـ $kg / N_2$ وقود]
$\Delta G$ تغير الطاقة الحرة	$V_{O_2}$ كمية الأوكسجين في غازات الاحتراق
$\Delta h$ هبوط الإنثالي [J/kg]	$m^3$ من الـ $kg / O_2$ وقود]
$\Delta h_T$ الهبوط الإيزنتروبي للإنتالي في العنفة	$V_{SO_2}$ كمية ثاني أوكسيد الكبريت في غازات
[J/kg]	الاحتراق $m^3$ من الـ $kg / SO_2$ وقود]
$\Delta p$ ضياع الضغط [Pa]	$W$ العمل [J]
$\Delta p_e$ ضياع الضغط في المقاومات [Pa]	$W$ محتوى الوقود من الماء [kg/kg]
$\Delta P_{fr}$ ضياع الضغط بفعل الاحتكاك [Pa]	$W_{exp}$ عمل التمدد [J]
$\Delta T$ فرق درجات الحرارة [K]	$W_{comp}$ عمل الانضغاط [J]
$\Delta t_m$ فرق درجات الحرارة الوسطي	$w$ سرعة الجريان [m/s]
اللوغاريتمي [K]	$w_a$ سرعة انجرار الحبيبات (لفرشة الوقود
$\Delta U$ تغير الطاقة الداخلية للحملة [J]	الدوامية)
$\delta$ ميل الشمس [ درجة Grad]	$w_{mf}$ سرعة التسييل (التميع) الدنيا [m/s]
$\delta$ السماكة [m]	$w_u$ العمل النوعي المفيد [J/kg]
$\varepsilon$ درجة الانبعاث	$w_p$ العمل النوعي المستهلك للمضخة
$\varepsilon$ المسامية	[J/kg]
$\varepsilon$ نسبة الانضغاط	$w_T$ العمل النوعي للعنفة [J/kg]
$\varepsilon_{eff}$ درجة الإصدار الفعلية	$z$ ارتفاع المقطع المدرّوس عن مستو
$\eta_e$ درجة تحويل الفحم	مرجعي [m]
$\eta_{SG}$ مردود مولد البخار	<b>الرموز اليونانية</b>
$\eta_{SP}$ المردود الحراري لدورة البخار	$\alpha$ درجة الامتصاص
$\eta_G$ مردود المولد	$\alpha$ عامل Seebeck [V/K]
$\eta_{Good}$ درجة الجودة	$\alpha$ عامل انتقال الحرارة [W/m <sup>2</sup> K]
$\eta_{CO_2}$ درجة الاستفادة من الطاقة في منشأة	$\alpha_e$ عامل انتقال الحرارة بالحمل [W/m <sup>2</sup> K]
التوليد المشترك للحرارة والكهرباء	$\alpha_{Rad}$ عامل انتقال الحرارة بالإشعاع
المردود الإجمالي $\eta_{total}$	[W/m <sup>2</sup> K]

$\lambda$	طول الموجة [μm]	$\eta_{GT}$	المردود الحراري للعنفة الغازية
$\mu$	اللزوجة الحركية للمائع [Pa × s]	$\eta_{G+S}$	المردود الإجمالي للدارة المركبة ذات العنفة الغازية والبخارية معاً
$\nu$	اللزوجة التحريكية للمائع [m <sup>2</sup> /s]	$\eta_{iT}$	المردود الداخلي للعنفة
$\zeta$	نسبة الحرارة لآلة تبريد امتصاصية	$\eta_k$	مردود المجمع
$\xi$	عامل المقاومة	$\eta_{PS}$	المردود الإجمالي لمحطة الطاقة
$\rho$	الكثلة النوعية [kg/m <sup>3</sup> ]	$\eta_m$	المردود الميكانيكي للعنفة ومتماقها والمولد
$\rho$	درجة الانعكاس	$\eta_{MHD}$	مردود مولد MHD
$\rho$	المقاومة النوعية [Ω m]	$\eta_{opt}$	المردود البصري للمجمع
$\sigma$	$W/m^2K^3 \times 10^{-8} \times 5.67 =$ ثابت بولتزمان	$\eta_{th}$	المردود الحراري لدورة العمل
$\sigma$	الرقم المميز للتيار في محطة التوليد المشترك للكهرباء والحرارة	$\eta_{th,C}$	المردود الحراري لدورة عمل كارنو
$\tau$	عامل التوصيل (الإرسال)	$\eta_{Ga}$	مردود عملية التحويل إلى غاز
$\tau$	الزمن [s]	$\theta$	زاوية سقوط الشعاع المباشر على سطح أفقي [درجة Grad]
$\varphi$	نسبة الحقن	$\theta_k$	زاوية سقوط الشعاع المباشر على سطح المجمع المائل [درجة Grad]
$\varphi$	العرض الجغرافي [درجة Grad]	$\lambda$	عامل زيادة (فائض) الهواء
$\omega$	سرعة الدوران [s <sup>-1</sup> ]	$\lambda$	عامل الاحتكاك
$\omega$	الزاوية الساعية [درجة Grad]	$\lambda$	عامل توصيل الحرارة [W/m K]
$\omega_s$	الزاوية الساعية لغياب الشمس		
[Grad]			





---

## تثبيت المراجع

---

- [1] ADLHOCH, W., BOLT, N.: Möglichkeiten zur Weiterentwicklung der Kombi-Kraftwerkstechnik. *VGB Kraftwerkstechnik*, Bd. 74, Nr. 7, S. 609—612, 1994.
- [2] BECKER, B., FINCKH, H. H.: The 3A-series gas turbines. *Siemens Power Journal*, Aug. 1995, PP. 13—17.
- [3] BMFT (Bundesministerium für Forschung und Technologie): *Regenerative Energien*. Bonn, 1992.
- [4] BOHN, T.: *Gasturbinen, Kombi-, Heiz- u. Industriekraftwerke*. Grafelfing: Resch, Verlag, 1992.
- [5] GRASSE, W., MACIAS, M., und SCHIEL, W.: Operating experiences with experimental solar thermal power plants in Spain and perspectives for near-term commercial applications. In: *VDI-Berichte 1024*, Düsseldorf, 1993.
- [6] HAU, E.: *Windkraftanlagen*. Berlin: Springer Verlag, 1988.
- [7] HERBERT, P. K., GI-IL, C. F.: Kombikraftwerke mit integrierter Kohlevergasung — Stand der Technik und Markteinführung. In: *Fortschrittliche Energiewandlung und -anwendung*, VDI-GET-Fachtagung, 24.—25. 3. 1993, Bochum, 1993.
- [8] KALLMEYER, D., ENGELHARD, J.: KoBra-Kombikraftwerk mit integrierter HTW-Braunkohlevergasung. *Brennstoff-Wärme-Kraft*, Bd. 44, 5. 388—391, 1992.
- [9] Karita 360 MWe PFBC will be the first P800. *Modern Power Systems*, Vol. 15, Nr. 2, pp. 33, 35, 1995.
- [10] KEHR, M.: Kraftwerksprojekte der 90er Jahre. *VGB Kraftwerkstechnik*, Bd. 74, Nr. 8, S. 705—710, 1994.
- [11] KHARTCHENKO, N. V.: *Thermische Solaranlagen*. Berlin: Springer Verlag, 1995.
- [12] KÖTHE, H. K.: *Stromversorgung mit Solarzellen*. München: Franzis-Verlag, 1991.
- [13] KOOPMANN, E. W.: Erfahrungen mit dem SHELL-Kohlevergasungsprozess.

*VGB Kraftwerkstechnik*, Bd. 74, Nr. 11, S. 974—977, 1994.

- [14] **KRAUTZ, H.-J., CHALUPNIK, R.:** Braunkohle-Kombi-Kraftwerke mit zirkulierender Druckwirbelschichtfeuerung. *VGB Kraftwerkstechnik*, Bd. 74, Nr. 11, S. 1010, 1994.
- [15] **MATARE, H. F., FABER, P.:** Erneuerbare Energien. Düsseldorf: VDI Verlag, 1993.
- [16] **PETZEL, H.-K.:** Die Wirbelschichtfeuerung auf dem Weg zur betriebsgewährten GrolMeuerung? *VGB Kraftwerkstechnik*, Bd. 75, Heft 4, S. 380—385, 1995.
- [17] **PEDERSEN, B. M.:** Entwicklung der Windenergietechnologie und ihre Anwendung in Holland und Dänemark. *VDI-Berichte 1024*, S. 85—90, 1993.
- [18] **RAEDER, J., u. a.:** *Kontrollierte Kernfusion*. Stuttgart: Teubner Verlag, 1981.
- [19] **RECKNAGEL, SPRENGER, SCHRAMEK:** *Taschenbuch für Heizung --- Climateclinik*. München: Oldenburg Verlag, 69 ... 96/97. Auflage, 1994/95.
- [20] *Renezvable Energy Sources for Fuels and Electricity*. Exec. editor: L. **BURNHAM**. London: Earthscan Publ., Washington D. C.: Island Press, 1993.
- [21] **SCHULZ, R.:** *Geotliermische Energie*. Köln: C. F. Muller Verlag, 1992.
- [22] **SCHNITZ, K. W., KOCH, C.:** *Kraft-Wiirme-Kopplung*. Düsseldorf: VDI Verlag, 1995.
- [23] **TAKAHASHI, NAKABAYASHI, FUJITA u. a.:** Aktueller Stand der 350-MW-Wirbelschichtfeuerung Takehara und der 71-MW-Druckwirbelschichtfeuerung Wakamatsu der EPDC sowie der fortschrittlichen Stromerzeugung in Japan. *VGB Kraftwerkstechnik*, Bd. 74, Nr. 11, S. 1003, 1994.
- [24] *VDI-Lexikon Energietechnik*. Hrsg. H. **SCHAEFER** Düsseldorf: VDI Verlag, 1993.
- [25] *VDI-Wärmeatlas*. 6. Aufl., Düsseldorf: VDI Verlag, 1991.
- [26] **WETZEL, R., SCHELLBERG, W.:** Umweltfreundliche Kohlendruckvergasung nach dem PRENELOVerfahren. *Glueckauf Forschungshefte*, Bd. 52, Nr. 3, S. 134—142, 1991.

## ملحق أبجدي للمصطلحات الفنية

انكليزي	ألماني	عربي
CO <sub>2</sub> -Emission from power stations	CO <sub>2</sub> -Emissionen von Kraftwerken	إطلاق عmissions الطاقة لـ CO <sub>2</sub>
Steam power	Dampfleistung	استطاعة البخار
Home consumption in power station	Energiebedarf des Kraftwerkes	الاستهلاك الذاتي في محطة توليد الطاقة
Energy reserves	Energiereserven	احتياطات الطاقة
Energy consumption	Energieverbrauch	استهلاك الطاقة
Energy use	Energierverwendung	استخدام الطاقة
Specific enthalpy	Spezifische Enthalpie	الانثالي النوعي
Entropy	Entropie	الانثروبي
Integration of gasification	Integrierte Vergasung	إدخال عملية تحويل الوقود إلى غاز
Dimensionless numbers	Dimensionslose Kennzahlen	الأرقام اللابعدية المميزة
Nuclear fusion	Kernfusion	الاندماج النووي
Combustion of pulverized coal	Kohlenstaubfeuerung	إحراق مسحوق الفحم
Controlled thermonuclear fusion	Kontrollierte thermonukleare fusion	الاندماج الحراري المصنوع
Melting enthalpy	Schmelzenthalpie	انثالي الانصهار
Flue gas recirculation	Rauchgasrückführung	استرجاع غازات الاحتراق
Solar radiation	Sonnenstrahlung	الإشعاع الشمسي
- Diffuse radiation	- Diffusstrahlung	- الإشعاع المنتشر
- Direct radiation	- Direktstrahlung	- الإشعاع المباشر
- Extraterrestrial	- Extraterrestrische	- إشعاع خارج الأرض
- Global radiation	- Globalstrahlung	- الإشعاع العام
Fundamentals of fluid mechanics	Strömungstechnische Grundlagen	أسس هندسة الموائع

- Fluidized bed	- Wirbelschicht	- الطبقة ذات الحركة الدوامية
Environmental damage	Umweltbelastung	الإضرار بالبيئة
Heat radiation	Wärmestrahlung	الإشعاع الحراري
Heat transfer	Wärmeübertragung	انتقال الحرارة
Wind power	Windeistung	استطاعة الرياح
Combustion	Verbrennung	الاحتراق
- Low emission of harmful substances	- Schadstoffarme	- القليل الإصدار للمواد الضارة
ب		
Vapour, steam	Dampf	البخار
- h-s diagram	- h-s Diagramm	- مخطط h-s للبخار
- State values	- Zustandsgrößen	- القيم المصيرة لحالة البخار
Cooling tower	Kühlturm	برج التبريد
- Dry cooling tower	- Trockenkühlturm	- برج التبريد الجاف
- Wet cooling tower	- Nasskühlturm	- برج التبريد الرطب
ت		
Change of internal energy	Änderung der inneren Energie	تغير الطاقة الداخلية
Design, combustion chamber	Auslegung, Feuerraum	تصميم حجرة الاحتراق
Fuel composition	Brennstoff – Zusammensetzung	تركيب الوقود
Elementary analysis – fuel	Elementaranalyse – Brennstoff	التحليل العنصري للوقود
Energy conversion	Energieumwandlung	تحويل الطاقة
Heating, Furnace	Feuerung	التدفئة – التسخين
- Environmentally friendly	- Umweltschonende	- الديق بالبيئة
Coal gasification	Kohlevergasung	تحويل الفحم إلى الغاز
Preheating of air, regenerative	Luftvorwärmung, regenerative	التسخين الأولي المتجدد للهواء
Intermediate cooling of air	Luftzwischenkühlung	التبريد الوسيط للهواء
NO – formation	NO- Bildung	تشكل NO
- NO of fuel	- Brennstoff – NO	- NO – الوقود
- Prompt NO	- Promptes NO	- NO – الأني
- Thermal NO	- Thermisches NO	- NO – الحراري
NO <sub>x</sub> Reduction	NO <sub>x</sub> Minderung	تقليل NO <sub>x</sub>
Fluidized bed combustion	Wirbelschichtverbrennung	الاحتراق في مرحلة الوقود الدوامية

Cross-section load	Querschnittbelastung, Feuerung	التحميل عند المقطع — التسخين
Preheating of feeding water, regenerative	Regenerative Speisewasservorwärmung	التسخين الأولي المتعدد لماء التغذية
Preheating of feeding water	Speisewasservorwärmung	التسخين الأولي لماء التغذية
Heat exchange, radiation	Strahlungsenergieaustausch	تبادل الحرارة بالإشعاع
Thermoelectric power change	Thermoelektrische Energieumwandlung	تحول الطاقة الكهربائي — الحراري
Heat conduction	Wärmeleitung	توصيل الحرارة
ث		
Solar-constant	Solarkonstante	الثابت الشمسي
ج		
Cooling water systems	Kühlwassersysteme	جمل تبريد الماء
– Drain-cooling water system	– Ablaufkühlsystem	– ذات الماء الضائع
– Flow-cooling water system	– Durchlaufkühlsystem	– ذات الماء الجاري
– Circulated water cooling	– Kreislaufkühlsystem	– ذات إعادة تدوير الماء
Solar module	Solarmodul	الجملة الشمسية
– MPP-point	– MPP Punkt	– نقطة MPP (الاستطاعة العظمى)
– Peak power	– Spitzenleistung	– استطاعة الدروة
Flow	Strömung	الجريان
Carburettor	Vergaser	جهاز تحويل الوقود إلى غاز
ح		
Biomass	Biomasse	الكتلة الحيوية
Burner	Brenner	المحراق
– Burner-belt-load	– Gürtelbelastung, Feuerung	– تحميل حراري في الحزام المحيط بالحرقات
Combustion chamber	Brennkammer	حجرة الاحتراق
Energy carriers	Energieträger	حوامل الطاقة
Convection	Konvektion	الحمل الحراري (انتقال الحرارة بالحمل)
Specific volume	Spezifisches volumen	الحجم النوعي
خ		
Throttling	Drosselung	الخنق
Fuel cells	Brennstoffzellen	خلايا الوقود
– Alkaline	– Alkalische	– القلوية
– Solid oxide fuel cell	– Festelektrolyt (SOFC)	– ذات التحليل الكهربائي الصلبة (SOFC)

Compressed air energy storage	Druckluftspeicher	خزان الهواء المضغوط
Energy storage	Energiespeicher	خزان الطاقة
Latent heat storage medium	LWS-Speichermedium	وسائط تخزين الحرارة الكامنة
Seasonal heat storage	Saisonale wärmespeicher	الخزانات الحرارية الفصلية
Fly wheel storage	Schwungradspeicher	الخزانات ذات الدوالات المعدل
Storage medium	Speichermedium	وسيط التخزين
Thermo chemical	Thermochemische	الحرارية — الكيميائية
Water heat storage	Wasserwärmespeicher	الخزانات الحرارية باستخدام الماء
Preheating mixer	Mischvorwärmer	مخلط التسخين الأولي
Solar cells	Solarzellen	الخلايا الشمسية
– Si – cell, Monocrystalline	– Si – Zellen, monokristalline	– خلايا السيليوم أحادية البلورة
– Si – cell, Polycrystalline	– Si – Zellen, polykristalline	– خلايا السيليوم المتعددة البلورات
د		
Fly wheel	Scwungrad	الدوالات المعدل (الحداقة)
Degree of emission	Emissionsgrad	درجة الانبعاث
– Effective	– Ettektiver	– درجة الانبعاث الفعلية
Degree of absorption	Absorptionsgrad	درجة الامتصاص
Carton-cycle	Carnot-Kreisprozeß	دورة عمل كارنو
Clausius-Rankine-Cycle	Clausius-Rankine- Kreisprozeß	دورة عمل كلاوزيوس – رانكين
Cycle process	Kreisprozeß	دورة العمل
– Diesel	– Diesel	– دورة ديزل
– Joule	– Joule	– دورة جول
– Otto	– Otto	– دورة أوتو (للترين)
Degree of reflection	Reflexionsgrad	درجة الانعكاس
Melting point	Schmelztemperatur	درجة حرارة الانصهار
Adiabatic combustion temperature	Adiabate Verbrennungstemperatur	درجة حرارة الاحتراق الكلي (الأديابات)
هـ		
Ash	Asche	الرماد
Graßhof-Nr.	Graßhof – Zahl	رقم غراسهوف
Nusselt-Nr.	Nusselt – Zahl	رقم نوسيل
Prandtl-Nr.	Prandtl – Zahl	رقم برانتل

Reynolds-Nr.	Reynolds- Zahl	رقم رينولدز
Rayleigh-Nr.	Rayleigh- Zahl	رقم ريله
Current number	Stromkennzahl	الرقم المميز للتيار
س		
Desulphurization of flue gases	Entschwefelung der Rauchgase	سحب الكبريت من غازات الاحتراق
- Washing with lime water	- Kalkwaschverfahren	- طريقة الغسيل بمحلول الكلس
- With sulphur generation	- mit Schwefelerzeugung	- مع إنتاج الكبريت
- With generation of gypsum	- mit Gipserzeugung	- مع إنتاج الجص
- Simultaneous	- Simultan	- المتزامن
Denitrification of flue gases	Entstickung der Rauchgase	سحب الآزوت من غازات الاحتراق
Heating surfaces of steam generator	Heizflächen des Dampferzeugers	سطوح التسخين لمولد البخار
- Necessary surface	- erforderliche Fläche	- السطح اللازم
Combined desulphurization and Denitrification	Entschwefelung und Entstickung	السحب المشترك للكبريت والآزوت
Specific heat capacity	Spezifische Wärmekapazität	السعة الحرارية النوعية
Removal of dry slag	Trocken-Schlackabzug	سحب الحقت الجاف
Water separators	Wasserabscheider	ساحات الماء
ض		
Heat loss of flue gases	Abgaswärmeverlust	الضبايعات الحرارية مع غازات الاحتراق
Pressure loss (drop)	Druckverlust	ضبايع الضغط
- Pressurized fluidized bed	- Druckwirbelschicht (DWS)	- في الطبقة ذات الحركة الروعية المضغوطة
- Individual resistances	- Einzelwiderstände	- في المقاومات المختلفة
- Moody-Colebrook Diagram	- Moody-Colebrook-Diagramm	- مخطط مودي لضبايع الضغط
- Friction	- Reibung	- بفعل الاحتكاك
- Fluidized bed	- Wirbelschicht	- في الطبقة ذات الحركة الزووعية
Heat loss through cooling	Wärmeverlust durch Abkühlung	الضبايع الحراري بفعل التبريد
Heat loss through unburned fuel	Wärmeverlust durch Unverbranntes	الضبايع الحراري بفعل عدم الاحتراق
Heat loss through slag	Wärmeverlust durch Schlackenwärme	الضبايع الحراري مع الحقت
Heat losses of steam generator	Wärmeverluste des Dampferzeugers	الضبايعات الحرارية لمولد البخار

<b>ط</b>		
Alternative energy	Alternative (regenerative) Energie	الطاقة البديلة (المتجددة)
Anergy	Anergie	الطاقة الضائعة
Energy	Energie	الطاقة
- Internal	- Innere	- الداخلية
- Kinetic	- Kinetische	- الحركية
- Potential	- Potentielle	- الكامنة
Hot-dry-rock-method	Hot-dry-rock-Verfahren	طريقة الصخور الجافة الساحنة
Exergy	Exergie	الطاقة المتاحة
Free energy	Freie energie, gibbssche	الطاقة الحرة (طاقة جيبس الحرة)
Regenerative energies	Regenerative energien	الطاقات المتجددة
- Biomass	- Biomasse	- الكتلة الحيوية
- Tidal power	- Gezeitenenergie	- المد والجزر
- Geothermal energy	- Geothermische Energie	- حرارة باطن الأرض
- Hydro power	- Hydroenergie	- طاقة المياه
- Ocean thermal energy	- Meereswärme	- حرارة البحار
- Growing raw materials	- Nachwachsende Rohstoffe	- المواد الخام المتزايدة
- Solar energy	- Sonnenenergie	- الطاقة الشمسية
- Waves energy	- Wellenenergie	- طاقة الأمواج
- Wind energy	- Windenergie	- طاقة الرياح
Fluidized bed	Wirbelschicht	الطبقة الدوامة
<b>ظ</b>		
Green-house-effect	Treibhauseffekt	ظاهرة البيت الزجاجي
<b>ع</b>		
Work	Arbeit	العمل
- Volum change-work	- Volumenänderungsarbeit	- عمل تغير الحجم
- Technical	- Technische	- العمل الهندسي (المحرك)
Steam process	Dampfprozeß	عملية البخار
Steam turbine	Dampfturbine	العملة البخارية
- Condensing turbine	- Kondensationsturbinen	- عملة التكاثف
- High pressure	- Überdruckturbine	- ذات الضغط العالي



Expansion work	Expansionsarbeit	عمل التمدد
Gas turbines	Gasturbinen	النفثات الغازية
Back pressure turbine	Gegendruck-Dampfturbine	النفثات البخارية ذات الضغط العالي
Joule - process	Joule- Prozess	عملية جول
Excess air factor	Luftüberschußzahl	عامل زيادة (فائض) الهواء
Stoichiometric relations	Stöchiometrische Beziehungen	العلاقات الستوكيومترية
Gasification process	Vergasungsprozess	عملية التحويل إلى غاز
Heat insulation	Wärmeschutz	عزل الحرارة
<b>ف</b>		
Laval nozzle	Laval-Düse	فوهة لانفال
Coal-composition	Kohle--Zusammensetzung	الفحم - تركيبه
Cyclon separator	Zyklonabscheider	المعاصل الدوار (السيكلوني)
Cyclon furnace	Zyklonfeuerung	الفرن السيكلوني
<b>ق</b>		
High calorific	Brennwert	القيمة الحرارية العليا للوقود
Calorific value	Heizwert	القيمة الحرارية
- Energy carrier	- Energieträger	- حامل الطاقة
- Low	- Unterer	- الدنيا
Properties of substance	Stoffwerte	القيم المميزة لمادة
Nuclear forces	Bindungsenergie, nukleare	قوة الارتباط النووية
Stefan-Boltzman-Law	Stefan-Boltzmannsches Gesetz	قانون شتيفان - بولتزمان
<b>م</b>		
Heat recovery boiler	Abhitzekessel (AMK)	مرجل الحرارة الضائعة
Bernoulli-Equation	Bernoulli-Gleichung	معادلة برنولي
High calorific value-boiler	Brennwertkessel	مرجل الاستعادة من القيمة الحرارية العليا للوقود
Steam generator	Dampferzeuger	مولد البخار
- Benson-boiler	- Benson-Kessel	- مرجل بنسون
- Natural circulation	- Naturumlauf	- المولدات ذات الجريان الطبيعي
- Forced circulation	- Zwangumlauf	- ذو الدوران القسري
- Once through	- Zwangdurchlauf	- ذو الجريان القسري مع الانسياب لمرة واحدة في الدورة

Steam-power station	Dampfkraftwerk	المحطة البخارية لتوليد الكهرباء
DENOX-equipment	DENOX- Anlagen	معدات سحب الآزوت
One-flux-steam generator	Einzug-Dampferzeuger	مولدات البخار ذات احدى الأحمادى للمارات
Combined power and heat generation stations with bleeding and back pessure	Entnahme-Gegendruck-Heizkraftwerk	محطات التوليد المشترك للكهرباء والحرارة ذات سحب البخار والضغط المتقابل (المعاكس)
Bleeding-condensing power station	Entnahme-Kondensationskraftwerk	محطات الطاقة ذات سحب البخار وتكثيفه
Euler-basic equation	Euler-Hauptgleichung	المعادلة الأساسية لأويلر
Euler-turbine equation	Euler-Turbinengleichung	معادلة أويلر للعنفات
Gas turbine power stations	Gasturbinenanlagen	المنشآت ذات العنفات الغازية
Geothermal power station	Geothermisches Kraftwerk	محطات الطاقة ذات حرارة جوف الأرض
Tidal power station	Gezeitenkraftwerk	محطات الطاقة ذات المد والجزر
Combined cycle power stations	Kombinierte Gas-und Dampf turbinenanlagen	محطات الدارة المركبة
Combined power and heat generation station	Heizkraftwerke	محطات التدفئة وتوليد الكهرباء
Condensers	Kondensatoren	المكثمات
MHD-Generator	MHD-Generator	مولدات MHD
Closed feed water heater	Oberflächen-Speisewasservorwärmer	مسخنات الماء الأولية المنفصلة
PV-plants	Photovoltaik (PV) anlagen	المنشآت الكهروضوئية PV (الفوتوفلطية)
- Thin solar cells	- Dünnschicht- Solarzellen	- الخلايا الشمسية الرقيقة
- p/n gate	- p/n Übergang	- الممر من النوع p/n
- Polycrystalline solar cells	- Polykristalline Solarzellen	- الخلايا الشمسية متعددة الموررات
- Solar generator	- Solargenerator	- المولد الشمسي
- Solar module	- Solarmodul	- اجموعة الشمسية
- Solar modul, MPP point	- Solarmodul MPP-Punkt	- نقطة الاستطاعة الأعظمية
- Satellite power station,	- Satellitenkraftwerk	للمجموعة الشمسية
- Island system	- Inselsystem	- محطات الطاقة ذات الأقمار الصناعية
- With net connected system	- Netzgebundenes System	- حملة الجزيرة (عبر المتصلة بشبكة الكهرباء الأساسية)
Accumulators	Speicherbatterien	- الخجلة المتوصلة بالشبكة
		المدحرات (البطاريات)

Solar collector	Solarkollektoren	المجمّعات الشمسية
Concentrating collector	Konzentrierende Kollektoren	المجمّعات المركزة
Parabolic collector	Parabolrinnen Kollektoren	المجمع على شكل قطع مكافئ
Thermal-solar power station	Thermische Solarkraftwerke	محطات توليد الطاقة الحرارية
Thermo electrical generator	Thermoelektrischer Generator	المولد الكهربائي الحراري
- Efficiency	- Wirkungsgrad	- المردود
- Upwind-power station	- Aufwind-Kraftanlage	- ذات تيار الهواء للتصاعد
- Dish-Stirling system	- Dish-Stirling system	- البجيلة ذات صحن ستيرلينج
-Efficiency	- Effizienz	- الفعالية
- Heliostate	- Heliostaten	- ذات المرايا العاكسة الدوارة
- Solar farm concept	- Solarfarm-Konzept	- مشروع المزارع الشمسية
- Central receiver	- Zentralreceiver	- المستقبل المركزي
- Solar tower-concept	- Solarfarm-konzept	- مشروع برج الشمس
Super heater	Überhitzer	المحصر
Evaporator	Verdampfer	المحر
Heat pumps	Wärmepumpen	المضخات الحرارية
Heat exchangers	Wärmeaustauscher	المبادلات الحرارية
Hydro power station (plant)	Wasser Kraftwerke	محطات توليد الطاقة المائية
Wind farm	Windpark	مرعة الرياح
Wind power plant	Windkraftanlage	محطات طاقة الرياح
Thermal efficiency	Wirkungsgrad, thermischer	المردود الحراري
Efficiency	Wirkungsgrad	المردود (الكفاءة)
Internal efficiency	Wirkungsgrad, innerer	المردود الداخلي
Air preheater	Luftvorwärmer	المسخن الأولي للهواء
		هـ
Primary air	Primärluft	الهواء الأولي
Hydrogen	Wasserstoff	الهيدروجين







Bibliotheca Alexandrina



0647517

السعر : 18 دولار أو مايعادلها